

This is a digital copy of a book that was preserved for generations on library shelves before it was carefully scanned by Google as part of a project to make the world's books discoverable online.

It has survived long enough for the copyright to expire and the book to enter the public domain. A public domain book is one that was never subject to copyright or whose legal copyright term has expired. Whether a book is in the public domain may vary country to country. Public domain books are our gateways to the past, representing a wealth of history, culture and knowledge that's often difficult to discover.

Marks, notations and other marginalia present in the original volume will appear in this file - a reminder of this book's long journey from the publisher to a library and finally to you.

Usage guidelines

Google is proud to partner with libraries to digitize public domain materials and make them widely accessible. Public domain books belong to the public and we are merely their custodians. Nevertheless, this work is expensive, so in order to keep providing this resource, we have taken steps to prevent abuse by commercial parties, including placing technical restrictions on automated querying.

We also ask that you:

- + Make non-commercial use of the files We designed Google Book Search for use by individuals, and we request that you use these files for personal, non-commercial purposes.
- + Refrain from automated querying Do not send automated queries of any sort to Google's system: If you are conducting research on machine translation, optical character recognition or other areas where access to a large amount of text is helpful, please contact us. We encourage the use of public domain materials for these purposes and may be able to help.
- + Maintain attribution The Google "watermark" you see on each file is essential for informing people about this project and helping them find additional materials through Google Book Search. Please do not remove it.
- + Keep it legal Whatever your use, remember that you are responsible for ensuring that what you are doing is legal. Do not assume that just because we believe a book is in the public domain for users in the United States, that the work is also in the public domain for users in other countries. Whether a book is still in copyright varies from country to country, and we can't offer guidance on whether any specific use of any specific book is allowed. Please do not assume that a book's appearance in Google Book Search means it can be used in any manner anywhere in the world. Copyright infringement liability can be quite severe.

About Google Book Search

Google's mission is to organize the world's information and to make it universally accessible and useful. Google Book Search helps readers discover the world's books while helping authors and publishers reach new audiences. You can search through the full text of this book on the web at http://books.google.com/



Über dieses Buch

Dies ist ein digitales Exemplar eines Buches, das seit Generationen in den Regalen der Bibliotheken aufbewahrt wurde, bevor es von Google im Rahmen eines Projekts, mit dem die Bücher dieser Welt online verfügbar gemacht werden sollen, sorgfältig gescannt wurde.

Das Buch hat das Urheberrecht überdauert und kann nun öffentlich zugänglich gemacht werden. Ein öffentlich zugängliches Buch ist ein Buch, das niemals Urheberrechten unterlag oder bei dem die Schutzfrist des Urheberrechts abgelaufen ist. Ob ein Buch öffentlich zugänglich ist, kann von Land zu Land unterschiedlich sein. Öffentlich zugängliche Bücher sind unser Tor zur Vergangenheit und stellen ein geschichtliches, kulturelles und wissenschaftliches Vermögen dar, das häufig nur schwierig zu entdecken ist.

Gebrauchsspuren, Anmerkungen und andere Randbemerkungen, die im Originalband enthalten sind, finden sich auch in dieser Datei – eine Erinnerung an die lange Reise, die das Buch vom Verleger zu einer Bibliothek und weiter zu Ihnen hinter sich gebracht hat.

Nutzungsrichtlinien

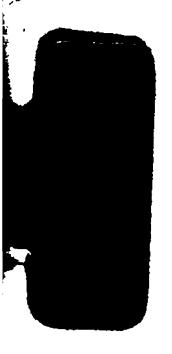
Google ist stolz, mit Bibliotheken in partnerschaftlicher Zusammenarbeit öffentlich zugängliches Material zu digitalisieren und einer breiten Masse zugänglich zu machen. Öffentlich zugängliche Bücher gehören der Öffentlichkeit, und wir sind nur ihre Hüter. Nichtsdestotrotz ist diese Arbeit kostspielig. Um diese Ressource weiterhin zur Verfügung stellen zu können, haben wir Schritte unternommen, um den Missbrauch durch kommerzielle Parteien zu verhindern. Dazu gehören technische Einschränkungen für automatisierte Abfragen.

Wir bitten Sie um Einhaltung folgender Richtlinien:

- Nutzung der Dateien zu nichtkommerziellen Zwecken Wir haben Google Buchsuche für Endanwender konzipiert und möchten, dass Sie diese Dateien nur für persönliche, nichtkommerzielle Zwecke verwenden.
- + Keine automatisierten Abfragen Senden Sie keine automatisierten Abfragen irgendwelcher Art an das Google-System. Wenn Sie Recherchen über maschinelle Übersetzung, optische Zeichenerkennung oder andere Bereiche durchführen, in denen der Zugang zu Text in großen Mengen nützlich ist, wenden Sie sich bitte an uns. Wir fördern die Nutzung des öffentlich zugänglichen Materials für diese Zwecke und können Ihnen unter Umständen helfen.
- + Beibehaltung von Google-Markenelementen Das "Wasserzeichen" von Google, das Sie in jeder Datei finden, ist wichtig zur Information über dieses Projekt und hilft den Anwendern weiteres Material über Google Buchsuche zu finden. Bitte entfernen Sie das Wasserzeichen nicht.
- + Bewegen Sie sich innerhalb der Legalität Unabhängig von Ihrem Verwendungszweck müssen Sie sich Ihrer Verantwortung bewusst sein, sicherzustellen, dass Ihre Nutzung legal ist. Gehen Sie nicht davon aus, dass ein Buch, das nach unserem Dafürhalten für Nutzer in den USA öffentlich zugänglich ist, auch für Nutzer in anderen Ländern öffentlich zugänglich ist. Ob ein Buch noch dem Urheberrecht unterliegt, ist von Land zu Land verschieden. Wir können keine Beratung leisten, ob eine bestimmte Nutzung eines bestimmten Buches gesetzlich zulässig ist. Gehen Sie nicht davon aus, dass das Erscheinen eines Buchs in Google Buchsuche bedeutet, dass es in jeder Form und überall auf der Welt verwendet werden kann. Eine Urheberrechtsverletzung kann schwerwiegende Folgen haben.

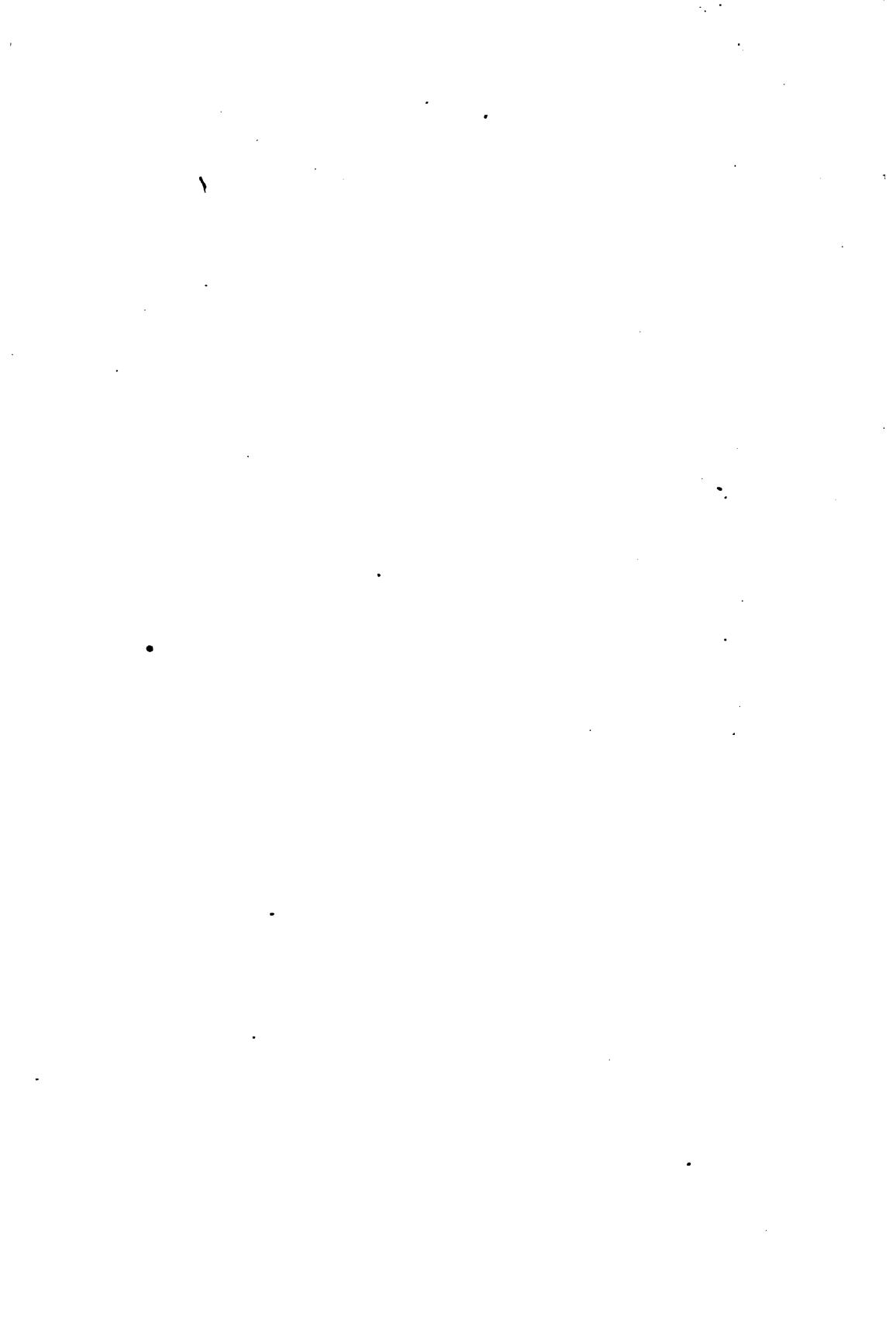
Über Google Buchsuche

Das Ziel von Google besteht darin, die weltweiten Informationen zu organisieren und allgemein nutzbar und zugänglich zu machen. Google Buchsuche hilft Lesern dabei, die Bücher dieser Welt zu entdecken, und unterstützt Autoren und Verleger dabei, neue Zielgruppen zu erreichen. Den gesamten Buchtext können Sie im Internet unter http://books.google.com/durchsuchen.



Library of the University of Wisconsin

		-					
							•
		•					
	•						
						4	
-							
•			•				
				•			
			•				
•							
							•
							•
	•						
	•						
				•		_	
						·	
						•	
	•	•					
		•					
					•		
							_



Ad. Wernickes

Lehrbuch der Mechanik

in elementarer Darstellung

mit Anwendungen und Übungen aus den

Gebieten der Physik und Technik

Erster Teil

Mechanik fester Körper

3 weite Abteilung



Ad. Wernickes

Lehrbuch der Mechanik

in elementarer Darstellung

mit Anwendungen und Übungen aus den

Gebieten der Physik und Technik

In zwei Teilen

Erfter Teil

Mechanik fester Körper

Bon

Dr. Alex. Wernicke

Direktor der Städtischen Oberrealschule und Professor an der Herzogl. Technischen Hochschule zu Braunschweig

Bierte völlig umgearbeitete Auflage

Zweite Abteilung Statif und Kinetif des starren Körpers

Mit eingebrudten Abbilbungen

Brannschweig.
Druck und Verlag von Friedrich Vieweg und Sohn 1901

Alle Rechte, namentlich dasjenige der Übersetzung in fremde Sprachen, vorbehalten

76888 MAR 9 1904 S D · W49 1/2

3 n h a l t

für die

zweite Abteilung des ersten Bandes.

Dritter Abschnitt.

Dhuamit bes ftarren Rörpers.

Erstes Kapitel (S. 315 bis 347).

		Kräfte am starren Körper.	Seite
8	53.	Veranschaulichung der wirkenden Kräfte	315
_	54.	Statit und Kinetit	315
	55.	Aräfte an einem Punkte	315
_	56.	Rräfte mit zerstreuten Angrisspunkten	318
_	57.	Kräfte mit zerstreuten Angriffspunkten innerhalb einer Geraden des starren Körpers.	319
§	5 8.	Kräfte in einer Ebene mit zerstreuten Angrisspunkten und Kräftepaare in einer Ebene	319
§	59.	Konstruktive (graphische) Behandlung der Aufgabe des § 58; Cul= manns graphostatische Konstruktion	324
§	60.	Rechnerische Behandlung der Aufgabe des § 58	328
§	61.	Kräfte im Raume mit zerstreuten Angriffspunkten und Kräftepaare im Raume	330
§	62.	Rechnerische Behandlung der Aufgabe des § 61	333
§	63.	Konstruktive (graphische) Behandlung der Aufgabe des § 61	339
§	64.	Parallele Kräfte am starren Körper	340
§	65.	Innere Kräfte am starren Körper unter dem Einfluß eines äußeren Kräftesystems	342
§	66.	Systeme starrer Körper und das Princip von d'Alembert	344
	An	wendungen der Lehre von den Aräften am starren Körp (S. 348 bis 390).	er
		1. Allgemeines	348
		2. Tie Araftübertragung durch Seile	349
		3. Die belastete Seilkurve	352
		4. Die Atwoobsche Fallmaschine mit geraden Führungen für die Belastungen	358
		5. Das Wellrab mit horizontaler Achse bei geraben Führungen für die Belastungen	360
		h Mehanhlung her Ahungen 4 und 5 hurch has Arincin nan h'Alemhert	369

. 7 Manadanina baraharan arang manadan menanggan menanggan menanggan menanggan menanggan menanggan menanggan m	Seite
7. Berechnung der Dachbinder nach Ritters Methode	362
8. Konstruktive (graphostatische) Behandlung von Balken mit Einzellasten bei einfacher horizontaler Lagerung	367
9. Behandlung von Balken mit stetiger Belastung bei einfacher horizontaler Lagerung	370
10. Der Balken mit beweglichen Lasten	372
11. Konstruktive (graphostatische) Behandlung eines Dachbinders	375
12. Berechnung eines Brückenträgers	
13. Das Potential ber konzentrisch=homogen=geschichteten Kugel bei Geltung bes	377
Remtonschen Gesetzes	200
14. Die Effektivkräfte bei ber Achsendrehung starrer Körper	380 386
Übungen zu der Lehre von den Kräften am starren Körpe	r
(S. 391 bis 408).	•
Nr. 1 bis 90	3 91
Zweites Kapitel (S. 409 bis 443).	
Der Schwerpunkt.	
§ 67. Die Bestimmung des Schwerpunktes für materielle Gebilde	409
§ 68. Die Schwerpunkte geometrischer Gebilde	411
§ 69. Die Verwendung des Schwerpunktes innerhalb der Geometrie	415
§ 70. Graphostatische Bestimmung des Schwerpunktes geometrischer Gebilde	417
§ 71. Schwerpunktsbestimmungen für Systeme einzelner materieller Punkte	417
§ 72. Schwerpunktsbestimmungen für Linien	419
§ 73. Schwerpunktsbestimmungen für Flächen	
§ 74. Schwerpunktsbestimmungen für Körper	424
§ 75. Weitere Bemerkungen über Schwerpunktsbestimmungen	433
§ 76. Die Bedeutung der Schwerpunktsbestimmungen innerhalb der Dynamik	436 442
	114
Anwendungen der Lehre vom Schwerpunkte (S. 444 bis 457).	
1. Der Schwerpunkt der homogenen Begrenzung eines ebenen Fünfeck (Stangensfünfeck)	444
2. Der Schwerpunkt einer heterogen belasteten Strecke	444
3. Der Schwerpunkt eines homogenen Korbbogens	445
4. Der Schwerpunkt der (gemeinen) homogenen Schraubenlinie	44 5
5. Der Schwerpunkt der homogenen Kettenlinie	447
6. Der Schwerpunkt der Fläche eines ebenen homogenen Fünfecks	44 8
7. Graphostatische Lösung der Aufgabe Nr. 6	44 9
8. Der Schwerpunkt eines Schienenprofils	45 0
9. Graphostatische Behandlung von Ar. 8	4 50
10. Der Schwerpunkt eines sphärischen Dreieck	452
11. Der Schwerpunkt eines (rechteckigen) Obelisken	452
12. Der Schwerpunkt eines schief abgeschnittenen dreiseitigen Prismas (z. B. eines Keils)	453
13. Die Oberfläche und der Inhalt der Kuppel eines Klostergewölbes	455
14. Der Mantel und das Bolumen eines Klauen	
15. Der Schwerpunkt des Umdrehungsparaboloids	455
	456
and a state of the	457
17. Der Schwerpunkt des zweischaligen Umbrehungshyperboloids	457
Übungen zur Lehre vom Schwerpunkte (S. 458 bis 466).	
Nr. 1 bis 46	458

117

Drittes Kapitel (S. 467 bis 634).

Statif des starren Körpers.

Erfte Abteilung (S. 467 bis 492).

		Die Befestigungsreaktionen.	Seite
_	77. 78.	Die Bestimmung der Reaktionen bei statischen Konstruktionen Die Reaktionen sür einen starren Körper, von dem ein Punkt mit der Erde starr verbunden ist, und die entsprechenden Arten des Gleich=	467
§	79.	gewichtes	469 472
§	80.	Die Reaktionen für einen starren Körper, von dem mindestens drei nicht in einer Geraden liegende Punkte mit der Erde starr ver= bunden sind, und die entsprechenden Kippachsen (Stabilitätsmoment und Stabilitätsarbeit).	474
_	81. 82.	Die Besestigungen bei technischen Konstruktionen	478 479
§	83.	Das Princip der virtuellen Vertückungen für ein System miteinander verbundener starrer Körper (bei Vernachlässigung der Reibungen) .	482
	8	Anwendungen der Lehre von den Befestigungsreaktionen (S. 493 bis 518).	
		1. Las sichere Gleichgewicht ber Wippe	493
		2. Das sichere Gleichgewicht ber Epicykloidenwiege	493
		3. Der Hebel und seine Berwendung	494
			497
		4. Stangenverbindungen	
		5. Stüglinien und Belastungslinien	501
		6. Führungsbahn eines Alappengewichtes	506
		7. Reaktionsbestimmungen in besonderen Fällen (10 Rummern)	507
ū		gen zur Lehre von den Befestigungsreaktionen (S. 519 bis	
	•	Nr. 1 bis 40	519
		Zweite Abteilung (S. 528 bis 566). Die Reibungen.	
88	84 85. 86. 87.	Das Auftreten von Reibungen und die Arbeit der Reibungen Die Bestimmung der Reibung für gleitende Bewegungen	528 531 533 537
§	88.	Bedingungen des Klemmens	543
	89.	Die Lagerreibung für gleichförmige Drehung bei Drucken senkrecht zur Achse	543
§	90.	ber Achse	5 52
§	91.	Die Lagerreibung für gleichförmige Drehung bei Drucken, schief zur Achse	555
Ş	92.	Seilreibung	555
	93.	Seilsteifigkeit	560
š	94.	Das Reibungsmoment bei Rollbewegungen	562
	95.	Der Wirkungsgrad (Güteverhältniß)	564

	At	rwendungen der Lehre von den Reibungen (S. 567 bis 617)	
		1. Reibungshülsen unb Reibungsringe	Seite 567
		2. Reile	569
		3. Die Schrauben	571
		4. Reilketten und Stüglinien von Gewölben	580
		5. Seil= und Rettenrollen und entsprechende Berbindungen	587
	•	6. Der Hebel	592
		7. Quetschwalzen	595
		8. Das Bellrad	596
		9. Die Sirnsche Reibungswage und der Pronysche Bremszaum	599
]	10. Reibungsrollen und Reibungsräber	601
		11. Bremsvorrichtungen	604
		12. Zahnräber	607
		13. Die Schraube ohne Ende	613
]	14. Cleichförmige Bewegung von Fuhrwerken	614
		Übungen zur Lehre von den Reibungen (S. 618 bis 634).	
	•	Rr. 1 bis 80	618
		Viertes Kapitel (S. 635 bis 736).	
		Kinetik des starren Körpers.	
Ş	96.	Der Bewegungszustand eines Körpers und dessen Anderung	635
_	97.	Die Verschiebung	636
တတတ	98.	Die Drehung um eine feste Achse	637
§	99 .	Die Trägheitsmomente und Deviationsmomente für verschiedene	
		Achsen und die Hauptachsen des Körpers	644
§	100.	Die Berechnung der Trägheitsmomente und der Deviationsmomente	
		(Centrifugalmomente)	6 4 8
		a) Allgemeines S. 648, b) Die Bestimmung der Trägheitsmomente	
		und der Deviationsmomente ebener, homogen belegter Flächen	
		S. 649, c) Bemerkungen in Bezug auf die Trägheitsmomente von	
		Körpern S. 667, d) Die entsprechenden Integralsormeln S. 669,	
		e) Die Trägheitsmomente homogener Linien S. 670, f) Die Träg=	
		heitsmomente homogener Flächen S. 673, g) Die Trägheitsmomente	
e	101	homogener Körper S. 682.	
3	101.		688
2	109	einer beliebigen Bewegung	692
_	102. 103.	Allgemeine Charafteristik der Bewegung eines materiellen Systems.	703
	103.	Beispiele zu den Entwickelungen der §§ 102 und 103	706
	105.	Die Schwenkung (Punktbrehung) eines starren Körpers	710
	106.	Allgemeine Charakteristik der Bewegung eines starren Körpers	720
	107.	Die Bewegung eines kraftfreien starren Körpers	720
	108.	Stabilität einer Drehungsachse	723
_	109.	Die Reaktionen innerhalb der Kinetik und die besonderen Beziehungen	0
J	2001	gleitender und rollender Bewegungen	725
§	110.		731
	An	wendungen der Kinetik des starren Körpers (S. 737 bis 787).
		1. Das physische Pendel	737
		2. Die Wiege	741
		3. Umfallen eines senkrechten Stabes	742
		4. Beschleunigte Schraubenbewegung	745

	Inhalt.
_	Markfannis da Markfannaanna
5.	Beschleunigte Rollenbewegung
6.	Bewegung eines Eisenbahnzuges unter Berücksichtigung des Luftwiderstandes
7.	Das Rurbelgetriebe nebst Schwungrab
8.	Der Schwungkugelregulator unter Berücksichtigung ber Wiberstände
9.	Massenausgleichung bei Schiffsmaschinen
10.	Rollen und Rollgleiten
11.	Beschleunigte Bewegung von Fuhrwerken
12,	Die Beftimmung ber Centrifugalfraft für eine Stange, bie winbichief ift gur
	Drehungsachse
13.	Die Bewegung des Kreisels

- - - -

.

•

•

•

'				
	•			
			•	
•				•

Dritter Abschnitt.

Dynamik des starren Körpers.

Erstes Rapitel.

Kräfte am farren Körper 1).

- 53. Beranschaulichung der wirkenden Kräfte. Die Kräfte, welche einen starren Körper angreisen, können wir uns zunächst stets durch Beslastungen (vergl. Fig. 1) veranschaulicht denken, die vermittelst eines Seiles und einer Rolle (Richtung) an irgend einer Stelle des Körpers (Angriffsspunkt) zur Wirkung kommen. Als Einheit der Kraft dient der Zug oder Druck eines Kilostückes, der Kraftkilo oder kurz Kilo heißt.
- 54. Statik und Kinetik. Wenn sich Kräfte, welche an einem starren Körper wirken, gegenseitig zerstören, so sagt man, daß sie im Gleichgewichte stehen. Ein solches System von Kräften ist ohne Einfluß auf den Bewegungszustand des Körpers, so daß dieser z. B. unter dem Einfluß jener Kräfte in Ruhe bleibt, wenn er ohne deren Berücksichtigung in Ruhe ist. Man sagt in diesem Falle (Ruhe) auch von dem Körper, daß er sich im Gleichgewicht befindet, und dehnt diese Ausdrucksweise unter anderem auch aus auf Körper, die sich gleichförmig und geradlinig verschieben. Die Lehre vom Gleichgewichte der Kräfte (nebst ihren Anwendungen) wird als Statit bezeichnet. Wenn sich Kräfte, welche an einem starren Körper wirken, nicht gegenseitig zerstören, so ändern sie dessen Bewegungszustand. Die Lehre von diesen Anderungen wird Kinetik genannt.
- 55. Kräfte an einem Punkte. Wenn solche äußere Kräfte in beliebiger Anzahl in einem Punkte des starren Körpers angreifen, so lassen sie sich stets zu einer Resultante vereinigen, welche auch den Wert Null

¹) Da es aus pädagogischen Gründen zweckmäßig erscheinen kann, die Mechanik mit diesem Kapitel zu beginnen, so ist dessen Eingang möglichst selbständig gehalten worden.

haben kann (Gleichgewicht), und zwar gemäß den Entwickelungen der Einsleitung S. 24 u. f.

Liegen die Kräfte dabei in einer Geraden, so ersolgt ihre Vereinigung durch algebraische Abdition (vergl. S. 27 u. 28).

Liegen sie dabei in einer Ebene, so ist eine ebene Polygonbildung (geometrische Addition) erforderlich oder die Beziehung auf ein zweiachsiges Koordinatenkreuz (vergl. S. 25 u. 30).

Anderenfalls ist eine räumliche Polygonbildung (geometrische Abdition) nötig oder die Beziehung auf ein dreiachsiges Koordinatenkreuz (vergl. S. 25 u. 32).

Bei Zeichnungen arbeitet man am besten mit drei auseinander senk= rechten Projektionsebenen.

Liegen alle Kräfte in einer Ebene, so ist für jeden Punkt dieser Ebene als Drehpunkt der bereits aus dem ersten Lehrgange der Physik bekannte Momentensatz (vergl. S. 37) in Geltung. Bergl. auch S. 253.

Errichtet man in dem Drehpunkte, auf den sich der Momentensatz bezieht, zur Ebene ein Lot, so läßt sich dieses als die Achse auffassen, um welche die einzelnen Kräfte Drehungen hervorzurusen suchen. Denkt man sich in dieser Achse auf der Ebene stehend, und zwar einmal auf deren einer und dann auf deren anderer Seite, so kann man in beiden Fällen die Richtung von den Füßen zum Kopse durch einen Pseil bezeichnen. Wählt man einen dieser Pseile beliebig aus, und bezeichnet man serner die ihm entsprechende Halbachse als positiv, so kann man nun diesenigen Momente als positiv bezeichnen, welche sür einen, in der positiven Halbachse stehenden Beobachter der Uhrzeigerbewegung entsprechen.

Wird die Ebene, welche die Kräfte enthält, verschoben, so daß der Drehspunkt auf der Achse gleitet, so ändern sich die Momente der einzelnen Kräfte und das Moment der Resultante nicht.

Da sich nun jede Kraft im Raume in eine Komponente, parallel zu einer solchen Achse, und in eine Komponente, senkrecht zu einer solchen Achse zerlegen läßt, so kann man den Begriff "Moment einer Kraft" auch auf den Raum ausdehnen. Da die erste Komponente den Körper parallel zur Achse zu verschieben strebt, so benutzt man nur die zweite zur Bildung des Mosmentes, und zwar, indem man den kürzesten Abstand zwischen ihr und der Achse als dessen Arm einführt. Demgemäß gilt die Erklärung:

Unter dem Momente einer Kraft in Bezug auf eine Achse verssteht man das Produkt aus dem kürzesten Abstande zwischen Kraft und Achse und der Kraftkomponente, senkrecht zur Achse. Das Vorzeichen des Momentes ist positiv oder negativ, je nachdem die entsprechende Drehung für einen, in der (willkürlich bestimmten) posistiven Halbachse stehenden Beobachter mit der Uhrzeigerbewegung übereinstimmt oder nicht.

Projiziert man die Kräfte senkrecht auf eine Ebene, welche die Achse rechtwinklig schneidet, so sind diese Projektionen die erforderlichen Krastskomponenten, während die zugehörigen Arme die Abstände dieser Komponenten von dem Schnittpunkte der Achse und der Ebene sind.

Da innerhalb dieser Ebene der Momentensatz gilt, so gilt er auch für die Kräfte im Raume.

Neben dem Momentensatz ist für Kräfte in einer Ebene auch noch der Arbeitssatz (vergl. S. 38) ein wichtiges Hülfsmittel der Untersuchung. Bergl. auch S. 242 u. f. Seine Ausdehnung auf Kräfte im Raume ist noch einsacher, als die entsprechende Erweiterung des Momentensatzs.

Bilden die Kräfte K_1 , K_2 , ..., K_n bezw. mit der Richtung der geradslinigen Verschiebung die Winkel α_1 , α_2 , ..., α_n , während die Resultante R mit dieser den Winkel α bildet, so gilt, falls man die positive X=Achse mit der Richtung der Verschiebung zusammenfallen läßt, nach Gleichung 8 und 9:

$$R\cos\alpha = K_1\cos\alpha_1 + K_2\cos\alpha_2 + \cdots + K_n\cos\alpha_n$$

Durch Multiplikation mit der Verschiebung s entsteht hieraus die Gleichung

$$R s \cos \alpha = K_1 s \cos \alpha_1 + K_2 s \cos \alpha_2 + \cdots + K_n s \cos \alpha_n$$

und diese stellt unmittelbar den Arbeitssatz in der gesuchten Erweiterung dar.

Man hat sich dabei vorzustellen, daß der starre Körper zugleich mit den an ihm unveränderlich (nach Angriffspunkt, Wert und Richtung) wirkenden

Kräften einer geradlinigen Verschiebung s unterliegt, für welche die Arbeit berechnet wird.

Für eine krummlinige Verschiebung ders selben Art gilt der Arbeitssatz von Element zu Element.

Unterliegt der starre Körper zugleich mit den an ihm wirkenden Kräften einer Achsendrehung und zwar so, daß die Kräfte wieder relativ zum Körper unveränderlich sind, so treten Momentensatz und Arbeitssatz in eine enge Beziehung.

Da die, der Achse parallele Komponente einer Kraft bei Drehungen stets senkrecht zur

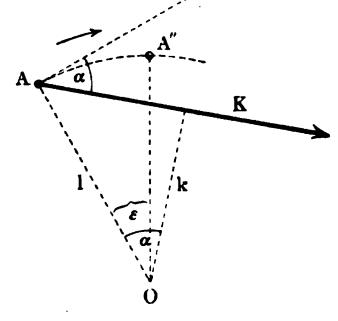


Fig. 169.

Bahn ihres Angriffspunktes steht $(\cos 90^{\circ} = 0)$, so leistet bei solchen nur die andere Komponente, aus welcher das Moment gebildet wird, Arbeit. Bezeichnet O in Fig. 169 den Durchtritt der Achse, senkrecht zur Ebene der Zeichnung, und K die Komponente, senkrecht zur Achse, so hat der Weg des Angriffspunktes A von K für eine Drehung um ε die Größe l arc ε , so daß die entsprechende Arbeit für lim A A'' = 0 anzusezen ist als:

$$A = K \cdot l \operatorname{arc} \varepsilon \cdot \cos \alpha$$
.

Da $l\cos\alpha=k$ ist so erhält man dafür auch den Wert:

d. h. das Produkt aus Kraftmoment und Arcus der Drehung, so daß die Betrachtung ohne weiteres auf endliche Werte von $arc \varepsilon$ ausgedehnt werden kann (vergl. S. 256). Wendet man die oben gewonnene Formel bei Achsenschungen auf ein System von Kräften mit dem Angriffspunkt A an, so

folgt aus der Gültigkeit des Momentensages auch für diesen Fall die weitere Gültigkeit des Arbeitssages.

Sind die Kräfte, relativ zum Körper, veränderlich, so muß der Arbeits= satz von Zeitelement zu Zeitelement aufgestellt werden, so daß erst ein Grenzübergang zu Ergebnissen für eine endliche Zeitdauer führt.

Im Gegensatze dazu gilt der Momentensatz, bei dessen Verwendung ja keine Lagenänderungen (Verrückungen) der Kräfte zu betrachten sind, immer für einen bestimmten Zeitpunkt.

Wenn R=0 ist, so steht das System der Kräfte im Gleichgewicht und umgekehrt.

Für die Ebene läßt sich die Bedingung R=0, da $R^2=X^2+Y^2$ ist, auflösen, in

da \mathbb{R}^2 als Summe zweier (stets positiver) Quadrate nur verschwinden kann, wenn die einzelnen Posten verschwinden.

Liegen X= und Y=Achse, wie es bei Anwendungen vielsach der Fall ist, bezw. horizontal und vertital, so kann man die Regel bilden: Für das Gleichgewicht ist notwendig und hinreichend, daß sich die vertikalen Kraftskomponenten unter sich und daß sich die horizontalen Kraftkomponenten unter sich zerstören.

Im Raume läßt sich die Bedingung R=0 entsprechend auflösen in:

$$X = 0$$
, $Y = 0$, $Z = 0$ 95)

If [R] = 0, so ist die Summe der Momente der einzelnen Kräfte stets Kull, ebenso die Summe ihrer Arbeiten für jede beliebig erdachte (virtuelle) Lagenänderung (Verrückung).

If [R] nicht Null, so hat das Moment von [R] für jede Achse, welche die Gerade von R kreuzt, stets einen von Null verschiedenen Wert, ebenso die Arbeit von [R] für jede Verrückung, die nicht auf [R] senkrecht steht.

Für die Ebene folgt im besondern aus dem Verschwinden eines Mosmentes, daß entweder die entsprechende Kraft Null ist oder daß der entsprechende Arm Null ist, so daß die Kraft im letzteren Falle durch den Drehspunkt geht.

Es ist danach leicht, auch mit Hülfe des Momentensages und des Arbeitssages auf das Gleichgewicht zu schließen.

Die Entwickelungen dieses Paragraphen gelten nicht bloß für starre Körper, sondern für beliebige Körper, da hier nur ein Punkt des Körpers in Frage kommt, mit dem man ja auch stets eine Achse fest verbunden denken kann.

56. Kräfte mit zerstreuten Angrisspunkten. Greisen die Kräfte nicht in einem Punkte des starren Körpers an, so spricht man von "Kräften mit zerstreuten Angrifspunkten".

Da hier mindestens zwei verschiedene Punkte des Körpers in Betracht zu ziehen sind, so ist die Art ihrer Berbindung im Ganzen des Körpers von Bedeutung. Für einen starren Körper gilt der Satz, daß Gegenkräfte, d. h. Kräfte von gleichem Werte und entgegengesetztem Sinne, welche in einer Geraden liegen, ohne Wirkung sind, also beliebig hinzugesügt oder fortgenommen werden dürfen.

Daraus folgt ferner, daß eine Kraft stets innerhalb der Geraden, auf der sie liegt, beliebig verschoben werden darf, da sie dabei im Berein mit einer festliegenden Gegenkraft in jeder Lage ohne Wirkung ist. Vergl. § 43 u. 44.

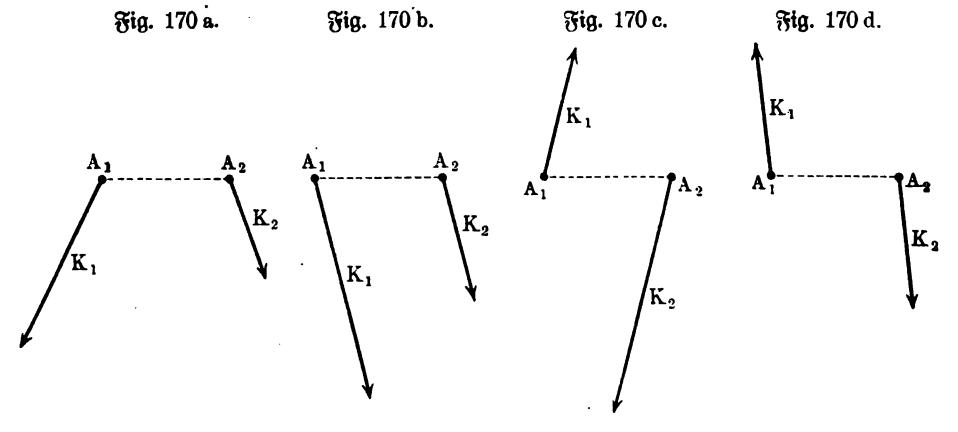
Das Moment einer Kraft ändert sich für eine bestimmte Achse durch die Verschiebung auf ihrer Geraden nicht, ebensowenig die Arbeit für eine bestimmte Verrückung.

Das Moment von Gegenkräften ist für jede Achse Null, ebenso die Arbeit für eine beliebige Verrückung.

Auch für die Kräfte mit zerstreuten Angrifspunkten ist es zwecks mäßig zu unterscheiden, ob. sie innerhalb einer Geraden des starren Körpers liegen oder innerhalb einer seiner Ebenen oder ob keine dieser einfachen Anordnungen vorhanden ist.

Dabei ist zu bedenken, daß man für die notwendigen Konstruktionen beliebige Teile des Raumes als Erweiterungen des starren Körpers anssehen kann.

- 57. Kräfte mit zerstreuten Angrisspunkten innerhalb einer Geraden des starren Körpers. Da jede Kraft innerhalb der Geraden, auf der sie liegt, verschoben werden darf, so kann man allen Kräften irgend einen Punkt O der Geraden als gemeinsamen Angrisspunkt geben, und die Kräfte an diesem durch algebraische Addition vereinigen, wie bisher.
- 58. Kräfte in einer Ebene mit zerstreuten Angrissspunkten und Kräftepaare in einer Ebene. Bleibt man zunächst bei zwei Kräften $[K_1]$

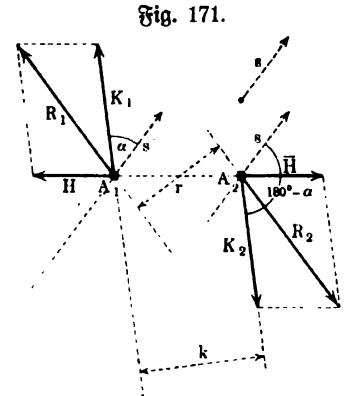


und $[K_2]$ stehen, so sind schon hier vier verschiedene Fälle zu unterscheiden, welche Fig. $170\,\mathrm{a}$, b, c, d darstellt.

a) Die Geraden, auf welchen die Kräfte liegen, schneiden sich. Verschiebt man die Kräfte auf ihren Geraden, so daß deren Schnittpunkt gemeinsamer Angriffspunkt wird, so ist an diesem eine Vereinigung der Kräfte möglich. Wan erhält eine, auf ihrer Geraden bewegliche Resultante R.

Der Momentensatz gilt weiter, wie leicht ersichtlich, ebenso der Arbeitssatz zunächst für Verschiebungen der Ebene und dann auch (mit Rücksicht auf den Momentensatz) für Drehungen der Ebene.

- b) Die Kräfte sind gleichsinnig=parallel. Das Bersahren der Fig. 82 sührt zu einer Resultante vom Werte $K_1 + K_2$, welche mit $[K_1]$ und $[K_2]$ gleichsinnig=parallel ist und die Verbindungsgerade der Angriffspunkte A_1 und A_2 innerlich im umgekehrten Kraftverhältnisse (vergl. Fig. 79) teilt. Wendet man den Momentensatz und den Arbeitssatz auf die Kräfte in A und in B und in O' der Fig. 82 an, so zeigt sich bei Addition der drei entsprechenden Gleichungen, daß beide Sätze weiter in Geltung sind.
- c) Die Kräfte sind gegensinnig=parallel und von verschiedenem Werte. Das Verfahren der Fig. 81 führt zu einer Resultante vom Werte $K_1 K_2$,



welche die Richtung der größeren Kraft hat und die Verbindungsgerade der Angriffs= punkte A_1 und A_2 äußerlich im umge= kehrten Kraftverhältnisse (vergl. Fig. 78) teilt; der Teilpunkt liegt stets auf der Seite der größeren Kraft.

Momentensatz und Arbeitssatz gelten weiter, wie unter b).

d) Die Kräfte sind gegensinnig=parallel und von gleichem Werte. Das Versahren der Fig. 81 führt (vergl. auch § 49) nicht zu einer Resultante, es entstehen dabei vielmehr stets wiederum zwei gegensinnig= parallele Kräfte von gleichem Werte, wie

Fig. 171 zeigt. Wendet man den Momentensatz bei beliebiger Lage des Drehpunktes auf die Kräfte in A_1 und in A_2 an, so erhält man, falls man das Moment von [K] kurz durch M_K bezeichnet:

$$M_H + M_{K_1} = M_{R_1}$$

 $M_{\overline{H}} + M_{K_2} = M_{R_2}$

Durch Addition ergiebt sich, da $M_H + M_{\overline{H}} = 0$ ist:

$$M_{K_1} + M_{K_2} = M_{R_1} + M_{R_2}.$$

Bezeichnet man den Abstand von $[K_1]$ und $[K_2]$, deren Wert K heißen mag, durch k und den Abstand von $[R_1]$ und $[R_2]$, deren Wert R heißen mag, durch r, so ist, wie Fig. 142 zeigt:

$$M_{K_1} + M_{K_2} = -K.k$$
 und $M_{R_1} + M_{R_2} = -R.r$

und demnach gilt für jeden Drehpunkt:

$$K.k = R.r.$$

§ 58.]

Die Arbeit bei einer Verschiebung [s] der Ebene in sich, innerhalb welcher $[K_1]$ und $[K_2]$ unbeweglich sind, hat für $[K_1]$ den Wert $K_1 s \cos \alpha$ und für $[K_2]$ den Wert $K_2 s \cos (180^\circ - \alpha)$, wie Fig. 171 zeigt, so daß die entsprechende Arbeitssumme den Wert Null hat.

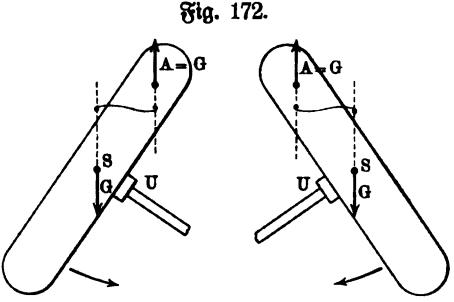
Für eine Drehung um ε hat die Arbeit den Wert (Kk) arc ε und zwar für jeden Drehpunkt.

Da sich in diesem Falle d) (Drehung) ganz andere Beziehungen ergeben, als in den Fällen a), b), c) (Verschiebung), so zeichnet man diesen Fall den drei anderen Fällen gegenüber ganz besonders aus. Man nennt die Kräfte $[K_1]$ und $[K_2]$ in ihrer Vereinigung ein Kräftepaar (Drehling, Drehpaar) und bezeichnet den Abstand k als dessen Arm oder Breite.

Beispiele für Kräftepaare: Die Drucke der beiden Hände an dem Duersholz eines großen Bohrers oder dem Hebel eines Schraubstocks. Fig. 172 zeigt die Kräftepaare eines pendelnden Körpers, dessen horizontale Achse bei A durchtritt, für einen Ausschlag nach links und für einen Ausschlag nach rechts. Dem Gewichte G des Körpers, welches sich im Schwerpunkte S vers

dichtet, entspricht die Reaktion der Achse A = G, falls der Körper zusnächst durch eine Stütze U im Gleichsgewichte gehalten wird. Bei Wegsfall der Stütze leitet das Kräftepaar der linken Figur eine Gegendrehung zum Uhrzeiger, das Kräftepaar der rechten Figur eine dem Uhrzeiger entsprechende Drehung ein.

Bei der Umformung, welche in den Fällen 1, 2 und 3 zu einer



Resultante führte, geht das gegebene Kräftepaar stets wiederum in ein Kräfte= paar über. Dabei behält das Produkt aus Kraft und Arm (K,k) denselben Wert, man bezeichnet es deshalb als das Moment des Kräftepaares und zwar mit der üblichen Vorzeichenbestimmung.

Ein Vergleich der Fälle 3 und 4 zeigt, daß man im Falle 4 von einer, in unendlicher Ferne gelegenen Resultante von unendlich kleinem Werte sprechen kann, deren Woment also für jeden, im Endlichen gelegenen Drehpunkt die Form $0.\infty$, eine Verschleierung von K.k, annehmen würde, während ihre Arbeit für jede endliche Verschiebung Null wäre.

Für Anwendungen tritt im Falle 4 an die Stelle des Momenten= sages der Saz, daß das Moment eines Kräftepaares bei allen seinen Um= formungen denselben Wert behält, und an die Stelle des Arbeitssazes der Saz, daß die Arbeit eines Kräftepaares vom Momente Mo für jede endsliche Verschiebung den Wert Kull und für jede Drehung um ε den Wert Mo. $arc \varepsilon$ hat.

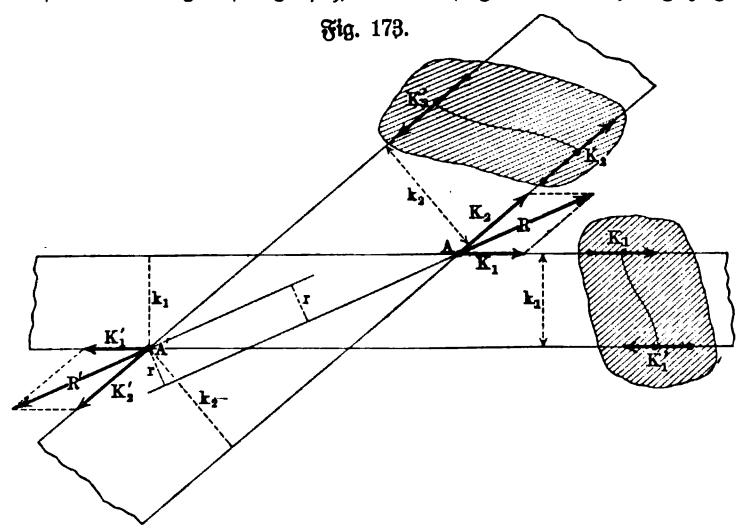
Tritt zu den beiden Kräften $[K_1]$ und $[K_2]$ eine dritte Kraft $[K_3]$ hinzu, so führt jeder der vier Fälle wieder zu neuen Einteilungen je nach der Lage von K_3 u. s. s.

Infolgedessen muß man sich nach anderen Verfahren für die Behandlung Wernicke, Mechanik. I.

von n solchen Kräften umsehen; es giebt dafür sowohl eine befriedigende Konstruktion als auch eine befriedigende rechnerische Lösung.

Dabei spielt die Behandlung von Krästepaaren gelegentlich eine Kolle. Die vorstehenden Betrachtungen legen schon die Vermutung nahe, daß an einem Krästepaare lediglich sein Moment das Wesentliche ist, daß also im besondern Krästepaare von gleichen Momenten einander ersezen können und daß sich mehrere Krästepaare zu einem Krästepaar zusammenfassen lassen, bessen Koment der (algebraischen) Summe der Momente der einzelnen Paare gleich ist.

Diese Bermutung bestätigt sich, wie die folgende Betrachtung zeigt.



Die beiden Geraden, auf denen die beiden Kräfte eines Paares beweglich sind, zerlegen die Ebene in drei Teile, von denen der innere als • Streifen des betreffenden Paares bezeichnet werden mag.

Es gilt zunächst:

Lehrsatz I. Zwei Kräftepaare, deren Streifen sich schneiden, lassen sich durch ein Kräftepaar ersetzen, und zwar ist das Moment des resultierenden Paares (Mittelpaares) gleich der (algebraischen) Summe der Momente der komponierenden Paare (Seitenpaare).

Berschiebt man die Kräfte der, in Fig. 173 ursprünglich in der schrafsfierten Lage gegebenen Paare an die Punkte A und A', so lassen sich $[K_1]$ und $[K_2]$ zur Resultante [R] und $[K'_1]$ und $[K'_2]$ zur Resultante [R'] zus sammenfassen, welche wieder ein Paar bilden. Wendet man den Momentensat sür A' als Drehpunkt an, so liefert die Gruppe der Kräfte von A' keinen Beitrag, da jede Kraft dieser Gruppe durch A' geht. Man hat also:

$$(+ K_1 k_1) + (- K_2 k_2) = (- R r).$$

Da die Größen dieser Gleichung nicht bloß die Momente der Kräfte in A für A' als Drehpunkt darstellen, sondern auch die Momente der in Rede stehenden Paare, so ist unser Satz bewiesen.

§ 58.]

Man überzeugt sich leicht, daß diese Betrachtung allgemein gilt.

Folgerung 1. Zwei Kräftepaare von entgegengesetzegleichen Momenten, deren Streifen sich schneiden, heben sich auf.

Da nach Voraussetzung die linke Seite der Gleichung von I den Wert Kull hat, so ist Rr=0, d. h. es ist r=0, da R nicht verschwindet. Hier werden also [R] und [R'] Gegenkräfte.

Folgerung 2. Jedes Kräftepaar läßt sich beliebig in seiner Ebene ver= rücken und auch durch ein beliebiges anderes Paar ersetzen, salls nur das Moment dasselbe bleibt.

Zwei Kräftepaaren I und II von gleichem Momente in beliebiger Lage läßt sich stets ein Kräftepaar III von entgegengesetzesleichem Momente (und zwar auf unendlich viele Weisen) so zuordnen, daß dessen Streisen die Streisen jener beiden schneibet. Da I und III sich zerstören und da II und III sich zerstören nach Folgerung 1, so bestimmen I, II und III zusammen ebensom wohl II als I, d. h. I und II sind gegenseitig=ersesbar, und es läßt sich I als eine Verrückung bezw. Umwandlung von II aufsassen, und umgekehrt.

Folgerung 3. Zwei Kräftepaare lassen sich stets durch ein Kräftepaar ersetzen, und zwar ist das Moment des Mittelpaares gleich der (algebraischen) Summe der Seitenpaare.

Durch Folgerung 2 wird die Beschränkung der Lage vom Lehrsatz I aufgehoben.

Lehrsatz II. Beliebig viele Kräftepaare lassen sich stets durch ein Kräftepaar ersetzen, und zwar ist das Moment des Mittelpaares gleich der (algebraischen) Summe der Seitenpaare.

Man vereinigt erst zwei Paare zu einem, mit diesem das dritte u. s. s. und zeigt, daß die Art der Zusammenfassung das Fig. 174. Ergebnis (Summe!) nicht beeinflußt. Der Sonder= fall, in dem die Summe den Wert Null erhält,

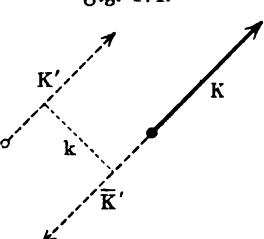
Für die graphische Addition giebt man allen Paaren entweder dieselbe Kraft P oder denselben Arm p, d. h. man löst für jedes Paar Kk entweder die Ausgabe $Kk = P \cdot x$, d. h. $P \cdot K = k \cdot x$ oder die Ausgabe $Kk = X \cdot p$, d. h. $p \cdot k = K \cdot X$.

entspricht dem Gleichgewichte der Paare.

Lehrsatz III. Ein Kräftepaar und eine Kraft (in dessen Ebene) tilgen sich niemals, ihre Vereinigung liefert vielmehr eine Kraft, welche sich als eine bestimmte Parallelverschiebung der ursprünglich gegebenen Kraft auffassen läßt.

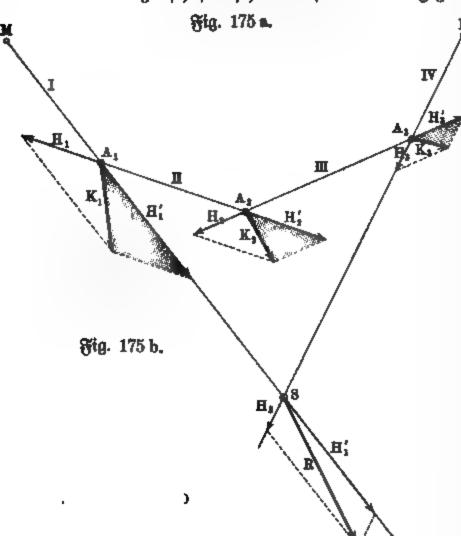
Bildet man das gegebene Paar vom Momente Mo mit Kräften vom Werte K der gegebenen Kraft [K], so ist der Arm k bestimmt durch die Gleichung Kk = Mo. Zeichnet man das Paar, wie Fig. 174 zeigt, so, daß die Kraft [K] durch eine der Kräfte $[\overline{K'}]$ des Paares aufgehoben wird, so bleibt die Kraft [K'] übrig, welche mit [K] in Wert und Richtung überseinstimmt, aber um k gegen diese verschoben erscheint.

Folgerung. Umgekehrt läßt sich eine Kraft [K'] um k verschieben, so daß [K] entsteht, falls man das Paar aus den Gegenkräften von [K'] und $[\overline{K'}]$



ober ein Paar von gleichem Momente zusett. Während eine Kraft auf ihrer Geraden beweglich ist, erforbert jebe andere Berschiebung dieser Geraden den Zusag eines Paares, ebenso wie die Drehung den Zusag einer . Kraft ersorbert.

59. Rouftruttive (graphische) Behandlung ber Aufgabe bes § 58; Enlmanns graphostatische Rouftruttion. Fig. 175 ftelle ein Seil bar,



non $[K_1]$, $[K_2]$, $[K_8]$ ift.

welches bei M und N befestigt ist und in den Punkten A_1 , A_2 , A_3 bezw. durch die Kräfte K_1 , K_2 , K_3 angegriffen wird, und zwar so, daß eine Beswegung des Seiles aussgeschlossen ist.

Berlegt man Strafte K_1 , K_2 , K_3 bezw. nach den Richtungen der Seilstude in A1, A2, A3, wie es Fig. 175a zeigt, so sind $[H_1]$ und $[H_2]$ ebenso wie $[H_2]$ und $[H_{\mathfrak{s}}']$ Gegenkräfte, weil sich die Seilstücke II und III in Ruhe befinden, wahrend $[H_1]$ burch die Befestigung in M und $[H_8]$ durch die Befestigung in N aufgehoben wird. Das Syftem $[K_1]$, $[K_2]$, [K3] wird durch die Ber-

legung zurückgeführt auf das System $[H_1]$, $[H_3]$, für welches an deren Schnittpunkte S Resultantenbildung eintreten kann, so daß [R] die Resultante

Bildet man durch Berschiebung aus den schraffierten Dreieden bei A_1 , A_2 , A_3 die Jig. 175 b, so sind die Streden O0, O1, O2, O3 bezw. parallel zu den Seilstüden I, II, III, IV und stellen der Reihe nach die Kraftwerte H'_1 , H_1 und H'_2 , H_3 und H'_3 , H_3 dar, während O3 sowohl die Resultante von $[K_1]$, $[K_2]$, $[K_3]$, als auch die Resultante von $[H'_1]$ und $[H_3]$ darstellt, welche auch im Punkt S der Fig. 175 a gezeichnet ist.

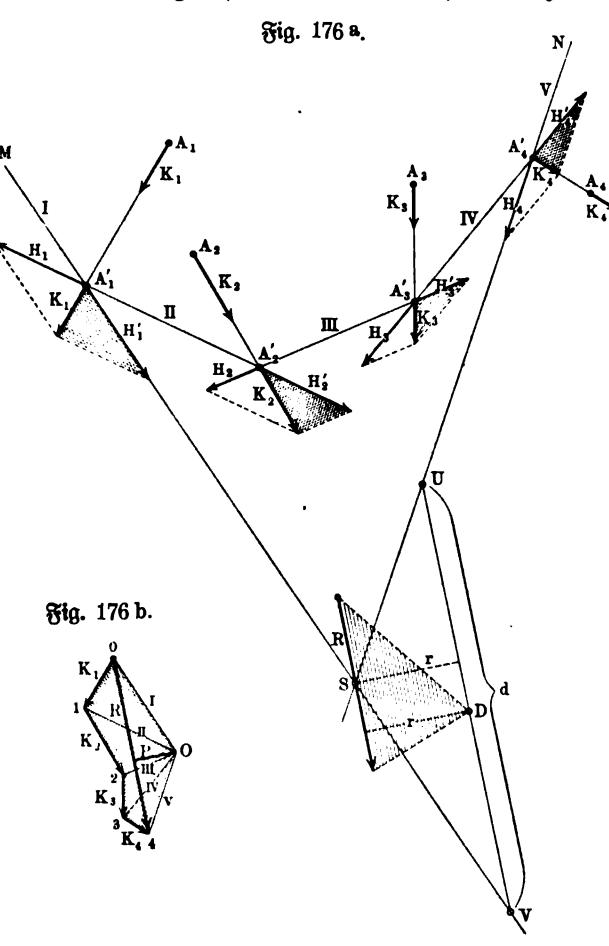
Die Gegenkräfte von $[H'_1]$ und $[H_3]$, welche als Reaktionen in M und N auftreten, stehen mit der Resultante [R] im Gleichgewichte.

Culmanns graphostatische Konstruktion besteht nun darin, daß man die gegebenen Kräfte mit zerstreuten Angriffspunkten stets als solche Kräfte an einem Seile ansieht und dieses gemäß Fig. 175 b in die Figur, welche Fig. 175 a entspricht, einzeichnet.

Man bildet dazu zunächst (vergl. Fig. 175 b) aus den gegebenen Krästen $[K_1]$, $[K_2]$, ..., $[K_n]$ das Polygon 0 1 2 ... n, welches Krastpolygon oder Krasteck heißt, und schließt es, salls es sich nicht von selbst schließt, durch die Strecke 0 n, wählt dann einen beliebigen Punkt 0 der Ebene als Pol aus und zieht durch diesen die Polstrahlen 0 0, 0 1, 0 2, ..., 0 n. Ferner zieht man (vergl. Fig. 175 a) von einem beliebigen Punkte M aus eine Parallele zu

00, welche die Gerade der ersten Kraft $[K_1]$ in A'_1 schneibet, zieht durch A'_1 eine Parallele zu O1, welche die Gerade der zweiten Kraft $[K_2]$ in A'2 schneidet u. s. f., bis man zu der Parallele durch A'n zu On gelangt, welche für das Seil= polngon ober Seiled $M A'_1 A'_2 \ldots A'_n N$ bas lette Stud A', N liefert. Die offenen Enden MA'i und NA'_n des Seilecks schneiden sich in einem Punkte S, wenn 00 und On der Fig. 175 b nicht aufeinander fallen; durch ihn geht die Resultante [R] des Kräftesystems, welche durch die Strecke 0n in Fig. 175b der Größe und Richtung nach geliefert wird.

Diese Konstruktion ist in Fig. 176 für vier Kräfte (n = 4) dargesstellt; schiebt man die Kräfte auf ihren Geraden bezw. von A_1 nach A'_1 , von A_2 nach A'_2 u. s., s.,



so entspricht die Fig. 176 genau der Fig. 175. Es liesert 0 O die Kraft $[H'_1]$, O 1 die Kraft $[H_1]$ und 1 O die Kraft $[H'_2]$, u. s. w.

Solange der Punkt S als ein, im Endlichen gelegener Schnittpunkt vor= handen ist, hat das Kräftesystem eine Resultante; dies ist stets der Fall, solange sich das Krafteck der Fig. 176 b nicht von selbst schließt.

Schließt sich das Krafteck der Fig. 176 b von selbst, so daß n auf 0 fällt, so fallen auch 00 und 0n auseinander und deshalb sind die offenen Enden des Seilecks parallel. Während die Resultante 0n den Wert Null

hat, treten in den offenen Enden des Seilecks die gleichen und entgegengesetzt gerichteten Kräfte 0 O und On auf, welche ein Kräftepaar bilden, falls die entsprechenden Seilenden nicht den Abstand Rull haben.

Demgemäß sind folgende Fälle zu unterscheiden:

- I. Das Krafteck ist offen: das Kräftesystem führt auf eine Resultante R.
- II. Das Krafteck ist geschlossen und das Seileck ist offen: das Kräfte=
 system führt auf ein Kräftepaar.
- III. Das Kraftect ist geschlossen und das Seilect ist geschlossen: das Kräftesystem führt weder auf eine Resultante, noch auf ein Kräftepaar, d. h. es zerstört sich in sich selbst (Gleichgewicht).

Besonders hervorgehoben werden muß, daß in Fig. 175 das Seileck einem wirklichen Seile entspricht, in welchem die einzelnen Seilstücke durch Gegenkräfte gezogen werden, während bei der Konstruktion der Fig. 176 im Seileck auch Seiten auftreten können, welche durch Gegenkräfte gedrückt werden. Solche Seiten müßte man sich durch Stangen veranschaulichen, da Seilstücke unter dem Drucke von Gegenkräften nicht im Gleichgewichte sind. Diese Beranschaulichung könnte man auch auf die Seiten ausdehnen, welche unter dem Juge von Gegenkräften stehen, so daß es zweckmäßiger wäre, überhaupt statt des Seilpolygons ein Polygon von eingelenkten Stangen mit Knotenbelastung der Beranschaulichung zu Grunde zu legen und von einem Stangenpolygon bezw. Stangeneck zu sprechen, statt von einem Seilpolygon bezw. Seileck. Sieht man von der Beranschaulichung von Fall zu Fall ab, so kann man natürlich auch an dem Namen "Seileck" seikhalten.

Die verschiedenen möglichen Lagen des Poles und des Seilecks geben zu mannigsachen Untersuchungen Beranlassung. Hier mag nur auf die bessonderen Beziehungen hingewiesen werden, welche entstehen, wenn man den Pol in den Angriffspunkt der ersten Kraft legt; das erste Seilstück wird dabei ein Punkt, dem in der Hauptsigur irgend ein Punkt der ersten Kraft entsspricht, das zweite Seilstück erhält die Richtung der ersten Kraft, das dritte die Richtung der Mittelkraft aus der ersten und zweiten Kraft, das vierte die Richtung der Mittelkraft aus den ersten drei Kräften u. s. f. Ein solches Seileck heißt Mittelkraftlinie.

Man überzeugt sich leicht, daß der Momentensatz weiter gilt, falls eine Resultante vorhanden ist. Bezeichnet man wieder für einen beliebigen Drehpunkt das Moment von K kurz durch M_K , so gilt für die Angrisspunkte A_1 , A_2 , A_3 in Fig. 175

$$M_{K_1} = M_{H_1} + M_{H'_1}$$
 $M_{K_2} = M_{H_2} + M_{H'_2}$
 $M_{K_3} = M_{H_3} + M_{H'_3}$

und man erhält durch Abdition

$$M_{K_1}+M_{K_2}+M_{K_3}=M_{H'_1}+M_{H_3}.$$
 If das Krafteck offen, so gilt ferner für den Angriffspunkt S $M_{H'_1}+M_{H_3}=M_R$ d. h. $M_{K_1}+M_{K_2}+M_{K_3}=M_R.$

Ist das Krafteck geschlossen, so stellt $M_{H_1}+M_{H_8}$ das Moment des resultierenden Paares dar, salls nicht H_1' und H_3 Gegenkräfte sind.

Demgemäß erweitert sich der Momentensatz zu folgender Form: Die (algebraische) Summe der Momente der Kräfte ist gleich dem Momente der resultierenden Kraft bezw. gleich dem Momente des resultierenden Paares.

Jene Summe ist für jeden Drehpunkt Null, wenn weder eine resul= tierende Kraft noch ein resultierendes Paar vorhanden ist (Gleichgewicht).

Eine geeignete graphische Bestimmung des Momentes für den Fall einer Resultante zeigt Fig. 176. Für Punkt D als Drehpunkt ist zunächst — rR das Moment des Kräftesystems, welches durch die doppelte schraffierte Dreieckssläche von der Basis [R] dargestellt wird. Zieht man durch D eine Parallele zu [R], auf welcher die offenen Seiten des Seilecks das Stück UV = d bestimmen, so sind ΔSVU in der Hauptsigur und $\Delta O04$ in der Nebensigur einander ähnlich. Fällt man noch von O auf [R] ein Lot P (Poldistanz), so gilt r:d=P:R,

b. h.

rR = dP.

Danach stellt auch — dP bas Moment des Kräftespstems dar.

Ebenso läßt sich der Arbeitssat übertragen, wobei zu bedenken ist, daß ein Paar vom Moment Mo bei Verschiebungen die Arbeit Null und bei Drehungen (ε) die Arbeit Mo. arc ε leistet.

Aus virtuellen Verrückungen kann man hier folgendermaßen mit Hülfe des Arbeitssates auf das Gleichgewicht des Kräftesystems schließen.

Ist die Arbeit für eine Verschiebung Rull, so muß eine etwa vorshandene Resultante senkrecht zur Richtung der Verschiebung stehen, d. h. es kann eine derartige Resultante oder auch ein Paar vorhanden sein. Hat die Arbeit auch sür eine zweite Verschiebung, welche nicht die Richtung der ersten hat, den Wert Null, so müßte eine etwa vorhandene Resultante auf beiden Verschiebungsrichtungen senkrecht stehen, was unmöglich ist, d. h. es kann keine Resultante, wohl aber ein Paar vorhanden sein. Hat die Arbeit auch noch sür eine Drehung den Wert Rull, so ist auch das Vorhandenssein eines Paares ausgeschlossen, d. h. es herrscht Gleichgewicht.

Auch mit Hülfe des Momentensatzes kann man auf das Gleich= gewicht schließen.

Hat das Moment für einen Drehpunkt A den Wert Null, so kann kein Paar vorhanden sein, wohl aber eine Resultante, welche A schneidet. Hat das Moment auch für einen zweiten Drehpunkt den Wert Null, so kann eine Resultante vorhanden sein, welche durch A und B geht. Hat das Moment noch für einen dritten Drehpunkt C, welcher mit A und B nicht in einer Seraden liegt, den Wert Null, so ist auch das Vorhandensein einer Resultante, welche durch A, B, C gehen müßte, ausgeschlossen, d. h. es herrscht Gleichgewicht. Die Bedingungen des Gleichgewichts sind also:

- 1. Schluß des Kraftecks und des Seilecks in der graphostatischen Konstruktion.
- 2. Nullwerden der Arbeit für zwei virtuelle Verschiebungen und eine virtuelle Drehung.
 - 3. Rullwerden der Momente für die Eden eines Dreiecks.

60. Rechnerische Behandlung der Aufgabe des § 58. Man versschiebt alle Kräfte, unter Hinzufügung der entsprechenden Kräftepaare (vergl. Fig. 174) an den Nullpunkt eines rechtwinkligen Koordinatensystems, wie es

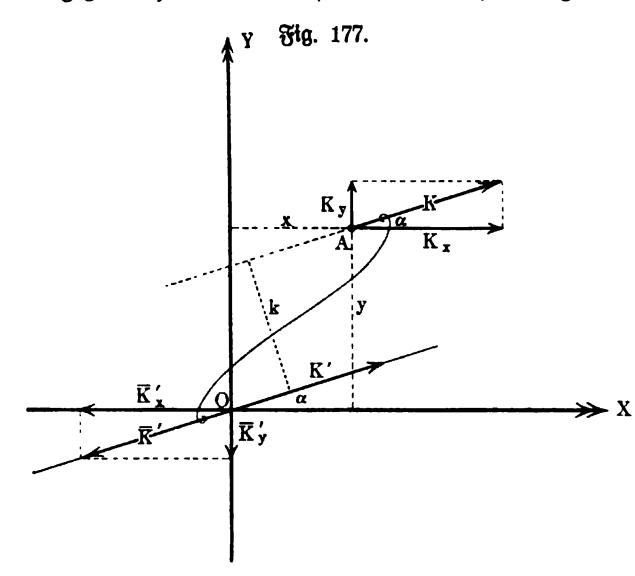


Fig. 177 für eine Kraft [K] zeigt. Durch O ist eine Parallele zu der in A angreisenden Krast [K] gelegt und auf dieser Parallelen sind die Gegensträfte [K'] und $[\overline{K'}]$ angebracht vom Werte [K], so daß die in O angreisende Kraft [K'] und daß Paar auß [K] und $[\overline{K'}]$ die in A angreisende Kraft [K] ersett.

Um das Moment des Paares zu berechnen, zerlegt man am besten [K] und $[\overline{K'}]$ nach den Achsen, so daß zwei Paare, $[K_x]$ und $[\overline{K'_x}]$ am Arm

y und $[K_y]$ und $[\overline{K_y'}]$ am Arm x entstehen, deren Momente bezw. $+ K_x$. y und $- K_y$. x sind. Das Paar hat demnach (vergl. S. 323) das Moment

$$Mo = + K_x \cdot y - K_y \cdot x$$

und dabei ist

$$K_x = K \cos \alpha$$

und

$$K_y = K \sin \alpha$$
.

Es sei nun ein System von Kräften gegeben nach folgendem Schema:

Werte der Kräfte
$$K_1$$
, K_2 , . . . , K_n
Neigung gegen die X=Achse . . . α_1 , α_2 , . . . , α_n
Koordinaten der Angriffspunkte (x_1, y_1) , (x_2, y_2) , . . . , (x_n, y_n) .

Wendet man das Verfahren der Fig. 177 auf jede dieser Kräfte an, so entsteht:

- 1. ein System von Kräften $[K'_1]$, $[K'_2]$, ..., $[K'_n]$ in O,
- 2. ein System von Paaren aus $[K_1]$ und $[\overline{K_1'}]$ u. s. w.

Da die Kräfte der Nr. 1 den selben Angriffspunkt O haben, so bestimmt sich ihre Resultante R nach dem Ansake:

$$X = K_1 \cos \alpha_1 + K_2 \cos \alpha_2 + \cdots + K_n \cos \alpha_n$$

$$Y = K_1 \sin \alpha_1 + K_2 \sin \alpha_2 + \cdots + K_n \sin \alpha_n$$

$$R^2 = X^2 + Y^2, \quad \cos \alpha = \frac{X}{R}, \quad \sin \alpha = \frac{Y}{R}$$

$$(96)$$

Das resultierende Paar von Nr. 2 hat (vergl. S. 328) das Moment $\Sigma (K_p \cos \alpha_p y_p - K_p \sin \alpha_p x_p) =$

$$Mo = (K_1 \cos \alpha_1 y_1 - K_1 \sin \alpha_1 x_1) + (K_2 \cos \alpha_2 y_2 - K_2 \sin \alpha_2 x_2) + \cdots + (K_n \cos \alpha_n y_n - K_n \sin \alpha_n x_n)$$

$$(87)$$

und ist gemäß dem Werte und dem Vorzeichen von Mo leicht graphisch dars zustellen.

Die allgemeine Gültigkeit der Formeln bei beliebiger Lage der Kräfte folgt für Nr. 1 aus den früheren Betrachtungen, für Nr. 2 aus der Besmerkung, daß die rechte Seite der Gleichung für Mo genau so gebildet ist, als wenn für die gegebenen Kräfte in Bezug auf den Drehpunkt O nach dem Momentsaße das Moment der Resultante gebildet werden sollte, an dessen Stelle hier Mo tritt.

Demgemäß sind folgende Fälle zu unterscheiden:

- 1. R und Mo sind von Null verschieden (Verschiebung).
- 2. R ist von Null verschieden und Mo = 0 (Verschiebung).
- 3. R = 0 und Mo ist von Null verschieden (Drehung).
- 4. R = 0 und Mo = 0 (Gleichgewicht).

Der Fall 1 läßt sich gemäß Fig. 174 auf Fall 2 zurücksühren, man hat Mo darzustellen als R. r, so daß $r=\frac{Mo}{R}$ ist, d. h. man erhält eine Resultante [R'] vom Werte R, welche gegen die ursprünglich gefundene Resultante [R] vom Werte R um r verschoben ist.

Ist (ξ, η) ein Punkt der Resultante [R'], so läßt sich Mo = Rr auch darstellen als $R\cos\alpha$. $\eta - R\sin\alpha$. ξ , d. h. die Gleichung der Geraden, auf der [R'] liegt, lautet

$$R\cos\alpha$$
. η — $R\sin\alpha$. ξ = Mo

oder auch

$$X\eta - Y\xi = Mo$$
,

wobei

$$X = \sum K_p \cos \alpha_p$$
, $Y = \sum K_p \sin \alpha_p$

und

$$Mo = \sum (K_p \cos \alpha_p y_p - K_p \sin \alpha_p x_p)$$

ist.

Unter den Punkten dieser Geraden zeichnet man gelegentlich als Mittel= punkt des Kraftsystems den Punkt (ξ_0, η_0) aus, für welchen

$$\xi_0 = \frac{\sum K_p \sin \alpha_p x_p}{\sum K_p \sin \alpha_p}$$

und

$$\eta_0 = \frac{\sum K_p \cos \alpha_p y_p}{\sum K_p \cos \alpha_p}$$

ist.

Sind alle Kräfte gleichsinnig=parallel, so ist $\alpha_1=\alpha_2=\ldots \alpha_n$ und man hat:

$$\xi_0 = rac{\sum K_p \, x_p}{\sum K_p}$$
 und $\eta_0 = rac{\sum K_p \, y_p}{\sum K_p}$,

d. h. man gelangt zurück zu der Bestimmung der Formel Nr. 66.

Hätte man den Anfangspunkt O des Koordinatenkreuzes von vornherein auf die Gerade von [R'] gelegt, so wäre man sofort zu Fall 2 gekommen, anstatt zu Fall 1.

Daß man diese Lage von vornherein nicht bestimmen kann, muß als ein Nachteil dieses Verfahrens bezeichnet werden, gegenüber der graphostatischen Konstruktion, welche die drei vorhandenen Fälle ohne weiteres erkennen läßt.

Jedenfalls hat man zu beachten, daß die Zurückführung des Kräftessystems auf eine Kraft oder auf ein Paar abhängig ist von der Wahl des Punktes O, welcher Zurückführungspunkt genannt werden kann, daß aber alle möglichen Zurückführungen insofern wieder gleichwertig sind, als sie dasselbe System darstellen.

Die Bedingungen des Gleichgewichtes R=0 und Mo=0 lassen sich wiederum auflösen in:

$$X = 0$$
, $Y = 0$, $M_0 = 0$,

d. h. man hat hier (vergl. S. 327) als Bedingungen:

Nullwerden der Summe der Kraftkomponenten für die X=Achse und für die Y=Achse und Nullwerden der Drehung für deren Durchschnitt bezw. über= haupt für einen beliebigen Punkt der Ebene.

61. Kräfte im Raume mit zerstrenten Angrisspunkten und Kräftespaare im Raume. Da jede Bewegung eines starren Körpers auf elementare Schraubungen (vergl. S. 117 und S. 136) zurückgeführt werden kann, so kann die Wirkung eines beliebigen, einen starren Körper angreisenden Kräftesspstems höchstens einer solchen Schraubung entsprechen, d. h. es muß sich auf eine Kraft [R], die einer Verschiebung entspricht, und auf ein Krästepaar [Mo], dem eine Drehung entspricht, zurücksühren lassen und zwar so, daß die Ebene des Paares auf der Geraden der Kraft senkrecht steht; diese Gerade heißt auch hier Centralachse.

Daß ein Kräftespstem anderseits im allgemeinen auf unendlich = viele Arten aus eine Kraft und auf ein Kräftepaar, dessen Sbene die Gerade der Kraft nicht unter rechtem Winkel schneidet, zurückgeführt werden kann, folgt aus den Betrachtungen über Bewegungen starrer Körper, welche der Darsstellung der Schraubung vorausgingen.

Eine Kraft [R] und ein Kräftepaar stellen zusammen zunächst drei Kräfte dar, man kann aber diese drei Kräfte auf zwei windschiese Kräfte zurücksühren, d. h. auf zwei Kräfte, die auf sich kreuzenden Geraden liegen; man hat dazu nur die Kraft auf ihrer Geraden und das Paar in seiner Ebene so zu verschieben, daß die Kraft [R] mit einer der Kräfte des Paares zu einer Mittelkraft zusammengesast werden kann. Neben die Kraft (Verschiebung) und neben das Kräftepaar (Drehung) tritt also hier das System zweier windschieser Kräfte (Schraubung), welches bei Zusak von Gegenskräften stells wieder ein solches System bleibt 1).

Sollen drei Kräfte im Raume sich zerstören, so muß die eine die Mittelkraft der beiden anderen sein, d. h. diese beiden müssen in einer Ebene

¹) Die thatsächliche Bewegung wird außerdem auch durch die Massen= verteilung des Körpers bestimmt.

liegen und kein Paar darstellen und in dieser Ebene muß auch die britte Kraft liegen. Man kommt also zurück auf drei Krafte in einer Ebene, deren Geraden durch einen Punkt (ber auch unendlich fern sein kann) gehen.

Demnach unterliegen die Kräfte im Raume, falls sie im Gleiche gewichte stehen sollen, dem Sape der drei Bektoren (vergl. S. 30), welcher hier als Say der drei Kräfte bezeichnet wird.

Für eine genauere Betrachtung eines raumlichen Rraftspftems ift es zwedmaßig, zunächst die Sätze über Kräftepaare zu erganzen.

Fig. 178.

Lehrsatz I. Zwei Kräftepaare von entgegengesetzgleichem Moment, welche in Parallelebenen liegen, heben sich auf.

Nachdem man die Paare in ihren Ebenen so umgeformt hat, daß sie kons gruente Parallelogramme darstellen, giebt man ihnen die in Fig. 178 dars

gestellte Lage, so daß durch ents sprechende Verbindung ein Parallels epipedon entsteht. Die Resultante $[K_1 + K_2]$ von $[K_1]$ und $[K_2]$ und die Resultante $[\overline{K_1} + \overline{K_2}]$ von $[\overline{K_1}]$ und $[\overline{K_2}]$ zerstdren sich gegenseitig, wie Fig. 178 zeigt.

Folgerung 1. Die Ebene eines Paares darf mit diesem im Naume beliebig verschoben werden.

Folgerung 2. Paare in parsallelen Ebenen lassen sich vereinigen, als wenn sie in einer Ebene lägen, parallel zu den gegebenen.

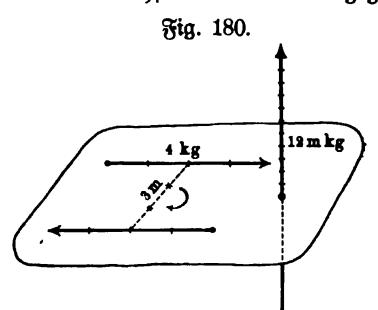
Lehrsag II. Zwei Kräftes paare, beren Ebenen sich schneiden, laffen sich zu einem Kräftepaar vers einigen. Sig. 179.

Nachbem man die Paare in ihren Ebenen fo umgeformt hat, daß fie benfelben Arm & haben, bewegt man fie in ihren Ebenen fo, daß eine Strede k der Schnittgeraden AB ihrer Ebenen für sie gemeinsamer Arm wird, wie es Fig. 179 (a. v. S.) zeigt. Der Ersatz der beiden Paare durch ein Paar von den Kräften [R] und $[\overline{R}]$ und dem Arme h ist unmittelbar ersichtlich.

Die Bereinigung, welche Lehrsat II zeigt, wird deutlicher, wenn man die Momente der Kräftepaare als Richtungsgrößen einführt, wie früher die Drehungen und Winkelgeschwindigkeiten (vergl. S. 129 u. f.). Dazu errichtet man auf der einen Seite der Ebene eines Kräftepaares ein Lot, dessen Länge der Maßzahl des Momentes entspricht, und zwar so, daß man, in dem Lot auf der Ebene stehend, die Drehung des Kräftepaares als Uhrzeigerbewegung sehen würde; man nennt solche Lote Achsen momente oder Moment= streden (vergl. Fig. 180).

Errichtet man nun in einem Punkte P der Geraden AB in der Fig. 179 auf den Ebenen I und II die zugehörigen Achlenmomente von der Länge K_1h und K_2h , so bilden diese als Lote der Ebenen I und II denselben Winkel, wie die Ebenen, d. h. der Winkel zwischen $[K_1]$ und $[K_2]$ und der Winkel zwischen $[K_1h]$ und $[K_2h]$ sind einander gleich. Demnach ist das Parallelos gramm aus den Achsenmomenten $[K_1h]$ und $[K_2h]$ eine ähnliche Abbildung des Parallelogramms aus den Arästen $[K_1]$ und $[K_2]$ und zwar nach dem Wodul h:1. Infolgedessen hat die in P entspringende Diagonale des Parallelos gramms der Achsenmomente die Länge Rh und stellt, da sie auf Ebene III sinngemäß senkrecht steht, als Richtungsstrecke aufgesaßt das Achsenmoment des resultierenden Paares dar.

Demnach kann man das resultierende Paar auch dadurch gewinnen, daß man die Achsenmomente der gegebenen Paare in irgend einem Punkte des



Raumes zum Parallelogramm vereinigt und, dessen Diagonale entsprechend, zunächst die Ebene des resultierenden Paares und dann dieses selbst konstruiert.

Der Übergang zu beliebig = vielen Paaren der betreffenden Art ist ohne weiteres ersichtlich. Da sich diese Betrach=tung auch auf Kräftepaare anwenden läßt, deren Ebenen parallel sind, so gelangt man zu solgender Zusammenfassung der Säge über Kräftepaare:

Um n Kräftepaare zu vereinigen, ersett man zunächst jedes durch sein Achsenmoment und vereinigt darauf diese n Achsen=
momente durch geometrische Addition. Der gewonnene Mittel=
vektor ist das Achsenmoment des resultierenden Paares: seine Ebene steht senkrecht auf diesem Bektor, die Maßzahl seines Momentes wird durch die Länge dieses Bektors bestimmt und
sein Drehungssinn durch den Richtungspfeil dieses Bektors.

Schließt sich das Polygon der Achsenmomente von selbst, so ist für die Paare Gleichgewicht vorhanden.

Für ein bestimmtes Achsenmoment von 12 mkg Drehung zeigt Fig. 180 die Konstruktion des zugehörigen Paares, für welches Kraft und Arm will=

kürlich ist, wenn nur das Noment 12 sestgehalten wird. Nan kann also Kräftepaare schließlich wie Kräfte behandeln, nachdem sie durch Richtungsstrecken dargestellt sind. Während aber eine Kraft nur aus ihrer Geraden beweglich ist, darf die Gerade eines Achsenmomentes außerdem auch parallel zu sich verschoben werden, weil dies ja für die entsprechende Ebene des Kräftepaares gestattet ist.

Vorstehende Betrachtungen gestatten, ein räumliches Kräftespstem mit zersstreuten Angrisspunkten auf dem Wege der Rechnung in besriedigender Weise zu behandeln. Eine konstruktive (graphische) Behandlung, welche der Culmannschen Konstruktion für die Ebene genau entspricht, ist bisher nicht gesunden worden.

- 62. Rechnerische Behandlung der Anfgabe des § 61. Das Bersahren entspricht dem im § 60 für die Ebene angewandten. Dan legt durch den Ansangspunkt O eines dreiachsigen rechtwinkligen Koordinatenspstems zu jeder Kraft [K] des Systems eine Parallele und sügt auf ihr in O die Gegensträfte [K'] und [K'] hinzu, so daß
 - 1. ein System von Rraften mit dem Angriffspuntte O entfteht und
 - 2. ein System von Kraftepaaren, entsprechend [K'] und $[\overline{K'}]$.

Das Snftem ber Rrafte fei nach folgenbem Schema gegeben:

Werte der Kräfte K_1 , K_2 , . . . , K_n , Weigung gegen die Achsen . . . $(\alpha_1, \beta_1, \gamma_1)$, $(\alpha_2, \beta_2, \gamma_2)$, . . . , $(\alpha_n, \beta_n, \gamma_n)$, Roordinaten der Angriffspunkte (x_1, y_1, z_1) , (x_2, y_2, z_2) , . . . , (x_n, y_n, z_n) .

Für Nr. 1 gilt nach ben früheren Betrachtungen:

$$X = K_1 \cos \alpha_1 + K_2 \cos \alpha_2 + \cdots + K_n \cos \alpha_n$$

$$Y = K_1 \cos \beta_1 + K_2 \cos \beta_2 + \cdots + K_n \cos \beta_n$$

$$Z = K_1 \cos \gamma_1 + K_2 \cos \gamma_2 + \cdots + K_n \cos \gamma_n$$

$$R^2 = X^2 + Y^2 + Z^2, \quad \cos \alpha = \frac{X}{R}, \quad \cos \beta = \frac{Y}{R}, \quad \cos \gamma = \frac{Z}{R}$$

$$98)$$

Für die Berechnung des Momentes des Nr. 2 entsprechenden resulties renden Kräftepaares ist wieder eine geeignete Berlegung der Kräfte, welche die komponierens den Paare bilden, eins zuführen.

Stellt die Kraft [K]im Punkte A eine der Kräfte der Reihe dar, deren Komponenten nach den Achsen $[K_x]$, $[K_y]$, The Signal of the State of the

 $[K_s]$ find, so gehört zu ihr im Buntte O eine Kraft $[\overline{K'}]$, deren entsprechende Komponenten $[\overline{K'_x}]$, $[\overline{K'_y}]$, $[\overline{K'_z}]$ sind.

ί,

Ł

Х

In Fig. 181 (a. v. S.) ist nur die Komponente $[K_x]$ in A und $[\overline{K}'_x]$ in O eingezeichnet. Anstatt das in der einen Diagonalebene des Parallels epipedons liegende Krästepaar aus $[K_x]$ und $[K'_x]$ unmittelbar zu berechnen, sührt man zunächst noch die Gegenkräste $[H_x]$ und $[\overline{H}_x]$ vom Werte K_x ein und zieht dann $[K_x]$ und $[H_x]$ zu einem Paare, senkrecht zur Z=Achse, und $[H_x]$ und $[K_x]$ zu einem zweiten Paare, senkrecht zur Y=Achse zusammen (vergl. die Schrassserung).

Setzt man fest, daß die positiven Halbachsen des Roordinatentreuzes zugleich die Richtungspfeile für die Achsenmomente der Paare liefern, so ist

das Ergebnis:

Drehung um die Z_2 Achse: $+ K_x y$, Drehung um die Y_z Achse: $- K_x z$.

Fig. 182.

Fig. 183.

-/K,

► X

/R;

Dasselbe Berfahren ergiebt für die Komponenten $[K_y]$ in A und $[\overline{K}'_y]$ in O, gemäß Fig. 182:

Drehung um die $X=Achse: + K_y z$, Drehung um die $X=Achse: - K_y x$.

Dasselbe Berfahren ergiebt endlich für die Komponenten $[K_z]$ in A und $[\overline{K_z'}]$ in O, gemäß Fig. 183:

Drehung um die Y-Achse: + K, x, Drehung um die X-Achse: - K, y.

Bereinigt man die Drehungen um die Z=Achse, da die entsprechenden Baare in Parallelebenen liegen, so erhält man:

Drehung um die Z-Achse: $+ K_x y - K_y x$.

Ebenso folgt:

Drehung um die $X=Achse: + K_y z - K_z y$, Drehung um die $Y=Achse: + K_z x - K_z z$.

Da jede Kraft des Systems für jede der drei Achsen derartige Dreshungen bestimmt, so hat man für das System, wenn man $K_x = K\cos\alpha$, $K_y = K\cos\beta$, $K_z = K\cos\gamma$ setzt, folgendes Schema:

Drehung um die
$$Z$$
-Achse: $M_s = \Sigma (K_p \cos \alpha_p y_p - K_p \cos \beta_p x_p)$
 $= (K_1 \cos \alpha_1 y_1 - K_1 \cos \beta_1 x_1) + \cdots (K_n \cos \alpha_n y_n - K_n \cos \beta_n x_n)$
Drehung um die X =Achse: $M_x = \Sigma (K_p \cos \beta_p z_p - K_p \cos \gamma_p y_p)$
 $= (K_1 \cos \beta_1 z_1 - K_1 \cos \gamma_1 y_1) + \cdots (K_n \cos \beta_n z_n - K_n \cos \gamma_n y_n)$
Drehung um die Y =Achse: $M_y = \Sigma (K_p \cos \gamma_p x_p - K_p \cos \alpha_p z_p)$
 $= (K_1 \cos \gamma_1 x_1 - K_1 \cos \alpha_1 z_1) + \cdots (K_n \cos \gamma_n x_n - K_n \cos \alpha_n z_n)$

Da M_x , M_y , M_s zugleich die Werte der Achsenmomente der entsprechens den Paare darstellen, so lassen sich diese nach dem Parallelogrammprincipe zusammenfassen zu einem resultierenden Achsenmomente M_0 , das mit den Achsen bezw. die Winkel λ , μ , ν bildet. Man hat:

$$Mo^2 = M_x^2 + M_y^2 + M_s^2$$
 $\cos \lambda = \frac{M_x}{Mo}, \quad \cos \mu = \frac{M_y}{Mo}, \quad \cos \nu = \frac{M_s}{Mo}$

Das System führt also erstens auf eine Kraft [R], welche mit den Achsen bezw. die Winkel α , β , γ bildet und zweitens auf ein Woment [Mo], dessen Achsen ment mit den Achsen die Winkel λ , μ , ν bildet.

Der Winkel ε zwischen [R] und dem Achsenmomente ist nach Formel 11 gegeben durch:

$$\cos \varepsilon = \frac{X M_x + Y M_y + Z M_z}{R Mo} \cdot \cdot \cdot \cdot \cdot \cdot \cdot \cdot 101)$$

Für $\varepsilon = 0^\circ$ und für $\varepsilon = 180^\circ$ ist das Achsenmoment parallel zu der Geraden der Kraft [R], so daß daß resultierende Paar auf der Kraft senk-recht steht, d. h. in diesem Falle liegt

[R] auf der Centralachse (vergl. § 61) des Systems.

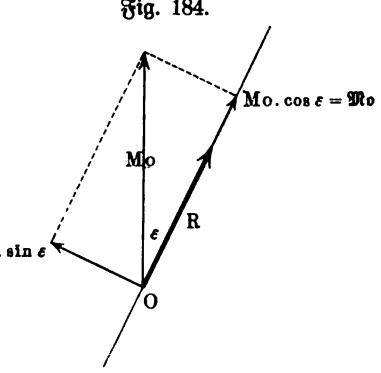
Für
$$\varepsilon = 90^{\circ}$$
, d. h. für

$$XM_x + YM_y + ZM_z = 0$$

steht das Achsenmoment senkrecht zu der Geraden der Kraft [R], so daß die Ebene des resultierenden Paares der Kraft par=allel ist. In diesem Falle läßt sich das Mo. sin & Paar und die Kraft [R] zu einer Kraft [R'] vereinigen, welche gegen R um Mo

$$r=rac{Mo}{R}$$
 verschoben ist.

If $0 < \varepsilon < 90^\circ$ oder $90^\circ < \varepsilon < 180^\circ$, so läßt sich [Mo], wie ex Fig. 184 zeigt, in zwei Komponenten $[Mo\cos\varepsilon]$ und $[Mo\sin\varepsilon]$ zerlegen, deren erste mit [R] einen Winkel von 0° , deren zweite mit [R] einen Winkel von 90° bildet. Die Komponente $[Mo\sin\varepsilon]$ läßt sich mit R vereinigen zu einer Kraft [R'], welche gegen R um $r = \frac{Mo\sin\varepsilon}{R}$ verschoben ist und zwar senks



recht zur Ebene der Zeichnung nach hinten zu. Denkt man sich in R stehend, die Füße in O, und die Richtung $[Mo\sin\epsilon]$ verfolgend, so geht die Versschiebung stets nach rechts vor sich.

Die Gerade von [R'] ist die Centralachse, auf der die Ebene des Paares $[Mo.\cos\varepsilon]$, welches durch [No] bezeichnet werden mag, senkrecht steht.

Man hat:

$$\mathfrak{Mo} = Mo.\cos\varepsilon = \frac{XM_x + YM_y + ZM_z}{R} \cdot \cdot \cdot 102$$

Da Mo $=Mo.cos \varepsilon$ ist, so ist Mo< Mo, d. h. das Noment für die Centralachse ist das kleinste aller auftretenden Momente.

Handlung des Kräftespstems benutt, so hätten die Arme der gebildeten Kräftepaare statt x_p , y_p , z_p die Werte $x_p - \xi$, $y_p - \eta$, $z_p - \xi$ erhalten, so daß Momente M_x' , M_y' , M_z' entstanden wären, gemäß den Ansätzen:

$$M'_{z} = \sum [K_{p} \cos \alpha_{p} (y_{p} - \eta) - K_{p} \cos \beta_{p} (x_{p} - \xi)]$$

$$= M_{s} - \eta \sum K_{p} \cos \alpha_{p} + \xi \sum K_{p} \cos \beta_{p}$$

$$= M_{z} - (X \eta - Y \xi)$$

$$M'_{z} = M_{x} - (Y \xi - Z \eta)$$

$$M'_{y} = M_{y} - (Z \xi - X \xi).$$

Diese Momente sind die Komponenten des Momentes Wo für die Centralachse, deren Richtung mit der Richtung von [R] übereinstimmt, so daß:

$$M_z' = \mathfrak{Mo} \cdot \cos \gamma = rac{Z}{R} \cdot \mathfrak{Mo} = rac{\Delta \cdot Z}{R^2}$$
 $M_x' = \mathfrak{Mo} \cdot \cos \alpha = rac{X}{R} \cdot \mathfrak{Mo} = rac{\Delta \cdot X}{R^2}$
 $M_y' = \mathfrak{Mo} \cdot \cos \beta = rac{Y}{R} \cdot \mathfrak{Mo} = rac{\Delta \cdot Y}{R^2}$

ist, falls man $XM_x + YM_y + ZM_z = \Delta$ sett.

Durch Gleichsetzung der beiden Werte für M_x' , für M_x' und für M_y' ershält man:

$$X\eta - Y\xi = M_s - \frac{\Delta \cdot Z}{R^2}$$
 $Y\xi - Z\eta = M_s - \frac{\Delta \cdot X}{R^2}$
 $Z\xi - X\xi = M_g - \frac{\Delta \cdot Y}{R^2}$

Diese Gleichungen stellen die Projektionen der Centralachse auf die Koordinatenebenen dar bezw. die entsprechenden Ebenen.

Multipliziert man diese Gleichungen bezw. mit Z, X, Y, so giebt die Summe Null, d. h. aus je zweien von ihnen läßt sich immer die dritte ableiten.

Stellt man $M_s = \frac{\Delta Z}{R^2}$ durch Gleichnamigmachen dar in der Form:

$$\frac{X(XM_s-ZM_x)-Y(ZM_y-YM_z)}{R^2},$$

so sieht man, daß:

$$\eta_0 = rac{X M_z - Z M_x}{R^2}$$
 und $\xi_0 = rac{Z M_y - Y M_z}{R^2}$

die erste Gleichung der Nr. 103 für $\eta=\eta_0$ und $\xi=\xi_0$ befriedigt. Fügt man noch

$$\zeta_0 = \frac{YM_x - XM_y}{R^2}$$

hinzu, so ist (ξ_0, η_0, ξ_0) ein bestimmter Punkt der Centralachse, welcher Mittelpunkt des Kräftesystems heißt.

Für parallele Kräfte gleichen Sinnes, bei dem $\alpha_1 = \alpha_2 = \cdots$, $\beta_1 = \beta_2 = \cdots$, $\gamma_1 = \gamma_2 = \cdots$ ist, kommt man zurück auf die Bestimmung der Formel Nr. 66.

Demgemäß ergeben sich bei der Behandlung des Kräftesnstems folgende Fälle:

- I. R und Mo sind von Null verschieden (Schraubung).
- II. R ist von Null verschieden, während No = 0 ist (Verschiedung).
- III. Mo ist von Null verschieden, während R=0 ist (Drehung).
- IV. R = 0 und Mo = 0 (Gleichgewicht).

Bu II. ist zu bemerken, daß dieser Fall sich nur dann sosort unverschleiert darstellt, wenn der Nullpunkt O der Koordinaten auf der Centralachse liegt, während man sonst zunächst Werte sür R und Mo erhält bei $\varepsilon = 90^{\circ}$,

woraus Mo= Mo. $\cos \varepsilon = 0$ und für [R] die Verschiebung $r = \frac{{\it Mo}}{R}$ folgt.

Die beiden windschiefen Kräfte, durch welche sich das System im Falle I für eine bestimmte Lage von $\mathcal O$ darstellen läßt, bestimmen durch die vier

Endpunkte ihrer beiden Richtungs= strecken ein Tetraeder.

Der Jnhalt dieses Tetra= eders ist für das System charat= teristisch, da er für jede Lage von O denselben Wert erhält. Stellt man nämlich das für irgend eine Lage von O gewonnene Paar Mo dar als P. p, so läßt sich eine der Kräfte P, wie es Fig. 185 zeigt, in die durch [R] und die Achse des Kräftepaares bestimmte Ebene bringen und in dieser mit [R] zu [R'] ver= einigen. Die Kräfte [R'] und [P]

Mo = Pp

R
R
R
Cos s

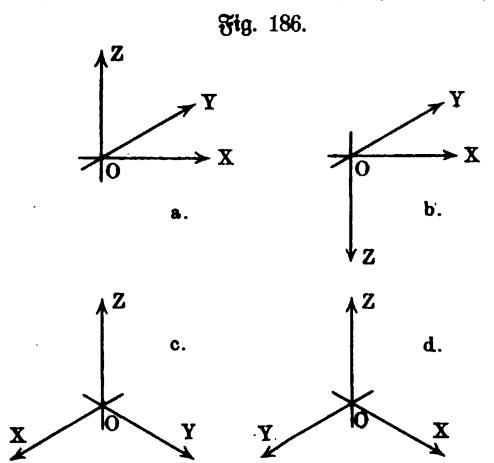
stellen dann das Kräftesystem dar, so daß OABC das entsprechende Tetraseder ist. Da dessen Grundsläche $\frac{1}{2}Pp=\frac{1}{2}Mo$ und da dessen Höhe $R\cos\varepsilon$ ist, so ist sein Inhalt:

$${}_{6}^{1}R Mo \cos \varepsilon = {}_{6}^{1}R \mathfrak{M}o \ldots 104$$

Eine genauere Betrachtung des Systems von je zwei windschiesen Kräften, welche ein bestimmtes Kräftesystem ersetzen, führt zur Einsicht in eine besmerkenswerte geometrische Verwandtschaft, welche einen besonderen Fall zweier reciproken räumlichen Systeme, das sogenannte Nüllsystem, darstellt.

Über die verschiedenen Zurückführungen des Systems und deren Gleichwertigkeit gelten die Bemerkungen auf S. 330.

Schließlich mag noch darauf hingewiesen werden, daß die Formeln für die Womente von dem benutzten Koordinatensystem abhängen. Wegen der Symmetrie im Raume zerfallen die Koordinatensysteme, welche man durch Auszeichnung der positiven Halbachsen aus drei, sich in einem Punkt senkrecht schneidenden und als X=Achse, Y=Achse und Z=Achse bereits unterschiedenen Geraden bilden kann, in zwei Klassen, welche man als Rechtssysteme und als Linkssysteme unterscheiden kann. Setzt man bei dem von uns gebrauchten ebenen X Y=Systeme die positive Halbachse der Z=Achse auf die Ebene der Zeichnung, so entsteht ein Rechtssystem, läßt man sie nach unten verlausen,



so bildet sich ein Linksspstem. In Fig. 186 stellen a und c ein Rechtsspstem, b und d ein Linksspstem dar. Bezeichnet man die Spitzen des Daumens, des Zeigefingers und des Mittelfingers einer Hand bezw. mit X, Y, Z, so entsteht beim Ausspreizen der Finger der rechten Hand ein Kechtsspstem, der linken Hand ein Links= system.

Eine Schraubenbewegung von X über Y nach Z führt bei Rechtssystemen zu einer rechtsgängigen Schraubung

(entsprechend den Windungen der Weinrebe), während sie beim Linksspstem eine linksgängige Schraubung (entsprechend den Windungen des Hopfens) darstellt.

Legt man eine Taschenuhr, das Zifferblatt nach oben gekehrt, auf den Tisch, so beschreibt der Endpunkt des Zeigers bei einer Hebung der Uhr eine linksgängige Schraubenlinie; dreht man die Uhr um, so entsteht bei Hebung eine rechtsgängige Schraubenlinie.

In englischen Büchern wird meist das Rechtssystem, in französischen meist das Linkssystem verwandt, während sich in Deutschland bisher kein ständiger Gebrauch ausgebildet hat.

In den Formeln für die Momente zeigt sich der Unterschied beider Systeme in einem Vorzeichenwechsel.

Die entwickelten Formeln, welche dem Rechtssystem entsprechen, nämlich:

$$M_x = Yz - Zy$$
, $M_y = Zx - Xz$, $M_z = Xy - Yx$,

gehen für das Linkssystem über in:

$$M_x = Zy - Y\varepsilon$$
, $M_y = X\varepsilon - Zx$, $M_z = Yx - Xy$.

Um diese Formeln im Gedächtnisse zu behalten, prägt man sich in beiden Fällen zunächst den Ausdruck für M. ein, welcher der Drehung in der Ebene genau entspricht, und leitet dann aus diesem durch cyklische Vertauschung 1) die Außbrücke für M_x und M_y ab.

Die Bedingungen des Gleichgewichtes lassen sich hier, den Bedingungen der Ebene entsprechend, auflösen in die sechs Gleichungen:

$$X = 0, \quad Y = 0, \quad Z = 0 \\ M_x = 0, \quad M_y = 0, \quad M_z = 0$$
 \cdot \cdot

Der Momentensatz und der Arbeitssatz gelten, entsprechend der Unter= suchung für zerstreute Angriffspunkte in der Ebene, weiter, da ein Kräftepaar auch bei einer Verschiebung im Raume keine Arbeit leistet.

Unter anderem führt die Annullierung der Arbeit für drei virtuelle Ber= schiebungen, parallel zu den Achsen, und drei virtuelle Drehungen um die Achsen zurück zu obigen Bedingungen.

Konstruktive (graphische) Behandlung der Aufgabe des § 61. Eine Lösung, welche unmittelbar auf die Centralachse und auf das ent= sprechende Kräftepaar führt und demnach dem Culmannschen Verfahren für die Ebene genau entsprechen würde, ist nicht bekannt.

Man kann die Konstruktion hier zunächst ohne weiteres dem rechnerischen Verfahren anpassen, indem man mit senkrechten Projektionen in drei auf= einander senkrecht stehenden Ebenen arbeitet, wobei das Ergebnis in der einen dieser Ebenen lediglich zur Kontrolle dient.

Bei dieser Methode und bei anderen Lösungsverfahren ist es zweckmäßig, die Bedingungen des Gleichgewichts der Formel 105 auf die Form zu bringen:

- 1. X = 0, Y = 0, $M_s = 0$,
- 2. Y = 0, Z = 0, $M_x = 0$, 3. Z = 0, X = 0, $M_y = 0$.

Die erste Gleichung sagt aus, daß die senkrechte Projektion des Kräfte= systems auf die XY=Ebene in dieser ein Gleichgewichtssystem darstellt, so daß sich für die Kräfte in der XY=Ebene, welche durch diese Projektion dargestellt werden, das Krafteck und das Seileck schließt.

Die Gleichungen 2 und 3 sagen dasselbe für die anderen beiden Ebenen des Koordinatensnstems aus.

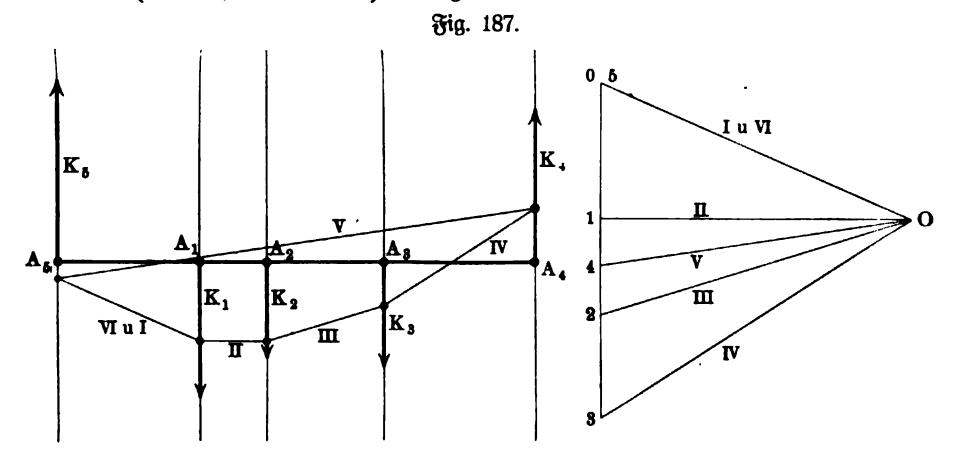
Dasselbe folgt aus der Betrachtung der senkrechten Projektionen des Kräftepolygons und des Polygons der Achsenmomente, welche bezw. zu [R] = 0 und [Mo] = 0 führen.

¹⁾ Denkt man in der linearen Anordnung x-y-z die Enden x und z miteinander perbunden, so entsteht die cyklische Anordnung, der man nebenstehende Form geben kann. Man ersetzt bei cyklischer Vertauschung 2 ! entweder, den Pfeilen entsprechend, stets x durch y, y durch z und z durch x oder, dem Pfeilsinne entgegen, stets x durch z, z durch y und y durch x.

Demnach ist das Kräftesystem, welches durch senkrechte Projektion eines räumlichen, sich im Gleichgewichte befindenden Kräftesystems auf eine Ebene entsteht, selbst im Gleichgewichte, während die notwendigen und hinreichenden Bedingungen für das Gleichgewicht eines räumlichen Kräftesystemes darin bestehen, daß seine senkrechten Projektionen auf die drei Ebenen einer Ecke (die nicht rechtwinkelig zu sein braucht) Kräftesysteme darstellen, welche im Gleichsgewichte sind.

Fügt man irgend einem Kräftespsteme die Segenkraft der Resultante [R] und das Segenmoment des resultierenden Momentes [Mo] hinzu, so bildet sich ein im Gleichgewichte befindliches Kräftespstem. Diese Betrachtungen liegen unter anderem der Mohrschen Methode 1) für die graphische Behandlung unserer Ausgabe zu Grunde, welche wohl unter den bisher bekannten Lösungen an erster Stelle genannt zu werden verdient.

64. Parallele Kräfte am starren Körper. Die Behandlung von Parallelkräften gleicher Richtung, welche stets auf eine Resultante führen, ist bereits (S. 241, 329 u. 337) erledigt.



Kommen Parallelkräfte verschiedener Richtungen in Frage, so ist es zweckmäßig, ihr System in zwei Systeme gleicher Richtung zu zerlegen und für jedes die Resultante zu bestimmen. Die beiden so gewonnenen Resultanten $[R_1]$ und $[R_2]$ können ein Kräftepaar bilden, andernfalls lassen sie sich zu einer Resultante vom Werte $\pm {}_{1}(R_1-R_2)$ vereinigen.

Statt dessen kann man auch die allgemeinen Formeln für den vorsliegenden Fall umgestalten. Stimmen die Richtungen der Kräfte bezw. mit der positiven und mit der negativen Z=Achse überein, so ist für jede Kraft K_p sowohl $\alpha_p=90^{\circ}$, als auch $\beta_p=90^{\circ}$, während γ_p entweder 0° oder 180° beträgt, so daß $\cos\gamma_p$ entweder + 1 oder - 1 ist. Man hat daher, falls man die Kräfte von der Richtung der positiven Z=Achse als positiv und die Kräfte von der Richtung der negativen Z=Achse als negativ einsührt:

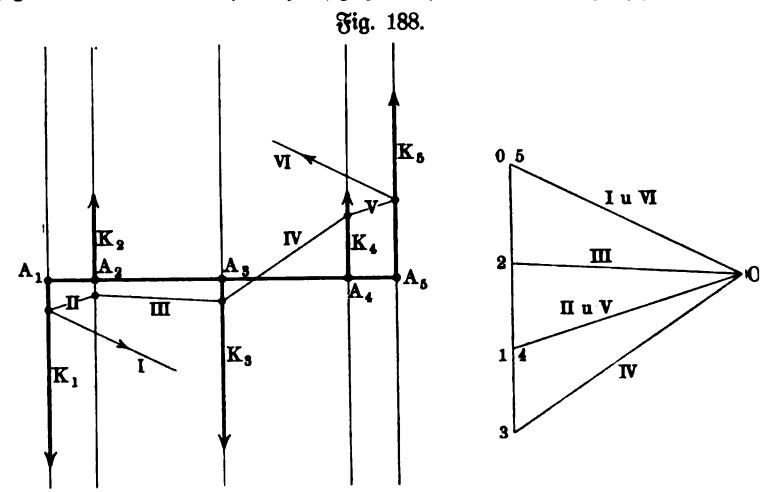
¹⁾ Bergl. Civil-Ingenieur, Bb. XXII.

$$X = 0, \quad Y = 0, \quad Z = \sum K_p$$
 $M_x = -\sum K_p y_p, \quad M_y = +\sum K_p x_p, \quad M_z = 0$
 $Mo^2 = M_x^2 + M_y^2$
 $\cos \lambda = \frac{M_x}{Mo}, \quad \cos \mu = \frac{M_y}{Mo}, \quad \cos \nu = 0.$

If Mo von Null verschieden, während $Z=\Sigma K_p=0$ ist, so hat das System ein resultierendes Moment.

Sind Mo und Z von Null verschieden, so zeigt die Gleichung Nr. 101 für $\cos \varepsilon$ sofort, daß $\varepsilon = 90^\circ$ ist, daß also Mo und Z zu einer Resultante vereinigt werden können.

Da Belastungen eines Körpers stets ein System von Parallelkräften gleicher Richtung darstellen, denen oft Reaktionen von entgegengesetzter Rich= tung entsprechen, so sind solche Systeme und zwar mit vertikal gelagerten Kraftgeraden in der Technik häusig zu behandeln. Die graphostatische Kon=



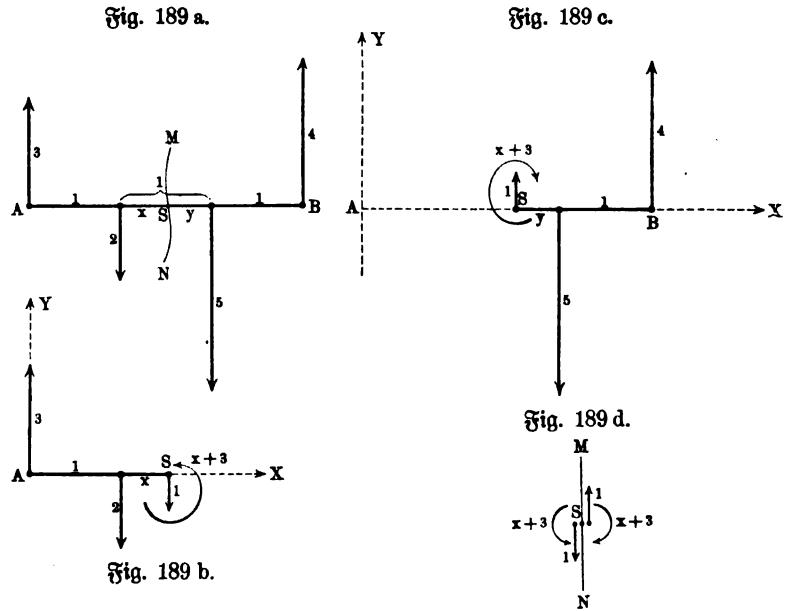
struktion wird hier besonders einfach, wie Fig. 187 für ein im Gleichgewicht befindliches System der Ebene und Fig. 188 für ein auf ein Kräftepaar führendes System der Ebene zeigt.

Auch die konstruktive Behandlung im Raume ist hier besonders einsach. Man wählt zwei Projektionsebenen I und II, parallel zu den Geraden des Systems und senkrecht auseinander. Die senkrechten Projektionen jeder Krast erscheinen dann in beiden Ebenen unverkürzt und sind also unter sich gleich, so daß man in der Ebene der Zeichnung für beide Ebenen mit einem Krasteck und einem Pole auskommt.

Will man auch den Mittelpunkt M des Kräftespstems bestimmen, so muß man die Kräfte im Raume, parallel zu I (oder II), um irgend einen Winkel, z. B. um 90°, gedreht denken und sie auf I (oder II) von neuem projizieren, d. h. man muß die Projektionen in der Ebene in ihren Angriffspunkten z. B. um 90° drehen. Die Resultante der neuen Lage und die Resultante der alten Lage geben in ihrem Schnittpunkte die Projektion M_1 des gesuchten

Punktes M auf die Ebene I, während dessen Projektion M_2 auf die Ebene II dadurch bestimmt ist, daß M_1 M_2 senkrecht ist zur Richtung des Systems. Im Falle des Kräftepaares ist M natürlich (im Endlichen) nicht vorhanden.

65. Junere Kräfte am starren Körper unter dem Einfluß eincs (äußeren) Kräftespstems. Die inneren Kräfte, welche an den einzelnen Atomen eines starren Körpers vorhanden sind, verändern sich unter der Einswirfung eines, den Körper angreisenden (äußeren) Kräftespstems. In vielen Fällen läßt sich die resultierende Wirkung der inneren Kräfte, ohne daß man diese selbst kennt, für die verschiedenen Stellen eines starren, von einem



Kräftesysteme angegriffenen Körpers bestimmen. Denkt man nämlich den Körper in zwei Teile zerschnitten und denkt man ferner in Punkten der Schnittsläche an jedem der beiden Teilkörper als äußere Kräfte solche Kräfte angebracht, daß jeder Teilkörper für sich dadurch wieder in den Zustand gelangt, den er als Teil des ganzen Körpers hatte, so stellen diese in Punkten der Schnittslächen angreisenden äußeren Kräfte die resultierende Wirkung der inneren Kräfte dar, welche durch den Schnitt zerstört wurden.

Ist das System der angreisenden Kräfte im Gleichgewicht, so ist diese Untersuchung meist verhältnismäßig einfach.

Als Beispiele für diesen Fall des Gleichgewichtes mögen folgende Betrachtungen dienen.

Fig. 189 stellt einen Balken AB dar, welcher in gleichen Abständen von $1\,\mathrm{m}$ durch vier im Gleichgewichte stehende Parallelkräfte angegriffen wird. Es ist die resultierende Wirkung der inneren Kräfte für den Schnitt MN zu bestimmen (x+y=1).

Für Fig. 189 b wird das Gleichgewicht hergestellt gemäß der Regeln $X=0,\ Y=0,\ Mo=0.$

Da in der X=Achse keine Kräfte liegen, so ist die Gleichung X=0 von selbst erfüllt. Die Gleichung Y=0 wird erfüllt, wenn man in S die Verstikalkraft [1] anbringt.

Für S als Drehpunkt liefert der Momentensat 3(x+1)-2x=x+3, d. h. eine Drehung vom Werte (x+3) im Sinne der Uhrzeigerbewegung; um sie aufzuhalten, muß für S als Drehpunkt eine Drehung vom Werte

(x + 3) mit umge=
fehrtem Sinne hinzu=
gefügt werden. Für
Fig. 189 c führen die=
selben Überlegungen zu
den dort eingezeichneten
Werten.

Fügt man Fig. 189 b und Fig. 189 c wieder zu Fig. 189 a zusammen, so verschwinden die Kräfte der Schnittstelle, wie es sein muß.

Sie charakterisiert sich also im ungeschnittenen

 Fig. 190 a.
 Fig. 190 b.
 Fig. 190 d.

 A
 B
 B
 B

 B
 B
 B
 B

 B
 B
 B
 B

 B
 B
 B
 B

 B
 B
 B
 B

 B
 B
 B
 B

 B
 B
 B
 B

 B
 B
 B
 B

 B
 B
 B
 B

 B
 B
 B
 B

 B
 B
 B
 B

 B
 B
 B
 B

 B
 B
 B
 B

 B
 B
 B
 B

 B
 B
 B
 B

 B
 B
 B
 B

 B
 B
 B
 B

 B
 B
 B
 B
 B

 B
 B
 B
 B
 B
 B

 B
 B
 B
 B
 B
 B
 B

 B
 B
 B
 B
 B</td

Balken, wie es Fig. 189 d darstellt, unwirksam nach außen.

In Fig. 190 a sind die beiden Schnitte MN und M'N' geführt, so daß die drei daneben dargestellten Figuren entstehen, an denen die zerstörten Kräste zur Veranschaulichung durch Gewichte dargestellt sind. Fig. 190 b liesert die Beziehung $P = S_1$, Fig. 190 c giebt die Gleichung $S_1 = S_2$ und $Q + G = S_1 + S_2$.

Demnach ist
$$P = S_1 = S_2 = \frac{Q + G}{2}$$
.

Der Zug in A beträgt G + 2P, der Zug in B beträgt P, die Resultante beider Zugkräfte, welche den Wert Q + P + 2G haben muß, beträgt G + 3P, so daß wieder Q + G = 2P erhalten wird.

In Fig. 191 (a. f. S.) ist eine einsache Stangenkonstruktion (Dachsbinder) dargestellt, die durch den Schnitt MN zerlegt wird. An den Schnittsstellen sind in Fig. 191 b (a. f. S.) durch Pseile die Kräfte [X], [Y], [Z] angedeutet, welche zur Herstellung des Gleichgewichtes erforderlich sind.

Man bestimmt jede dieser Kräfte unmittelbar durch den Momentensatz bei geschickter Wahl der Drehpunkte (Ritters Methode).

Für S als Drehpunkt kommen [X] und [Y] nicht in Frage, so daß die entsprechende Gleichung nur [Z] enthält. Man hat:

1500 . 2 — 1000 . 1 —
$$Z$$
 . 1,5 = 0, b. h. Z = 1333 $\frac{1}{3}$.

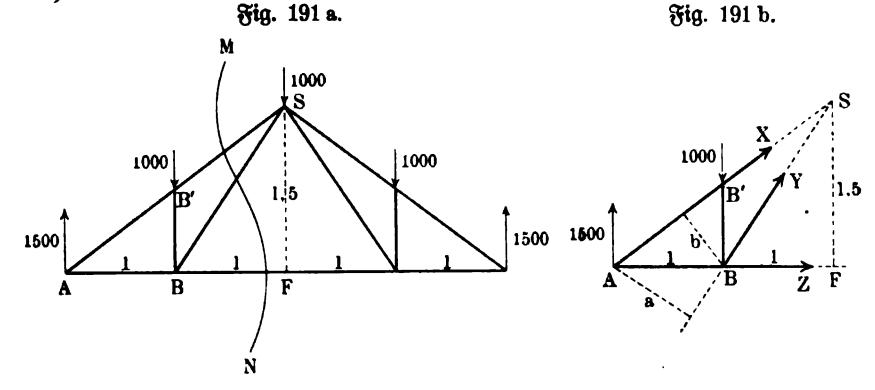
Für A als Drehpunkt kommen [X] und [Z] nicht in Frage, so daß die entsprechende Gleichung nur [Y] enthält. Man hat:

$$+ 1000 \cdot 1 - Y \cdot a = 0$$
, b. h. $Y = \frac{1000}{a}$.

Für B als Drehpunkt kommen [Y] und [Z] nicht in Frage, so daß die entsprechende Gleichung nur [X] enthält. Wan hat:

1500 . 1 + b .
$$X = 0$$
, b. h. $X = -\frac{1500}{b}$.

Die Längen a und b sind leicht an der Figur zu messen bezw. zu be= rechnen.



Da X negativ wird, so ist der Pseil von [X] in Fig. 191 b umzukehren, d. h. die Stange B'S wird gedrückt und nicht gezogen, während BS Jug auszuhalten hat, ebenso wie BF.

66. Systeme starrer Körper und das Princip von d'Alembert. Die Betrachtung des vorigen Paragraphen beruht im Grunde darauf, daß ein starrer Körper durch Schnitte in zwei oder überhaupt in mehrere starre Körper zerlegt wird, daß er also ersett wird durch eine Gruppe von Körpern, welche insosern ein System bilden, als sie ja Teilkörper jenes einen Körpers sind.

Erforderlichenfalls kann man diese Zerlegung fortgesetzt denken, bis der Körper in seine einzelnen Atome zerlegt ist, welche stets als starre Körper von unendlich kleiner Ausdehnung und unendlich kleiner Masse anzusehen sind (vergl. Einleitung, S. 2 und § 40 u. f.).

Befindet sich der Körper selbst in einer Bewegung, bei welcher Beschleus nigungen auftreten, so bedarf die Betrachtung der vorigen Paragraphen einer Ergänzung.

Diese Ergänzung ist noch in ausgebehnterem Maße erforderlich, wenn man verschiedene starre Körper, die in irgend welcher Verbindung stehen, zu einem System zusammenfügt, weil hier auch Relativbewegungen der einzelnen Teilkörper in Frage kommen.

Hat man es bei einem solchen Systeme thatsächlich einerseits mit Zug= und Druckkräften und anderseits mit in der Bewegung zu Tage tretenden Effektivkräften zu thun, so muß man stets davon ausgehen, daß statische Rraft nur gehemmte kinetische Kraft und kinetische Kraft nur entwickelte statische Kraft ist (vergl. Einleitung, S. 10).

Diese principielle Auffassung ist von d'Alembert in einem Sate zum Ausdrucke gebracht worden, welcher bei der Lösung von Aufgaben, bei welchen einerseits Zug= und Druckkräfte und anderseits Effektivkräfte zu berücksichtigen sind, gute Dienste leistet.

Betrachtet man ein einzelnes Atom eines ganz beliebigen Körpers ober eines ganz beliebigen Körpersystems, so gilt für dieses (vergl. \mathfrak{S} . 233 u. f.) die Bemertung, daß die in der Bewegung wirklich zur Geltung kommende Kraft, die Effektivkraft $[K] \cong \mu[j_{\theta}]$ als Resultante aufzusassen ist aus der Mittelkraft [A] aller äußeren, auf das Atom wirkenden Kräfte und aus der Mittelkraft [J] aller inneren, auf das Atom wirkenden Kräfte, d. h. es gilt:

$$[K] \triangleq [A] \stackrel{\times}{+} [J].$$

Dabei sind alle Kräfte, welche auf der gegenseitigen Einwirkung von Atomen des Körpers (oder des Systems) und von nicht zu ihm gehörigen Atomen beruhen, als äußere Kräfte anzusehen, als innere alle Kräfte, welche lediglich zwischen den Atomen des Körpers (oder des Systems) aufetreten.

Führt man statt [K] deren Gegenkraft $[\overline{K}]$ ein 1), so geht obige Gleichung über in:

$$[A] \stackrel{\times}{+} [J] \stackrel{\times}{+} [\overline{K}] = 0,$$

d. h. [A], [J] und $[\overline{K}]$ stehen im Gleichgewichte.

Denkt man nun an jedem Atom des Körpers (oder des Systems) diesen Ersatz der Effektivkraft durch deren Gegenkraft ausgeführt, so gilt für jedes Atom eine entsprechende Gleichung.

Denkt man also die Atome des Körpers (oder des Systems) in der Lage, welche sie in einem bestimmten Zeitpunkte haben, sestgehalten, so daß sie einen, diesem Zeitpunkte entsprechenden starren Körper bilden, so steht an diesem das System aller Kräfte [A], [J] und $[\overline{K}]$ im Gleichgewicht. Da sich aber für jeden Körper das System der Kräfte [J] nach dem Princip der Paarwirkung in sich aushebt, so steht auch das System aller Kräfte [A] und $[\overline{K}]$ im Gleichgewichte.

Der Sat, welcher am Schlusse des § 44 für einen starren Körper absgeleitet wurde, lätt sich also auf beliebige Körper bezw. Körpersysteme ausbehnen, und zwar in solgender Form: Wenn in einem bestimmten Zeitzpunkte t an den Atomen eines beliebigen Körpers bezw. Körpersystemes die äußeren Kräste $[A_1]$, $[A_2]$, ... wirken, während die Effektivkräste der Atome für denselben Zeitpunkt t bezw. $[K_1] \stackrel{\times}{=} \mu_1[j_1]$, $[K_2] \stackrel{\times}{=} \mu_2[j_2]$, ... sind, so ist das System der Kräste $[A_1]$, $[A_2]$, ... und der Gegenkräste von $[K_1]$, $[K_2]$... im Gleichgewichte, salls man diese Kräste an dem starren Körper angreisend denkt, der entstehen würde, wenn man jedes Atom in der Lage sesthielte, welche es zur Zeit t hat.

^{&#}x27;) [K] ist natürlich eine fingierte Kraft, wie die Ergänzungsfraft der Relativ= bewegung, vergl. $\mathfrak S.$ 265.

Dieser Satz stimmt in seinem Inhalte überein mit dem sogenannten Principe von d'Alembert.

Will man den Satz für die Kräfte $[K_1]$, $[K_2]$, . . . selbst aussprechen, so hat man ihn so zu fassen: An dem oben bestimmten starren Körper liefern die Zurückführungen des Systems der Kräfte [A] und des Systems der Kräfte [K] für denselben Punkt O dieselbe Resultante [R] und dasselbe Kräftepaar [Mo], die Systeme sind gleichwertig.

Bersieht man bei einer bestimmten Zurückführung die Größen X, Y, Zund M_x , M_y , M_s für das System der Kräfte [A] mit dem Zeiger A und für das System der Kräfte [K] mit dem Zeiger K, so gilt:

$$X^{(A)} = X^{(K)}, \quad \overline{Y}^{(A)} = Y^{(K)}, \quad Z^{(A)} = Z^{(K)}, \\ M_x^{(A)} = M_x^{(K)}, \quad M_y^{(A)} = M_y^{(K)}, \quad M_s^{(A)} = M_s^{(K)}$$
 . . . 106)

Dabei ist $X^{(K)} = \sum \mu_p j_p^{(x)}$ u. s. w.

Die Gleichungen der Rr. 106 heißen die Gleichungen von Lagrange. Natürlich gelten für das im Gleichgewicht befindliche System der Kräfte $[A_1], [A_2], \ldots$ und der Gegenkräfte von $[K_1], [K_2]$ alle Beziehungen, welche

System auszeichnen.

ein im Gleichgewichte befindliches

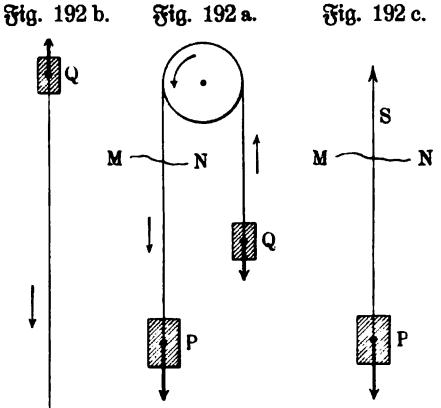
Namentlich ist auch die Arbeit für jede virtuelle Verrückung des an dem fingierten starren Körper haftenden Systemes Null.

Für andere virtuelle Ber= rüdungen ber einzelnen Atome, unter die auch die, der thatsächlichen Bewegung ent= sprechenden Verrückungen ein= zureihen sind, gilt dies zunächst nur für das System der Kräfte

[A], [K] und [J], und es bedarf einer besonderen Untersuchung, ob dabei die Arbeit der Kräfte des Systems [J], welche bei starrer Verbindung stets ver= schwindet, den Wert Null hat oder nicht. Das Ergebnis dieser Untersuchung, die später durchgeführt werden soll, führt zu dem sogenannten Principe der virtuellen Berrückungen.

Als Beispiel für die Verwendung des Principes von d'Alembert untersuchen wir die Bewegung, welche bereits S. 275 dargestellt wurde, jetzt gemäß Fig. 192 für P>Q.

Das Wesentliche an dieser Bewegung stellt Fig. 192 b Bezeichnen wir die Beschleunigung zur Zeit t mit j, so haben die dar. Schwerpunkte von P und Q bezw. die Effektivkräfte $\frac{P}{g} \cdot j$ und $\frac{Q}{g} \cdot j$, während als äußere Kräfte die entgegengesett gerichteten Kräfte P und Q auftreten.



Die Resultante des Systems [A] hat den Wert P-Q, die Resultante des Systems [K] hat die Resultante $\frac{P}{g}\cdot j+\frac{Q}{g}\cdot j$, so daß bei der Gleich= wertigkeit dieser beiden Resultanten gilt:

$$P-Q=rac{P+Q}{g}\cdot j$$
, b. h. $j=g\cdotrac{P-Q}{P+Q}\cdot$

Es tritt also eine konstante Beschleunigung vom Werte j auf.

Durch einen Schnitt MN bestimmt man nun leicht die innere Kraft (Seilspannung) für die getroffene Stelle, gemäß der Gleichung [A] + [J] = [K], welche hier (vergl. Fig. $192\,\mathrm{c}$)

$$P - S = \frac{P}{g} \cdot j$$

lautet, so daß

$$S = P - \frac{P}{g} \cdot j = 2 \cdot \frac{PQ}{P + Q}$$

ist.

Zu denselben Ergebnissen gelangt man durch Fig. 192a, wenn man auf diese den Momentensatz anwendet.

Anwendungen der Lehre von den Kräften am starren Körper.

1. Allgemeines. a) Das Gewicht der Körper. Die Körper der Außenwelt, welche für die Technik in Frage kommen, befinden sich ohne Ausenahme in gegenseitiger Einwirkung mit der Erde. Infolgedessen muß hier zu den Kräften, welche auf einen starren Körper wirken, bei strenger Betrachetung stets dessen Gewicht in dessen Massenmittelpunkte (vergl. S. 240), der in dieser Hinsicht Schwerpunkt genannt wird, hinzugesügt werden. Ist der Betrag des Gewichtes gegenüber den sonst in Frage kommenden Kräften verhältnismäßig klein, so kann man von der Berücksichtigung des Gewichtes zunächst oder überhaupt absehen.

Die Bestimmung der Lage des Schwerpunktes für gegebene Körper wird später durchgeführt werden; hier wird die Lehre vom Schwerpunkte nur soweit verwendet, als sie im ersten Lehrgange der Physik behandelt worden ist (vergl. dazu auch § 45).

- b) Die Besestigungsreaktionen. Ein Körper der Außenwelt, welcher sür die Technik in Frage kommt, befindet sich, wenn man von seinem freien Falle absieht, stets in Berbindung mit anderen Körpern der Außenwelt und durch diese in Berbindung mit der Erde. Die Kräste, welche an dem betrachteten Körper zugesetzt werden müssen, wenn er sich nach Lösung dieser Berbindungen, von Reibungen abgesehen, in demselben Zustande besinden soll, in dem er sich vor ihrer Lösung besand, mögen Besestigungs=reaktionen heißen. Sie bestimmen sich, gemäß dem Principe der Paar=wirkung, aus den Einwirkungen des betrachteten Körpers auf die Körper, mit denen jener in Berbindung steht. Ihre Bestimmung für besondere Fälle wird später durchgesührt werden; hier wird davon nur so viel verwendet, als aus dem ersten Lehrgange der Physik bekannt ist.
- c) Die Reibung reaktionen. Neben den Befestigung reaktionen kommen bei Körpern, welche sich unter Pressung gegeneinander bewegen oder zu bewegen streben, noch Kräfte in Frage, welche an der Berührungssläche oder in der Berührungslinie der Körper (tangential) angreisen. Nach dem Prinz cipe der Paarwirkung treten sie stets als Gegenkräfte auf, und zwar die eine an dem einen, die andere an dem andern der sich bewegenden Körper. Man bezeichnet jede dieser Kräfte als Reibung bezw. als Reibung sereaktion, letzteres, insosern man die Einwirkung auf den gerade betrachteten Körper besonders hervorheben will.

Ą.

Da man den Wert der Reibung durch Bearbeitung der Oberflächen (Glättung und Anwendung von Schmiermitteln) und auch durch andere Vittel (Anwendung von Friktionsrollen) oft erheblich herabmindern kann, so gelangt man bei Vernachlässigung der Reibung (Vorstellung von absolut-glatten Oberflächen) meist zu einer brauchbaren Annäherung. Dies ist nicht der Fall, wenn die betrachteten Vorgänge ohne Reibung überhaupt nicht zustande kommen, wie z. B. die Orehung einer Kolle durch einen Schnurlauf.

Im folgenden wird die Reibung nicht berücksichtigt, nur auf ihr Bor-

handensein wird gelegentlich hingewiesen.

- d) Statische und kinetische Aufgaben. Die einfacheren Aufgaben, bei welchen das angreisende Kräftelistem im Gleichgewichte (Ruhe oder gewisse gleichförmige Bewegungen des Körpers) steht, treten naturgemäß in den Bordergrund. Kinetische Aufgaben werden vorläufig nur soweit herangezogen, als es zur Verdeutlichung des wichtigen Unterschiedes zwischen statischen und kinetischen Beziehungen erforderlich ist.
- 2. Die Kraftübertragung durch Seile. Die Berschiebung bezw. die Drehung der Geraden einer Kraft am starren Körper fordert den Zusatz eines Kräftepaares bezw. einer Kraft (vergl. S. 323). Solange die Kräfte durch Belastungen hervorgerusen werden, d. h. in Gewichten bestehen, macht die Berschiebung der Geraden einer gegebenen Kraft keine Schwierigkeiten, da

eine bestimmte Belaftung an jeder Stelle basselbe Gewicht nach Größe und Richtung hervorruft. Bier handelt es sich bei Ans wendungen im wesentlichen darum, die Gerade einer gegebenen Kraft zu brehen. Unter den technischen Vitteln, welche diesem Zwede dienen, nehmen Seile (Fäben, Schnure, Seile, Retten, Niemen) eine hervorragende Stelle ein. Man betrachtet fie zunächst als volltommens biegfam, d. h. man macht die Annahme, daß ihre Mittellinie. jebem Buge

Fig. 193.

 $\underline{K}' \!\!=\! \overline{\underline{K}} \cos$

K' K sin a

widerstandslos solgt, so daß umgekehrt die Tangente der Mittellinie stets die Richtung des im Seile vorhandenen Ruges (Spannung) anzeigt.

Befestigt man ein Seil, wie es Fig. 193 andeutet, so zerlegt sich [K] erfahrungsmäßig in die Komponenten $[K\cos\alpha]$ und $[K\sin\alpha]$, von denen die erste an S die Reaktion $K' = \overline{K}\cos\alpha$, von denen die zweite in E die Reaktion $\overline{K}\sin\alpha$ hervorrust, so daß [K], $[K\sin\alpha]$ und $[\overline{K}\cos\alpha]$ im Gleichgewichte stehen; man nennt E auch hier einen (sesten) Knoten (vergl. S. 274).

Legt sich das Seil um ein Prisma, sentrecht zu bessen Kanten, so ist für jede Kante die Zerlegung der Fig. 193 zu berücksichtigen.

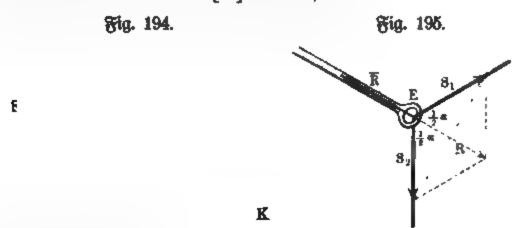
Legt sich das Seil um einen Kreiscylinder (vergl. Fig. 194) sentrecht zu dessen Seiten, so daß ein Centriwinkel & umspannt wird, so hat man das Cylinderstück als Stück eines regelmäßigen Prismas von n Kanten, deren jeder

der Winkel $\alpha = \frac{\lambda}{n}$ entspricht, aufzusassen und zwar für $lim n = \infty$. In diesem Falle ist

$$K' = K \cdot \lim_{n \to \infty} \left[\cos \frac{\lambda}{n} \right]_{n = \infty}^{n} = K$$

b. h. die Spannungen K' und K find von gleichem Werte.

Infolgebessen ist das Seil der Fig. 194 auch im Gleichgewichte, wenn die Besestigung dei S gelöst und statt ihrer eine Kraft [K'] angebracht wird, deren Wert mit dem Werte von [K] übereinstimmt.



Dasselbe gilt überhaupt für konver gekrümmte Cylinder (Übertragung durch den Krümmungskreis).

Eine Folge bavon ist z. B., daß ein Seil, welches burch einen Ring gezogen ist und an diesem einen beweglichen (losen) Knoten bildet, wie es

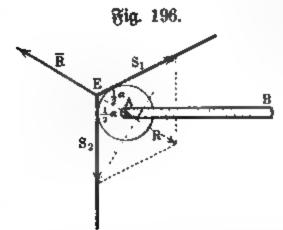


Fig. 195 zeigt, bei Gleichgewicht in beiden Seilstücken Spannungen von gleichem Werte $(S_1 = S_2 = S)$ zeigt. Da das Parallelos gramm von $[S_1]$ und $[S_2]$ demnach ein Rhoms bus ist, so halbiert dessen Diagonale den Winkel a zwischen den Seilstücken und man hat

$$S\cos\frac{\alpha}{2} = \frac{1}{2}R$$
, $R = 2S\cos\frac{\alpha}{2}$.

Demnach stehen $[\overline{R}]$, $[S_1]$ und $[S_2]$ im Anoten im Gleichgewichte.

d. h.

Durch Bilbung eines losen Knotens kann man den Zug einer Belastung $[S_1]$ in die Richtung von $[S_1]$ bringen.

Dasselbe erreicht man durch Berwendung einer festen Rolle, welche auch Leitrolle genannt wird, weil sie die Richtung der Kraft zu leiten

imstande ist. Soll Gleichgewicht eintreten, so muß man, wie Fig. 196 zeigt, eine neue Kraft $[S_1]$ hinzusügen, und es ist wieder

$$R = 2 S \cos \frac{\alpha}{2} \cdot$$

Hier ist [R] der Druck, der auf die Besestigung AB übertragen wird, und [R] die Reaktion der Besestigung, welche an der Rolle wirkt. Sitt die Rolle in

der Mitte ihrer Drehungs= achse, so wird auf jeder Seite der Druck $\frac{1}{2}[R]$ übertragen.

Im Gegensatze zu der Leitrolle stellt die lose Rolle eine Vor= richtung dar, bei welcher der Zug einer Belaftung neben einer Anderung der Richtung auch eine Berringerung erfährt, so daß man beim Empor= ziehen einer Laft dieser gegenüber an Kraft spart. Man nennt die lose Rolle deshalb auch Kraft= rolle. Fig 197 zeigt, wie die eine Komponente $\operatorname{von}\left[\overline{R}\right]$ burch die Reaktion $[S_1]$ der Befestigung Aaufgehoben wird, so daß nur noch $[S_2]$ erforderlich ist, um [K] im Gleich= gewichte zu halten. Eine Umformung der Glei= dung

$$S = -\frac{R}{2\cos\frac{\alpha}{2}}$$

 $\begin{array}{c} & & \\$

Fig. 197.

ist hier zweckmäßig; man hat für die Berührungssehne $B_1\,B_2$ den Ansat

$$\frac{1}{2}B_1B_2 \stackrel{\cdot}{=} r\cos\frac{\alpha}{2},$$

so daß

$$S = \frac{R \cdot r}{B_1 B_2}$$
 ober $S : R = r : B_1 B_2$ ist.

Der Wert der Kraft [S], mit welcher man $[\overline{R}]$ bei dieser Vorrichtung im Gleichgewicht halten, also auch gleichförmig bewegen kann, verhält sich also

zum Werte von [R] wie der Radius der Rolle zur Berlihrungssehne. Da B_1B_1 seinen größten Wert 2r für $\frac{\alpha}{2}=90^\circ$ erreicht, so erhält S bei parsallelen Seilen seinen Keinsten Wert $(\frac{1}{2}R)$.

Nennt man turz [S] die Kraft und [R] die Last, so ist bei gleichsörmigen Bewegungen für $S=\frac{1}{2}R$ der Weg der Kraft doppelt so groß als der Weg der Last, d. h. man setzt am Wege zu, wenn man an Kraft spart. Dabei ist die Arbeit der Kraft dem Werte nach der Arbeit der Last gleich, während beide

Fig. 198.

Arbeiten entgegengesetzte Borzeichen haben, so daß die gesammte Arbeit den Wert Rull hat.

Mehrere Rollen werben unter anderem in Kollenzügen, Flaschenzügen und Klobens zügen zu gemeinsamer Wirkung verbunden.

Als Beispiel mag der Rollenzug mit drei Losen und einer sesten Rolle dienen, wie ihn Fig. 198 darstellt. Wan hat zunächst:

$$S_1 = S_2$$
, $S_3 = S_4$, $S_5 = S_6$, $S_6 = K$.

Denkt man sich die nötigen Schnitte (vergl. S. 343) gelegt, so erhält man noch:

$$G_1 + R = S_1 + S_2 = 2 S_1 = 2 S_2$$

$$G_3 + S_4 = S_3 + S_4 = 2S_3 = 2S_4$$

$$G_8 + S_6 = S_5 + S_6 = 2 S_6 = 2 S_6 = 2 K_6$$

b. h.

$$8K = 4G_3 + 2G_2 + G_1 + R.$$

Darf man die Gewichte ber Rollen G_1 , G_2 , G_3 gegen R vernachlässigen, so erhält man $8\,K=R$ bezw. $K=\frac{R}{8}$, und es ist allgemein für n lose Rollen:

$$K = \frac{R}{2^n}$$

Man nennt den Rollenzug wegen dieser Beziehung zwischen Kraft und Last auch wohl PotenzeFlaschenzug.

Sind die Gewichte G_1, G_2, \ldots einander gleich (=G), so gilt allgemein:

$$K = \frac{(2^n - 1)G + R}{2^n}.$$

3. Die belastete Seilkurve. Die Betrachtung eines Seiles MN, welches nur Belastungen $[G_1]$, $[G_2]$. . . trägt, wie es Fig. 199 darstellt, führt zu zwei wichtigen Sätzen.

Berlegt man die Kraft [S], welche das Seil in M hält, in vertitaler und horizontaler Richtung, so ändert die Belastung $[G_1]$ in A_1 nur die vertitale Komponente [V]. In A_1 ist also [H] mit $[V_1] \stackrel{}{\simeq} [V - G_1]$ zu einer Kraft $[S_1]$ zu vereinigen, deren Kichtung die Richtung des nächsten Seilstückes bestimmt.

Die Belastung $[G_2]$ in A_2 ändert wiederum nur die vertikale Komponente $[V_1]$ von $[S_1]$ u. s. w.

Demgemäß gilt für ein Seil, welches nur durch Belastungen (vertikal) in Anspruch genommen wird, folgendes:

- 1. Die horizontalen Komponenten der Kräfte, welche in den Seilstücken zur Wirkung kommen, der sogenannten Seilspannungen, haben überall denselben Wert. Man giebt dieser Thatsache den kurzen Ausdruck: die Horizontalspannung ist konstant.
- 2. Die vertikalen Komponenten je zweier Seilspannungen unterscheiden sich durch die Belastungen, welche zwischen ihnen liegen. Man giebt dieser Thatsache den kurzen Ausdruck: der Unterschied zweier Bertikalspannungen ist gleich der Summe der Zwischensbelastungen.

Die Säge bleiben bestehen, wenn das Seilpolygon in eine Seilsturve übergeht, wie es bei stetigen Belastungen der Fall ist. Man pflegt dann noch die Voraussetzung der vollständigen Biegsamkeit des Seiles durch den Sat darzustellen:

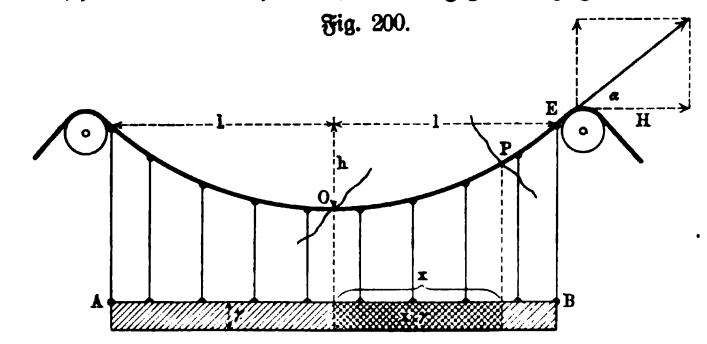
3. In jedem Punkte giebt die Tangente der Seilkurve die Richtung der in dem entsprechenden Elemente herrschenden Spannung an.

Von stetigen Belastungen sind für die Technik zwei Arten von bessonderer Bedeutung, die gleichmäßige Belastung der horizontalen Projektion des Seiles und die gleichmäßige Belastung des Seiles selbst.

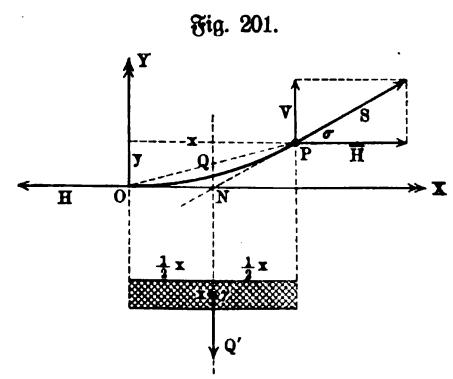
Ist im ersten Falle $1\,\mathrm{m}$ der Horizontalen durch $\gamma\,\mathrm{kg}$ belastet, so ist eine beliebige Horizontalstrecke x durch $x\gamma\,\mathrm{kg}$ belastet; ist im zweiten Falle $1\,\mathrm{m}$ des Seiles selbst durch $\gamma\,\mathrm{kg}$ belastet, so ist ein beliebiges Seilstück von der Länge s durch $s\gamma\,\mathrm{kg}$ belastet.

Der zweite Fall ist insofern von allgemeiner Bedeutung, als ein Seil von konstantem Querschnitte und von konstantem specifischem Gewichte stets durch sein eigenes Gewicht gleichmäßig belastet wird, doch läßt sich das Eigensgewicht meist zunächst oder überhaupt gegenüber den sonstigen Belastungen vernachlässigen.

Wir behandeln zunächst den ersten Fall. Er tritt z. B. angenähert ein, wenn eine schwere Brückenbahn AB, wie es Fig. 200 zeigt, an einem Seile



hängt, dessen Gewicht ebenso wie das Gewicht der Verbindungsstangen gegen das Gewicht der Brückenbahn vernachlässigt werden kann; genau würde die Voraussezung für unendlich viele Verbindungsstangen erfüllt sein.



Jerschneibet man das Seil im tiefsten Punkte O und in einem besliebigen Punkte P, so geben die Tangenten in O und in P die Richstungen der entsprechenden Spansnungen [H] und [S], wie es Fig. 201 zeigt. Die drei Kräfte [H], [S] und [xy] schneiden sich nach dem Saze von den drei Kräften in einem Punkte N. Da [xy] die Strecke x halbiert, so kennzeichnet sich die Seilsturve (vergl. S. 97 oben) als Pascabel.

Da [H] wegen der Symmetrie der Konstruktion horizontal gerichtet ist, so bezeichnet H die Horizontals spannung des Seiles. Da diese für jede Stelle des Seiles denselben Wert hat, so hat auch die horizontale Komponente $[\overline{H}]$ von [S] den Wert H. Der Unterschied V - 0 der Vertikalspannungen sür P und O ist gleich der Summe der zwischen P und O getragenen Belastung, d. h. $x\gamma$, so daß sich $V - 0 = x\gamma$ ergiebt.

Für O als Drehpunkt liefert der Momentensatz, da sich die Belastung $x\gamma$ in der Mitte von x vereinigt denken läßt:

$$\overline{H} \cdot y + (x\gamma) \cdot \frac{x}{2} - V \cdot x = 0,$$

b. h. man hat für $V=x\gamma$ und für $\overline{H}=H$

$$H \cdot y - \frac{1}{2} \gamma x^2 = 0$$

oder

$$x^2 = \frac{2H}{\gamma} \cdot y.$$

Da x und y die Koordinaten eines beliebigen Punktes P der Seilkurve bezeichnen, so ist diese eine Parabel vom Parameter $\frac{H}{\nu}$.

Für E in Fig. 200 ist x = l und y = h, so daß unter anderem

$$l^2 = \frac{2H}{\gamma} \cdot h$$

und demnach

$$H = \frac{1}{2} \gamma \frac{l^2}{h}$$

gilt, wobei 21 die Spannweite und h die Pfeilhöhe der Konstruktion genannt wird.

Für die Neigung von [S] gegen den Horizont gilt:

tang
$$\sigma = \frac{V}{H} = \frac{2 x h}{l^2}$$
,

während

$$S = \sqrt{V^2 + H^2} \quad \text{ift.}$$

Für E ist im besonderen

$$V = l \gamma$$
, $H = \frac{1}{2} \gamma \frac{l^2}{h}$ und $tang \alpha = \frac{2h}{l}$

und demgemäß muß die Befestigung des Seiles berechnet werden.

Für eine endliche Anzahl von Verbindungsstangen erhält man statt der Parabel ein Seileck, welches jener Parabel eingeschrieben ober umschrieben ist, je nachdem man Stücke wie $[x\gamma]$ in Fig. 201 an Stangen in O und in P ober an einer Stange in Q aufgehängt denkt. Überhaupt ist die Parabel die Kurve der gleichmäßigen Horizontalbelastung, worauf die Theorie der paras bolischen Träger beruht 1).

Im zweiten Falle, d. h. bei gleichmäßiger Belastung des Seiles, tritt die "Gemeine Kettenlinie" als Seilkurve auf, welche eine sein gegliederte, an zwei Nägeln aufgehangene Kette veranschaulicht.

Konstruiert man die beiden, zu einander symmetrisch gelegenen "Loga= rithmischen Linien"

$$y_1 = b \cdot e^{+\frac{x}{c}}$$
 und $y_2 = b \cdot e^{-\frac{x}{c}}$,

so bilden die Halbierungspunkte der, zwischen beiden Kurven gelegenen Ordi= naten eine sogenannte "Gewölbelinie", deren Gleichung demnach ist:

$$y = \frac{y_1 + y_2}{2} = \frac{b}{2} \left(e^{+\frac{x}{c}} + e^{-\frac{x}{c}} \right).$$

¹⁾ Bergl. unter anderem Ritter, Techn. Mechanit, § 61 u. f.

Im Sonderfalle b=c führt diese Gewölbelinie den Namen "Gemeine Kettenlinie". Gemäß der angegebenen Konstruktion hat der Scheitel der "Gemeinen Kettenlinie" die Entfernung b = c von der X=Achse. Soll diese im Scheitel Tangente sein, so muß eine Verschiebung um die Strecke c eintreten, so daß sich dann

$$y = -c + \frac{c}{2} \left(e^{+\frac{x}{c}} + e^{-\frac{x}{c}} \right)$$

als Gleichung für die "Gemeine Kettenlinie" ergiebt.

Dient die "Gemeine Kettenlinie" als Seilkurve, so ist c eine Strecke von der Länge $\frac{H}{\gamma}$, falls man die Horizontalspannung der Kette mit H und die Belastung für den laufenden Meter mit γ bezeichnet.

Die Entwickelung obiger Gleichung folgt durch eine ziemlich verwickelte Rechnung aus dem Ansatz $tang \sigma = \frac{V}{H}$ (vergl. Fig. 201).

Rechnet man die Länge s des Bogens vom Scheitel aus, so ist hier V-O=s. γ , so daß sich für H=c. γ ergiebt:

tang
$$\sigma = \frac{V}{H} = \frac{s}{c}$$
,

d. h. die Tangente des Neigungswinkels der Kurventangente gegen die Horizontale ist stets der (vom Scheitel aus gemessenen) Bogen= länge proportional.

Ist H im Verhältnisse zu γ sehr groß, wie es bei stark gespannten Ketten der Fall ist, so führt die Einführung der Reihen für $e^{+\frac{x}{c}}$ und $e^{-\frac{x}{c}}$ zu brauchbaren Annäherungen. Man sindet so:

$$y=\frac{x^2}{2c}+\frac{x^4}{24c^3}+\cdots$$

Die erste Annäherung $y=\frac{x^2}{2\,c}$ oder $x^2=2\,cy=2\,\frac{H}{\gamma}y$ sührt zus rück zu der oben behandelten Parabel; könnte die Kette zu einer horizonstalen Geraden gespannt werden, so würde thatsächlich die gleichmäßige Beslastung der Kette zugleich eine gleichmäßige Belastung der Horizontalen sein.

Die zweite Annäherung $y=\frac{x^2}{2\,c}+\frac{x^4}{24\,c^3}$ stellt eine Linie vierter Ordnung dar, die aber mit geringem Fehler durch eine Ellipse ersetzt werden kann. Man findet zunächst durch Umkehrung $x^2=-6\,c^2\left[1\,\stackrel{(+)}{-}\sqrt{1+\frac{2}{3}\,\frac{y}{c}}\right]$ und dann durch weitere Entwickelung der Wurzel $x^2=2\,c\,y-\frac{1}{3}\,y^2+\cdots$ Berschiebt man die x=Achse aus dem Scheitel auswärts um $3\,c$, so erhält man

$$\frac{x^2}{(c.\sqrt{3})^2} + \frac{y^2}{(3c)^2} = 1,$$

d. h. man gelangt zur Centralgleichung einer Ellipse, deren große Achse 6 e senkrecht liegt.

Zwischen der Länge s des Bogens der Kettenlinie und dessen Bertikal= projektion y bestehen die Beziehungen

$$y = -c + \sqrt{s^2 + c^2}$$
 und $s = \sqrt{y^2 + 2yc}$

woraus noch folgt:

$$c=\frac{s^2-y^2}{2\,y}.$$

Zwischen der Länge des Bogens s und dessen Horizontalprojektion x bestehen die Beziehungen:

$$x = c \cdot \log nat \cdot \left\{ \frac{s + \sqrt{s^2 + c^2}}{c} \right\}$$
 und $s = \frac{c}{2} \left(e^{+\frac{x}{c}} - e^{-\frac{x}{c}} \right)$.

Außerdem giebt noch die Umkehrung der Gleichung zwischen x und y die Beziehung:

$$x = c \log nat \cdot \left\{ \frac{y + c + \sqrt{y^2 + 2cy}}{c} \right\}.$$

Angenähert gilt unter der obigen Bedingung:

$$s = x + \frac{1}{6} \frac{x^3}{c^2} + \dots = x + \frac{2}{3} \frac{y^2}{x} + \dots$$

$$c = \frac{x^2 + \frac{1}{3} y^2}{2y}$$

$$tang \sigma = \frac{s}{c} = \frac{2y}{x} \left(1 + \frac{1}{3} \frac{y^2}{x^2} \right).$$

Erhält s am Ende E (vergl. Fig. 200) für x=l und y=h den Wert λ , so daß 2λ die ganze Länge der Kette bezeichnet, so ist z. B. in erster Annäherung $\lambda=l$ und in zweiter Annäherung

$$\lambda = l + \frac{2}{3} \frac{h^2}{l}.$$

Ferner ist

$$c=\frac{l^2+\frac{1}{8}h^2}{2h}$$

und

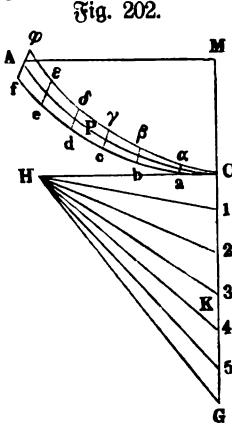
$$tang \alpha = \frac{2h}{l} \left(1 + \frac{1}{3} \frac{h^2}{l^2} \right)$$

in zweiter Annäherung, so daß damit auch $H=c\gamma$ und $V=\lambda\gamma$ bekannt ist.

Eine angenäherte Konstruktion der Kettenlinie erhält man gemäß Fig. 202, in welcher CH=c und $CG=\lambda$ ist.

Für
$$CK = s$$
 hat man

tang
$$KHC = \frac{KC}{CH} = \frac{s}{c} = tang \sigma$$
,

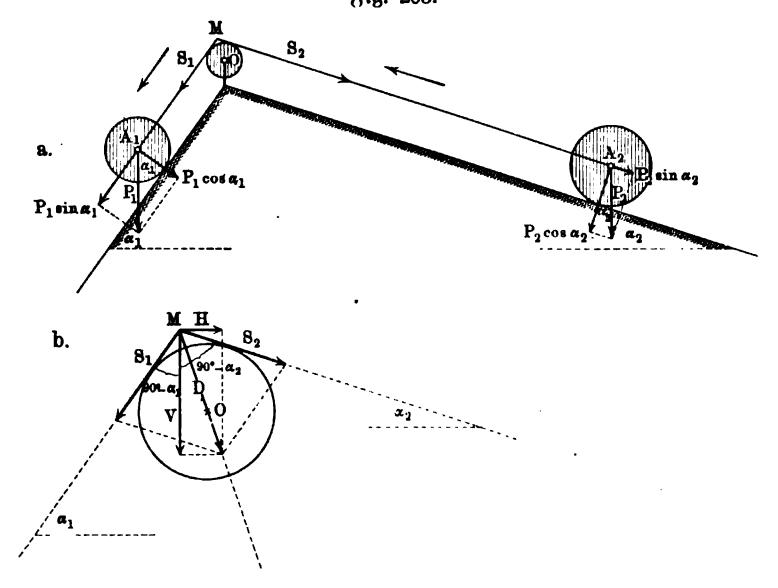


b. h. [HK] bestimmt die Tangente an der Kettenlinie im Punkte P, salls CP = CK = s ist, wobei HK der Spannung in P proportional (γ) ist.

Teilt man also die halbe Kettenlänge λ in n gleiche Teile $\frac{\lambda}{n}$, so ist für $Ca=ab=bc=\cdots\frac{\lambda}{n}$, salls Ca//Hc, ab//H1, bc//H2, ... ist, der Stredenzug $Cabc\ldots$ eine angenäherte Darstellung der Kettenlinie und ebenso der Stredenzug $C\alpha\beta\gamma\ldots$, bei welchem $C\alpha//H1$, $\alpha\beta//H2$, $\beta\gamma//H3$, ... ist, sür $C\alpha=\alpha\beta=\beta\gamma=\cdots\frac{\lambda}{n}$. Da die Kettenlinie thatsächlich zwischen beiden Stredenzügen liegt, so bestimmen die Mitten von $a\alpha$, $b\beta$, $c\gamma$ einen dritten Stredenzug, welcher die Kettenlinie noch genauer angiebt, als jene beiden.

Aus diesen Konstruktionen läßt sich übrigens durch einen Grenzübergang die genaue Gleichung der Kettenlinie herleiten.

4. Die Atwoodsche Fallmaschine mit geraden Führungen für die Belastungen. Die beiden Belastungen P_1 und P_2 (Cylinder von verschiedener Länge) der Fig. 203, welche durch ein, über eine Kolle geführtes Seil versig. 203.



bunden sind, gleiten auf schiefen Ebenen bezw. von den Neigungswinkeln α_1 und α_2 . Die Drucke auf die Ebenen sind bezw. $P_1\cos\alpha_1$ und $P_2\cos\alpha_2$, die treibenden Kräfte bezw. $P_1\sin\alpha_1$ und $P_2\sin\alpha_2$. Unter der Voraussetzung, daß die Seilstücke den schiefen Ebenen parallel sind, ist $P_1\sin\alpha_1 = P_2\sin\alpha_2$ die Bedingung des Gleichgewichtes und damit sind auch zugleich die Seils spannungen S_1 und S_2 bestimmt. Der Druck [D] auf die Achse der Kolle

ist, wenn der gemeinsame Wert von $[S_1]$ und $[S_2]$, welche den Winkel $180^\circ-\alpha_1-\alpha_2$ bilden, durch S bezeichnet wird:

$$D = 2 S \sin \frac{\alpha_1 + \alpha_2}{2}$$
.

Berlegt man D, wie es Fig. 203 b zeigt, in wagerechter und in senk-rechter Richtung, so ergiebt sich:

 $V = S (\sin \alpha_1 + \sin \alpha_2)$

und

$$H = S (\cos \alpha_2 - \cos \alpha_1)$$

Sitzt die Rolle in der Mitte ihrer Achse, so verteilt sich [S] bezw. [V] und [H] gleichmäßig auf die beiden Zapfen.

Wenn $P_1 \sin \alpha_1 > P_2 \sin \alpha_2$ ist, so tritt Bewegung ein im Sinne der Pseile der Fig. 203.

Die treibende Kraft $P_1 \sin \alpha_1 - P_2 \sin \alpha_2$ bewegt hier die Masse $\frac{P_1 + P_2}{g}$, so daß die Beschleunigung den Wert hat:

$$j = g \frac{P_1 \sin \alpha_1 - P_2 \sin \alpha_2}{P_1 + P_2}.$$

Die treibende Kraft $P_1 \sin \alpha_1$ zerlegt sich hier in die Effektivkraft $\frac{P_1}{g} \cdot j$, welche die Richtung der Bewegung MA_1 hat, und in die Seilspannung S_1 , so daß

 $P_1 \sin \alpha_1 = + \frac{P_1}{g} j + S_1$

b. h.

$$S_1 = \frac{P_1 P_2}{P_1 + P_2} \left(\sin \alpha_1 + \sin \alpha_2 \right)$$
 ift,

Die treibende Kraft $P_2 \sin \alpha_2$ zerlegt sich hier in die Effektivkraft $\frac{P_2}{g} \cdot j$, welche die Richtung der Bewegung $A_2 M$ hat, und in die Seilspannung S_2 , so daß

$$P_2 \sin \alpha_2 = -\frac{P_2}{g} j + S_2,$$

b. h.

$$S_2 = \frac{P_1 P_2}{P_1 + P_2} \left(\sin \alpha_1 + \sin \alpha_2 \right)$$
 ift.

Die Werte von S_1 und S_2 sind wieder einander gleich, so daß die weitere Betrachtung mit der Betrachtung für das Gleichgewicht übereinstimmt.

Das gilt aber nur, solange auf die Reibung keine Mücksicht genommen wird. Obige Formeln sezen voraus, daß im besondern auch keine Reibung zwischen Schnur und Rolle vorhänden ist und daß also die bewegliche Rolle z. B. auch durch einen festen Körper mit einer Nute für die Führung der Schnur ersett werden könnte.

Da die Rolle überhaupt erst infolge der Reibung zwischen ihr und der Schnur in Bewegung gesetzt wird, so entspricht diese Reibung der Bewegung der Rollenmasse. Ist Tr das Trägheitsmoment der Rolle, so ist bei einem Radius r für die reduzierte Wasse anzusetzen Tr $= mr^2$, falls man den entsprechenden materiellen Punkt wieder in die Schnur eingeknotet denkt. Vergl. S. 275.

Unter Berücksichtigung der Bewegung der Rolle hat man also

$$j = g \cdot \frac{P_1 \sin \alpha_1 - P_2 \sin \alpha_2}{P_1 + P_2 + \frac{\Re r \cdot g}{r^2}}$$

und

$$S_{1} = \frac{P_{1} P_{2} \left(\sin \alpha_{1} + \sin \alpha_{2} \right) + P_{1} \sin \alpha_{1} \frac{\mathfrak{Tr} \cdot g}{r^{2}}}{P_{1} + P_{2} + \frac{\mathfrak{Tr} \cdot g}{r^{2}}}$$

und

$$S_2 = \frac{P_1 P_2 (\sin \alpha_1 + \sin \alpha_2) + P_2 \sin \alpha_2 \frac{\mathfrak{Tr} \cdot g}{r^2}}{P_1 + P_2 + \frac{\mathfrak{Tr} \cdot g}{r^2}}$$

Da $P_1 \sin \alpha_1 > P_2 \sin \alpha_2$ ist, so ist jest $S_1 > S_2$.

Man kann sich vorstellen, daß der Überschuß von S_1 über S_2 die Beswegung der Rolle hervorruft, es ist nämlich:

$$S_1 - S_2 = m \cdot j.$$

Weiter auf die Reibung einzugehen, ist hier noch nicht am Plaze; es sollte die Reibung nur soweit berücksichtigt werden, als für die Einsicht in den Bewegungsvorgang notwendig ist.

Für $\alpha_1 = 90^\circ$ und $\alpha_2 = 0^\circ$ kommt man zurück zu Fig. 151, während man für $\alpha_1 = 90^\circ$ und $\alpha_2 = 90^\circ$ wieder zur Fig. 152 gelangt.

5. Das Wellrad mit horizontaler Achse bei geraden Führungen für die Belastungen. Gleichgewicht tritt für die in Fig. 204 angedeutete Vorzrichtung ein, wenn das Moment der treibenden Kräfte für den Drehpunkt Overschwindet, d. h. für

$$r_1 P_1 \sin \alpha_1 = r_2 P_2 \sin \alpha_2$$

Man hat dann $S_1 = P_1 \sin \alpha_1$ und $S_2 = P_2 \sin \alpha_2$ und damit ist auch die Bestimmung des Druckes [D] auf die Achse ermöglicht.

Für $r_1 P_1 \sin \alpha_1 > r_2 P_2 \sin \alpha_2$ tritt Bewegung ein im Sinne der gesteichneten Pfeile. Bezeichnet man die Winkelbeschleunigung der Bewegung mit ι , so hat A_1 die Beschleunigung $r_1 \iota$ und A_2 die Beschleunigung $r_2 \iota$, so daß $\frac{P_1}{g} r_1 \iota$ in der Richtung MA_1 und $\frac{P_2}{g} r_2 \iota$ in der Richtung $A_2 M$ bei der Bewegung Effektivkräfte sind. Für die Spannungen S_1 und S_2 gilt also:

1)
$$P_1 \sin \alpha_1 = + \frac{P_1}{a} r_1 \iota + S_1$$
 und $P_2 \sin \alpha_2 = - \frac{P_2}{a} r_2 \iota + S_2$.

Da sich die Rolle im Sinne des gezeichneten Pseiles dreht, so muß das Woment $S_1 r_1$ einen Überschuß gegenüber $S_2 r_2$ liefern. Bezeichnet man das Trägheitsmoment der Rolle mit Tr, so ist nach Formel 76:

$$\iota = \frac{S_1 r_1 - S_2 r_2}{\mathfrak{T}_r}.$$

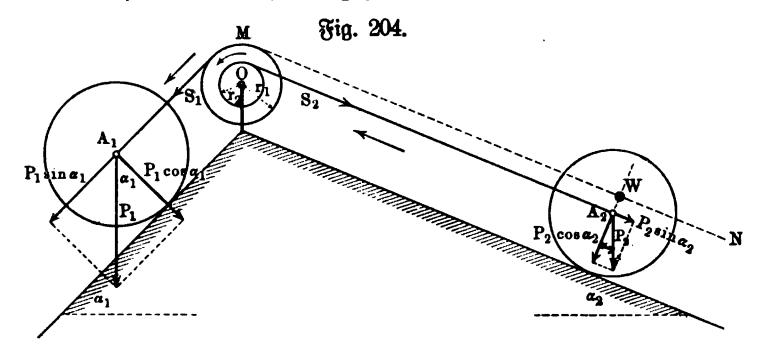
Setzt man die Werte von S_1 und S_2 aus 1) und 2) ein, so ergiebt sich:

$$\iota = \frac{r_1 P_1 \sin \alpha_1 - r_2 P_2 \sin \alpha_2}{\frac{P_1}{q} r_1^2 + \frac{P_2}{q} r_2^2 + \mathfrak{T}r}$$

und bamit auch S_1 und S_2 .

Diese Formel erhält man auch unmittelbar durch Formel 76, da P_1 und P_2 bezw. die Trägheitsmomente $\frac{P_1}{a}r_1^2$ und $\frac{P_2}{a}r_2^2$ liesern.

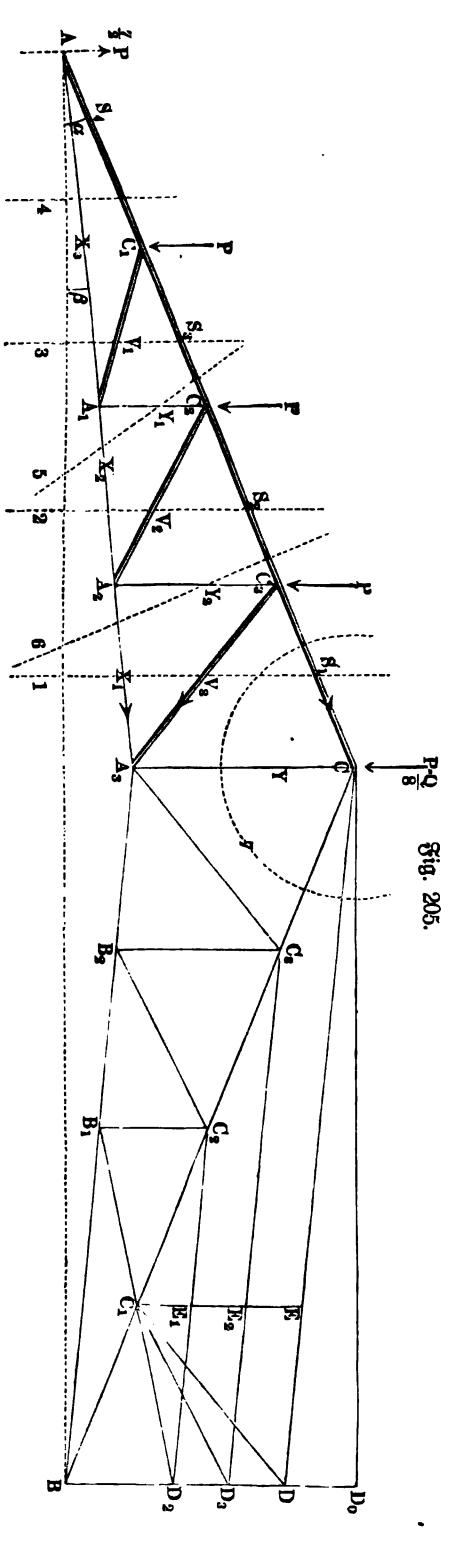
Vernachlässigt man die Masse der Rolle (Tr = 0) im Ausbrucke für ι , so folgt aus 1) wieder $S_1 r_1 = S_2 r_2$.



Will man bei der Herleitung von Gleichung 2 auf die Verwendung der Formel 76) verzichten, so kann man die Momente der Kräfte $P_2 \sin \alpha_2$ und S_2 vom Arme r_2 ersehen durch Kräfte U und V vom Arme r_1 , so daß $r_2 P_2 \sin \alpha_2 = Ur_1$ und $S_2 r_2 = Vr_1$ ist. Man muß dann auch die Masse von P_2 im Abstande r_2 durch eine Masse von W im Abstande r_1 ersehen, so daß die Trägheitsmomente beider Masse $\frac{P_2}{g} r_2^2$ und $\frac{W}{g} r_1^2$ einander gleich sind. Denkt man noch die Kolle durch einen materiellen Punkt von der Masse m_1 im Abstande r_1 erseht, so daß Tr m_1 ist, so spielt sich der ganze Vorgang auf der Schnur $A_1 M$ und deren gedachter Fortsehung MN ab. Wie in der vorigen Nummer ist nun für die Beschleunigung j auf $A_1 MN$

$$j = g \frac{P_1 \sin \alpha_1 - U}{P_1 + W + \frac{\mathfrak{Tr} \cdot g}{r_1^2}}$$

und man erhält für $j=\iota\,r_1$ und $U=\frac{r_2\,P_2\,\sin\alpha_2}{r_1}$ und $W=\frac{P_2\,r_2^2}{r_1^2}$ wieder den obigen Wert für ι .



6. Behandlung der Übungen 4 und 5 durch das Princip von d'Alembert. Die Lösung ergiebt sich unmittelbar nach § 66.

Berechnung ber Dach-

binder nach Ritters Methode. Der Binder eines Daches habe die in der Fig. 205 dargestellte Kon= struktion, und seine Gesamtbelastung, die wir als gleichmäßig darüber ver= teilt annehmen, sei Q. Jedes der acht Felder hat deshalb eine Be= lastung von $\frac{Q}{8}$ zu tragen, die in dem Schwerpunkte, d. i. in der Mitte jedes Sparrenteils, wirksam ge= dacht werden kann und sich zu $\frac{Q}{16}$ auf jeden der beiden benachbarten Anotenpunkte verteilt. Hieraus er= giebt sich die Belastung P eines jeden Anotenpunktes, mit Ausnahme der beiden Auflagerpunkte, zu 😽 · Man hat nun zunächst die Wirkung der Unterstützung als Kräfte (Auf= lagerreaktionen) darzustellen. Da die ganze Belastung 7 P beträgt, so tragen die Unterstützungen bei A und bei B wegen der Symmetrie der Konstruktion je die Hälfte, d. h. Statt dieser Unter= $\frac{7}{2}P=\frac{7}{16}Q.$ stützungen hat man also auswärts gerichtete Kräfte vom Werte $\frac{7}{2}P$ ans zubringen. Es ist nun die Inan= spruchnahme der einzelnen Berbin= dungsstangen in der vorgelegten Konstruktion zu berechnen. Zu dem Ende denke man die Konstruktion in zwei Teile zerlegt, durch einen Schnitt, welcher womöglich nur drei Stangen trifft, und benke an den Schnittpunkten in Richtung der Stangen Kräfte angebracht, die den weggeschnittenen Teil der Ron=

struktion ersetzen, d. h. also den ursprünglich vorhandenen Gleichgewichtszustand erhalten (vergl. S. 344). Der durch die punktierte Linie 1 dargestellte Schnitt verlangt hiernach die Anbringung der Kräfte S_1 , V_3 , X_1 . Nach dem Bor= gange Ritters bestimmt man sie durch den Momentensatz, indem man den Schnittpunkt zweier solcher Kräfte als Drehpunkt wählt. So ist bei dem Schnitt 1 für die Berechnung von S_1 Punkt A_3 als Drehpunkt zu nehmen; Awird Drehpunkt, wenn es sich um die Berechnung von V_3 handelt, und C_3 wird dazu gewählt, wenn man X_1 bestimmen will. Bei verwickelteren Konstruk=tionen kann der Fall eintreten, daß einzelne Stangen nur durch Schnitte zu erreichen sind, welche mehr als drei Stangen treffen. Auch in diesen Fällen läßt sich die angegebene Methode benutzen, a) wenn es gelingt, den Schnitt, der geradlinig oder krummlinig geführt werden kann, so zu legen, daß sämt= liche geschnittene Stangen sich bis auf die zu berechnende in einem Punkte schneiden, der dann natürlich zum Drehpunkte gewählt werden muß; b) wenn die nicht durch diesen Punkt gehenden und vom Schnitt getroffenen Stangen schon durch eine frühere Berechnung gefunden worden sind, ihre Spannungen also als bekannt in Rechnung gebracht werden können. Die sich bei dieser Berechnung ergebenden Resultate können mit einem positiven oder negativen Zeichen behaftet sein, und hat dies die Bedeutung, daß positiven Werten wirkliche Zugkräfte, negativen Werten dagegen Druckfräfte entsprechen. In der Figur sind die Spannweite mit AB, die Knotenpunkte der Sparren AC und BC mit C1, C2, C3 bezeichnet. Die Sparren bilden mit der Hori= zontalen AB den Winkel a, die Zugstangen AA3 und BA3 bilden mit der= felben Linie den Winkel β . Die auf der linken Seite der Figur eingeschriebenen Buchstaben S, X, Y, V bezeichnen die in den betreffenden Stangen vorhandenen Arafte, wobei die auf Druck in Anspruch genommenen Stangen in Doppellinien dargestellt sind. Die zur Berechnung dieser Kräfte geführten Schnitte sind durch punktierte Linien mit daneben angebrachten Zahlen be= zeichnet, welche die Reihenfolge der zu führenden Schnitte angeben. rechte Seite der Figur ist zur graphischen Darstellung der Kräfte S, X, Y und V benutzt, worüber weiter unten das Notwendige folgen wird.

Zur Berechnung von S_1 , X_1 und V_3 führen wir den Schnitt 1, nehmen, wie schon oben angegeben, der Reihe nach A_3 , C_3 und A als Drehpunkt an und erhalten:

$$S_{1} \cdot A C \frac{\cos \alpha \cdot \sin (\alpha - \beta)}{\cos \beta} + \frac{7}{2} P \cdot A C \cos \alpha - P \cdot A C (\frac{1}{4} + \frac{1}{2} + \frac{3}{4}) \cos \alpha = 0;$$

$$- X_{1} \cdot \frac{3}{4} A C \sin (\alpha - \beta) + \frac{7}{2} P \cdot \frac{3}{4} A C \cos \alpha - P \cdot A C (\frac{1}{2} + \frac{1}{4}) \cos \alpha = 0;$$

$$V_{3} \cdot \frac{3}{4} A C \sin A C_{3} A_{3} + P \cdot A C (\frac{1}{4} + \frac{1}{2} + \frac{3}{4}) \cos \alpha = 0.$$

Hieraus ergiebt sich:

$$S_{1} = -2P \frac{\cos \beta}{\sin (\alpha - \beta)} = -\frac{Q}{4} \frac{\cos \beta}{\sin (\alpha - \beta)}$$

$$X_{1} = \frac{5}{2}P \frac{\cos \alpha}{\sin (\alpha - \beta)} = Q(\frac{1}{4} + \frac{1}{16}) \frac{\cos \alpha}{\sin (\alpha - \beta)}$$

$$V_3 = -2P \frac{\cos\alpha}{\sin A C_3 A_3} = -\frac{Q}{4} \frac{\cos\alpha}{\sin A C_3 A_3}.$$

In gleicher Weise erhält man bei den Schnitten 2, 3, 4:

$$S_{2} = -Q\left(\frac{1}{4} + \frac{1}{16}\right) \frac{\cos \beta}{\sin(\alpha - \beta)}$$

$$X_{2} = Q\left(\frac{1}{4} + 2 \cdot \frac{1}{16}\right) \frac{\cos \alpha}{\sin(\alpha - \beta)}$$

$$V_{2} = -\frac{3}{4} \cdot \frac{Q}{4} \frac{\cos \alpha}{\sin A} \frac{1}{C_{2}} \frac{1}{A_{2}}$$

$$S_{3} = -Q\left(\frac{1}{4} + 2 \cdot \frac{1}{16}\right) \frac{\cos \beta}{\sin(\alpha - \beta)}$$

$$X_{3} = Q\left(\frac{1}{4} + 3 \cdot \frac{1}{16}\right) \frac{\cos \alpha}{\sin(\alpha - \beta)}$$

$$V_{1} = -\frac{1}{2} \cdot \frac{Q}{4} \frac{\cos \alpha}{\sin A} \frac{1}{C_{1}} \frac{\cos \beta}{A_{1}}$$

$$S_{4} = -Q\left(\frac{1}{4} + 3 \cdot \frac{1}{16}\right) \frac{\cos \beta}{\sin(\alpha - \beta)}$$

Durch Schnitt 5 und 6 für A als Drehpunkt ergiebt sich:

$$Y_1 = \frac{1}{4} \cdot \frac{Q}{4}; \quad Y_2 = \frac{1}{2} \cdot \frac{Q}{4}.$$

Der krummlinig geführte Schnitt 7 giebt schließlich, wenn man A eben= falls als Drehpunkt benutzt und den bereits gefundenen Wert S_1 , der in CB wirksam zu denken ist, dabei in Rechnung bringt:

$$(Y + P) A C \cos \alpha - 2P \frac{\cos \beta}{\sin (\alpha - \beta)} A C \sin 2\alpha = 0$$

$$Y = 4P \frac{\sin \alpha \cos \beta}{\sin (\alpha - \beta)} - P = 2\left(\frac{Q}{4} \frac{\sin \alpha \cos \beta}{\sin (\alpha - \beta)} - \frac{Q}{16}\right)$$

$$Y = 2\left(\frac{3}{4} \frac{Q}{4} \frac{\sin \alpha \cos \beta}{\sin (\alpha - \beta)} + \frac{1}{4} \frac{Q}{4} \frac{\cos \alpha \sin \beta}{\sin (\alpha - \beta)}\right).$$

Zur graphischen Darstellung der im vorstehenden durch Rechnung bestimmten Kräfte ziehe man CD_0 parallel mit AB, BD_0 normal zu AB; CD, C_3D_3 , C_2D_2 werden mit BA_3 parallel gezogen, und C_1 mit D_2 , D_3 , D verbunden, welche Verbindungslinien wieder mit B_1C_1 , B_2C_2 , A_3C_3 parallel lausen; endlich ziehe man C_1E mit BD parallel. Für diese Konstruktionen ergiebt sich:

$$BC = BD \frac{\cos \beta}{\sin (\alpha - \beta)}; \quad CD = BD \frac{\cos \alpha}{\sin (\alpha - \beta)};$$

$$C_1D = BD \frac{\cos \alpha}{\sin D C_1 B};$$

$$BD_0 = BD \frac{\sin \alpha \cos \beta}{\sin (\alpha - \beta)}; \quad DD_0 = BD \frac{\cos \alpha \sin \beta}{\sin (\alpha - \beta)}.$$

7.]

Setzt man in diesen Ausbrücken das Maß von BD gleich dem Maß von $\frac{Q}{4}$, so sind für die in der Figur dargestellte Dachkonstruktion die in den einzelnen Stangen auftretenden Kräfte durch folgende Linien dargestellt:

$$S_1 = BC$$
; $S_2 = BC + 1 \cdot BC_1$; $S_3 = BC + 2 \cdot BC_1$; $S_4 = BC + 3 \cdot BC_1$.

Man hat allgemein bei n Knotenpunkten:

$$S_n = BC + (n-1) \cdot BC_1.$$

Ferner ist

 $X_1 = CD + 1 \cdot DE$; $X_2 = CD + 2 \cdot DE$; $X_3 = CD + 3 \cdot DE$ und allgemein

$$X_{n-1} = CD + (n-1) \cdot DE;$$

 $V_1 = C_1D_2; V_2 = C_1D_3; V_3 = C_1D$

und allgemein

$$V_{n-1} = C_1 D_n;$$

 $Y_1 = C_1 E_1; Y_2 = C_1 E_2$

und allgemein

$$Y_{n-2} = C_1 E_{n-2}.$$

Die Anstrengung der mittleren Zugstange beträgt:

$$Y=2(C_1E+DD_0).$$

Denkt man die vorstehende Konstruktion in der Weise verändert, daß die Zugstangen AA_3 und BA_3 eine horizontale Lage annehmen, daß also der Punkt A_3 in die Linie AB rückt, so ist in den obigen Rechnungsresultaten $\beta=0$ zu setzen. Die graphische Darstellung behält dabei ihre Gültigkeit, es fällt D in D_0 , und dadurch wird DD_0 selbst zu Rull. Demnach verändert sich in den obigen Resultaten nur Y, die Anstrengung der mittleren Zugsstange, welche gleich $2C_1E$ wird.

Für die in Fig. 206 (a. f. S.) dargestellte Konstruktion gilt folgendes:

$$S_{1} = -Q \frac{\cos \beta}{\sin (\alpha - \beta)} \left(\frac{1}{4} + \frac{1}{8} + \frac{1}{16}\right) + Q \sin \alpha \left(\frac{1}{4} + \frac{1}{8}\right),$$

$$X_{1} = \frac{2 \cos \alpha \cos (\alpha - \beta)}{\sin (2 \alpha - \beta)},$$

$$T_{1} = Q \frac{\cos \alpha}{\sin (\alpha - \beta)} \left(\frac{1}{8} + \frac{1}{16}\right) + \frac{Q}{4} \frac{\cos \alpha \sin \beta}{\sin (\alpha - \beta) \sin (2 \alpha - \beta)},$$

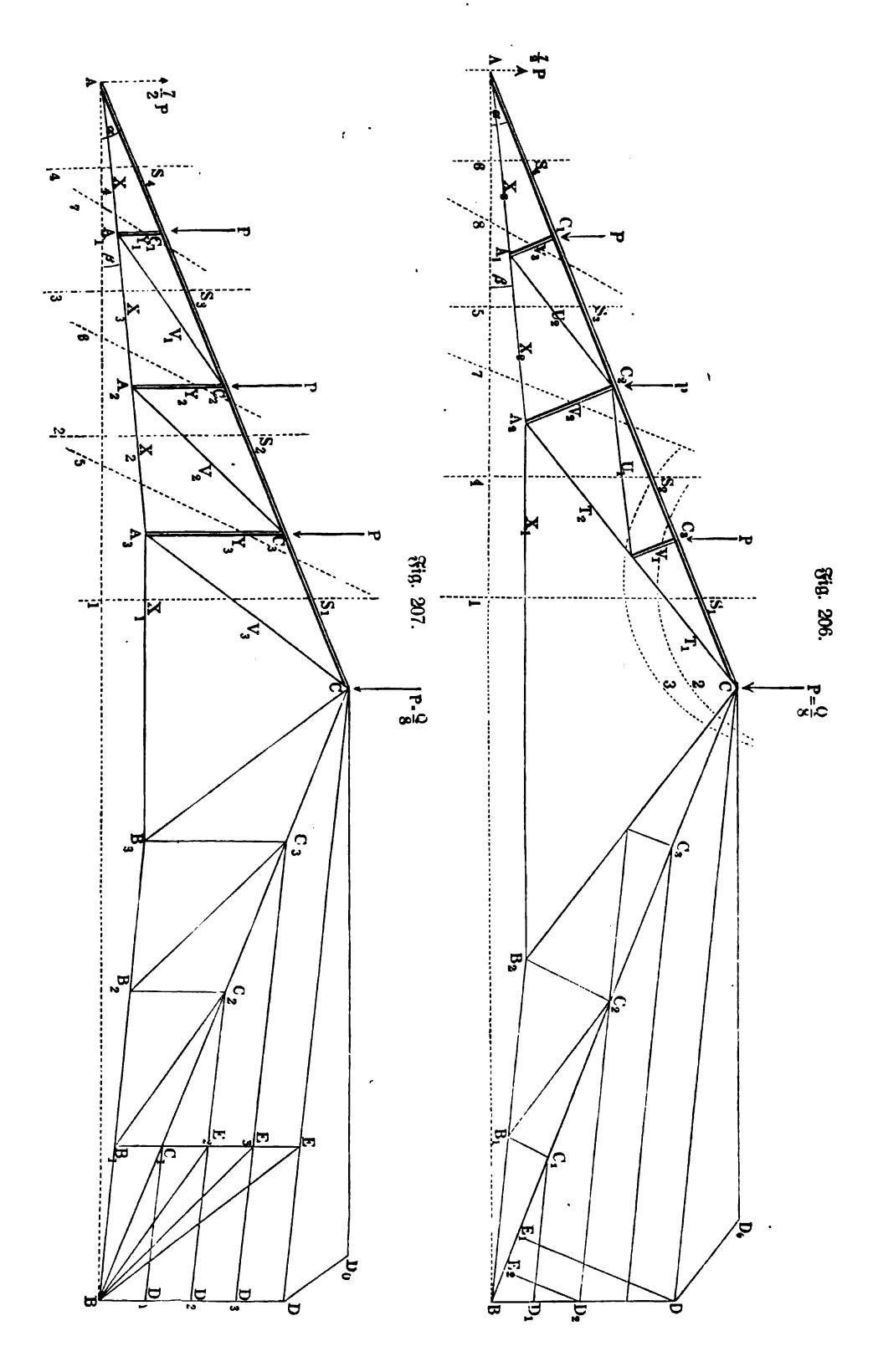
$$V_{1} = -\frac{Q}{8} \cos \alpha; \ U_{1} = \frac{Q}{16} \frac{\cos \alpha}{\sin (\alpha - \beta)},$$

$$S_{2} = -Q \frac{\cos \beta}{\sin (\alpha - \beta)} \left(\frac{1}{4} + \frac{1}{8} + \frac{1}{16}\right) + \frac{Q}{4} \sin \alpha,$$

$$T_{2} = \frac{Q}{8} \frac{\cos \alpha}{\sin (\alpha - \beta)} + \frac{Q}{4} \frac{\cos \alpha \sin \beta}{\sin (\alpha - \beta) \sin (2 \alpha - \beta)},$$

$$S_{3} = -Q \frac{\cos \beta}{\sin (\alpha - \beta)} \left(\frac{1}{4} + \frac{1}{8} + \frac{1}{16}\right) + \frac{Q}{8} \sin \alpha,$$

$$X_{2} = Q \frac{\sin \alpha}{\sin (\alpha - \beta)} \left(\frac{1}{4} + \frac{1}{8}\right); \ U_{2} = \frac{Q}{16} \frac{\cos \alpha}{\sin (\alpha - \beta)},$$



$$S_{4} = -Q \frac{\cos \beta}{\sin (\alpha - \beta)} (\frac{1}{4} + \frac{1}{8} + \frac{1}{16}),$$

$$X_{3} = Q \frac{\cos \alpha}{\sin (\alpha - \beta)} (\frac{1}{4} + \frac{1}{8} + \frac{1}{16}),$$

$$V_{2} = -\frac{Q}{4} \cos \alpha; V_{3} = -\frac{Q}{8} \cos \alpha.$$

Es sei BD normal zu AB; CD, C_2D_2 und C_1D_1 werden mit BB_2 parallel gezogen, ebenso CD_0 parallel mit AB, und DD_0 parallel mit CB_2 ; endlich seien DE und D_2E_2 normal zu BC, dann ist, das Waß von BD gleich dem Waß von $\frac{Q}{A}$ gesett:

$$S_{1} = BC + BC_{2} + BC_{1} - BE - BE_{2} = 7BC_{1} - 3BE_{2},$$

$$S_{2} = BC + BC_{2} + BC_{1} - BE = 7BC_{1} - 2BE_{2},$$

$$S_{3} = BC + BC_{2} + BC_{1} - BE_{2} = 7BC_{1} - 1BE_{2},$$

$$S_{4} = BC + BC_{2} + BC_{1} = 7BC_{1},$$

$$X_{1} = CD_{0}; X_{2} = CD + C_{2}D_{2} = 6C_{1}D_{1};$$

$$X_{3} = CD + C_{2}D_{2} + C_{1}D_{1} = 7C_{1}D_{1},$$

$$T_{1} = C_{2}D_{2} + C_{1}D_{1} + DD_{0} = 3C_{1}D_{1} + DD_{0};$$

$$T_{2} = C_{2}D_{2} + DD_{0} = 2C_{1}D_{1} + DD_{0},$$

$$U_{1} = U_{2} = C_{1}D_{1}; V_{1} = V_{3} = D_{2}E_{3}; V_{2} = DE.$$

Rücken die Punkte A_2 und B_2 in die Horizontale AB, so fällt D_0 mit D zusammen, deshalb ist DD_0 gleich Null und

$$T_1 = C_2 D_2 + C_1 D_1 = 3 C_1 D_1; T_2 = C_2 D_2 = 2 C_1 D_1.$$

Für die in Figur 207 dargestellte Konstruktion gilt solgendes: Es sei BD normal zu AB; CD, C_8D_3 , C_2D_2 , C_1D_1 werden mit BB_3 parallel gestogen; serner sei CD_0 mit AB, und DD_0 mit CB_3 parallel. Zieht man noch C_1E parallel mit BD, verbindet E, E_3 , E_2 mit B, welche Linien den Stangenrichtungen B_3C , B_2C_3 , B_1C_2 parallel laufen, und sett man das Maß von BD gleich dem Maß von $\frac{Q}{A}$, so ist:

$$S_1 = BC + BC_1; S_2 = BC + 2BC_1; S_3 = S_4 = BC + 3BC_1;$$

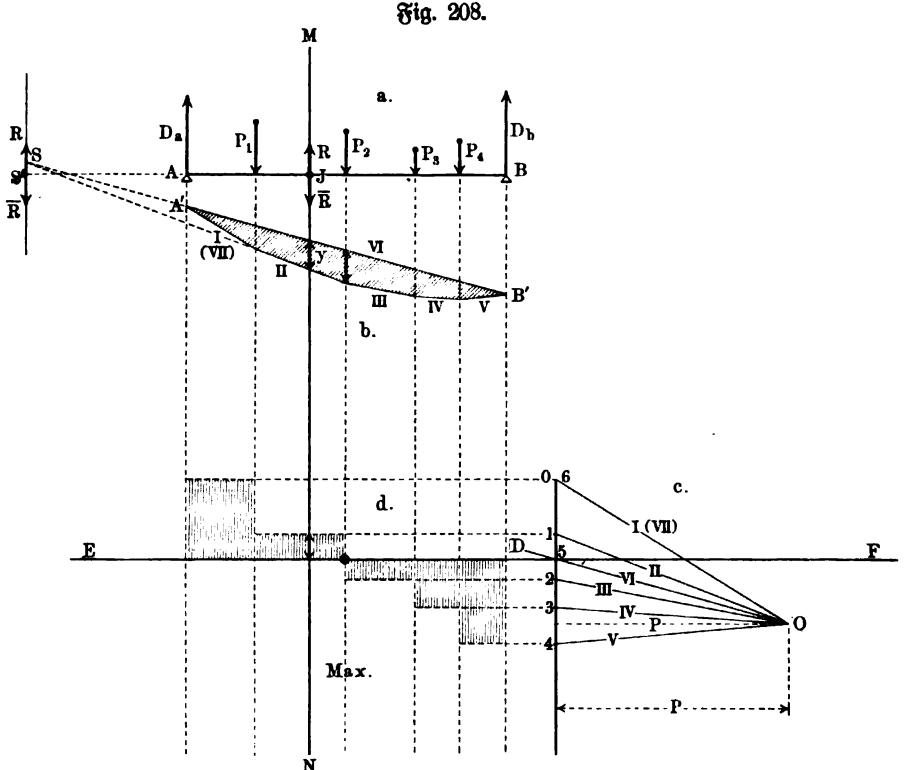
 $V_1 = BE_2; V_2 = BE_3; V_3 = BE + DD_0;$
 $X_1 = CD_0; X_2 = CD + DE; X_3 = CD + 2DE; X_4 = CD + 3DE;$
 $Y_1 = 2C_1E_2; Y_2 = 3C_1E_2; Y_3 = 4C_1E_2.$

Rücken die Punkte A_3 und B_3 in die Horizontale AB, so fällt D_0 mit D zusammen, DD_0 wird also Null und V_3 wird gleich BE.

8. Konstruktive (graphostatische) Behandlung von Balken mit Einzelslasten bei einscher horizontaler Lagerung. Bei einem frei auf zwei Stützen wagerecht ruhenden Balken (vergl. Fig. 208 a. f. S.), der durch einzelne Kräste senkrecht zu seiner Achse (Einzellasten) beansprucht ist, hat man zus nächst wieder die Wirkung der Stützen als Kräste (Auflagerreaktionen D_a und

 D_b) darzustellen. Rechnerisch geschieht dies am besten durch den Momentenssatz, indem man den Drehpunkt einmal nach A und einmal nach B legt, wobei die Gleichung $D_a + D_b = P_1 + P_2 + P_3 + P_4$ zur Kontrolle dient.

Bei der graphostatischen Behandlung hat man zwar $D_a + D_b$, nicht aber D_a und D_b , und demgemäß sehlt auch in der Nebensigur für die Folge P_1 , P_2 , P_3 , P_4 , D_b , D_a zunächst der Teilpunkt 5 und demnach auch der Polsstrahl O 5 oder VI. Legt man trozdem das Seileck, das sich hier schließen muß, in die Hauptsigur ein, so erhält man durch V den Schnittpunkt B'



und durch VII, welches ja mit I zusammenfällt, den Schnittpunkt A', d. h. A'B' ist VI. Die Parallele OD in der Nebenfigur zu A'B' in der Haupt= figur giebt also die Lage von Punkt 5. Dadurch ist $D_a + D_b = \overline{40}$ zerlegt in $D_b = \overline{45}$ und $D_a = \overline{50}$.

Um nun die inneren Kräfte (vergl. \S 65) an einer beliebigen Schnittstelle J, entsprechend dem Schnitt MN, kennen zu lernen, haben wir entweder das Trägerstück rechts vom Schnitte oder das Trägerstück links vom Schnitte sort= zudenken und zu fragen, welche Kräfte an seine Stelle im Schnitte anzu= bringen sind. Wit dem linken Trägerstücke beseitigt man die Kräfte $[D_a]$ und $[P_1]$. Da $D_a=\overline{50}$ und $P_1=\overline{01}$ ist, so ist die Resultante dieser Kräfte durch $\overline{51}$ bestimmt. Die Lage dieser Resultante wird bestimmt durch den

Schnittpunkt der offenen Enden eines Seilecks, welches den Kräften $\overline{50}$ und $\overline{01}$ entspricht. Dieses braucht nicht besonders gezeichnet zu werden, da es durch VI, I, II der Hauptsigur gegeben wird, so daß der Schnitt S von VI und II einen Punkt der Resultante [R] liesert. Das Moment von [R] für einen Punkt J der Schnittstelle als Drehpunkt ist zunächst +R. S'J, wosür aber (vergl. S. 327) auch +y. P gesetzt werden darf, falls man die Strecke auf MN durch y und die Poldistanz durch P bezeichnet.

Mit dem rechten Trägerstück beseitigt man die Kräste $[P_2]$, $[P_3]$, $[P_4]$ und $[D_b]$. Da $P_2=\overline{12}$, $P_3=\overline{23}$, $P_4=\overline{34}$ und $D_b=\overline{45}$ ist, so ist die Resultante dieser Kräste durch die Strecke $\overline{R}=\overline{15}$ bestimmt. Das entsprechende Seileck wird durch II, III, IV, V, VI der Hauptsigur gegeben, so daß der Schnitt der offenen Enden II und VI wieder den Punkt S für die Resultante liesert. Ihr Woment ist zunächst -R.S'J, wosür auch -y.P gesett werden kann.

Aus diesen Betrachtungen fließt die Regel: Um die inneren Kräfte an einer Stelle J des Balkens kennen zu lernen, legt man an dieser, senkrecht zur Achse des Balkens, einen geraden Schnitt. Berlängert man die Seiten des Seilecks, welche von diesem Schnitte getroffen werden, dis zu ihrem Schnittpunkte S, so gehen die Resultanten [R] und [R] der beiden Gruppen der äußeren Kräfte, welche der Schnitt abgrenzt, durch diesen Punkt. Die Größe dieser Resultanten, welche Gegenkräfte sind, bestimmt man aus dem Krafteck der Nebensigur. Die Momente der beiden Kräftegruppen sür die Schnittstelle als Drehpunkt werden durch die Produkte +y. P und -y. P dargestellt, in denen y die Strecke bezeichnet, welche das Seileck auf der Schnittgeraden MN abgrenzt, während P die Poldistanz ist, welche auch von vornherein gleich der Einheit der Kräfte gezeichnet werden kann, da die Lage von O ja völlig willkürlich ist.

Bringt man an der Schnittstelle in der Geraden MN die Kräfte [R] und $[\overline{R}]$ an, welche sich ausheben, so kann man entweder [R] in S' und $[\overline{R}]$ in J zu einem Krästepaar vom Moment +y. P zusammensassen, während noch [R] in J übrig bleibt, oder man kann $[\overline{R}]$ in S' und [R] in J zu einem Krästepaar vom Momente -y. P zusammensassen, während $[\overline{R}]$ in J übrig bleibt.

Thut man beides, nachdem man an der Schnittsläche die Kräfte [R] und $[\overline{R}]$ zweimal angebracht hat, so halten sich an der Schnittstelle [R] und $[\overline{R}]$, sowie + y . P und - y . P das Gleichgewicht, wie im voraus zu ersehen ist. Man nennt [R] und $[\overline{R}]$ in J die (vertikalen) Schubkräfte oder Transversalkräfte der Schnittstelle, man nennt ferner + y . P und - y . P die Drehungsmomente der Schnittstelle.

Die Kenntnis dieser Schubkräfte und Drehungsmomente ist für die Besurteilung der Leistungsfähigkeit des Trägers durchaus erforderlich. Sind die Schubkräfte zu groß, so zersplittert der Balken in der Vertikalen, sind die Drehungsmomente zu groß, so zerbricht der Balken durch Biegung.

Wählt man die eine Gruppe der Schubkräfte, z. B. die Gruppe, welcher [R] angehört, für die Untersuchung auß, so kann man sie leicht, wie es Fig. 208 d zeigt, mit Hülfe des Kraftecks unterhalb des Balkens graphisch

veranschaulichen, so daß jeder Schnitt MN die zu J gehörige Schubkraft liefert.

Klappt man die Fig. $208\,\mathrm{d}$ um die Gerade EF herum, so daß sie wieder in die Ebene der Zeichnung fällt, so erhält man die graphische Darsstellung sür die andere Gruppe, der ein Krafteck von der Folge P_4 , P_3 , . . . entsprechen würde.

Die schraffierte Fläche, welche das Seileck (Fig. 208 b) umschließt, heißt Momentenfläche.

Das Maximum von y, welches auf dem Reißbrette durch Verschiebung von A'B' gefunden wird, bezeichnet die Stelle, für welche das Woment ein Maximum ist, man nennt sie die gefährliche Stelle, den dort befindlichen Balkenquerschnitt den gefährlichen Duerschnitt, weil dort die Gesahr einer Zerstörung durch Biegung am größten ist. Sie liegt in diesem Falle stell in einem der Belastungspunkte des Balkens und zwar in dem, für welche die Schubkraft (vergl. Fig. 208 d) den Wert "Null" hat.

Das Maximum der Schubkraft liegt unter der Stütze, so daß also hier die Gesahr einer Zerstörung durch diese (Abscheren) am größten ist.

In Fig. 208 entsprechen die Balkenteile von links nach rechts 1,5; 2,0; 1,5; 1,0; 1,0 Metern und die Kräfte in derselben Folge 12, 10, 6, 8 Tonnen (=1000 kg). Ferner ist P=50 t.

Man nennt die Figuren 208b, 208c, 208d den zu Fig. 208a geshörigen Kräfteplan.

9. Behandlung von Balken mit stetiger Belastung bei einfacher horizontaler Lagerung. Wird der Balken der Nr. 8 nicht durch einzelne Kräfte in Anspruch genommen, sondern (wie es z. B. dem eigenen Gewichte des Balkens entspricht) durch eine stetige Belastung, so hat man zunächst für jedes Element der Balkenachse, dessen Belastung entsprechend, ein Lot erzrichtet zu denken; die Endpunkte dieser Lote bestimmen die sogenannte Bezlastungslinie.

Teilt man die Fläche zwischen Belastungslinie und Balkenachse, die sogenannte Belastungssläche, senkrecht zur Balkenachse, in Streisen von gleicher Breite, so kann man in dem Schwerpunkt jedes Streisens dessen Fläche als Belastung wirksam denken. Damit ist dieser Fall in beliebiger Annäherung auf den vorigen Fall zurückgeführt. Es ist zweckmäßig, die Breite der Streisen so gering zu nehmen, daß sie innerhalb der Grenzen der beabsichtigten Annäherung als Rechtecke angesehen werden können, so daß die Schwerpunkte auf halber Höhe liegen und die Belastungen stets diesen Höhen proportional sind.

Die Belastungslinie ist oft durch die Angabe der Art der Belastung geometrisch genau gegeben. Dies tritt z. B. in dem einsachsten, aber auch wichtigsten Falle ein, nämlich bei der gleichmäßigen Belastung der Horizontalen. Eine solche Belastung stellt z. B. das Eigengewicht jedes sonst unbelasteten prismatischen Balkens bei horizontaler Lagerung dar.

Die Belastungslinie ist hier (vergl. Fig. 209) eine Parallele AB zur Balkenachse AB, die Belastungsfläche ein Rechteck ABBA.

Beträgt die Belastung für den laufenden Meter, einschließlich des Eigensgewichtes des Balkens, γ kg, so hat ein Balken von der Länge l die Beslastung $Q = l \gamma$ zu tragen $(AB = l, AA = \gamma)$.

Die Auflagerreaktionen $[D_a]$ und $[D_b]$ werden hier einander gleich, d. h. man hat $D_a = D_b = \frac{1}{2} Q$.

Für einen Schnitt, der von A den Abstand x hat, ist die Schubkraft $D_a - x\gamma$, da AJ die Fig. 209. Belastung $x\gamma$ trägt.

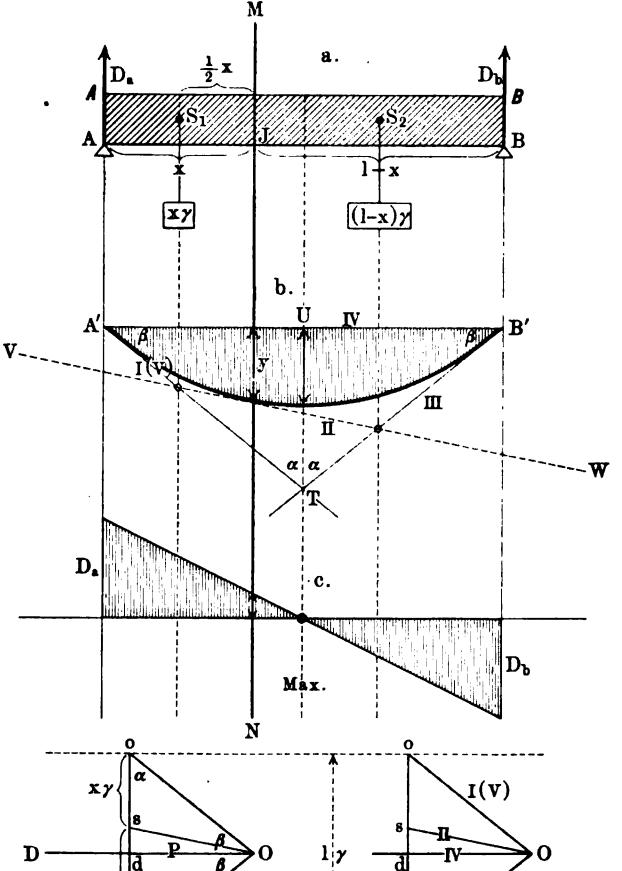
Die Schubkraft hat für $x = \frac{D_a}{\gamma} = \frac{1}{2}l$ den Wert Null, für x = o den Wert D_a und für x = l den Wert $-D_a$. In Fig. 209 c ist die Schubkraft graphisch dars gestellt.

Um das Moment

für die Schnittstelle J zu bestimmen, hat man zu beachten, daß sich die Belastung $x\gamma$ der Strecke x in ihrem Schwerpunkt konzentriert denken läßt, also am Arme $\frac{x}{2}$ wirkt für J als Drehpunkt. Man hat also, das linke Trägerstück benutzend, für das Moment y den Ansat:

$$= \frac{1}{2} \gamma (lx - x^2).$$
Es ist $y = 0$ sür $x = 0$ und sür $x = l$, während sür $x = \frac{l}{2}$ ershalten wird $y = \frac{1}{8} \gamma l^2 = \frac{1}{8} Q l$.

 $y = D_a \cdot x - (x \gamma) \frac{x}{2}$



Die graphische Darstellung des Momentes führt zu einer Parabel (vergl. Fig. 209 b).

d.

 $(1-x)\gamma$

Das Mazimum des Momentes liegt in der Mitte, entsprechend dem Werte "Null" der Schubkraft, deren Mazima wieder an den Enden liegen.

e.

Für das Krafteck ist $\overline{on} = l\gamma = Q$ und P = 1 und Oo = On. Die Polstrahlen Oo und On liefern die Endtangente A'T und B'T der Seilkurve (Parabel) in Fig. 209 b.

Wegen der Ahnlichkeit von $\triangle A'UT$ und Odo ist

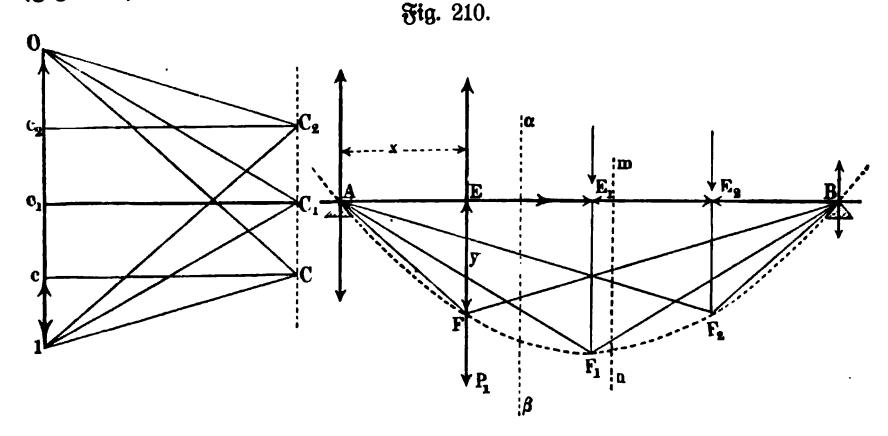
$$UT: \frac{1}{2}l\gamma = \frac{l}{2}: P,$$

d. h. man hat $UT = \frac{1}{4}\gamma l^2 = \frac{1}{4}Ql$ für P = 1, so daß der Scheitel der Parabel UT halbiert.

Um eine beliebige Tangente der Parabel VW und damit das zugehörige y zu erhalten, ohne die Parabel selbst zu zeichnen, versährt man solgenders maßen. Denkt man sich statt der stetigen Belastung zwei, dem Schnitte MN entsprechende Belastungen in S_1 und S_2 bezw. vom Werte $x\gamma$ und $(l-x)\gamma$, so würde Fig. 209 0 das zugehörige Krasteck darstellen, mit dessen Hülfe I, II, II, IV, V in Fig. 209 b eingezeichnet werden könnte. Demnach ist II die Berbindungsgerade der Schnittpunkte von A'T mit der Bertikalen durch S_1 und von B'T mit der Bertikalen durch S_2 bezw. die Parallele zu II der Nebensigur durch einen dieser Schnittpunkte.

Teilt man AB in eine Anzahl gleicher Teile, so erhält man nach Borsstehendem leicht die, den Schnitten dieser Teilung entsprechenden Tangenten, wobei die Parabel ausschattiert wird.

10. Der Balken mit beweglichen Lasten. Ein Balken AB sei in horizontaler Lage an beiden Enden unterstützt und beliebig belastet, und es bewege ssich außerdem eine Last P_1 von A nach B über den Balken fort (Fig. 210).



Man denke die Kraft P_1 in einer bestimmten Lage auf dem Balken, z. B. den Querschnitt in E angreisend, wobei AE gleich $\frac{1}{4}AB$ sein mag, dann ist der von P_1 herrührende, in A wirksame Druck gleich $\frac{3}{4}P_1$ und der in B wirksame gleich $\frac{1}{4}P_1$. Bei der Zeichnung des Kräfteplanes ist $O1 = P_1$ und c auf O1 so gewählt, daß $Oc = \frac{3}{4}O1$, also 1c und cO die Res

aktionen in B und A vorstellen. Errichtet man nun in c eine Normale cC und nimmt diese als Polabstand P, verbindet C wit O und 1, so sind CO, Cc und C1 die Richtungen der Seilpolygonseiten für den PolC und die angenommene Lage von P_1 , die Schlußlinie des Seispolygons ist daher mit AB parallel und kann in AB selbst gelegt werden, wodurch das Seilpolygon AFB entsteht.

Die in demselben mit EF parallel gezogenen Ordinaten stellen die von der beweglichen Last P_1 herrührenden Womente in den einzelnen Querschnitten vor, um welche sich also die in den Querschnitten bereits vorhandenen Momente, hervorgerufen durch stetig verteilte und konzentrierte Lasten, vergrößern. Zugleich ersieht man, daß dieses hinzuzufügende Moment für den Querschnitt am größten ist, über dem sich die bewegende Kraft gerade befindet. Während der Bewegung von P_1 vergrößert sich also das Moment Mo der außerhalb eines beliebigen Querschnitts wirkenden außeren Kräfte, und zwar besto mehr, je mehr sich P1 diesem Querschnitt nähert. Denkt man in gleicher Weise für verschiedene Lagen von P_1 den Kräfteplan verzeichnet, indem man die Schlußlinie AB des Seilpolygons beibehält, so muß sich der Pol C des Kräftepolygons in einer zu O1 parallelen Linie be-In der Figur sind unter dieser Voraussetzung noch die beiden Kräfteplane verzeichnet für den Fall, daß P_1 die Mitte E_1 des Balkens sowie den Punkt E_2 erreicht, welcher auf $\frac{3}{4}$ der Länge von AB angenommen worden ist. Nach dem Vorigen handelt es sich hauptsächlich um den geo= metrischen Ort der Punkte F, welcher zur Beurteilung der größten Momente genügt und die Verzeichnung der Kräftepläne für die verschiedenen Lagen von P_1 erübrigt. Es sei AE=x, EF=y und AB=l, so ist das, durch P_1 hervorgerusene, Moment Mo für den Querschnitt in E

$$Mo = y = P_1 \frac{(l-x)x}{l}$$
.

Verlegt man den Koordinaten=Anfangspunkt nach F_1 und nimmt den positiven Teil der Y=Achse nach oben gerichtet, so ergiebt sich als Gleichung des geometrischen Ortes für F

$$-y+\frac{P_1l}{4}=\frac{P_1}{l}\left(\frac{l}{2}-x\right)\left(\frac{l}{2}+x\right)$$

oder

$$x^2=\frac{l}{P_1}y,$$

woraus sich ergiebt, daß dieser geometrische Ort eine Parabel ist.

Behufs Untersuchung der Veränderung der Transversalkräfte in den einzelnen Querschnitten durch die von A nach B fortschreitende Last P_1 sei für eine beliebige Stelle E des Balkens die Kraft P_1 mit dem zugehörigen Kräfteplane verzeichnet, und es stelle mn den durch die stetig verteilten und konzentrierten Lasten bestimmten gefährlichen Querschnitt vor, für welchen also, abgesehen von der beweglichen Last P_1 , die Transversalkraft Kull, das Moment der äußeren Kräfte dagegen ein Maximum ist. Durch die beswegliche und in E angekommene Last vergrößert sich die in A bereits vors

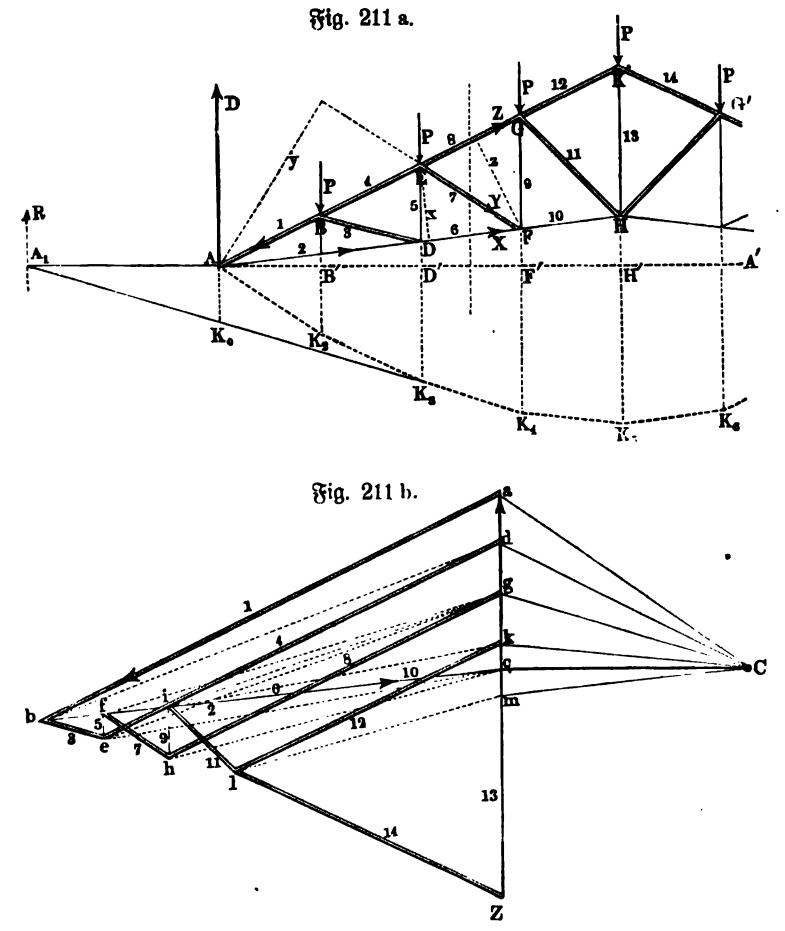
handene Reaktion um cO, und diese Vergrößerung ist in B gleich 1c. Für irgend einen rechts von E gelegenen Querschnitt, z. B. $\alpha \beta$, kommt zu der bereits vorhandenen Transversalkraft durch die bewegliche Kraft die abwärts wirkende Kraft $c\,O\,-P_1$ hinzu. Sehen wir die nach aufwärts gerichtete Kraftrichtung als die positive an, so wird hiernach die Transversalkraft in allen Querschnitten zwischen E und mn, für welche die Mittelkraft der bereits vor= handenen äußeren Kräfte nach oben gerichtet ist, um $cO - P_1 = c1$ vermindert, in den Querschnitten zwischen mn und B dagegen, für welche die Mittelkraft der bereits vorhandenen äußeren Kräfte nach unten gerichtet ist, um denselben Wert c1 in absoluter Hinsicht vergrößert. Wit dem Fortschreiten von P_1 nimmt cOab, während sich c 1 vergrößert. Je näher also P_1 dem in Betracht gezogenen Querschnitt kommt, desto größer wird c1, und diese Anderung der Transversalkraft in $\alpha\beta$ erreicht ihr Maximum, sobald P_1 in den fraglichen Quer= schnitt rückt. Überschreitet jetzt die Last P_1 den Querschnitt $\alpha \beta$, ist sie also z. B. nach E_2 gekommen, so ersahren die in den Querschnitten von A bis mn auftretenden Transversalkräfte, welche von den vorhandenen Belastungen herrühren und nach oben gerichtet sind, eine Vermehrung um cO, während die in den Querschnitten von mn bis E_2 wirksamen Transversalkräfte in absoluter Hinsicht um denselben Wert co vermindert werden, da deren Resul= tante nach unten gerichtet ist. Auch diese Anderung war am größten, als sich die Last in dem in Betracht gezogenen Querschnitt befand. Hiernach tritt in den einzelnen Querschnitten, sobald die Last darüber fortgeht, eine plögliche Anderung der zugehörigen Transversalkraft ein, indem die vor dem gefährlichen Querschnitte gelegenen Querschnitte eine Verminderung ihrer Transversalkraft erleiden, bis die Last an den betreffenden Querschnitt ge= langt, in welchem Augenblicke die größte Verminderung sich plöglich in die größte Vermehrung umset, d. h. für diese Querschnitte springen die Trans= versalkräfte von ihrem Minimal= zu ihrem Maximalwerte. Für die Quer= schnitte, welche hinter dem gefährlichen liegen, tritt das umgekehrte Verhalten ein, indem beim Überschreiten der Last der Maximalwert der Transversalkraft sich plöglich in seinen Minimalwert verwandelt.

Da beim Bewegen der Last P_1 die Summe der Transversalkräfte für die vor dem gefährlichen Querschnitte gelegenen Querschnitte kleiner, für die nach demselben gelegenen aber größer wird, der gefährliche Querschnitt aber jederzeit die Stelle einnimmt, für welche diese Summe gleich Null ist, so folgt darauß, daß der gefährliche Querschnitt der von dem einen Ende herkommensden Last entgegenrückt. Sobald sich Last und gefährlicher Querschnitt gestrossen, bewegt sich derselbe mit der Last vorwärts, überschreitet mit ihr seine ursprüngliche Lage und bleibt mit derselben dis zu der Stelle verbunden, wo er mit der von der entgegengesetzen Seite herkommenden Last zusammenstressen würde. Bon hier aus bewegt sich der gefährliche Querschnitt wieder zurück und erreicht seine ursprüngliche Lage in dem Augenblicke, wo die Last den Balken verläßt.

Wird der Kräfteplan der mobilen Last mit dem der stetig verteilten und der konzentrierten Belastung in gehöriger Weise verbunden, so lassen sich die Gesamt=Transversalkräfte, sowie das Moment der biegenden Kräfte für jeden

Querschnitt auf leichte Weise bestimmen, sowie sich dann auch die Querschnitte des Baltens ergeben, zwischen welchen der gefährliche Querschnitt hin= und hergeht.

11. Konstruktive (graphostatische) Behandlung eines Dachbinders. Die graphostatische Behandlung des ersten, der in Nr. 7 berechneten Dachbinder zeigt Fig. 211. Die früher für jedes Feld angenommene Belastung $\frac{Q}{8}$ ist gleich P gesetzt, und das Kräftepolygon $ad\ldots m$ in Fig. 211 b gezeichnet worden.



Wegen der gleichmäßigen Verteilung der Belastung auf beide Hälften des Dachbinders sind die Auflagerreaktionen gleich der halben Belastung und es ist demnach in A eine aufwärts wirkende Kraft gleich $\frac{7}{2}P = ca$ wirksam. Man zerlege ca nach Richtung von BA und DA, indem

man ab//BA und cb//DA zieht. Denkt man die Pfeile der Komponenten in die Stangenverbindungen eingetragen, so ersieht man, daß BA auf Druck, AD auf Zug in Anspruch genommen wird. An dem Anoten B wirken jett die beiden Kräfte 1 und P, welche sich zur Resultante bd vereinigen. Diese wird zerlegt nach Richtung BE und BD, wodurch sich die Kompo= nenten de und be, welche Druckfräfte sind, ergeben. Die an dem Knoten Dwirksamen Kräfte 2 und 3 werden zur Mittelkraft ec vereinigt und dann nach Richtung von DE und DF zerlegt, wodurch die Zugkräfte ef=5 und fc=6 entstehen. An dem Knoten E vereinigt sich 4, 5 und P zu fg, indem zuerst P mit 4 zu eg und eg mit ef zu fg vereinigt wird. Diese Kraft wird nach Richtung von EG und EF zerlegt, wodurch die Druckkräfte 7 und 8 entstehen. Die Vereinigung von 7 und 6 zu hc wird nach Rich= tung von FG und FH zerlegt, wodurch sich die Zugkräfte hi=9 und ic = 10 ergeben. Die Vereinigung von 8, 9 und P liefert die Kraft ikan dem Knoten G, welche nach Richtung von GK und GH zerlegt, die Druckfräfte il = 11 und lk = 12 liefert. Für den Knoten K vereinigt man 12 und P zur Kraft lm und zerlegt diese nach Richtung von KH und KG', so entsteht die Drudkraft lZ = 14 = lk und die Zugkraft mZ = 13. Auf der anderen Seite der Figur erleiden die entsprechend gelegenen Stangen dieselbe Inanspruchnahme wie die für die erste Hälfte bestimmten Stangen.

Man wähle den Pol C im Kräftepolygon so, daß Cc gleich der Kräfte= einheit, ziehe die Strahlen von C nur nach den äußeren Kräften und kon= struiere das denselben zugehörige Seilpolygon, dessen Schlußseite parallel mit Cc ober mit AA' ausfällt, dann geben die Ordinaten im Seilpolygone die Momente der auf den betreffenden Querschnitt einwirkenden äußeren Kräfte. Wir denken ein Feld des Trägers durchschnitten, den rechts liegenden Teil der Figur entfernt und in den drei durchschnittenen Stangen die Kräfte Z, Y, X. angebracht, welche das gestörte Gleichgewicht wieder herstellen. werde zur Berechnung der drei Kräfte Z, Y, X, den Bemerkungen auf S. 363 gemäß, der Momentenpunkt in F, A und E angenommen, so ist für F bas Moment der äußeren Kräfte gleich $F'K_4$, und die Resultante R hat ihren Angriffspunkt in A_1 . Es muß demnach $R \cdot A_1 F' = Zz = F' K_4$ sein, da die Kräfte Y und X verschwinden, unter s den Arm Z in Bezug auf F verstanden. Mißt man nun s auf dem Längenmaßstab, so ergiebt sich $Z=rac{F'K_4}{z}$, und zwar muß Z dem in der Figur angebrachten Pfeile entgegen wirksam sein, d. h. Z stellt einen Druck vor. Für E als Momentenpunkt ist $R \cdot A_1 D' = X \cdot x = D' K_3$, daher $X = \frac{D' K_3}{x}$, und zwar stellt diese Kraft eine Zugspannung dar. Für A als Momentenpunkt ist R . $AA_1 = Y$. y $=AK_0$, der Ühnlichkeit der Dreiecke gemäß, daher $Y=rac{AK_0}{v}$, für welche Kraft der Pfeil wiederum umgedreht werden muß, da FE auf Druck bean= sprucht wird. In ähnlicher Weise lassen sich mittels der Momentenmethode die inneren Kräfte für die verschiedenen Felder berechnen, bloß für die Stangen ${\cal AB}$ und ${\cal AD}$ wird man zweckmäßigerweise die oben durchgeführte Methode der Zerlegung anwenden.

In der Figur sind diejenigen Stangen, welche einen Druck zu erleiden haben, mit doppelten Linien außgezogen. Als Einheiten wurden benutzt: für die Längenabmessungen $\frac{1}{3}$ cm = 1 m, für die Belastungen 1 cm = 4500 kg. Die auf jeden Knoten wirkende Last P ist nach dem Krästepolygon gleich $Oa = \frac{2}{3}$ cm, also gleich 3000 kg, und die gemeinschaftliche Womentenbasse $Cc = 3\frac{1}{3}$ cm bezeichnet deßhalb 15000 kg. Ferner ergiebt sich auß der Figur: $F'K_4 = 2$ cm, $D'K_3 = 1.6$ cm, $AK_0 = 0.77$ cm, x = 1 cm, $y = 2\frac{5}{9}$ cm, $s = 1\frac{1}{3}$ cm. Multipliziert man diese Abmessungen dem Längenmaßstabe gemäß mit 3, so erhält man die wirklichen Längen in Metern. Hiernach ist also Xx = 15000. $D'K_3 = 72000$ mkg, Yy = -15000. $AK_0 = -34500$ mkg, Zs = -15000. $F'K_4 = -90000$ mkg;

$$X = \frac{72000}{3} = 24000 \,\mathrm{kg}; \quad Y = -\frac{34500}{7\frac{2}{3}} = -4500 \,\mathrm{kg};$$

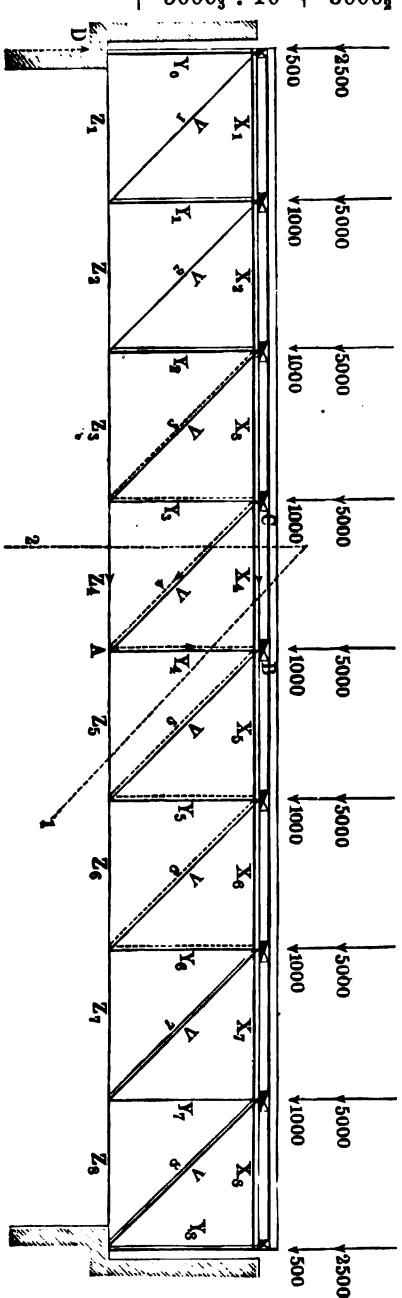
$$\dot{Z} = -\frac{90000}{4} = -22500 \,\mathrm{kg}.$$

Die letzten drei Werte lassen sich durch Abmessen der Linien 6 = cf $= 5\frac{1}{3}$ cm, 7 = fh = 1 cm und 8 = hg = 5 cm direkt erhalten, wenn man diese Abmessungen dem Belastungsmaßstabe gemäß mit 4500 multipliziert.

12. Berechung eines Brückenträgers. Zwei Fachwerkträger, aus quadratischen Feldern mit einsachem diagonalen System bestehend, von denen der eine in Fig. 212 (a. f. S.) dargestellt ist, tragen die Bahn einer Brücke. Die Belastung besteht hier aus einer konstanten, dem Gewicht der Konstruktion entsprechenden, und aus einer veränderlichen Last, von einem Bahnzug, Menschengedränge 2c. herrührend. Die konstante Last betrage 1000 kg und die veränderliche 5000 kg auf jeden Meter Länge. Diese ist auf die beiden Fachwerksträger gleichmäßig verteilt anzunehmen, so daß also auf jeden ders selben $\frac{1000}{2}$ kg und $\frac{5000}{2}$ kg für den lausenden Meter Länge in Rechnung zu bringen sind. Beträgt die Breite eines Feldes in jedem der beiden Träger $2\,\mathrm{m}$, so hat also jedes Feld $1000\,\mathrm{kg}$ konstante und $5000\,\mathrm{kg}$ veränderliche Belastung auszuhalten, woraus sich für jeden der Knotenpunkte eine Belastung von $\frac{1000}{2}$ kg und $\frac{5000}{2}$ kg ergiebt. Dies ist die wirkliche Maximalbelastung der beiden Endpunkte des Trägers, während die übrigen Knotenpunkte im Maximum eine Belastung von $1000\,\mathrm{kg}$ und $5000\,\mathrm{kg}$ du tragen haben.

Um die einzelnen Belastungen vom Werte 5000 unterscheiben zu können, geben wir ihnen die Marken, mit denen die unter ihnen liegenden Vertikalsstangen (Y_0, Y_1, \ldots) bezeichnet sind (vergl. Fig. 212), und schreiben überdieß $\frac{1}{2}.5000_0$ und $\frac{1}{2}.5000_s$ für 2500 an erster und letzter Stelle. Legt man den Drehpunkt in das Auslager rechts, so gilt zunächst sür [D] die Momentensgleichung:

$$D.16 = 1000 (2 + 4 + 6 + 8 + 10 + 12 + 14 + \frac{1}{2}.16) + 50007.2 + 50006.4 + 50005.6 + 50004.8 + 50003.10 + 50002.12 + 50001.14 + 50000.\frac{1}{2}.16.$$



Man sieht sosort, daß der Fortsall jedes Gliedes der Gruppe 5000 den Wert von D verringert, d. h. Derhält bei voller Belastung seinen größten Wert (Maximum), und es ist

$$D_{\text{Max}} = 24\,000\,\text{kg}.$$

Um ferner z. B. $[X_4]$, $[Y_4]$, $[Z_5]$ zu bestimmen, benutzt man den Schnitt 1. **Nan** hat für A als Drehpunkt:

$$X_4 \cdot 2 + D \cdot 8 - 1000 (2 + 4 + 6 + \frac{1}{2}8) - 5000_3 \cdot 2 - 5000_2 \cdot 4 - 5000_1 \cdot 6 - 5000_0 \cdot \frac{1}{2} \cdot 8 = 0.$$

Setzt man für D den zuerst ent= wickelten Wert ein, so hat man

$$X_4 \cdot 2 = -1000 \cdot 32 + 1000 \cdot 16$$

 $-5000_7 \cdot 1 - 5000_6 \cdot 2$
 $-5000_5 \cdot 3 - 5000_4 \cdot 4$
 $-5000_3 \cdot (5-2) - 5000_2 \cdot (6-4)$
 $-5000_1 \cdot (7-6) - 5000_0 \cdot \frac{1}{2} \cdot (8-8)$.

Man sieht wieder sofort, daß der Fortfall jedes Gliedes der Gruppe 5000 den Zahlenwert von X4, welcher negativ (Druck) ist, verringert, so daß auch X4 bei voller Belastung seinen größten Wert erhält, und es ist

$$(X_4)_{\text{Max}} = -48000 \text{ kg}.$$

Ebenso findet man mit Hülfe des Drehpunktes B, daß $[Z_5]$ bei voller Bezlastung seinen größten Wert (Zug) hat, und es ist

$$(Z_5)_{Max} = + 48000 \text{ kg}.$$

Bur Berechnung von $[Y_4]$ müßte man nach der Ritterschen Regel den Schnittpunkt der Geraden von $[X_4]$ und $[Z_5]$ als Drehpunkt wählen. Dies geht nicht an, weil diese Geraden parallel sind. Statt dessen kann man unter Benutzung der Werte von $[X_4]$ oder $[Z_5]$ den Drehpunkt auf der Geraden

von $[Z_5]$ oder $[X_4]$ nehmen, z. B. in C. Da $[Y_4]$ vertikal liegt, so kann man statt dessen auch einsach die Summe der Vertikalkräfte bilden. Es ist dann:

$$D + Y_4 = 1000 \cdot 3\frac{1}{2} + 5000_3 + 5000_2 + 5000_1 + \frac{1}{2} \cdot 5000_0$$

Bei Einführung des Wertes von D erhält man:

$$Y_4 = -1000 \cdot \frac{1}{2} - 5000_7 \cdot \frac{1}{8} - 5000_6 \cdot \frac{2}{8} - 5000_5 \cdot \frac{3}{8} - 5000_4 \cdot \frac{4}{8} + 5000_8 \cdot (1 - \frac{5}{8}) + 5000_2 \cdot (1 - \frac{6}{8}) + 5000_1 \cdot (1 - \frac{7}{8}) + 5000_6 \cdot \frac{1}{2} \cdot (1 - \frac{8}{8}).$$

Bei voller Belastung ergiebt sich zunächst:

$$Y_4 = -3000 \,\mathrm{kg}$$
.

Dieser Wert ist aber hier durchaus nicht das Maximum von Y_4 .

Die Belastungen der Gruppe 5000 treten, soweit sie von der rechten Seite des Trägers stammen, mit negativem Zeichen, und soweit sie von der linken Seite des Trägers stammen, mit positivem Zeichen auf. Dem= nach läßt sich der negative Wert von Y_4 steigern, wenn mehrere oder alle Belastungen der Gruppe 5000 links von AB fortfallen, und man erhält

$$Y_4 = -6750 \,\mathrm{kg}$$

bei unbelasteter linker und voll belasteter rechter Seite. Bei unbelasteter rechter und voll belasteter linker Seite ergiebt sich

$$Y_4 = + 3250 \,\mathrm{kg}$$
.

Die Spannung $[Y_4]$ hat also nicht bei voller Belastung ihren größten Wert, sie ist eine Druckspannung, wenn die unbelastete Brücke von rechts aus belastet wird, mit dem Maximum $6750 \, \mathrm{kg}$ und eine Zugspannung, wenn die unbelastete Brücke von links aus belastet wird, mit dem Maximum $3250 \, \mathrm{kg}$.

Die Bewegung einer Last von rechts nach links und die Bewegung einer Last von links nach rechts über die Brücke veranschaulicht diese Beziehungen.

Um etwa noch $[V_4]$ zu berechnen, benutt man den Schnitt 2. Der Schnittpunkt von $[X_4]$ und $[Z_4]$ läge wieder im Unendlichen, so daß er als Drehpunkt unbrauchbar ist.

Wählt man den linken Auflagerpunkt als Drehpunkt, so kommt $[Z_4]$ nicht in Frage, und man hat zunächst den Abstand des Drehpunktes von $[V_4]$ festzustellen.

Da die Diagonale eines der Quadrate des Gitters $2\sqrt{2}\,\mathrm{m}$ ist, so ist dieser Abstand $4\sqrt{2}\,m$.

Demnach gilt:

$$+4\sqrt{2} \cdot V_4 + X_4 \cdot 2 + 1000 (6 + 4 + 2) + 5000_3 \cdot 6 + 5000_2 \cdot 4 + 5000_1 \cdot 2 = 0.$$

Nach Einführung von X4 erhält man:

$$\begin{array}{c} \frac{1}{2}\sqrt{2} \cdot V_4 = 500 + 5000_7 \cdot \frac{1}{8} + 5000_6 \cdot \frac{2}{8} + 5000_5 \cdot \frac{3}{8} + 5000_4 \cdot \frac{4}{8} \\ - 5000_3 \cdot \frac{3}{8} - 5000_2 \cdot \frac{2}{8} - 5000_1 \cdot \frac{1}{8}. \end{array}$$

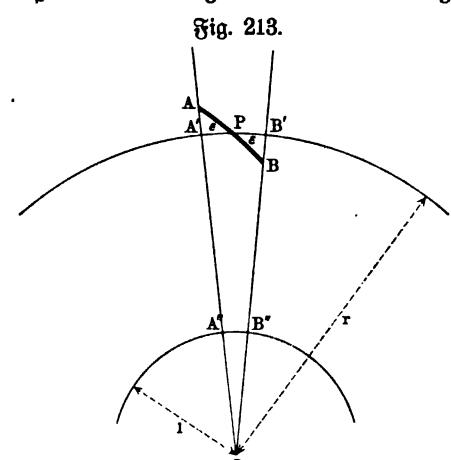
Der Wert $+\frac{1}{2}\sqrt{2}$. V_4 stimmt überein mit — Y_4 und demnach gelten für V_4 ähnliche Beziehungen wie für Y_4 . Bei unbelasteter linker und belasteter rechter Seite erhält V_4 sein Maximum als Zug im Werte von ungefähr

 $9550 \, \mathrm{kg}$, bei unbelasteter rechter und belasteter linker Seite erhält V_4 sein Maximum als Druck im Werte von ungefähr $4600 \, \mathrm{kg}$.

Die weitere Rechnung bietet keine Schwierigkeiten.

13. Das Potential der konzentrisch=homogen=geschichteten Angel bei Geltung des Newtonschen Gesetzes. Wenn die gegenseitige Einwirkung der Atome zweier starrer Körper durch das Newtonsche Gesetz bestimmt wird, wie es sur Körper der Außenwelt der Fall ist, so wirkt an jedem der beiden Körper ein System von unendlich=vielen Kräften 1). Sind die beiden Körper konzentrisch=homogen=geschichtete Kugeln, wie es bei den Himmels=körpern angenähert zutrifft, so ist die Behandlung der entsprechenden Kraft=systeme verhältnismäßig leicht durchzusühren.

Wir betrachten dazu einen solchen Körper, d. h. wir setzen voraus, daß uns eine Kugel vom Radius R gegeben ist, welche in n konzentrische



Schichten zerlegt werden kann, und zwar so, daß die einzelne Schicht homogen ist, während die Dichtigkeit von Schicht zu Schicht wechseln kann.

Die äußerste Schicht hat dann bei einer Dicke d den Inhalt $\frac{4}{8}R^3\pi$ $-\frac{4}{8}(R-d)^3\pi = 4R^2d\pi - 4Rd^2\pi$ $+\frac{4}{8}d^3\pi$, so daß $4\pi R^2d$ bei kleinem d die erste Annäherung dieses Inshaltes darstellt.

Die Masse dieser Schicht läßt sich bei einer Dichtigkeit δ durch $4\pi R^2 d\delta$ außdrücken.

Zu einem unendlich-kleinen, bei P gelegenen Flächenteilchen f der äußeren Begrenzung einer solchen

Schicht gehört dann ein Körperteilchen von der Masse $fd\delta$. Steht dieses mit einem materiellen Punkte Q von der Masse μ in gegenseitiger Einwirkung nach dem Newtonschen Gesetze, so hat die entsprechende Kraft für PQ=r den Wert

$$k \cdot \frac{(fd\delta)\mu}{r^3}$$

Der Bau dieses Ausdruckes, in welchem nur $\frac{f}{r^2}$ für die einzelnen Körpersteilchen der Schicht veränderlich ist, legt eine zweckmäßige Veranschaulichung nahe. Schlägt man, wie Fig. 213 andeutet, um Q mit r eine Kugel, welche f in P unter dem Winkel ε schneidet, so hat die Centralprojektion (entsprechend A'B') von f (entsprechend AB) aus Q als Centrum auf diese Kugel den Wert $f\cos\varepsilon$.

¹⁾ Vergl. dazu des Verfassers "Beiträge zur Theorie der centrodynamischen Körper", Braunschweig, Programm, 1892.

Reduziert man diese Projektion $f\cos\varepsilon$ auf eine Einheitskugel vom Mittel= punkte Q, so hat diese reduzierte Projektion (entsprechend A''B'') wegen der Ühnlichkeit der Abbildungen den Wert:

$$\frac{f\cos\varepsilon}{r^2}$$
.

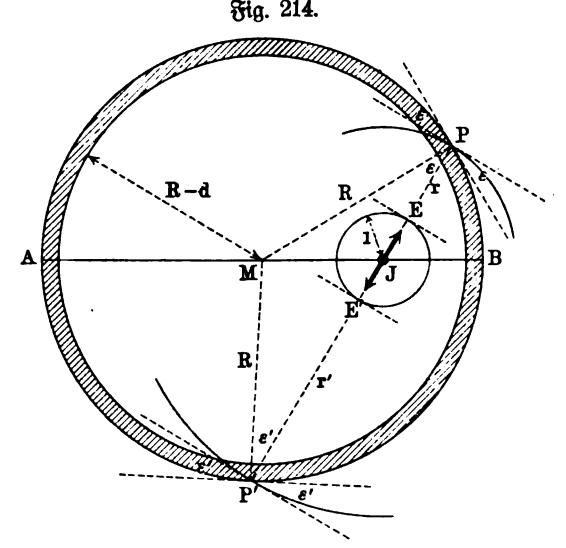
Wir betrachten nun zunächst, wie es Fig. 214 zeigt, eine Schicht in ihrer gegenseitigen Einwirkung mit einem materiellen Punkte J, der in ihrem Hohl=

raume liegt. Ordnet man dem bei Pgelegenen Flächensteilchen f durch Centralsprojektion in Bezug auf das Centrum J das bei Pgelegene Flächenteilchen fzu, so sind die Fig. 213 entsprechenden Flächen auf der Einheitskugel um J als Gegenflächen einander gleich, d. h. man hat:

$$\frac{f\cos\varepsilon}{r^2} = \frac{f'\cos\varepsilon'}{r'^2}.$$

Da außerdem $\varepsilon = \varepsilon'$ ist wegen der Gleichschenkligsteit von $\triangle PMP'$, so ist auch:

$$\frac{f}{r^2} = \frac{f'}{r'^2}$$



Demnach sind die Kräste, welche die bei P und P' gelegenen Körpersteilchen auf den materiellen Punkt in J ausüben, Gegenkräste, d. h. sie heben sich auf. Da die ganze Schicht in solche Paare von Flächenteilchen f und f' zerlegt werden kann, so hat die Krast, welche der gegenseitigen Einwirkung der ganzen Schicht und des materiellen Punktes in J entspricht, den Wert 0, d. h. die Schicht und ein in ihrem Innenraum gelegener materieller Punkt beeinflussen sich überhaupt nicht.

Um nun serner den Einfluß einer Schicht auf einen äußeren Punkt U zu bestimmen (vergl. Fig. 215 a. s. S.), ziehen wir den Satz heran, daß PU und PJ in dem bestimmten Verhältnisse BU:BJ stehen (Kreis des Apollonius), wenn A, J, B, U harmonische Punkte sind. Vestimmt man also zu U den Punkt J so, daß A, J, B, U harmonische Punkte sind, so gilt sür

$$PU = \overline{r}$$
 und $P'U = \overline{r}$, falls $\frac{BU}{BJ} = \lambda$ ift, $\overline{r} = r \cdot \lambda$ und $\overline{r'} = r' \cdot \lambda$.

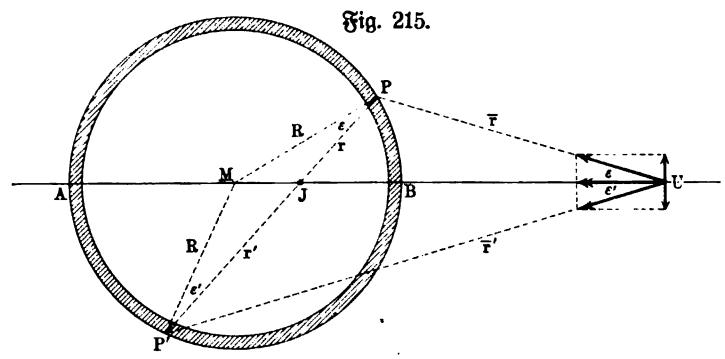
Die Körperelemente, welche bei P und P' bezw. zu den Flächenelementen f und f' gehören, liefern also in ihrer gegenseitigen Einwirkung mit dem materiellen Punkte U, bezw. Kräfte vom Werte:

$$k \frac{(fd\delta)\mu}{(r)^2} = k \frac{(fd\delta)\mu}{r^2} \cdot \frac{1}{\lambda^2} \quad \text{unb} \quad k \frac{(f'd\delta)\mu}{(r')^2} = k \frac{(f'd\delta)\mu}{r'^2} \cdot \frac{1}{\lambda^2}.$$

Diese Kraftwerte sind einander gleich, wenn $\frac{f}{r^2} = \frac{f'}{r'^2}$ ist, d. h. wenn man f und f' wiederum durch Centralprojektion auß J abgrenzt.

Setzt man dieses fest, so sind in den Geraden PU und P'U Kräfte von gleichem Werte nach dem Parallelogrammgesetze zu vereinigen.

Da MJ. $MU = R^2$, d. h. $\frac{MJ}{R} = \frac{R}{MU}$ ist, so ist $\triangle JMP \sim \triangle PMU$, weil diese Dreiecke außerdem im $\angle PMU$ übereinstimmen, und demnach ist $\angle PUM = \varepsilon$; ebenso ist $\angle PUM = \varepsilon'$. Da also $\angle PUM = \angle PUM$



ist, so zerstören sich die Komponenten der Kräfte in U, welche senkrecht zu UM sind, während sich die Komponenten auf UM addieren und die Kraft

$$2 k \frac{(fd\delta)\mu}{r^2} \cdot \cos \varepsilon \cdot \frac{1}{\lambda^2}$$

liefern, die von irgend einem auf UM gelegenen Punkte ausgehend gedacht werden kann.

Da $\frac{f\cos\varepsilon}{r^2}$ die Centralprojektion von f auf die Einheitskugel aus J ist, so läßt sich die Resultante der P und P' entsprechenden Kräfte herleiten, wenn man die Centralprojektion von f oder von f' auf die Einheitskugel mit der Konstante $2k\frac{d\delta\mu}{d^2}$ multipliziert.

Legt man nun durch J irgend eine Ebene, so zerlegt diese die gegebene Kugel in zwei Kalotten, deren Centralprojektionen auß J auf die Einheitß-kugel einander gleich und zwar gleich der halben Oberfläche (2π) der Einheitßkugel sind. Zerlegt man die eine Kalotte in lauter Elemente f und ordnet man jedem dieser Elemente f durch Centralprojektion auß J ein Element f' zu, so sallen die Elemente f' der anderen Kalotte auß.

Demnach entspricht der gegenseitigen Einwirkung der ganzen Rugel=
schicht und des materiellen Punktes U eine in der Geraden UM gelegene Kraft, deren Wert erhalten wird, indem man die Summe 2π der Central=
projektionen aller Elemente f oder aller Elemente f' aus J auf die Einheits=
kugel mit der Konstante $2k\frac{d\delta\mu}{ds}$ multipliziert.

Diese Kraft hat also den Wert:

$$K = k \cdot \frac{4\pi d\delta\mu}{\lambda^2}.$$

Da $\lambda = \frac{BU}{BJ} = \frac{PU}{PJ}$ wegen der Ähnlichkeit von \triangle PMJ und \triangle MUP

den Wert $\frac{MU}{R}$ hat, so erhält man für $MU=\varrho$:

$$K = k \cdot \frac{(4 \pi R^2 d \delta) \cdot \mu}{\varrho^2}.$$

Bezeichnet man die Masse der Schicht durch m, so ist:

$$K = k \frac{m \mu}{\varrho^2},$$

d. h. die Kraft entspricht zwei materiellen Punkten von den Massen m und μ und dem Abstande $\varrho = MU$.

Denkt man sich also die Masse m der Kugelschicht in ihrem Mittelpunkte M verdichtet, so entspricht die Kraft K der gegen=seitigen Einwirkung zweier materieller Punkte M und U bezw. von den Massen m und μ .

Für weitere Anwendungen ist noch die Bemerkung wichtig, daß jede Sbene durch J die Kugelschicht in zwei Teile von gleicher gegenseitiger Einswirkung mit U zerlegt. Führt man im besondern die Sbene durch J senksrecht zu UM, so bemerkt man, daß der von U aus sichtbare Teil und der von U aus unsichtbare Teil der Kugelschicht zwei solche Teile sind.

Hat man nun eine konzentrisch=homogen=geschichtete Kugel, so ist für einen materiellen Punkt U, der außerhalb liegt, die Kraft K der gegen=seitigen Einwirkung leicht zu bestimmen. Zerlegt man die Kugel in beliebig dünne Schichten und denkt man die Massen der einzelnen Schichten in deren Mittelpunkten, welche mit dem Mittelpunkt M der Kugel zusammenfallen, verdichtet, so erhält man für $UM = \varrho$

$$K=k\frac{m\mu}{\varrho^2},$$

falls man jetzt die Summe der Massen der einzelnen Schichten, d. h. die Masse der Kugel mit m bezeichnet. Kückt U auf die Kugelobersläche, deren Kadius wieder R sein mag, so ist $\varrho=R$. Bezeichnet man die mittlere Dichtigkeit der Kugel mit δ , so ist $m=\frac{4}{3}\pi R^3\delta$ und man hat

$$K = k \frac{(\frac{4}{3} \pi R^3 \delta) \mu}{R^2} = (k \frac{4}{3} \pi \delta \mu) \cdot R.$$

Für einen materiellen Punkt J im Innern der Kugel, bestimmt man K, indem man durch J eine konzentrische Kugel legt. Für die Schichten, die außerhalb dieser Hülfskugel liegen, ist J ein Punkt im Innern, so daß sür ihre Sesamtheit K=0 ist; für die Schichten, die innerhalb dieser Hülfstugel liegen, ist J ein äußerer Punkt, so daß man die Massen der innerhalb der Hülfskugel gelegenen Schichten in dem Mittelpunkte verdichtet denken kann.

Hat die gesamte Masse innerhalb der Hülfskugel die mittlere Dichtigkeit δ' , so ist diese für $MJ=\varrho$ vom Werte

und demnach hat man

$$K = k \frac{(\frac{4}{3} \pi \varrho^3 \delta') \mu}{\varrho^2} = (\frac{4}{3} k \pi \delta' \mu) \cdot \varrho.$$

Damit sind die Ansätze auf S. 162 u. f., welche auch den Entwickes lungen auf S. 280 u. f. zu Grunde liegen, gerechtfertigt.

Gemäß diesen früheren Betrachtungen sind die Potentiale für U und J demnach bezw.

$$-\frac{km\mu}{\varrho}\quad \text{und}\quad \frac{1}{2}\left(\frac{4}{3}\,k\pi\,\delta'\mu\right)\,.\,\,\varrho^2.$$

Das erste bedeutet die Arbeit, welche erforderlich ist, um U aus seiner Lage (ϱ) in Unendliche zu bewegen, das zweite bedeutet die Arbeit, welche erforderlich ist, um J aus seiner Lage (ϱ) in den Mittelpunkt der Kugel zu bewegen.

Soll auch für einen Punkt J die Arbeit berechnet werden, welche ers forderlich ist, um ihn ins Unendliche zu bewegen, so verfährt man folgenders maßen.

Wäre der materielle Punkt von der Oberfläche der Kugel nach deren Nittelpunkt zu bewegen, so hätte die entsprechende Arbeit, da d die mittlere Dichtigkeit der ganzen Kugel bezeichnet, den Wert

$$(\frac{2}{3}k\pi\delta\mu)R^2$$
.

Demnach hat die Arbeit für eine Bewegung von der Oberfläche bis zur Stelle (ϱ) von J den Wert

$$\left(\frac{2}{3}k\pi\delta\mu\right)R^2$$
 — $\left(\frac{2}{3}k\pi\delta'\mu\right)\varrho^2$.

Mit umgekehrtem Vorzeichen stellt letzterer Ausdruck die Arbeit dar für eine Bewegung von der Stelle (q) bis zur Oberfläche, während die Arbeit für eine Bewegung von der Oberfläche bis ins Unendliche den Wert hat

$$-\frac{k m \mu}{R} = -k \frac{\binom{4}{3} R^3 \pi \delta \mu}{R} = -\frac{4}{3} k \pi \delta \mu \cdot R^2.$$

Demnach ist die gesuchte Arbeit A gegeben als

$$\mathfrak{A} = (\frac{2}{3}k\pi\delta'\mu)\varrho^2 - (2k\pi\delta\mu)R^2.$$

Da sich dieser Ausdruck A von dem Potential für J nur durch eine Konstante unterscheidet und da die Betrachtungen auf S. 280 u. f. bestehen bleiben, wenn man dort alle Potentialwerte um dieselbe Konstante vermehrt, so pflegt man wohl auch A als Potential für J zu bezeichnen.

Man hat dann den Vorteil, daß die Potentiale für U und für J durch eine Definition umfaßt werden.

Ift $\delta = \delta'$, wie es unter anderem bei einer homogenen Vollfugel der Fall ist, so ist einfacher

$$\mathfrak{A} = (2 k \pi \delta \mu) \left[\frac{1}{8} \varrho^2 - R^2 \right].$$

Für eine homogene Hohltugel von endlicher Wandstärke, welche durch die Radien R und R' begrenzt wird, gilt in Bezug auf einen Punkt J im Innern ihrer Masse folgendes.

Würde noch eine Kugel vom Radius R' in die Höhlung eingesetzt, so erhielte man wieder das vorige Ergebnis. Da J für diese Kugel ein äußerer Punkt ist, so ist das Potential dieser Kugel in Bezug auf J

$$-k\frac{(\frac{4}{3}R'^3\pi\delta)\mu}{\varrho}$$

und demnach bezeichnet

$$\mathfrak{A} = (2 k \pi \delta \mu) \left[\frac{1}{3} \varrho^2 - R^2 \right] + k \frac{\left(\frac{4}{3} R'^3 \pi \delta \right) \mu}{\varrho}$$
$$= (2 k \pi \delta \mu) \left[\frac{1}{3} \varrho^2 - R^2 + \frac{2}{3} \frac{R'^3}{\varrho} \right]$$

die Arbeit, welche hier erforderlich ist, um J ins Unendliche zu bewegen.

Liegt J im Hohlraume der Kugel, so ist für die Bewegung bis zur Obersläche der Kugel vom Radius R' keine Arbeit zu leisten, während von da an die vorige Betrachtung gilt. Man hat demnach die vorige Formel für $\varrho = R'$ anzusezen, d. h. man hat

$$\mathfrak{A} = (2 k\pi \delta \mu) [R'^2 - R^2].$$

Für einen Punkt U ist nichts hinzuzufügen.

Im Sinne vorstehender Betrachtungen spricht man auch von dem Selbst= potential einer Kugel und versteht darunter die Arbeit, welche nötig ist, um die einzelnen konzentrischen Schichten der Kugel von außen bis zum Mittelpunkte der Reihe nach ins Unendliche zu bewegen.

Um diese Arbeit für eine homogene Augel zu bestimmen, betrachten wir eine Augel vom Radius x und der Dichtigkeit δ , auf welcher eine konzentrische Schicht von gleicher Dichtigkeit δ lagert. Für einen materiellen Punkt der Schicht von der Masse μ ist das Potential ($\varrho = x$), falls m die Masse der Augel bezeichnet,

$$-k\frac{m\mu}{x}$$

und demnach für die ganze Schicht, falls d deren Dicke ist,

$$-\frac{km(4x^2\pi d \cdot \delta)}{x}.$$

Ersett man noch m durch $\frac{4}{8}x^3\pi\delta$, so erhält jenes Potential den Wert $-k\frac{16}{8}\pi^2\delta^2x^4$. d.

Berlegt man die homogene Kugel in n Schichten von der Dicke d, so ist beim Abtragen dieser Schichten der Reihe nach für x zu setzen R-d, R-2d, ... R-n-1d, R-nd=0.

Die Summation $(R = n \cdot d)$ ergiebt für das gesuchte Selbstpotential

$$-k_{\frac{16}{15}}\pi^2\delta^2R^5 = -k_{\frac{3}{15}}\frac{(\frac{4}{3}R^3\pi\delta)^2}{R}\cdot\frac{3}{5}.$$

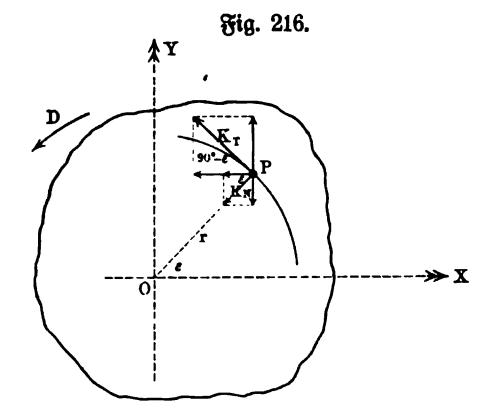
Bezeichnet man die Masse der Kugel durch M, so geht dieser Wert über in

$$-\frac{3}{5}k\frac{M^2}{R}.$$

Diese Arbeit entspricht auch, bei umgekehrtem Vorzeichen, dem umsgekehrten Vorzeichen, dem umsgekehrten Vorzeichen, d. h. der Verdichtung der zerstreuten Masse M zu einer Kugel infolge der gegenseitigen Massenanziehung nach Newtons Gesetz.

Die Übertragung der Untersuchung auf zwei Rugeln bietet keine Schwierigkeit.

14. Die Effektivkräfte bei der Achsendrehung starrer Körper. Wir wählen die Drehungsachse zur Z=Achse eines dreiachsigen rechtwinkligen



Roordinatensystems und legen zu= nächst durch einen beliebigen Punkt P von der Masse μ , der dem Körper angehört, eine Ebene, par= allel zur XY=Ebene. In dieser Ebene, welche Fig. 216 darstellt, wirken an P in normaler und in tangentialer Richtung bezw. die Kräfte $[K_T]$ und $[K_N]$. Bei beschleunigten Bewegung einer entspricht [KT] dem Drehungspfeile D, bei einer verzögerten Bewegung ist $[K_T]$ umgekehrt ge= Für die beschleunigte richtet.

Bewegung, welche Fig. 216 darstellt, liefert die Zerlegung von $[K_T]$ und $[K_N]$ nach den Achsen in deren Richtung die Kräfte

$$K_x = -K_N \cos \varepsilon - K_T \sin \varepsilon$$

 $K_y = -K_N \sin \varepsilon + K_T \cos \varepsilon$.

Bei einer Winkelgeschwindigkeit φ und einer Winkelbeschleunigung ι ist (vergl. S. 242):

$$K_N = \mu r \varphi^2$$
 und $K_T = \mu r \iota$,

falls OP = r gesetzt wird, und demnach

$$K_x = -\mu \varphi^2 \cdot r \cos \varepsilon - \mu \iota \cdot r \sin \varepsilon$$
 $K_y = -\mu \varphi^2 \cdot r \sin \varepsilon + \mu \iota \cdot r \cos \varepsilon$

oder auch, da $r\cos\varepsilon=x$ und $r\sin\varepsilon=y$ ist,

$$K_x = -\mu \varphi^2 x - \mu \iota y$$

$$K_y = -\mu \varphi^2 y + \mu \iota x.$$

Da Punkt P in der Richtung der Z=Achse keine Bewegung hat, so ist für ihn

$$K_s = 0.$$

Die Komponenten $[K_x]$, $[K_y]$, $[K_z]$ am Punkte P, dessen Koordinaten x, y, z sind, liesern (vergl. \mathfrak{S} . 335) die Momente für die

$$X_z$$
 Achie: $z \cdot K_y - y \cdot K_z = -\mu \varphi^2 y z + \mu \iota x z$
 Y_z Achie: $x \cdot K_z - z \cdot K_x = +\mu \varphi^2 x z + \mu \iota y z$
 Z_z Achie: $y \cdot K_x - x \cdot K_y = -r \cdot K_T = -\mu \iota r^2$.

Da φ und ι für alle Punkte des starren Körpers dieselben Werte haben, so gelangt man bei der Vereinigung der Effektivkräfte der einzelnen Punkte des Körpers zu dem Ergebnis:

$$X = \sum K_x = -\varphi^2 \sum \mu x - \iota \sum \mu y$$
 $Y = \sum K_y = -\varphi^2 \sum \mu y + \iota \sum \mu x$
 $Z = \sum K_z = 0$
 $M_x = -\varphi^2 \sum \mu yz + \iota \sum \mu xz$
 $M_y = +\varphi^2 \sum \mu xz + \iota \sum \mu yz$
 $M_z = -\iota \sum \mu r^2$.

Bestimmt man die Koordinaten ξ , η , ξ für den Massenmittelpunkt des Körpers, so ist (vergl. S. 238) für $\Sigma\mu=M$

$$M \cdot \xi = \Sigma \mu x$$
, $M \cdot \eta = \Sigma \mu y$, $M \cdot \zeta = \Sigma \mu z$

und man hat

$$X = -\varphi^{2}M\xi - \iota M\eta$$

$$Y = -\varphi^{2}M\eta + \iota M\xi$$

$$Z = 0$$
107a)

Die Größen $\Sigma \mu xz$ und $\Sigma \mu yz$, welche in den Momenten M_x und M_y auftreten, heißen Deviationsmomente oder auch Centrifugalmomente, sie können kurz bezw. durch D_y und D_x bezeichnet werden.

Die Größe $\Sigma \mu r^2$, durch welche M_s bestimmt wird, ist das Trägheitssmoment des Körpers (vergl. S. 255) in Bezug auf die Z=Achse und mag daher durch Tr, bezeichnet werden.

Demnach hat man:

$$egin{aligned} M_x &= - arphi^2 D_x + \iota D_y \ M_y &= + arphi^2 D_y + \iota D_x \ M_s &= - \iota \mathfrak{T} \mathfrak{x}_s \end{aligned}
ight\} \quad \cdot \quad \cdot \quad \cdot \quad \cdot \quad 107 \, \mathrm{b})$$

Ist die Fig. 216 entsprechende Bewegung verzögert, so tritt in den entswickelten Formeln — ι für + ι ein.

Geht die Drehungsachse durch den Massenmittelpunkt (Schwer= punkt), so ist $\xi=0$ und $\eta=0$ und man hat

$$X = 0$$
, $Y = 0$, $Z = 0$ 108a)

Hat die Drehungsachse eine Lage, für welche $D_x=0$ und $D_y=0$ ist, so gilt

Sind die beiden Bedingungen der Formeln 108a) und 108b) erfüllt, so bleibt nur bestehen

$$M_s = -\iota \mathfrak{Tr}_s \quad \ldots \quad \ldots \quad 109)$$

Bei gleichförmiger Drehung des Körpers ($\iota=0$) gehen die alle gemeinen Gleichungen der Nr. 107 über in

$$X = -\varphi^2 M \xi$$
 $Y = -\varphi^2 M \eta$
 $Z = 0$

$$\begin{cases} M_x = -\varphi^2 D_x \\ M_y = +\varphi^2 D_y \\ M_z = 0 \end{cases}$$
 $M_z = 0$

Da bei gleichsörmiger Drehung nur die Centripetalkräfte bezw. deren fingierte Gegenkräfte, d. h. die Centrisugalkräfte auftreten und da schon zu deren Bestimmung die Größen D_x und D_y nötig sind, so heißen diese Größen, welche aus theoretischen Gründen Deviationsmomente genannt werden, auch Centrisugalmomente.

Eine weitere Untersuchung zeigt, daß es durch jeden Punkt eines beliebig gestalteten starren Körpers mindestens drei aufeinander senkrecht stehende Gerade giebt, für welche die drei Deviationsmomente

$$D_x = \Sigma \mu y z$$
, $D_y = \Sigma \mu x z$, $D_z = \Sigma \mu x y$

ben Wert Null erhalten; sie heißen Hauptachsen des Punktes.

Wählt man irgend eine dieser Geraden zur Drehungsachse, so gilt stets Formel Nr. 108 b.

Wählt man im besondern den Massenmittelpunkt als Schnittpunkt dreier solcher Geraden, so ist für jede dieser Geraden als Drehungsachse auch Formel 108 a in Geltung, d. h. das System der Effektivkräfte führt dann nur zu der Gleichung (vergl. S. 255)

$$M_s = - \iota \mathfrak{T} r_s$$
.

Jede dieser drei Geraden heißt "eine freie Achse" des Körpers. Weil nämlich nach dem Principe von d'Alembert das System der äußeren, auf den Körper einwirkenden Kräfte, einschließlich der von etwaigen Besestigungen der Achse ausgehenden Reaktionen, dem Systeme der Effektivkräfte gleichwertig ist, so ist das System der äußeren Kräfte in diesem Falle M. gleichwertig, d. h. die Achse bedarf keiner Besestigung, salls die äußeren Kräfte nur in dem Momente M. bestehen.

Diesen Fall stellen uns die Achsendrehungen der Himmelskörper (ansgenähert) dar.

Da man bei technischen Verhältnissen von der gegenseitigen Einswirtung der betrachteten Körper und der Erde nicht absehen kann, so ist hier stets das Gewicht der Körper als äußere Kraft in Rechnung zu stellen, und darum muß die Besestigung mindestens dieses im Gleichgewicht halten.

Diesen Fall stellt uns ein rotierender Kreisel, dessen Achse senkrecht auf dem Fußboden steht, angenähert dar — hier wirkt die Reibung auf den Fuß= boden als verzögerndes Kraftmoment.

Ahnliches gilt für Maschinenkörper mit stehenden Achsen, falls diese freie Achsen sind.

Bei den Körpern, welche die Technik verwendet, kann man die Lage der freien Achsen meist ohne weiteres angeben. Hat der Körper eine Symmetriesebene, so ist eine Gerade durch seinen Massenmittelpunkt, senkrecht zur Symmetrieebene eine freie Achse. Wählt man nämlich die Symmetrieebene als XY=Ebene, so entspricht jedem Punkt P_1 von der Masse μ auf der einen Seite der Ebene je ein Punkt P_2 von der Masse μ auf der anderen Seite

ber Ebene und zwar so, daß P_1P_2 auf der Ebene senkrecht steht und durch diese halbiert wird. Für die Koordinaten von P_1 und P_2 gilt demnach $x_1 = x_2$, $y_1 = y_2$, $+ z_1 = -z_2$. Bildet man $D_x = \Sigma \mu y s$, so ist der Teil, der von P_1 und P_2 herrührt, d. h. $\mu y_1 s_1 + \mu y_2 s_2 = 0$, und da diese sür alle Punktpaare von P_1 und P_2 gilt, so ist $D_y = 0$. Dasselbe gilt sür D_x

Hat der Körper zwei auseinander senkrechte Symmetrieebenen, so ist deren Schnittgerade eine freie Achse. Wählt man nämlich die beiden Ebenen bezw. als XZ=Ebene und als YZ=Ebene, so verschwinden D_y und D_x .

Bei einem homogenen geraden Kreiscylinder ist neben der Achse auch jede Gerade durch den Schwerpunkt, welche die Achse senkrecht schneidet, eine freie Achse.

Bei einer homogenen Kugel ist jeder Durchmesser eine freie Achse.

Wirkt ein Kräftepaar (vergl. S. 256) auf einen freien Körper, so tritt nur dann eine Drehung um eine dem Achsenmomente des Paares entsprechende

Achse ein, wenn die Ebene des Paares senkrecht zu einer freien Achse des Körpers liegt.

Bemerkt mag noch werden, daß die Ausdrücke für X und Y in 107 a genau so gebaut sind, wie die Ausdrücke für K_x und K_y , aus denen sie entstanden sind. Es entspricht sich einerseits M und μ , anderseits ξ , η und x, y und demenach sind die Kräfte X, Y, Z so gebildet, als wenn die ganze Masse des Körpers in dessen Schwerpunkt

X
P
S
Y
Y

Fig. 217.

vereinigt wäre. Demgemäß findet man auch, falls $\xi^2 + \eta^2 = \varrho^2$ gesetzt wird, als Resultante

$$R = M \varrho \sqrt{\varphi^4 + \iota^2} \quad . \quad . \quad . \quad . \quad . \quad 111)$$

wie bei einem materiellen Punkte von der Masse M.

Kommen die Gleichungen 107 b nicht in Frage, so lassen sich also die Essektivkräfte leicht veranschaulichen.

Als Beispiel behandeln wir die Bewegung einer prismatischen Pendelsstange, welche eine Symmetrieebene senkrecht zur Drehungsachse hat. Die Stange mag sich zunächst, wie Fig. 217 andeutet, in der Lage OP' in Ruhe befunden haben und augenblicklich in der Lage OP sein. Der Massenmittelspunkt S, der bei einer Stangenlänge a angenähert die Koordinaten

$$\xi = \frac{a}{2}\cos \varepsilon$$
 und $\eta = \frac{a}{2}\sin \varepsilon$

hat, ist aus der Ruhelage um η gesunken, so daß dabei die Arbeit $(Mg)\eta$ geleistet worden ist. Demnach gilt für die Winkelgeschwindigkeit φ gemäß S. 256

$$\frac{1}{9}\mathfrak{T}\mathfrak{r}_{s}\,\varphi^{2}-\frac{1}{9}\mathfrak{T}\mathfrak{r}_{s}\,O^{2}=Mg\,\eta,$$

d. h. man hat

$$\varphi^2 = \frac{2 \, Mg \, \eta}{\mathfrak{Tr}_s}.$$

Da die bewegende Kraft (Mg) am Arme ξ wirkt, so gilt für den Zahlenswert ι

$$\iota = \frac{Mg \, \xi}{\mathfrak{T} r_s}.$$

Da hier $D_x=0$ und $D_y=0$ ist, so sührt das System der Effektiv=kräfte nach Formel $107\,\mathrm{a}$ und $108\,\mathrm{b}$ zu

$$X = -\frac{3 M^{2} g \eta \xi}{\mathfrak{T}_{x_{s}}} = -\frac{3}{8} \frac{g M^{2} a^{2} \sin 2 \varepsilon}{\mathfrak{T}_{x_{s}}}$$

$$Y = \frac{M^{2} g}{\mathfrak{T}_{x_{s}}} (-2 \eta^{2} + \xi^{2}) = \frac{1}{8} \frac{g M^{2} a^{2} (3 \cos 2 \varepsilon - 1)}{\mathfrak{T}_{x_{s}}}$$

$$Z = 0$$

$$M_{x} = 0$$

$$M_{y} = 0$$

$$M_{z} = -Mg \xi = -\frac{1}{9} g M a \cos \varepsilon.$$

Setzt man (vergl. § 100) noch $\mathfrak{Tr}_s = \frac{1}{8} Ma^2$, so ergiebt sich:

$$X = -\frac{9}{8}gM\sin 2\varepsilon$$

$$Y = \frac{8}{8}gM(3\cos 2\varepsilon - 1).$$

Da das System der äußeren Kräfte, welches hier aus der Größe Mg und der Reaktion der Besestigung besteht, dem System der Effektivkräfte gleichwertig sein muß, so ist für eine horizontale Reaktion [H] und eine vertikale Reaktion [V] in O

$$H = X \quad \text{und} \quad Mg + V = Y$$

zu setzen, so daß

$$H = -\frac{9}{8}gM\sin 2\varepsilon$$

$$V = -\frac{1}{8}gM(11 - 9\cos 2\varepsilon).$$

H hat seine Maxima für $\sin 2\varepsilon = \pm 1$, d. h. für $\varepsilon = 45^{\circ}$ und $\varepsilon = 135^{\circ}$, sie betragen $\mp \frac{9}{8}gM$. V hat sein Maximum für $\cos 2\varepsilon = -1$, d. h. für $\varepsilon = 90^{\circ}$, es beträgt $-\frac{5}{2}gM$.

H hat sein Ninimum 0 für $\sin 2\varepsilon = 0$, d. h. für $\varepsilon = 0$ und $\varepsilon = 90^{\circ}$ und $\varepsilon = 180^{\circ}$. V hat sein Ninimum $-\frac{1}{4}Mg$ für $\cos 2\varepsilon = 1$, d. h. für $\varepsilon = 0$ und $\varepsilon = 180^{\circ}$.

Während [V] stets nach oben gerichtet ist, ist [H] beim Herschwingen erst nach rechts und dann nach links, beim Käckschwingen erst nach links und dann nach rechts gerichtet.

Ahnliche Verhältnisse treten bei schwingenden Glocken auf.

Abungen zu der Lehre von den Kräften am farren Körper.

1. An einer Stelle des senkrecht geführten Seiles eines Rammkloges sind vier Seile angebracht, um vier Arbeitern zum Angriffe zu dienen. Welche Kraft wirkt auf den Rammklog, wenn jeder Arbeiter mit einer Kraft von 60 kg zieht und wenn die Seile dabei eine gerade quadratische Pyramide mit senkrechter Achse bilden, deren Kanten an der Spize Winkel von 30° bilden? Welche Arbeit entspricht einer Hebung des Klozes um 1,5 m?

2. Um einen Baumstumpf auszuroden, ziehen drei Arbeiter an drei umgeschlungenen Seilen mit je einer Kraft von $50 \, \mathrm{kg}$. Die Seile konvergieren nach einem Punkte und bilden bezw. mit dem Horizonte die Neigungswinkel 10° , 20° , 30° , während ihre Horizontalprojektionen bezw. die Winkel 20° und 15° bilden. Welche Kraft [R] wird entwickelt?

$$R = 144.4 \text{ kg}.$$

Nimmt man die Horizontalprojektion der ersten Kraft zur X=Achse und senkrecht dazu, im Angriffspunkt der Kräfte horizontal die Y=Achse so, daß die Horizontalprojektion der zweiten Kraft 20° , die der dritten Kraft 35° Reigung gegen die X=Achse hat, und endlich die Z=Achse nach oben gerichtet, so bildet [R] mit den Achsen bezw. die Winkel

3. Es ist das Moment einer Kraft in Bezug auf eine Achse zu bestimmen, wenn die Projektion [K] der Kraft auf eine, zur Achse senkrechte Ebene den Wert $50\,\mathrm{kg}$ hat und wenn diese Projektion von der Achse den Abstand $r=2\,\mathrm{m}$ hat.

$$Mo = \pm K \cdot r = \pm 100 \text{ mkg.}$$

4. Die vorige Aufgabe ist durchzusühren unter der Boraussetzung, daß der Angriffspunkt der Projektion der Kraft in ihrer Ebene in Bezug auf ein rechtwinkliges Kreuz, dessen Kullpunkt in die Achse fällt, die Koordinaten $\overline{x} = 2$, $\overline{y} = 3$ hat und daß diese Projektion mit der X=Achse den Winkel $\alpha = 30^{\circ}$ bildet.

$$r = \overline{y} \cdot \cos \alpha - \overline{x} \sin \alpha$$
 $Mo = K(\overline{y} \cos \alpha - \overline{x} \sin \alpha).$

5. Es ist das Woment einer Kraft vom Werte $K=100\,\mathrm{kg}$ in Bezug auf eine Achse zu bestimmen, wenn diese Achse Z=Achse eines rechtwinkligen Kreuzes ist und wenn in diesem der Angriffspunkt der Kraft die Koors dinaten x=2, y=3, z=5 hat und die Krast selbst die Richtungswinkel $\alpha=38^{\circ}40'$ und $\beta=65^{\circ}20'$ bezw. gegen die X=Achse und Y=Achse hat und γ ein spizer Winkel ist.

Die Projektion der Kraft auf die XY-Ebene ist $K_{xy} = \sqrt{K^2 \cos^2 \alpha + K^2 \cos^2 \beta}$, deren Richtung (φ) gegen die X-Achse ist bestimmt durch $\frac{K \cos \alpha}{K_{xy}} = \cos \varphi$ und $\frac{K \cos \beta}{K_{xy}} = \sin \varphi$, ihr Abstand r von der Z-Achse ist $\bar{y} \cos \varphi = \bar{x} \sin \varphi$. Man hat also:

$$Mo = K_{xy} \cdot r = K(\bar{y}\cos\alpha - \bar{x}\cos\beta).$$

6. Es ist die Arbeit der Kraft in Nr. 3 für eine Drehung von $\epsilon^0=30^\circ$ um die Achse zu bestimmen.

$$\mathfrak{A} = Mo \cdot arc \, \epsilon = \pm 100 \cdot \frac{\pi}{6} \, mkg.$$

7. Es ist die Arbeit der Kraft in Nr. 5 unmittelbar zu bestimmen für eine Krastverschiebung, bei der sich der Angriffspunkt nach dem Punkte (5; 7; 9) bewegt.

Bezeichnet man die Projektionen der Verschiebung [s] auf die Achsen durch $[s_x]$, $[s_y]$, $[s_x]$, so sind die Winkel der Verschiebung gegen die Achsen λ , μ , ν gegeben durch

$$\cos \lambda = \frac{s_x}{s}, \quad \cos \mu = \frac{s_y}{s}, \quad \cos \nu = \frac{s_z}{s}.$$

$$s_x = 5 - 2, \quad s_y = 7 - 3, \quad s_z = 9 - 5$$

$$s = \sqrt{(5 - 2)^2 + (7 - 3)^2 + (9 - 5)^2}.$$

Der Winkel w zwischen Verschiebung und Kraft ist (vergl. S. 34) ge= geben durch

$$\cos \omega = \cos \alpha \cos \lambda + \cos \beta \cos \mu + \cos \gamma \cdot \cos \nu$$
.

Man hat also:

$$\mathfrak{A} = K \cdot s \cdot \cos \omega = K \cos \alpha s_x + K \cos \beta s_y + K \cos \gamma s_z$$

Derselbe Ausbruck ergiebt sich mittelbar bei der Bildung der Arbeit aus den Seitenkräften.

8. Zwei Kräfte von 17 kg und 33 kg wirken in paralleler Richtung an zwei sest miteinander verbundenen Punkten, die 8 m voneinander entsernt sind. Es ist die Resultante und deren Angrisspunkt zu bestimmen:

9. Zwei parallele Kräfte von 12,5 kg und 25 kg wirken an zwei sest miteinander verbundenen Punkten nach derselben Richtung. Die Mittelkraft wirkt in einer Entsernung von 4 m von dem Angrisspunkt der Kraft von 12,5 kg.

Welche Entfernung haben die beiden Kräfte?

6 m.

- 10. Eine Kraft von 52 kg soll in zwei parallele Kräfte zerlegt werben, die nach derselben Richtung wirken,
- a. wenn die zu bestimmenden Kräfte um 2 m und 3 m von der gegebenen entsernt sind,
- b. wenn die eine Seitenkraft gleich 20 kg werden soll und 2 m von der gegebenen Kraft entfernt ist.
 - a. 31,2 kg unb 20,8 kg; b. 32 kg unb 1,25 m.
- 11. Eine Kraft von 20 kg soll in zwei parallele Kräfte zerlegt werden, von denen die eine der Kraft von 20 kg entgegenwirkt,
- a. wenn die zu bestimmenden Kräfte 3 m und 8 m von der gegebenen entsernt sind,
- b. wenn die der Kraft von 20 kg entgegenwirkende Kraft gleich 30 kg ist und 6 m von der gegebenen entsernt liegt.
 - a. 32 kg und 12 kg; b. 50 kg und 3,6 m.
- 12 bis 15. Die Nrn. 8 bis 11 sind konstruktiv (graphostatisch) zu beshandeln.
- 16. Ein Kräftepaar vom Momente + 150 kgm soll in einem Parallelsstreifen seiner Ebene von der Breite 15 m eingetragen werden. Welche Kräfte sind auf den Grenzen des Streisens anzulegen?

10 kg.

17. Ein Kräftepaar, dessen Kraft 40 kg und dessen Arm 2 m beträgt, soll in ein Kräftepaar verwandelt werden, dessen Kraft 10 kg beträgt. Welcher Arm ist zu verwenden?

8 m.

- 18. Vier Kräftepaare haben bezw. die Kräfte 20 kg, 30 kg, 40 kg, 60 kg und die Arme 1 m, 2 m, 3 m, 4 m. Welches Kräftepaar vom Arme 11 m entspricht der Gesamtwirkung,
 - a. wenn sie alle der Uhrzeigerbewegung entsprechend drehen,
- b. wenn das erste und dritte mit der Uhr, das zweite und vierte gegen die Uhr dreht?
 - a. 40 kg am Arme 11 m, mit der Uhr drehend,
 - b. 14,5 kg am Arme 11 m, gegen die Uhr drehend.
 - 19 und 20. Konstruktive Behandlung von Nr. 17 und 18.
- 21. Es ist ein sestes System von fünf materiellen Punkten durch die folgenden Koordinaten gegeben: $x_1 = 5$, $y_1 = 10$; $x_2 = 9$, $y_2 = 12$; $x_3 = 17$, $y_3 = 14$; $x_4 = 20$, $y_4 = 13$; $x_5 = 15$, $y_5 = 8$. Die daran wirksamen Kräste sind der Reihe nach: 50, 30, 70, 90, 120 kg. Die Winkel, welche die Krastrichtungen mit der X-Achse diehen, seien: $\alpha_1 = 70^\circ$, $\alpha_2 = 300^\circ$, $\alpha_3 = 120^\circ$, $\alpha_4 = 210^\circ$, $\alpha_5 = 90^\circ$. Es ist die Resultante der Größe und Richtung nach zu bestimmen:

$$X = 50 \cdot \cos 70^{\circ} + 30 \cdot \cos 300^{\circ} + 70 \cdot \cos 120^{\circ} + 90 \cdot \cos 210^{\circ} + 120 \cdot \cos 90^{\circ} = -80,842,$$

$$Y = 50 \cdot \sin 70^{\circ} + 30 \cdot \sin 300^{\circ} + 70 \cdot \sin 120^{\circ} + 90 \cdot \sin 210^{\circ} + 120 \cdot \sin 90^{\circ} = +156,626,$$

$$R = \sqrt{80,842^{\circ} + 156,626^{\circ}} = 176,259 \text{ kg}.$$

$$\cos \alpha = -\frac{80,842}{176,259}; \sin \alpha = \frac{156,626}{176,259}, \text{ baher } \alpha = 117^{\circ}18'1''$$

$$Mo = \sum P(y \cos \alpha - x \sin \alpha)$$

$$= (50 \cdot \cos 70^{\circ} \cdot 10 - 50 \cdot \sin 70^{\circ} \cdot 5) + (30 \cdot \cos 300^{\circ} \cdot 12 - 30 \cdot \sin 300^{\circ} \cdot 9) + (70 \cdot \cos 120^{\circ} \cdot 14 - 70 \cdot \sin 120^{\circ} \cdot 17) + (90 \cdot \cos 210^{\circ} \cdot 13 - 90 \cdot \sin 210^{\circ} \cdot 20) + (120 \cdot \cos 90^{\circ} \cdot 8 - 120 \cdot \sin 90^{\circ} \cdot 15) = -3083,915 \text{ mkg}.$$

Zur Herstellung des Gleichgewichts müssen wir eine sechste Kraft von $176,259\,\mathrm{kg}$ anbringen, welche mit der X-Achse einen Winkel von $\alpha=297\,^{\circ}18'\,1''$ bildet.

Man hat: $r = 17.5 \,\mathrm{m}$ für Rr = Mo.

Die Gerade, auf welcher diese Kraft \overline{R} liegt, hat die Gleichung:

$$y \overline{R} \cos \overline{\alpha} - x \overline{R} \sin \overline{\alpha} = -Mo.$$

Ein Punkt auf ihr ist durch $x=12^{1}/_{8}$ und $y=14^{1}/_{4}$ bestimmt (Mittelpunkt des Kraftspstems).

- 22. Graphostatische Behandlung von Nr. 21.
- 23. Fünf parallele Kräfte von 4, 12, 17, 25 und 60 kg wirken an fünf Punkten einer geraden Linie, wobei die Kräfte von 12 kg und 25 kg den übrigen gerade entgegengesetzt gerichtet sind. Von einem in derselben Geraden gegebenen Punkte haben die Angriffspunkte der Kräfte eine Entsfernung von 5, 7, 9, 11 und 15 m.

24. Die Koordinaten des Mittelpunktes der parallelen Kräfte zu finden, die in einer Ebene liegen und folgendermaßen gegeben sind:

$$P_1 = 33 \text{ kg } x_1 = +25, y_1 = +13,$$
 $P_2 = 20, x_2 = -10, y_3 = -15,$
 $P_3 = -35, x_3 = +15, y_3 = -27,$
 $P_4 = -72, x_4 = -31, y_4 = +17,$
 $P_5 = 120, x_5 = +23, y_5 = -19.$
 $x = 77,15 \text{ m} \text{ unb } y = -36,82 \text{ m}.$

25. Ein Stab von der Länge a ist an seinen beiden Enden unterstützt. Auf denselben wirken drei parallele Kräfte P, Q, R rechtwinkelig zum Stabe, wodurch derselbe in die Abschnitte b, c, d, e geteilt wird. Es sind die Drucke auf die Unterstützungspunkte zu bestimmen:

$$D_1 = \frac{P(a-b) + Q(d+e) + Re}{a}$$
 $D_2 = \frac{R(a-e) + Q(b+c) + Pb}{a}$

Es sei $P=400 \,\mathrm{kg}$, $Q=300 \,\mathrm{kg}$, $R=500 \,\mathrm{kg}$; $a=16 \,\mathrm{m}$, $b=2 \,\mathrm{m}$, $c=4 \,\mathrm{m}$ und $d=6 \,\mathrm{m}$, dann ist:

$$D_1 = 662,5 \text{ kg}, D_2 = 537,5 \text{ kg}.$$

- 26, 27, 28. Graphostatische Behandlung von Nr. 23, 24, 25.
- 29. Zwei Kräftepaare von den Momenten 10,5 mkg und 8 mkg liegen in zwei Ebenen, die sich senkrecht schneiden. Welches Paar resultiert?

Die Ebene des resultierenden Paares von 13,2 mkg teilt den einen Winkel der Ebenen bezw. in 52° 42' und 37° 18' und zwar so, daß die Achsenmomente der gegebenen Paare das Achsenmoment des resultierenden Paares als Resultierende haben.

- 30. Die Ebenen zweier Paare von den Momenten $56^2/_3$ mkg und 18 mkg bilden einen Winkel von 62^0 40'. Wie groß ist das resultierende Paar,
 - a. wenn die Achsenmomente den Winkel 620 40',
 - b. wenn sie den Winkel 117° 20' bilden?
- a. 66,87 mkg bei einer Teilung des Winkels in 13° 50' und 48° 50' durch das resultierende Achsenmoment,
- b. 50,98 mkg bei einer Teilung des Winkels in 99°3' und 18°17 durch das resultierende Achsenmoment.
 - 31. Konstruktive Lösung von Nr. 30 mittelst der Achsenmomente.
- 32. An einem sesten System von vier materiellen Punkten wirken vier Kräfte nach beliebigen Richtungen, deren Gesamtwirkung zu bestimmen ist. Die Punkte sind durch ihre Koordinaten x, y, z, die Kräfte durch ihre Größe P, und deren Richtungen durch die Winkel α , β , γ mit drei Koordinatenachsen gegeben.

$$P_1 = 50 \text{ kg}, \ \alpha_1 = 60^{\circ}, \ \beta_1 = 40^{\circ}, \ \gamma_1 \text{ fpig,}$$
 $P_2 = 70$, $\alpha_2 = 65^{\circ}, \ \beta_2 = 45^{\circ}, \ \gamma_2 \text{ ftumpf,}$
 $P_3 = 90$, $\alpha_3 = 70^{\circ}, \ \beta_3 = 50^{\circ}, \ \gamma_3 \text{ fpig,}$
 $P_4 = 120$, $\alpha_4 = 75^{\circ}, \ \beta_4 = 55^{\circ}, \ \gamma_4 \text{ ftumpf,}$
 $x_1 = 0, \quad y_1 = 0, \quad z_1 = 0, \quad x_2 = 1 \text{ m,} \quad y_2 = 4 \text{ m,} \quad z_2 = 7 \text{ m,}$
 $x_3 = 2$, $y_3 = 5$, $z_3 = 8$, $x_4 = 3$, $y_4 = 6$, $z_4 = 9$,

Der dritte Winkel bestimmt sich nach der Formel:

$$\cos \gamma^2 = -\cos (\alpha + \beta) \cdot \cos (\alpha - \beta)$$

 $X = 116,423 \,\mathrm{kg}, \ \alpha = 62^{\circ} 9' 48'' \ M_x = 1838,608, \ \lambda = 26^{\circ} 54' 20''$
 $Y = 214,480 \ , \ \beta = 30^{\circ} 39' 20'' \ M_y = -928,947, \ \mu = 116^{\circ} 46' 45''$
 $Z = -51,057 \ , \ \gamma = 101^{\circ} 49' \ M_s = 86,903, \ \nu = 87^{\circ} 35' 4''$
 $R = 249,325 \,\mathrm{kg}, \ Mo = 2061,789 \,\mathrm{mkg}.$

Sleichgewicht ist nicht vorhanden, daher zu untersuchen, ob sich Mo und R zu einer Gesamtresultante R' vereinigen lassen. Zu dem Ende muß M_x . $X+M_y$. $Y+M_z$. Z=0 sein. Es ist aber:

1838,608 . 116,423 — 928,947 . 214,480 — 86,903 . 51,057 = 10378,7 und deshalb eine Bereinigung unmöglich.

33. In der vorigen Aufgabe mögen die Koordinaten x_4 , y_4 , z_4 der Kraft von $120 \, \mathrm{kg}$ so umgeändert werden, daß eine Vereinigung zwischen R und Mo möglich werde. Es behalten hierbei X, Y, Z, R, α , β , γ die besrechneten Werte, dagegen erhalten wir:

$$M_x = 659,575 + 68,829 \cdot z_4 + 93,262 \cdot y_4,$$
 $M_y = -369,639 - 93,262 \cdot x_4 - 31,058 \cdot z_4,$
 $M_z = 107,042 + 31,058 \cdot y_4 - 68,829 \cdot x_4.$

Hieraus folgt:

Die zweite Gleichung erhalten wir aus der Bedingung der Vereinigung:

$$M_x$$
. 116,423 + M_y . 214,480 - M_s . 51,057 = 0 ober M_x + 1,842 M_y - 0,4386 M_s = 0 2)

Aus diesen beiden Gleichungen ergiebt sich:

$$0.374 M_x - 2.564 M_y = -481.034.$$

Wir behalten den früheren Wert von $M_{\rm p}=-928,947$ bei, setzen ihn in die vorstehenden Gleichungen ein und bestimmen dadurch

$$M_x = 52,108$$
 und $M_x = 1733,975$.

Setzen wir diese Werte in die obigen Gleichungen ein für x_4 , y_4 , s_4 , so entsteht:

$$68,829 \ z_4 + 93,262 \ y_4 = 1074,400$$

$$93,262 \ x_4 + 31,058 \ z_4 = 559,308$$

$$31,058 \ y_4 + 68,829 \ x_4 = -54,934,$$

ober, da die drei Gleichungen voneinander abhängig sind:

$$x_4 = -0.333 z_4 + 5.997$$

 $y_4 = -0.738 z_4 + 11.520$.

Es sind hiernach $x_4 = 0$, $x_4 = 5,997$, $y_4 = 11,52$ zusammengehörige brauchbare Koordinaten des vierten Punttes.

34. Bei Benutzung der in der vorigen Aufgabe gefundenen Werte soll die Vereinigung von Mo und R zur Sesamtresultante vorgenommen werden. Es ist

$$R = 249,325 \text{ kg}; \ \alpha = 62^{\circ} 9' 48''; \ \beta = 30^{\circ} 39' 20''; \ \gamma = 101^{\circ} 49', \ X = 116,423 \text{ kg}; \ Y = 214,480 \text{ kg}; \ Z = -51,057 \text{ kg},$$

$$M_x = 1733,975$$
; $M_y = -928,947$; $M_z = 52,108$.
 $M_0 = 1967,823$; $\lambda = 28^{\circ}13'$; $\mu = 118^{\circ}10'7''$; $\nu = 88^{\circ}28'57''$.

Die Koordinaten x, y, z eines Punktes der Resultante bestimmen sich durch die Gleichungen:

$$1733,975 = Yz - Zy = 214,480 z + 51,057 y,$$
 $-928,947 = Zx - Xz = -51,057 x - 116,423 z,$
 $52,108 = Xy - Yx = 116,423 y - 214,480 x.$

Aus diesen drei abhängigen Gleichungen erhalten wir:

$$x = -2,2802 z + 18,194,$$

 $y = -4,2008 z + 33,961.$

Es sind hiernch s=0, $x=18{,}194$, $y=33{,}961$ zusammengehörige brauchbare Koordinaten des Angriffspunktes der Gesamtmittelkrast R'.

Gleichgewicht kann hergestellt werden durch eine fünfte Kraft P_3 = 249,325 kg, deren Richtung durch die Winkel

$$\alpha_5 = 117^{\circ}50'12''$$
, $\beta_5 = 149^{\circ}20'40''$, $\gamma_5 = 78^{\circ}11'$

bestimmt ist, und welche einen Punkt des sesten Systems angreift, als dessen Koordinaten x=18,194, y=33,961, z=0 genommen werden können.

35. Ein festes System von fünf materiellen Punkten, deren Lage durch die folgenden Koordinaten gegeben ist

$$x_1 = 0, y_1 = 0, z_1 = 0$$

 $x_2 = 1, y_2 = 2, z_2 = 3$
 $x_3 = 2, y_3 = 3, z_3 = 4$
 $x_4 = 3, y_4 = 4, z_4 = 5$
 $x_5 = 4, y_5 = 5, z_5 = 6$

werde durch parallele Kräfte von folgender Größe und Richtung angegriffen:

$$P_1 = +60 \,\mathrm{kg}$$
, $P_2 = +70 \,\mathrm{kg}$, $P_3 = -90 \,\mathrm{kg}$, $P_4 = -150 \,\mathrm{kg}$, $P_5 = +200 \,\mathrm{kg}$.

Es sind die Resultante sowie die Koordinaten des Mittelpunktes der parallelen Kräfte zu berechnen:

$$R = \Sigma P = 90 \text{ kg}; \ 90 \ x = \Sigma P x = .240,$$

$$90 \ y = \Sigma P y = .270,$$

$$90 \ z = \Sigma P z = .300,$$

$$x = \frac{8}{3}; \ y = 3; \ z = \frac{10}{3}.$$

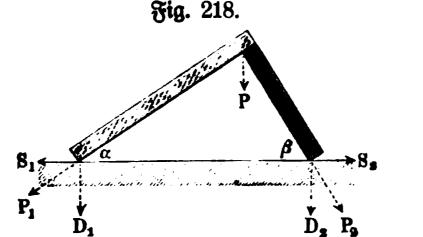
36. Zwei gewichtslose Stangen von ungleicher Länge sind mit je einem Ende durch ein Charnier verbunden, während die anderen Enden auf dem Fußboden ruhen, wobei die Richtungen der Stangen in einer zu dem= selben normalen Ebene liegen und die Winkel α und β bilden. Auf das Charnier wird nach einer zum Fußboden normalen Richtung ein Druck P ausgeübt. Vergl. Fig. 218 (a. f. S.).

Wie groß ist der dadurch ausgeübte Druck auf den Fußboden?

$$P_1 = P rac{\cos eta}{\sin (lpha + eta)}, \quad P_2 = P rac{\cos lpha}{\sin (lpha + eta)}, \ S_1 = P_1 \cos lpha = P rac{\cos lpha \cos eta}{\sin (lpha + eta)}, \ S_2 = P_2 \cos eta = P rac{\cos lpha \cos eta}{\sin (lpha + eta)}, \ S_1 = S_2. \ D_1 = P rac{\sin lpha \cos eta}{\sin (lpha + eta)}, \quad D_2 = P rac{\sin eta \cos lpha}{\sin (lpha + eta)},$$

b. h.

 $D_1 = P \frac{\sin \alpha \cos \beta}{\sin (\alpha + \beta)}, \quad D_2 = P \frac{\sin \beta \cos \alpha}{\sin (\alpha + \beta)},$ $D_1 + D_2 = P.$



*N₁

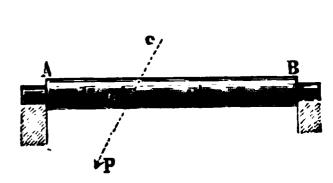
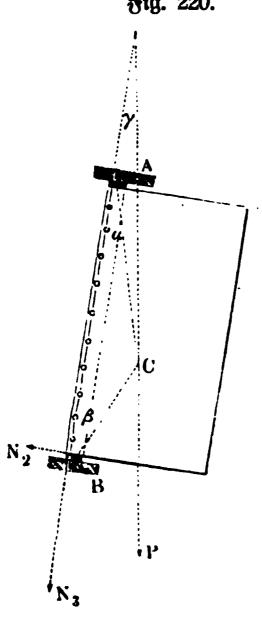


Fig. 219.

Es stelle AB (Fig. 219) eine feste Achse vor. In dem Punkte C derselben wirkt eine Kraft P, die mit der Achse den Winkel a bildet. Wie groß ist der Druck auf die Punkte A und B?

In der Richtung der Achfe ist ein Druck gleich Pcos a wirksam; der Druck normal zur. Achse ist in A und B bezw.



$$\frac{b}{a+b}P\sin\alpha$$
 und $\frac{a}{a+b}P\sin\alpha$.

38. Eine feste Ebene ist mit der Dreh= achse AB sest verbunden (Fig. 220). Punkte C dieser Ebene wirke eine Kraft P, deren Richtung in diese Ebene fällt, und die mit der Drehachse den Winkel y bildet.

Wie groß ist der Druck auf die Punkte A und B? Wie groß ist derselbe, wenn die Kraft parallel der Drehachse wirkt?

Bilden die Verbindungslinien CA und CB mit der Drehachse die Winkel α und β , so ist der in Richtung von AB ausgeübte Druck

$$N_8 = P \cos \gamma$$
.

Die zur Drehachse normalen Drucke sind für A und B bezw.

$$N_1 = P \frac{\sin(\beta + \gamma) \sin \alpha}{\sin(\alpha + \beta)}$$
 $N_2 = P \frac{\sin(\alpha - \gamma) \sin \beta}{\sin(\alpha + \beta)}$.

Für y = 0 erhalten wir:

$$N_1 = N_2 = \frac{P}{\cot g \, \alpha} + \frac{P}{\cot g \, \hat{\beta}}$$

 N_1 und N_2 find um so kleiner, je kleiner die Winkel α und β , d. h. je größer die gegenseitige Entfernung der Punkte A und B ist.

$$N_3 = P$$
.

39. Eine Ebene sei in drei Punkten A, B, C (Fig. 221), die nicht in gerader Linie liegen, unterstügt. Eine zur Fig. 221. Ebene normal wirkende Kraft P habe ihren Angriffspunkt S innerhalb des durch die Punkte A, B, C bestimmten Dreiecks. Es ist der auf die Unterstügungen ausgeübte Druck zu besrechnen.

Wir nehmen BC, CA, AB als Drehungsachsen und bezeichnen mit D_1 , D_2 , D_3 die Drucke auf die drei Unterstützungspunkte, die Höhen des Dreiecks ABC mit h_1 , h_2 , h_3 und die von S auf die Dreiecksseiten gefällten Normalen mit p, q, r. Man hat dann:

$$D_1 + D_2 + D_3 - P = 0$$

$$Pp - D_1 h_1 = 0$$

$$Pq - D_2 h_2 = 0$$

$$Pr - D_3 h_3 = 0.$$

Hieraus folgt:

$$D_1 = P \frac{p}{h_1} \qquad D_2 = P \frac{q}{h_2} \qquad D_3 = P \frac{r}{h_3}.$$

Liegen die vier Punkte A, B, S, C in einer geraden Linie, so erscheinen die Drucke D_1 , D_2 , D_3 samtlich unter der Form $\frac{0}{0}$, d. h. dieselben sind uns bestimmt. Diese Unbestimmtheit erklärt sich darauß, daß die vier Kräste parallele Kräste in einer Ebene sind und demnach nur durch zwei Gleichungen verbunden erscheinen.

Die brei unbekannten Drucke D_1 , D_2 , D_3 sind aus diesen beiden Gleischungen nicht bestimmbar, wenn wir nicht noch andere Boraussehungen machen. Seben wir z. B. einem der Drucke einen bestimmten Wert, so lassen sich die beiden anderen aus den obigen Gleichungen sinden.

40. Auf drei Punkte A, B, C einer horizontalen (gewichtslosen) Platte wirken bezw. die aufwärts gerichteten Kräfte $200 \, \mathrm{kg}$, $128,57 \, \mathrm{kg}$, $171,43 \, \mathrm{kg}$. In welchem Punkte der Platte wirkt deren Resultante, falls $BC = 3 \, \mathrm{m}$ ist und durch die Höhe $AA' = 4 \, \mathrm{m}$ aus A im Berhältnisse BA' : A'C = 4 : 3 geteilt wird?

Die Resultante vom Werte 500 kg teilt bie Bobe AA' im Berhaltniffe 3:2.

41. Ein Seil, das gemäß Fig. 198 befestigt ist, wird durch $K=200\,\mathrm{kg}$ gespannt. Wie groß ist der Zug an der Besestigung für $\alpha=60\,\mathrm{kg}$

Ronftruttive Ausführung ber Rebenfigur Rr. 193.

42. An zwei Punkten P_1 und P_2 , die eine wagerechte Entfernung von $6,5\,\mathrm{m}$ und einen Höhenunterschied von $2\,\mathrm{m}$ haben, ist ein Seil von $9\,\mathrm{m}$ Länge besestigt. Wird dieses durch ein Sewicht gespannt, das sich mittels eines Ringes auf dem Seile bewegen kann, so bildet sich ein loser Knoten. Welchen Winkel α bilden die Seilstücke im Knoten mit der Vertikalen? Wie groß sind die Spannungen S_1 und S_2 in den Seilstücken bei einer Belastung von $170\,\mathrm{kg}$?

$$\alpha = 46^{\circ} 14'$$
 $S_1 \sim 123 \,\mathrm{kg}$ und $S_2 \sim 123 \,\mathrm{kg}$.

- 43. Konstruktive Behandlung der vorigen Aufgabe. In einer Vertikal= ebene durch P_1 und P_2 sind diese Punkte die Brennpunkte einer Ellipse, sür welche die große Achse mit der Seillänge übereinstimmt. Da die Gewichts= vertikale eine Normale dieser Ellipse ist, so hat man, um diese Vertikale zu bestimmen, die horizontale Tangente der Ellipse zu konstruieren. Dies läßt sich aussühren, ohne daß die Ellipse selbst gezeichnet zu werden braucht.
- 44. Mit einer sesten Rolle wird eine Last von 50 kg gehoben. Wie groß ist der Achsendruck a. bei parallelen Seilen, b. bei Seilen, die einen Winkel von 60° einschließen?

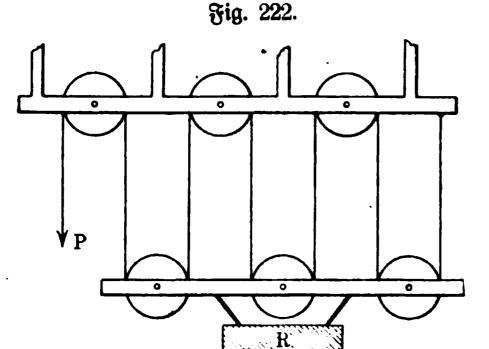
45. Mit einer losen Rolle wird eine Last von 50 kg gehoben. Wie groß ist die dazu erforderliche Kraft bei parallelen Seilen?

46. Mit einer losen Rolle von 24 cm Radius wird durch eine Kraft von 100 kg eine Last gehoben. Wie groß ist diese, falls das Seil an der Rolle eine Sehne von 36 cm umspannt?

47. Mit einem Rollenzuge von vier losen Rollen, deren jede 3 kg wiegt, sollen 1000 kg gehoben werden. Welche Kraft ist dazu erforderlich?

48. Wieviel lose Rollen von je 6 kg Gewicht muß man in einem

Nollenzuge verwenden, um 400 kg mit 50 bis 60 kg emporzuziehen? 3 Rollen.



49. Es ist der gemeine Flaschenzug (vergl. Fig. 222) zu untersuchen, falls jede Rolle das Gewicht G hat und ein Flaschenzrahmen G' wiegt.

Bezeichnet man mit n die Gesamtzahl der festen und losen Rollen, so ist:

$$P = -\frac{R + \frac{n}{2}G + G'}{n}.$$

Für $R = 1000 \, \text{kg}$, $G = 4 \, \text{kg}$, $G' = 1 \, \text{kg}$, n = 8 ift also $P \sim 127 \, \text{kg}$.

401

50. Die Untersuchung der vorigen Nummer ist durchzusühren für den Fall, daß das Seil an der unteren (losen) Flasche befestigt ist.

Hier wird n ungerade, da die feste Flasche eine Rolle mehr enthält als

die lose.

$$P = \frac{R + \frac{n-1}{2} G + G'}{n}$$

51. Es ist die in Fig. 223 dargestellte Rollenverbindung zu untersuchen, falls die lose Rolle das Gewicht Fig. 223. Fig. 224.

G hat.

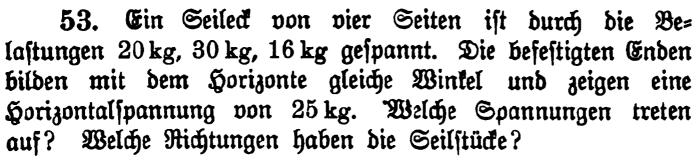
$$P=\frac{R+G}{3}.$$

52. Mit welcher Kraft P muß ein Mann an der in Fig. 224 dar= gestellten Vorrichtung wirken, um sich emporzuziehen?

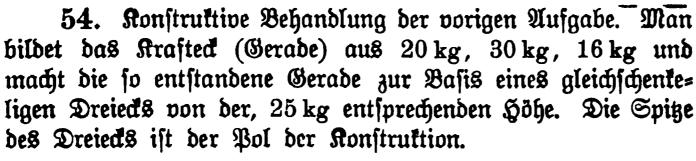
Bezeichnet G das Gewicht des Mannes und des Trittbrettes, so ist für $\angle CEA = \angle CEB = \alpha$

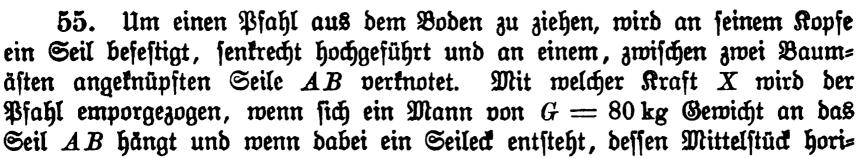
$$P = \frac{G}{2\cos\alpha}.$$

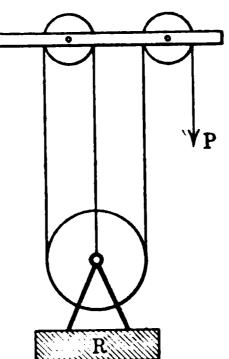
P wirkt als P_1 , wozu noch die Reaktion \overline{P} tritt.

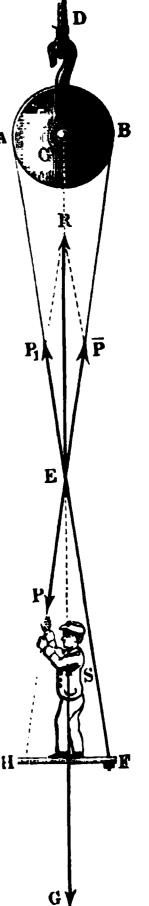


Die Vertikalspannungen beider Besestigungen sind einander gleich, jede beträgt 33 kg; die besestigten Seilenden zeigen eine Spannung von 41,40 kg und sind gegen den Horizont um 52°51' geneigt. Die anderen Spannungen sind 28,18 kg und 30,23 kg, die anderen Neigungswinkel 27°28' und 34°13' entsprechend der Folge 20 kg, 30 kg, 16 kg.









zontal liegt, während das dem Pfahl benachbarte Ende eine Neigung $\alpha=80^{\circ}$ und das andere Ende eine Neigung $\beta=10^{\circ}$ gegen den Horizont hat?

Durch Zerlegung der senkrechten Kraft von 80 kg in ihre Komponenten erhält man zunächst die Horizontalspannung und die Spannung des benachsbarten Seilendes.

$$X = G \cdot tang \alpha \cdot cot \beta \sim 2600 \text{ kg}.$$

56. Für eine Kettenbrücke, bei welcher die Horizontale angenähert gleichmäßig belastet ist, gilt, gemäß Fig. 200, $\gamma=400\,\mathrm{kg}$, $l=80\,\mathrm{m}$, $h=10\,\mathrm{m}$.

Man berechne H, sowie V, S und σ für eine Reihe von Schnitten und vergl. die Ergebnisse der Rechnung mit der Konstruktion.

57. Für eine gemeine Kettenlinie ist die Spannweite $2l = 16 \,\mathrm{m}$ und die Pseilhöhe $k = 2.5 \,\mathrm{m}$. Wie groß ist die Länge der Kette? Wie groß die Strecke c, welche die Horizontalspannung mißt? Wie groß die Neigung des Kettenendes gegen den Horizont?

Bei Verwendung der Näherungsformeln der Anwendung 3 erhält man $2\lambda \sim 17\,\mathrm{m};\ c \sim 13,22\,\mathrm{m};\ \alpha \sim 32^{\circ}\,50'.$

58. Für eine gemeine Kettenlinie ist die Spannweite $2l = 9.5 \,\mathrm{m}$ bei einer Länge $2\lambda = 10 \,\mathrm{m}$. Wie groß ist die Pseilhöhe? Wie groß ist die Strede c, welche die Horizontalspannung mißt?

$$h \sim 1.34 \,\mathrm{m}; c \sim 8.67 \,\mathrm{m}.$$

- 59. Eine Kette von der Länge $2\lambda = 30\,\mathrm{m}$ und einem Eigengewichte von $8\,\mathrm{kg}$ ist an ihren Enden über Rollen geführt und durch je $20\,\mathrm{kg}$ gesspannt. Wie groß ist die Horizontalspannung H? Wie groß ist die Neigung α gegen die Horizontale am Ende? Wie groß ist die Strecke c? Wie groß die Spannweite 21? Wie groß die Pseilhöhe?
- $H \sim 19.6 \,\mathrm{kg}; \ \alpha = 11^{\circ}32'; \ c \sim 73.48 \,\mathrm{m}; \ 2 \,l \sim 29.79 \,\mathrm{m}; \ h \sim 1.52 \,\mathrm{m}.$
- 60. Eine Kette von der Länge $2\lambda = 5\,\mathrm{m}$ hat ein Eigengewicht von $15\,\mathrm{kg}$. Wie groß ist bei einer Pseilhöhe $h = 2\,\mathrm{m}$ die Belastung für den lausenden Weter, die Strecke c und die Horizontalspannung?

Bei Anwendung der genauen Formeln ergiebt sich

$$\gamma = 3 \text{ kg}; \quad c = \frac{9}{16} \text{ m}; \quad H = 1.69 \text{ kg}.$$

61. Ein Punkt einer gemeinen Kettenlinie hat die Koordinaten $x=3\,\mathrm{m}$ und $y=2\,\mathrm{m}$ für das übliche Achsenspstem durch den Scheitel. Wie groß ist für diese Kurve die Strecke c?

Nach der Näherungsformel erhält man $c\sim 2{,}58$, nach der genauen Formel $c=2{,}53$.

62. Anwendung 4 ist durchzurechnen für $\alpha_1 = 32^{\circ}20'$, $\alpha_2 = 25^{\circ}10'$, $P_1 = 20 \,\mathrm{kg}$. Wie groß ist P_2 für den Fall des Gleichgewichtes? Wie groß ist in diesem Falle S und D? Wie stellt sich die Rechnung sür $P_2 = 15 \,\mathrm{kg}$? Wie groß sind S_1 und S_2 bei Berücksichtigung der Rollenbewegung, wenn sür diese $r = 2 \,\mathrm{cm}$ und $\mathrm{Tr} = 192 \,\mathrm{ist}$?

63. Sest man in Anwendung 5 für $P_1 \sin \alpha_1$ und $P_2 \sin \alpha_2$ bezw. K_1 und K_2 , so können von den vier Größen K_1 , K_3 , r_1 , r_2 für den Fall des Gleichgewichtes drei willfürlich gewählt werden.

Gegeben: $r_2 = 0.13 \,\mathrm{m}$, $r_1 = 0.52 \,\mathrm{m}$, $K_2 = 60 \,\mathrm{kg}$. Gejucht: $K_1 = 15 \,\mathrm{kg}$ $r_2 = 0.13 \,\mathrm{m}$, $r_1 = 0.474 \,\mathrm{m}$, $K_1 = 10 \,\mathrm{kg}$. $K_2 = 36 \,\mathrm{kg}$ $K_1 = 20 \,\mathrm{kg}$, $K_2 = 350 \,\mathrm{kg}$, $r_2 = 0.2 \,\mathrm{m}$. $r_1 = 3.5 \,\mathrm{m}$ $K_1 = 30 \,\mathrm{kg}$, $K_2 = 370 \,\mathrm{kg}$, $r_1 = 1.7 \,\mathrm{m}$. $r_2 = 0.14 \,\mathrm{m}$.

- 64. Anwendung 5 ist durchzurechnen für $\alpha_1 = 32^{\circ} 20'$, $\alpha_2 = 25^{\circ} 10'$, $P_1 = 20 \text{ kg}$, $r_1 = 0.02 \text{ m}$, $r_2 = 0.01 \text{ m}$. Wie groß ist P_2 für den Fall des Gleichgewichts? Wie stellt sich die Rechnung für $P_1 = 15 \text{ kg}$? Wie groß sind S_1 und S_2 , wenn Tr = 250 ist?
- 65. Es ist die Differentialhaspel (vergl. Fig. 225) zu untersuchen für ben Fall des Gleichgewichts. Eine Kraft Q wirkt hier an der losen Rolle

A sentrecht abwärts, und die Enden des Seiles, welches diese Rolle trägt, sind nach entsgegengesetzer Richtung um eine horizontal gelagerte Welle BC gewickelt, die an diesen Stellen verschiedene Durchmesser hat. Die Welle wird mittels der Kurbeln D durch eine Kraft P gesdreht. Wie heißt die Bedingung des Gleichgewichtes, wenn die Länge des Kurbelarmes mit R, die Halbmesser der versthieden starten Welle mit r, und r, beszeichnet werden?

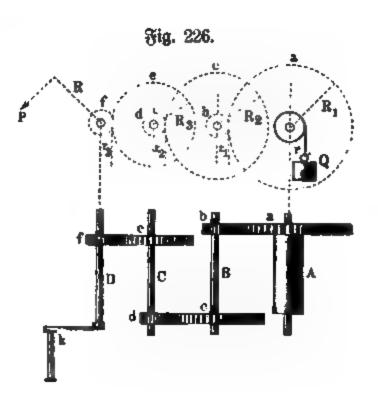
$$P = \frac{Q}{2} \frac{r_1 - r_2}{R}.$$

Für $Q = 4700 \,\text{kg}$, $R = 0.470 \,\text{m}$, $r_1 = 0.130 \,\text{m}$, $r_2 = 0.118 \,\text{m}$ iff $P = 60 \,\text{kg}$.

66. Ein Räberwert bestehe aus m Wellen A, B, C, D.... (Fig. 226), von benen jede ein größeres und ein kleineres Rad trägt. An dem Umfange des größeren Rades der ersten Welle, d. i. in der Figur am Kurbelsarme, wirke die Krast P nach tangentialer Richtung, und an dem Umsange des kleineren Rades der letzten Welle wirke tangential



Fig. 225.



die Kraft Q. Die Halbmesser der Räder sind der Reihe nach durch R_1 , R_2 , R_3 , . . . R und r, r_1 , r_2 , r_3 . . . bezeichnet. Wie heißt die Bedingung des Gleichgewichtes?

$$\frac{PR}{Qr} = \frac{r_1}{R_1} \frac{r_2}{R_2} \frac{r_3}{R_3} \cdots = u,$$

unter u das in Nr. 37 der Übungen des ersten Abschnittes entwickelte Umssetzungsverhältnis verstanden. Bezeichnet man die Drucke zwischen den Zähnen je zweier miteinander arbeitender Räder, von der Kraft Q aus gerechnet, mit X_1 , X_2 , X_3 . . ., so hat man dafür:

$$X_1 = Q \frac{r}{R_1}; \quad X_2 = Q \frac{r}{R_1} \frac{r_1}{R_2}; \quad X_3 = Q \frac{r}{R_1} \frac{r_1}{R_2} \frac{r_2}{R_3}.$$

67. Eine Welle, die durch eine Kurbel von 0,300 m Länge gedreht wird, trägt ein kleines Zahnrad von 0,140 m Durchmesser. Dieses steht mit einem Rade von 0,700 m Durchmesser im Eingriff, und auf dessen Welle ist eine hölzerne Trommel von 0,300 m Durchmesser angebracht. Ein Widerstand von 50 kg soll mittels eines Seiles, das sich auf die Trommel wickeln kann, gehoben werden. Wie groß ist die an der Kurbel zur Herstellung des Gleichgewichtes notwendige Kraft P?

$$\frac{P.0,300}{50.0,150} = \frac{0,140}{0,700}$$

d. h. P=5 kg. Der Druck zwischen den Zähnen der miteinander arbeitenden Räder ist X=10,7 kg. Das Umsetzungsverhältnis u ist hier $\frac{140}{700}=\frac{1}{5}$.

68. Zwei Männer, von denen jeder mit einem Druck von 15 kg arbeitet, sollen mittels einer Bodenwinde eine Last von 750 kg heben. Die Länge der Kurbel sei 0,390 m, der Halbmesser der Windetrommel 0,130 m. Wie groß ist das Umsetzungsverhältnis?

$$u = \frac{2 \cdot 15 \cdot 0{,}390}{750 \cdot 0{,}130} = \frac{3}{25}.$$

Diesem Werte zufolge hätte man bei der Winde ein doppeltes Vorgelege anzuwenden, so daß außer der Kurbel und Trommelwelle noch eine dazwischen liegende Vorgelegewelle gebraucht würde. Bezeichnen wir die Halbmesser der Käder von der Kurbel nach der Trommelwelle hin durch r_1 , R_1 , r_2 , R_2 , so ist hiernach

$$u = \frac{3}{25} = \frac{r_1}{R_1} \, \frac{r_2}{R_2}$$

69. Ein Kran hat zwei Kurbeln von $R=0.4\,\mathrm{m}$ Länge, an denen jeder Arbeiter mit einer Kraft von $P=15\,\mathrm{kg}$ wirkt. Auf der Kurbelwelle sitt ein Trieb von $r_2=0.08\,\mathrm{m}$ Halbmesser und dieser steht im Eingriff mit einem Kad auf der Borgelegewelle von $R_2=0.28\,\mathrm{m}$ Halbmesser. Auf der Borgelegewelle sitt ein Trieb von $r_1=0.12\,\mathrm{m}$ Halbmesser und treibt ein Kad auf der Kettentrommelwelle von $R_1=0.50\,\mathrm{m}$ Halbmesser.

Wie groß muß der Halbmesser (r) der Kettentrommel genommen werden, wenn durch die Arbeiter einer Last von $Q=1000\,\mathrm{kg}$ das Gleichgewicht geshalten werden soll?

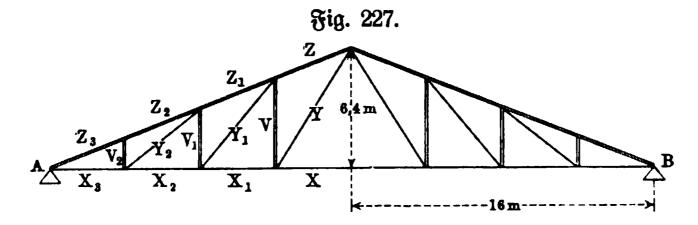
$$\frac{30 \cdot 0.4}{1000 \cdot r} = \frac{0.08}{0.28} \cdot \frac{0.12}{0.50},$$

d. h. $r = 0.175 \,\mathrm{m}$. Die Drucke zwischen den Zähnen je zweier miteinander arbeitender Räder sind, von der Last Q aus gerechnet:

$$X_1 = 350 \,\mathrm{kg}, \ X_2 = 150 \,\mathrm{kg}.$$

Für P = 30 kg; R = 448 mm; $r_2 = 52 \text{ mm}$; $R_2 = 260 \text{ mm}$; $r_1 = 104 \text{ mm}$; $R_1 = 624 \text{ mm}$ und r = 112 m gilt: Q = 3600 kg; $X_1 = 646.1 \text{ kg}$; $X_2 = 258.4 \text{ kg}$. Für P = 25 kg; R = 448 mm; $r_2 = 52 \text{ mm}$; $r_1 = 78 \text{ mm}$; $R_1 = 390 \text{ mm}$; r = 112 mm und Q = 3000 kg gilt: $R_2 = 312 \text{ mm}$; $X_1 = 861.5 \text{ kg}$; $X_2 = 215.4$.

- 70. Für die Angaben der Nr. 64 sind die vertikalen und horizontalen Zapsendrucke im Falle des Gleichgewichts zu bestimmen, wenn das Gewicht der Radwelle mit $G=5\,\mathrm{kg}$ in Ansat gebracht wird und wenn $P_1,\ G,\ P_2$ bei einer Achsenlänge von $15\,\mathrm{cm}$ von dem einen Ende der Achse bezw. die Entsernungen $5\,\mathrm{cm},\ 9\,\mathrm{cm},\ 12\,\mathrm{cm}$ haben.
- 71. Ein Dach von $32 \,\mathrm{m}$ Spannweite wird durch Dachbinder, wie sie Fig. 227 zeigt, gebildet, welche $5 \,\mathrm{m}$ voneinander abstehen. Die Berechnung



ist durchzusühren bei 200 kg Belastung für den Quadratmeter des Grundzisses, unter Voraussezung gleichmäßiger Knotenbelastung. Zwischen zwei Bindern liegt ein Rechteck von $32.5 = 160 \,\mathrm{qm}$, welches $32000 \,\mathrm{kg}$ zu tragen hat. Jeder Binder trägt die Hälste von zwei solchen Rechtecken, also $32000 \,\mathrm{kg}$. Bei gleichmäßiger Belastung der Knoten trägt jedes der acht Felder des Binders $4000 \,\mathrm{kg}$, also jeder Knoten $4000 \,\mathrm{kg}$, während in A und B je $2000 \,\mathrm{kg}$ unmittelbar von der Mauer ausgenommen werden. Die Reaktionen in A und B haben zusammen $7.4000 = 28000 \,\mathrm{kg}$ zu tragen, so daß jede (Symmetrie) zu $14000 \,\mathrm{kg}$ anzusezen ist.

$$X = +20000 \,\mathrm{kg}$$
 $Y = +9434 \,\mathrm{kg}$ $Z = -26925 \,\mathrm{kg}$ $V = -8000 \,\mathrm{kg}$ $X_1 = +25000$, $Y_1 = +7810$, $Z_1 = -32310$, $V_1 = -6000$, $X_2 = +30000$, $Y_2 = +6403$, $Z_2 = -37695$, $V_2 = -4000$, $Z_3 = -37695$,

Die gedrückten Stangen (Z und V) sind in Fig. 227 doppelt ausgezogen.

72. Es ist der parabolische Träger der Fig. 228 zu berechnen, bei 1000 kg dauerndem Druck und 5000 kg veränderkicher Belastung der einzelnen Knoten der oberen Gurtung.

Die Maxima für alle Horizontalstangen sind — $48\,000\,\mathrm{kg}$. Die Maxima für die Stangen der unteren Gurtung der Reihe nach $+\,52\,500\,\mathrm{kg}$, $50\,300\,\mathrm{kg}$,

Fig. 228.

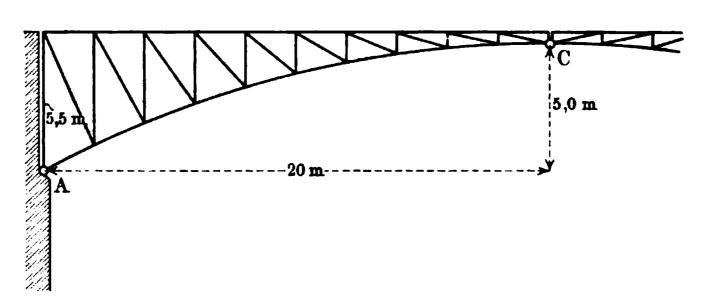
48 900 kg, 48 100 kg von links bis zur Mitte.

Die Maxima für die Vertistalstangen sind in derselben Folge — 6000 kg, — 7560 kg und

 $+\cdot560\,\mathrm{kg}$, $-8500\,\mathrm{kg}$ und $+1500\,\mathrm{kg}$, $-8800\,\mathrm{kg}$ und $+1800\,\mathrm{kg}$. Die Maxima für die schrägen Stangen sind in derselben Folge: $\pm6250\,\mathrm{kg}$, $\pm6850\,\mathrm{kg}$, $\pm7080\,\mathrm{kg}$.

Für die rechte Hälfte findet man dieselben Zahlen wie für die linke.

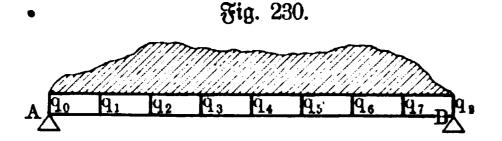
73. Es ist die Bogenbrücke der Fig. 229 zu berechnen bei 2400 kg = 2,4 t dauernder und 4000 kg = 4 t veränderlicher Belastung der einzelnen Fig. 229.



Anoten der oberen Gurtung. Hier haben alle Stangen Zug und Druck auß= zuhalten, nur die Stangen der unteren Gurtung werden lediglich gedrückt.

Hängt man die Brücke auf, anstatt sie zu stützen, so gilt dieselbe Be= rechnung, aber alle Spannungszahlen wechseln das Vorzeichen.

- 74. Es ist der Träger der Fig. 208 graphostatisch zu behandeln, falls er auch noch durch eine gleichmäßige Belastung (z. B. Eigengewicht) in Anspruch genommen wird.
- 75. Wie ändern sich die Ergebnisse für Fig. 208 und Fig. 209 bei indirekter Belastung, d. h. wenn die Belastung, wie es Fig. 230 zeigt,



durch n+1 gleichmäßig verteilte Querträger $q_0, q_1, q_2, q_3 \ldots q_n$ auf den Balten AB übertragen wird?

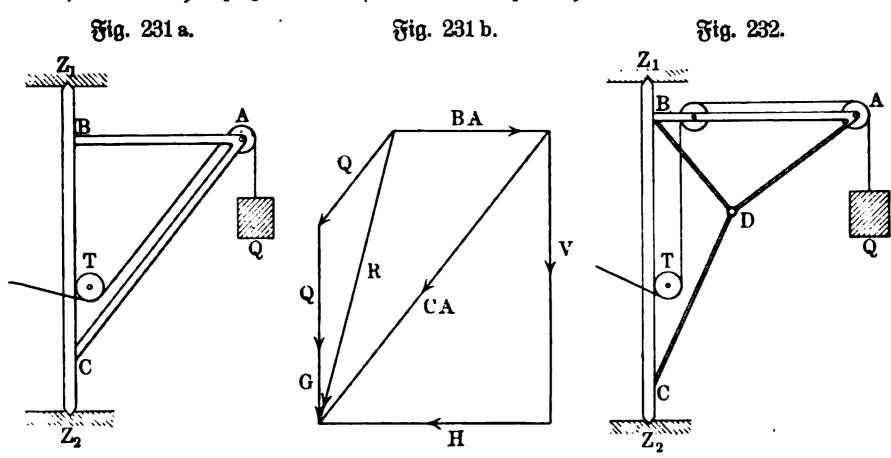
Die Belastung zwischen q_p und q_{p+1} zerlegt sich nach dem

Gesetze für Parallelkräfte in Kräste, welche in q_p und q_{p+1} wirken, so daß ${\mathfrak B}$. B. bei gleichmäßiger Belastung der Horizontalen als Momentenfläche statt

der Parabel ein Vieleck, statt des geradlinigen Diagramms der Bertikälkräfte eine treppenförmige Begrenzungslinie auftritt.

- 76. bis 78. Die Aufgaben 71 bis 73 sind graphostatisch zu behandeln.
- 79. Der Drehkran mit horizontaler Zugstange, den Fig. 231 dars stellt, soll graphostatisch behandelt werden.

Die Achse BC ist in den Zapfenlagern Z_1 und Z_2 drehbar. Auf den Punkt A, in dem die Zugstange BA und die Strebe CA einen Knoten bilden, wirkt die Belastung Q, der Zug im Seile AT, der bei gleichsörmiger Bewegung auch den Wert Q hat, und ein Gewicht G, welches sich aus dem Gewichte der Kolle bei A, der Kette und dem halben Gewichte der Strebe AB und AC zusammensett. Wit den Spannungen in BA und AC muß diese Jnanspruchnahme von A im Gleichgewichte sein. Dem entspricht Fig. 231 b, in welcher der Druck sür CA noch in [H] und [V] zerlegt ist. Es ist nun noch Z_1Z_2 als belasteter Balken zu behandeln.

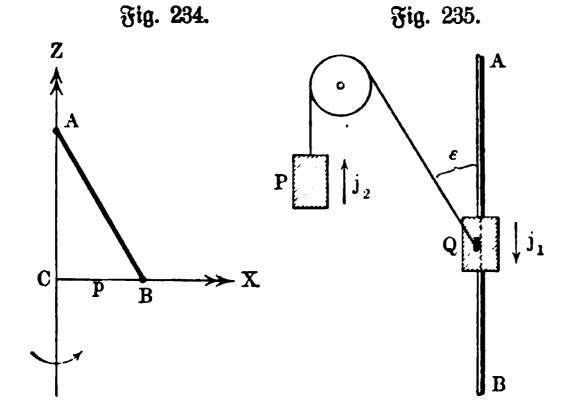


- 80. Dieselbe Untersuchung ist durchzusühren für einen Drehkran mit gebrochener Strebe (Fig. 232).
- 81. Behandlung eines Trägers mit Dreieckslast (Fig. 233). Die Beslastung steigt von dem einen Ende des Balkens, proportional zu der Entsernung von diesem, an.
- 82. Rechnerische Behandlung des Trägers in Fig. 208, salls die rechte Stütze fort= Denommen und die linke durch eine seste Einklemmung ersetzt wird (Freiträger). Graphische Darstellung der Momenten= släche und der Vertikalkräfte gemäß Rechnung.
 - 83. Dasselbe für den Träger in Fig. 209.
 - 84. Dasselbe für den Träger in Fig. 233.

- 85. Graphische Darstellung des Potentials einer homogenen Kugel=schale, einer homogenen Vollkugel und einer homogenen Hohlkugel.
- 86. Das Selbstpotential der homogenen Vollkugel (vergl. Anwendung 13) ist abzuleiten.

Welche Wärmemenge entspricht dem Selbstpotential der Sonne?

- 1 Wärmeeinheit (Kalorie) = 424 mkg.
- 87. Eine Stange AB, welche bei A mit der Achse AC verbunden ist und in B mit ihr durch einen Steg p zusammenhängt, dessen Gewicht ver=



nachlässigt werden kann, dreht sich gleichförmig.

Die Bewegung ist ge= mäß Anwendung Nr. 14 zu behandeln.

Wann ist der Steg p überflüssig?

88. Dasselbe für die Dreieckssläche (unendlich= dünne Platte) der Fig. 234.

Wann ist die Be= festigung bei C überflüssig?

89. Nach dem Prin=
cipe von d'Alembert sind

die vertikalen Beschleunigungen von Q, das sich auf der Stange AB beswegen kann, und von P zu bestimmen (vergl. Fig. 235).

$$j_1 = rac{Q - P\cos \varepsilon}{P\cos^2 \varepsilon + Q} \cdot g$$
 $j_2 = -j_1 \cdot \cos \varepsilon.$

90. Nach dem Principe von d'Alembert ist die Bewegung des mathes matischen Pendels bei einer Besestigung, wie sie Fig. 145 darstellt, zu beshandeln.

Zweites Kapitel.

Der Schwerpunkt.

67. Die Bestimmung des Schwerpunktes für materielle Gebilde. Nach dem Principe der Paarwirkung besinden sich alle Körper der Außenwelt in gegenseitiger Einwirkung. Für die Körper, welche in der Technik verwendet werden, ist die gegenseitige Einwirkung zwischen einem solchen Körper und der Erde von hervorragender Bedeutung. Diese Einswirkung stellt sich dar in dem System der Kräfte, welche zwischen den einzelnen Atomen des Körpers und den einzelnen Atomen der Erde zur Geltung kommen.

Dieses System wird übersichtlich, wenn man die Erde als eine homogenstonzentrisch=geschichtete Kugel auffaßt (vergl. Übung 13 des vorigen Kapitels), da in diesem Falle zunächst der Mittelpunkt der Erde den einzelnen Atomen des (beliebig gestalteten) Körpers als dynamisches Centrum gegenübertritt. Bei der großen Entsernung des Erdmittelpunktes von den Atomen der, in der Nähe der Erdobersläche besindlichen Körper, können serner die Berbindungsgeraden der einzelnen Körperatome mit dem Erdmittels punkte als parallel angesehen werden, so daß für Atome von den Massen μ_1, μ_2, \ldots an diesen die Parallelkräste $[\mu_1 g], [\mu_2 g] \ldots$ anzusezen sind.

Behandelt man diese Parallelkräfte gemäß Formel Nr. 66, so gelangt man zu einem Mittelpunkte des Systems, welcher zugleich der Massen= mittelpunkt des Körpers (vergl. S. 240) ist und demnach auch durch die Formeln Nr. 64 und Nr. 65 gewonnen werden kann.

Für das betrachtete System von Kräften, welchem entweder der freie Fall des Körpers zur Erde oder der Druck bezw. Zug, welcher bei der Bershinderung dieser bestimmten Bewegung auftritt, d. h. das Gewicht des Körpers entspricht, führt der Massenmittelpunkt im besondern den Namen Schwerpunkt.

Im folgenden handelt es sich darum, die Lage des Schwerpunktes, der auch bisher schon gelegentlich verwendet wurde, für besondere materielle Gebilde wirklich zu bestimmen.

Dies geschieht, von einfachen Fällen abgesehen, stets durch die Formeln Rr. 64 bezw. 66. Gemäß ihrer Herleitung darf man jede dieser Formeln für sich verwenden, man kann sie aber auch zusammen

auf ein dreiachsiges Koordinatenkreuz beziehen, welches durchaus nicht rechtwinklig zu sein braucht.

Liegt das materielle Gebilde, dessen Schwerpunkt bestimmt werden soll, ganz innerhalb des ersten Winkelraumes (+, +, +) eines Kreuzes, so sind die Streden x_p , y_p , z_p alle positiv und demnach auch x, y, z.

Aus dieser Lage läßt sich jede andere Lage durch Berschiedung des Kreuzes herstellen, so daß also die Formeln Nr. 64 bezw. Nr. 66 unter Berücksichtigung der Borzeichen der Koordinaten allgemein gelten. Schneidet z. B. die XY-Ebene das materielle Gebilde, so sind die Strecken e_p auf der positiven Seite der XY-Ebene positiv, die Strecke e_p auf der negativen Seite der XY-Ebene negativ anzusezen. Daher kann e einen positiven oder einen negativen Wert erhalten und auch Null werden; für e0 geht die e0 geht die e0 geht die e1 burch den gesuchten Schwerpunkt, d. h. wenn das Massenmoment e2 e1 bie e2 bene verschwindet, so enthält diese den Schwerpunkt.

Da die Lage der XY=Ebene ganz beliebig ist, so gelten diese Betrach= tungen für jede Ebene.

Eine Ebene, in welcher der Schwerpunkt des materiellen Gebildes liegt, pflegt man eine Schwerebene desselben zu nennen, und es ist klar, daß man im allgemeinen drei, sich in einem Punkte schneidende Schwerebenen kennen muß, um die Lage des Schwerpunktes zu bestimmen.

Dies zeigen auch die drei Gleichungen der Formeln Nr. 64 bezw. Nr. 66, deren jede zu einer der Koordinatenebenen eine Parallelebene bestimmt, in welcher der Schwerpunkt liegt, falls nicht der Sonderfall x=0 oder y=0 oder x=0 vorliegt, in dem eine der Koordinatenebenen selbst Schwerebene ist.

Eine Gerade, in welcher der Schwerpunkt eines materiellen Gebildes liegt, pflegt man eine Schwergerade desselben zu nennen, und es ist klar, daß man im allgemeinen eine Schwerebene und eine (sie schneidende) Schwergerade oder zwei sich schneidende Schwergeraden kennen muß, um die Lage des Schwerpunktes bestimmen zu können.

Liegen die materiellen Punkte eines Gebildes, welche ja auch dynamische Centren sein können, in einer Ebene, so ist diese Ebene selbst eine Schwersebene des Gebildes. Wählt man diese z. B. als XY=Ebene, so braucht man von den Formeln Nr. 64 bezw. Nr. 66 nur die Gleichungen sür x und y, welche hier zwei Parallelen zu den Achsen als Orte sür den Schwerpunkt bestimmen. Diese lassen sich als Schwergerade der XY=Ebene auffassen oder auch als Schnitte zweier Schwerebenen mit der XY=Ebene. Liegen die matesriellen Punkte eines Gebildes in einer Geraden, so ist diese Gerade selbst eine Schwergerade des Gebildes. Wählt man diese z. B. als Z=Achse, so braucht man von den Formeln Nr. 64 bezw. Nr. 66 nur die Gleichung sür x.

Auf der Bestimmung von Schwerebenen bezw. Schwergeraden beruht auch die Bestimmung von Schwerpunkten durch Versuche, wie sie im ersten Lehrgange der Physik veranschaulicht wird.

Körper mit einer Symmetrieebene erfordern nur die Bestimmung zweier Schwerebenen, da die Symmetrieebene den Schwerpunkt enthält. Vergl. S. 240. Für Körper mit zwei Symmetrieebenen ist deren Schnittgerade eine Schwergerade.

Bei Körpern mit drei (ober mehr) sich in einem Punkte schneidenden Symmetrieebenen ist die Lage des Schwerpunktes ohne weiteres gegeben.

Entsprechendes gilt für die sogenannte "schiefe Symmetrie", wie sie ein Schiefkant (schiefwinkliges Parallelepipedon) veranschaulicht.

Oft ist es auch nüglich, ein materielles Gebilde in Teile T_1, T_2, \ldots zu zerlegen, für diese Teile die Schwerpunkte S_1, S_2, \ldots zu bestimmen und endlich den Schwerpunkt S dieser, als dynamische Centren der Teile T_1, T_2, \ldots aufgefaßten Schwerpunkte aufzusuchen, welcher zugleich der Schwerpunkt des vorgelegten materiellen Gebildes ist. Daß dem so ist, läßt sich zunächst für eine Zweiteilung leicht zeigen. Teilt man die Atome des materiellen Gebildes in zwei Gruppen μ_1, μ_2, \ldots und μ_1', μ_2', \ldots , so gilt sür den Abstand des Schwerpunktes der ersten Gruppe von der YZ-Ebene

$$\frac{\mu_1 x_1 + \mu_2 x_2 + \cdots}{\mu_1 + \mu_2 + \cdots} = x$$

und für den Abstand des Schwerpunktes der zweiten Gruppe von der YZ-Ebene

$$\frac{\mu_1'x_1' + \mu_2'x_2' + \cdots}{\mu_1' + \mu_2' + \cdots} = x'.$$

Für den entsprechenden Abstand des Schwerpunktes dieser, bezw. mit den Massen $(\mu_1 + \mu_2 + \cdots)$ und $(\mu_1' + \mu_2' + \cdots)$ behafteten Schwerpunkte gilt serner

$$\xi = \frac{x(\mu_1 + \mu_2 + \cdots) + x'(\mu_1' + \mu_2' + \cdots)}{(\mu_1 + \mu_2 + \cdots) + (\mu_1' + \mu_2' + \cdots)}.$$

Setzt man in dem Ausdrucke für ξ die Werte von x und x' ein, so sieht man, daß ξ zugleich die entsprechende Koordinate für das ganze mate=rielle Gebilde ist.

Entsprechendes gilt für die Abstände von den anderen Koordinatenebenen. Die Ausdehnung des Beweises auf mehrere Gruppen bietet keine Schwierigkeiten dar.

Endlich mag noch darauf hingewiesen werden, daß der Schwerpunkt für die Parallelprojektion eines materiellen Gebildes zugleich die Parallelprojektion seines Schwerpunktes ist, falls man der Projektion eines materiellen Punktes dieselbe Masse giebt wie dem Punkte selbst.

Legt man nämlich die Z=Achse in die Richtung der Projektion, so haben die Punkte und ihre Projektionen bezw. dieselben Koordinaten x und y.

68. Die Schwerpunkte geometrischer Gebilde. Die Formeln Nr. 66 bezw. Nr. 64, in welchen Kräfte bezw. Massen von materiellen Punkten, d. h. von Atomen oder von dynamischen Centren vorkommen, gehen unter gewissen Bedingungen in rein geometrische Beziehungen über.

Ist die Masse m in einem Raumteile v verteilt, so nennt man $\frac{m}{v}$ die mittlere oder durchschnittliche Dichtigkeit des betreffenden Raumteiles.

Hat diese mittlere Dichtigkeit für beliebig kleine Teile eines Körpers stets denselben Wert d, so daß also die Massen beliebig kleiner, unter sich gleicher Teile desselben selbst unter sich gleich sind, so heißt der Körper homogen; in diesem Falle, wo d kurzweg die Dichtigkeit des Körpers genannt wird, gilt die Gleichung

$$m = v \cdot \delta$$

für beliebig zusammengehörige Teilmassen und Teilvolumina des Körpers. Hat die mittlere Dichtigkeit für beliebig kleine Teile eines Körpers nicht stets denselben Wert, so muß man den Körper in Volumenelemente zerlegt und für jedes derselben den Grenzwert $\frac{m}{v}$ bestimmt denken; in diesem Falle, in dem der Körper heterogen heißt, erhält man sür jedes Volumen=element v_1, v_2, \ldots einen besondern Wert der Dichtigkeit $\delta_1, \delta_2, \ldots$, so daß sich die Wasse m des Körpers gemäß der Gleichung

$$m = v_1 \delta_1 + v_2 \delta_2 + \cdots$$

nur durch einen Grenzübergang feststellen läßt.

Berlegt man einen homogenen Körper von der Dichtigkeit δ in n Teile, deren Schwerpunkte bereits bekannt sind, so daß für diese die Strecken $x_1, x_2, \ldots x_n, y_1, y_2, \ldots y_n$ und $x_1, x_2, \ldots x_n$ der Formel Nr. 64 bestimmt werden können, so läßt sich jede Masse m_p eines Teiles vom Bolumen v_p durch v_p . δ erseten. Demgemäß geht

$$x = \frac{\mu_1 x_1 + \mu_2 x_2 + \cdots}{\mu_1 + \mu_2 + \cdots}$$

über in

$$x = \frac{v_1 \delta x_1 + v_2 \delta x_2 + \cdots}{v_1 \delta + v_2 \delta + \cdots}$$

oder, nach Beseitigung von d im Zähler und im Nenner, in

$$x=\frac{v_1x_1+v_2x_2+\cdots}{v_1+v_2+\cdots}.$$

Man gelangt also zu den Formeln:

$$x = \frac{\sum v_p x_p}{\sum v_p}, \quad y = \frac{\sum v_p y_p}{\sum v_p}, \quad z = \frac{\sum v_p z_p}{\sum v_p}$$
 $p = 1, 2, \ldots n$

Dabei ist das Volumen V des Körpers durch Σv_p gegeben.

Dieselbe Betrachtung gilt auch für Systeme von homogenen Körpern, falls diese alle gleiche Dichtigkeit haben.

Als Teile von homogenen Körpern, deren Schwerpunkte bereits bekannt sind, sind zunächst Körper mit drei (oder mehreren) sich in einem Punkte schneidenden Symmetrieebenen verwendbar, namentlich das Recht=kant, dann auch Körper, deren Schwerpunkte mit. Hülfe solcher symmetrischen Körper bereits bestimmt worden sind.

Entsprechendes gilt für die schiefe Symmetrie, z. B. für das Schieftant.

Läßt sich der homogene Körper nicht in n Teile zerlegen, deren Schwerpunkte bereits bekannt sind, so muß man zu einer elementaren Teilung übergehen und die Abstände der Elemente von den Koordinatenebenen einführen.

Vorstehende Betrachtung gestattet, auch von den Schwerpunkten geo= metrischer Körper (im Gegensatzt zu denen materieller Körper) zu sprechen, sie lätt sich weiter auf Flächen und Linien ausdehnen.

Regt man durch die Mitte der Höhe k eines homogenen geraden Prismas eine Ebene parallel zu der Grundsläche, so enthält diese als Symmetrieebene den Schwerpunkt des Prismas. Die der Grundsläche konzgruente Figur, die auf ihr ausgeschnitten wird, soll die Mittelfläche des Prismas heißen.

Macht man nun irgend eine ebene Figur zur Mittelfläche eines homogen geraden Prismas von der Höhe k (homogene Massenbelegung der Figur), so kann man den Schwerpunkt dieses Prismas als Schwerpunkt jener ebenen Figur bezeichnen.

Demgemäß ist z. B. der Schwerpunkt eines Rechtecks (als Mittel= fläche eines Rechtkants) der Schnittpunkt seiner Diagonalen und der Schwer= punkt einer Kreisfläche (als Mittelfläche eines geraden Cylinders) deren Centrum.

Zerlegt man die ebene Figur in n Teile $f_1, f_2, \ldots f_n$, so sind die zusgehörigen Prismen f_1h , f_2h , ... f_nh , und die Formeln Nr. 112 gehen über in

$$x = \frac{\sum f_p x_p}{\sum f_p}, \quad y = \frac{\sum f_p y_p}{\sum f_p}, \quad z = \frac{\sum f_p z_p}{\sum f_p}$$

$$p = 1, 2 \dots n$$

Dabei ist die Fläche selbst durch Σf_p bestimmt.

Die Zerlegung in $f_1, f_2, \ldots f_n$ muß natürlich wieder so vorgenommen werden, daß die Schwerpunkte der entstehenden Prismen bereits bekannt sind, andernfalls muß man wieder zu einer elementaren Teilung übergehen.

Um diese Betrachtung für Figuren auf krummen Flächen anwenden zu können, muß man auch diese mit einer homogenen Massenbelegung verssehen denken.

Wählt man für die Massenbelegung eine Höhe h, welche verhältnismäßig klein ist gegen die Abmessungen der belegten Fläche, so gelangt man zu der Vorstellung plattenförmiger Körper oder Platten, wie sie ebene und gekrümmte Bleche veranschaulichen. Ist es erforderlich, so kann man h auch unendlich=klein denken (unendlich=dünne Platte).

Statt der hier dargestellten (prismatischen) Massenbelegung kann man auch andere Arten Massenbelegung einführen, selbstverständlich auch heterogene.

Unter dem Schwerpunkte einer Strecke soll der Schwerpunkt eines homogenen geraden Cylinders verstanden werden, dessen Achse jene Strecke ist (homogene Massenbelegung der Strecke), er liegt demnach in der Mitte der Strecke.

Für eine Gruppe von Strecken l_1 , l_2 ... l_n , welche hier als Achsen homogener Cylinder von demselben Radius r und derselben Dichtigkeit δ

aufgefaßt werden, hat man in der Formel Mr. 112 $v_1=l_1r^2\pi$, $v_2=l_2r^2\pi$, ... $v_n=l_nr^2\pi$ zu setzen, so daß diese übergehen in

$$x = \frac{\Sigma l_p x_p}{\Sigma l_p}, \quad y = \frac{\Sigma l_p y_p}{\Sigma l_p}, \quad \varepsilon = \frac{\Sigma l_p \varepsilon_p}{\Sigma l_p}$$
 $p = 1, 2, \ldots n$

Dabei bezeichnet Σl_p die Gesamtlänge der Strecken.

Um diese Betrachtung auf Kurven auszudehnen, hat man diese als Grenzgestaltungen von Streckenzügen anzusehen. Wählt man für die Massensbelegung einen Radius r, welcher verhältnismäßig klein ist gegen die Länge der belegten Linie, so gelangt man zu der Borstellung stangenförmiger Körper oder Stangen, wie sie gerade und gekrümmte Drähte versanschaulichen.

Ist es erforderlich, so kann man r auch unendlich klein denken (unendlich= dünne Stange).

Statt der dargestellten (cylindrischen) Massenbelegung kann man auch andere Arten von Massenbelegung einführen, selbstverständlich auch heterogene.

Besonders bemerkt werden mag noch, daß ein homogenes Gebilde durch Parallelprojektion im allgemeinen in ein heterogenes Gebilde überzgeht, weil im allgemeinen gleichen Elementen des Gebildes nicht gleiche Elemente der Projektion entsprechen. (Wechselnde Neigungswinkel der Elemente!)

Bei homogen belegten ebenen Figuren und bei homogen be= legten Strecken bleibt auch die Projektion homogen.

Der Schwerpunkt der Projektion kann natürlich (vergl. S. 411) stets durch Projektion des Schwerpunktes jedes homogenen Gebildes gewonnen werden, aber dieses Verfahren ist meist nur dann von Wert, wenn auch die Projektion homogen bleibt.

Projiziert man z. B. eine homogen belegte Halbkreislinie so, daß eine Halbellipsenlinie entsteht, so ist diese nicht homogen belegt. Da der, durch Projektion des Schwerpunktes der Halbkreislinie bestimmte Schwerpunkt der heterogen belegten Halbellipsenlinie im allgemeinen kein Interesse bietet, während dieses bei der homogen belegten Halbellipsenlinie der Fall ist, so führt die Projektion in diesem Falle zu keinem allgemein anwendbaren Ersgebnisse.

Projiziert man dagegen die homogen belegte Halbkreisssäche und deren Schwerpunkt, so erhält man damit den Schwerpunkt der homogen belegten Halbellipsenfläche.

Vom Standpunkte der Geometrie aus kann man natürlich auch die Formeln Nr. 112 bis 114 selbständig aufstellen und durch sie für Körper, Flächen und Linien bestimmte zugehörige Punkte (x; y; z) bestimmen, denen man unter anderem auch den Namen "Schwerpunkt" geben kann.

Sollen diese Bestimmungen innerhalb der Mechanik benutzt werden, so hat man außerdem deren Verwendbarkeit hierfür nachzuweisen, was kaum anders möglich sein dürfte, als durch Einführung von Massenfüllungen und Massenbelegungen.

69. Die Verwendung des Schwerpunktes innerhalb der Geometric. Die Formeln für die Bestimmung des Schwerpunktes von geometrischen Gesbilden mit homogener Massenfüllung und mit homogener Massenbelegung sind rein geometrische Formeln. Deshalb läßt sich auch der Schwerpunkt bei rein geometrischen Untersuchungen gelegentlich mit Vorteil verwenden.

Wir beschränken uns hier darauf, mit Rücksicht auf die Verwendung in der Technik, folgendes hervorzuheben:

a) Die Schwerpunkte zweier ähnlicher Systeme (Körper, Flächen, Linien, Punktgruppen) sind entsprechende (homologe) Punkte, falls beide Systeme aus demselben homogenen Material hergestellt gedacht werden.

Der Beweis dieses Sazes, den schon Archimedes in gewissem Sinne benutzte, folgt für ähnlich gelegene ähnliche Systeme ohne weiteres aus den Formeln Nr. 66 bezw. aus deren Folgerungen.

b) Legt man fentrecht zu den Kanten eines schief abgeschnittenen Prismas eine Ebene (Normalschnitt), so hat sowohl dessen begrenzte Fläche f als auch die, diese begrenzende Linie (Umfang) u einen Schwerpunkt. Erzrichtet man in diesen beiden Schwerpunkten, welche bezw. als S_f und S_u bezeichnet werden mögen, Lote zum Normalschnitt, so schneiden die Grundsschen des Prismas auf diesen Loten Strecken ab, welche bezw. als s_f und s_u bezeichnet werden mögen.

Es gilt dann für das Volumen V des Prismas die Formel

und für den Mantel M des Prismas die Formel

$$M = u \cdot s_u \cdot \ldots \cdot 116$$

Rennt man die Streden s_f und s_u bezw. Schwerpunktsachse der Fläche und Schwerpunktsachse des Umfanges, so hat man die Sätze:

Das Volumen eines schief abgeschnittenen Prismas ist das Produkt aus der Fläche des Normalschnittes und ihrer Schwer= punktsachse.

Der Mantel eines schief abgeschnittenen Prismas ist das Produkt aus dem Umfange des Normalschnittes und seiner Schwerpunktsachse.

Der Schwerpunkt der Fläche des Normalschnittes ist selbstverständlich die (senkrechte) Projektion der Schwerpunkte der Grundflächen. Dagegen ist der Schwerpunkt des Umfanges des Normalschnittes im allgemeinen nicht die (senkrechte) Projektion der Schwerpunkte der Umfänge der Grundslächen.

Natürlich können die beiden Schwerpunktsachsen zusammenfallen, wie es z. B. für den Kreis als Normalschnitt der Fall ist.

Die Beweise dieser Sätze finden sich in den meisten Lehrbüchern der Stereometrie.

c) Legt man durch die Achse eines Rotationskörpers eine Ebene, so bestimmt die Oberfläche des Rotationskörpers in dieser eine Fläche von bestimmter Begrenzung, für welche die Achse Symmetrale ist. Die, durch die Achse bestimmte Hächte dieser Fläche wird Erzeugungssläche f, die Begrenzung (Umfang) dieser Hälfte Erzeugungslinie u genannt, weil der Körper bezw.

seine Oberfläche durch eine volle Umdrehung dieser Fläche bezw. dieser Linie erzeugt werden kann.

Bezeichnet man den Achsenabstand der Schwerpunkte von f und u bezw. mit s_f und s_u , so gilt für das Volumen V des Körpers die Formel

und für die Oberfläche O des Körpers die Formel

$$0 = u \cdot 2 s_u \pi \cdot \ldots \cdot 118$$

Man hat also die Sätze:

Das Volumen eines Rotationskörpers ist das Produkt aus seiner Erzeugungsfläche und dem Wege ihres Schwerpunktes.

Die Oberfläche eines Rotationskörpers ist das Produkt aus seiner Erzeugungslinie und dem Wege ihres Schwerpunktes.

Legt man durch die Achse eines Rotationskörpers zwei Ebenen, welche den Winkel α bilden, so begrenzen diese in dem Körper einen keilförmigen Ausschnitt (α) vom Volumen V_{α} und der Oberfläche O_{α} . Es gilt dann

$$V_{\alpha}:V=\alpha:360^{\circ},$$

b. h.

und ebenso

 V_{α} und O_{α} entsprechen der Umdrehung um α .

Obige Sätze sind zuerst von Pappus (Alexandriner um 350 n. Chr.) aufgesunden und später von Guldin (Jesuitenpater, De centro gravitatis, 1635) wieder entdeckt worden, man nennt sie deshalb die Pappus=Guldin=schen Sätze.

Im übrigen gilt die Bemerkung am Schlusse von b).

d) Die Pappus=Guldinschen Sätze der Nr. c) lassen noch einige Er= weiterungen zu.

Läßt man die Erzeugungsfläche bei einer gleichförmigen Erzeugung des Rotationskörpers an der Achse gleichförmig gleiten, so entsteht ein Schrauben=körper, dessen Inhalt für eine Umdrehung um « mit dem Inhalte des entsprechenden Rotationskörpers genau übereinstimmt.

Allgemein gilt: Wenn sich der Schwerpunkt einer ebenen Fläche auf einer Linie bewegt, und zwar so, daß die Fläche beim Durchlausen jedes Linienselementes senkrecht zu dessen Projektion auf eine bestimmte Sbene steht, so ist das Volumen des erzeugten Körpers gleich dem Produkte aus der Erzeugungssläche und der Projektion ihres Schwerpunktsweges.

Der Beweis folgt daraus, daß man durch die Projektion je zweier be= nachbarter Elemente der Linie je einen Kreis (Krümmungskreis) legen kann.

Ebenso gilt allgemein: Wenn sich der Schwerpunkt einer ebenen Fläche auf einer Linie bewegt und zwar so, daß die Fläche stets senkrecht zu dieser Linie steht, so ist das Volumen des erzeugten Körpers das Produkt aus der Erzeugungssläche und dem Wege ihres Schwerpunktes.

Der Beweis folgt daraus, daß man durch je zwei benachbarte Elemente der Linie je einen Kreis (Krümmungskreis) legen kann.

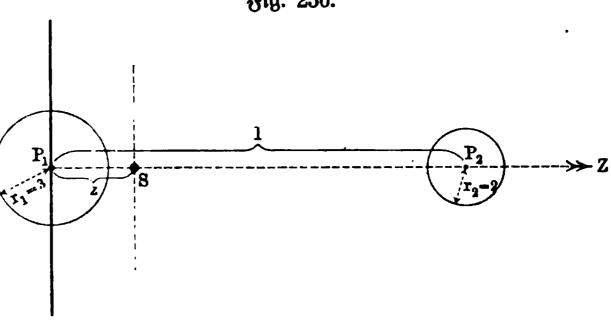
Graphostatische Bestimmung des Schwerpunktes geometrischer 70. Von den rein geometrischen Formeln für die Bestimmung des Gebilde. Schwerpunktes kann man auch schließlich wieder rückwärts zu den mechanischen Vorstellungen gelangen, von denen ausgegangen wurde. Es läßt sich dann eine Linie in ihrem Schwerpunkte belastet denken durch ein Gewicht, welches ihrer Länge proportional ist, ebenso eine Fläche u. s. m. Infolgebessen kann man auch die graphostatische Konstruktion mit Vorteil für die Bestimmung von Schwerpunkten verwenden. Handelt es sich z. B. um die Bestimmung des Schwerpunktes für den Umfang eines ebenen Fünsecks (Stangenpolygon), so hat man fünf Parallelkräfte den Seiten proportional in deren Mitten anzubringen und deren Resultante $[R_1]$ durch Krafteck und Seileck zu bestimmen. Dreht man die Parallelkräfte um einen beliebigen Winkel (z. B. 900) um die Mitten der Seiten, so erhält man für die neue Lage eine zweite Resultante $[R_2]$. Der gesuchte Schwerpunkt liegt im Schnitt= punkte von $[R_1]$ und $[R_2]$.

Handelt es sich um die Fläche des Fünsecks, so zerlegt man diese in drei Dreiecke und bringt in deren Schwerpunkten Parallelkräfte an, proportional den Dreiecksslächen u. s. w.

Da man Kurven und Flächen mit beliebiger Annäherung in Streckens züge und Dreiccknetze zerlegen kann, so ist obige Methode von weittragender Anwendbarkeit.

- 71. Schwerpunktsbestimmungen für Systeme einzelner materieller Punkte. Handelt es sich um einzelne materielle Punkte, so sind diese entsweder als Atome oder als dynamische Centren aufzufassen, so daß sie in letzterem Falle z. B. als Mittelpunkte homogener Kugeln angesehen werden können.
- a) Das System zweier Punkte. Der Schwerpunkt liegt auf der Versbindungsgeraden der Punkte P_1 und P_2 (vergl. Fig. 236). Wählt man diese als Z=Achse, so ist von Fig. 236.

als Z=Achse, so ist von den Formeln Nr. 64 nur die Gleichung für z er= forderlich. Läßt man den Nullpunkt der Z= Achse mit P₁ zusammen= fallen, so daß bei einem rechtwinkligen Kreuze die XY=Ebene in P₁ senk= recht auf der Ebene der Zeichnung steht, und zwar senkrecht zu P₁Z, so ist



 $z_1 = 0$ und $z_2 = 1$. Für die Massen m_1 und m_2 hat man also

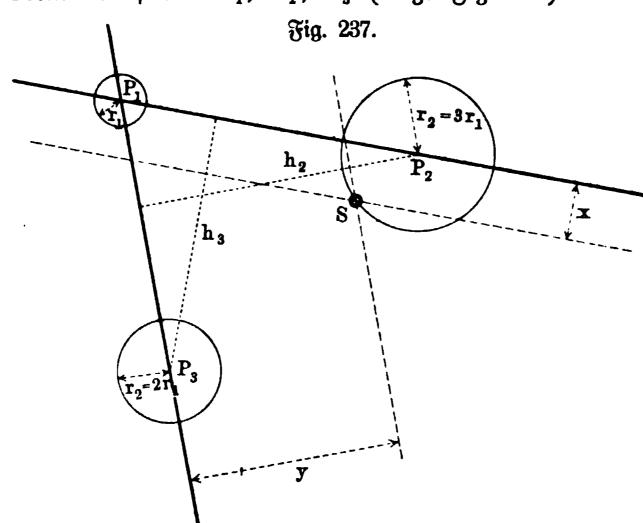
$$z = \frac{m_1 z_1 + m_2 z_2}{m_1 + m_2} = \frac{m_1 \cdot 0 + m_2 \cdot l}{m_1 + m_2} = \frac{m_2}{m_1 + m_2} \cdot l.$$

Für $m_1: m_2 = 27: 8$ ist z. B. $z = \frac{8}{35}l$, d. h. in diesem Falle liegt ber gesuchte Schwerpunkt S auf P_1P_2 und teilt dieses im umgekehrten Wernicke, Mechanik. I.

Massenverhältnis (vergl. S. 236) 8:27. Diesen Fall stellt Fig. 236 dar. Ist m_1 die Masse der Erde und m_2 die Masse des Mondes, so ist angenähert $m_1:m_2=80:1$, d. h. man hat $z=\frac{1}{81}l$. Da der Radius der Erde angenähert $\frac{1}{60}l$ ist, so liegt der Schwerpunkt S von Erde und Mond noch innerhalb des Erdkörpers.

Für $m_1 = m_2$ rückt S natürlich in die Mitte von $P_1 P_2$.

b) Das System dreier Punkte. Der Schwerpunkt liegt in der Ebene der Punkte P_1 , P_2 , P_3 (vergl. Fig. 237). Wir bestimmen zunächst



den Abstand des Schwerpunktes S von der Geraden $P_1 P_2$, die wir als Schnitt einer sent= recht auf der Ebene der Zeichnung stehenden Ebene mit dieser auf= fassen. Die (senk= rechten) Abstände für P_1 , P_2 , P_3 , denen bezw. die Massen m_1, m_2, m_3 zukommen mögen, find dann bezw. $0, 0, h_3, \text{ so dage}$ fich der (sent=

rechte) Abstand des Schwerpunktes S von P_1P_2 bestimmt als

$$x = \frac{0 \cdot m_1 + 0 \cdot m_2 + h_3 \cdot m_3}{m_1 + m_2 + m_3} = \frac{m_3}{m_1 + m_2 + m_3} \cdot h_3.$$

Ebenso ist der (senkrechte) Abstand des Schwerpunktes S von P_1P_3 gesgeben als

$$y = \frac{m_2}{m_1 + m_2 + m_3} \cdot h_2.$$

Die Parallelen zu P_1P_2 und P_1P_3 bezw. in den Abständen x und y bestimmen die Lagen von S, dessen (senkrechter) Abstand von P_2P_3 natürlich den Wert

$$\frac{m_1}{m_1+m_2+m_3}\cdot h_1$$

hat.

Für $m_1:m_2:m_3=1:27:8$ ist $x=\frac{9}{9}h_3$ und $y=\frac{3}{4}h_2$, während der Abstand von P_2P_3 den Wert $\frac{1}{36}h_1$ hat. Diesen Fall stellt Fig. 237 dar. Für $m_1=m_2=m_3$ ist S der Schnittpunkt der Mittellinien sür das Dreieck $P_1P_2P_3$, weil z. B. der Schwerpunkt C von P_1 und P_2 in die Mitte

von P_1P_2 rückt und S demnach auf CP_3 liegen muß. Teilungsverhältnis der Strecken 1:2.

c) Das System von vier Punkten, die nicht in einer Ebene liegen. Bezeichnet man in dem Tetraeder $P_1P_2P_3P_4$, welches die vier Punkte bestimmen, die vier Höhen bezw. mit h_1 , h_2 , h_3 , h_4 , so gilt für die (senkrechten) Abstände von der Ebene $P_2P_3P_4$

$$x_1 = h_1, x_2 = 0, x_3 = 0, x_4 = 0$$

und man hat also

$$x = \frac{h_1 \cdot m_1 + 0 \cdot m_2 + 0 \cdot m_3 + 0 \cdot m_4}{m_1 + m_2 + m_3 + m_4} = \frac{m_1}{m_1 + m_2 + m_3 + m_4} \cdot h_1.$$

Ebenso gilt für die (senkrechten) Abstände von der Ebene $P_1P_3P_4$

$$y_1 = 0$$
, $y_2 = h_2$, $y_3 = 0$, $y_4 = 0$

und man hat also

$$y = \frac{0 \cdot m_1 + h_2 \cdot m_2 + 0 \cdot m_3 + 0 \cdot m_4}{m_1 + m_2 + m_3 + m_4} = \frac{m_2}{m_1 + m_2 + m_3 + m_4} \cdot h_2.$$

Endlich gilt für die (senkrechten) Abstände von der Ebene $P_1P_2P_4$

$$z_1 = 0$$
, $z_2 = 0$, $z_3 = h_3$, $z_4 = 0$

und man hat also

$$z = \frac{0 \cdot m_1 + 0 \cdot m_2 + h_3 \cdot m_3 + 0 \cdot m_4}{m_1 + m_2 + m_3 + m_4} = \frac{m_3}{m_1 + m_2 + m_3 + m_4} \cdot h_3.$$

Die Parallelebenen zu den Ebenen $P_2P_3P_4$, $P_1P_3P_4$, $P_1P_2P_4$ bezw. in den Abständen $x,\ y,\ z$ bestimmen die Lage von S, dessen senkrechter Abstand

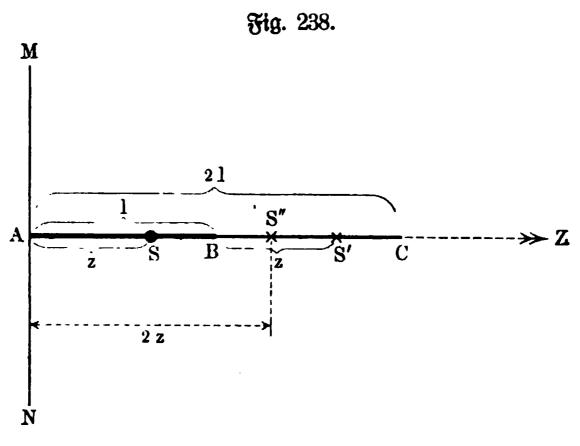
von
$$P_1P_2P_3$$
 natürlich den Wert $\frac{m_4}{m_1+m_2+m_3+m_4}\cdot h_4$ hat.

Für $m_1=m_2=m_3=m_4$ liegt S in dem Schnittpunkte der vier Strecken, von denen eine die Verbindungsstrecke von P_1 mit dem Schnittpunkte der Mittellinien des Dreiecks $P_2P_3P_4$ ist. Teilungsverhältnis der Strecken 1:3.

Die Beispiele a), b), c) zeigen deutlich, wie eine einmalige, eine zweismalige und eine dreimalige Anwendung des Momentensatzes nötig wird.

Anstatt im Falle b) und c) die senkrechten Abstände zu benutzen, wobei die eingeführten Ebenen voneinander un= abhängig bleiben, hätte man auch schieswink= lige Koordinatensysteme einführen können.

72. Schwerpunfts= bestimmungen für Li= nien. a) Die homogen belastete Strecke. Daß der Schwerpunkt in der



Witte liegt, folgt auch aus dem Momentensatz im Berein mit der Bemerkung über ähnliche Systeme. Legt man durch die Strecke AB von der Länge l, wie Fig. 238 (a. v. S.) zeigt, die Z-Achse und zwar so, daß die XY-Ebene im MN senkrecht auf der Ebene der Zeichnung steht, so hat der Schwerpunkt S von l irgend einen Abstand ε von MN. Berlängert man nun l um sich selbst, so hat der Schwerpunkt der Berlängerung BC von MN den Abstand $l+\varepsilon$. Da die Strecke 2l aber der Strecke l ähnlich ist, nach dem Modul 2:1, so hat der Schwerpunkt S'' dieser Strecke von MN den Abstand 2ε . Nach dem Momentensatz gilt nun:

b. h.
$$1 \cdot z + l(l + z) = 2l \cdot 2z,$$
$$2lz = l^2 \quad \text{ober} \quad z = \frac{1}{2}l.$$

b) Die heterogen belastete Strecke. Bei der homogen belasteten Strecke ist jedes Element derselben gleich belastet. Wir wollen jetzt annehmen, daß jedes Element der Strecke AB proportional (γ) seinem Abstande von dem einen Endpunkte A der Strecke belastet ist. Teilt man die Strecke l in n gleiche Teile λ , die man vom Endpunkte A ab zählt, so hat der Ansangspunkt der p=ten Strecke den Abstand $(p-1)\lambda$ und die Belastung $(p-1)\lambda\gamma$. Bestimmt man den Abstand p des Schwerpunktes der Ansangspunkte der p Strecken, so hat man

$$z_{1} = 0, \ z_{2} = \lambda, \quad z_{3} = 2\lambda, \quad \dots \quad z_{n} = (n-1)\lambda$$

$$m_{1} = 0, \ m_{2} = \lambda\gamma, \ m_{3} = 2\lambda\gamma, \quad \dots \quad m_{n} = (n-1)\lambda\gamma$$

$$z = \frac{0 + \lambda^{2}\gamma + 4\lambda^{2}\gamma + \dots + (n-1)^{2}\lambda^{2}\gamma}{0 + \lambda\gamma + 2\lambda\gamma + \dots + (n-1)\lambda\gamma}$$

$$= \frac{\lambda^{2}\gamma \left[1 + 4 + \dots + (n-1)^{2}\right]}{\gamma\lambda\left(1 + 2 + \dots + n - 1\right)}$$

$$= \lambda \cdot \frac{(n-1) \cdot n \cdot (2n-1)}{\frac{6}{2n}} = \frac{\lambda}{3}(2n-1) = \frac{2}{3}l\left(1 - \frac{1}{2n}\right).$$

Für die Endpunkte der n Streden erhält man ebenso

$$z' = \frac{2}{3}l\left(1 + \frac{1}{2n}\right).$$

Für $\lim n = \infty$ hat man $z = z' = \frac{2}{3}l$, d. h. der Schwerpunkt der heterogenen Strecke hat den Abstand $\frac{2}{3}l$ vom Ende A.

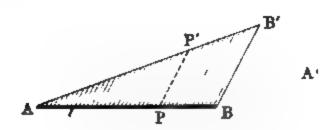
Will man sich diese Belastung veranschaulichen, so kann man irgend ein Dreieck über AB zeichnen, wie es Fig. 239 a zeigt. Für P ist dann P'P ein Bild seiner Belastung, denn man hat $P'P=\frac{B'B}{AB}\cdot AP=AP$. γ für $\frac{B'B}{AB}=\gamma$.

Bwedmäßiger ist es noch, zwei Dreiecke zu benutzen, wie es Fig. 239 b zeigt, so daß AB Wittellinie wird, und nun die Fläche AB'B'' als Wittelssläche eines homogenen Prismas anzusehen.

Fig. 289 a.

Fig. 289 b.

B'



Ist jedes Element der Strede AB proportional zum Quadrate seines Abstandes don dem einen Endpunkte A belastet, so exhält man ebenso für $\lim n = \infty$

$$z=z'=\frac{3}{4}l$$
.

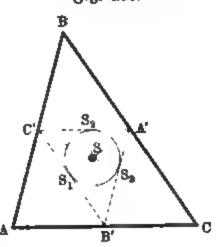
Hier veranschaulicht man sich die Belastung am besten durch eine Pyrasmide, deren Spize A ist, während man B zum Schwerpunkt ihrer Grundsstäche nimmt. Bergl. hierzu die Anwendung Nr. 2.

c) Stredenzüge aus unter sich homogenen Streden. Für homogene regelmäßige Bielede (Stangenvielede) liegt ber Schwerpunkt in dem Mittelpunkte der zugehörigen Kreise (Symmetrie), ebenso ist der Mittelpunkt der homogenen Kreislinie deren Schwerpunkt.

Für ein beliebiges homogenes Dreied (Stangenbreied) liegt der Schwerpunkt jeder Seite in der Mitte und ist dieser proportional belastet, so daß hier der Schwerpunkt eines Systemes von drei materiellen Punkten zu bestimmen ist. Man hat also für die Punkte A', B', C' der Fig. 240

bezw. die Masse $a\gamma$, $b\gamma$, $c\gamma$ anzusezen. Der Schwerpunkt S_1 von B' und C' liegt auf B'C' und teilt dieses im umgelehrten Massenverhältnisse, also im Berhältnisse c:b. Da $A'B'=\frac{1}{2}c$ und $A'C'=\frac{1}{2}b$, so ist $A'B':A'C'=B'S_1:C'S_1$, b. h. $A'S_1$ ist Wintelhalbierende sür A'B'. Der gessuchte Schwerpunkt S liegt also auf den drei Wintelhalbierenden sür A'B'C', welches auch Messdiandreied von ABC genannt wird, d. h. er ist sür dieses Dreied der Wittelpunkt des eingesschriebenen Kreises. Zu demselben Ergebnisse sühren





die Formeln des § 71b. Es ist hier $x = \frac{c}{a+b+c} \cdot h'_c$, falls man die Höhe aus C' auf A'B' durch h'_c bezeichnet, welche $\frac{1}{2}h_c$ ist, und demnach ist $x = \frac{\frac{1}{3}ch_c}{a+b+c} = \frac{\text{DreiedSplache}}{\text{Umfang}}$; derselbe Wert ergiebt sich für y, so daß S von A'B', B'C', C'A' denselben Abstand hat.

Bei der Behandlung ebener homogener Stangenvielede leistet die folgende Betrachtung oft gute Dienste.

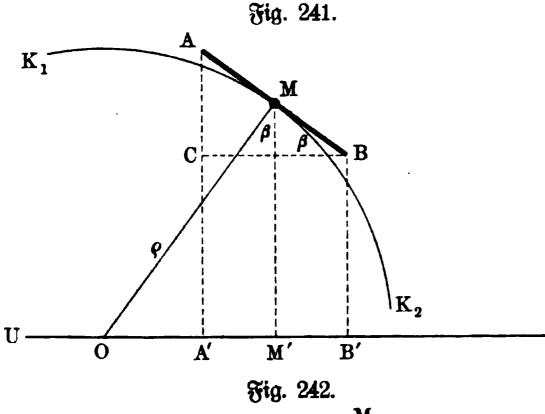
Bezeichnet UV eine Achse in der Ebene des Stangenvielecks, so ist das Moment einer Stange AB (vergl. Fig. 241) in Bezug auf die Ebene, senk= recht zur Ebene der Zeichnung in UV, zunächst bei einer Belastung γ der Längeneinheit

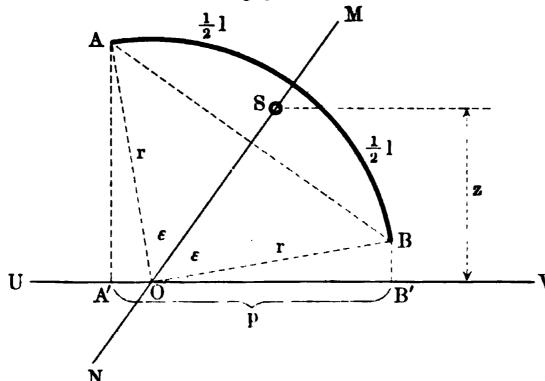
$$m = (AB \cdot \gamma) \cdot MM'$$
.

Errichtet man für AB das Mittellot MO und projiziert man ferner AB auf UV, so ist, falls noch BC//UV gezogen wird, $\triangle ABU \sim \triangle OMM'$ und man hat BC:AB=MM':OM oder BC.OM=AB.MM'. Demnach gilt auch

$$m = \gamma \cdot BC \cdot OM = \gamma \cdot A'B' \cdot OM.$$

Diese Betrachtung wird z. B. von Bedeutung, wenn für mehrere Strecken, nachdem einmal UV festgelegt ist, die Strecke OM denselben Wert erhält,





weil sich dann in der Summe ihrer Momente der Faktor γ . OM absspalten läßt, so daß die Summe ihrer Projektionen auf UV in die Klammer tritt.

Für einen homo= genen regelmäßigen Stredenzug, welcher ein Teil eines homogenen -V regelmäßigen Vielectes sein kann, aber nicht solcher ein sein zu braucht, legt man UV zugehörige durch das Kreiscentrum, so daß OM nun den Radius o des eingeschriebenen Kreises Es ist dann bedeutet. die Summe der Momente der einzelnen Strecken γ . ϱ . p, falls man unter p die Projektion Streckenzuges bezw. der schließenden Sehne auf UV versteht.

Schneidet UV den Streckenzug, so muß auf die Vorzeichen der Momente bezw. der Projektionen geachtet werden.

Da dem Streckenzuge von der Länge l die Belastung $l\gamma$ entspricht, so ist nach dem Momentensage der Abstand seines Schwerpunktes von UV bestimmt als

$$z = \frac{\gamma \cdot \varrho \cdot p}{\gamma \cdot l} = \frac{\varrho \cdot p}{l}.$$

Die Parallele zu UV im Abstande z bestimmt mit der Symmetralen des Streckenzuges dessen Schwerpunkt.

Diese Betrachtung gilt auch noch für den Kreisbogen vom Radius r als Grenzgestalt des regelmäßigen Streckenzuges. In Fig. 242 bestimmt die Symmetrale MN des Bogens und die Parallele im Abstande $x=\frac{r\cdot p}{l}$ zu UV den Schwerpunkt S.

Für die in Fig. 243 gezeichnete Lage, in der die Symmetrale und UV aufeinander senkrecht stehen, ist p zugleich die Sehne des Bogens, so daß

$$p=2r$$
 . $\sin \varepsilon$

ist. Man hat also, da $\frac{1}{2}l = r \cdot arc \varepsilon$ ist, hier

$$z = \frac{r \cdot \sin \varepsilon}{arc \, \varepsilon} = OS \cdot 120$$

Für den Halbkreis ist $\varepsilon = 90^{\circ}$ und $arc \varepsilon = \frac{\pi}{2}$, d. h. $z = \frac{2}{\pi} \cdot r$, also angenähert $\frac{2}{3}r$ oder genauer $\frac{7}{11}r$.

Für den vollen Kreis ist $\varepsilon = 180^{\circ} U$ und z = 0.

Für die in Fig. 244 gezeichnete Lage ist

$$x = OS \cdot \cos \varepsilon = r \cdot \frac{\sin 2 \varepsilon}{\operatorname{arc} 2 \varepsilon}$$

$$y = OS \cdot \sin \varepsilon = r \cdot \frac{\sin^2 \varepsilon}{\operatorname{arc} \varepsilon}$$

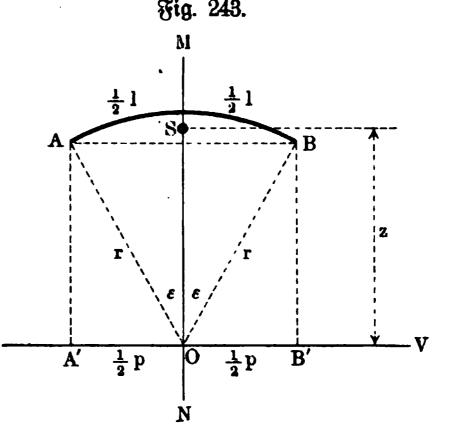
Diese Gleichungen lassen sich auch schreiben

$$r$$
 arc $2 \varepsilon : r \sin 2 \varepsilon = r : x$ and

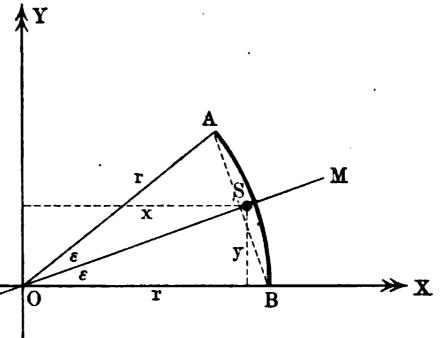
$$r \operatorname{arc} 2 \varepsilon : r(1 - \cos 2 \varepsilon)$$

= $r : y$.

So erscheinen sie als







Sonderfälle der Gleichung $z=rac{r\cdot p}{l}$, welche auch die Form annimmt

$$l:p=r:z,$$

b. h.

Bogen: Projektion des Bogens — Radius: Schwerpunktsabstand. 121)

Sieht man in Fig. 243~UV als Drehungsachse an, so beschreibt l eine Kugelzone von der Höhe p, deren Oberfläche also $2\,r\,\pi$. p ist. Nach dem

einen der Pappus=Guldinschen Sätze gilt dann, da hier l die Erzeugungs= linie und z deren Schwerpunktsabstand ist,

b. h.
$$z = \frac{r \cdot p}{l}.$$

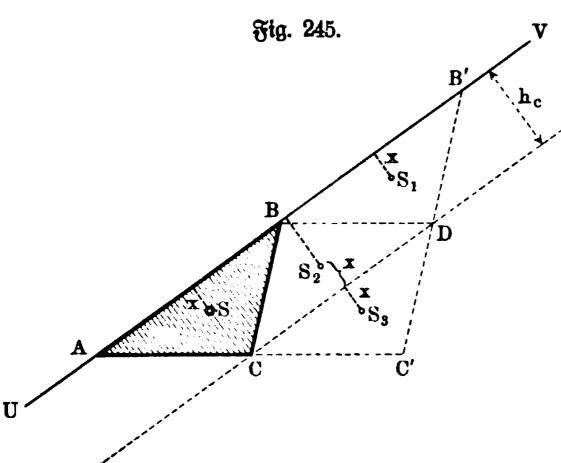
Der Schwerpunkt des Kreisbogens hat von seinem Scheitel auf der Symmetralen den Abstand $z'=r-r\cdot\frac{\sin\varepsilon}{arc\,\varepsilon}$. Für $arc\,\varepsilon=a$ ist $\sin\varepsilon=a-\frac{a^3}{6}\pm\cdots$, so daß $z'\sim r\cdot\frac{a^2}{6}$ ist. Da die Höhe k des Kreissbogens durch $r-r\cos\varepsilon$ gegeben ist, so erhält man die Beziehung $k\sim r\cdot\frac{a^2}{2}$ für $\cos\varepsilon=1-\frac{a^2}{2}+\frac{a^4}{24}\mp\cdots$ Demnach ist $z'\sim\frac{h}{3}$.

Die Schwerpunkte der Bogen bestimmter (ebener oder gewundener) Kurven sind im allgemeinen schwer zu bestimmen, doch kann man sie stets in beliebiger Genauigkeit durch Streckenzüge ersegen und deren Schwerpunkte seststellen.

73. Schwerpunktsbestimmungen für Flächen. Für die Rechtecks fläche (Symmetrie) und für die Fläche des Parallelogramms (schiefe Symmetrie) ist die Lage des Schwerpunktes ohne weiteres gegeben, ebenso für die Flächen der regelmäßigen Vielecke, für die Kreisfläche und für die Fläche der Ellipse, vorausgesetzt, daß es sich dabei stets um homos gene Belegungen handelt.

Da alle Flächen, gegebenen Falles bei elementarer Teilung, in Dreiecke zerlegt werden können, so spielt die Behandlung der Dreieckssläche eine her= vorragende Rolle.

a) Der Schwerpunkt der homogenen Dreiecksfläche. Daß der Schwerpunkt der Dreiecksfläche in dem Schnittpunkte ihrer Mittellinien liegt,



folgt schon aus § 72 b.

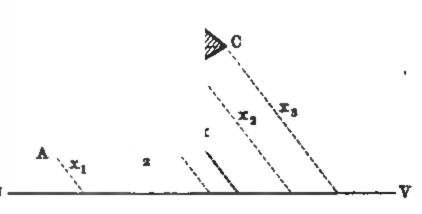
Man kann das Ergebnis
auch gewinnen, indem
man die Fläche parallel
zu einer Seite in Streifen
von gleicher Breite teilt
und die Schwerpunkte
der Streifen für eine
unendlich = kleine Breite
feststellt (Mittellinie).

Am besten leitet man das Ergebnis wieder durch den Momentensatz her in Verbindung mit der Bemerkung über ähn= liche Systeme. b. h.

Bergrößert man das Dreied ABC, wie Fig. 245 zeigt, im Linears verhältnis 1:2, so daß $\triangle AB'C'$ entsteht, so zerfällt dieses Dreied durch die Parallelen BD und CD bezw. zu AC und AB in vier kongruente Dreisede. Hat der Schwers Fig. 246.

В

ede. Hat der Schwers punkt von \triangle ABC von UV den Abstand x, so gilt das auch für \triangle BB'D, während die betreffenden Abstände für \triangle CBD und \triangle CDC' bezw. h. — x und $h_c + x$ sind. Da der Schwerpunkt des Oreiecks AB'C' von UV den Abstand 2x hat, so gilt, salls die Fläche eines Teildreiecks mit f besachen



zeichnet wirb, nach dem Momentensage

$$f \cdot x + f \cdot x + f(h_c - x) + f(h_c + x) = 4f \cdot 2x$$

 $2fx + 2fh_c = 8fx \text{ ober } 6fx = 2fh_c \text{ ober } x = \frac{1}{3}h_c.$

Demnach ist S von AB, BC, CA bezw. um $\frac{1}{3}h_c$, $\frac{1}{3}h_a$, $\frac{1}{3}h_b$ entfernt, b. h. er ist der Schnittpunkt der drei Mittellinien.

Zieht man von ben Eden eines Dreiecks und von bessen Schwerpunkte Parallelen (Koordinaten) nach einer Geraden, so ist (vergl. Fig. 246)

Man hat für die Mittellinie aus B, welche durch S im Berhältshältniffe 2:1 geteilt wird, die Endkoordinaten x_2 und $\frac{x_1+x_8}{2}$. Bergl. dazu ferner \mathfrak{S} . 237.

Sind die (rechtwinkligen) Koordinaten der Eden eines Dreiecks $(x_1; y_1)$, $(x_2; y_2)$, $(x_3; y_3)$, so ist dessen Fläche F gegeben durch

Mit vorstehenden Formeln läßt sich jede ebene Fläche, welche in Dreiecke von bekannter Lage zerlegt ist, behandeln.

b) Der Schwerpunkt des homogenen Trapezes. Teilt man das Trapez in zwei Dreiecke (vergl. Fig. 247 a. f. S.), welche die Schwerpunkte S_1 und S_4 haben, so ist S_1 mit der Fläche $\frac{ah}{2}$ und S_3 mit der Fläche $\frac{bh}{2}$ belastet, so daß für S in Bezug auf UV gilt

$$\frac{ah}{2} \cdot x_1 + \frac{bh}{2} \cdot x_2 = \left(\frac{ah}{2} + \frac{bh}{2}\right) \cdot x.$$

Da $x_1 = \frac{1}{3}h$ und $x_2 = \frac{2}{3}h$ ist, so ist

$$x=\frac{h}{3}\cdot\frac{a+2b}{a+b}.$$

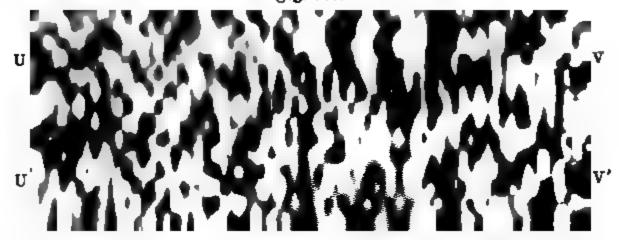
Ebenfo ergiebt fich für U'V'

$$x' = \frac{h}{3} \cdot \frac{2a+b}{a+b}.$$

Es ift also

$$x: x' = (\frac{1}{2}a + b): (a + \frac{1}{2}b) \dots 124$$

Sig. 247.



Ergänzt man das Trapez zu einem Dreiede, so liegen (vergl. Fig. 248) die Schwerpunkte von \triangle EB_1B_2 und von \triangle EA_1A_3 bezw. auf den Wittels linien ED und EC, so daß ED auch für das Trapez Schwerlinie ist.



Arägt man a an $\frac{b}{2}$ und b an $\frac{a}{2}$, wie es Fig. 248 zeigt, so ist $CA'=\frac{a}{2}+b$ und $DB'=\frac{b}{2}+a$ und demnach gist für den Schnittspunkt S von ED und B'A'

$$CS: SD = \left(\frac{a}{2} + b\right) : \left(a + \frac{b}{2}\right)$$

d. h. S ift ber Schwerpuntt bes Trapezes.

Diese Konstruktion von S beansprucht viel Play. Gebrängter ist die Landsche Konstruktion, welche Fig. 249 barstellt. Wan hat $A_1E//A_2B_2$, $B_1F=\frac{1}{3}$ $B_1E=\frac{b-a}{3}$, $FG//B_1A_2$. Der Schnitt von FG und CD ist S.



->>- X

В,

Bei der Zerlegung geradliniger Figuren kann man in Bezug auf ein Koordinatenkreuz Trapeze bilden, wie das in Fig. 250 dargestellte. Für $P_1=(x_1;\ y_1)$ und $P_2:=(x_2;\ y_2)$ sind dann

32

$$x = \frac{1}{3} \frac{y_1(2x_1 + x_2) + y_2(x_1 + 2x_2)}{y_1 + y_2}$$

und

E

$$y = \frac{1}{3} \frac{y_1^2 + y_1 y_2 + y_2^2}{y_1 + y_2}$$

die Koordinaten des Schwerpunttes S.

Der Beweis der Landschen Konstruktion und der Formeln für x und y folgt aus der oben gegebenen Hauptkonstruktion.

c) Der Schwerpunkt bes homos genen Bierecks. Teilt man das Biereck nach der einen Diagonale, so ist die Bers bindungslinie der Schwerpunkte dieser Dreiecke Schwerlinie des Bierecks. Ents sprechendes gilt für die andere Diagonale. Der Schnittpunkt beider Schwerlinien ist der gesuchte Schwerpunkt des Bierecks.

Wir sügen noch die Landsche Konstruktion hinzu, die sich natürlich auch auf Trapeze anwenden läßt (vergl. Fig. 251). Man hat: A_1E/B_1A_2 und A_2E/B_2A_1 ; B_1 $B_1F=FG=GB_2$; FS_1/B_1E und GS/B_2E .

Fig. 251. E

G

d) Der Schwerpunkt homogener Bielede und beliebig bes grenzter ebener Figuren. Man zerlegt diese in Dreiede bezw. in Dreiede und Trapeze und behandelt das System der Teilslächen entweder durch den Momentensatz mit Beziehung auf Koordinaten oder graphostatisch. Angenähert lätzt sich dieses Bersahren auch auf ebene Figuren von beliebiger Begrenzung anwenden.

o) Der Schwerpuntt des homogenen Areisausschnittes. Berbindet man zwei Puntte A und B (vergl, Fig. 252) bes begrenzenden Bogens

Fig. 252.

 \mathbf{x}

A C

- B

Fig. 253.

durch die Sehne AB, fo liegt der Schwerpunkt von △ OAB in S', falls OS' = \frac{9}{8} OC ift. Je kleiner AB genommen wird, um so mehr nahert sich OC bem Radius r bes Kreifes, b. h. für einen Ausschnitt AOB mit unendlich-fleinem Bogen AB ift S' Schwerpunkt, falls $OS' = \frac{2}{3}r$ ift. An der Grenze barf der Ausichnitt AOA' angesehen werden als ein System von Ausschnitten mit unendliche kleinen Bögen. Die Schwer= puntte dieser Ausschnitte liegen auf dem, in Fig. 252 rechts angedeuteten Bogen DE mit dem Radius ?r. welcher durch das Syftem der unendlich = tleinen Ausschnitte homogen belastet wird. Demnach ftimmt ber Schwerpunkt des Ausichnitts AOA' überein mit dem Schwerpuntte diefes Bogens, für den

 $y = \frac{2}{3}r \frac{\sin \varepsilon}{\arcsin \varepsilon} \qquad 125)$

ift, falls OY die Symmes trale des Ausschnittes bezw. Bogens darftellt.

Dasselbe Ergebnis solgt auch aus einem der Bappus=Guldinschen Sätze. Bei der Drehung des Ausschnittes um OX als Achse beschreibt (vergl. Fig. 253) die Fläche BAA'B' eine Rugelschicht vom Bolumen $a^2p\pi + \frac{1}{a}p^3\pi$.

Die Flächen AOB und A'OB' beschreiben sür sich je einen Kegel vom Bolumen $\frac{1}{6}a^2p\pi$, so daß der Körper, welchen der Ausschnitt beschreibt, das Bolumen hat

$$V = a^2 p \pi + \frac{1}{6} p^5 \pi - \frac{1}{8} a^2 p \pi = \frac{9}{3} a^2 p \pi + \frac{1}{6} p^3 \pi.$$

Für $a=r\cos\varepsilon$ und $p=2r\sin\varepsilon$ erhält man

$$V = \frac{4}{8} r^3 \pi \sin \varepsilon$$
.

Da die Fläche des Ausschnittes r^2 arc ε ist, so liefert jener Satz die Gleichung

$$(r^2 \operatorname{arc} \varepsilon) (2 y\pi) = \frac{4}{3} r^3 \pi \sin \varepsilon$$

d. h.

$$y = \frac{2}{8} r \frac{\sin \varepsilon}{arc \varepsilon}.$$

Für $\varepsilon = 90^{\circ}$ wird der Ausschnitt ein Halbkreis, so daß für diesen gilt

$$y=\frac{4}{3\pi}r,$$

d. h. angenähert $\frac{4}{9}r$ und genauer $\frac{14}{88}r$.

Für $\varepsilon=180^\circ$ wird der Ausschnitt ein voller Kreis und man erhält y=0.

f) Der Schwerpunkt des homogenen Ringstückes. Wird aus einem Ausschnitt vom Radius r_1 ein konzentrischer Ausschnitt vom Radius r_2 herausgenommen, so bleibt ein Ringstück übrig.

Bezeichnet man, Fig. 253 entsprechend, die Schwerpunktsabstände der beiden Ausschnitte bezw. mit y_1 und y_2 und den des Ringstückes mit y, die zugehörigen Flächen bezw. mit F_1 , F_2 und F, so ist nach dem Momentensatze

$$F_1y_1=F_2y_2+Fy,$$

b. h.

$$\frac{F_1y_1-F_2y_2}{F}=y.$$

Für $F_1 = r_1^2 \operatorname{arc} \varepsilon$, $F_2 = r_2^2 \operatorname{arc} \varepsilon$, $F = F_1 - F_2$, $y_1 = \frac{2}{3} r_1 \frac{\sin \varepsilon}{\operatorname{arc} \varepsilon}$,

 $y_2 = \frac{2}{3} r_2 \frac{\sin \varepsilon}{arc \varepsilon}$ erhält man

$$y = \frac{2}{3} \frac{r_1^3 - r_2^3}{r_1^2 - r_2^2} \cdot \frac{\sin \varepsilon}{\arcsin \varepsilon} = \frac{2}{3} \frac{r_1^2 + r_1 r_2 + r_2^2}{r_1 + r_2} \cdot \frac{\sin \varepsilon}{\arcsin \varepsilon}.$$

g) Der Schwerpunkt des homogenen Kreisabschnittes. Zerslegt man den Ausschnitt in Fig. 253 in den Abschnitt über AA' und in das Dreieck OAA', so läßt sich der Momentensat anwenden. Die Flächen von Ausschnitt und Dreieck seien bezw. F_1 und F_2 , die Fläche des Abschnittes $F = F_1 - F_2$, die entsprechenden Schwerpunktsabskände bezw. y_1 , y_2 und y. Man hat dann wieder

$$\frac{F_1y_1-F_2y_2}{F}=y.$$

Für $F_1=r^2$ arc ε , $F_2=\frac{1}{2}r^2\sin 2\varepsilon$ und $F=F_1-F_2$, $y_1=\frac{2}{3}r\frac{\sin \varepsilon}{arc\,\varepsilon}$, $y_2=\frac{2}{3}r\cos \varepsilon$ erhält man

$$y = \frac{r^3}{3} \frac{(2 \sin \varepsilon - \sin 2 \varepsilon \cdot \cos \varepsilon)}{F} = \frac{2}{3} \frac{r^3 \sin^3 \varepsilon}{F} = \frac{(2 r \sin \varepsilon)^3}{12 F}.$$

Da die Sehne AA' in Fig. 258 ben Wert 2 reine hat, so ist

Dabei iff $F = \frac{r^2}{2} (arc 2 \varepsilon - sin 2 \varepsilon)$.

Die Formel gilt auch für stumpfe (s > 90°) Abschnitte.

Geht man von dem Rotationskörper der Nr. e) aus, so ist das Bolumen des Enlinders $a^{n}p\pi$ abzuziehen, welches der Fläche BAA'B' entspricht, so daß das Bolumen des von dem Kreisabschnitte erzeugten Körpers den Wert hat:

$$V := (a^2 p \pi + \frac{1}{6} p^7 \pi) - a^2 p \pi = \frac{1}{6} p^3 \pi.$$

Man hat also

$$F \cdot (2y\pi) = \frac{1}{6}p^{2}\pi,$$

d. h.

$$y = \frac{p^3}{12F}.$$

Für s = 90° gelangt man wieder jum Halbfreiß, für s = 180° jum vollen Kreis.

h) Beitere Bermenbung ber Rr. o, f, g. 3ft ber Schwerpunttsabstand x einer ebenen Figur in Bezug auf eine Achse UV bestimmt worben,

Fig. 254.

so tann man aus der Figur ungahligeviele neue ableiten. für welche sich x in Bezug auf *UV* nicht ändert. Schneidet man zunächst die Figur, parallel su UV, durch ein System von Geraden und verlängert man ober verfürgt man ferner jebe Strede biefes Snftems, wie es Sig. 254 zeigt, in bem-

felben Berhaltnis e, fo entsteht eine neue Figur, für welche ber Schwerpunktsabstand x in Bezug auf UV wieber ben alten Wert hat. Berlegt man nämlich beibe Figuren in elementare Flächenstreifen, parallel zu UV, so find

Nig. 255 a. Fig. 255 b.

٧

in ber Formel bes Momentenfages im Bahler und im Renner fur bie zweite Figur die Größen $f_1\varepsilon$, $f_2\varepsilon$, . . . einzusenen, wenn für die erste Figur die Größen f1, f2 . . . gur Bermendung fommen.

Da außerdem auch eine Berschiebung der elementaren Flächensstreifen, parallel zu UV, den Wert von x nicht ändert, so ist die Mannigssaltigkeit dieser Flächenbildungen ziemlich groß.

Die (fentrechte) Parallelprojektion einer ebenen Figur tann als eine besondere Art dieser Flächenbildung aufgefaßt werden.

Handelt es sich nun z. B. darum, den Schwerpunkt einer gewöhnlichen Halbellipse zu bestimmen, so geht man durch Berlängerung bezw. Berkürzung, wie es Fig. 255 a und b zeigt, zu der entsprechenden Halbkreißstäche über, sür welche $x=\frac{4}{3\pi}b$ bezw. $x=\frac{4}{3\pi}a$ ist.

Ist die Halbellipse durch einen beliebigen Durchmesser entstanden, so geht man durch Berschiebung der elementaren Flächenstreisen und durch deren Berlängerung oder Bertürzung zu einer Halbtreisstäche über, welche den Radius r erhält; dann ist auch hier $x=\frac{4}{3\pi}r$. Entsprechendes gilt für Abschnitte von Ellipsen. Übertragung auf Ausschnitte.

i) Der Schwerpunkt der Parabelfläche. Die Parabel sei gegeben durch die Gleichung $y^a=2\,px$. Um den Schwerpunkt der Fläche, welche (vergl. Fig. 256) durch die Kurve und die Koordinaten a und b begrenzt

X

wird, zu bestimmen, teilen wir b in n gleiche Teile. Der Punkt Q bes q ten Streisens, parallel zur X-Achse, von der die Zählung beginnen mag, hat gemäß der Gleichung $y^a = 2\,px$ oder $x = \frac{y^a}{2\,p}$ die Abscisse $x_q = \frac{q^ab^a}{2\,p} \cdot \frac{1}{n^a}$, so daß QQ' die Länge $a = \frac{q^ab^a}{2\,p} \cdot \frac{1}{n^a}$ erhält. Der entsprechende Flächensstreisen von der Häch die Größe

$$\frac{b}{n}\left(a-\frac{q^2b^2}{2p}\cdot\frac{1}{n^2}\right)$$

und in Bezug auf die X=Achse bei dem Abstande $q \cdot \frac{b}{n}$ das Moment

$$\frac{b}{n}\left(a-\frac{q^{2}b^{2}}{2p}\cdot\frac{1}{n^{2}}\right)q\cdot\frac{b}{n}=\frac{b^{2}a}{n^{2}}\cdot q-\frac{b^{4}}{n^{4}}\cdot\frac{1}{2p}\cdot q^{3}.$$

Für die n Streisen, welche $q=1,\,2,\,\ldots\,n$ entsprechen, ergiebt sich demnach als Moment

$$\frac{b^{2}a}{n^{2}} \sum q - \frac{b^{4}}{n^{4}} \cdot \frac{1}{2p} \sum q^{3}$$

$$= \frac{b^{2}a}{n^{2}} \frac{n(n+1)}{2} - \frac{b^{4}}{n^{4}} \cdot \frac{1}{2p} \frac{n^{2}(n+1)^{2}}{4}$$

$$= \frac{b^{2}a}{2} \left(1 + \frac{1}{n}\right) - \frac{b^{4}}{8p} \left(1 + \frac{1}{n}\right)^{2}.$$

Für $\lim n = \infty$ geht dieses Moment über in $\frac{b^2a}{2} - \frac{b^4}{8p}$, oder, da $b^2 = 2pa$ ist, in $\frac{b^2a}{2} - \frac{b^2a}{4} = \frac{b^2a}{4}$.

Legt man nicht die obere Grenze QQ' der Streisen, sondern die untere der Rechnung zu Grunde, so ist das Ergebnis dasselbe.

Man hat nun, da die Fläche der Parabel $\frac{2}{3}ab$ ist, für den Abstand y des Schwerpunktes

Eine entsprechende Rechnung ergiebt $x = \frac{3}{5}a$.

k) Der Schwerpunkt der Polyederfläche. Bestimmt man für jede Seitenfläche den Schwerpunkt und denkt diesen proportional zu der Fläche belastet, so hat man den Schwerpunkt eines Systems von einzelnen Punkten zu suchen.

Für das Tetraeder bilden z. B. die Schwerpunkte S_1' , S_2' , S_3' , S_4' der vier Seiten ein neues Tetraeder, dessen vier Echpunkte belastet sind. Der Schwerpunkt S hat von den Seitenslächen des Tetraeders $S_1'S_2'S_3'S_4'$ gleichen Abstand ϱ , d. h. er ist der Mittelpunkt der diesem eingeschriebenen Kugel. Bezeichnet man für das gegebene Tetraeder Volumen und Obersläche bezw. durch V und O, so ist $\varrho = \frac{V}{O}$. Bergl. S. 421.

l) Schwerpunkt gekrümmter homogener Flächen. Für die Rugeloberfläche und für den Mantel des geraden Cylinders giebt die Betrachtung der Symmetrie ohne weiteres die Lage des Schwerpunktes.

Für die Kugelzone liegt der Schwerpunkt in der Mitte der Achse h. Teilt man nämlich die Zone durch Parallelschnitte zu den Grundkreisen in Zonen von der Höhe $\frac{h}{n}$, so ist bei einem Kugelradius R die Fläche jeder Teilzone $2R\pi\cdot\frac{h}{n}$; für $\lim n=\infty$ wird also die Achse homogen belastet.

Ilm ben Schwerpunkt für ben Mantel eines geraden Regels zu sinden, verbindet man die Spize C mit zwei Punkten A und B des Grundskreises und bestimmt für das ebene Dreieck CAB den Schwerpunkt S'. Ze kleiner AB wird, um so genauer fällt dieser Schwerpunkt S' auf die Regelsseite, welche die Mitte von AB mit C verbindet und teilt diese von der Spize nach der Basis im Verhältnisse 2:1. Bei elementarer Teilung des Kegelmantels stellt dieser also eine homogene Belastung der Kreislinie dar, welche die Durchdringung des Mantels mit einer Parallelebene zur Grundsstäde, im Abstande $\frac{h}{3}$ von dieser, ist. Demnach liegt S auf der Achse und teilt diese von der Spize nach der Grundsstäde zu im Berhältnisse 2:1.

Projeziert man ein Flächenelement f einer Halbkugel senkrecht auf die Ebene, welche die Halbkugel begrenzt, so ist $f\cos\varepsilon-f'$ die Größe der Projektion, falls f gegen die Ebene den Reigungswinkel ε hat. Da das projektion, falls f gegen die Ebene den Reigungswinkel ε hat. Da das projektionende Lot bei einem Rugelradius R die Länge $l-R\cos\varepsilon$ hat, so ist $f\cdot l=f'R$. (Bergl. dazu die, dem Kreisbogen entsprechende Fig. 241.) Bildet man also für eine Fläche F, die auf der Halbkugel liegt, das Moment für jene Ebene, so erhält es den Wert F'R, salls man die Summe der Projektionen der einzelnen Flächenelemente durch F' bezeichnet.

Der Abstand bes Schwerpunktes ber Fläche F von jener Ebene ist also $\frac{F'}{F}\cdot R.$

Die Schwerpunkte bestimmter Figuren auf gekrümmten Flächen sind im allgemeinen schwer zu bestimmen, doch kann man fie stets in beliebiger Genauigkeit durch Polyederstächen ersetzen und deren Schwerpunkt feststellen.

74. Schwerpunktsbestimmungen für Körper. Für die Rugel und die regelmäßigen Körper, sur den Kreischlinder, sur das Rechtkant und für das Schieftant (schieses Parallelepipedon) ist die Lage des Schwerpunktes ohne weiteres durch Betrachtung der Symmetrie gegeben, ebenso für alle prissmatischen Körper, salls der Schwerpunkt des Querschnittes bekannt ist.

Da alle Körper in Tetras eder zerlegt werden können, gegebenen Falles unter Anwens dung elementarer Teilung, so ist die Behandlung des Tetras eders hier von hervorragender Wichtigkeit.

a) Der Schwerpunkt des homogenen Tetraeders. Bestimmt man die Schwerpunkte der Schnitte eines Tetraeders, parallel zu einer seiner Seitens slächen, so liegen diese (ähnliche Spsteme) auf einer Geraden durch

C*

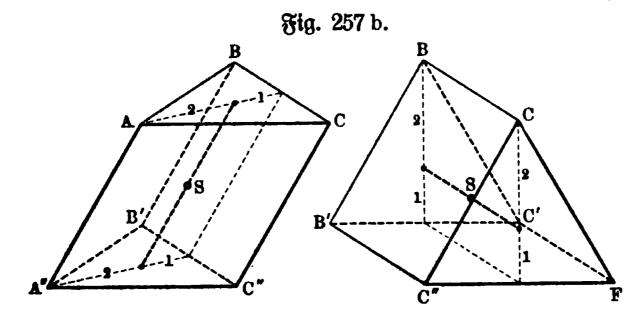
bie Ede, welche jener Seitenflache gegenüberliegt. Diese Gerade erweift sich Bernide, Rechantt. I.

bei entsprechender elementarer Teilung des Tetraeders als eine Schwerlinie desselben. Verbindet man demnach jede Ede des Tetraeders mit dem Schwerspunkte der gegenüberliegenden Seitenfläche, so schneiden sich diese vier Schwerslinien im Schwerpunkte. Eine stereometrische Betrachtung zeigt, daß jede dieser Strecken im Verhältnisse 1:3 geteilt wird und zwar so, daß der größere Abschnitt an der Ede liegt. Es solgt das auch schon aus § 72, Nr. d.

Wegen der Wichtigkeit dieser Bestimmung geben wir noch die folgende Ableitung.

Berlegt man das Tetraeder durch die, in Fig. 257 a. (a. v. S.) gezeichneten Schnitte durch die Mitten seiner Kanten, so zerfällt es in zwei, unter sich kongruente Tetraeder MABC und BDB'C' und in die Prismen ABCA''B'C'' und CFC''BC'B'.

Bezeichnet man das Volumen eines Teiltetraeders mit V, so hat jedes der Prismen das Bolumen 3 V und demnach das ursprüngliche Tetraeder das



Volumen 8V. Hat der Schwerpunkt des Testraeders BDB'C' von der Grundfläche den Abstand x, so hat der Schwerpunkt des Testraeders MABC von dieser den Abstand $x + \frac{h}{2}$, während der Schwerpunkt des gans

zen Tetraeders (Ühnlichkeit) von ihr den Abstand 2x hat. Der Schwerspunkt des Prismas ABCA''B'C'' hat den Abstand $\frac{h}{4}$ von der Grundsläche und der des Prismas CFC''BC'B' den Abstand $\frac{1}{3}\left(\frac{h}{2}\right)=\frac{h}{6}$, wie Fig. 257 b zeigt. Wendet man den Momentensatz für die Grundsläche an, so ist also

b. h.

$$V \cdot x + V\left(x + \frac{h}{2}\right) + 3V \cdot \frac{h}{4} + 3V \cdot \frac{h}{6} = 8V \cdot 2x$$
,

 $14Vx = \frac{7}{4}Vh$
 $(2x) = \frac{h}{4}$

Demnach steht der Schwerpunkt S des Tetraeders von jeder Seiten= fläche um ein Viertel der zugehörigen Höhe ab, man kommt also auf den oben bestimmten Punkt zurück.

Haben die Ecken eines Tetraeders von einer Ebene die Abstände x_1 , x_2 , x_3 , x_4 , so zeigt eine entsprechende Betrachtung wie beim Dreieck, daß der Schwerpunkt von jener Ebene den Abstand

Sind die Eden des Tetraeders durch die Koordinaten $(x_1; y_1; s_1), \ldots$ $(x_4; y_4; z_4)$ gegeben, so gilt für das Volumen

Mit vorstehenden Formeln läßt sich jeder Körper, der in Tetraeder von bekannter Lage zerlegt worden ist, behandeln.

b) Der Schwerpunkt der homogenen Pyramide. Zerlegt man die Pyramide durch Ebenen aus der Spize in Tetraeder, so liegt für jedes der Schwerpunkt im Abstande $\frac{h}{4}$ von der Grundsläche, so daß eine Parallels ebene zu dieser im Abstande $\frac{h}{4}$ für die Pyramide eine Schwerebene ist. Da anderseits die Berbindungsgerade der Spize mit dem Schwerpunkte der Grundsläche eine Schwergerade ist, so ist der Schwerpunkt bestimmt.

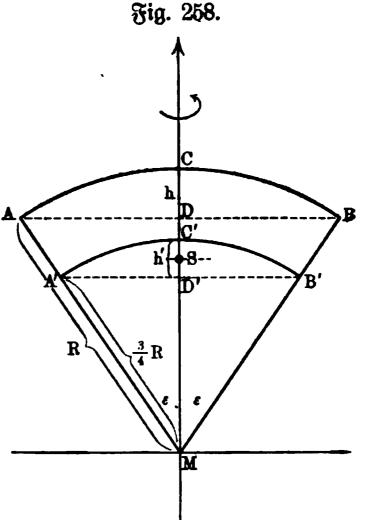
Eine Grenzbetrachtung ergiebt für ben Regel dasselbe Ergebnis.

c) Der Schwerpunkt des homogenen Kugelausschnittes. Bers bindet man drei Punkte A, B, C der Kugeloberfläche vom Radius R mit

deren Wittelpunkte M, so nähert sich der Abstand des Schwerpunktes der Pyramide MABC vom Punkte M dem Werte $\frac{3}{4}R$ um so mehr, je kleiner das Dreieck ABC wird. Bei einer gleichmäßigen elementaren Dreieckszerlegung der Kugelkappe, welche den Kugelzausschnitt mitbegrenzt, wird also durch die Schwerpunkte der entsprechenden elementaren Pyramiden eine ähnlich gelegene Kugelkappe homogen belastet. Fig. 258 stellt einen Schnitt durch die Achse des Kugelausschnittes dar, welcher die homogen belastete Zone in A'C'B' durchdringt. Der gesuchte Schwerzpunkt liegt demnach in der Mitte von C'D', hat also von M den Abstand

$$x = \frac{3}{4}R - \frac{1}{2}C'D'.$$

Da ACBD und A'C'B'D' einander ähnlich sind nach dem Modul 4:3, so ist $C'D'=\frac{3}{4}CD=\frac{3}{4}h$, d. h. man hat



$$x = \frac{3}{4}R - \frac{3h}{8} = \frac{3}{8}(2R - h)$$
 130)

Für die Halbkugel ist h = R, so daß hier $x = \frac{3}{8}R$ ist. Für die volle Kugel ist h = 2R, so daß hier x = 0 wird.

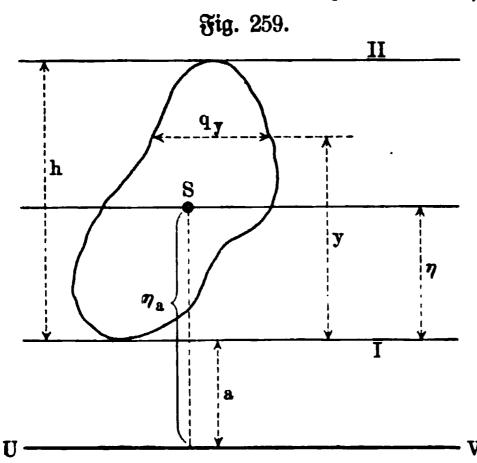
d) Der Schwerpunkt des homogenen Kugelabschnittes. Zerlegtman einen Kugelausschnitt in den zugehörigen Abschnitt und in den zu= gehörigen Kegel, so läßt sich der Momentensatz anwenden. Bezeichnet man die Abstände der Schwerpunkte des Ausschnitts, des Kegels und des Abschnittes vom Nittelpunkte der Kugel bezw. mit x_1 , x_2 , x, die entsprechenden Volumen bezw. mit V_1 , V_2 , V, so ist

$$x = \frac{3}{4} \frac{(2 R - h)^2}{3 R - h} \cdot \cdot \cdot \cdot \cdot \cdot \cdot \cdot 131)$$

Für die Halbkugel ist h = R, so daß hier $x = \frac{3}{8}R$ wird. Für die volle Kugel ist h = 2R, so daß hier x = 0 ist.

e) Die Bemerkungen unter h) in § 73 gelten hier in sachgemäßer Ersweiterung. Dreht sich z. B. eine Ellipse um die eine Achse (2a), so ist der Schwerpunkt eines Abschnittes des Ellipsoides, dessen Grundsläche zur Ebene der anderen Achse (2b) parallel ist, leicht zu bestimmen. Wacht man 2a zum Durchmesser einer Kugel, so bestimmt die Grundsläche des Ellipsoidabschnittes von der Höhe h bei dieser einen entsprechenden Abschnitt, dessen Schwerpunkt zugleich der Schwerpunkt des Ellipsoidabschnittes ist. Man hat hier also $x=\frac{3}{4}$ $\frac{(2a-h)^2}{2a-h}$.

75. Weitere Bemerkungen über Schwerpunktsbestimmungen. Reichen



die bisherigen Betrachtungen nicht aus, so kann man gelegentlich auch die Simpsonsche Regel für die Bestimmung von Schwerpunkten verwenden.

Legt man an die Umgrensung einer ebenen Figur zwei parallele Tangenten I und II und zwar so, daß die Figur ganz und gar in dem damit bestimmten Streisen liegt, so läßt sich die Fläche und das Moment für I oder II stets angenähert darsstellen.

Wenn zunächst die Schnitt= linie qy der Fläche (vergl. Fig. 259)

in der von I aus gerechneten Höhe y stets dargestellt werden kann durch den Ausdruck

$$q_y = a_0 + a_1 y + a_2 y^2 + \cdots + a_n y^n$$

so führt eine einfache Grenzbetrachtung, wie sie bei der Bestimmung des

Schwerpunktes der Parabelfläche angewandt wurde, zu der Fläche (F) und dem Momente der Fläche (M) in Bezug auf die Achse I.

Man hat

$$F = a_0 h + \frac{1}{2} a_1 h^2 + \frac{1}{3} a_2 h^3 + \frac{1}{4} a_3 h^4 + \frac{1}{5} a_4 h^5 + \cdots + \frac{1}{n+1} a_n h^{n+1}$$
umb
$$M = \frac{1}{2} a_0 h^2 + \frac{1}{3} a_1 h^3 + \frac{1}{4} a_2 h^4 + \frac{1}{5} a_3 h^5 + \cdots + \frac{1}{n+2} a_n h^{n+2}$$
132)

Demnach hat S von I den Abstand $\eta = \frac{M}{F}$.

Gilt diese Betrachtung für I, so läßt sie sich auch für II durchführen. Bezeichnet man durch q_0 , q_h und q_h bezw. die Schnittlinien für die Ab=

stände 0, $\frac{h}{2}$ und h von I, wobei q_0 und q_h oft den Wert Null erhalten werden und wobei q_h den sogenannten Mittelschnitt bezeichnet, so stellt der Ausdruck

$$F' = \frac{h}{6} \left(1 \cdot q_0 + 4 \cdot q_h + 1 \cdot q_h \right),$$

welcher Mittelschnittsformel heißen mag, unter einer bestimmten Voraussezung den Wert von F dar.

Man hat

$$F' = a_0 h + \frac{1}{2} a_1 h^2 + \frac{1}{3} a_2 h^3 + \frac{1}{4} a_3 h^4 + \frac{5}{24} a_4 h^5 + \cdots + \frac{1}{6} \cdot \frac{2^{n-2} + 1}{2^{n-2}} a_n \cdot h^{n+1}.$$

Der Bergleich von F und F' zeigt, daß die Glieder mit a_0 , a_1 , a_2 , a_3 genau stimmen, während das Glied mit a_4 in F den Koefficienten $\frac{1}{5}=\frac{5}{25}$ und in F' den Koefficienten $\frac{5}{24}$ hat.

Haben also alle Koefficienten a_p den Wert Null, abgesehen von a_0 , a_1 , a_2 , a_3 , so ist in aller Strenge F = F'.

Für $q_y = a_0 + a_1 y + a_2 y^2 + a_3 y^3$ gilt also die Mittelschnitts= formel:

$$F = \frac{h}{6} \left(1 \cdot q_0 + 4 \cdot q_h + 1 \cdot q_h \right) \cdot \cdot \cdot \cdot \cdot \cdot \cdot 133$$

Versucht man auch das Moment durch den einfachen Ausdruck

$$M' = \frac{h}{6} \left(1 \cdot q_0 \cdot y_0 + 4 \cdot q_h \cdot y_h + 1 \cdot q_h \cdot y_h \right).$$

zu ersetzen, so ergiebt sich Folgendes.

Man hat, da
$$y_0 = 0$$
, $y_h = \frac{h}{2}$ und $y_h = h$ ist,

$$M' = \frac{1}{2} a_0 h^2 + \frac{1}{3} a_1 h^3 + \frac{1}{4} a_2 h^4 + \frac{5}{24} a_3 h^5 + \cdots + \frac{1}{6} \cdot \frac{2^{n-1} + 1}{2^{n-1}} \cdot a_n h^{n+2}.$$

Der Vergleich von M und M' zeigt, daß die Glieder mit a_0 , a_1 a_2

genau stimmen, während das Slied mit a_s in M den Roefficienten $\frac{1}{5}=\frac{5}{25}$ und in M' den Roefficienten $\frac{5}{24}$ hat.

Haben also alle Roefficienten a_p den Wert Null, abgesehen von a_0 , a_2 , a_2 , so ift in aller Strenge M = M'.

Für $q_y = a_0 + a_1 y + a_2 y^2$ gilt also die Mittelschnittsformel:

$$\mathbf{M} = \frac{h}{6} \left(1 \cdot q_0 \cdot y_0 + 4 \cdot q_h \cdot y_h + 1 \cdot q_h \cdot y_h \right) \cdot \cdot \cdot 134$$

Seht man zu einer Achfe UV über, die im Abstande a parallel zu I ist, so ist für diese

$$\eta_a = \eta + a = \frac{M}{F} + a = \frac{M+a \cdot F}{F}$$

Bilbet man Ma für diese Achse nach ber Mittelschnittsformel, so ergiebt fich

d. h. man hat

U·

$$\eta_a = \frac{M_a}{F}.$$

Ift die Mittelfcnittsformel überhaupt anwendbar, fo ift fie nicht blog für die Achfe I (oder II), welche ben Streifen begrengt,

Fig. 260.

fondern auch für jede Parsallelachse bagu anwendbar.

Berlegt man nun eine bes liebige ebene Fläche durch unter sich gleiche Doppelstreisen (vergl. Fig. 260), von denen jeder einzelne der vorigen Betrachtung entspricht, so führt eine Anwendung der Mittelschnittssormel für jeden Streisen zu solgendem Ergebnis

$$F = \frac{h}{6} [(q_0 + 4 q_1 + q_2) + (q_2 + 4 q_3 + q_4) + \cdots + (q_{n-2} + 4 q_{n-1} + q_n)]$$

$$= \frac{h}{6} [1 \cdot q_0 + 1 \cdot q_n + 2 \cdot (q_2 + q_4 + \cdots + q_{n-2}) + 4 \cdot (q_1 + q_3 + \cdots + q_{n-1})]$$
135)

Da die (gerade) Anzahl der einzelnen Streifen n, die Anzahl der Doppelstreifen also $\frac{n}{2}$ ist, so gilt $H=\frac{n}{2}\cdot h$. Demgemäß läßt sich $\frac{h}{6}$ auch ersegen durch $\frac{H}{3\,n}=\frac{y_n-y_0}{3\,n}$.

Die entwidelte Formel ift bie fogen. Simpfoniche Regel (vergl. S. 70).

Für das Moment erhält man ebenso

$$M = \frac{h}{6} \left[1 \cdot q_0 y_0 + 1 \cdot q_n \cdot y_n + 2 \left(q_2 y_2 + q_4 y_4 + \cdots q_{n-2} y_{n-2} \right) \right] + 4 \left(q_1 y_1 + q_3 y_3 + \cdots q_{n-1} y_{n-1} \right)$$

$$\text{Auch hier ift } \frac{h}{6} = \frac{H}{3n} = \frac{y_n - y_0}{3n}.$$

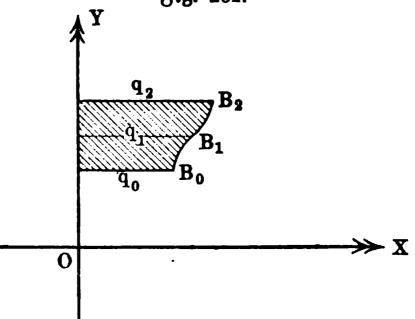
Der allgemeine Gebrauch dieser beiden Formeln setzt voraus, daß man die krummlinige Begrenzung eines einzelnen Doppelstreifens so abändern darf, daß innerhalb desselben für die Querschnittslinien die Gleichung $q_y = a_0 + a_1 y + a_2 y^2$ gilt.

Für den ersten Streifen ist y_0 , y_1 , y_2 und q_0 , q_1 , q_2 gemessen, so daß in Geltung sein müßte:

$$\begin{cases}
q_0 = a_0 + a_1 y_0 + a_2 y_0^2 \\
q_1 = a_0 + a_1 y_1 + a_2 y_1^2 \\
q_2 = a_0 + a_1 y_2 + a_2 y_2^2
\end{cases}$$

Aus diesen drei Gleichungen lassen sich a_0 , a_1 , a_2 im allgemeinen ein= deutig bestimmen, damit ist aber Fig. 261.

veung verimmen, damit ist aver auch für die Begrenzung zwischen q_0 und q_1 und zwischen q_1 und q_2 eine bestimmte Voraussezung gemacht. Denkt man nämlich den Doppelstreisen in unendlich=kleine Streisen zerlegt und jeden derselben nach links an eine Achse OY angeschoben, so müßte die Gleichung $x = a_0 + a_1 y + a_2 y^2$ nun für die begrenzende Linie $B_0 B_1 B_2$ gelten, d. h. diese müßte ein Stück einer Parabel sein.



Handelt es sich allein um die Fläche und nicht auch um das Moment, so steht die Gleichung $x=a_0+a_1y+a_2y^2+a_3y^3$ zur Verfügung.

Die entsprechende Betrachtung des zweiten Streifens ist unabhängig von der des ersten, obwohl q_2 und y_2 beiden Streisen angehören. Man hat hier

$$\begin{cases} q_2 = a_0' + a_1'y_2 + a_2'y_2^2 \\ q_3 = a_0' + a_1'y_3 + a_2'y_3^2 \\ q_4 = a_0' + a_1'y_4 + a_2'y_4^2 \end{cases}$$

Aus diesen Gleichungen sind a', a', a' zu bestimmen.

Je geringer die Unregelmäßigkeiten (Spiken u. s. w.) der Begrenzung sind und je schmaler man die Doppelstreifen nimmt, um so mehr entspricht auch der parabolische Ersag der Begrenzung von Streifen zu Streifen der wirklichen Begrenzung.

Entsprechende Betrachtungen gelten auch für Körper.

Legt man den Körper zunächst zwischen zwei parallele Tangentialebenen I und II (vergl. Fig. 259), so bezeichnet q_y die Querschnittsfläche von der Höhe y über I. Für $q_y = a_0 + a_1 y + b y^2$ stellt die für F abgeleitete

Formel Nr. 133) jest das Volumen des Körpers dar, die für M absgeleitete Formel Nr. 134) das Woment des Körpers in Bezug auf I.

Zerlegt man den Körper in Doppelschichten (vergl. Fig. 260), so erhält man auch hier die entsprechenden Formeln Nr. 135 und 136).

Die Formeln Nr. 132 gelten wieder allgemein.

Für ein dreiachsiges Ellipsoid, dessen Gleichung $\frac{x^2}{a^2}+\frac{y^2}{b^2}+\frac{z^2}{c^2}=1$ ist, hat die Schnittellipse sür z=p die Gleichung

$$\frac{\frac{x^2}{a^2(c^2-p^2)}+\frac{y^2}{b^2(c^2-p^2)}=1$$

und daher ist deren Fläche $\frac{a\,b}{c^2}\,(c^2\,-\,p^2)\,\pi.$

Man hat also für ein beliebiges z die Fläche

$$q_z = \frac{ab}{c^2}(c^2 - z^2)\pi = ab\pi - \frac{ab\pi}{c^2} \cdot z^2$$

d. h. die Bedingung der Anwendung der Mittelschnittsformel ist hier ge= geben.

Für eine Ellipse, deren Gleichung $\frac{x^2}{a^2}+\frac{y^2}{b^2}=1$ ist, hat die Schnittlinie für y=p den Wert $x=\frac{a}{b}\sqrt{b^2-p^2}$.

Man hat also für ein beliebiges y die Schnittlinie

$$q_y = \frac{a}{b} \sqrt{b^2 - y^2},$$

d. h. die Bedingung der Anwendung der Mittelschnittsformel ist hier nicht gegeben 1).

Für die Kugel ist $q_0 = 0$, $q_h = 0$, $q_h = R^2\pi$, für h = 2R und daher

$$V = (0 + 4 R^2 \pi + 0) \frac{2 R}{6} = \frac{4}{3} R^3 \pi.$$

Hier ist ferner

$$M = (0.0 + 4R^2\pi . R + 0.2R) \frac{2R}{6} = \frac{4}{8}R^4\pi.$$

Man hat $\frac{4}{3}R^4\pi : \frac{4}{3}R^3\pi = R$.

Für die Halbkugel ist $q_0=R^2\pi$, $q_h=\frac{3}{4}R^2\pi$, $q_h=0$ sür h=R und daher

$$V = (R^2\pi + 4 \cdot \frac{3}{4}R^2\pi + 0) \frac{R}{6} = \frac{2}{3}R^3\pi.$$

Hier ist ferner

$$M = (R^2\pi \cdot 0 + 4 \cdot \frac{3}{4}R^2\pi \cdot \frac{1}{2}R + 0 \cdot R) \frac{R}{6} = \frac{1}{4}R^4\pi.$$

Man hat $\frac{1}{4} R^4 \pi : \frac{2}{3} R^3 \pi = \frac{3}{8} R$.

¹⁾ Zahlreiche Anwendungen findet man bei Holzmüller, Ingenieur=Mathe=matik, 1897.

Will man Integralrechnung zur Bestimmung von Schwerpunkten verswenden, so hat man für das Linienelement ds die Belastung $ds\gamma$, für das Flächenelement df die Belastung $df\gamma$ und für das Bolumenelement dv die Belastung $dv\gamma$ einzuführen, wobei ein konstantes γ homogenen Belastungen, ein veränderliches γ heterogenen Belastungen entspricht.

Fur eine Rurve geht bann 3. B. bas Moment fur bie X Y-Chene

$$\sum \mu_p \varepsilon_p$$
 über in $\int ds \gamma z$,

während die Masse $\Sigma \mu_p$ durch $\int\! ds \, y$ bargestellt wird.

Fig. 262 b.

x

Für eine Mache hat man entsprechend

$$\Sigma \mu_p z_p = \int df \gamma z_r$$

während die Masse $\Sigma \mu_p$ durch $\int \! df \gamma$ gegeben ist.

Für Rorper ergiebt fich ebenfo

$$\Sigma \mu_p z_p = \int \!\! d\, v \, \gamma \, z$$
,

während die Masse burch favy gegeben ift.

Für homogene Gebilbe tann man y - 1 fegen.

Für ebene Figuren kann man unendlich schmale Streisen als df eins führen, in deren Mitte (Rechteck) ihr Schwerpunkt anzunehmen ist. Man hat dann für Fig. 262 a.

$$\Sigma \mu_p x_p := \int \!\! y x dx$$
 und $\Sigma \mu_p y^p := rac{1}{2} \int \!\! y^2 dx$ $\Sigma \mu_p := \int \!\! y dx$

und für Fig. 262 b

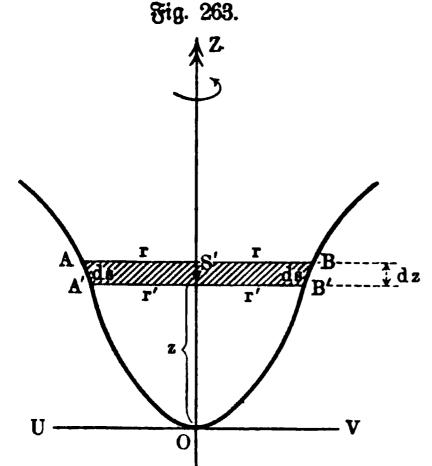
$$\Sigma \mu_p x_p = \frac{1}{4} \int (a^2 - x^3) \, dy$$
 und $\Sigma \mu_p y_p = \int (a - x) y \, dy$. $\Sigma \mu_p = \int (a - x) y \, dy$.

Außerdem gilt für die Begrenzung die Gleichung y = f(x).

Für volle Rotationsflächen und Rotationskörper ist nur die Lage bes Schwerpunktes auf der Achse zu bestimmen. Hier kann man als Element einen Streisen bezw. eine Schicht annehmen, die durch zwei unendliche nahe Parallelebenen, senkrecht zur Achse ausgeschnitten wird. Man hat dann, falls

Х

die Achse zur Z=Achse genommen wird, wie Fig. 263 zeigt, für die Fläche den Mantel des Kegelstumpses ABB'A' als Element anzusehen, d. h. man hat



$$df = \pi (r + r') ds = 2\pi r ds,$$

und für den Körper das Volumen des Stumpfes, d. h. man hat

$$dv = \frac{\pi}{3}(r^2 + r'^2 + rr')dz = \pi r^2 dz.$$

Das Moment in Bezug auf eine Ebene durch UV, senkrecht zur Ebene der Zeichnung, ist dann für df gegeben als $2\pi rzds$ und für dv als πr^2zdz , so daß also $\Sigma \mu_p z_p$ für die Fläche überzgeht in

$$2\pi \int rz\,ds$$

und für den Körper in

$$\pi \int r^2 z \, dz$$
.

Ebenso geht $\Sigma \mu_p$ für die Fläche über in $2\pi \int r\,ds$ und für den Körper in $\pi \int r^2 dz$.

Außerdem gilt für die Begrenzung (Erzeugungslinie) die Gleichung z=f(r).

Oft ist es zwedmäßig, Polarkoordinaten einzuführen.

Für ebene Kurven ist dann $ds = r d\varphi$ und $x = r \cos \varphi$ und $y = r \sin \varphi$ zu setzen.

Für ebene Flächen ist $df = rdrd\varphi$ zu setzen.

Für Körper ist $dv=r^2\sin\vartheta\,dr\,d\vartheta\,d\varphi$ zu setzen, salls φ der geosgraphischen Länge entspricht und ϑ dem Komplemente der Breite.

76. Die Bedeutung der Schwerpunktsbestimmungen innerhalb der Oynamik. Hat man für einen Körper seinen Schwerpunkt bestimmt, so darf man in diesem das Gewicht des Körpers vereinigt denken, d. h. man darf den Körper, soweit die Einwirkung der Erde in Frage kommt, frei denken von allen Krästen, abgesehen von dem in seinem Schwerpunkte angreisenden Gewichte. Statt des unendlich gegliederten Krästespstems, welches der gegenseitigen Einwirkung von Körper und Erde entspricht, tritt also eine einzige Krast ein, statt des Körpers ein dynamisches Centrum.

Im besondern gilt auch für Bewegungen der Körper, daß die dabei aufstretende Arbeit, soweit sie dem Gewichte G des Körpers entspricht, sür eine Senkung h des Schwerpunktes den Wert +h. G und für eine Hebung h des Schwerpunktes den Wert -h. G hat. Vergl. \S 48.

Bei der Berechnung des Gewichtes G eines Körpers, dessen Volumen V ist, hat oft das Verhältnis $\frac{G}{V}$ eine Bedeutung. Hat der Körper die Masse

§ 76.] Die Bedeutung d. Schwerpunktsbestimmungen innerhalb d. Dynamik. 443 m, und die mittlere Dichtigkeit d, so ist

$$\frac{G}{V} = \frac{mg}{V} = \delta \cdot g.$$

Bei einem homogenen Körper ist also an einer bestimmten Stelle des Kaumes (g) der Wert $\frac{G}{V}$ für den Körper selbst und für beliebig kleine Teile desselben eine Konstante. Da diese von der Stoffart (species) der Körper (Eisen, Blei u. s. w.) in erster Linie abhängt, so wird sie "specifisches Gewicht" genannt.

Bezeichnet man sie mit o, so gilt also

$$\sigma = \delta \cdot g$$

Hat man für zwei Körper verschiedenen Stoffes σ und δ bestimmt, so ist $\sigma_1:\sigma_2=\delta_1:\delta_2$,

solange keine Anderung von g in Frage kommt.

Die Tabelle der "specisischen Gewichte" stimmt also mit der Tabelle der "Dichtigkeiten" überein, wenn man in beiden Tabellen für eine und dieselbe Stoffart (z. B. Wasser bei 4° C.) den Wert 1 einführt.

Findet man z. B. in den Tabellen bei Eisen (in Bezug auf Wasser) sowohl $\sigma = 7.5$ als auch $\delta = 7.5$, so bedeuten demnach diese Zahlen Verschwerzug) eines bestimmten Volumens Sisens 7.5 mal so groß ist als das Gewicht (Schwerdruck oder Schwerzug) desselben Volumens Wasser; die Zahl $\delta = 7.5$ spricht dieselbe Beziehung für die Massen aus. Im ersten Falle muß man außerdem die Volumeneinheit des Wassers und deren Gewicht kennen, im zweiten Falle außerdem die Volumeneinheit des Wassers und deren Gewicht kennen, im zweiten Falle außerdem die Volumeneinheit des Wassers und deren Physikalischen und dem technischen Maßsstem geltend (vergl. S. 269 f.).

Das physikalische, technischen Verhältnissen angepaßte, System braucht den Kubikmeter als Volumeneinheit und giebt dem Kubikmeter Wasser die Masse 1000 Massenkilo, also das Gewicht 1000 g = 9810 Krafteinheiten.

Hier hat der Kubikmeter Eisen die Masse 7500 Massenkilo und das Gewicht $7500\,\mathrm{g}$, es ist also in Bezug auf die Volumeneinheit $\delta=7500\,\mathrm{und}$ $\sigma=7500\,\mathrm{g}$.

Das technische System braucht den Kubikmeter als Volumeneinheit und giebt dem Kubikmeter Wasser das Gewicht 1000 Kraftkilo, also die Masse $\frac{1000}{g}$.

Hier hat der Kubikmeter Eisen das Gewicht 7500 Kraftkilo und die Masse $\frac{7500}{g}$, es ist also in Bezug auf die Volumeneinheit $\sigma = 7500$ und $\delta = \frac{7500}{g}$.

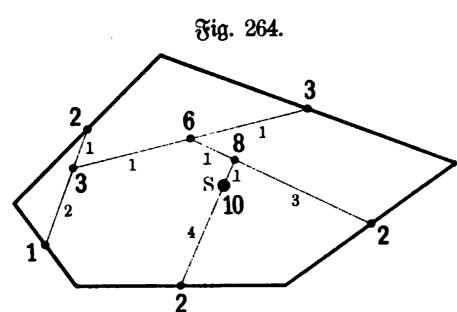
In beiden Fällen ist $\sigma = \delta$. g.

Im physikalischen System, wie es in der Physik benutt wird, tritt statt des Meters der Centimeter ein, wobei ein Kubikcentimeter Wasser einem Gramm Masse entspricht; dabei ist g, welches im Metersystem im Mittel den Wert 9,81 hat, durch 981 zu ersetzen.

Anwendungen der Lehre vom Schwerpunkt.

1. Der Schwerpunkt der homogenen Begrenzung eines ebenen Fünsecks (Stangenfünseck). Jede Seite hat ihren Schwerpunkt in ihrer Mitte und ist in diesem, proportional zu ihrer Länge, belastet. Es handelt sich also darum, den Schwerpunkt von fünf schweren Punkten zu sinden.

Dazu kann man z. B. die Koordinaten der Ecken gegen ein Koordinaten= kreuz in der Ebene bestimmen und in Bezug auf dessen Achsen den Momenten=



satz anwenden, man kann aber auch unmittelbar die Abstände der Nittelspunkte der Seiten von zwei Geraden der Ebene messen und den Momentensfatz anwenden.

Ferner kann man auch, wie Fig. 264 zeigt, erst den Schwerpunkt sür zwei Stangen bestimmen, dann die dritte hinzunehmen u. s. f. In Fig. 264 sind die Belastungen der Teilschwerpunkte und die Teilpunkts=verhältnisse der Streden angegeben.

Endlich kann man auch in der Mitte der Stangen deren Gewichte, parallel zu einander, durch Strecken darstellen und die Resultante der damit gegebenen Kräste durch Krasteck und Seileck bestimmen. Diese ist eine Schwerlinie des Fünsecks. Dreht man die Kräste, parallel zu einander, um die Mitten der Stangen, z. B. um 90°, so liesert eine Wiederholung der Konsstruktion eine zweite Schwerlinie. (Vergl. dazu Fig. 269.)

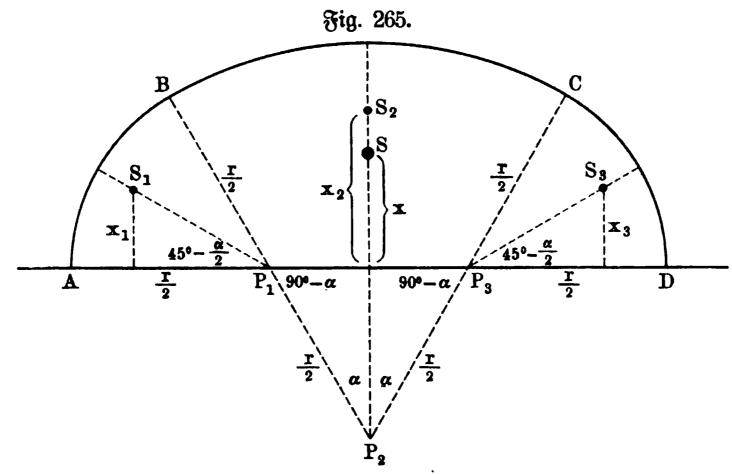
2. Der Schwerpunkt einer heterogen belasteten Strecke AB. Die Belastung mag proportional zu dem Quadrate des Abstandes vom Ende A zunehmen. Teilt man die Strecke in n gleiche Teile von der Länge $\frac{l}{n}$, so sind die Belastungen für die einzelnen Teilpunkte proportional zu $\left(\frac{l}{n}\right)^2$, $\left(\frac{2l}{n}\right)^2$, $\left(\frac{3l}{n}\right)^2$..., ihre Momente in Bezug auf A also $\left(\frac{l}{n}\right)^3$, $\left(\frac{2l}{n}\right)^3$, $\left(\frac{3l}{n}\right)^3$... Der Momentensatz liesert also sür den Abstand x des Schwerpunktes dieser Belastungen von A

$$x \cdot \frac{l^2}{n^2} (1 + 4 + 9 + \cdots n^2) = \frac{l^3}{n^3} (1 + 8 + 27 + \cdots n^3).$$

Für $\lim n = \infty$ ergiebt sich $x = \frac{3}{4}l$.

In Bezug auf die weiteren Grenzbetrachtungen vergl. S. 420.

3. Der Schwerpunkt eines homogenen Korbbogens, wie er bei Geswölbes und Brückenprofilen vorkommt. Unter einem Korbbogen versteht man einen Bogen, der aus tangential aneinander gefügten Kreisbogen zusammensgesett ist, wie es Fig. 265 für eine bestimmte Anordnung zeigt.



Bezeichnet man die Schwerpunkte der Bogen AB, BC, CD bezw. durch S_1 , S_2 , S_3 , so sind P_1S_1 , P_2S_2 , P_3S_3 unmittelbar durch die für den Kreiß= bogen entwickelte Formel gegeben.

Für AD als Achse ist

$$x_1=P_1S_1$$
 . $sin\left(45^0-rac{lpha}{2}
ight)$ und $x_3=P_8S_3$. $sin\left(45^0-rac{lpha}{2}
ight)$

gegeben, während $x_2 = P_2 S_2 - \frac{r}{2} \cos \alpha$ ist. Der Momentensatz giebt dann unmittelbar x.

Für $\alpha = 30^{\circ}$ ist x = 0.380 r.

Dreht man den Korbbogen um AD, so ist die Oberfläche des dabei entstehenden Halbraumes gegeben als $O=2{,}502\,r^2$ nach dem einen der Pappus-Suldinschen Säze.

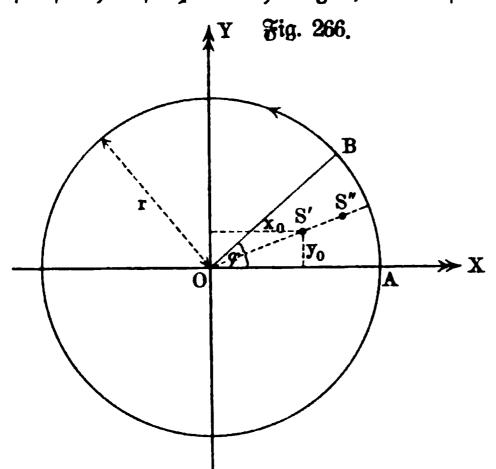
4. Der Schwerpunkt der (gemeinen) homogenen Schraubenlinie. Wenn die Schraubenlinie (vergl. Fig. 266 a. f. S.) von A aus entsteht, wie es S. 186 entwickelt wurde, so befindet sich der erzeugende Punkt nach jedem vollen Umgängen wieder senkrecht über A. Ist der erzeugende Punkt nach n vollen Umgängen bei weiterem Fortrücken (φ) in eine Lage gekommen, deren Projektion durch B in Fig. 266 dargestellt wird, so gilt für diese Lage (B)

$$x = r \cos \varphi = r \cos (n \cdot 2\pi + \varphi)$$

$$y = r \sin \varphi = r \sin (n \cdot 2\pi + \varphi)$$

$$z = nh + \frac{arc \varphi}{2\pi} \cdot h = \frac{n \cdot 2\pi + arc \varphi}{2\pi} \cdot h.$$

Da die Schraubenlinie stets dieselbe Neigung gegen die XY=Ebene hat, so ist ihre Projektion homogen, wenn sie es selbst ist (vergl. S. 414), und



demnach ist der Schwerpunkt ihrer Projektion hier zugleich die Pro= jektion ihres Schwerpunktes. Für jeden vollen Umgang fällt die Schwerpunktes Projektion Des nach O, so daß O bei n Umgängen die Belastung ny erhält, falls diese für einen Umgang mit y 🥕 x bezeichnet wird. Die Projektion des Schwerpunktes für den weiteren Fortgang von A bis B fällt nach Punkt S", welcher mit $\frac{arc \varphi}{2\pi} \cdot \gamma$ belastet ist. Für den Schwerpunkt S' der Projektion der Schraubenlinie gilt also

$$n\gamma \cdot OS' = \frac{arc \, \varphi}{2 \, \pi} \gamma \cdot S'S'' = \frac{arc \, \varphi}{2 \, \pi} \gamma (OS'' - OS'),$$

d. h. man hat

$$OS' = \frac{OS'' \cdot arc \, \varphi}{n \cdot 2\pi + arc \, \varphi}.$$

$$\mathfrak{Da} \ OS'' = r \frac{\sin \frac{\varphi}{2}}{arc \frac{\varphi}{2}} \text{ ift, so hat man ferner}$$

$$OS' = r \frac{\sin \frac{\varphi}{2}}{n \cdot \pi + arc \frac{\varphi}{2}} = \frac{rh}{\pi z} \cdot \sin \frac{\varphi}{2}.$$

Nun ist

$$x_0 = OS' \cos \frac{\varphi}{2} = \frac{rh}{2\pi z} \sin \varphi = \frac{hy}{2\pi z}$$

und

$$y_0 = OS' \sin \frac{\varphi}{2} = \frac{2 r h \sin^2 \frac{\varphi}{2}}{2 \pi z} = \frac{r h (1 - \cos \varphi)}{2 \pi z} = \frac{h (r - x)}{2 \pi z}.$$

Der gesuchte Schwerpunkt S der Schraubenlinie liegt über S' in der Höhe $z_0 = \frac{1}{2}z$, da die Ebene durch die Mitte der Achsestrecke (z), senkrecht zu dieser, Schwerebene ist.

5. Der Schwerpunkt der homogenen Kettenlinie. Für ein Element der Kettenlinie MN ist das Moment in Bezug auf die X=Achse (vergl. Fig. 267) gegeben als $MN \cdot y$. Da $M'N' = MN \cos \varepsilon$ und

ift, so gilt
$$\frac{cos\,\varepsilon=\frac{H}{\sqrt{V^2+H^2}}=\frac{c\gamma}{\sqrt{s^2\gamma^2+c^2\gamma^2}}=\frac{c}{\sqrt{s^2+c^2}}}{MN\cdot y=\frac{M'N'\,\sqrt{s^2+c^2}}{c}\cdot y}.$$

Da nach den früheren Entwickelungen (vergl. S. 357) $y=\sqrt{s^2+c^2}$ ist, so gilt auch

$$MN \cdot y = \frac{M'N' \cdot y^2}{c}$$
.

Do $y = \frac{c}{2} \left(e^{+\frac{x}{c}} + e^{-\frac{x}{c}} \right)$ ift, so ift also

 $MN \cdot y = \frac{c}{4} \cdot M'N' \left(e^{+\frac{2x}{c}} + 2 + e^{-\frac{2x}{c}} \right)$.

Dieser Ausdruck ist für jedes Element M'N' von OB'=l zu bilden und die Summe dieser Ausdrücke giebt das Moment von CB in Bezug auf die X-Achse. Teilt man OB' in ngleiche Teile von der Größe $\frac{l}{n}$, so ist also

 $\frac{c}{A} \cdot M'N' \cdot e^{+\frac{2x}{c}}$ $\frac{c}{2} \cdot M'N'$,

 $\frac{c}{A}M'N'e^{-\frac{2x}{c}},$

Fig. 267.

für
$$M'N' = \frac{l}{n}$$
 und $x = \frac{l}{n}$, $\frac{2l}{n}$, $\frac{3l}{n}$, $\cdots \frac{nl}{n}$ zu bilden.

Kür $M'N'e^{+\frac{2x}{c}}$ erhält man den Ansatz

$$K = \frac{l}{n} \cdot e^{\frac{2l}{nc}} + \frac{l}{n} \cdot e^{\frac{4l}{nc}} + \frac{l}{n} \cdot e^{\frac{6l}{nc}} \cdot \cdot \cdot + \frac{l}{n} \cdot e^{\frac{2nl}{nc}}.$$

Für $e^{\overline{n} c} = \alpha$ hat man demnach ferner

$$K = \frac{l}{n} \left(\alpha + \alpha^2 + \cdots + \alpha^n\right) = \frac{\alpha \left(\alpha^n - 1\right)}{\alpha - 1} \cdot \frac{l}{n}$$

$$= \frac{\frac{2l}{n^2c} \left(\frac{2l}{e^{\frac{l}{c}}} - 1\right)}{n \left(1 + \frac{2l}{nc} + \frac{1}{2} \frac{4l^2}{n^2c^2} + \cdots - 1\right)} \cdot l.$$

ſ

Für $\lim n = \infty$ ist

$$K = + \frac{c}{2} \left(e^{+\frac{2l}{c}} - 1 \right).$$

Dieselbe Betrachtung giebt für $M'N'e^{-\frac{2x}{c}}$

$$K' = -\frac{c}{2} \left(e^{-\frac{2l}{c}} - 1 \right).$$

Für M'N' selbst erhält man natürlich bei der Summation OB'=l. Das gesuchte Moment ist also

$$\frac{c}{4}(K+K')+\frac{c}{2}l=\frac{c^2}{8}\left(e^{+\frac{2l}{c}}-e^{-\frac{2l}{c}}\right)+\frac{c}{2}l.$$

Dasselbe Moment stellt sich dar als λ . y_0 , falls man den Abstand des Schwerpunktes des Bogens BC von der X=Achse durch y_0 bezeichnet. Man hat also

$$y_0 = \frac{\frac{1}{8}c^2\left(e^{+\frac{2l}{c}} - e^{-\frac{2l}{c}}\right) + \frac{1}{2}cl}{\lambda}.$$

Da $s=\frac{c}{2}\left(e^{+\frac{x}{c}}-e^{-\frac{x}{c}}\right)$ ist, so ist $\lambda=\frac{c}{2}\left(e^{+\frac{t}{c}}-e^{-\frac{t}{c}}\right)$. Außerdem gilt für B

$$x = l$$
, $y = h + c = \frac{c}{2} \left(e^{+\frac{l}{c}} + e^{-\frac{l}{c}} \right)$.

Demnach läßt sich y_0 auch schreiben als

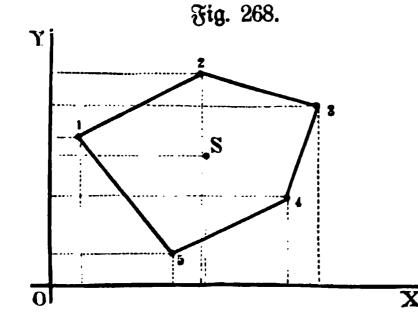
$$y_0 = \frac{\frac{1}{2}\lambda(h+c) + \frac{1}{2}cl}{\lambda} = \frac{1}{2}(h+c) + \frac{c}{2}\frac{l}{\lambda}$$

Bezeichnet man den Abstand des Schwerpunktes S von der Geraden AB durch $\overline{y_0}$, so ist

$$\overline{y_0} = (h + c) - y_0 = \frac{1}{2}(h + c) - \frac{c}{2}\frac{l}{\lambda}$$

Für die ganze Kettenlinie liegt der Schwerpunkt auf der Symmetralen in derselben Höhe.

6. Der Schwerpunkt der Fläche eines ebenen homogenen Fünfecks,



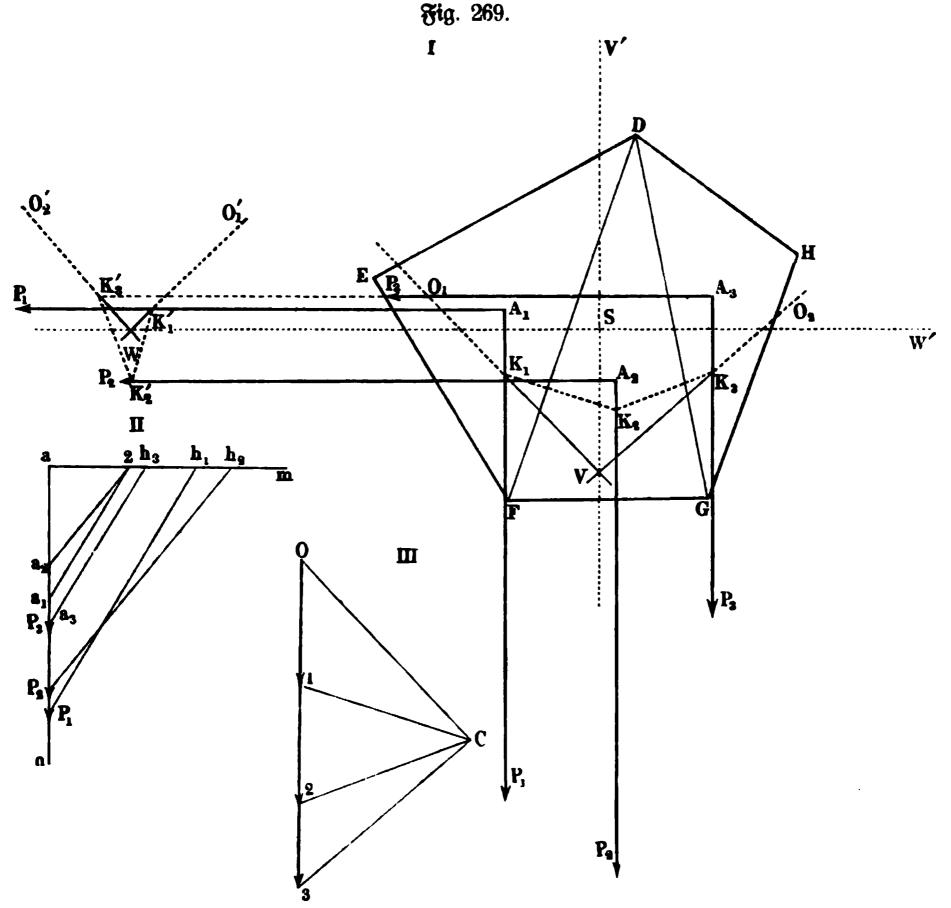
dessen Eden durch Koordinaten gegeben sind. Man zerlegt das Fünsed in Trapeze, wie es Fig. 268 zeigt, und wendet auf diese die Formel an, welche S. 427 angegeben wurde.

Für
$$(x_1 = 2, y_1 = 10)$$
, $(x_2 = 10, y_2 = 14)$, $(x_3 = 18, y_3 = 12)$, $(x_4 = 16, y_4 = 6)$, $(x_5 = 8, y_5 = 2)$ erhält man:

$$x = \frac{1760}{171} = 10.3$$
 $y = \frac{1472}{171} = 8.6$.

7. Graphostatische Lösung der Aufgabe Nr. 6. Es ist der Schwer= punkt des unregelmäßigen Fünsecks DEFGH zu bestimmen.

Die von D aus gezogenen Diagonalen (Fig. 269 I) liefern die Teilsdreiede des Fünseck, deren Inhalte den in Betracht zu ziehenden parallelen Kräften gleich sind. Zur Konstruktion dieser Kräfte sei (Fig. 269 II) am auf an senkrecht. Mit Benutzung der Einheit $\frac{1}{2}$ cm mache man a2=2, ah_1 , ah_2 und ah_3 gleich den drei Höhen der Dreiede EDF, FDG, GDH, sowie



 aa_1 , aa_2 und aa_3 gleich den drei Grundlinien EF, FG, GH derselben Dreiecke. Berbindet man nun 2 mit a_1 , a_2 und a_3 und zieht von h_1 , h_2 und h_3 mit diesen Berbindungslinien Parallelen, so erhält man in den Linien aP_1 , aP_2 und aP_3 die gesuchten Kräfte, welche in den Schwerpunkten der Teildreiecke angreisen $(a_1$ und a_8 sallen in Fig. 269 II zusammen, da EF = GH ist).

Nachdem nun (Fig. 269 III) das Kräftepolygon O, 1, 2, 3 mit $\frac{1}{4}$ cm als Einheit verzeichnet, der Pol C beliebig angenommen und die Ber=bindungslinien von C gezogen, konstruiere man (Fig. 269 I) das zuge=

hörige Seilpolngon O, K, K, K, O,; die beiden außersten Seiten besselben liefern in ihrem Durchschnittspunkte V einen Punkt der Refultante, und die mit den Kräften parallel gezogene Linie VV' giebt die Richtung dieser Resultante an. Man drehe jest die brei Kräfte P_1 , P_2 , P_3 in Fig. 269 I um 90°, und benute dasselbe Kraftepolygon, indem man es um den Pol C ebenfalls um 90° gebreht denkt. Dabei werden alle Strahlen des neuen Polygons normal zu denen des alten, und es find demnach die Seiten des zweiten Seilpolygons nur normal zu ben Strahlen des bereits gezeichneten Seilpolygons (Fig. 269 III) zu zeichnen, ohne daß man die Zeichnung des neuen Kräftepolygons notwendig hatte. Der Durchschnittspunkt W der beiden äußersten Seiten des zweiten Seilpolygons $O_1'K_1'K_2'K_3'O_2'$ ist wiederum ein Punkt der gesuchten Resultante, deren Richtung in die mit den jezigen Kraft= richtungen gezogene Parallele WW' fällt. Der Durchschnittspunkt S von VV' und WW' ist der gesuchte Schwerpunkt des vorgelegten Bolggons, und die Strede O3 im Kräftepolygon ift gleich der Summe der drei Kräfte, d. h. sie ist der Inhalt der gegebenen Figur. Bei der Einheit von icm und da $03 = 4.28 \,\mathrm{cm}$, ergiebt sich als Inhalt des Fünsecks $4 \cdot 4.28 = 17.12 \,\mathrm{qcm}$.

Fig. 270.

N

М

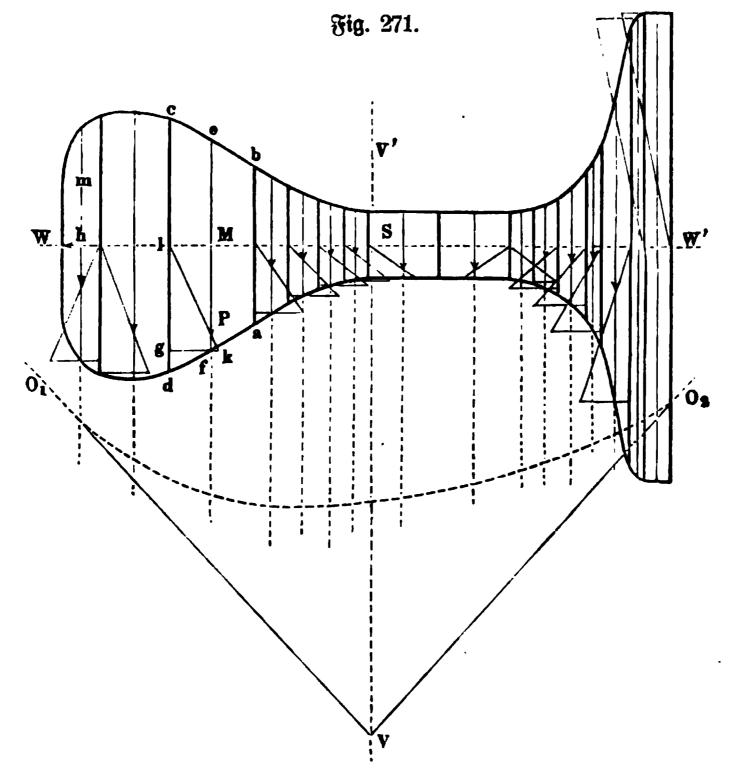
Man kann auch unmittelbar, wie in Fig. 264, ben Schwerpunkt ber brei schweren Punkte A_1 , A_2 , A_3 suchen, für welche die Flächen der Teilbreiecke die Belastungen sind.

8, Schwerpunft cincs Der Shienenprofils. Der Schwerpunkts abstand x des Schienenprofils (Fig. 270) von der unteren Kante AD ist zu berechnen, unter der Borausfetzung, daß die krummlinigen Begrenzungen durch die in der Figur angegebenen geraden Umriffe erfest werden. Dabei fei $AB = 14 \,\mathrm{mm}$, $AD = 93 \,\mathrm{mm}$, EF $= 13 \,\mathrm{mm}, EG = 53 \,\mathrm{mm}, KL = 54 \,\mathrm{mm},$ KM == 21 mm, und die Höhe des Bar≠ alleltrapezes GHLK gleich 32 mm.

$$x = \frac{253666,2}{4197} = 60,4 \text{ mm}.$$

9. Graphostatische Behandlung von Nr. 8. Es ist der Schwerpunkt des in Fig. 271 vorgelegten Schienenprofils zu bestimmen.

Da die Figur in Bezug auf die Linie WW' symmetrisch ist, so ist das in der Nr. 7 angegebene Berfahren nur einmal in Bezug auf die zur Symmetrieachse WW' normal gerichteten Kräfte in Anwendung zu bringen. Zu dem Ende denke man das Schienenprosil durch Linien normal zu WW' in Flächenstreisen zerlegt, welche als Paralleltrapeze angesehen werden können und deren Höhen so klein gewählt werden mögen, daß man



die entsprechenden Schwerpunkte in den Mittellängen der betreffenden annehmen Paralleltrapeze barf. Ist diese Annahme in besonderen Fällen unzulässig, so ist der Schwer= punkt nach S. 426 und 427 zu bestimmen. Inhalt Der eines solchen Paralleltrapezes m. h, unter m die Mittellänge und h die Höhe desselben verstanden, werde in ein Rechteck von der Seite a (gleich der gemeinschaftlichen Flächenbasis) verwandelt; dann ist also mh = axoder a:m=h:x, woraus sich x leicht konstruieren läßt. Für die Annahme $a = 2.6 \, \mathrm{cm}$ bestimmt man x aus der Proportion $\frac{a}{2}: \frac{m}{2} = \frac{h}{2}: x$ z. B.

für abcd auf folgende Weise. Durch den Endpunkt f der Mittellänge ef des Paralleltrapezes abcd zicht man eine Parallele zur Symmetrieachse, trägt auf derselben $\frac{a}{4}=0.65$ cm von g aus bis k ab, und verbindet k mit der Nitte l von cd; es ist MP=r dann gleich der auf a reduzierten Fläche des Paralleltrapezes, unter M die Nitte der Nittellänge verstanden.

Beträgt x, mit dem Längenmaßstabe gemessen, z. B. 0,75 cm, so ist der Inhalt des Baralleltrapezes gleich a . x = 2.6 . 0,75 gleich 1.95 gcm.

Auf die hier angegebene Weise sind die Inhalte der Paralleltrapeze, das sind die angreisenden Kräste, bestimmt und danach ist der Krästeplan gezeichnet worden. Der Durchschnittspunkt V der äußersten Seiten des Seilpolygons ist ein Punkt der Resultante, welche normal zur Symmetrieachse WW' gerichtet ist, daher in der Linie VV' liegt, welche im Durchschnittspunkte S mit WW' den gesuchten Schwerpunkt liesert. Die Strede $O\dots 16$ ist gleich der Summe der Kräste, d. h. gleich der Summe der 16 Paralleltrapeze oder gleich dem Inshalte des Schienenprosils. In der vorgelegten Zeichnung ist $O\dots 16=6,7$ cm, daher der Inhalt des Schienenprosils gleich 2,6. 6,7=17,42 qcm. Das Schienenprosil ist in 0,65 der natürlichen Größe gezeichnet, daher ist der wahre Inhalt

$$17.42 \cdot \left(\frac{1}{0.65}\right)^2 = 41$$
 qcm.

10. Der Schwerpunkt eines sphärischen Dreiecks. Berbinbet man die Eden A, B, C mit dem Mittelpunkte O der Kugel, so sind die Flächen OAB, OBC, OCA bezw. $\frac{1}{2}R^a$ arc c, $\frac{1}{2}R^a$ arc a, $\frac{1}{2}R^a$ arc b, salls man den Rugels radius durch B und die Seiten der entstandenen Ecke durch a, b, c bezeichnet. Projiziert man zwei der betrachteten Flächen auf die dritte, etwa OBC und OCA auf OAB, so wird damit auf diese dritte zugleich das sphärische Dreieck F projiziert. Für F' als Projektion von F ergiebt sich

$$\frac{1}{2}R^2(\operatorname{arc}\mathfrak{c} - \operatorname{arc}\mathfrak{a} \cos\beta - \operatorname{arc}\mathfrak{b} \cos\alpha).$$

Nach dem Sage auf S. 438 ist, salls der Abstand des Schwerpunktes des sphärischen Dreiecks von OAB durch x_s bezeichnet wird,

$$RF' = x_B F$$

so dak also gilt

A

$$x_8 = \frac{90^{\circ}}{\alpha + \beta + \gamma - 180^{\circ}} \cdot \frac{arc \, c - arc \, a \, cos \, \beta - arc \, b \, cos \, \alpha}{\pi} \cdot R.$$
Fig. 272. Die Abstände x_1 und x_2 beam, non OBC

Die Abstände x_1 und x_2 bezw. von OBC und OCA ergeben sich auf entsprechende Weise.

11. Der Schwerpunkt eines (rechtedigen) Obelisken. Die Berbindungsgerade der Schwerspunkte der oberen und der unteren Grundfläche ist eine Schwerlinie, auf welcher die Höhenlage des Schwerpunktes bestimmt werden muß. Dazu zerslegt man den Obelisken, wie Fig. 272 zeigt, in ein Schiefkant AEFG PQRO, in zwei dreiseitige

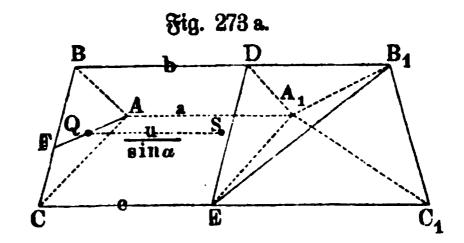
Prismem EQBFRH und OGDRFK und in eine vierseitige Pyramide R(FHKC).

Für AB=a, BC=b, PQ=a', QR=b' ist bei einer Höhe h gemäß dem Momentensatze der Abstand des Schwerpunktes von der unteren Grundsläche

$$\frac{h}{2} \cdot \frac{ab + a'b + ab' + 3a'b'}{2ab + a'b + ab' + 2a'b'}$$

12. Der Schwerpunkt eines schief abgeschnittenen dreiseitigen Prismas (z. B. eines Keils). Es ist der Schwerpunkt eines dreiseitigen schief absgeschnittenen Prismas zu bestimmen, dessen Kanten a, b, c gegen die Grundsebene ABC unter dem Winkel a geneigt sind (Fig. 273 a).

Zur Bestimmung des Schwerspunktsabstandes u von der Grundsebene ABC lege man durch A_1 eine Ebene parallel zu ABC, so daß der Körper in das dreiseitige Prisma $ABCEDA_1$ und in die vierseitige Pyramide $EDB_1C_1A_1$ zerlegt wird, welche letztere durch die Ebene EB_1A_1 wieder in zwei dreiseitige Pyramiden



zerlegt werden mag. Es seien die Seiten des Normalschnitts p, q, r, und die Höhen desselben h_1 , h_2 , h_3 , so daß p die normale Entfernung der Kante BB_1 von CC_1 , und h_1 die der Kante AA_1 von der Ebene CBB_1C_1 , q die Entfernung der Kante AA_1 von CC_1 , und h_2 die der Kante BB_1 von der Ebene CAA_1C_1 bezeichnet. In Bezug auf ABC als Momentenebene ist das Moment des Prismas $ABCEDA_1$

$$\frac{ph_1}{2} a \frac{a \sin \alpha}{2},$$

bas Moment der Phramide EDB_1A_1

$$\frac{ph_1(b-a)}{6}\cdot\frac{(3a+b)\sin\alpha}{4},$$

das Moment der Pyramide $EC_1B_1A_1$

$$\frac{ph_1(c-a)}{6}\cdot\frac{(2a+b+c)\sin\alpha}{4}.$$

Hieraus ergiebt sich:

$$u = \frac{1}{4} \sin \alpha \frac{a^2 + b^2 + c^2 + ab + ac + bc}{a + b + c}$$

Zur Berechnung der Schwerpunktsentfernung x_1 von der Ebene CBB_1C_1 haben wir

bas Moment bes Prismas ABCEDA,

$$\frac{ph_1}{2}a\frac{h_1}{3}$$

und das Moment der Pyramide $EDB_1C_1A_1$

$$\frac{b-a+c-a}{2}\,p\,\frac{h_1}{3}\cdot\frac{h_1}{4}\,$$

daher

$$x_1 = \frac{h_1}{4} \cdot \frac{2a+b+c}{a+b+c}.$$

Bei entsprechender Zerlegung findet sich der Schwerpunktsabstand x_2 von der Ebene CAA_1C_1

$$x_2 = \frac{h_2}{4} \cdot \frac{a+2b+c}{a+b+c}$$

und der von der Ebene ABB_1A_1

$$x_3 = \frac{h_3}{4} \cdot \frac{a+b+2c}{a+b+c}.$$

Man ziehe durch den Schwerpunkt S eine Parallele zu den Kanten des Prismas, wodurch sich in der Grundebene ABC der Punkt Q ergeben mag. Verbindet man denselben mit A, B und C (Fig. 273 b), so ist

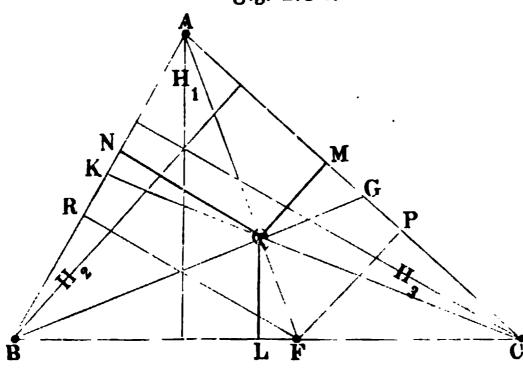
$$h_1:x_1=AF:QF=H_1:QL$$

$$h_2: x_2 = BG: QG = H_2: QM$$

$$h_3:x_3=CK:QK=H_3:QN,$$

wenn wir mit H_1 , H_2 , H_3 die Höhen des Dreiecks ABC bezeichnen.

Fig. 273 b.



Hieraus folgt:

$$QL = \frac{H_1}{4} \cdot \frac{2a + b + c}{a + b + c}$$

$$QM = \frac{H_2}{4} \cdot \frac{a + 2b + c}{a + b + c}$$

$$QN = \frac{H_3}{4} \cdot \frac{a + b + 2c}{a + b + c}$$

wodurch der Punkt Q in der Grundebene ABC der Lage nach bestimmt ist. Weiter ergiebt sich aus der

Proportion
$$\frac{AF}{OF} = \frac{H_1}{OL}$$

$$\frac{AQ}{FQ} = \frac{2a+3b+3c}{2a+b+c},$$

d. h. Q ist Schwerpunkt zweier Gewichte, in A und F wirksam, die den Auß= drücken 2a + b + c und 2a + 3b + 3c proportional sind.

In gleicher Weise soll noch das Verhältnis von BF und CF bestimmt werden. Es ist

1)
$$\frac{BC}{FC} = \frac{H_2}{FP}$$
 und $\frac{QM}{FP} = \frac{AQ}{AF} = \frac{H_1 - QL}{H_1}$

oder

$$FC = \frac{H_1}{H_2} \cdot \frac{QM}{H_1 - QL} \cdot BC;$$

2)
$$\frac{BC}{BF} = \frac{H_3}{FR}$$
 und $\frac{QN}{FR} = \frac{AQ}{AF} = \frac{H_1 - QL}{H_1}$

poer

$$FB = \frac{H_1}{H_1} \cdot \frac{QN}{H_1 - QL} \cdot BC,$$

daher

$$\frac{BF}{CF} = \frac{H_2}{H_3} \cdot \frac{QN}{QM} = \frac{a+b+2c}{a+2b+c},$$

d. h. F ist der Schwerpunkt von zwei Gewichten, die proportional den Ausbrücken a+b+2c und a+2b+c in den Punkten C und B wirks sam sind. hieraus folgt schließlich: Q ift ber Schwerpunkt von brei in ben Punkten $m{A}$, $m{B}$, $m{C}$ wirksamen Gewichten, welche den Ausdrücken $2\,a\,+\,b\,+\,c$, a + 2b + c, a + b + 2c proportional sind, Q ist also nicht Schwerpunkt **de**r Grundebene A, B, C, und SQ fällt nicht mit der Flächen-Schwerpunktsachse des schief abgeschnittenen dreiseitigen Prismas zusammen.

Die Oberfläche und der Inhalt der Ruppel eines Alosters Wenn sich die schraffierte Fläche der Fig. 274 um MN dreht, fo entsteht ein Rloftergewölbe. Bieht man durch ben Scheitel von a eine Parallele ju MN, so ift ber Settor für biese Adse als Summe der schraffierten Fläche und des Dreiecks aufzufassen, so daß der Abstand x' des Schwerpunktes der schraffierten Alache von dieser Hillfsachse leicht durch den Momentensag bestimmt werden kann. Berkleinert man x'um $r\cos \alpha$, so erhält man den entsprechenden Abstand x für die Achse MN. Für den Bogen ist der Abstand des Schwerpunktes von der Hülfsachse saft unmittelbar gegeben. Man erhält

$$0 = 2 r^{2} \pi (\sin \alpha - \arccos \alpha)$$

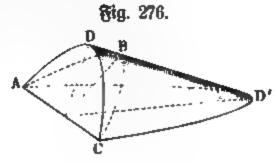
$$V = \frac{1}{8} r^{3} \pi [2 \sin \alpha + \frac{1}{2} \cos \alpha (\sin 2 \alpha - 6 \arcsin \alpha)].$$

 $0 = 2 r^2 \pi (\sin \alpha - \arccos \alpha)$

Sind die Hohe h und die Weite 27 der Kuppel gegeben, so ist $r=\frac{h^2+l^2}{2l^2}$ und $\sin \alpha = \frac{\hbar}{r}$.

Der Mantel und das Bolumen eines Rlauen. Bon einem normalen Cylinder mit kreißförmiger Basis ist ein cylindrisches Stud durch eine Ebene parallel der Achse abgeschnitten worden, dessen Grundebene also ein Areiße abschnitt ist, zum Mittelpunktswinkel 2 a gehörig. Der auf

die Weise entstandene Cy= linder werde an feinen Enden beliebig schief abge= schnitten. Es ist der Inhalt, sowie die krumme Oberfläche des nun entstandenen Rörpers zu berechnen. Die



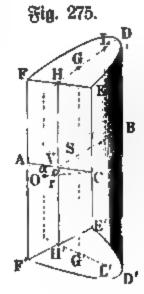


Fig. 274.

α

N

Fig. 275 (a. v. S.) stelle ben betreffenden Körper vor, ABC sei der normale Querschnitt, r der Halbmesser des Kreises, zu dem der Abschnitt ABC gehört; serner sei DD' = h, EE' = a, FF' = b.

Ift S ber Schwerpunkt des Kreisabschnittes ABC, und GG' durch S parallel der Seite des Cylinders gelegt, so ist der Inhalt (vergl. S. 415)

V = GG'. (Abschnitt ABC), d. h. man hat

$$V = \frac{r^2}{12} \frac{4 \left[2 h - (a+b) \right] \sin \alpha^2 + 3 \left(\arcsin 2 \alpha - \sin 2 \alpha \right) \left(a + b - 2 h \cos \alpha \right)}{1 - \cos \alpha}.$$

Ift S' der Schwerpunkt des Kreisbogens ABC und LL' durch S' parallel der Seite des Cylinders gelegt, so ift der Inhalt der krummen Obers släche, d. h. der Mantel (vergl. S. 415)

$$M=LL'$$
. (Bogen ABC), b. h. man hat
$$M=r\frac{[2h-(a+b)]\sin\alpha+arc\,\alpha(a+b-2h\cos\alpha)}{1-\cos\alpha}.$$

Fallen bei bem eben betrachteten Körper die Linien FE und F'E' mit AC zusammen, so entsteht ein Klauen oder Huf (Fig. 276 a. v. S.). Für diesen ist

$$V = \frac{hr^2}{6} \frac{4 \sin \alpha^3 - 3 \cos \alpha (\arccos \alpha - \sin 2\alpha)}{1 - \cos \alpha}$$

$$M = 2 hr \frac{\sin \alpha - \arccos \alpha}{1 - \cos \alpha}.$$

Wird in dem Klauen AC gleich dem Durchmesser 2r, der Mittelpunktse winkel 2α also zu 180° , so ist

$$V = \frac{1}{3}hr^2 \text{ unb } M = 2hr.$$

15. Der Schwerpunkt des Umdrehungsparaboloids. Der Körper, den Fig. 277. Fig. 277 darftellt, kann durch Umdrehung einer Parabel entstanden gedacht werden, deren Gleichung sitt AM als X-Achse $y^2 = 2 px$ lautet. Für AM = x und BM = y hat die Fläche BMC den Wert $y^2\pi = 2 px\pi$, so daß also die Mittelschnittssormel sowohl für das Bolumen, als auch für das Massenmoment anwendbar ist.

Für AM = h und $AN = \frac{1}{2}h$ ist bezw. $y^2 = 2ph$ und $y^2 = ph$, so daß die Flächen DNE und BMC bezw. $2ph\pi$ und $ph\pi$ sind.

Man hat also

$$V = \frac{h}{6} (0 + 4 p h \pi + 2 p h \pi) = p h^2 \pi.$$

Har eine Ebene burch A, parallel zu BMC, giebt ber Momentensat

$$\frac{h}{6} \left[0 + (4 ph \pi) \frac{h}{2} + (2 ph \pi) h \right] = \frac{9}{3} h^2 p \pi.$$

Für AS = x ist also

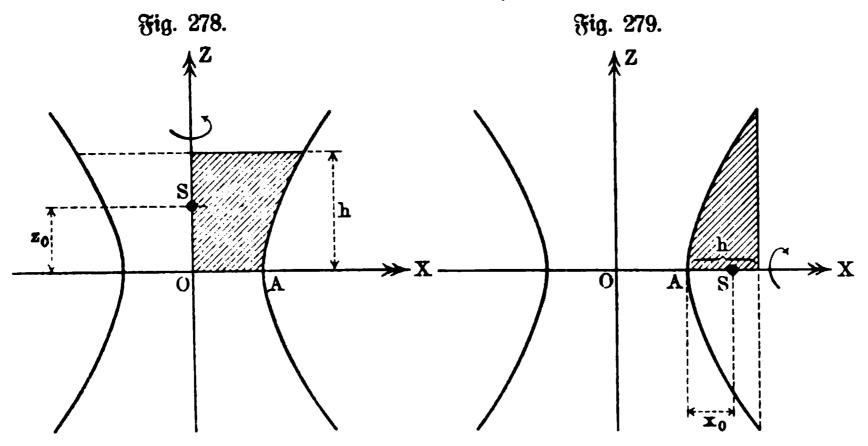
$$x \cdot ph^2\pi = \frac{2}{3}h^3p\pi$$

d. h. man hat

$$AS = x = \frac{2}{3}h.$$

16. Der Schwerpunkt des einschaligen Umdrehungshyperboloids. Ist die Gleichung der Hyperbel gegeben als $\frac{x^2}{a^2} - \frac{z^2}{b^2} = 1$, so hat ein Schnitt des Körpers in der Höhe z die Fläche $x^2\pi = a^2\pi + \frac{a^2}{b^2}z^2\pi$, so daß sich also die Mittelschnittsformel für Volumen und Moment anwenden läßt (Fig. 278). Statt dessen kann man beide Größen auch unmittelbar berechnen. Als Höhe des Schwerpunktes über der X Y=Ebene sindet man:

$$z_0 = \frac{3}{4}h \cdot \frac{2b^2 + h^2}{3b^2 + h^2}.$$



17. Der Schwerpunkt des zweischaligen Umdrehungshyperboloids. Ist die Sleichung der Hyperbel gegeben als $\frac{x^2}{a^2}-\frac{z^2}{b^2}=1$, so ist der Abstand des Schwerpunktes von A (Fig. 279) gegeben als

$$x_0 = \frac{h}{4} \cdot \frac{8a + 3h}{3a + h}.$$

Abungen zur Tehre vom Schwerpunkt.

- 1. Der Schwerpunkt des Umfanges eines homogenen Sechsecks (Stangen= 'sechsecks) ist zu bestimmen. Vergl. Anwendung Nr. 1.
- 2. Eine Strecke AB=l, welche in n gleiche Teile zerlegt ist, wird in den einzelnen Teilpunkten, von A auß gerechnet, mit Belastungen versehen, welche bezw. proportional sind zu $1.2.3, 2.3.4, 3.4.5, \ldots$ Woliegt der Schwerpunkt sür n als Anzahl und wo für $\lim n = \infty$?

$$AS = \frac{l}{n} \cdot \frac{4n+1}{5}$$
 geht für $\lim n = \infty$ über in $AS = \frac{4}{5}l$.

3. Der Schwerpunkt eines schweren Kreisbogens ist zu bestimmen, dessen zugehörige Sehne 15 m und dessen Halbmesser 12 m Länge hat.

Er ist 11,11m vom Mittelpunkte entfernt.

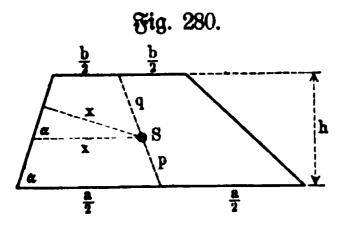
4. Wo liegt der Schwerpunkt eines schweren Bogens von demselben Halbmesser, dessen Mittelpunktswinkel 34°7' ist?

11,82 m vom Mittelpunkte entfernt.

- 5. Der Schwerpunkt des Korbbogens der Anwendung Nr. 3 ist zu bestimmen sür $P_2B=P_2C=R$ und $P_1A=P_1B=P_3C=P_3D=r$, ebenso die entstandene Obersläche.
- 6. Der Schwerpunkt der Kettenlinie ist graphostatisch zu bestimmen, falls der Bogen durch ein n=Cck ersetzt wird. Man vergl. die zeichnerisch gestundene Lösung mit der genauen Formel der Anwendung Nr. 4.
 - 7. Die Aufgabe Nr. 6 ist für die Cykloide durchzuführen.

Der Schwerpunkt eines Bogens hat von der Basis, auf welcher der Kreis vom Radius r rollt, den Abstand $\frac{4}{8}r$.

Desgl. für die Fläche, deren Schwerpunktsabstand $\frac{5}{6}r$ beträgt.



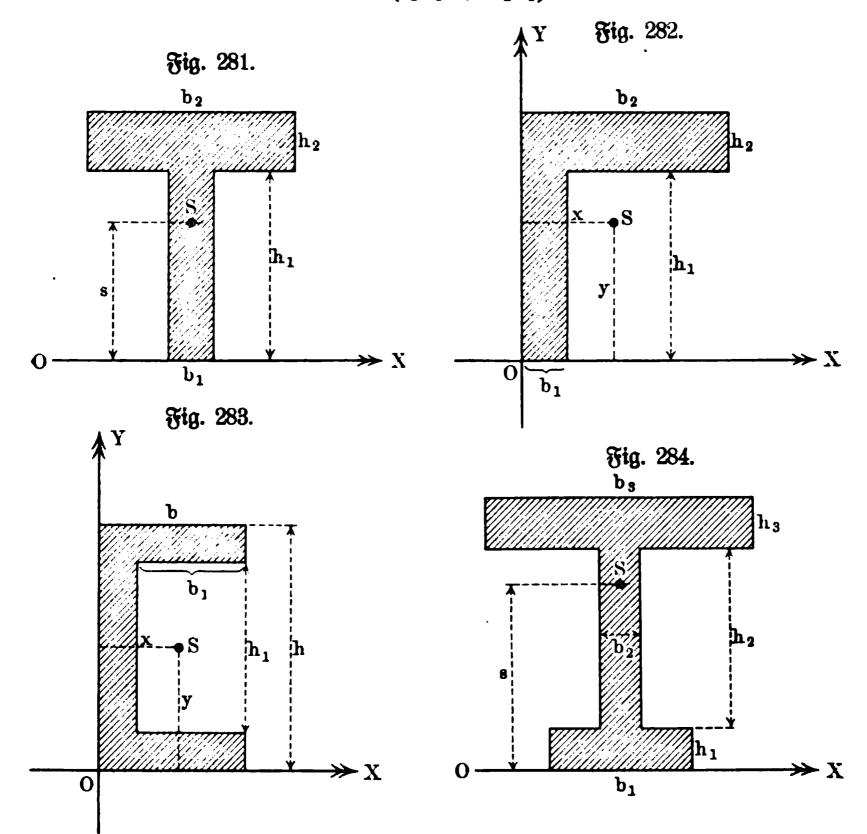
- 8. Der Schwerpunkt der Fläche eines homogenen Sechsecks ist gemäß Anwendung Nr. 6 und Nr. 7 zu bestimmen.
- 9. Bon einem Paralleltrapez (Fig. 280) sind die parallelen Seiten a und b, die Höhe h und ein Winkel α an der unteren Grundlinie gegeben. Es ist der senkrechte Abstand x des

Schwerpunktes S von derjenigen der nicht parallelen Seiten des Trapezes zu bestimmen, welche Schenkel des Winkels α ist. Man hat $x = x' \sin \alpha$, d. h.

$$x = \frac{1}{3} \frac{a^2 + ab + b^2}{a + b} \sin \alpha.$$

10. Der Schwerpunkt für den Querschnitt in Fig. 281 ist zu bestimmen.

$$s = \frac{b_1 h_1^2 + b_2 h_2 (2 h_1 + h_2)}{2 (b_1 h_1 + b_2 h_2)}.$$



11. Der Schwerpunkt für den Querschnitt in Fig. 282 ist zu bestimmen.

Da Fig. 282 aus Fig. 281 durch Verschiebung des Stieles (nach links) entstanden gedacht werden kann, bei welcher sich das Moment für die Grundslinie nicht ändert, so ist

Mußerdem ist
$$x = rac{b_1^{\,2}h_1 \, + \, b_2^{\,2}h_2}{2\,(b_1\,h_1 \, + \, b_2\,h_2)}.$$

12. Der Schwerpunkt für den Querschnitt in Fig. 288 (a. v. S.) ist zu bestimmen.

$$x = \frac{1}{2} \frac{(h - h_1)b^2 + h_1(b - b_1)^2}{(h - h_1)b + h_1(b - b_1)}, \quad y = \frac{h}{2}.$$

13. Der Schwerpunkt für den Querschnitt in Fig. 284 (a. v. S.) ist zu bestimmen.

$$s = \frac{b_1 h_1^2 + b_2 h_2 (2 h_1 + h_2) + b_3 h_3 (2 h_1 + 2 h_2 + h_3)}{2 (b_1 h_1 + b_2 h_2 + b_3 h_3)}.$$

14. Der Schwerpuntt für ben Querfchnitt in Rig. 285 ist zu bestimmen.

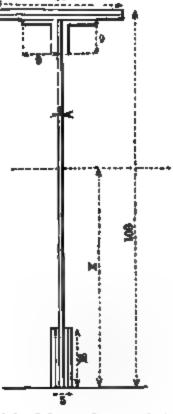
$$s = \frac{h_1^2(b_1 + 2b_1) + (2h_1 + h_2) \cdot 3b_3h_3}{3[h_1(b_1 + b_2) + 2b_3h_2]}.$$

15. Der Schwerpunkt eines Ringstückes vom Centriwinkel 2α und den Radien r_1 und r_2 ist zu bestimmen. Für den Abs ${\rm Fig.~286.}$ stand s vom Mittelpunkte gilt

$$z = \frac{2}{3} \frac{r_1^3 - r_2^3}{r_1^2 - r_2^2} \cdot \frac{\sin \alpha}{\arcsin \alpha}.$$

Für den Halbring $(2\,\alpha=180^\circ)$, dessen Umsdrehung eine Hohltugel erzeugt, ergiebt sich

$$z = \frac{4}{3\pi} \frac{r_1^3 - r_2^3}{r_1^3 - r_2^7},$$
Sig. 285.



b1 X

wie unmittelbar aus bem einen ber Pappus-Gulbinichen Gage folgt.

- 16, 17, 18. Graphoftatische Behandlung ber Rr. 12, 13, 14.
- 19. Rechtfertigung ber Landschen Konstruktion (vergl. S. 427) für das Trapez.
 - 20. Desgl. für bas Biered.

0

21. Der Schwerpunktsabstand x des in Fig. 286 gezeichneten T_{-} formigen Querschnittes von der unteren Kante ist zu berechnen, wenn die in der Figur eingeschriebenen Waße Centimeter bedeuten.

$$x = \frac{33.2.99 + 18.1.97,5 + 8.2.93 + 98.1.49 + 16.4.8}{33.2 + 18.1 + 8.2 + 98.1 + 16.4}$$
$$= \frac{15091}{262} = 57,6 \text{ cm.}$$

22. Der Schwerpunkt eines schweren Kreisausschnittes ist zu bestimmen, dessen Mittelpunktswinkel $_6^5\pi$ und dessen Halbmesser $6\,\mathrm{m}$ ist.

Der Abstand vom Mittelpunkte ist 2,951 m.

23. Das zwischen zwei parallelen Sehnen von der Länge 2a und 2b eines Kreises gelegene Stück sei schwer.

Wo liegt der Schwerpunkt, wenn der Halbmesser des Kreises gleich r gegeben ist?

Die Fläche ist gleich der Differenz zweier Kreisabschnitte $A_1 - A_2$. Der Schwerpunkt liegt auf der vom Mittelpunkte des Kreises auf die Sehnen gesfällten Normale, und sein Abstand x vom Mittelpunkte ist

$$z = \frac{2}{3} \frac{a^3 - b^3}{A_1 - A_2}.$$

24. Fällt man von dem Mittelpunkte des Kreises bei der letzten Bestimmung die angegebene Normale, so teilt dieselbe das vorige Flächenstück in zwei kongruente Teile.

Es ist der Schwerpunkt eines solchen schweren Teiles zu bestimmen.

Die Entfernung des Schwerpunktes vom Mittelpunkte stimmt mit dem in der vorigen Aufgabe gefundenen Werte x überein. Die Entfernung x desselben von der gefällten Normale aber ist, wenn A_1 , A_2 und r die in der vorigen Aufgabe angegebenen Bedeutungen haben, α und β aber die halben Centriwinkel der Sehnen bezeichnen,

$$x = \frac{1}{4}r^3 \frac{3(\cos\beta - \cos\alpha) + \cos\alpha^3 - \cos\beta^3}{\frac{1}{2}(A_1 - A_2)}.$$

25. Es sei der Schwerpunkt von dem Flächenstück zu bestimmen, das von zwei Tangenten (die von einem Punkte aus an einen Kreis gezogen sind) und dem dazu gehörigen Bogen begrenzt ist. Zu dem Ende ist der Halb= messer r des Kreises und der zugehörige Tentriwinkel 2α gegeben.

Die Entfernung x vom Mittelpunkte des Kreises ist

$$\frac{2}{8}r\frac{\sin\alpha^{3}}{\sin2\alpha-2\arccos\alpha^{2}}.$$

26. Der Schwerpunkt für die Fläche ABCD des in Fig. 265 dars gestellten Korbbogens ist zu bestimmen. Der Abstand x von AD folgt nach dem Momentensage als

$$x = \frac{4 + 28 \sin \alpha + \cos \alpha (\sin 2\alpha - 24 \operatorname{arc} \alpha)}{\pi + 6 \operatorname{arc} \alpha - \sin 2\alpha} \cdot \frac{r}{6}.$$

Für $\alpha = 30^{\circ}$ ist x = 0.242 r.

27. Der Schwerpunkt eines Kugelabschnittes ist zu bestimmen, der zu einer Kugel vom Halbmesser 4,2 cm gehört und sich durch den Mittelpunkts= winkel 15° 10' bestimmt.

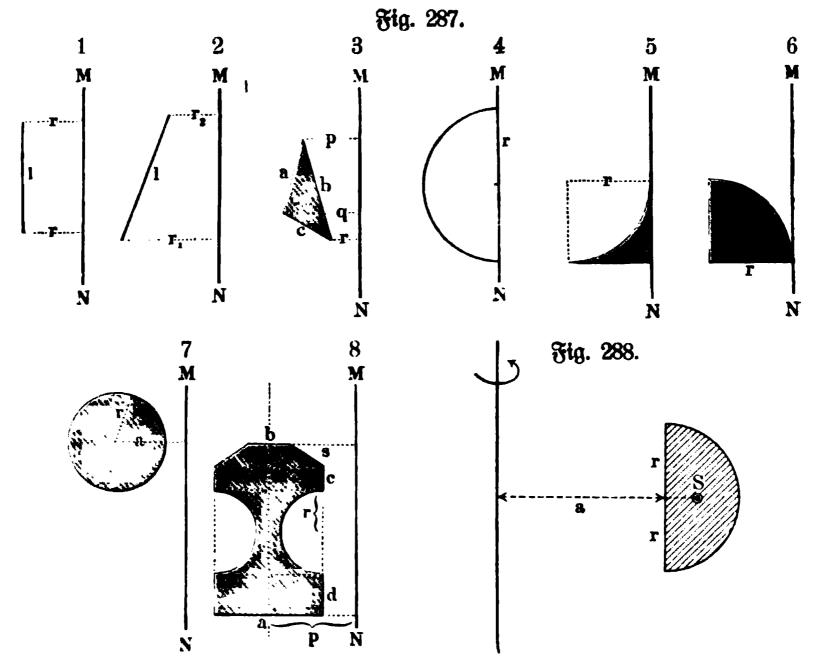
Er ist 4,175 cm vom Mittelpunkte entfernt.

28. Aus einer Halbkugel ist ein normaler Kegel mit kreisförmiger Basis herausgeschnitten worden, der mit der Halbkugel dieselbe Höhe hat, dessen Grundslächenhalbmesser aber gleich der Hälfte des Kugelhalbmessers ist.

Es ist der Schwerpunkt des ausgehöhlten Körpers zu bestimmen.

Die Entfernung von der unteren Grundebene ist

29. Für die nebenstehend gezeichneten Figuren (Fig. 287), bei denen MN eine seste Achse bezeichnet, sind aus den eingeschriebenen Maßen die In=



halte der Oberflächen F und der Bolumina V der Umdrehungskörper zu bestimmen, die bei einer vollständigen Umdrehung der Figuren um MN entstehen.

1.
$$F = 2 \pi r l$$
; $V = r^2 \pi l$,

2.
$$F = \pi l(r_1 + r_2); V = \frac{\pi}{3}(r_1^2 + r_1r_2 + r_2^2)\sqrt{l^2 - (r_1 - r_2)^2},$$

3.
$$F = \pi[a(p+q) + b(p+r) + c(q+r)];$$
 $V = \frac{2}{3}\pi f(p+q+r)$, wenn f den Inhalt des durch die Seiten a , b , c bestimmten Dreiecks bezeichnet,

4.
$$F = 4\pi r^3$$
; $V = \frac{4}{3}\pi r^3$,

5.
$$F = 1,14159 \pi r^2$$
; $V = 0,09587 \pi r^3$,

6.
$$F = 1{,}14159 \pi r^2$$
; $V = 0{,}90413 \pi r^3$,

7.
$$F = 4\pi^2 ar$$
; $V = 2\pi^2 ar^2$,

8.
$$F = 2\pi p(a + b + 2c + 2d + 2s + 2r\pi);$$

$$V = \pi p[a(2c + 2d + e + 4r) + be - 2r^2\pi].$$

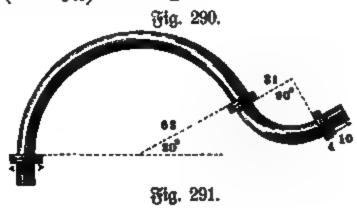
30. Für einen Ring von halbtreisförmigem Querschnitt (Fig. 288) ist Oberfläche und Inhalt zu bestimmen.

$$0 = \left(a + \frac{2r}{\pi}\right) 2\pi \cdot r\pi + a 2\pi \cdot 2r$$

$$V = \left(a + \frac{4r}{3\pi}\right) 2\pi \cdot \frac{1}{2}r^2\pi.$$

31. Eine Schraubenspindel, welche durch Bewegung einer Halbellipse von den Halbachsen a und b längs eines Cylinders vom Radius r entstanden ist, umfaßt 23/4 Umgänge. Welchen Inhalt hat der Schraubenkörper der Spindel, wenn die Achse 2a in den Cylindermantel fällt?

$$V = 2.75 \cdot \left(r + \frac{4b}{3\pi}\right) 2\pi \cdot \frac{ab\pi}{2}$$



- 32. Wie findet man die Schwerpunkte für beliebige elliptische Segmente? Bergl. S. 431.
- 33. Bur numerischen Berechnung ber Oberfläche und bes tubischen Ins haltes von dem nebengezeichneten Saulenfuße (Fig. 289) seien die eins geschriebenen Abmessungen in Centimetern gegeben.

 $r_1 = 1$; $r_2 = r_3 = 2$; $r_3 = 3$; a = 7; b = 6; c = 1; d = m = 1; e = 12; p = 4; q = 21; $\alpha = 45^{\circ}$.

$$F = 4249,11 \text{ qcm}$$

 $V = 12172,03 \text{ ebem}.$

34. Das in Fig. 290 gezeichnete Rohr aus Rupfer vom specifischen Gewicht 8,8 bestehend, hat eine Metallstärke von 6 mm und einen äußeren

Durchmesser von 8 cm. Wie schwer ist basselbe, wenn die Bahlen der Figur Centimeter bedeuten?

Rohrquerschnitt gleich 13,95 gcm; Flantschauerschnitt gleich 140,89 gcm; Inhalt ber brei Flantschen 3 . 140,39 . 4=1,685 cbdm; Inhalt ber beiben geraden Rohrenden gleich 13,95 . 10 . 2=0,279 cbdm; Inhalt bes großen Bogens 13,95 . 63 . $2\pi\frac{150}{360}$; Inhalt bes kleinen Bogens 13,95 . 31 . $2\pi\frac{90}{360}$;

beide Bogen haben zusammen den Inhalt 13,95 . $\pi\left(\frac{105}{2}+\frac{31}{2}\right)=2,980$ obdm. Der Inhalt der ganzen Rohrverbindung ist deshalb gleich 4,944 obdm und das

35. Es ist das Gewicht der aus Messing vom specifischen Gewicht 8,5 bestehenden Schraubenmutter (Fig. 291 a. v. S.) zu berechnen, wenn die in der Figur angegebenen Maße Centimeter bedeuten.

Inhalt bes vollen Körpers 1769,417 . n.

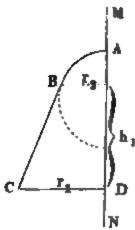
94

Gewicht desselben beträgt 4,944. 8,8 == 43,5 kg.

Inhalt des positiven Schraubengewindes $17 \cdot \frac{12^3\pi - 10^2\pi}{2 \cdot 4}$.

Inhalt der zu fubtrahierenden Höhlung $\frac{17}{2} \cdot \frac{12^3\pi + 10^3\pi}{4} = 518.5\pi$. Gewicht der Mutter 1,250917 . π . 8.5 = 83.4 kg.

36. Um die Linie MN (Fig. 292) als Drehachse werde die Figur Fig. 292. Fig. 293. ABCD gedreht, die das



ABCD gebreht, die das durch gebildet worden ist, daß man CB als Tangente sür den zu dem Bogen AB gehörigen Kreis konstruierte. Durch die Umdrehung entsteht ein normaler abgestumpsster Kegel, der auf seinen Kugelabschmitt trägt.

Es ist die Entsernung des Schwerpunktes der Figur ABCD von der Drehachse MN zu bestimmen, wenn $r_2 = \frac{1}{2} r_1$ und $h_1 = \frac{1}{2} r_1 \sqrt{3}$ ist. Es ist

$$\frac{\pi h_1}{3} \left(r_1^2 + r_1 r_2 + r_2^2 \right) + \frac{\pi}{6} h_2 \left(3 r_2^2 + h_2^2 \right)$$

$$= \left\{ \frac{r_1 + r_2}{2} h_1 + \frac{r^2}{4} \cdot \frac{2}{3} \pi - \frac{r^2}{4} \sin 120^0 \right\} 2 \pi x,$$

wobei ha die Hohe des Augelabschnittes und r den Radius der Augel bezeichnen. Hieraus ergiebt sich bei Benutzung der obigen Werte

$$\frac{\pi}{24} \cdot r_1^3 \frac{68}{9} \sqrt{3} = \frac{\pi}{9} \cdot r_1^2 x (6\sqrt{3} + \pi), \ b. \ b.$$

$$x = 0.8626 \, r_1.$$

37. Den Inhalt, sowie den Mantel des Ofenrohrkniestudes (Fig. 293) nach den angegebenen Maßen in Centimetern zu berechnen.

$$V = \frac{\pi}{4} 31^3 \frac{94 + 90}{2} \cdot 2 = 138,88 \text{ cbdm}$$
 $M = \pi \cdot 31 \frac{94 + 90}{2} \cdot 2 = 17920 \text{ qcm}.$

38. Wo liegt der Schwerpunkt des Mantels eines Regelstumpfes? Der Abstand s von der unteren Grundsläche ist gegeben als

$$z = \frac{h}{3} \cdot \frac{r + 2\varrho}{r + \varrho},$$

falls r der Radius der unteren und ϱ der Radius der oberen Grundsläche und h die Höhe ist.

39. Wo liegt der Schwerpunkt eines Pyramidenstumpses? Der Abstand s von der Endsläche U ist gegeben als

$$s = \frac{h}{4} \frac{v + 2\sqrt{vo} + 30}{v + \sqrt{vo} + 0},$$

falls O bie andere Enbfläche und h die Hohe bezeichnet.

40. Wo liegt der Schwerpunkt eines Oktanten eines Ellipsoids von den Halbachsen a, b, c? Ria. 294.

Nimmt man die Halbachsen als entsprechendes Kreuz, so ist

$$x_0 = \frac{3}{6}a$$
, $y_0 = \frac{3}{6}b$, $z_0 = \frac{3}{6}c$.

41. Wie find die Betrachtungen für Fig. 277, 278, 279 auf beliebige Segmente zu übertragen?

42. Welchen Inhalt hat der, durch Fig. 294 dargestellte Körper, falls AB = A'B' = s und $\angle BKN = \angle B'KN = \alpha$ gegeben ist?

$$V = \frac{\pi}{6} s^3 \cdot \cos \alpha.$$

V ist unabhängig vom Radius der Kugel.

43. Wo liegt der Schwerpunkt der Wassermasse, die das durch Fig. 295 dargestellte Gefäß fallt? Welches Volumen saßt es?

Einschließlich Oberfläche und Bobenfläche find fünf Schnitte gelegt behufs Anwendung der Simps sonschen Regel.

 $\Re \ln AM = r_0 = 1 \text{ m}, r_1 = 1.1 \text{ m}, r_2 = 0.9 \text{ m}, \\ r_3 = 0.7 \text{ m}, r_4 = 0.4 \text{ m} \text{ unb } MN = h = 2.5 \text{ m} \text{ ift}$

$$MS = 0.95 \,\mathrm{m}$$

Der Inhalt ift V == 6,27 ebm. Bernide, Rechanik. I. Fig. 295.

D

K

44. Ein mit Blei ausgefüllter Stein wiegt 150 kg und hat das speci= sische Gewicht 7,3. Das darin enthaltene Blei habe ein Gewicht von 100 kg und das specifische Gewicht 11,32. Welches specifische Gewicht hat die Stein= masse für sich allein?

4,26.

45. Ein Regel, der durch die Höhe h und den Halbmesser r der Grundebene gegeben ist, besteht aus zwei Teilen. Der untere Teil, ein absgestumpster Regel, habe das specifische Gewicht s_1 , der obere, d. i. der zusgehörige Ergänzungskegel, habe das specifische Gewicht s_2 . Es ist die Höhe eines jeden der beiden Körper zu berechnen, wenn sie gleiches Gewicht ershalten sollen.

Höhe des Kegels:

$$h \sqrt[3]{\frac{s_1}{s_1 + s_2}}$$
.

Höhe des Regelstumpfes:

$$h\left(1-\sqrt[3]{\frac{s_1}{s_1+s_2}}\right).$$

46. Wo liegt der Schwerpunkt eines Stabes von 2 cm Durchmesser, der aus drei verschiedenen Substanzen besteht, wenn die erste bei einem specissischen Gewichte von 1,825 eine Länge von 20 cm, die zweite bei einem specisischen Gewichte von 1,187 eine Länge von 62 cm und die dritte bei einem specisischen Gewichte von 7,788 eine Länge von 6 cm hat?

Der Abstand von dem Ende, an dem die erstgenannte Substanz sich befindet, beträgt 51,6 cm.

Drittes Rapitel.

Statik des starren Körpers.

Erste Abteilung.

Die Befestigungsreaktionen 1).

77. Die Bestimmung der Reaktionen bei statischen Konstruktionen. Die Körper, welche in den Konstruktionen der Technik verwendet werden, stehen entweder unmittelbar oder durch Vermittelung anderer Körper in materieller Verbindung mit der Erde und sind insosern unfrei, im Gegensatzu freien Körpern, d. h. zu solchen, deren Beweglichkeit nicht durch materielle Verbindungen mit anderen Körpern eingeschränkt ist.

Um die Einwirkung solcher Berbindungen beurteilen zu können, muß man versuchen, diese in jedem besonderen Falle durch Kräfte darzustellen.

Solche Darstellungen sind, dem ersten Lehrgange der Physik entsprechend, in den früheren Kapiteln bereits verwendet worden; die betreffenden Kräfte wurden als Reaktionen bezeichnet.

Nunmehr soll die Lehre von diesen Kräften aussührlicher behandelt werden, und zwar zunächst unter Beschränkung auf statische Konstruktionen, tionen, d. h. auf Konstruktionen, bei welchen sich die in Betracht kommenden starren Körper gegeneinander und schließlich gegen die Erde in Ruhe besinden bezw. nur solche einsache Bewegungen aussführen, bei welchen das in der Ruhe vorhandene Gleichgewicht der Kräste erhalten bleibt.

Hierbei kommt vor allem ein, dem Principe der Paarwirkung entsprechendes System von Gegenkräften in Frage, nämlich das Gewicht eines jeden Körpers und dessen an der Erde haftende Gegenkraft.

Da wir meift unsere Ausmerksamkeit zunächst auf das Gewicht eines Körpers richten und erst später dessen, an der Erde haftende Gegenkraft betrachten, so pslegt man diese als Reaktion (Rückwirkung) dem Gewichte als Aktion (Wirkung) entgegenzustellen. Vergl. S. 12 u. f.

Ist ein Körper, wie ihn die Technik verwendet, gegen die Erde in Ruhe, so heben sich, falls nicht noch andere Kräfte dabei in Frage kommen, das Gewicht des Körpers und die entsprechende Erdreaktion auf, und zwar

¹⁾ Das Wort "Befestigung" soll alle Arten der materiellen Verbindung zweier Körper umfassen, die starre Verbindung, die Unterstützung u. s. w.

erscheint letztere dabei bald als eine Kraft, bald als ein System von Komposnenten. Ersteres ist der Fall, wenn der Körper in einem Punkte seiner Schwerpunktsvertikalen aufgehangen oder unterstützt wird, letzteres tritt z. B. schon ein, wenn ein gewöhnlicher unbelasteter Balken an beiden Enden horisontal aufgelagert ist, da sich hier an jedem Ende eine Reaktion zeigt.

Die Angriffspunkte dieser Reaktionen oder ihrer Komponenten liegen stets in materiellen Punkten des Körpers, in welchen dieser mit anderen Körpern und dadurch mit der Erde in Berbindung steht.

Faßt man Körper und Erde und etwaige Zwischenkörper als ein System auf, so sind Gewicht und Erdreaktion innere Kräfte des Systems. Bergl. S. 13.

Wirken auf einen Körper in der Nähe der Erdoberfläche außer seinem Gewichte noch andere Kräfte, so kann der Körper gegen die Erde nur dann in Ruhe sein, wenn das System aller auf ihn einwirkenden Kräfte im Gleichgewichte ist, abgesehen von Kräften, welche, wie es z. B. bei der Ein-wirkung der Sonne der Fall ist, für das ganze, aus Körper und Erde und etwaigen Zwischenkörpern gebildete System nicht innere Kräfte sind.

Die Erfahrung scheint hier zunächst zu widersprechen, da z. B. eine Platte, die man in horizontaler Richtung mit der Hand an eine vertikale Wand drückt, gegen diese in Ruhe ist, obwohl die Resultante aus Druck und Gewicht nicht verschwindet.

Der Widerspruch löst sich, wenn man dem Principe der Paarwirkung entsprechend, jedem von dem Körper auf die Besestigung ausgeübten Zuge oder Drucke stets eine, von der Besestigung auf den Körper wirkende Gegenstraft zuordnet, und wenn man außerdem auch noch Kräfte einsührt, die innershalb der Berührungssläche zwischen Körper und Besestigung auftreten.

In dem oben angeführten Beispiele wird der Druck gegen die Wand unmittelbar durch einen horizontalen Gegendruck der Wand aufgehoben, das Gewicht der Platte unmittelbar durch eine Kraft innerhalb der Berührungs= fläche zwischen der Wand und der Platte.

Es ist zweckmäßig, die Kräfte, welche als Gegenkräfte des von dem Körper auf die Befestigung ausgeübten Zuges oder Druckes auftreten, von den Kräften, welche sich innerhalb der Berührungsslächen zeigen, zu unterscheiden, weil man in vielen Fällen bei Vernachlässigung letzterer doch zu einer brauchbaren Darstellung der Erscheinungen gelangt.

Kräfte der ersten Art, denen man auch die Erdreaktion zuzählen kann, mögen Besestigungsreaktionen (Verbindungsreaktionen) heißen, Kräfte der zweiten Art werden Reibungen (Reibungsreaktionen) oder auch Tangential=reaktionen genannt.

Auch die Reibungen unterliegen dem Principe der Paarwirkung; es tritt stets eine Kraft an der Besestigung und eine Kraft an dem Körper auf, und zwar so, daß beide Kräfte, von denen jede als eine Reaktion der anderen bezeichnet werden kann, Gegenkräfte sind.

Beschränken wir die Betrachtung ein für allemal auf Kräste, welche für das aus Erde und Körpern und etwaigen Zwischenkörpern gebildete System innere Kräste sind, so gewinnen wir demgemäß die Regel: Soll ein starrer

Körper gegen die Erde in Ruhe sein, so muß das System der ihn angreifenden Kräfte, einschließlich der Befestigungsreaktionen und der Reibungen, im Gleichgewichte sein.

Damit ist eine notwendige Bedingung ausgesprochen, sie ist aber nicht hinreichend. Bei dem Gleichgewichte seiner Kräfte kann der Körper in Ruhe sein, er kann sich aber auch in gleichförmiger Verschiebung mit geradliniger Führung befinden; man darf nur behaupten, daß der Körper bei dem Gleichgewichte seiner Kräfte in Ruhe bleibt, wenn er einmal in Ruhe ist.

Demgemäß gilt also: Solange das System der auf einen starren, in der Rähe der Erdoberfläche befindlichen Körper wirkenden Kräfte, einschließlich der Besestigungsreaktionen und der Reibungen, im Gleichgewichte ist, so lange besindet sich der Körper gegen die Erde in Ruhe, vorausgesetzt, daß er gegen sie für ein Zeitelement in Ruhe war.

Entsprechendes gilt für jeden Körper eines Systems von starren Körpern.

Bon einem Körper, der unter dem Einflusse von Kräften ruht, sagt man, er besinde sich im Gleichgewicht; gelegentlich dehnt man diese Aussbrucksweise auch aus auf einen Körper, der sich unter dem Einflusse von Kräften in gleichsörmiger Verschiedung mit geradliniger Führung besindet, weil in beiden Fällen das System der Kräfte im Gleichgewichte ist. Man kann noch einen Schritt weiter gehen, und auch bei gleichsörmiger Drehung um eine freie Achse und bei einer entsprechenden Schraubung vom Gleichgewichte der betressenden Körper sprechen, da die inneren Kräfte, welche bei Drehungen austreten, sür starre Körper nicht in Frage kommen und für Körper der Außenwelt bei relativ geringen Geschwindigkeiten vernachlässigt werden dürfen.

Im folgenden sollen die Reibungen zunächst vernachlässigt werden, so daß es sich lediglich um die Befestigungsreaktionen handelt. Wan bestimmt diese Reaktionen, welche die Verdindung eines Körpers mit anderen Körpern als Kräfte darstellen, gemäß der gegebenen Entwickelung, indem man sie als unbekannte Kräfte ansieht und für das System aus diesen unbekannten Kräften und aus den ursprünglich gegebenen Kräften die Bedingungen des Gleichgewichtes (vergl. S. 339) aufstellt.

78. Die Reaktionen für einen starren Körper, von dem ein Punkt mit der Erde starr verbunden ist, und die entsprechenden Arten des Gleichsgewichtes. Unter den Berbindungen zwischen einem starren Körper und der als starr vorausgesetzten Erde ist die starre Besestigung in einem Punkte A, wie sie durch ein Kugelgelenk veranschaulicht werden kann, in theoretischer Hinsicht die einsachste. Handelt es sich nur um das Gewicht [G] des Körpers, so hat die Besestigung nur das senkrecht abwärts wirkende Gewicht des Körpers auszuheben, so daß also sür den ruhenden Körper die in A ansgreisende Reaktion [R] die Gegenkraft von [G] ist. Dabei liegt der Schwerspunkt S des Körpers auf der Vertikalen durch A.

Bei einem Kugelgelenkt bieten die verschiedenen relativen Lagen von A und S auf der Bertikalen durch A noch zu einer wichtigen Bemerkung Beranlassung.

- 1. Liegt S unter A, so kehrt der Körper in seine Gleichgewichtslage zurück, wenn er durch kleine Anstöße aus ihr entfernt wird.
- 2. Liegt S in A, so bleibt der Körper in jeder Stellung in Ruhe, die er unter der Einwirkung kleiner Anstöße annimmt.
- 3. Liegt S über A, so tritt unter dem Einflusse kleiner Anstöße keine Rücklehr in die ursprüngliche Lage ein, der Körper kommt vielmehr in der unter 1. bezeichneten Lage zur Ruhe.

Man bezeichnet den Zustand der Körper in Lage 1 als stabiles (sicheres), in Lage 2 als indifferentes (unbestimmtes) und in Lage 3 als labiles (unsicheres) Gleichgewicht.

Bei den verschiedenen Schwenkungen des Körpers um A liegt der Schwerpunkt in Lage 1 möglichst tief und in Lage 3 möglichst hoch, während er in Lage 2 unbeweglich ist.

Die Sicherheit bezw. Unsicherheit des Gleichgewichtes entspricht der Ersfahrung, daß ein schwerer Körper zwar von selbst fallen, aber nicht von selbst steigen kann.

Das Gewicht des Körpers [G] stellt bei noch so kleinen endlichen Berzuckungen aus der Lage 1 den alten Zustand wieder her und sührt bei noch so kleinen endlichen Berrückungen aus Lage 3 zur Lage 1, während es für Lage 2 nicht in Frage kommt 1).

Betrachtet man die Arbeit des Gewichtes [G], welche stets einer Sen= kung des Körpers entspricht, so ist diese in Lage 1 ein Maximum und in Lage 3 ein Minimum, während sie für Verrückungen aus Lage 2 einen konstanten Wert hat.

[G] leistet bei Verrückungen aus der Lage 1 negative und bei Verstückungen aus der Lage 2 keine Arbeit von [G] anzusetzen ist. Da der Angrisspunkt von [R] sestliegt, so leistet [R] in allen Fällen keine Arbeit und man kann daher auch sagen: Das System der vorhandenen Kräfte leistet bei noch so kleinen endlichen Verrückungen aus der Lage des sicheren Gleichsgewichtes negative und bei noch so kleinen endlichen Verrückungen aus der Lage des unsicheren Gleichzensches des für Verrückungen aus einer Lage des unbestimmten Gleichgewichtes keine Arbeit leistet.

¹⁾ Für unendlich=kleine Berrückungen, die man in erster Annäherung bestrachtet, wird in allen drei Fällen keine Arbeit geleistet, da die Bahn der Berstückung zunächst auf der Richtung der Kraft senkrecht steht; in zweiter Annäherung zeigen die Berrückungen schon den oben bezeichneten Unterschied.

^{*)} Diese Regel ist einer großen Berallgemeinerung fähig, die sich folgenders maßen ergiebt. Es wird später gezeigt, daß die Gleichung $E-E_0=$ A, welche auf S. 252 für Verschiebungen starrer Körper abgeleitet wurde, eine weitere Gültigsteit hat und unter anderem überhaupt für Bewegungen starrer Körper gilt. Wird einem starren Körper, der sich in Auhe befindet, durch Anstöße eine sehr kleine Energie E_0 mitgeteilt, so gilt für die Energie E nach Ablauf einer gewissen Zeit $E-E_0=$ A, wobei A die Arbeit bezeichnet, welche die äußeren Kräfte inzwischen geleistet haben. Ist die Kuhelage des Körpers dadurch charakterisiert, daß A für noch so kleine endliche Verrückungen aus ihr stets negativ ist, so muß $E-E_0$

Hat der Punkt A die Höhe k über der Erdoberfläche, während AS = p ist, so ist das Potential (vergl. S. 252) in Bezug auf die Erdoberfläche für den Körper in den Stellungen 1 und 3 gegeben als G(h-p) und G(h+p). Bei allen Berrückungen aus Lage 1 wächst es, bei allen Berrückungen aus Lage 3 nimmt es ab, bei allen Berrückungen aus Lage 2 bleibt es konstant (Niveaussläche).

Weitere Beispiele, welche die Besestigung in einem Punkte einigermaßen veranschaulichen, sind die Aushängung eines Körpers an einem Seile (Faden) und die Unterstützung eines Körpers durch eine ebene oder krumme Fläche, falls dabei die Berührung angenähert als Berührung in einem Punkte aufgesaßt werden kann. Als Beispiel sür den letzten Fall diene die in Fig. 296 dargestellte Unterstützung, bei welcher der Körper aus einer Halblugel mit Kegelaussah besteht. Auch hier lätzt sich der oben bestimmte Unterschied der

Arten des Gleichgewichtes wieder feststellen. Fällt der Schwerpunkt S des ganzen Körpers in den Mittelpunkt M der Haldtugel, so werden kleine Anstöße, bei denen etwa A' oder A" an die Stelle von A tritt, die Höhenlage von S nicht ändern, so daß wieder die Arbeit, welche der Lage des Körpers in Bezug auf die Erdsobersläche entspricht, sür die verschiedenen Stellungen einen konstanten Wert hat (unsbestimmtes Gleichgewicht). Fällt S auf MA z. B. in den Punkt U, so sind A'U oder A"U größer als AU, so daß die Verrückungen aus der durch AU bezeichneten Stellung des Körpers negativer Arbeit von [G] (sicheres Gleichgewicht) entsprechen.

Hig. 296.

Fällt S auf die Berlängerung von AM, z. B. in den Punkt O, so sind A'O oder A''O kleiner als AO, so daß die Berrückungen aus der durch AO bezeichneten Stellung des Körpers positiver Arbeit von [G] (unsicheres Gleichgewicht) entsprechen.

Soll der Schwerpunkt des ganzen Körpers nach M fallen, so müssen die Wassenmomente von Halbkugel und Regel in Bezug auf die Begrenzungsebene durch M einander gleich sein, d. h. man hat für homogene Massen $h^2 = 3r^2$ oder s = 2r, d. h. der Hauptschnitt des Regels ist ein gleichseitiges Dreied.

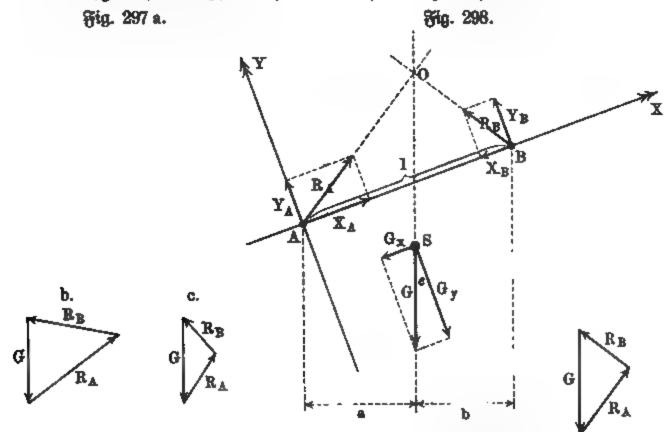
Cylindrische oder konische Körperchen aus Hollundermark, in welche eine halbkugelförmig begrenzte Zwecke (Pinne) eingeführt ist, veranschaulichen ähne liche Verhältnisse (Stehausmännchen, Wippermännchen).

Handelt es sich um ein beliebiges System von Kräften, welches den in A besestigten Körper angreift, so behandelt man dieses so, daß die etwa vors handene Resultante [R] durch A geht. Die Reaktion von A ist dann die

negativ ober $E < E_s$ sein, d. h. die Energie bleibt unter der Grenze E_s und das Gleichgewicht ist sicher. Für unser Beispiel ist das Potenzial in der Ruhelage des sicheren Gleichgewichts ein Minimum, in der Lage des unsicheren Gleichgewichts ein Maximum.

Gegenkraft von [R]. Soll der Körper in Ruhe sein, so muß also das etwa vorhandene Moment der Kräfte verschwinden. Für die Unterscheidung der Arten des Gleichgewichtes gilt auch hier, daß die Arbeit der vorhandenen Kräfte 1) bei Verrückungen aus der Lage des unbestimmten Gleichgewichtes den Wert Rull hat, während sie für noch so kleiche werückungen 2) aus den Lagen des sicheren oder unsicheren Gleichgewichtes bezw. negative oder positive Werte erhält.

79. Die Reaktionen für einen ftarren Rörper, von dem zwei Bunkte mit der Erde ftare verbnuden find, und die entsprechenden Arten bes Gleichgewichtes. Ift ein starrer Körper in zwei Bunkten, A und B, in



starrer Berbindung mit der Erde, so gilt dies zugleich für die Gerade AB, so daß man diesen Fall durch Körper an drehbaren Achsen veranschauslichen kann.

Handelt es sich nur um das Gewicht [G] des Körpers, so muß der Schwerpunkt S mit den Punkten A und B in eine Ebene fallen, welche natürlich vertikal ist, da [G] und die Reaktionen in A und B bei Gleichgewicht dem Saze von den drei Krästen (vergl. S. 330) unterliegen. Stellt Fig. 297 diese Bertikalebene dar, so müssen sich die Reaktionen von A und B auf der Bertikalen von S schneiden. Jedem solchen Schnittpunkte O oder O' entsspricht ein Krästedreieck sür die Reaktionen $[R_A]$ und $[R_B]$ von A und B, wie es Fig. 297 b sür O und Fig. 297 o sür O' darstellt. Die Aufgabe hat also unendlichsviele Lösungen, ist also unbestimmt.

Eine weitere Untersuchung zeigt, daß sich diese Unsicherheit nur auf die Komponenten von $[R_A]$ und $[R_B]$ erstreckt, welche innerhalb der Geraden

¹⁾ Man ftellt fie burch bas "Birial" bar.

^{*)} Bergl. die Anmertung auf S. 470.

AB liegen, während die Komponenten sentrecht zu dieser Geraden wohl bestimmt sind. Zerlegt man nämlich die Reaktionen für irgend eine Lage von O nach AB und sentrecht dazu, wie es Fig. 298 zeigt, so giebt der Mosmentensat sür A als Drehpunkt

$$-l \cdot Y_B + a \cdot G = 0$$
, b. f. $Y_B = \frac{a}{l} \cdot G$,

und für B als Drehpunkt

$$+ l \cdot Y_A - b \cdot G = 0$$
, b. h. $Y_A = \frac{b}{l} \cdot G$.

Berlegt man noch G in G_x und G_y , so ist

$$Y_A + Y_B = G_y = \frac{a+b}{l} \cdot G = G \cdot \cos \varepsilon$$

unb

$$X_A - X_B = G_x = G$$
. sin ε .

Demnach sind die Komponenten der Reaktionen, senkrecht zu AB, vollsständig bestimmt, sür ihre Komponenten innerhalb AB ist aber nur die algebraische Summe durch G_x bestimmt, nicht aber die einzelnen Werte.

Man sagt von diesen Komponenten, sie seien "statisch unbestimmt", aber diese Ausdruckweise ist irreleitend. Solange man den Körper als

starr auffaßt, im Gegensaße zu den thatsächlichen Berhältnissen der Außenwelt, ist die Aufgabe unbestimmt, sie wird bestimmt, wenn man auf die stets vorhandenen Formänderungen Rücksicht nimmt. Der Umstand, daß man zu ihrer Lösung nicht mit den einsachen Formeln der Statik starrer Körper auskommt, sondern dazu auch der Elasticitätslehre bedarf, hat zu obiger Ausdrucksweise geführt, weil man die Statik ställschweigend auf die Statik starrer Körper einschränkte.

Die Unbestimmtheit der Aufgabe verschwindet sofort, wenn man für eine der Reaktionen die Richtung kennt. Dies tritt z. B. ein, wenn man A oder

Fig. 299.

RB

GRB

GRB

B als Punkte einer bekannten Unterstützungsfläche aufsassen darf, deren Kormale die Richtung der Reaktion bestimmt. Einen solchen Fall stellt Fig. 299 dar; hier ist die Reaktionsrichtung für A und damit der Schnittpunkt O mit [G] und damit OB gegeben, so daß nun das Kräftedreieck $[R_A]$ und $[R_B]$ eindeutig liefert.

Entsprechendes gilt für horizontal gelagerte Balken, wie schon früher behandelte Aufgaben zeigen.

Über die Arten des Gleichgewichts ist in diesem Falle dasselbe zu bemerken, wie im Falle der vorigen Paragraphen. Faßt man Fig. 296 als Normalschnitt eines Halbenslinders mit aufgesetztem dreiseitigen Prisma

auf, so gelten die früheren Betrachtungen weiter, ebenso gelten sie für einen an einer Achse befindlichen Körper.

Wird der Körper, der in A und B befestigt ist, von einem System von Krästen angegriffen, so behandelt man dieses System so, daß die etwa vorshandene Resultante [R] in A angreist und AB eine der Achsen, etwa die Z Achse, wird. Die Besestigung muß dann [R] sowie $[M_x]$ und $[M_y]$ zersstören, während sür das Gleichgewicht serner ersorderlich ist, daß $[M_x] \stackrel{.}{=} 0$ ist. Giebt man $[M_x]$ und $[M_y]$ den Arm AB = l und zerlegt man [R] nach AB und sentrecht dazu, so sind die Kräste, welche auf Punkt A und B wirken, sentrecht zu AB wieder eindeutig bestimmt, die Kräste dagegen, welche auf A und B innerhalb AB wirken, werden nur in ihrer Gesamtheit durch die Komponente von [R] dargestellt, welche in die Gerade AB sällt.

Die gesuchten Reaktionen von A und B sind dann die Gegenkräfte der betrachteten Kräfte.

Haben die Kräfte des Systems keine Komponente in der Richtung AB, so kommt natürlich auch keine Reaktion innerhalb der Geraden AB zur Gelztung; in diesem Falle verschwindet die Unbestimmtheit.

Die Unbestimmtheit verschwindet serner, wenn in einem der Punkte A und B die Richtung der Reaktion gegeben ist, doch ist die Wahl dieser Richstung stets auf eine Ebene beschränkt, welche durch die stets bestimmbare Komponente, senkrecht zu AB und durch AB selbst gegeben wird. Wit dieser Betrachtung stimmt auch die folgende Überlegung überein; es handelt sich um die Bestimmung von sechs Unbekannten (je drei Komponenten der beiden Reaktionen) durch die sechs Bedingungen des Gleichgewichtes, von denen eine $(M_z = 0)$ für diesen Zweck sortsällt, so daß noch eine weitere Angabe (Winkel innerhalb einer bestimmten Ebene) nötig ist.

In Bezug auf die Arten des Gleichgewichtes gelten die früheren Bemerkungen.

Verwandt mit der behandelten Aufgabe ist die Besestigung an einer Achse, welche in ihrer Richtung gleiten kann.

In diesem Falle muß für Gleichgewicht noch immer $[M_s] \stackrel{\sim}{=} 0$ sein, außerdem aber muß die Summe der Kräfte in AB, deren Verteilung auf A und B unbestimmt blieb, verschwinden.

80. Die Reaktionen für einen starren Körper, von dem mindestens drei nicht in einer Geraden liegende Punkte mit der Erde starr versbunden sind, und die entsprechenden Kippachsen (Stabilitätsmoment und Stabilitätsarbeit). Ist ein starrer Körper in drei, nicht in einer Geraden liegenden Punkten A, B, C mit der Erde starr verbunden, so ist die durch diese Punkte bestimmte Ebene des Körpers und damit der ganze Körper mit der Erde starr verbunden.

Die Reaktionen von A, B, C sind hiernach in höherem Maße unbestimmt als die Reaktion von A und B im vorigen Falle.

Berlegt man die Reaktionen in A, B, C in Komponenten, senkrecht zur Ebene ABC, und in Komponenten, welche in die Ebene fallen, so erstreckt sich die Unbestimmtheit nur auf die letzteren. Nimmt man nämlich AB als

Fig. 300.

A

C'

 \mathbf{D}

B

Drehungsachse für die Bildung des Kraftmomentes, so tritt von den Resaktionen in dieses nur die, zur Ebene senkrechte Komponente von $[R_c]$ ein, womit diese bestimmt ist, u. s. w.

Die Unbestimmtheit verschwindet hier für einen der Punkte A, B, C ganz, wenn die Richtung der Reaktion für diesen gegeben ist, weil deren stets bestimmbare Komponente, senkrecht zur Sbene ABC, und jene Richtung zusammen eine vollständige Bestimmung ermöglichen.

Solches ist z. B. der Fall, wenn man den betreffenden Punkt als Punkt in einer Unterstützungfläche ansehen kann, deren Normale die Richtung der Reaktion bestimmt.

Ist die Unbestimmtheit für einen der Punkte A, B, C ganz verschwunden, so bleibt für die beiden anderen Punkte die Unbestimmtheit des im vorigen Paragraphen behandelten Falles übrig. Demnach ist die Bestimmung

der Reaktionen bei drei sesten Punkten A, B, C völlig bestimmt, wenn man in zweien von ihnen die Richtungen der Reaktionen kennt, wobei die erste Richtung völlig willkürlich, die zweite aber nur innerhalb einer bestimmten Ebene willkürlich ist. Die Angabe dieser Richtungen entspricht drei Messungen, so daß mit den sechs Bedingungen sür das Gleichgewicht hier neun Gleichungen gegeben sind, um die neun Unbekannten (je drei Komposnenten der drei Reaktionen) zu bestimmen.

Übersteigt die Anzahl der Punkte, in denen der starre Körper mit der Erde starr verbunden ist, die Anzahl drei, so nimmt die Unbestimmtheit in der Verteilung der Reaktionen entsprechend zu.

Schon im Falle von drei solchen Punkten A, B, C spielt ein Stück der Ebene, welche durch diese Punkte bestimmt wird, für die Untersuchung des

Gleichgewichtes eine hervorragende Rolle. Dies tritt ein, wenn das System der gegebenen Kräfte eine Resultante hat, sentrecht zur Ebene ABC, so daß auch die Reaktionen von A, B, C sentrecht zur Ebene ABC liegen. In diesem Falle ist eine Besestigung in den drei Punkten, parallel zur Ebene ABC, überflüssig.

Sind die Reaktionen in A, B, C gleichgerichtet, so haben die Punkte A, B, C außerdem nur nach einer Seite der Ebene hin Widerstand zu leisten. Diesen Fall stellt z. B. angenähert ein beliebig belasteter dreibeiniger Tisch dar, der auf einer horizontalen Ebene steht, voraußgesett, daß die Prosiektion S' des Schwerpunktes S des Tisches nehst seiner Belastung innerhalb der an den Fußpunkten gebildeten Dreieckssläche ABC liegt. Nimmt man AB als Drehungsachse, so wirkt das Gewicht G des Tisches nehst seiner Belastung an einem Arme S'D, während die Reaktion $[R_C]$ am Arme CC' zur Geltung kommt. Die entsprechende Gleichung (vergl. Fig. 300)

$$+ G \cdot \overline{S'D} - R_C \cdot \overline{CC'} = 0$$

zeigt nun, daß R_{σ} proportional zu S'D ist und demnach abnimmt, wenn die Belastung des Tisches so verschoben wird, daß sich S'D verkleinert. Liegt der Schwerpunkt S des Tisches nebst seiner Belastung gerade über einem Punkte von AB, so ist S'D = 0 und demnach auch $R_{\sigma} = 0$. Rückt der Schwerpunkt S über AB hinaus, so ist die Gleichung

$$-G \cdot \overline{S''D} - R_G \cdot \overline{CC'} = 0.$$

nur zu erfüllen, wenn $R_{\mathcal{O}}$ seine Richtung andert, was nur möglich ist, wenn das Bein des Tisches über \mathcal{C} im Fußboden verschraubt oder sonst besestigt ist. Ist das nicht der Fall, so kippt der Tisch um AB als Kippachse, sobald die Projektion von S die Gerade AB von innen nach außen zu überschreitet. Entsprechendes gilt für die Geraden $A\mathcal{C}$ und CB.

Deshalb nennt man die Fläche ABC, innerhalb welcher die Projektion des Schwerpunktes S liegen muß, die Unterstützungsfläche des Tisches, und es ist offenbar für diese Betrachtung ganz gleichgültig, ob die Unterstützung nur in den Punkten A, B, C vorhanden ist oder in der ganzen Fläche ABC.

Wären zwei Beine des Tisches, entsprechend A und B, etwa durch Hülsen auf einer drehbaren Achse AB befestigt, während das dritte Bein,

Fig. 901.

entsprechend C, auf einer Stütze ruhte, so würden beim Fortfall dieser Stütze für den Tisch zwei Gleichsgewichtslagen möglich sein, eine unsichere, bei welcher S über der Kippachse AB steht, und eine sichere, bei welcher S unter der Kippachse AB liegt. Die Untersstützung in A, B, C stellt also, falls die Projektion von S in die Fläche ABC sällt, eine sichere Gleichs

gewichtslage für die Achse AB dar, bedingt durch die Unterstützung in C. Entsprechendes gilt für die Geraden BC und AC.

Wan nennt infolgedessen das Noment $+G \cdot S'D$, welches den Körper für die Ab in die, durch die Unterstützung C bedingte, sichere (stabile) Gleichgewichtslage bringt, das Stabilitätsmoment für AB.

Findet die Unterstützung eines schweren Gegenstandes auf einer Horis zontalebene in mehr als drei Punkten statt, so tritt an die Stelle des des trachteten Dreiecks ABC eine andere Unterstützungsfläche, falls nicht die in Frage kommenden Punkte alle innerhalb der betrachteten Dreieckssläche liegen.

Um die Unterstützungsfläche für eine beliebige Menge (auch unendlichs große) von Stützpunkten zu erhalten, zerlegt man zunächst durch die Versbindungsgerade zweier Stützpunkte A und B die Horizontalebene so, daß deren eine Hälfte keinen der Stützpunkte enthält. Liegt diese Hälfte kinker Hand, falls man sich auf der Sbene stehend und in die Richtung AB sehend denkt, so hat man nun serner AB um B so zu drehen, daß linker Hand keine Stützpunkte auftreten und zwar so lange, dis die Serade wieder einen Stützpunkt C trifft. Weiter hat man die Gerade in derselben Weise um C zu drehen, dis sie wieder einen Stützpunkt D trifft u. s. f., dis man zu A zurück gelangt. Der von der Geraden bei ihrer Bewegung abgegrenzte Teil der Ebene ist die Unterstützungsfläche. Bilden die Stützpunkte die Ecken eines konvezen Bielecks, so ist dessen Kläche die Unterstützungsfläche; sie bleibt dies,

wenn im Innern des Bielecks beliebig-viele Stützpunkte dazu kommen, auch wenn die ganze Fläche mit folchen angefüllt ist.

Füllen die Stützpunkte eine geschlossen Linie, die durch einen Grenzübergang aus einem konveren Bieleck hergestellt werden kann, so gilt Entsprechendes.

Füllen die Stütpunkte aber 3. B. die in Fig. 301 einsach schraffierte Fläche, so müssen die doppelt schraffierten Teile hinzugenommen werden, um die Unterstützungssläche zu bilden.

Jebe Lage ber oben betrachteten Geraden, durch welche die Unterstützungsfläche erzeugt wird, kann zur Kippachse werden, so daß in Bezug auf jede derselben das Stabilitätsmoment bestimmt werden kann.

ĸ

Für das zunächst betrachtete Dreieck sind also nicht nur AB, BC, CA Kippachsen, sondern jede Gerade durch A, B, C, welche die Dreieckssläche nicht schneidet; für eine Unterstützungssläche, welche durch eine konveze Kurve begrenzt wird, ist jede Tangente dieser Kurve Kippachse.

Fig. 302 a.

Fig. 802 b.

Rippachsen können unter sehr verschiedenen Umständen austreten. Liegt z. B. ein Prisma, wie Fig. 302 andeutet, auf einer schiesen Ebene, gestützt durch eine horizontale Leiste L oder durch entsprechende Stiste, so hängt die Frage der Stadilität in Bezug auf die durch
L gegebene Kippachse vor allem von dem Neisgug Bungswinkel auch

Fällt S in die Bertikale von L, so tritt unsicheres Gleichgewicht ein, und die geringste Bergrößerung von α sührt zum Kippen.

Das Stabilitätsmoment ift hier $+G \cdot \overline{S'L}$, oder, da $S'L = ML - MS' = \frac{a}{2}\cos\alpha - \frac{b}{2}\overline{\sin\alpha}$ ift, auch $+\frac{G}{2}(a\cos\alpha - b\sin\alpha)$.

4-4-4

Es wird Null für $tg\alpha=rac{a}{b}$, so daß für $tg\alpha>rac{a}{b}$ Rippen eintritt.

Die Stabilität ist nicht immer allein durch das Gewicht des Körpers bedingt. Allgemein verstehen wir bei einem beliebigen System von Kräften unter dem Stabilitätsmoment in Bezug auf eine Kippachse AB das Moment der Kräfte, welche das Kippen um die Achse AB verhindern.

Da der Schwerpunkt in der unsicheren Gleichgewichtslage, welche dem Kippen vorangeht, für die behandelten Beispiele möglichst hoch liegt, so ist die Arbeit, welche nötig ist, um den Körper in diese Lage zu bringen, von bessonderer Bedeutung, man nennt sie Stabilitätsarbeit (auch Arbeitsstabilität oder dynamische Stabilität), sie könnte auch Kipparbeit genannt werden.

Für einen Block, der ein Rechtkant bildet, ist (vergl. Fig. 303 a. v. S.) das Stabilitätsmoment in Bezug auf die durch L gehende Kante $G \cdot \frac{a}{2} \cdot$ Dagegen entspricht die Kipparbeit dem Heben des Schwerpunktes aus der Stellung mit der Höhe $\frac{b}{2}$ in eine Stellung mit der Höhe LS über der Erde oberfläche, d. h. einer Hebung um $LS - \frac{b}{2} = \frac{1}{2} (\sqrt{a^2 + b^2} - b)$. Man hat also

$$\mathfrak{A}=\frac{G}{2}(\sqrt{a^2+b^2}-b).$$

81. Die Befestigungen bei technischen Konstruktionen. Die Thatsache der sogenannten "statischen Unbestimmtheit" von Besestigungsreaktionen zeigt an, daß die Voraussetzung starrer Körper für die Behandlung befestigter Körper, wie sie die Technik verwendet, nicht ausreicht, daß man vielmehr auch auf die Formänderungen der Körper der Außenwelt Rücksicht nehmen muß. Außerdem ist zu bemerken, daß die Befestigung in einzelnen Punkten, welche behandelt wurde, auch nur ein Bild ist, welches auf die thatsächlich vor= handenen Befestigungen nur angenähert paßt. Schon die Besestigung in einem Punkte, wie sie durch ein Kugelgelenk veranschaulicht werden kann, ist thatsächlich eine Befestigung, bei welcher zwei konzentrische Augelflächen auf= einander gleiten können. Ebenso ist die Befestigung in zwei Punkten, wie sie durch eine drehbare Achse veranschaulicht wird, thatfächlich eine Befestigung, bei welcher zwei koaziale Cylinderflächen (Zapfen und Lager) aufeinander gleiten können. Entsprechendes gilt für die Gelenke der Stangen bei Dachkonstruktionen u. s. w. Auch die horizontale Auflagerung des einfachen Balkens ist eine Befestigung mit Unterstützungsflächen. In allen solchen Fällen sind, streng genommen, stets Reaktionsflächen vorhanden, für welche einzelne Punkte die Rolle von dynamischen Centren spielen. Über die genaue Lage dieser Centren läßt sich theoretisch sehr wenig aussagen, während die Ersahrung (Beobachtung und Bersuch) allerdings hier von Fall zu Fall zu Hülfe kommt.

Selbst bei so einfachen Verhältnissen, wie sie der beiderseits horizontal aufgelagerte einfache Balken ohne Belastung darstellt, ist aber die Lage der dynamischen Centren für die Reaktionen durch die Erfahrung durchaus noch nicht genau festgestellt; man sieht hier meist die Mitte der rechteckigen Aufslagersläche als Centrum an, obwohl es wahrscheinlicher ist, daß dieses Centrum

im allgemeinen mehr nach der überbeckten Offnung zu liegt. Entsprechendes gilt für die Zapfen einer Welle.

Legt man den Balken auf Schneiben, so ist der Spielraum für die Centren der Reaktionen natürlich sehr kein, und Entsprechendes gilt für eine Achse, die auf einer Schneide balanciert.

Auch die Einflüsse der Reibung und der Formanderung der Körper, durch Belastung sowie durch Anderung der Temperatur, auf die Lage der Reaktionssentren sind oft erheblich, weshalb 3. B. bei großen Brückenträgern nur ein Ende möglichst starr besestigt wird, während man das andere durch eine Rollensunterlage stützt.

Diese Unbestimmtheiten sind nicht von Bedeutung, solange die damit gegebene Schwantung im Ansatz einer Ausgabe innerhalb der sowieso vorshandenen Fehlgrenzen liegt. In anderen Fällen muß man ihnen nach Lage der Sache zu begegnen suchen. Handelt es sich z. B. um die Berechnung der Abmessung eines Zapsens, so kann man die Reaktion am Ende des Zapsens wirkend denken und hierfür die Rechnung durchsühren, weil dies der ungünstigste Fall für die Beanspruchung des Zapsens ist. Anderseits nimmt man gestegentlich eine besondere Verteilung der Reaktionen auf die Stützpunkte vor, man lätzt z. B. bei der in Fig. 229 stizzierten Bogenbrücke oder bei dem in Fig. 231 gezeichneten Krane die Last nur durch einen Kunkt tragen.

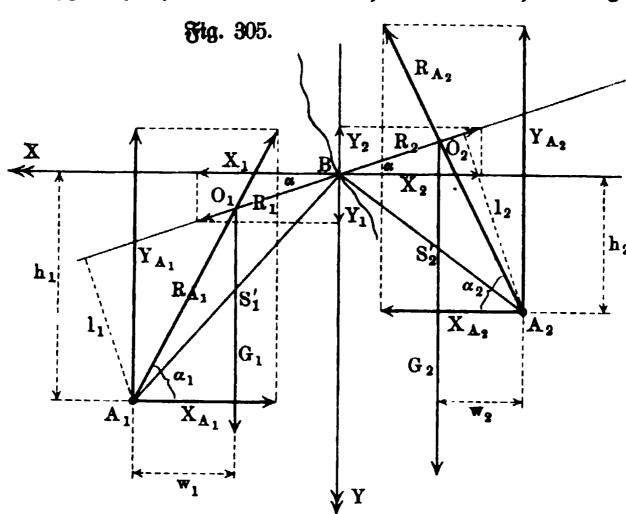
82. Die Reaftionen für Spfteme von Körpern, die untereinander und mit der Erde ftarr verbunden find. Handelt es sich bei statischen Konstruktionen nicht mehr um einen einzelnen Körper, sondern um ein System

von Körpern, wie es z. B. die einzelnen Steine eines Gewölbes ober die einzelnen Stangen eines Trägers dars stellen, so hat man jeden Körper des Systems für sich zu behandeln, unter Berücksichtigung der Reakstionen, welche die anderen Körper auf ihn gemäß dem Principe der Paarwirkung übertragen. Wir erläutern das an einem Beispiele, welches Fig. 304 darstellt. Zwei Steinblöcke I und II

Fig. 304.

mögen sich bei A_1 und A_2 auf andere Blöcke stügen, bei B gegeneinander. Unter der Boraussezung, daß die Unterstützungsflächen in A_1 , A_2 und B dynamische Centren haben, in denen sich die zu bestimmenden Reaktionen konzentrieren, kann man eine Stützung in den drei Punkten A_1 , A_2 und B annehmen. Soll Gleichgewicht vorhanden sein, so müssen sich die Reaktionen in A_1 und B, welche auf I wirken, in der Bertikalen von dessen Schwerspunkte S_1 schneiden, so daß A_1 , B, S_1 in einer Bertikalebene liegen. Dasse

selbe gilt für A_2 , B, S_2 . Da ferner nach dem Principe der Paarwirkung die Reaktionen in B auf I und II Gegenkräfte sind, so liegen diese beiden Reaktionen auf einer Geraden, welche sowohl der Vertikalebene sür I als auch der Vertikalebene sür II angehören muß, also deren Schnittgerade ist, falls diese Ebenen nicht zusammenfallen. Existierte eine solche Schnittgerade, so wären die Reaktionen von B beide vertikal gerichtet, die eine nach oben, die andere nach unten. Wäre z. B. die Reaktion sür II in B nach unten gerichtet, so würde diese im Verein mit G_2 einer Reaktion in A_2 nicht das Gleichgewicht halten können, während die nach oben gerichtete Reaktion sür



I in B sehr wohl zu einem Gleich= gewicht von I füh= ren könnte. Ent= sprechendes gilt bei umgekehrter Lage der Reaktionen von B bezw. für I und II. Demgemäß kön= nen die beiden Ber= titalebenen durch S_1 und \boldsymbol{B} und burch S_2 und BSchnitt= teine gerade haben, sie müssen vielmehr zusammenfallen, so dak die ganze

Untersuchung mit einer Vertikalebene durch A_1 , S_1 , B, S_2 , A_2 zu rechnen hat. Nimmt man nun die Richtung der Reaktion in B willkürlich (α) an und bestimmt auch ihre Werte $R_1 = R_2$ willkürlich, so liesert der Momentenssatz für I, falls man A_1 , und für II, falls man A_2 als Drehpunkt wählt, zwei Gleichungen zur Bestimmung von α und $R_1 = R_2$.

Man hat in Fig. 305, in der die Blöcke der Fig. 304 durch Stangen ersetzt sind, für A_1 in Bezug auf I

$$+ G_1 \boldsymbol{w}_1 - R_1 \boldsymbol{l}_1 = 0$$

und für A2 in Bezug auf II

$$-G_2w_2+R_2l_2=0.$$

Benutt man das in Fig. 305 gegebene Koordinatenkreuz in B, so ist, falls man die Abstände der Punkte A_1 und A_2 von der Y=Achse bezw. mit u_1 und u_2 bezeichnet,

$$l_1 = h_1 \cos \alpha - u_1 \sin \alpha$$
 und $l_2 = h_2 \cos \alpha + u_2 \sin \alpha$,

d. h. man hat

$$+ G_1 w_1 - R_1 (h_1 \cos \alpha - u_1 \sin \alpha) = 0 - G_2 w_2 + R_2 (h_2 \cos \alpha + u_2 \sin \alpha) = 0.$$

Setzt man $R_1\cos\alpha=R_2\cos\alpha=X$ und $R_1\sin\alpha=R_2\sin\alpha=Y$, so ergiebt sich

$$Xh_1 - Yu_1 = G_1w_1 = M_1$$

 $Xh_2 + Yu_3 = G_2w_2 = M_2$

Aus diesen Gleichungen, welche man bei Zerlegung von $[R_1]$ und $[R_2]$ nach den Achsen X und Y unmittelbar erhalten könnte, ergiebt sich

$$X=rac{u_1M_2+u_2M_1}{h_1u_2+h_2u_1}$$
 $Y=rac{h_1M_2-h_2M_1}{h_1u_2+h_2u_1}$ $tg\, lpha=rac{Y}{X}$ and $R_1=R_2=\sqrt{X^2+Y^2}.$

Berlegt man die Reaktionen in A_1 und A_2 nach den Achsen, so ist $X_{A_1} = X$ und $X_{A_2} = X$, serner $G_1 + Y = Y_{A_1}$ und $G_2 - Y = Y_{A_2}$. Man hat also:

$$R_{A_1} = \sqrt{X^2 + (G_1 + Y)^2}$$
 und $R_{A_2} = \sqrt{X^2 + (G_2 - Y)^2}$ $tg \, \alpha_1 = \frac{G_1 + Y}{X}$ und $tg \, \alpha_2 = \frac{G_2 - Y}{X}$.

Sobald man die Richtung (lpha) von $[R_1]$ bezw. $[R_2]$ hat, kann man die Aufgabe auch konstruktiv weiter behandeln.

Die Vertikale von $[G_1]$ giebt für den linken Teil zunächst O_1 als Schnitt mit der Geraden von $[R_1]$ und $[R_2]$, und damit die Reaktionsrichtung A_1O_1 für A_1 . Eine Nebenfigur liefert dann die entsprechenden Werte der Kräfte, wie bei Fig. 297, 298, 299. Dasselbe gilt für den rechten Teil der Figur.

Wie die Aufgabe ganz auf das Reißbrett zu übertragen ist, zeigt der arithmetische Bau von X und Y an. Dieser Bau bleibt unverändert, wenn die Stange A_1B durch beliebige Kräfte angegriffen wird, nur hat M_1 dann nicht den einsachen Wert G_1w_1 . Denkt man die Stange A_1B durch Kräfte angegriffen, welche mit $[G_1]$ im Gleichgewichte sind, so ist $M_1=0$. Für die kraftsreie linke Stange erhält man also sür X und Y die besonderen Werte

$$X_L = \frac{u_1 M_2}{h_1 u_2 + h_2 u_1}$$
 und $Y_L = \frac{h_1 M_2}{h_1 u_2 + h_2 u_1}$.

Ebenso erhält man für die Kraftsreie rechte Stange für X und Y die besonderen Werte

$$X_R = rac{u_2 M_1}{h_1 u_2 \, + \, h_2 u_1}$$
 and $Y_R = rac{- \, h_2 M_1}{h_1 u_2 \, + \, h_2 u_1} \cdot$ Dabei ist $X = X_L \, + \, X_R \ Y = Y_L \, + \, Y_R.$

Man kann also X und Y erhalten, wenn man die Aufgabe erst für die kraftfreie linke Stange bei Belastung der rechten Seite und dann für die kraftsfreie rechte Stange bei Belastung der linken Seite durchführt, und die geswonnenen Werte vereinigt.

Nunmehr läßt sich die ganze Ausgabe konstruktiv durchführen, da man für eine kraftsreie Stange, die sich im Gleichgewichte besindet, die Richtung der Reaktionen ihrer Endpunkte kennt; da hier nämlich überhaupt nur zwei Punkte als Angriffspunkte von Kräften in Frage kommen, so müssen diese Reaktionen Gegenkräfte sein, d. h. also in der Stangenachse liegen.

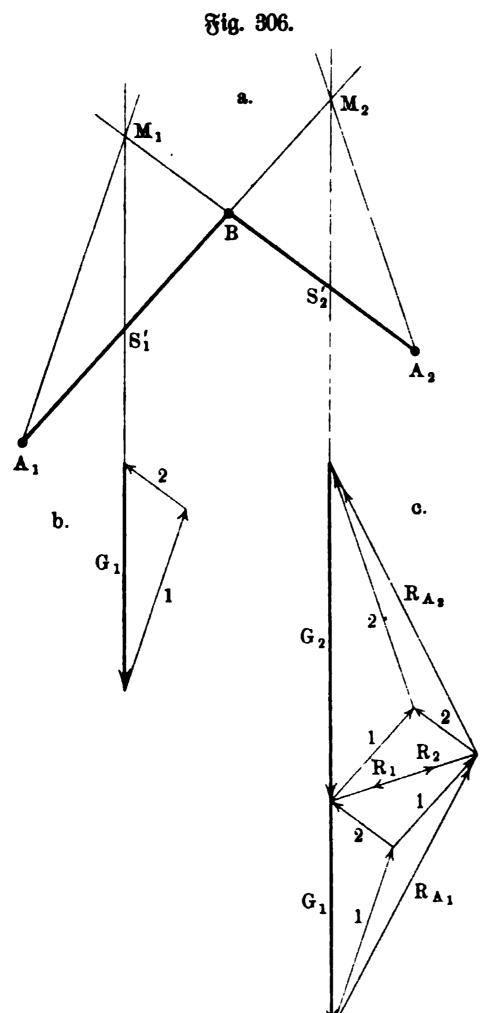


Fig. 306 stellt diese Konstrut= tion dar. Ist die linke Stange kraftfrei, so ist M2 der Schnitt der Kräfte; ist die rechte Stange kraftfrei, so ist M_1 der Schnitt der Kräfte. In Fig. 306 b und c sind unterhalb die Kraftbreiede bezw. für M_2 und M_1 dargestellt und zwar bezeichnen die ange= schriebenen Nummern die Zu= gehörigkeit der Reaktionen zu A, Um die mit 1 oder zu A_2 . bezeichneten Kräfte aus beiden Stizzen in A_1 zu vereinigen und um ebenso die mit 2 bezeichneten Kräfte aus beiden Stizzen in A_2 zu vereinigen, kann man sie in die Hauptfigur an A_1 und A_2 eintragen. Statt bessen kann man auch Fig. 306 b unterhalb Fig. 306 c zeichnen, so daß $[G_2]$ und $[G_1]$ eine Gerade bilden, und durch Parallelogramms tonstruction zu R_{A_1} und R_{A_2} und zu R gelangen; R_1 und R_2 sind besonders durch Pfeile bezeichnet.

83. Das Princip der virstuellen Berrückungen für ein System miteinander verbundener starrer Körper (bei Bernachlässisgung der Reibungen). Daß die Arbeit eines, an einem starren Körper im Gleichgewichte bes

findlichen Kräftesystems für jede beliebige (virtuelle) Berrückung dieses Körpers verschwindet, wurde bereits hervorgehoben (vergl. S. 339). Um in diesem Falle auf das Gleichgewicht zu schließen, hat man bei einem ebenen Kräftessystem die Arbeit für drei und bei einem räumlichen Kräftesystem die Arbeit für sechs Berrückungen, die voneinander unabhängig sind, anzusezen und zu annullieren.

Diese Betrachtungen gelten für einen freien Körper und sollen nun zunächst auf einen unfreien Körper und dann auf ein System solcher Körper ausgedehnt werden.

Fügt man bei einem unfreien Körper den ursprünglich gegebenen Kräften die Reaktionen hinzu, so ändert sich an der früheren Betrachtung nichts, solange man die Reaktionen an dem Körper haftend und nun mit diesem frei beweglich denkt, d. h. solange man sein Augenmerk lediglich auf das im Gleichgewicht stehende Kräftesystem richtet.

Schränkt man aber die Gesamtheit der virtuellen Berrückungen auf solche ein, die unter Berücksichtigung der Befestigungen des Körpers, d. h. ohne Materialzerstörung thatsächlich aussührbar sind, so gelangt man zu einer wichtigen Erweiterung. Bei solchen Berrückungen, welche als "erlaubte" oder "zulässige" bezeichnet werden, ist nämlich sehr oft die Arbeit der Reaktionen für sich Kull, so daß dann auch die Arbeit der ursprünglich gegebenen Kräfte für sich Kull ist. In solchen Fällen kann man allein aus der Arbeit der ursprünglich gegebenen Kräfte auf das Gleichgewicht schließen, so daß man die Bestimmung der Reaktionen ganz und gar erspart.

Ist ein Körper in einem Punkte A befestigt, so ist jede Schwenkung um diesen Punkt eine erlaubte Verrückung, dagegen würde z. B. eine Verschiebung des Körpers, bei welcher man die Reaktion von A am Körper haftend denkt, zwar eine virtuelle Verrückung des Körpers und seines Kräftesystems sein, aber keine erlaubte.

Ist ein Körper an einer Achse AB befestigt, so ist jede Drehung um diese Achse eine erlaubte Verrückung, dagegen würde z. B. eine Verschiebung des Körpers, bei welcher man die Reaktionen von AB am Körper haftend denkt, zwar eine virtuelle Verrückung des Körpers und seines Kräftesystems sein, aber keine erlaubte.

Sind Punkte eines Körpers gezwungen, auf einer Linie ober auf einer Fläche zu bleiben, so gehören alle virtuellen Verrückungen, welche die Punkte von diesen Führungen entfernen, zu der Gruppe der unerlaubten Verrückungen.

Besonders hervorgehoben werden mag noch, daß die Entsernung von einsseitigen Widerständen gemäß obiger Festsetzung zu den erlaubten Verrückungen gehört, weil sie thatsächlich aussührbar ist. Stütt sich ein Körper z. B. auf eine Ebene, so sind Bewegungen längs der Ebenen erlaubte Verrückungen, ebenso aber auch Bewegungen, bei welchen der Körper die führende Ebene verläßt, falls nur ein Eindringen in diese ausgeschlossen ist.

Bezeichnen wir die Arbeit der ursprünglich gegebenen Kräfte bei irgend einer virtuellen Verrückung des Körpers durch \mathfrak{A}_K und die entsprechende Arbeit der Reaktionen durch \mathfrak{A}_K , so gilt nach den früheren Betrachtungen im Falle des Gleichgewichtes

$$\mathfrak{A}_{K}+\mathfrak{A}_{R}=0.$$

Für eine große Klasse von erlaubten Verschiebungen zerfällt nun diese Gleichung in die beiben Gleichungen

$$\mathfrak{A}_R = 0$$
 unb $\mathfrak{A}_K = 0$,

und zwar geschieht dies jedesmal, wenn die Angrifsspunkte der einzelnen Reaktionen bei der Verrückung entweder gar nicht be= wegt werden oder senkrecht zu ihrer Bahn liegen.

Da die tangentialen Reaktionen (Reibungen) in den Berührungsstächen liegen, so leistet eine solche stets Arbeit, wenn sich der entsprechende Körper relativ zu einer ihn berührenden Fläche (unter Pressung) gleitend oder rollend bewegt.

Demnach tritt die oben bezeichnete Teilung der Gleichung

$$\mathfrak{A}_{K}+\mathfrak{A}_{R}=0$$

im allgemeinen nur ein, wenn man von den Reibungen gleitender und rollender Bewegungen völlig absieht.

Unter dieser Boraussetzung, die hier ein für allemal gemacht wird, ist es nun zweckmäßig, die Gruppe der erlaubten Berrückungen noch weiter einzuschränken und nur solche Berrückungen zuzulassen, bei welchen einseitige Widerstände angesehen werden. Wir wollen die so eingeschränkte Gruppe der erlaubten Berrückungen als zweckmäßige Berzückungen bezeichnen, weil sie die Berrückungen umfaßt, welche dem Zwecke der Konstruktion entsprechen.

So sind also z. B. die Bewegungen eines Körpers längs einer schiefen Ebene aufwärts und abwärts zweckmäßige Verrückungen, während dessen Entsernung von der schiefen Ebene nach dem freien Raum zu zwar eine erlaubte Verrückung, aber keine zweckmäßige Verrückung wäre, und während dessen Entsernung von der schiefen Ebene bei einer, in das Material der schiefen Ebene hineinsührenden Vewegung immer noch eine virtuelle Verrückung darstellte, aber keine erlaubte.

Man kann nun behaupten, daß die oben bezeichnete Teilung der Gleichung

$$\mathfrak{A}_{K}+\mathfrak{A}_{R}=0$$

im allgemeinen für alle zweckmäßigen Verrückungen eintritt, so daß für diese

$$\mathfrak{A}_{K} = 0 \quad \dots \quad 137)$$

wird, während für alle erlaubten, aber unzweckmäßigen Ver= rückungen im allgemeinen die Gleichung

$$\mathfrak{A}_K < 0 \dots 138$$

eintritt.

Was den ersten Teil der Behauptung anlangt, so ist für dessen Beweiß nichts hinzuzusügen, während in Bezug auf den zweiten Teil darauf hinsgewiesen werden mag, daß z. B. bei einer Bewegung eines Körpers von der schiesen Ebene in den freien Kaum hinein die an dem Körper haftende Resaktion der Ebene positive Arbeit leistet, so daß \mathfrak{A}_K in der Gleichung $\mathfrak{A}_K + \mathfrak{A}_R = 0$ einen negativen Wert erhält.

Die Unbestimmtheit, die noch immer in obiger Behauptung liegt, ist unvermeidlich, weil man bei der Fülle von einzelnen Besestigungsarten einmal nicht sicher ist, daß sie sich auch alle wirklich durch Reaktionen darstellen lassen, und ferner nicht von vornherein bestimmen kann, daß auch stets für zwed= mäßige Verrückungen $\mathfrak{A}_R = 0$ ist.

Man kann dieser Unbestimmtheit nur entgehen, wenn man die einzelnen Besestigungsarten durchgeht und untersucht, ob für sie bei zweckmäßigen Versrückungen $\mathfrak{A}_R = 0$ ist oder nicht.

Wir kommen hierauf sogleich zurück, nachdem die Betrachtung auf Systeme miteinander verbundener starrer Körper ausgedehnt ist.

Handelt es sich um ein System von starren Körpern, das unter dem Einflusse von Kräften gegen die Erde in Ruhe ist, so kann man jeden einzelnen Körper des Systems, nachdem man die Reaktionen der anderen Körper auf ihn eingeführt hat, für sich betrachten.

Für jede virtuelle Verrückung eines einzelnen Körpers gilt dann die Gleichung $\mathfrak{A}_K+\mathfrak{A}_R=0.$

Erteilt man also den einzelnen Körpern des Systems beliebige virtuelle Verrückungen, die entweder für die einzelnen Körper voneinander unabhängig sein oder auch von Körper zu Körper in einer geswissen Abhängigkeit stehen können, so gilt auch für das ganze System die Gleichung

$$\mathfrak{A}_{K}+\mathfrak{A}_{R}=0.$$

Diese Gleichung gilt natürlich auch unter Einschränkung auf die erslaubten und auf die zweckmäßigen virtuellen Verrückungen.

Das Zerfallen der Gleichung tritt auch hier ein, wenn $\mathfrak{A}_R = 0$ ist.

Über die Bedingungen, unter denen dies eintritt, ist dasselbe zu sagen, wie für den einzelnen Körper.

Als wichtige Klassen solcher Befestigungen, für welche $A_R=0$ ist, lassen sich folgende anführen:

- 1. Die Arbeit der Reaktionen an Punkten, welche mit der Erde starr verbunden sind, ist Null, weil sich deren Angriffspunkte überhaupt nicht bewegen.
- 2. Die Arbeit der Reaktionen an Punkten, die auf Linien oder Flächen, welche mit der Erde starr verbunden sind, zu bleiben gezwungen sind, ist Null, weil bei Ausschluß der Reibungen nur Normalwiderstände in Frage kommen, deren Angriffspunkte sich senkrecht zur Bahn verschieben.
- 3. Dasselbe ist auch noch für Linien oder Flächen der Fall, welche besweglichen Körpern angehören, da auch hier bei Ausschluß der Reisbungen nur Normalwiderstände übertragen werden.
- 4. Werden zwei Punkte A und B verschiedener Körper durch eine starre Berbindung (z. B. eingelenkte Stangen) in einer bestimmten Entsfernung gehalten, so bilden die Punkte A und B der Körper und die Verbindung ein starres System, dessen innere Kräste sich aufsheben, so daß ihre Arbeit nicht berücksichtigt zu werden braucht. Dasselbe ist auch noch der Fall bei einer Verbindung von A und B durch ein gespanntes Seilstück (Kette oder Faden), vorausgesetzt, daß es gespannt bleibt und keinen anderen Formänderungen unterliegt, als der Viegung.

5. Wenn die Verbindung zweier Körper derart ist, daß der eine den anderen bei seiner Bewegung mitbewegt und wenn dabei an der Berührungsstelle die Angriffspunkte der Gegenkräfte, welche der Übertragung dienen, dieselben Wege zurücklegen, so verschwindet die Arbeit der Übertragung. Dies tritt z. B. ein bei Zahnrädern, aber auch bei Riemscheiben und Keibungsrädern, da bei letzen beiden gleitende oder rollende Bewegungen im Betriebe ausgeschlossen werden.

Während man für ein Kräftespstem, das an einem starren Körper im Sleichgewichte ist, der Berechnung der Arbeit virtuelle Verrückungen von endelicher Größe zu Grunde legen kann, muß man die erlaubten und im bessonderen die zweckmäßigen Verrückungen von unfreien Körpern und Körperspstemen im allgemeinen unendlichestlein ansetzen, vorausgesetzt, daß man dabei die Arbeit der Reaktionen außer acht lassen will.

Führt man die Reaktionen für die Stellung des Gleichgewichtes ein und denkt sie an den Körpern haftend, so unterliegen die Verrückungen natürlich keiner Beschränkung; thut man das aber nicht, so bleiben die Bedingungen des ersten Ansases bei einer endlichen Verrückung meist nicht erfüllt, ganz abgesehen davon, daß die entsprechende Arbeit dann auch meist aus Elementar-arbeiten zusammengesetzt werden muß.

Da die sichere bezw. unsichere Gleichgewichtslage dadurch gekennzeichnet ist, daß die Arbeit der vorhandenen Kräfte für noch so kleine endliche Berrückungen 1) aus ihr negativ bezw. positiv ist, während sie für die unbestimmte Gleichgewichtslage den Wert Null hat (vergl. S. 470), so verschwindet diese Arbeit nur für letztere auch bei endlichen Berrückungen.

Als Princip der virtuellen Berrückungen pflegt man die Umstehrung des im vorstehenden entwickelten Sazes zu bezeichnen, welchem man folgende Form geben kann: Ein System miteinander verbundener starrer Körper ist im Gleichgewichte, wenn die Arbeit der ansgreisenden Kräfte (ausschließlich der Reaktionen) für alle zwecksmäßigen Berrückungen verschwindet, vorausgesett, daß die Reisbungen gleitender und rollender Bewegungen vernachlässigt werden dürfen.

Dehnt man die Gruppe der Verrückungen auf alle erlaubten Verrückungen aus, so ist jene Arbeit entweder Null oder sie nimmt einen negativen Wert an.

Da man bei der Fülle der Befestigungsarten nicht beweisen kann, daß für alle zweckmäßigen Verrückungen im Falle des Gleichgewichtes $A_R = 0$ ist, so kann man auch obige Umkehrung nicht streng beweisen, und darum bezeichnet man sie nicht als Lehrsatz, sondern als Princip, zumal man auch in einem bestimmten Falle nicht immer alle zweckmäßigen Verrückungen übersehen kann.

Würde man den Satz und die Umkehrung von vornherein auf die Verzrückungen einschränken, für welche $\mathfrak{A}_R=0$ ist, so gelangte man natürlich sofort zu strengen Beweisen. Denkt man nämlich alle Reaktionen des Systems

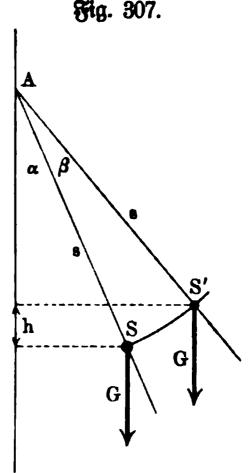
¹⁾ Dies gilt auch schon für unendlich-kleine Verrückungen, salls man die Arbeit in zweiter Annäherung berechnet. Vergl. die Anmerkung 1 auf S. 470.

eingeführt, so giebt die Gleichung $\mathfrak{A}_K=0$, da sie unter der Boraussetzung $\mathfrak{A}_R=0$ mit der Gleichung $\mathfrak{A}_K+\mathfrak{A}_R=0$ übereinstimmt, unmittelbar den Satz und seine Umkehrung, gemäß den Betrachtungen auf S. 483.

Für die Verwendung des Principes gilt als Regel, daß man die Arbeit für so viele Verrückungen ansett, als zur Bestimmung der Unbekannten erforderlich und hinreichend sind; dabei ist die Auswahl der Verrückungen möglichst günstig zu treffen, d. h. so, daß jede Verrückung eine Kraft oder auch mehrere Kräfte sentrecht schneidet.

Zur Erläuterung der ganzen Betrachtung geben wir einige Beispiele.

Zunächst mag ein Körper untersucht werden, der um eine horizontale Achse (A) drehbar ist, sein Schwerpunkt S habe von dieser den Abstand s. Wir betrachten den Körper in irgend einer Stellung, bei welcher das Lot SA vom Schwerpunkte auf die Achse gegen die Vertikale um α abweicht (vergl. Fig. 307). Wir verrücken den Körper so, daß die Abweichung auf $\alpha + \beta$ wächst und berechnen die Arbeit A, welche



der Verrückung entspricht; sie ist für ein Gewicht [G] gegeben als A = -G.h, wobei $h = s [\cos \alpha - \cos (\alpha + \beta)]$ ist.

Da $\cos \alpha - \cos (\alpha + \beta) = \cos \alpha (1 - \cos \beta) + \sin \alpha \sin \beta$ ist, so ist $\frac{h}{s}$ für kleine Werte von β darstellbar, falls man $arc \beta$ durch b bezeichnet, als

$$\cos \alpha \left(\frac{b^2}{2!} - \frac{b^4}{4!} + \cdots\right) + \sin \alpha \left(b - \frac{b^3}{3!} + \cdots\right)$$

In erster Annäherung ist also

$$\mathfrak{A} = -G \cdot s \cdot \sin \alpha \cdot b$$
.

Der Ansag A = 0 fordert $\sin \alpha = 0$, d. h. $\alpha = 0$ ober $\alpha = 180^{\circ}$, solange s nicht Null ist.

Damit erhält man wieder die sichere $(\alpha=0)$ und die unsichere $(\alpha=180^\circ)$ Bleichgewichtslage des betrachteten Körpers.

Für $\alpha = 0$ ist in zweiter Annäherung

$$\mathfrak{A} = -G \cdot s \left[\cos 0^{\circ} \cdot \frac{b^{2}}{2!} + \sin 0^{\circ} \cdot b \right] = -\frac{1}{2}G \cdot s \cdot b^{2}.$$

Für $\alpha=180^\circ$ ist in zweiter Annäherung

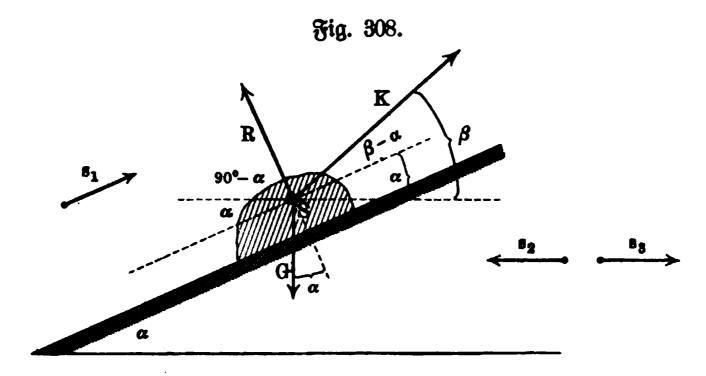
$$\mathfrak{A} = -G \cdot s \left[\cos 180^{\circ} \cdot \frac{b^{2}}{2!} + \sin 180^{\circ} \cdot b \right] = + \frac{1}{2}G \cdot s \cdot b^{2}.$$

Demnach ist das Gleichgewicht für $\alpha=0$ sicher und für $\alpha=180^{\circ}$ unsicher. Dieselbe Charakteristik des Gleichgewichtes sindet man bei Betrachstung endlicher Verrückungen aus den Gleichgewichtslagen.

Unbestimmtes Gleichgewicht fordert $\mathfrak{A}=0$ für jede Annäherung, b. $\mathfrak{h}.$ s=0.

Die Verrückung, die wir betrachteten, war eine thatsächlich aussührbare, also eine erlaubte, und im besonderen, da keine einseitigen Widerstände in Frage kommen, eine zweckmäßige. Soll auch die Reaktion [R] in A bestimmt werden, so müssen wir eine virtuelle Verrückung wählen, die nicht erlaubt ist. Wir denken dazu [R] am Körper haftend und rücken ihn senkrecht nach oben um die Strecke p. Die Arbeit von [G] ist demnach -G, p, während die Arbeit von [R] den Wert +R, p hat, so daß sich R=G ergiebt.

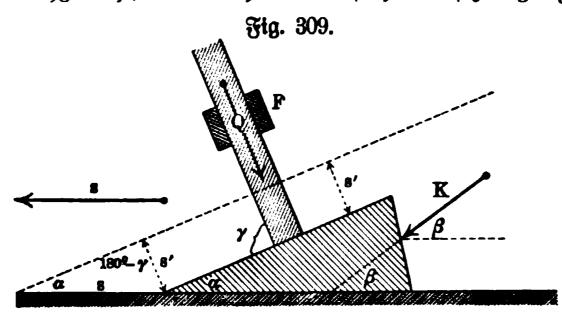
Als zweites Beispiel wählen wir die Unterstützung eines Körpers durch eine schiefe Ebene bei einer Kraft [K], wie es Fig. 308 zeigt.



Lassen wir den Körper längs der schiesen Ebene gleiten, entsprechend der in Fig. 308 bezeichneten Verrückung $[s_1]$, so bilden [K], [G] und [R] mit dieser Verrückung bezw. die Winkel β — α , 90° + α und 90° . Die Arbeit für diese Verrückung ist also

$$\mathfrak{A} = Ks_1 \cos(\beta - \alpha) + Gs_1 \cos(90^{\circ} + \alpha) + R \cdot s_1 \cos 90^{\circ}$$

Für A = 0 ergiebt sich $K = \frac{G \sin \alpha}{\cos (\beta - \alpha)}$ als Bedingung für das Gleichgewicht, was auch eine einfache Kraftzerlegung bestätigt.



Der Ansatz der Arbeit für diese eine zwed= mäßige Verrückung führt also hier schon zum Ziele, wobei [R] von vornherein unberücksichtigt bleiben konnte.

Will man auch [R] bestimmen, so muß man [R] am Körper haftend benken und z. B. eine

der in der Figur gleichfalls bezeichneten Berschiebung $[s_2]$ oder $[s_3]$ benutzen. Man hat für $[s_2]$

$$\mathfrak{A} = R \cdot s_2 \cos(90^\circ - \alpha) + K \cdot s_2 \cos(180^\circ - \beta) + G \cdot s_2 \cos 90^\circ.$$

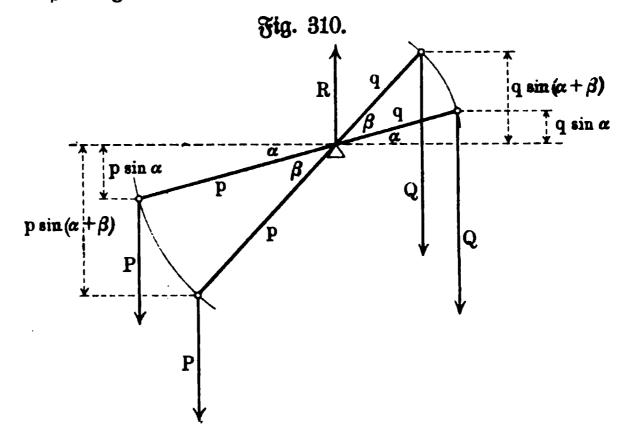
Für A = 0 ergiebt sich

$$R = K \frac{\cos \beta}{\sin \alpha} = \frac{G \cdot \cos \beta}{\cos (\beta - \alpha)}.$$

Dasselbe Ergebnis liefert die Verrückung um $[s_3]$, wobei ebenso wie in letzterem Falle die Arbeit von [G] von vornherein unberücksichtigt bleiben kann. Die Verschiebung $[s_2]$ ist erlaubt, weil sie thatsächlich aussührbar ist, aber nicht zweckmäßig, weil sie den Zwecken der Konstruktion nicht entspricht, die Verschiebung $[s_3]$ ist unzulässig, weil sie nicht ohne Zerstörung des Wate-rials der schiefen Sbene vorgenommen werden könnte.

Das Gleichgewicht ist unbestimmt, weil die Arbeit für Verschiebungen aus der Gleichgewichtslage Null ist; infolgedessen können die Strecken s_1 , s_2 , s_3 auch von endlicher Größe angenommen werden.

Als drittes Bei= spiel wählen wir einen Fall (vergl. Fig. 309), in welchem das hier verwendete Princip als Methode der Kraft= zerlegung entschieden überlegen ist. Eine bei F geführte Stütze, welche unter dem Ein= flusse von Kräften den \mathfrak{D} ruđ[Q]ausübt, ruht auf einem Reile, ben eine Kraft [K] antreibt. Unter Ber=



nachlässigung der Reibung find alle Reaktionen normal zu den beweglichen Flächen, liefern also keine Arbeit.

Siebt man dem Keile die horizontale Verschiedung [s], mit der [K] den Winkel β bildet, so rückt der Angriffspunkt von [Q] um [s'] auswärts, und

zwar ist
$$s' = s \cdot \frac{\sin \alpha}{\sin \gamma}$$
. Man hat also

$$\mathfrak{A} = Ks \cdot \cos \beta - Qs \cdot \frac{\sin \alpha}{\sin \gamma},$$

d. h. für $\mathfrak A=0$ ergiebt sich als Bedingung des Gleichgewichtes

$$K = Q \frac{\sin \alpha}{\cos \beta \cdot \sin \gamma}.$$

Die Gleichgewichtslage ist wieder unbestimmt und dem entspricht, daß s eine endliche Verschiedung sein darf.

Ms nächstes Beispiel betrachten wir den belasteten Hebel, den Fig. 310 darstellt. Geht man von einer beliebigen Stellung (a) aus, so entspricht

einer Drehung um β die Hebung des Gewichtes Q um $q[\sin{(\alpha+\beta)}$ — $\sin{\alpha}]$ und die Sentung des Gewichtes P um $p[\sin{(\alpha+\beta)}$ — $\sin{\alpha}]$. Nan hat also

$$\mathfrak{A} = -Qq\left[\sin\left(\alpha + \beta\right) - \sin\alpha\right] + Pp\left[\sin\left(\alpha + \beta\right) - \sin\alpha\right].$$

Für $\mathfrak{A} = 0$ ergiebt sich für alle Werte von α und β als Bedingung des Gleichgewichtes

$$Qq = Pp.$$

Will man auch R bestimmen, so muß man R am Hebel hastend benden und etwa die (unerlaubte) Berschiebung [s] in Richtung von [P] und [Q] bestrachten. Man hat dann

$$P \cdot s + Q \cdot s - R \cdot s = 0$$

b. h. R = P + Q gilt für das Gleichgewicht.

Als verwicklieres Beispiel betrachten wir noch eine Hebelverbindung, welche eine Art der gebräuchlichen Brückenwagen darstellt (vergl. Fig. 311). Dreht sich der Hebel AB_1B_2 um O um einen kleinen Winkel ε so, daß sich A senkt, so heben sich B_1 und B_2 bezw. um b_1 arc ε und b_2 arc ε , und ebenso



$$b_1 \operatorname{arc} \varepsilon \Longrightarrow rac{l_1}{l_2} \cdot b_2 \operatorname{arc} \varepsilon$$

fein, d. h.

$$b_1:b_2=l_1:l_2.$$

Ift die Konstruktion so ausgeführt, daß $b_1:b_2=l_1:l_3$ ist, so ist die Bedingung des Gleichgewichts leicht zu bestimmen, da alle Reaktionen (in den Gelenken) bei Bernachlässigung der Reibung senkrecht stehen zu den Bahnen

ihrer Angriffspunkte. Es handelt sich dann nur um die Arbeit der Kraft [P], deren Weg a arc ε und um die Arbeit der Kraft [Q], deren Weg b_1 arc ε ift. Wan hat also

$$+ Pa arc \varepsilon - Qb_1 arc \varepsilon = 0$$
, b. h. $P \cdot a = Q \cdot b_1$

als Bedingung des Gleichgewichtes.

Für $a:b_1=10:1$ erhält man eine sogen. Dezimalwage $(P=\frac{1}{10}Q)$, für $a:b_1=100:1$ eine sogen. Centesimalwage $(P=\frac{1}{100}Q)$.

Als nächstes Beispiel betrachten wir noch eine senkrecht stehende Schraube, durch welche eine an der Spindel besestigte Last Q gehoben werden soll, und zwar durch eine Kraft K, welche an der Achse der Spindel in einer, zu dieser senkrechten Ebene am Arme k wirkt. Bei Bernachlässigung der Reibung sind die Reaktionen zwischen Spindel und Mutter senkrecht zu ihren Bahnen, so daß sie vernachlässigt werden können. Dreht man die Spindel einmal um, so hebt sie sich um die sogenannte Ganghöhe h, wobei die Arbeit -(Q+G)h geleistet wird, wenn man das Gewicht der Spindel mit G bezeichnet. Der Weg der Kraft K ist dabei $2k\pi$, so daß die Arbeit +K. $2k\pi$ ist. Man hat also

$$\mathfrak{A} = -(Q + G)h + K \cdot 2k\pi.$$

Für A = 0 erhält man

$$K = \frac{(Q+G)h}{2k\pi}$$

als Bedingung des Gleichgewichtes, dem Ruhe oder eine (mäßige) gleich= förmige Bewegung der Spindel entspricht.

Führt man das Moment Mo=Kk ein, so läßt sich obige Gleichung auch schreiben

$$Mo = \frac{h}{2\pi} (Q + G).$$

Schließlich betrachten wir die entsprechenden Verhältnisse für ein zussammengesetztes Triebwerk, bei welchem sämtliche Reaktionen bei Vernachslässigung der Reibung die Arbeit Null leisten.

Dies gilt z. B. für eine Bockwinde.

Entspricht einem vollen Umgange der Kurbel eine Hebung der Last Q um h, so gilt wieder für die Arbeit während eines Umganges bei Gleich= gewicht

$$K \cdot 2k\pi = Q \cdot h$$

Führt man die Zeit T ein, welche für einen Umgang der Kurbel ers forderlich ist, so gilt auch

$$K \cdot \frac{2 k \pi}{T} = Q \cdot \frac{h}{T}.$$

Dabei bezeichnet $\frac{2 k \pi}{T}$ die mittlere oder auch die konstante Geschwindigsteit c_1 des Kurbelendes, während $\frac{h}{T}$ die mittlere oder auch die konstante Geschwindigkeit c_2 eines Punktes der Last darstellt. Demnach gilt hier auch

$$K \cdot c_1 = Q \cdot c_2$$
 ober $K = \frac{c_2}{c_1} \cdot Q$.

Dabei ist $u=c_1:c_2$ das Umsetzungsverhältnis (vergl. S. 204) der Maschine, gerechnet von Kraft zu Last.

Den Ansak $K \cdot c_1 = Q \cdot c_2$ kann man auch unmittelbar erhalten, wenn man die Arbeitsstärke (vergl. S. 256) für K und Q ansett.

Das Princip der virtuellen Verrückungen leistet für einen ersten Überschlag stets gute Dienste, falls man sich vorbehält, die Ergebnisse durch nachträgliche Einführung der Reibungen nach Bedürfnis von Fall zu Fall zu verbessern.

Geschichtlich ist zu bemerken, daß man ursprünglich die Geschwindigkeiten betrachtete, welche virtuellen Verrückungen entsprechen, und daß man das in Rede stehende Princip deshalb früher das Princip der virtuellen Geschwindigkeiten nannte.

Anwendungen der Lehre von den Befestigungsreaktionen.

1. Das sichere Gleichgewicht der Wippe. Ein prismatischer Körper ruht, wie Fig. 312 andeutet, auf einem Cylinder im Gleichgewichte. Um

Fig. 312.

tugt, wie Fig. 312 andentet, and entent dessen Art zu bestimmen, betrachten wir die Höhe S' des Schwerpunktes in der Nebenlage, welche durch Abrollen von $B'B_1$ auf BB_1 zu stande gekommen ist. Über der Horizontalen durch B_1 hat, da $B'B_1 = BB_1 = r \cdot arc \delta$ ist, B' die Höhe $r \cdot arc \delta \cdot sin \delta$, während S' über der Horizontalen durch B' die Höhe $h \cdot sin (90^0 - \delta)$ hat.

Demnach hat S' über der Horizon= talen durch B_1 die Höhe

r . arc δ . sin δ + h cos δ , während S über ihr die Höhe

$$h + BC = h + MB - MC = h + r - r\cos\delta$$

hat. Das Gleichgewicht ist sicher, wenn S'C' > SC für $\lim \delta = 0$.

Für S'C'=SC erhält man, falls man diese Größen in zweiter Ansnäherung darstellt

$$r \cdot arc^2 \delta + h(1 - \frac{1}{2}arc^2 \delta) = h + r - r(1 - \frac{1}{2}arc^2 \delta),$$

b. h. $h = r.$

Sicheres Gleichgewicht ist also vorhanden, falls h < r ist. Die Betrachtung gilt auch für eine Kugel als Unterlage.

2. Das sichere Gleichgewicht der Epicykloidenwiege. Ein chlindrischer Körper ruht, wie Fig. 313 (a. f. S.) andeutet, auf einem Chlinder vom Radius R im Gleichgewichte. Um dessen Art zu bestimmen, betrachten wir die Höhe des Schwerpunktes S' in der Nebenlage, welche durch Abrollen von $B'B_1$ auf BB_1 zu stande gekommen ist. Über der Horizontalen durch B_1 hat M' die Höhe $y_1 = r\cos\varepsilon$ und B' die Höhe $y_2 = B'B_1\sin B'B_1C$. Da $B'B_1 = 2r\sin\frac{\delta}{2}$ und $AB'B_1C = 180^\circ - \left(90^\circ - \frac{\delta}{2}\right) - (90^\circ - \varepsilon) = \varepsilon + \frac{\delta}{2}$ ist, so ist $y_2 = 2r\sin\frac{\delta}{2}\sin\left(\varepsilon + \frac{\delta}{2}\right)$.

Ist BS = B'S' = h, so ist S'M' = r - h, so daß S' die Strecke B'M' im Verhältnisse h: (r - h) teilt. Demnach ist die Höhe y_3 von S' über der Horizontalen durch B_1 gegeben als

$$y_3 = \frac{hy_1 + (r-h)y_2}{h + (r-h)} = \frac{hr\cos\varepsilon + (r-h)2r\sin\frac{\delta}{2} \cdot \sin\left(\varepsilon + \frac{\delta}{2}\right)}{r}$$

Dagegen ist die Höhe SC von S über der Horizontalen durch B_1 gesen als

$$h + BC = h + BM - MC = h + R - R\cos\varepsilon$$
.

Das Gleichgewicht ist sicher, wenn S'C' > SC ist für $lim \delta = 0$.

Für S'C'=SC erhält man, falls man diese Größen in zweiter Ansnäherung darstellt

$$h(1-\frac{1}{2}arc^{2}\varepsilon)+2(r-h)(\frac{1}{2}arc\delta \cdot arc\varepsilon+\frac{1}{4}arc^{2}\delta)$$

$$=h+R-R(1-\frac{1}{2}arc^{2}\varepsilon).$$

Da wegen der Abwickelung beim Rollen R $arc \varepsilon = r$ arc δ ist, so ist $\frac{arc}{arc} \frac{\delta}{\varepsilon} = \frac{R}{r}$ und man hat daher, bei Division durch $arc^2 \varepsilon$

$$-\frac{h}{2} + 2(r-h)\left(\frac{1}{2}\frac{R}{r} + \frac{1}{4}\frac{R^2}{r^2}\right) = \frac{1}{2}R$$

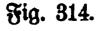
$$\frac{h(r+R)^2}{r^2} = \frac{R(r+R)}{r},$$

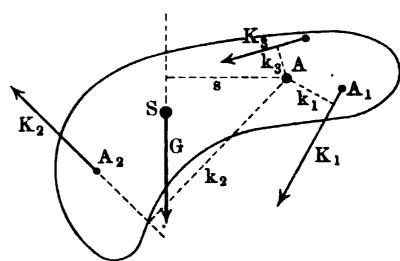
b. h.

$$h = \frac{rR}{r+R}.$$

Sicheres Gleichgewicht ist also vorshanden, falls $h < \frac{rR}{r} + \frac{rR}{R}$ ist.

Dieselbe Betrachtung gilt auch für zwei Kugeln.





3. Der Hebel und seine Berwendung. Ein Körper (vergl. Fig. 314) sei bei A um eine, senkrecht zur Ebene der Zeichnung liegende Achse drehbar und werde von Kräften angegriffen, welche sämtlich in der Ebene der Zeichnung liegen, und zwar mag sich unter den angreisenden Kräften auch das Gewicht

G des Körpers in dessen Schwerpunkte S befinden. Soll sich der Körper im Gleichgewichte befinden, so muß das Moment der angreifenden Kräfte in Bezug auf A als Drehpunkt verschwinden, d. h. man hat für Fig. 314

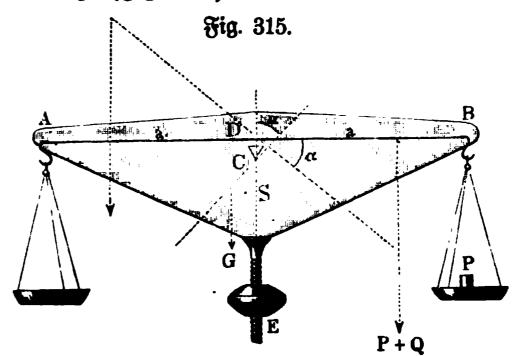
$$+ K_1 k_1 + K_2 k_2 - K_3 k_3 - G \cdot s = 0.$$

Ift diese Gleichung erfüllt, so verschiebt man, um die Reaktion in A zu bestimmen, alle Kräfte nach A und bildet ihr Polygon; die Gegenkraft der entstehenden Resultante ist die gesuchte Reaktion. Die Kräftepaare, welche der Verschiedung der Kräfte nach A entsprechen (vergl. \leq . 328), zerstören sich von selbst, wenn die oben aufgestellte Gleichung erfüllt ist.

Die einfachen Formen des Hebels sind aus dem ersten Lehrgange der Physik bekannt.

Wir betrachten hier zunächst noch die gleicharmige Hebelwage etwas genauer. Sie zeigt eine Anwendung des um einen Punkt drehbaren Körpers, der sich im stadilen Gleichgewicht befindet, bei dem also der Schwerpunkt Ssenkrecht unter dem Drehpunkte C liegt (Fig. 315).

Es sei AB der Wagebalten von der Länge 2a, G das Geswicht desselben, Q das Geswicht einer Schale mit Zusbehör, C der Drehpunkt des Baltens, S der Schwerpunkt der Wage und D der Durchsschnittspunkt der Linie AB mit der Linie CSE. Es werde an einer Seite ein Übergewicht P angebracht, wodurch der Balten aus seiner horizontalen Gleichs



gewichtslage in eine geneigte übergeht, die durch den Winkel α bestimmt werden kann, welchen die neue Lage von AB mit der Horizontalen bildet. Es ist der Winkel α zu bestimmen, wobei CS=b und CD=-c ist, da sich S und D zu verschiedenen Seiten des Drehpunktes C besinden. Man hat

$$(P+Q)(a\cos\alpha-c\sin\alpha)-Q(a\cos\alpha+c\sin\alpha)-Gb\sin\alpha=0$$
b. h. $\cos\alpha(Pa+Qa-Qa)-\sin\alpha(Pc+Qc+Qc+Gb)=0$. Here $\cos\alpha(Pa+Qa-Qa)$

$$tang \alpha = \frac{Pa}{(2Q + P)c + Gb}.$$

Man will bei einem kleinen Übergewicht P einen großen Ausschlag= winkel α haben. In dem vorliegenden Ausdruck soll also tang α recht groß werden. Es läßt sich das erreichen, wenn man a, den Arm des Balkens, recht lang macht, das Gewicht G desselben möglichst reduziert und die Ent= fernung c recht klein annimmt.

In der praktischen Ausführung, besonders für seine, zum chemischen Gesbrauche geeignete Wagen ist o gewöhnlich gleich Null, d. h. der Drehpunkt des Balkens liegt mit den Aushängepunkten der Schalen in derselben geraden Linie. Hierfür gilt:

$$tang \alpha = \frac{Pa}{Gb}$$
.

Weiter vermindert man, um bei der Wage eine recht große Empfindlichsteit zu erreichen, b so viel als möglich, d. h. man bringt den Schwerpunkt Swenig tiefer als den Aushängepunkt.

Da die Wagebalten, welche zwar gleiche Längen haben sollen, thatsächlich nicht genau gleich sind, so hilft man sich diesem Übelstande gegenüber durch eine doppelte Wägung. Wird ein Körper vom Gewichte W in der Schale, welche dem Arme a_1 entspricht, durch das Gewicht Q_1 im Gleichgewichte geshalten, dagegen in der Schale, welche dem Arme a_2 entspricht, durch das Gewicht Q_2 , so gilt

$$W. a_1 = Q_1. a_2$$
 und $W. a_2 = Q_2. a_1$.

Durch Multiplikation beiber Gleichungen erhält man

$$W=\sqrt{Q_1Q_2}.$$

Durch Division beiber Gleichungen erhält man

$$a_1:a_2=\sqrt{Q_1}:\sqrt{Q_2}.$$

Für den Fall der Fig. 316, bei welcher V die Belastung bezeichnet, welche den unbelasteten Hebel vom Gewichte G_1 im Gleichgewichte erhält, gilt zunächst

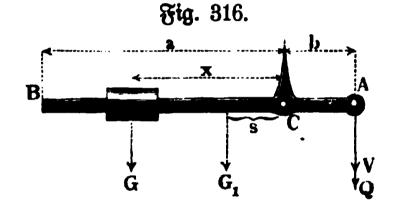


Fig. 317.

A C O 1 2 3 4 5 6 7 8 9 F

$$G_1s = Vb.$$

Wird in A eine Last Q angehängt und auf BC das Gewicht G aufgeschoben, so gilt ferner bei Gleichgewicht

$$Gx = Qb$$
,

b. h. $x = Q \cdot \frac{b}{G}$, so daß x proportional ist zu Q.

Die praktische Aussührung dieses Apparates wird als Wiegevorrichtung benutt und heißt römische Schnellwage (Fig. 317). Bei derselben ist der lange Hebelsarm, zur Aufnahme des konskanten Gegensgewichtes G, der Gleichung $x = AC \cdot \frac{Q}{G}$ gemäß, in gleiche Teile zu teilen, und zwar von O aus, falls G in O bei unbelasteter Wage Gleichgewicht herstellt.

Zeigerwagen sind Wiegevorrichtungen, bei welchen die Größe einer abzuswiegenden Last durch ein konstantes Gewicht, welches mit der Wage unversänderlich verbunden ist, bestimmt werden kann, und bei denen das Gewicht der Last von einem Zeiger auf bestimmter Skala angegeben wird.

In Fig. 318 ist eine Garnsortierwage abgebildet, wie dieselbe z. B. zur Bestimmung der Feinheitsnummer baumwollener geweifter Garne benutt wird.

Der Wagebalten AB ist ein ungleicharmiger Hebel, der bei C seinen Drehpunkt hat, bei B mit einem Haken zur Aufnahme der Garnsträhne verssehen ist und bei A ein Gegengewicht von solcher Größe trägt, daß der Schwerpunkt des Balkens in den Drehpunkt C sällt. Rechtwinkelig zu AB, im Punkte C, ist mit dem Balken der Arm CD sest verbunden, der an seinem Ende das konstante Gewicht trägt und unmittelbar darüber mit einem durchsbrochenen Rahmen versehen ist, um dadurch die Bahlen auf dem Gradbogen EG erkennen zu können. Das Gewicht des Armes CD mit dem konstanten Gewicht am Ende sei W und dasselbe wirke im Schwerpunkt S. Die Wage ist hiernach so eingerichtet, daß im unbelasteten Zustande der Balken AB eine horizontale und der Arm CD eine vertikale Lage hat. Es sei CB = a, CS = b und das zu bestimmende Gewicht in B sei gleich Q, daru haben wir, wenn der Arm CD bei dieser Belastung mit der Bertikalen den Winkela bilbet, als Gleichgewichtsbedingung

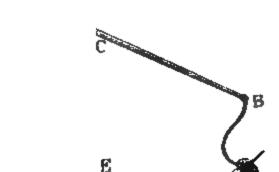
$$Q a \cos \alpha - Wb \sin \alpha = 0.$$

Hieraus ergiebt sich

tang
$$\alpha = \frac{Q \, a}{W \, b}$$
,

d. h. die trigonometrischen Tangenten der Ausschlagwinkel sind den Gewichten der Garnsträhne proportional. Hiernach ist eine in E zu CE errichtete Rors

male in gleiche Teile au teilen, und die Ber≠ bindungslinien diefer Teilpunkte mit werden auf dem Grads bogen die entsprechen= den Teilstriche ans geben, welche also unter sich ungleich find. Bei ben Garnen wird anstatt des Ges wichtes die Feinheits= nummer angegeben, d. i. diejenige Bahl, mit der das Gewicht von 840 Pards Garn= länge zu multiplizieren ist, um 1 Pfd. engl. zu erhalten. Baum=



D w |

Fig. 818.

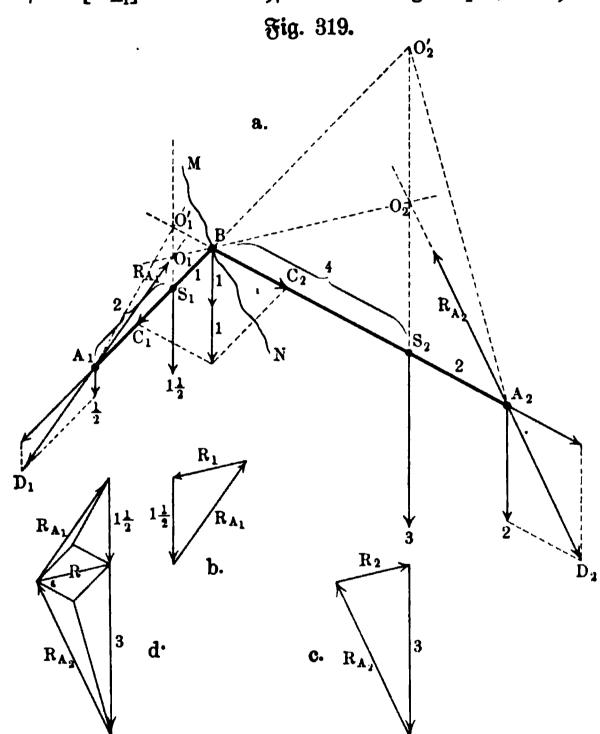
A

wolle Nr. 50 bebeutet also: 840 Parbs dieser Baumwolle wiegen $^1_{60}$ Pfd. In der Figur sind auf dem Gradbogen, dieser Bezeichnung entsprechend, die einzelnen Teilstriche mit diesen Nummern versehen, wonach die Wage von Garn Nr. 100 bis Sarn Nr. 5 benutt werden kann.

4. Stangenverbindungen. Die Bestimmung, welche S. 479 u. f. für zwei sich gegenseitig stützende Blode durchgeführt wurde, gilt zugleich für zwei Bernide, Rechantt. L.

Stangen, die in A_1 , B, A_2 durch Gelenke verbunden sind. Man kann in A_1 und A_2 statt des sesten Anschlusses wiederum eingelenkte Stangen eins sühren u. s. s., so daß man zu einem Stangenpolygon oder Stangeneck geslangt. Die auf S. 479 u. s. durchgeführten Betrachtungen gelten dann sür je zwei benachbarte Stangen des Polygons. Namentlich bleibt auch die Regel über die Reaktion einer kraftsreien Stange dabei in Geltung, wonach diese stets innerhalb der Achse der Stange liegt.

Rückt $[G_1]$ nach A_1 oder nach B, während BA_2 kraftfrei ist, so rückt O_1 in gleichem Sinne weiter. Bei einer Belastung von A_1 ist $[R_{A_1}]$ senkrecht nach oben gerichtet, während $[R_1]$ verschwindet; bei einer Belastung von B sällt $[R_{A_1}]$ in die Achse der Stange A_1B , während $[R_1]$ in die Achse der



Stange BA_2 fällt, d. h. bei Knotenbelastung von sonst kraftsreien Stangen liegen die Reaktionen in den Achsen der Stangen (vergl. Fig. 150).

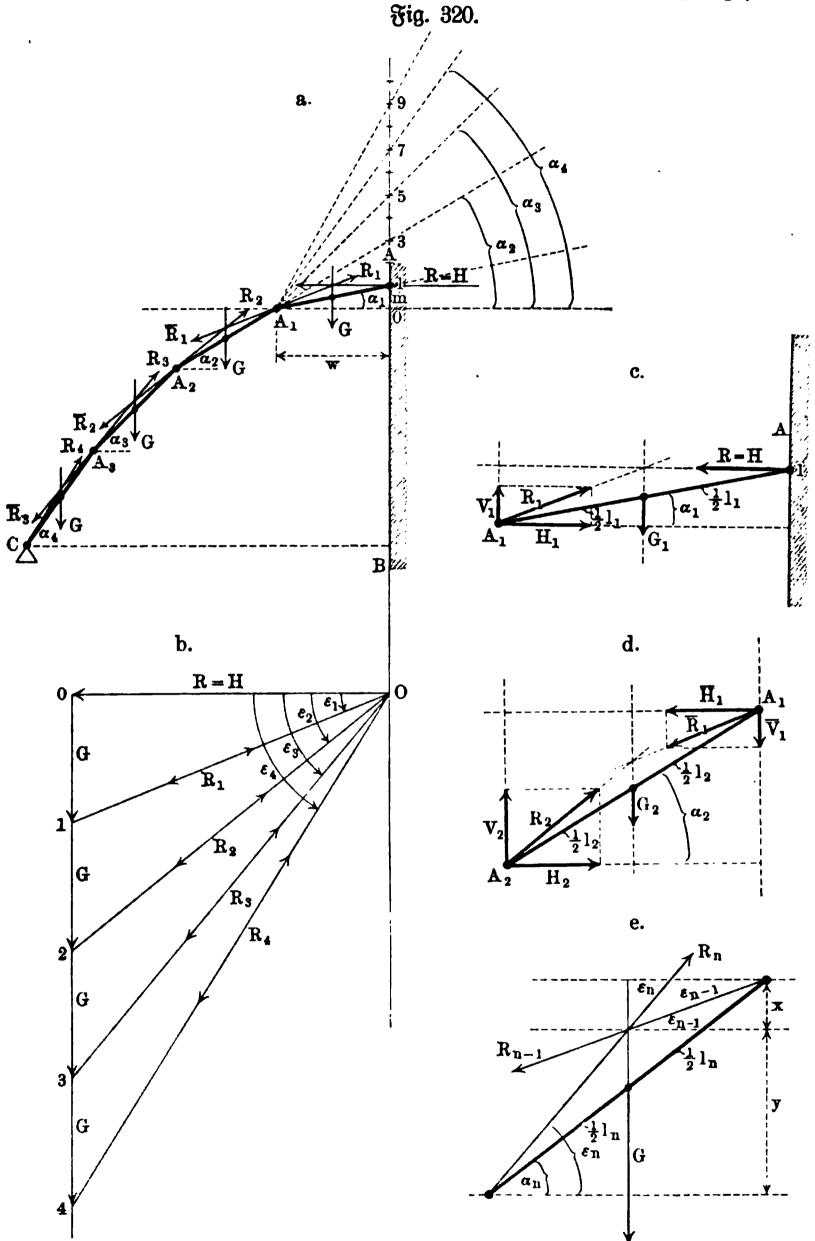
Wir behandeln zu= nächst die Aufgabe, welche S. 479 u. f. durchgeführt wurde, durch Einführung von Knotenbelastungen. Die Kraft $1\frac{1}{2}$ in S_1 ist in die parallelen Kräfte $\frac{1}{2}$ in A_1 und 1 in Bzerlegt, ebenso die Kraft 3 in S_2 in die parallelen Rrafte 2 in A2 und 1 in B. Die Kraft 2 in B zerlegt sich nach den Stangen in BC_1 und in BC_2 ; diese Komponenten geben, nach A_1 bezw. A_2 verschoben, dort im Ver= ein mit den außerdem vorhandenen Kräften,

bezw. die Resultanten A_1D_1 und A_2D_2 , welchen bezw. die Reaktionen $[R_{A_1}]$ und $[R_{A_2}]$ entsprechen. Schneidet man die Konstruktion in B durch MN, so geben die in Fig. 319 b und c dargestellten Kraftdreiecke die Reaktionen $[R_1]$ und $[R_2]$.

Zur Kontrolle dient noch Fig. 319 d.

Beim Mansardendach, welches Fig. 320 a darstellt, liesert die Wand AB, statt deren auch ein zweites, symmetrisch gelegenes Dach auftreten kann, eine horizontale Reaktion [R], welche mit dem Gewichte der ersten Stange (Sparren) und der Reaktion $[R_1]$ von $[A_1]$ im Gleichgewichte steht. Für die zweite Stange spielt die Gegenkraft $[\overline{R_1}]$ von $[R_1]$ dieselbe Rolle, wie [R] für die erste Stange u. s. f.

In Fig. 320 b sind die einzelnen Dreiecke, welche zur Bestimmung der Reaktionen dienen, für gleiche Sparrengewichte aneinander gefügt; dabei ist



 $1\ O=R_1$ und $O\ 1=\overline{R_1}$, $2\ O=R_2$ und $O\ 2=\overline{R_2}$ u. s. Man beseichnet R als Horizontalschub (H).

In Bezug auf die Winkel, welche die Stangen mit der Horizontalen bilden, erhält man Beziehungen, wenn man die einzelnen Stangen in den Gelenken durch Schnitte voneinander trennt und auf sie die Gleichungen des Gleichgewichtes anwendet. Für die erste Stange (vergl. Fig. $320 \, \mathrm{c}$ a. v. S.) giebt der Momentensat in Bezug auf A_1 die Gleichung

b. h.
$$-R(l_1\sin\alpha_1) + G_1(\frac{1}{2}l_1\cos\alpha_1) = 0,$$

$$tg\,\alpha_1 = \frac{\frac{1}{2}G_1}{R}.$$

Außerdem ist $H_1 = R = H$ und $V_1 = G_1$.

In Bezug auf die zweite Stange (vergl. Fig. $320\,\mathrm{d}$ a. v. S.) giebt der Momentensatz in Bezug auf A_2 die Gleichung

 $-\overline{H_1}(l_2\sin\alpha_2) + \overline{V_1}(l_2\cos\alpha_2) + G_2(\frac{1}{2}l_2\cos\alpha_2) = 0,$ b. h. $\tan \alpha_2 = \frac{\overline{V_1} + \frac{1}{2}G_2}{\overline{H}} = \frac{G_1 + \frac{1}{2}G_2}{R}.$

Außerdem ist $H_2=H_1=R$ und $V_2=G_2+\overline{V_1}=G_2+G_1$. Ebenso ergiebt sich

$$tg \, \alpha_8 = rac{G_1 \, + \, G_2 \, + \, rac{1}{2} \, G_3}{R}$$
, $H_3 = R \, \, ext{unb} \, \, V_3 = G_1 \, + \, G_2 \, + \, G_3 \, \, ext{u. f. m.}$

Für $G_1=G_2=\ldots G$, d. h. für unter sich gleichartige Stangen gilt also

$$tg \alpha_1 = \frac{G}{2R}$$
, $tg \alpha_2 = \frac{3G}{2R}$, $tg \alpha_3 = \frac{5G}{2R}$, ...

Ist α_1 gegeben, so zeigt Fig. 320 a die Konstruktion für α_1 , α_2 , α_3 u. s. s. sind die Stangen nicht gleichartig, so ist die Konstruktion auch durch= führbar, wenn auch in verwickelterer Weise.

Heaktionen eindeutig. Diese Bestimmung muß übereinstimmen mit der in Fig. 320 b.

Bildet die nte Stange mit der Horizontalen den Winkel α_n , während die bereits bestimmte Reaktion $[R_{n-1}]$ mit der Horizontalen den Winkel ε_{n-1} bildet, so zeigt Fig. 320 e die Bestimmung der Reaktion $[R_n]$, die mit der Horizontalen den Winkel ε_n bildet. Man hat

$$tg \, \varepsilon_{n-1} = x : \frac{l_n}{2} \cos \alpha_n \quad \text{unb} \quad tg \, \varepsilon_n = y : \frac{l_n}{2} \cos \alpha_n,$$
b. h.
$$tg \, \varepsilon_{n-1} + tg \, \varepsilon_n = (x + y) : \frac{l_n}{2} \cos \alpha_n = l_n \sin \alpha_n : \frac{l_n}{2} \cos \alpha_n = 2 tg \, \alpha_n.$$
Da $tg \, \varepsilon_n = n \frac{G}{R}$ ift (nach Fig. 320 b), so ift
$$2 tg \, \alpha_n = (2 \, n - 1) \frac{G}{R}.$$

Man hat also

und

$$tg \ \varepsilon_1 : tg \ \varepsilon_2 : tg \ \varepsilon_3 : \cdots = 1 : 2 : 3 : \cdots$$
 $tg \ \alpha_1 : tg \ \alpha_2 : tg \ \alpha_3 : \cdots = 1 : 3 : 5 : \cdots$

Dabei ist $tg \alpha_1 = \frac{m}{w}$ nach Fig. 320 a und $tg \epsilon_1 = \frac{G}{H} = \frac{2m}{w} = 2tg \alpha_1$

nach Fig. 320 b, b. h. $H = \frac{1}{2} G \cot \alpha_1$.

Handelt es sich allgemein darum (vergl. Fig. $321\,\mathrm{a}$), in einer Stangensverbindung AMN eine Stange l von bestimmter Belastung P in einem bes

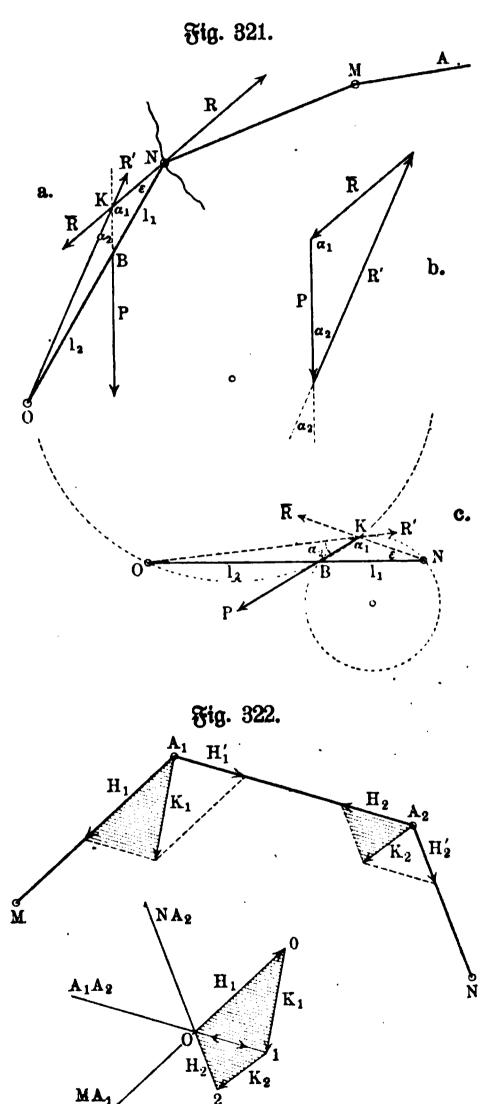
stimmten Punkte N einzufügen, dessen Reaktion [R] bereits be= kannt ist, so kann man zunächst aus $[\overline{R}]$ und [P] die Reaktion [R'] für das andere Ende der ein= zulenkenden Stangen bestimmen (Fig. 321 b) und dem entsprechen= den Dreiecke die Winkel a, und a, entnehmen, welche über den beiben Stücken l, und l2 ber Stange l stehen. Die Kreisbogen für α_1 und α_2 geben (vergl. Fig. 321 c) den Punkt K und den Winkel e, so daß die Stange nun in richtiger Lage in die Hauptfigur 321 a eingezeichnet werden kann.

Für Knotenbeanspruchungen, welche unmittelbar als solche gesgeben sind, sindet Zerlegung nach den Achsen der Stangen statt, so daß die Stangenverbindung dann genau einem Seilpolygon entspricht, absgesehen davon, daß in Seilstücken nur Zug, in Stangen aber auch Druck auftreten kann.

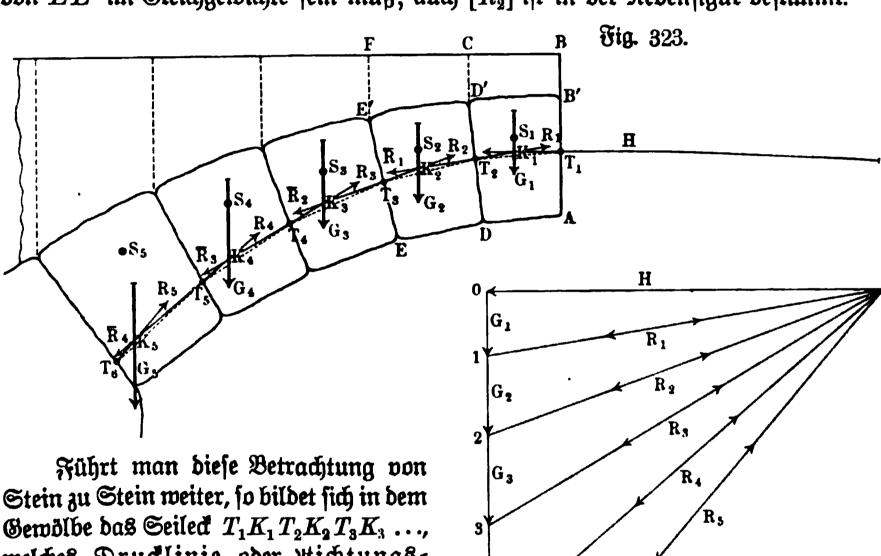
In Fig. 322 ist ein solcher Fall behandelt, wobei 00 die Resaftion von M und 20 die Resaftion von N darstellt.

Stangenpolygone von unsendlich stleinen Seiten gehen in Mastangenkurven über, welche alle Eigenschaften der Seilkurven haben. Vergl. S. 352.

5. Stütlinien und Belastungslinien. In Fig. 323 (a. f. S.) ist die Hälfte eines



gewöhnlichen Gewölbes (Tonnengewölbe mit horizontaler Achse) dargestellt, während dessen andere Hälfte durch die wagerechte Kraft [H] ersett ist, mit welcher diese gegen die erste drückt. Die Ausschützung oder Übermauerung über den einzelnen Gewölbesteinen ist, diesen entsprechend, zerlegt, so daß die ein= gezeichneten Schwerpunkte S_1, S_2, \ldots immer den Schwerpunkt je eines Gewölbe= stückes und der zugehörigen Belastung bezeichnen. Damit der erste Stein mit seiner Belastung, d. h. ABCD im Gleichgewichte ist, muß ein Punkt der Fläche DD' eine Reaktion $[R_1]$ liefern, die mit [H] und mit dem Gewichte $[G_1]$, welches sich in S1 verdichtet, im Gleichgewichte ist; sie ist in der Nebenfigur bestimmt. Die Gegenkraft $[\overline{R_1}]$ dieser Reaktion drückt auf den zweiten Stein DCFE, so daß für dessen Gleichgewicht $[\overline{R}_1]$ mit $[G_2]$ und der Reaktion von $[R_2]$ von EE' im Gleichgewichte sein muß; auch $[R_2]$ ist in der Nebenfigur bestimmt.



 G_4

G₅

welches Drucklinie oder Kichtungs= linie bes Druckes genannt wird.

Verbindet man die Angriffspunkte T_1, T_2, \ldots ber Reaktionen $[H], [R_1], \ldots$ durch Strecken, so erhält man den Stredenzug T1T2T3 ..., welcher Stüt= linie genannt wird. Bergl. damit auch Fig. 320 a.

Zerlegt man das Gewölbe samt seiner Belastung nicht nach den natür= lichen Jugen, sondern durch Schnitte, parallel zu AB, und bestimmt man für die dabei entstehenden Teilkörper die Drucklinie und die Stüglinie, so gehen beide Linien ineinander über, falls man die Schnitte einander unendlich nahe legt.

In diesem Falle tann man die Eigenschaften, welche die Drud= linie als Seilpolygon hat, auf die Stüglinie übertragen.

Ist für den Körper $A_1 A_2 A_2' A_1'$ der Fig. 324 in dieser Weise die Linie

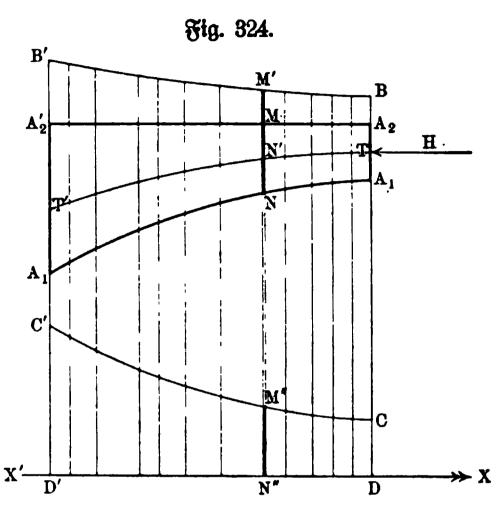
TT' bestimmt, welche zugleich Drucklinie und zugleich Stütlinie ist, so kann man diese Linie als den Träger der ganzen Belastung ansehen, indem man für jede unendlich=dünne Schicht MN=M'N' macht; bei dem Gewölbe, von dem wir ausgingen, könnte man die Fläche AB'B in Fig. 323 entbehren, salls nur T_1 sest bleibt, ebenso die Fläche DD'C, salls nur T_2 sest bleibt u. s. s.,

da die Reaktionen lediglich die Punkte T_1 , T_2 ... als feste Angriffspunkte erfordern.

Man gelangt so zu einer Linie BB', welche die zur Stüglinie TT' gehörige Be= lastung linie genannt wird.

In Fig. 324 ist die Beslastung auch noch horizontal abgeglichen dargestellt, indem sentrecht zu der Achse X'Xüberall M''N'' = MN gemacht ist; so entsteht DCC'D'.

Dreht man Fig. 324 um A_2A_2' um 180° , so läßt sich TT' als ein Seil auffassen, zu welchem BB' die zugehörige Belastung bestimmt.

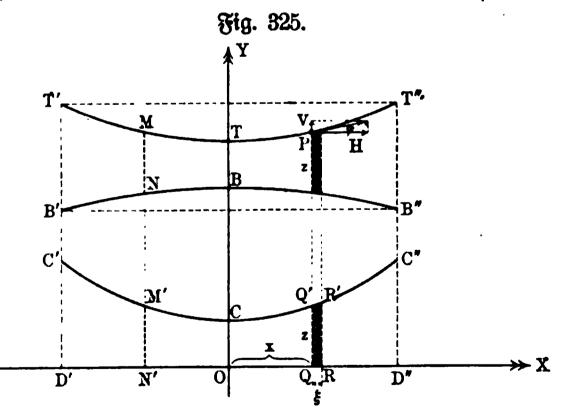


In Fig. 325 ist dies für die beiden Hälften des Körpers, von denen Fig. 324 die eine darstellt, durchgeführt; außerdem ist auch wieder die Belastung auf einer Horizontalen OX graphisch dargestellt, so daß überall MN = M'N', also im besondern T''B'' = C''D'' und TB = CO ist.

If die Gleichung der Seilkurve T'T'' in Bezug auf die Achsen XY dargestellt durch y=f(x), so wird tg φ für einen beliebigen Punkt P durch die Ableitung f'(x) dars gestellt, so daß

$$tg \varphi = \frac{V}{H} = f'(x)$$
ift.

Da H eine Kon= ftante ist und da V mit der Belastung für den



Bogen TP übereinstimmt, falls die Tangente in T horizontal ist (vergl. S. 353 u. s.), so ist f'(x) proportional zu der Fläche von TP oder zu der Fläche CQ'QO.

Gelingt es, diese Fläche als Funktion $\varphi(x)$ von x darzustellen, so daß man für OQ = x die zugehörige Fläche OQQ'C berechnen kann, so gilt also

$$f'(x) = \frac{\varphi(x)}{H}.$$

Bildet man aus beiden Seiten die Ableitungen, wobei die Ableitung von f'(x), die sogenannte zweite Ableitung von f(x), durch f''(x) bezeichnet werden mag, so gilt auch

$$f''(x) = \frac{\varphi'(x)}{H}$$

Der Erklärung nach (vergl. S. 58) hat man

$$\varphi'(x) = \lim \left[\frac{\varphi(x+\xi)-\varphi(x)}{\xi}\right]_{\xi=0}$$

Hier bedeutet $\varphi(x+\xi)$ die Fläche ORR'C und $\varphi(x)$ die Fläche OQQ'C, also $\varphi(x+\xi)-\varphi(x)$ die Fläche QRR'Q', welche sich an der Grenze als s. ξ darstellen läßt, falls z die Strecke QQ', welche der Belastung in P gleich ist, bezeichnet. Demnach ist $\varphi'(x)=z$, und es gilt

$$f''(x) = \frac{x}{H}$$
.

Hat man z. B. gleichmäßige Belastung der Horizontalen (vergl. S. 354), so ist C'CC'' eine Parallele zu OX und x hat einen konstanten Wert h, so daß

$$f''(x) = \frac{h}{H}$$

und also $f'(x) = \frac{h}{H}x + C$ ist, falls C eine Konstante bezeichnet; da $tg \varphi = f'(x) = 0$ ist für x = 0, so ist C = 0. Demnach gilt

$$f(x) = \frac{1}{2} \frac{h}{H} x^2 + C',$$

falls C' eine Konstante bezeichnet. If y = f(x) = a für x = 0, so ist C' = a, d. h. man hat als Gleichung der Seilkurve

$$y = f(x) = \frac{1}{2} \frac{h}{H} x^2 + a$$
,

gelangt also zurück zu der früher bestimmten Parabel (vergl. S. 355), salls man $h=\gamma$ setzt und das Kreuz so verschiebt, daß a=0 ist.

Für bestimmte Anwendungen ist es zweckmäßig, den Krümmungsradius o der Seilkurve einzuführen. Unter den Ausdrücken für o ist in diesem Falle

$$\varrho = \frac{1}{\cos^3 \varphi \cdot f''(x)}$$

am geeignetsten.

Da $f''(x) = \frac{x}{H}$, so ist demnach

$$\varrho = \frac{H}{z \cdot \cos^3 \varphi}.$$

Rennt man die Werte von ϱ und z für den Schnitt, für welchen $\varphi=0$ ist, bezw. ϱ_0 und z_0 , so ist im besonderen im Scheitel

$$\varrho_0 = \frac{H}{z_0}, \quad b. \quad b. \quad H = \varrho_0 z_0.$$

Durch Division der Gleichungen für q und qo erhält man noch

$$\varrho = \frac{\varrho_0 z_0}{z \cdot \cos^3 \varphi}.$$

Ist für einen Kreisbogen vom Radius r, der als Stüplinie gegeben ist, die zugehörige Belastungslinie gesucht, so ist die eben entwickelte Gleichung von besonderem Nuzen, da hier $\varrho=r$ ist.

Es ist dann, da auch $\varrho_0 = r$ ist, hier

$$z=\frac{z_0}{\cos\varphi^3}.$$

Demnach kann s für jede Stelle leicht durch eine dreisache Projektion aus so gewonnen werden, wie Fig. 326 zeigt. Für diese gilt

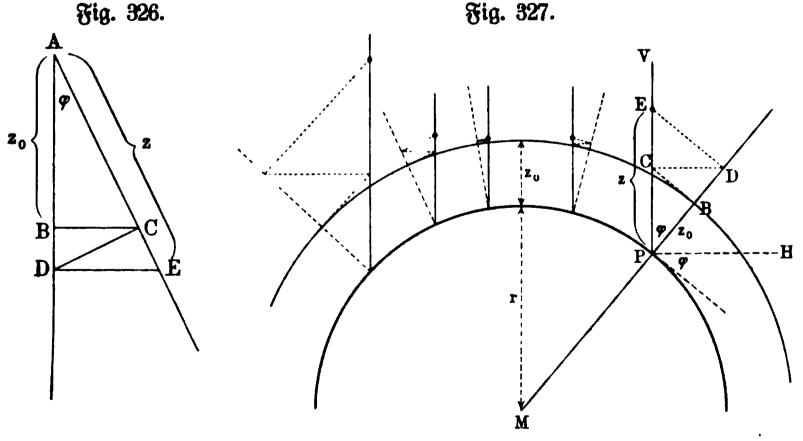
$$AC \cdot \cos \varphi = z_0$$

 $AD \cdot \cos \varphi = AC$
 $AE \cdot \cos \varphi = AD$.

Durch Multiplikation dieser drei Gleichungen erhält man

$$AE = \frac{z_0}{\cos^3 \varphi} = z.$$

Um biese Konstruktion (vergl. Fig. 327) für beliebig = viele Punkte des als Stüglinie gegebenen Kreisbogens durchzuführen, verfährt man folgender=



maßen. Die Tangente in P bildet mit der Horizontalen den Winkel φ , welchen auch die Vertikale PV mit dem Radius MP liefert. Trägt man also Fig. 326 in Fig. 327 ein, so daß A auf P und AE in die Richtung PV fällt, so ist E der zu P gehörige Punkt der gesuchten Belastungskurve.

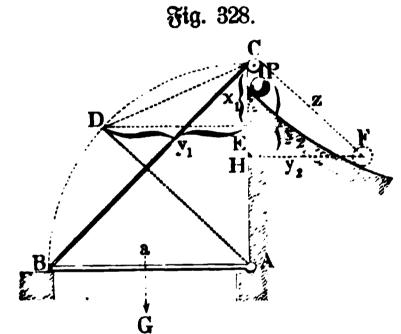
Schlägt man mit $r+z_0$ einen Kreis um M, so liesert dieser auf jedem Radius MP den Punkt B, von dem aus Punkt E auf der zugehörigen Verztikalen PV gefunden werden kann.

Eine weitere Betrachtung zeigt, daß der Krümmungsradius der Beslasturve im Scheitel den Wert $\frac{r^2}{3z_0-r}$ annimmt, so daß für $r=3z_0$ eine Belastungsturve entsteht, welche in der Nähe des Scheitels angenähert horizontal verläuft.

Die Belastungslinie ist, von oben gesehen, in der Nähe des Scheitels für $r < 3\,z_0$ hohl, für $r > 3\,z_0$ erhaben.

Schreibt man als Belastungslinie eine Gerabe vor, so findet man als zugehörige Stützlinie eine Gewölbelinie (vergl. S. 355).

6. Führungsbahn eines Klappengewichtes. Eine Klappe AB (Fig. 328) wird in horizontaler Lage durch ein Gewicht P im Gleichgewicht erhalten, das



Gewicht ist mittels eines Seiles über eine feste Rolle geführt und hängt vertikal herab.

Wird die Klappe gehoben, so hört auch das Gleichgewicht auf, so daß eine Bewegung entsteht, durch welche die Klappe mit Heftigkeit gegen die vertikale Wand geschlagen wird. Um das letztere zu versmeiden, läßt man das Gewicht P nicht vertikal, sondern auf einer krummen Bahn herabsinken, so daß P mit der Klappe in jeder Lage im Gleichgewichte ist. Es ist diese krumme Bahn zu konstruieren.

Das Gewicht der Klappe sei G, ihre Länge a, das Seil BC habe die Länge l und für die horizontale Lage befinde sich das Gewicht P angenähert in dem Punkte C.

Für die horizontale Lage ist (für AB = AC = a)

$$G\frac{a}{2} - Pa \cdot \frac{1}{2}\sqrt{2} = 0$$

b. **h**.

$$P = \frac{1}{2} G \sqrt{2}.$$

Wir zerlegen G in zwei parallele Kräfte, die an den Enden der **Alappe** wirksam sind, von denen $\frac{G}{2}$ in A für die Bewegung ohne Einfluß ist. Die beiden Kräfte, die weiter in Betracht zu ziehen, sind also $\frac{G}{2}$, in B wirksam, und P.

Der Schwerpunkt der beiden Gewichte P und $\frac{G}{2}$ sei für die horizontale Lage um λ von der durch C gezogenen Horizontalen entfernt.

Die zur Bestimmung von 2 dienende Gleichung ist:

$$\lambda \left(P + \frac{G}{2}\right) = P \cdot o + \frac{1}{2} G a$$

$$\lambda = \frac{\frac{1}{2} G}{P + \frac{G}{2}} a.$$

Das Gleichgewicht, welches für jede beliebige Lage der Klappe und des Gewichtes P bestehen soll, ist ein neutrales, da jede noch so kleine Bersmehrung auf einer Seite eine Bewegung zur Folge haben soll, die nach Wegsnahme des Übergewichtes sogleich wieder vernichtet werden soll. Der Schwerspunkt des Systems kann daher bei der Bewegung weder gehoben noch gesenkt werden, d. h. der Schwerpunkt des Systems ist von der durch C gelegten Horizontalen immer um λ entsernt.

Es stelle AD eine beliebige Lage der Klappe vor, für die P nach F gestommen ist.

Es sei

$$CE = x_1$$
, $CH = x_2$, $DE = y_1$, $FH = y_2$ and $CF = s$.

Zwischen z und x_2 erhalten wir auf folgende Weise eine Beziehung. Es ist

$$z = l - \sqrt{x_1^2 + y_1^2}$$

 $z = l - \sqrt{2 a x_1}$

und wegen des neutralen Gleichgewichtes

$$\frac{1}{2}Gx_1 + Px_2 = \lambda \left(P + \frac{G}{2}\right),$$

d. h.

$$x_1 = \frac{\lambda(P + \frac{1}{2}G) - Px_2}{\frac{1}{2}G}$$
,

oder, falls man den oben entwickelten Wert von 2 substituiert,

$$x_1 = \frac{\frac{1}{2}aG - Px_2}{\frac{1}{2}G}.$$

Wir erhalten hiernach

$$z = l - \sqrt{\frac{\frac{1}{2} a G - P x_2}{\frac{1}{2} G} \cdot 2 a}$$

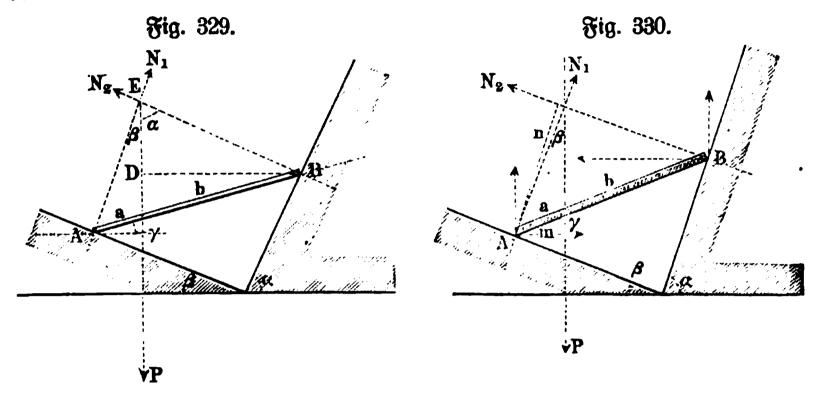
Wird hierin P gleich $\frac{1}{2}G\sqrt{2}$ gesetzt, so entsteht

$$z = l - \sqrt{2 a (a - x_2 \sqrt{2})}$$
 ober $z = l - \sqrt{l (l - 2 x_2)}$.

Hieraus läßt sich zu jedem Werte von x_2 das zugehörige z berechnen; die krumme Bahn, welche dem Gewichte P zur Unterlage dienen muß, ist also auf leichte Weise zu konstruieren.

7. Reaktionsbestimmungen in besonderen Fällen. I. Eine gerade gewichtslose Stange ruht mit ihren Enden auf zwei vollkommen glatten geneigten Ebenen, für die eine durch die Achse der Stange gelegte Vertikalebene rechtwinkelig ausfallen mag. In einem beliebigen Punkte der Stange wird ein Druck P in einer zur Horizontalebene normalen Richtung ausgeübt. Es ist die Gleichgewichtslage der Stange zu bestimmen.

Erste Auflösung. Die in dem vorliegenden Falle entstehenden Resattionen N_1 und N_2 (Fig. 329) sind in den Endpunkten des Stabes normal zu den geneigten Ebenen anzunehmen, und liegen mit P in der durch die Achse Stabes gelegten Vertikalebene. Wenn die Reaktionen die Wirkung



des Gewichtes P vernichten sollen, so müssen sich die Richtungen von N_1 , N_2 und P in einem Punkte E schneiden. Zu dem Ende ist AE oder BE, oder der Winkel γ dem Gleichgewichtszustande gemäß zu bestimmen, da die Länge der Stange gleich a+b bekannt ist. Es ist $BD=b\cos\gamma=BE\sin\alpha$, d. h.

$$BE = b \frac{\cos \gamma}{\sin \alpha}$$
.

Weiter ist aus dem Dreieck AEB

b. h.
$$BE: (a + b) = \sin(R - \beta - \gamma) : \sin(2R - \alpha - \beta)$$
$$= \cos(\gamma + \beta) : \sin(\beta + \alpha)$$
$$BE = (a + b) \frac{\cos(\gamma + \beta)}{\sin(\beta + \alpha)}.$$

Durch Gleichsetzung der beiden für $Boldsymbol{E}$ gefundenen Werte erhalten wir

$$b\frac{\cos\gamma}{\sin\alpha} = (a+b)\frac{\cos(\gamma+\beta)}{\sin(\beta+\alpha)}$$

$$b\sin(\beta+\alpha) = (a+b)\sin\alpha(\cos\beta-\sin\beta\tan\gamma)$$

$$\tan\gamma = \frac{-b\sin(\beta+\alpha)+(a+b)\sin\alpha\cos\beta}{(a+b)\sin\alpha\sin\beta}$$

$$\tan\gamma = \frac{a\cot\beta\beta-b\cot\beta\alpha}{a+b}.$$

Zweite Auflösung. Wir nehmen A als Koordinatenanfangspunkt (Fig. 330) und zerlegen die Reaktionen N_1 und N_2 nach der Krastrichtung von P und normal dazu, so sind die Gleichgewichtsbedingungen

$$P - N_2 \cos \alpha - N_1 \cos \beta = 0$$

$$N_1 \sin \beta - N_2 \sin \alpha = 0$$

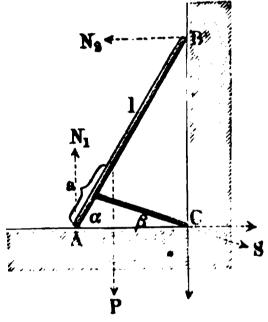
$$Pm - N_2 n = 0.$$

Hieraus folgt

$$P-N_2 \frac{\sin \alpha}{\sin \beta} \cos \beta - N_2 \cos \alpha = 0$$
 $N_2 = P \frac{\sin \beta}{\sin (\beta + \alpha)}$
 $m = a \cos \gamma; \ n = (a + b) \cos (\gamma - \alpha)$
 $a P \cos \gamma = P(a + b) \frac{\sin \beta \cos (\gamma - \alpha)}{\sin (\beta + \alpha)}$
 $a \sin (\beta + \alpha) = (a + b) \sin \beta (\cos \alpha + \sin \alpha \tan \beta \gamma)$
 $tang \gamma = \frac{a \sin (\beta + \alpha) - (a + b) \sin \beta \cos \alpha}{(a + b) \sin \beta \sin \alpha}$
 $tang \gamma = \frac{a \cot \beta - b \cot \alpha}{a + b}$

II. Ein Stab ohne Gewicht von der Länge l stützt sich mit dem einen Ende A gegen eine glatte horizontale, mit dem anderen gegen eine glatte vertikale Ebene und ist in der Entsernung a von $\operatorname{Fig. 331.}$

vertikale Ebene und ist in der Entsernung a von dem Ende A durch ein Sewicht P belastet, das nach einer zur Horizontalebene normalen Richtung wirkt. Das Ausgleiten des Stades wird durch die Befestigung desselben mittels eines gewichtlosen Seiles an einem Punkte C der Durchschnittslinie der beiden betreffenden Ebenen verhindert. Es ist die Spannung S dieses Seiles zu bestimmen, wenn die Punkte A, B, C in einer zu beiden Ebenen normalen Ebene liegen, und der Neigungswinkel des Stades gegen die Horizontalebene gleich α , der des Seiles gleich β gegeben ist.



Wir nehmen die in den Punkten A und B entstehenden Reaktionen N_1 und N_2 (Fig. 331) normal zu den Ebenen zu Hülfe, zerlegen die Kraft S nach Richtung von AC und BC, und wählen C als Koordinatenanfangspunkt, so sind die Gleichgewichtsbedingungen

$$N_1 - P - S \sin \beta = 0$$

$$N_2 - S \cos \beta = 0$$

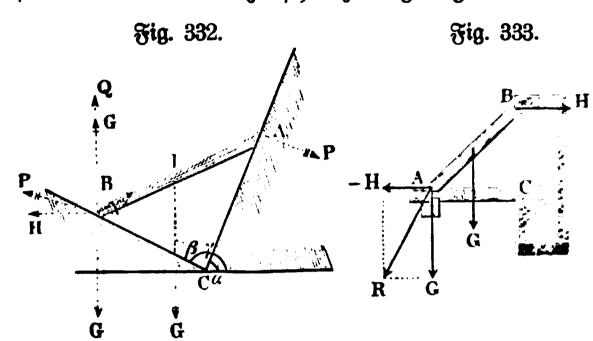
$$N_1 l \cos \alpha - N_2 l \sin \alpha - P(l - a) \cos \alpha = 0.$$

Hieraus folgt

$$(P + S \sin \beta) l \cos \alpha - S l \cos \beta \sin \alpha = P(l - a) \cos \alpha$$
 $S l (\sin \beta \cos \alpha - \cos \beta \sin \alpha) = -P a \cos \alpha$
 $S l \sin (\alpha - \beta) = P a \cos \alpha$
 $S = P \frac{a}{l} \cdot \frac{\cos \alpha}{\sin (\alpha - \beta)}$

Für $\alpha=\beta$, wo [S], $[N_1]$ und $[N_2]$ durch einen Punkt gehen, wird $S=\infty$; für $\beta>\alpha$ wird S negativ (Druck), so daß das Seil durch eine Stange ersett werden muß. Eine Stange hat für $\beta<\alpha$ Jug auszuhalten, für $\beta>\alpha$ Druck, für $\alpha=\beta$ ist sie unbrauchbekt.

III. Ein Balken (Fig. 332) von der Länge l und dem Gewichte G ist mit seinen beiden Enden zwischen zwei geneigten Ebenen besestigt, dabei aber nicht



in der Gleichgewichts= lage, welche in Nr. I bestimmt wurde. Es sind die Kräfte zu be= stimmen, die den Bal= ten in dieser Lage er= halten, oder die Wir= tungen, die gegen die Besestigungspunkte aus geübt werden.

Die geneigten Ebenen bilden mit der Horizon=

talen die Winkel α und β , und der Balken bilde mit derselben Ebene den Winkel γ .

Wir verschieben G parallel seiner Richtung nach B; das entstehende Paar $G\frac{l}{2}\cos\gamma$ bringen wir auf eine solche Breite, daß die Kräfte nach dem Berschieben durch A und B gehen und normal zu AC wirksam sind. Nennen wir die Kraft P, so ist

$$G\frac{l}{2}\cos\gamma = Pl\cos(\alpha - \gamma),$$

d. h.

1)
$$P = \frac{1}{2} \frac{\cos \gamma}{\cos (\alpha - \gamma)} G$$
.

Die Kraft P in dem Punkte B zerlegen wir nach horizontaler und verstikaler Richtung in die Komponenten H und Q. Es ist

$$H = P \sin \alpha$$

$$Q = P \cos \alpha.$$
2)
$$H = \frac{1}{2} \frac{\sin \alpha \cos \gamma}{\cos (\alpha - \gamma)} G.$$

Der lotrechte Druck V im Punkte B ist gleich G-Q, d. h. es ist

3)
$$V = \left(1 - \frac{1}{2} \frac{\cos \alpha \cos \gamma}{\cos (\alpha - \gamma)}\right) G.$$

Diese allgemeinen Formeln finden ihre Anwendung, wenn Balken unterseinander in geneigter Lage verbunden werden.

Ein Beispiel dafür stellt Fig. 333 dar.

1)
$$P = \frac{1}{2} G \cot \gamma$$
,

2)
$$H = \frac{1}{2} G \cot \gamma = P$$
,

3)
$$V = G$$
.

Ein weiteres Beispiel stellt Fig. 334 dar.

1)
$$P = \frac{1}{2} G \cos \gamma$$
,

2)
$$H=\frac{1}{4}G\sin 2\gamma$$
,

3)
$$V_1 = \frac{1}{2} (1 + \sin \gamma^2) G$$
.



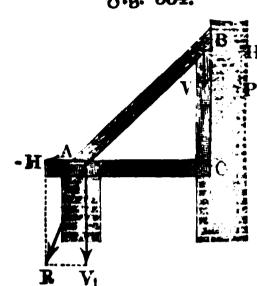
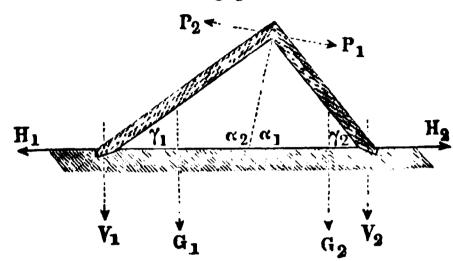


Fig. 335.



Ebenso folgt für Fig. 335

1)
$$P_1 = \frac{1}{2} G_1 \frac{\cos \gamma_1}{\cos (\alpha_1 - \gamma_1)}$$

 $P_2 = \frac{1}{2} G_2 \frac{\cos \gamma_2}{\cos (\alpha_2 - \gamma_2)}$

Für den Fall des Gleichgewichtes muß $P_1=P_2$ sein. Sewöhnlich ist dann γ_1 und γ_2 gegeben, während α_1 bestimmt werden muß. Man hat:

und .

$$tang \alpha_{1} = \frac{G_{1} + G_{2}}{G_{1} tang \gamma_{2} - G_{2} tang \gamma_{1}}$$
2) $H_{1} = \frac{1}{2} \frac{G_{1} + G_{2}}{tang \gamma_{1} + tang \gamma_{2}} = H_{2}$,

3) $V_{1} = G_{1} - \frac{\frac{1}{2} G_{1} tang \gamma_{2} - G_{2} tang \gamma_{1}}{tang \gamma_{1} + tang \gamma_{2}}$

$$V_{2} = G_{2} + \frac{1}{2} \frac{G_{1} tang \gamma_{2} - G_{2} tang \gamma_{1}}{tang \gamma_{1} + tang \gamma_{2}}$$

$$V_{1} + V_{2} = G_{1} + G_{2}$$

$$V_{2} - V_{1} = \frac{G_{2} tang \gamma_{2} - G_{1} tang \gamma_{1}}{tang \gamma_{1} + tang \gamma_{2}}$$

Das Zeichen des letzten Ausdruckes läßt erkennen, welcher der beiden Drucke V_1 oder V_2 der größere ist. Ist in dem letzten Falle $\gamma_1=\gamma_2$, haben die geneigten Hölzer also gleiche Länge, so ist

$$P_1 = P_2 = H_1 = H_2 = \frac{1}{2} G \cot y$$

unb

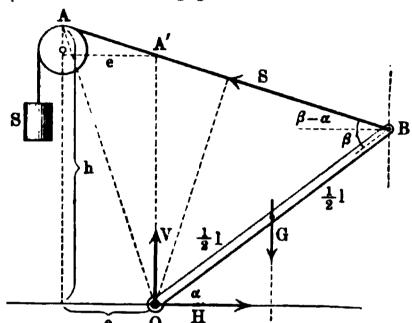
$$V_1 = V_2 = G$$
.

IV. Ein prismatischer Stab OB von der Länge l ist an dem einen Ende O in einem Gelenke befestigt, während das andere Ende durch ein Seil gehalten wird, welches über eine seste Rolle läuft (vergl. Fig. 336). Es sind die Reaktionen in O zu bestimmen, sowie die Seilspannung, falls der Stab nur durch sein Gewicht G belastet ist.

Man hat

- 1) $S\cos(\beta \alpha) = H$ für die Horizontalkräfte,
- 2) $V + S \cdot \sin(\beta \alpha) = G$ für die Bertikalkräfte,
- 3) $G \frac{l}{2} \cdot \cos \alpha = Sl \sin \beta$ als Moment für O als Drehpunkt.

Fig. 336.



Aus Nr. 3 folgt

$$S = \frac{G}{2} \frac{\cos \alpha}{\sin \beta}.$$

Der Wert für S liefert ferner im Verein mit Nr. 1 und Nr. 2

$$H = \frac{G}{2} \frac{\cos \alpha \cdot \cos (\beta - \alpha)}{\sin \beta}$$

$$V = G - \frac{G}{2} \frac{\cos \alpha \sin (\beta - \alpha)}{\sin \beta}.$$

Dabei ist β für ein bestimmtes α gegeben durch

$$tang \beta = \frac{e \sin \alpha + h \cos \alpha}{1 + e \cos \alpha - h \sin \alpha}.$$

Man hat nämlich

$$l: OA' = cos(\beta - \alpha) : sin \beta$$

und

$$OA' = h - e tang(\beta - \alpha),$$

d. h.

$$h\cos(\beta-\alpha)-e\sin(\beta-\alpha)=l\sin\beta.$$

Daraus folgt $tang \beta$ durch Entwickelung von $cos(\beta-\alpha)$ und $sin(\beta-\alpha)$. Diese Betrachtung liegt der Theorie der einfachen Zugbrücke zu Grunde.

V. In einer Bertikalebene stütt sich ein prismatischer Stab AB von der Länge l gegen eine ebene Wand ST, während er außerdem noch im Punkte P durch einen runden Bolzen unterstütt wird. Welches ist die Bedingung des Gleichgewichtes? Bergl. Fig. 337 a.

Der Schwerpunkt des Stabes beschreibt bei allen möglichen Lagen eine Konchoide (vergl. Aufg. Nr. 173 a. S. 224). Die horizontalen Tangenten dieser Linie, welche der höchsten und der tiefsten Lage des Schwerpunktes entsprechen, bestimmen je eine Lage des sicheren und des unsicheren Gleichgewichtes.

Zur Bestimmung der Reaktionen [N] senkrecht zu ST und [N'] senkrecht AB hat man, gemäß Fig. $337\,\mathrm{a}$

- 1) $G N' \cos \beta N \cos \alpha = 0$ für die Vertikalkräfte,
- 2) $N'\sin\beta N\sin\alpha = 0$ für die Horizontalkräfte,

3)
$$G \cdot \frac{l}{2} \cdot \cos \beta - \overline{AP}$$
 . $N' = 0$ als Moment für A als Drehpunkt.

Dabei ist
$$AP = \frac{e}{\sin{(\alpha + \beta)}}$$
.

Aus 1) und 2) folgt

$$N = \frac{G \cdot \sin \beta}{\sin (\alpha + \beta)}$$
 und $N' = \frac{G \cdot \sin \alpha}{\sin (\alpha + \beta)}$.

Dies zeigt auch unmittelbar der Satz von den drei Kräften, falls man Fig. 337 b entwirft.

Setzt man den Wert von N' ein in Nr. 3), so hat man $2e\sin\alpha = l\cos\beta\sin^2(\alpha + \beta)$

als Gleichung zur Bestimmung von β ; die Entwickelung von $\sin{(\alpha+\beta)}$ führt zu einer Gleichung sechsten Grades für $\sin{\beta}$ oder für $\cos{\beta}$.

VI. Ein prismatischer Stab AB von der Länge l ist in einem Punkte O an zwei Fäden von den Längen l_1 und l_2 aufgehangen. Es sind deren Spannungen für die Gleichgewichtslage zu bestimmen. Vergl. Fig. 338.

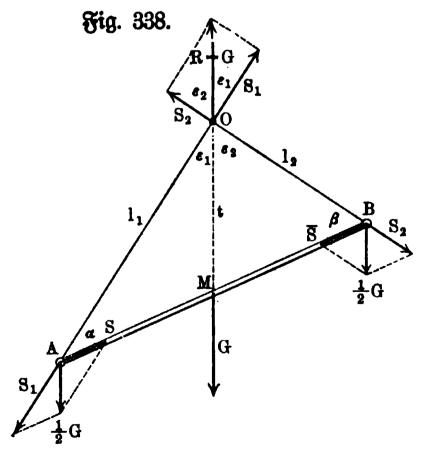
In O tritt eine Reaktion [R] vom Werte G auf, so daß [R] und [G] Gegenkräfte werden. Zerlegt man [R] nach den Richtungen der Fäden, so ist

$$S_1 = \frac{R \cdot \sin \varepsilon_2}{\sin (\varepsilon_1 + \varepsilon_2)}$$

und

$$S_2 = \frac{R \cdot \sin \varepsilon_1}{\sin (\varepsilon_1 + \varepsilon_2)}$$
.

Bernide, Mechanif. I.



Für
$$OM = t = \frac{1}{2} \sqrt{2 \, l_1^3 + 2 \, l_2^3 - l^2}$$
 gilt $\sin \varepsilon_1 = \frac{l}{2 \, t} \cdot \sin \alpha$ wind $\sin \varepsilon_2 = \frac{l}{2 \, t} \cdot \sin \beta$.

Demnach ift

$$S_3 = R \cdot \frac{l}{2t} \cdot \frac{\sin \alpha}{\sin (\epsilon_1 + \epsilon_2)} = R \cdot \frac{l_2}{2t}$$

unb

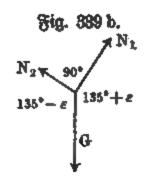
$$S_1 = R \cdot \frac{l}{2t} \cdot \frac{\sin \beta}{\sin (\epsilon_1 + \epsilon_2)} = R \cdot \frac{l_1}{2t}$$

Dieselben Werte erhält man, wenn man zunächst [G] in $[\frac{1}{2}G]$ in A und $[\frac{1}{2}G]$ in B zerlegt und ferner in A und B die weiteren Zerlegungen der Fig. 338 bildet.

Dabei ergiebt fich auch noch

$$S = \frac{1}{4} G \cdot \frac{\sin \varepsilon_1}{\sin \alpha} = \frac{1}{4} G \cdot \frac{l}{2t} \quad \text{unb} \quad \overline{S} = \frac{1}{4} G \cdot \frac{\sin \varepsilon_1}{\sin \beta} = \frac{1}{4} G \cdot \frac{l}{2t}$$

VII. In einer Bertikalebene stützt sich eine bünne Platte von der Form eines rechtwinkelig-gleichschenkeligen Dreiecks auf zwei Pslöcke P_1 und P_2 in gleicher Höhe. Welches sind die Reaktionen sür die Lage des Gleichgewichtes? Bergl. Fig. 339 a.



Man hat

- 1) $N_1 \cos(45^{\circ} + \epsilon) = N_2 \cos(45^{\circ} \epsilon)$ für die Horizontalkräfte,
- 2) $N_1 \sin{(45^{\circ} + \epsilon)} + N_2 \sin{(45^{\circ} \epsilon)} = G$ für die Bertikaltrafte.

Daraus folgt

$$N_2 = G \cdot \cos(45^\circ + \varepsilon)$$

 $N_1 = G \cdot \cos(45^\circ - \varepsilon)$

Dieses Ergebnis folgt auch unmittelbar burch ben Satz der drei Krafte, gemäß Fig. 339 b.

Ist e der Abstand von P_1 und P_2 , so giebt der Momentensatz für S als Drehpunkt

$$8) N_1 x_1 - N_2 x_2 = 0.$$

Dabei ist $x_1 = m - e \cdot \sin(45^\circ + \varepsilon)$ und $x_2 = m - e \cdot \sin(45^\circ - \varepsilon)$, so daß Nr. 3 liefert

e.
$$G[\sin(45^{\circ} + \varepsilon) \cdot \cos(45^{\circ} - \varepsilon) - \cos(45^{\circ} + \varepsilon) \sin(45^{\circ} - \varepsilon)] - mG[\cos(45^{\circ} - \varepsilon) - \cos(45^{\circ} + \varepsilon)] = 0$$
,

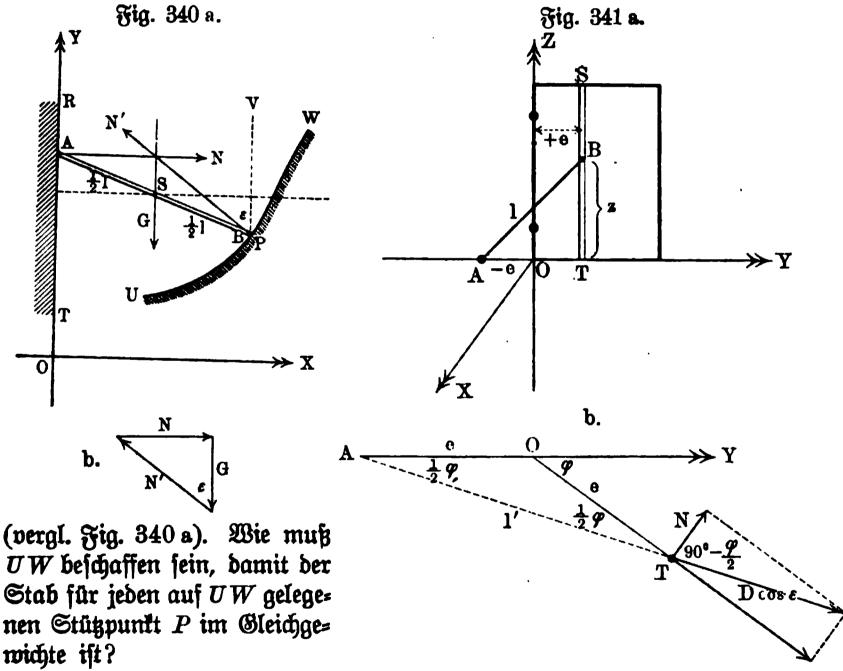
b. h. $e \cdot \sin 2\varepsilon = 2m \cdot \sin 45^{\circ} \cdot \sin \varepsilon$. Da $OS = s = \frac{m}{\cos 45^{\circ}}$ ift, so ift

 $e \cdot \sin 2\varepsilon = 2 \cdot s \cdot \cos 45^{\circ} \cdot \sin 45^{\circ} \cdot \sin \varepsilon = s \cdot \sin \varepsilon$. Da $\sin 2\varepsilon = 2 \sin \varepsilon \cdot \cos \varepsilon$ ist, so ist schließlich

$$2e \cdot \sin \varepsilon \cdot \cos \varepsilon = s \cdot \sin \varepsilon$$
,

d. h. man hat die beiden Wurzeln $\sin s = 0$ oder $\varepsilon = 0$ und $\cos \varepsilon = \frac{s}{2e}$.

VIII. Ein prismatischer Stab AB von der Länge l stützt sich in einer vertikalen Ebene gegen eine ebene Wand RT und gegen eine Hohlsläche UW



Da der Schwerpunkt S sich nicht heben oder senken darf, so bewegt er sich bei Berwendung der Stützpunkte P auf einer horizontalen Geraden, während dabei A auf einer vertikalen Geraden gleitet.

Nimmt man die Horizontale durch den Schwerpunkt S als X=Achse, so beschreibt Hunkt B, der augenblicklich mit P zusammensällt, eine Ellipse (vergl.

S. 194), deren horizontale Halbachse l und deren vertikale Halbachse $\frac{l}{2}$ ist, so daß sie für die durch S verlegte X=Achse die Gleichung

$$\frac{x^2}{l^2} + \frac{y^2}{\frac{1}{4} l^2} = 1$$

Bestimmt man in P für die Ellipse UW Tangente und Normale, so ist damit die Richtung von [N'] gegeben, so daß das Kraftdreieck der Fig. 340 b (a. v. S.) gezeichnet werden kann. Man hat, falls [N'] mit der Bertikalen den Winkel ε bildet,

$$N' = \frac{G}{\cos \varepsilon}$$
 und $N = N' \sin \varepsilon = G \tan g \varepsilon$.

IX. Ein prismatischer Stab AB von der Länge l lehnt sich gegen eine Thür mit vertikaler Achse und gegen den Fußboden, so daß er beim Öffnen der Thür diese durch sein Gewicht wieder schließt (Thürschließer). Die genaueren Beziehungen zeigt Fig. 341 a. (a. v. S.) für die geschlossene Thür, sür welche OZ Drehungsachse ist; die Führungsbahn ST sür das Stabende B ist im Abstande e zu OZ parallel, während das Ende A auf der Y-Achse im Abstande e auf dem Fußboden drehbar besestigt ist.

Bei einer Öffnung der Thür um den Winkel φ ist die Horizontals projektion l' des Stades gegeben als $l'=2\cos\frac{\varphi}{2}$, so daß die Neigung ε des Stades gegen den Horizont durch $\cos\varepsilon=\frac{l'}{l}$ bestimmt ist. Bezeichnet man den Druck des Stades gegen die Thür durch [D], so ist D . $\sin\varepsilon$ dessententsenkte Komponente und diese muß gleich dem Gewichte G des Stades sein. Man hat also

$$D = \frac{G}{\sin \epsilon}$$
 und $\cos \epsilon = \frac{2e}{l} \cdot \cos \frac{\varphi}{2}$

zur Bestimmung von D gegeben.

Da
$$\sin \varepsilon = \sqrt{1-\cos^2 \varepsilon} = \frac{1}{l} \sqrt{l^2-4e^2\cos^2\frac{\varphi}{2}}$$
 ift, so ift
$$D = \frac{G \cdot l}{\sqrt{l^2-4e^2\cos^2\frac{\varphi}{2}}}.$$

Die Komponente [N] von $[D \cdot \cos \varepsilon]$, welche zur Thürfläche senkrecht steht, hat den Wert

$$N = (D\cos\varepsilon) \cdot \cos\left(90^{\circ} - \frac{\varphi}{2}\right) = D \cdot \cos\varepsilon \cdot \sin\frac{\varphi}{2}$$

Demgemäß ist das Moment, welches zur Offenhaltung der Thür nötig ist,

$$Mo = N \cdot e = D \cdot e \cdot \cos \varepsilon \cdot \sin \frac{\varphi}{2} = \frac{G e^2 \sin \varphi}{\sqrt{l^2 - 4 e^2 \cos^2 \frac{\varphi}{2}}}.$$

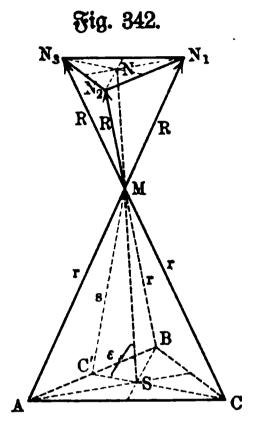
Die Höhe z von B über der Horizontalen ist $l\sin\varepsilon=\sqrt{l^2-4\,e^2\cos^2\frac{\varphi}{2}}$, wobei sich für $\varphi=0$ ergiebt $z=h=\sqrt{l^2-4\,e^2}$.

Umgekehrt ist
$$cos \frac{\varphi}{2} = \frac{\sqrt{l^2 - z^2}}{2e}$$
.

X. In einer hohlen Halbkugel befindet sich eine schwere dreieckige Platte ABC, deren Dicke vernachlässigt werden kann, im Gleichgewichte. Wie bestimmt sich dieses? Vergl. Fig. 342.

Die Reaktionen von A, B, C stehen senkrecht zur Kugelobersläche, schneiden sich also in deren Mittelpunkte M; ihre Resultante, welche gleichfalls durch M geht, ist die Gegenkraft des Gewichtes [G] der Platte, welches in deren

Schwerpunkte S wirkt. Berschiebt man die drei Realstionen nach M, so daß sie bezw. durch $[MN_1]$, $[MN_2]$, $[MN_3]$ dargestellt werden, so geht deren Resultante [MD] durch den Schwerpunkt N des Dreiecks $N_1N_2N_3$. Bildet man nämlich zunächst auß $[MN_2]$ und $[MN_3]$ die Resultante [ME] und dann auß [ME] und $[MN_1]$ die Resultante [MD], so geht [ME] durch die Witte der Strecke N_2N_3 und demnach geht die Ebene des Parallelogramms MEDN, d. h. Ebene MN_1D durch den Schwerpunkt N des Dreiecks $N_1N_2N_3$; entsprechendes gilt für die Ebene MDN_2 und MDN_3 , so daß auch der Durchschnitt MD der drei Ebenen durch N geht. Da die Gerade von [MD] auch durch N geht, so liegen die Dreiecke $N_1N_2N_3$ und N0 geht, so liegen die Dreiecke $N_1N_2N_3$ und N1 geht, so liegen die Dreiecke $N_1N_2N_3$ und N2 geht, so liegen die Dreiecke $N_1N_2N_3$ und N3 geht, so liegen die Dreiecke $N_1N_2N_3$ und N4 geht.



= MC als Rugelradien sind, so ist auch $MN_1 = MN_2 = MN_3$, d. h. die drei Reaktionen sind einander gleich. Da ihre Resultante 3 [MN] den Wert G hat, so sind sie in einer, zur Pyramide M(ABC) ähnlichen Pyramide $M(N_1N_2N_3)$ als die, den Kanten MA, MB, MC entsprechenden Kanten gegeben; dabei ist $MN = \frac{1}{8}G$.

Will man noch MS, welches MN entspricht, bestimmen, so hat man etwa einen Schnitt durch die Punkte M, C, S zu legen. Er ist dann für $CC'=t_c$

$$s^2 = \overline{MS}^2 + \frac{1}{9} t_c^2 - \frac{2}{3} t_c \cdot MS \cdot \cos \varepsilon$$

 $r^2 = \overline{MS}^2 + \frac{4}{9} t_c^2 - \frac{4}{3} t_c \cdot MS \cdot \cos (180^\circ - \varepsilon).$

Multipliziert man die erste Gleichung mit 2, so ergiebt sich bei Addition

$$2 s^2 + r^2 = 3 \overline{MS}^2 + \frac{2}{3} t_c^2,$$

d. h.

$$MS = \sqrt{\frac{1}{3}(2s^2 + r^2 - \frac{2}{3}t_c^2)}.$$

Führt man die Seiten a, b, c des Dreiecks ABC ein, so gilt zunächst

$$s^2 = r^2 - \frac{1}{4} c^2.$$

Da ferner
$$t_c^2 = \frac{a^2 + b^2}{2} - \frac{c^2}{4}$$
 ist, so ergiebt sich

$$MS = \frac{1}{3}\sqrt{9r^2 - (a^2 + b^2 + c^2)}.$$

Demnach ist

$$MN: MS = R: r = \frac{1}{3}G: \frac{1}{3}\sqrt{9r^2 - (a^2 + b^2 + c^2)}.$$

Man hat also

$$R = G \cdot \frac{r}{\sqrt{9 r^2 - (a^2 + b^2 + c^2)}}.$$

Die Lage des Dreieck ist also dadurch bestimmt, daß man S senkrecht unter M in dem bestimmten Abstande MS andringt und das Dreieck um S schwenkt, so daß A, B, C in der Kugelsläche ruhen.

Legt man drei Kugeln von den Radien r_1 , r_2 und r_3 in die Hohltugel vom Radius r, so bilden deren Mittelpunkte C_1 , C_2 , C_3 ein Dreied mit den Seiten $r_2 + r_3$, $r_3 + r_1$, $r_1 + r_2$, in dessen Eden bezw. die Gewichte G_1 , G_2 , G_3 der drei Kugeln wirken. Die Reaktionen der Kugelsläche gehen durch C_1 , C_2 , C_3 und schneiden sich in M, so daß der Schwerpunkt S der Kugelsgruppe wieder unter M liegen muß.

Für die weitere Ausführung ist zu beachten, daß hier $C_1M=r-r_1$, $C_2M=r-r_2$, $C_3M=r-r_3$ ist.

Abungen zur Lehre von den Befestigungsreaktionen.

1. Welche Bedingung fordert das sichere Gleichgewicht, falls in Fig. 296 der Regel durch einen Cylinder von der Höhe k ersett wird?

$$h < \frac{r}{\sqrt{2}}$$

2. Welche Bedingung fordert das Gleichgewicht, wenn sich ein Kugelsabschnitt auf einer horizontalen Ebene wiegt?

Das Gleichgewicht ist stets sicher.

3. Welche Bedingung fordert das sichere Gleichgewicht, falls in Fig. 313 der Cylinder vom Radius R durch einen Hohlcylinder ersett wird (Hyposcykloidenwiege)?

$$\frac{r^2}{R-r}+R-h=0.$$

- 4. Hängt man eine sein geglieberte Kette auf, so stellt ihre Mittelslinie in großer Annäherung eine Kettenlinie dar (vergl. S. 355 u. f.). Da die Kette in ihre alte Lage zurücklehrt, wenn sie aus dieser durch kleine Berstückungen entsernt wird, so sindet für jene Lage Stabilität statt. Demgemäß muß der Schwerpunkt für die Gleichgewichtslage möglichst tief liegen (vergl. S. 470) und z. B. steigen, wenn die Kette durch einen nach unten gerichteten vertikalen Zug in der Nitte möglichst gerade gespannt wird. Dies ist nachs zuweisen mit Rücksicht auf die fünste Anwendung der Lehre vom Schwerpunkte.
- 5. Der Hebel eines Sicherheitsventils von 0,5 m Länge sei am Ende mit 6 kg belastet. In der Entsernung von 0,025 m vom Drehpunkte besindet sich der Stützpunkt des Ventils, welches vermöge des inneren Dampsdruckes auswärts gegen den Hebel gedrückt wird. Wie groß ist dieser Dampsdruck unter Voraussetzung des Gleichgewichtes?

6. An einem einarmigen Sebel von 0,8 m Länge ist ein Druck von 30 kg in der Entsexnung 0,2 m vom Stützpunkte wirksam. Wie groß ist die zur Herstellung des Gleichgewichtes nötige Kraft am Ende des Hebels?

7. An einem zweiarmigen Hebel von 2 m Länge wirkt an dem einen Ende, das von dem Drehpunkt 1,75 m entfernt ist, eine Kraft von 5 kg.

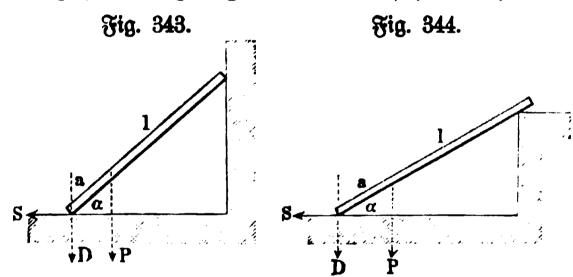
Wie groß ist die zur Herstellung des Gleichgewichtes notwendige Kraft am anderen Ende?

8. An einem Winkelhebel, dessen Armlängen 0,6 und 2m betragen, wirkt an dem Ende des 0,6 m langen Armes eine Kraft, welche einen Winkel von 60° mit demselben bildet. Wie groß ist dieselbe, wenn ihr durch eine rechtwinkelig zu dem 2m langen Arme wirkende Kraft von 80 kg das Gleichsgewicht gehalten wird?

9. Mittels einer Schraubenpresse, bei der die Schraubenganghöhe 12 mm beträgt, will man einen Druck von 1000 kg ausüben. Welche Kraft muß an dem 0,2 m langen Hebelarme wirksam sein?

10. Am Arm derselben Presse läßt man eine Kraft von 20 kg wirken und fragt nach dem Druck, der in diesem Falle ausgeübt werden kann.

11. Ein Stab von der Länge l (Fig. 343) sei um den Winkel α gegen den Fußboden geneigt, indem er sich mit seinem oberen Ende gegen eine



vertikale Wand lehnt. In der Entfernung a von dem unteren Ende wirkt ein Gewicht P in einer zum Fußboden norsmalen Richtung, während der Stab selbst ohne Geswicht vorausgesett wird.

Wie groß ist der normale Druck D und

der Schub S am unteren Ende des Stabes, wenn die durch die Achse des selben gelegte Vertikalebene zur Wand normal ist?

$$D = P$$

$$S = P \frac{a}{l} \cot \alpha.$$

Fig. 345.

h S₁ S₂ S₃

90° 60° 60°

P D₁

12. Wie ändern sich die ershaltenen Resultate, wenn unter den obigen Voraussezungen der Stab (Fig. 344) sich gegen eine Mauerstante legt, die der Durchschnittslinie zwischen Wand und Fußboden parsallel läuft?

$$D = P \frac{l - a \cos \alpha^2}{l},$$

$$S = \frac{1}{2} P \frac{a}{l} \sin 2\alpha.$$

13. Es sind die Seilspannungen S_1 , S_2 , S_3 für Fig. 345 zu bestimmen, wobei die Schnittpunkte je zweier Seile, wie z. B. D_1 , für Anwendung des Womentensages als Drehpunkte dienen können. Für D_1 gilt z. B.

$$S_1(a+b+\frac{1}{2}c)=P(b+\frac{1}{2}c).$$

Sind die Streden a, b, e und h völlig willfürlich?

Unter welchen Umständen wird die Aufgabe statisch unbestimmt? Wie löst man die Aufgabe konstruktiv?

14 bis 16. Es ist das Stabilitätsmoment Mo für normale Prismen zu berechnen, die mit einer Seitenfläche auf einer Horizontalebene liegen und um eine der Seitenkanten gekippt werden sollen.

 Fig. 346.
 Fig. 347.
 Fig. 348.

 A
 B

A
B

G

Die normalen Querschnitte sind nachstehend angegeben, die Länge iber Körper sei 1, das Gewicht eines Rubitdecimeters sei y Kilogramm. Außere Kräfte mögen nicht vorhanden sein.

Es sei (Fig. 346) AB = b, BC = h und ED = nh, b. h. die Mauer erhalte bei $1\,\mathrm{m}$ Höhe eine Ausladung von n Metern. Man hat

a) für die durch E gehende Seitenkante

$$M_0 = h l \gamma \frac{2n^2h^2 + 3b(b + 2nh)}{6}$$

b) für bie burch C gebenbe Seitenkante

$$Mo = hl\gamma \frac{3b^2 + nh(3b + nh)}{6}.$$

Es fei (Fig. 347) bie Mauer nach beiben Seiten auf gleiche Beise gebofcht, so ist für dieselben Bezeichnungen

$$Mo = hl\gamma \frac{(b+nh)(b+2nh)}{2}.$$

Es feien (Fig. 348) BC und EF bezw. h_1 und h_2 , und AB und CF bezw. b_1 und b_2 , so ist

a) für die durch F gehende Seitenkante

$$M_0 = l\gamma \frac{(b_2 - b_1)^2}{2} \frac{h_2 + b_1 h_1 (2 b_2 - b_1)}{2},$$

b) für die durch C gehende Seitenkante

$$Mo = l\gamma \, \frac{b_1^2 h_1 + h_2 \, (b_2^2 - b_1^2)}{2} \cdot$$

17 bis 19. Bestimmung ber Stabilitätsarbeit für Rr. 14 bis 16.

20. Ein Kugelabschnitt von der Höhe h und zu einer Kugel vom Halbsmesser r gehörig, liegt mit seiner Grundsläche auf einer Porizontalebene. Eine im Schwerpunkte desselben angreisende Kraft P wirke unter einem Winkel α gegen den Porizont auf Umwersen. Es ist die Größe der Kraft P zu bestimmen, so daß der Körper sich auf der Grenze des Gleichgewichtes gegen Kippen bestindet. Nehmen wir das Gewicht G des Körpers als eine im Schwerpunkte desselben lotrecht wirksame Kraft an, so erfolgt das Kippen um diesenige Tangente des Grundkreises, die auf der durch die Richtungen von P und G gelegten Ebene normal steht.

Bezeichnen wir die Dichtigfeit bes Körpers mit 2, fo ift

$$\left(\frac{\pi}{3}h^2(3r-h)\gamma-P\sin\alpha\right)\sqrt{h(2r-h)}-P\cos\alpha\cdot\frac{h(4r-h)}{4(3r-h)}=0$$
 und

$$P = \frac{4}{8}\pi h^{3}\gamma \frac{(3r-h)^{3}\sqrt{h(2r-h)}}{h(4r-h)\cos\alpha + 4(3r-h)\sin\alpha\sqrt{h(2r-h)}}.$$

Bur numerischen Berechnung fei

$$r = 2 \,\mathrm{dm}; \ h = 3 \,\mathrm{dm}; \ \alpha = 15^{\circ}; \ \gamma = 0.7 \,\mathrm{kg}.$$

$$P = \frac{4}{8}\pi \cdot 9 \cdot 0.7 \, \frac{9 \,\sqrt{3}}{25 \cos \alpha \,+\, 12 \sin \alpha \,\sqrt{3}} = 20.7 \,\mathrm{kg}.$$

21. Auf einer zum Horizont geneigten Ebene (Fig. 349) liegt ein Körper vom Gewicht G. Das Abgleiten des Körpers sei unmöglich gemacht,

Fig. 349.

Es ist der Winkel der geneigten Ebene

B F zu bestimmen, so daß sich der Körper auf

der Grenze des Gleichgewichtes gegen Kippen
besinde.

Es gehe die Kippachse durch den Punkt D und es sei DC = a, SC = b, dann ist $Mo = Ga \cos \alpha - Gb \sin \alpha$.

Für ben Grenzfall ist Mo=0, d. h. tang $\alpha=\frac{a}{b}$. Es sei ber Winkel zu berechnen:

a) für eine Salbtugel vom Salbmeffer r,

b) für einen normalen Regel mit treisförmiger Basis, wenn die Sobe dieich dem boppelten Halbmesser des Grundfreises ift,

c) für ein breiseitiges Prisma, bessen Seitenkanten parallel ber Durchschnittslinie zwischen ber geneigten Ebene und dem Horizonte sind, und deffen normaler Duerschnitt ein gleichseitiges Dreieck ist.

$$\alpha = 69^{\circ} 26' 38'',$$
 $\alpha = 63^{\circ} 26' 6'',$
 $\alpha = 60^{\circ}.$

22. Ein sester Körper R (Fig. 350) stützt sich mit einem Punkte A auf eine unverrückbare Ebene V W, die gegen den Horizont unter dem Winkel

a geneigt ist, während die Achse AB des Körpers mit dem Horizont den Winkel β bildet. Im Endpunkte B des Körpers ist eine Kraft P angebracht, die mit der Achse AB den Winkel γ einschließt, und in einem Punkte S der Achse wirkt senkrecht abwärts eine Krast Q. Es sind die Gleichgewichtsbedingungen des Körpers unter der Boraussetzung zu entwickeln, daß die sämtlichen Kräste sich in der durch VW und AB gelegten Vertikalebene bestinden und die Keaktion in A normal zur geneigten Ebene N ist. Für AB = a, AS = b gilt:

$$P = Q \frac{b}{a} \cdot \frac{\cos \beta}{\sin \gamma}$$

$$N = \frac{Q}{a \sin \gamma} \sqrt{(b \cos \beta)^2 + (a \sin \gamma)^2 - 2 ab \sin \beta \cos \gamma \sin (\beta - \gamma)}$$

$$tang(\alpha + \beta) = \frac{b \cos \beta \cos \gamma + a \sin \beta \sin \gamma}{a \sin \gamma \cos \beta - b \cos \beta \sin \gamma}.$$

Wirkt P horizontal, so ist $\gamma = \beta$ und

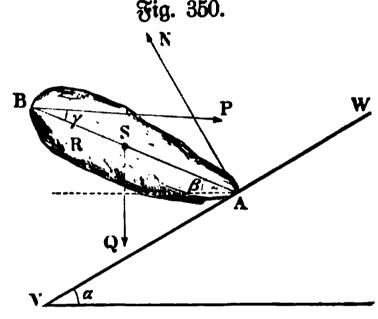
23. - 27.

$$P = Q \frac{b}{a} \cot \beta$$

$$N = \frac{Q}{a \sin \beta} \sqrt{(b \cos \beta)^2 + (a \sin \beta)^2}$$

$$tang(\alpha + \beta) = \frac{b \cos \beta^2 + a \sin \beta^2}{(a - b) \sin \beta \cos \beta}.$$

23. Ein Mansarbenbach (vgl. S. 499) soll aus zwei gleich langen Sparren konsstruiert werden. Zu dem Ende ist gegeben:



a) die Tiefe des Gebäudes und die Dachhöhe gleich der halben Tiefe

$$\alpha_1 = 30^{\circ} \\
\alpha_2 = 60^{\circ};$$

b) die Tiefe des Gebäudes gleich 2a und die Höhe gleich h.

Die Koordinaten x und y des ersten Sparrenendes, wenn 2a und h als Koordinatenachsen genommen werden, sind

$$x = \frac{1}{2a} \left(2a^2 + h^2 - \sqrt{a^4 + h^2(a^2 + h^2)} \right)$$

$$y = \frac{1}{2h} \left(a^2 + 2h^2 - \sqrt{a^4 + h^2(a^2 + h^2)} \right).$$

- 24. Es sind die Reaktionen zu bestimmen für die in Fig. 351 (a. f. S.) gezeichnete Auslagerung eines Balkens.
 - 25. Desgl. für die in Fig. 352 (a. f. S.) gezeichnete Auflagerung.
- 26. Desgl. für die in Fig. 172 gezeichnete Aufhängung, bei Berückssichtigung der Stüze.
- 27. Desgl. für die in Fig. 353 a (a. f. S.) und in Fig. 353 b (a. f. S.) gezeichnete Aufhängung bei Vernachlässigung des Stangengewichtes.

- 28. Desgl. für die in Sig. 354 bargeftellte Ronftruftion.
- 29. Desgl. für die in Fig. 355 bargestellte Konstruktion, in der AC und BC gleiche prismatische Balken vom Sewichte G darstellen, welche in A und B frei aufgelagert sind, wobei das Sewicht der Verbindungsstange A'B' vernachlässigt werden kann.

$$S = H = \frac{1}{2n} G \cot \alpha$$
 und $V = G$.

30. Desgl. für die in Fig. 356 bargestellte Konstruktion, in der AC und A'C prismatische Stangen bezw. von den Gewichten G und G' darestellen.

$$V = \frac{1}{4} \frac{G tg \alpha - G' tg \alpha'}{tg \alpha + tg \alpha'}$$

$$H = \frac{1}{2} (G + G') \frac{tg \alpha tg \alpha'}{tg \alpha + tg \alpha'}.$$

Fig. 851.



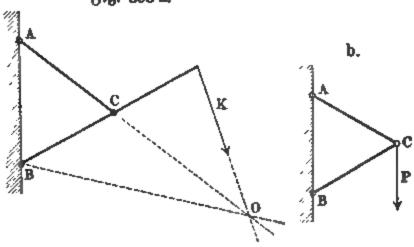
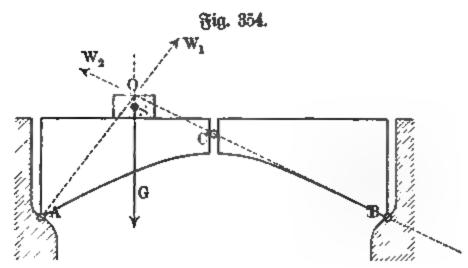


Fig. 352.



31. Deßgl. für die in Fig. 357 dargestellte Konstruktion, in der AB und A'B prismatische Stangen bezw. von den Gewichten G und G' darsstellen, während das Gewicht der Stange AA' vernachlässigt werden kann.

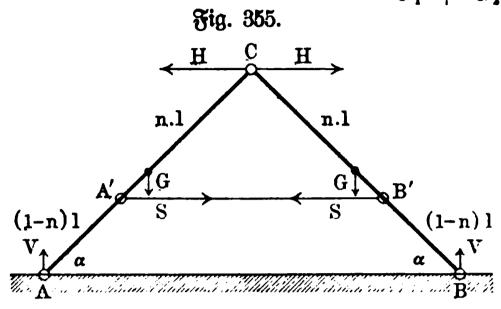
$$S = \frac{1}{2} \frac{G l \sin \alpha + G' l' \sin \alpha'}{e t g \alpha \cdot t g \alpha'} = \frac{1}{2} \frac{G + G'}{t g \alpha + t g \alpha'} = S'.$$

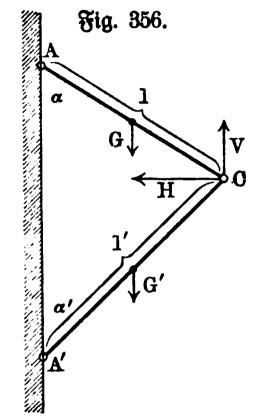
32. Desgl. für eine Rugel, die, wie Fig. 358 zeigt, zwischen zwei schiefen Ebenen ruht.

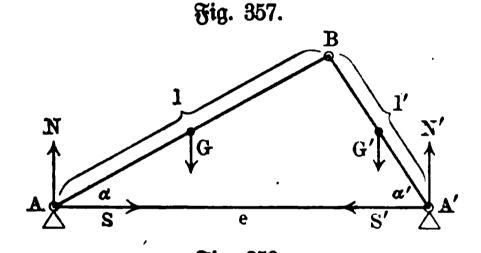
$$rac{G\sinlpha_1}{\sin\left(lpha_1+lpha_2
ight)}=N_2$$
 und $rac{G\sinlpha_2}{\sin\left(lpha_1+lpha_2
ight)}=N_1.$

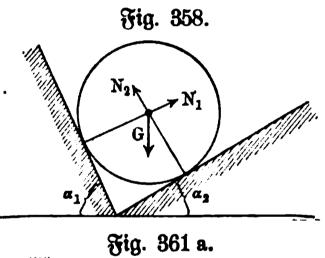
33. Desgl. für zwei Kugeln, die, wie Fig. 359 zeigt, zwischen zwei schiefen Ebenen ruhen.

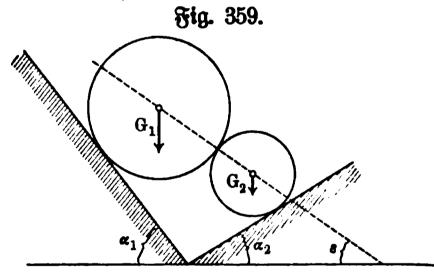
 $tg \, \varepsilon = \frac{G_1 \cot \alpha_2 - G_2 \cot \alpha_1}{G_1 + G_2}.$

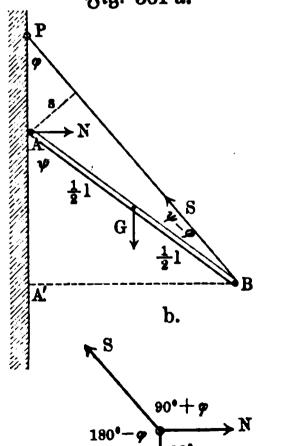




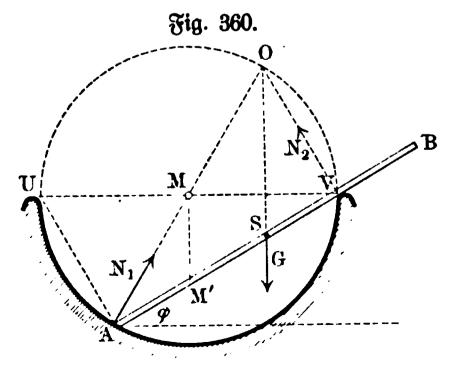








G



34. Desgl. für einen prismatischen Stab AB von der Länge l, der in einer halben Hohltugel vom Radius r steht und sich gegen den (rund umsgebogenen) Rand lehnt (vergl. Fig. 860 a. v. S.)?

$$rac{\cos 2 \, \phi}{\cos \phi} = rac{l}{4 \, r}$$
 $N_1 = G \, lg \, \phi \quad ext{and} \quad N_2 = rac{G \cos 2 \, \phi}{\cos \phi}.$

Da $\angle OVA = 90^{\circ}$ ist, so liegt O auf dem Kreise um M, dessen sendste Projektion M' die Mitte von $AS = \frac{1}{9}I$ ist. Da $\angle IMM' = 90^{\circ}$ und da $\angle IMV = 90^{\circ}$ ist, so ist IMM'A ein Sehnenviered, d. h. man hat

$$VM'$$
, $VA = VM$, $VU = r$, $2r = 2r^3$.

Für
$$VM' = x$$
 gilt also $x\left(x + \frac{l}{4}\right) = 2 r^2$.

Demgemäß ift die Lage von V auf AB leicht tonstruttiv gu bestimmen.

35. Desgl. für einen prismatischen Stab AB von der Länge l, der sich mit dem Ende A gegen eine seste senkrechte Wand stützt, während das Ende B durch einen Faden mit einem Punkte P der Wand verbunden ist. Bergl. Fig. 361 (a. v. S.).

Wie Fig. 361 b zeigt, ift nach bem Sage ber brei Rrafte

$$N = G \cdot tg \varphi$$
$$S = \frac{G}{\cos \varphi} \cdot$$

Für A als Drehpunkt ergiebt fich

$$S$$
 , l , $sin(\psi - \varphi) = G \cdot \frac{l}{2} \cdot sin\psi$

ober

$$2\sin(\psi-\varphi)=\sin\psi\cos\varphi.$$

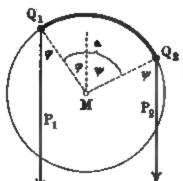
Für BP=t ist $A'B=t\sin \varphi$, so daß außerdem ist

$$t\sin \varphi = l\sin \psi$$
.

36. In einer Bertikalebene lehnt sich ein gleichschenkeliges Dreied von Sig. 362.

Sig. 363.

ber Basis b und ber Höhe



ber Basis b und ber Hohe h auf zwei, unter 90° zusammentreffende Ebenen, wie es Fig. 362 zeigt.

Für Gleichgewicht ist bie Neigung ber Basis s zu bestimmen.

tang
$$\varepsilon = \frac{b\cos 2\alpha}{b\sin 2\alpha + \frac{2}{5}h}$$
.

37. Auf einem Cylinderstück MQ_1Q_1 vom Winkel α ruhen zwei, durch eine Schnur verbundene Gewichte P_1 und P_2 , wie Fig. 363 zeigt.

Welches ist die Bedingung des Gleichgewichtes?

$$tg\frac{\psi-\varphi}{2}=\frac{P_1-P_2}{P_1+P_2}tg\frac{\alpha}{2}$$

$$\psi+\varphi=\alpha.$$

38. Bei einer Schraube ohne Ende, mit der die Last Q gehoben werden soll, sei die Kraft P am Kurbelarm R wirksam, h die Ganghöhe der Schraube, r' der Halbmesser des eingreisenden Rades und r der Halbmesser der mit ihm verbundenen Lastwelle.

Die Bedingung des Gleichgewichtes ist nach dem Principe der virtuellen Verrückungen sestzustellen.

$$P \cdot 2R\pi = Qh \cdot \frac{r}{r'}.$$

Für P = 20 kg, R = 39 cm, h = 1.3 cm, r' = 36.4 cm, r = 7.8 cm iff $Q \sim 17590 \text{ kg}$.

Der Druck zwischen Rad und Schraube ist $Q \cdot \frac{r}{r'} \sim 3769 \, \mathrm{kg}$.

39. Bei einer Differentialschraube, für welche h_1 und h_2 die Ganghöhen sind, ist durch das Princip der virtuellen Verrückungen die Bedingung des Gleichgewichtes sestzustellen, falls die Kraft P am Arme R wirkt und Q die zu hebende Last bezw. den entsprechenden Widerstand bezeichnet.

$$P \cdot 2R\pi = Q(h_1 - h_2).$$

Für $h_1 = 25$ mm, $h_2 = 21$ mm und R = 70 cm ergiebt sich

$$P: Q \sim 1:1100.$$

40. Bei einer Schraubenwinde bezw. Schraubenpresse wirkt die Krast P am Arme R und überträgt die Bewegung zunächst auf ein konisches Zahn=rad (r) mit horizontaler Achse; dieses steht im Eingriff mit einem konischen Zahnrade (r') mit vertikaler Achse, mit welchem die Mutter der beweglichen Schraube von der Ganghöhe h sest verbunden ist.

Durch das Princip der virtuellen Verrückungen ist die Bedingung des Gleichgewichtes festzustellen.

$$P \cdot 2R\pi = Qh \cdot \frac{r}{r'}$$

Sind die Zähnezahlen für die Räder bezw. z und z', so ist auch $\frac{r}{r'}=\frac{s}{s'}$. Für P=30 kg, R=39 cm, s:z'=1:4, h=2.6 cm ist $Q\sim 11\,310$ kg.

Zweite Abteilung.

Die Reibungen.

84. Das Auftreten von Reibungen und die Arbeit der Reibungen. Es ist eine alte Ersahrung, daß in der Berührungsstäche gegeneinander gebrückter Körper Kräfte auftreten, wenn sich die Körper entweder gegeneinander bewegen oder wenn derartige Bewegungen den angreifenden Kräften entsprechen würden; in letzterem Falle sind es gerade die Kräfte in der Berührungsstäche, welche die erwarteten Bewegungen unterdrücken.

Diese tangentialen Reaktionen werben Reibungen genannt.

Man hat vor allem die Reibungen bei gleitenden Bewegungen von den Reibungen bei rollenden Bewegungen zu unterscheiden.

Ein Beispiel für erstere bieten die Kräfte in den Berührungsslächen zwischen den Kusen der Schlitten oder der Schleisen und deren Fahrbahnen, ein Beispiel für letztere die Kräfte in den Berührungsslächen zwischen den Rädern der gewöhnlichen Fuhrwerke oder der Eisenbahnwagen und deren Fahrbahnen; bremst man in letzterem Falle die Räder so stark, daß die rollende Bewegung aushört, so gelangt man zum ersten Falle zurück.

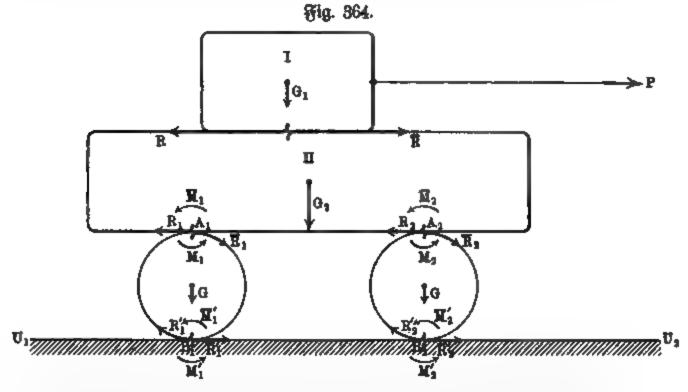
In beiden Fällen fordert die Erhaltung der gleichförmigen Bewegung die Anwendung von Kräften, welche mit den Reibungen im Gleichgewichte stehen.

Die Reibungen treten stets als Gegenkräfte auf und zwar so, daß die eine dieser Gegenkräfte an dem einen, die andere an dem anderen der sich berührenden Körper haftet und dabei jedesmal der wirklichen angestrebten Bewegung des Körpers, an dem sie haftet, entgegenwirkt, soweit diese Bewegung relativ zur Berührungssläche beider Körper erfolgt oder erfolgen sollte.

Man bezeichnete deshalb früher jede Reibung als einen Widerstand und pflegte auch wohl zu sagen, daß Reibungen nur bewegungshindernd, aber niemals bewegungsfördernd wären.

So richtig diese Aussage in Bezug auf die Bewegung des Körpers ist, an dem die eine der beiden zugleich auftretenden Reibungen haftet, so irre-leitend ist sie doch im allgemeinen. Die Wellen, welche der Wind, wenn er horizontal über die Oberfläche eines Wasserspiegels streicht, hervorruft, werden durch die an der Wassersläche haftende Reibung eingeleitet, während deren Gegentraft allerdings verzögernd auf die unteren Teile des Luftstromes wirkt.

Liegt ein Körper I vom Gewichte G_1 auf einer beweglichen Unterlage II, wie es Fig. 364 andeutet 1), so wirft die Reibung [R] an I der Kraft [P] und der von ihr angestrebten Bewegung von I entgegen, während die Reisbung [R] von II im Sinne von [P] auf II bewegend wirft, so daß ers



fahrungsmäßig eine Bewegung von Π im Sinne von $[\overline{R}]$ zu stande kommen kann. Rommt diese Bewegung zu stande, so können auch die unterstützenden

Walzen durch Reibung in Bewegung kommen, fie können gleiten ober rollen ober auch beides thun. Beim Auftreten aller hier möglichen Reibungen wirten $[R_1]$ und $[R_2]$ bezw. in $oldsymbol{A}_1$ und A. verzögernb auf die Bewegung von II, während deren Gegenträfte $[R_1]$ und $[R_2]$ die Bewegung ber Balzen einleiten. Diese wird verzögert, soweit es sich um Gleiten handelt, burch die Reibungen $[R_1]$ und $[R_2]$, welche in Berührung mit der festen Unterlage U_1U_2 bezw. in B_1 und B_2 auftreten, während auf die Unterlage selbst die Reibungen $[R'_1]$ und $[R_1]$ wirken. Außerdem treten noch die Momente der sogenannten rollenden Reibung auf für A1, A3 und B1, B2 als Drehpunkte, fie find in Fig. 364 burch $[M_1]$, $[\overline{M_1}]$ u. f. w. bezeichnet.

Ein Bapfen, der sich in einem ausgelaufenen Lager (mit großem Spielraum) dreht, Fig. 365 a.

b.

^{&#}x27;) In den Figuren sind die Strecken, welche die Reibungen darstellen, an ihrem Ursprunge in den Körper hineingebogen gezeichnet, an welchem die entsprechende Reibung haftet.

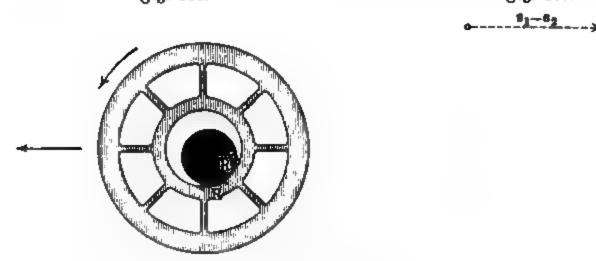
Bernide, Recanit. 1

flettert, seiner Bewegung entgegen, durch die an ihm haftende Reibung empor, er hat also nicht die Lage der Fig. 365 a (a. v. S.), sondern die Lage der Fig. 365 b (a. v. S.).

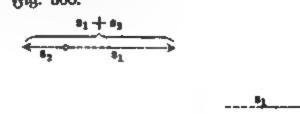
Die Relativbewegung bes fletternben Bapfens tann man an ausgelaufenen

Buchsen eines Wagens täglich beobachten, wie es Fig. 366 zeigt.

Bewegt sich ein Körper I, wie Fig. 367 andeutet, gleitend auf einem ruhenden Körper II unter Reibung, so ist die Arbeit der Reibung [R] sür eine Verschiedung s_1 anzusetzen als — Rs_1 . Bewegt sich auch der Körper II, Fig. 366.



anstatt zu ruhen, bei diesem Borgange durch die Reibung $[\overline{R}]$ um eine Strecke s_2 , so ist die Arbeit von $[\overline{R}]$ anzusepen als $+\overline{R}s_2$. Da $R=\overline{R}$, so hat die Gesamtarbeit von R und \overline{R} den Wert $-R(s_1-s_2)$, ist also Kull sür $s_1=s_2$, d. h. sür den Fall, daß die Körper durch Keibung auseinander haften. Werden die Körper 1 und R (vergl. Fig. 368) durch Kräste P_1 und P_2 gegens



4-13-0

finnig bewegt bezw. um s_1 und s_2 gegen die ursprüngliche Auhelage, so ist die Gesamtarbeit der Reibungen R und \overline{R} bezw. — $Rs_1 - \overline{R}s_2 = -R(s_1 + s_2)$. In den betrachteten Fällen ist also die Reibungsarbeit stets das Produkt aus dem Werte der Reibung und der relativen Berschiebung der sich berührenden Körper.

Diese Betrachtung hat allgemeine Bedeutung, wenn man sie zunächst auf Flächenelemente einschränkt und von diesen aus zu endlichen Flächensstücken übergeht.

Demgemaß verschwindet die Gesamtarbeit der Reibung nies mals bei relativen Berichiebungen der Rorper an ben Berührungs.

stellen, und damit ist unter anderem die Einschränkung für das Princip der virtuellen Verrückungen, welche eingeführt wurde (vergl. S. 484), gerechtfertigt.

- 85. Die Bestimmung der Reibung für gleitende Bewegungen. Nach den Morin=Coulombschen Versuchsreihen pflegte man für die Reibung bei gleitenden Bewegungen die Gesetze aufzustellen:
 - 1. Die Reibung ist abhängig von den Stoffen der Körper, welche sich berühren, und von der Oberflächenbeschaffenheit dieser Stoffe.
 - 2. Die Reibung ist proportional dem Normaldrucke zwischen den Körpern an der Berührungsstelle.
 - 3. Die Reibung ist unabhängig von der Größe der Flächen, welche in Berührung stehen, falls weder Spiken noch Kanten u. s. w. vorshanden sind.
 - 4. Die Reibung ist unabhängig von den Geschwindigkeiten der Körper an der Berührungsstelle, falls man nur die Reibung bei Bewegungen aus der Ruhelage und die Reibung innerhalb der Bewegungen untersscheidet.

Auf Grund dieser Gesetze gelangt man für die Reibung R zu der Formel

falls man unter N den Wert des Normaldrucks (Pressung) zwischen den Körpern an der Berührungsstelle versteht, und unter f eine Materialkonstante, abhängig von den beiden sich reibenden Stoffen und der Beschaffenheit ihrer Oberslächen.

Man nannte f den Reibungskoeffizienten und unterschied den Reisbungskoeffizienten für Bewegungen aus der Ruhe von dem Reibungskoeffizienten innerhalb der Bewegungen.

Außerdem machte man darauf aufmerksam, daß gemäß Nr. 1 Erswärmungen der sich reibenden Körper und Formänderungen jeder Art den Wert von f verändern, und daß bei Anwendung von reichlichen Schmiersmitteln (mittelbare Reibung) z. B. nicht mehr unmittelbar Kupfer auf Eisen, sondern am Eisen haftendes Öl auf am Kupfer haftenden Öle zur Reibung käme.

Die Steigerung der technisch verwendeten Drucke und Geschwindigkeiten hat zu der Einsicht geführt, daß obige Gesetze nur für mittlere Drucke (20 kg bis 40 kg auf den Quadratcentimeter) und für mittlere Geschwindigkeiten

 $\left(0,5\,\frac{\mathrm{m}}{\mathrm{sec}}\,$ bis $5\,\frac{\mathrm{m}}{\mathrm{sec}}\right)$ angenähert in Geltung sind, während sich darüber hinauß, sowohl für größere 1) als für kleinere 2) Werte nur von Fall zu Fall durch besondere Versuche eine Grundlage sür theoretische Ansätze gewinnen läßt.

Nur die unbestimmte Aussage von Nr. 1 der obigen Regeln bleibt besstehen und die allgemeine Abhängigkeit (nicht Proportionalität) vom Drucke.

Bei dem augenblicklichen Stande unserer Kenntnisse von dem Werte der Reibungen hält man im allgemeinen an der alten

¹⁾ Hier kommt vor allem Erwärmung und Formänderung in Frage.

²⁾ Hier kommt auch die Abhäsion in Frage.

Formel R=f. N fest, sieht aber f nicht mehr als eine Material= konstante an, sondern behält sich vor, f von Fall zu Fall durch Bersuche zu bestimmen.

Lediglich um das Problem zu kennzeichnen, mag die Bochetsche Formel für f angeführt werden, sie lautet

$$f = \frac{f_0 - f_\infty}{1 + \alpha \cdot v} + f_\infty.$$

Dabei bedeutet f_0 den Reibungskoeffizienten für eine sehr langsame und f_{∞} den Reibungskoeffizienten für eine sehr rasche Bewegung, v die Geschwinsbigkeit der Bewegung, für welche f benutt werden soll, α einen Jahlenstoeffizienten, der im MetersSetundensystem im Nittel 0,3 ist; die Größen f_0 und f_{∞} sind abhängig vom Materiale und dessen Oberslächenbeschaffenheit, vom Drucke u. s. w. und müssen von Fall zu Fall besonders bestimmt werden.

Unter den somit gemachten Einschränkungen legen wir den folgenden Betrachtungen die alte Formel R=f. N zu Grunde, in der f eine Materialkonstante bezeichnet, und bemerken, daß diese für statische Konstruktionen im engeren Sinne, d. h. bei ruhenden Körpern, thatsächlich verwendet werden darf, bei gleichsörmigen Bewegungen aber nur innerhalb gewisser Grenzen, falls man dabei stets den Wert von f sür die Bewegung aus der Ruhe und den Wert von f innerhalb der Bewegung voneinander unterscheidet.

Man bezeichnet ersteren als f_0 und letzteren als f_1 , falls es nötig ist. Um eine Anschauung dieser Berhältnisse zu geben, führen wir einige Werte von f für mittlere Drucke und Geschwindigkeiten an:

Reibende Rörper	Roeffizient	
	bei Bewegung aus ber Ruhe (f_0)	
Gußeisen auf Gußeisen, wenig angefettet	0,16	0,15
Schmiedeeisen auf Bronze	0,19	0,18
Gußeisen auf Eichenholz, parallel der Faser, unter Wasserbeseuchtung	0,65	0,22
Schmiedeeisen auf Eichenholz, parallel der Faser, unter	ļ [;]	
Wasserbeseuchtung	0,65	0,26
Desgl. mit Talgschmiere	0,11	0,08
Stein auf Stein	0,5 bis 0,7	_

Es entsprechen also z. B. einem Normaldrucke von 100 kg im ersteren Falle 16 kg Reibung bei der Bewegung aus der Ruhe und 15 kg Reibung innerhalb der Bewegung u. s. w.

Bei Anwendung von reichlichem Schmiermaterial kann unter günstigen Umständen innerhalb der Bewegung $f=0,\!10$ und geringer angesetzt werden.

86. Der Reibungswinkel und der Reibungskegel. Liegt ein Körper vom Gewichte G auf einer horizontalen Unterlage, so hat die (normale) Reaktion der Unterlage [N] den Wert G. Einer Bewegung im Sinne des Pfeiles B der Fig. 369 entspricht die (tangentiale) Reibung [R] vom Werte f. N=f. G, welche sich mit [N] zu einer Gesamtreaktion [W] zusammenssett. Die Einwirkung auf die Unterlage ist die Resultante [W] aus [G] und [R], wobei natürlich $W=\overline{W}$ ist. Den Winkel φ , um welchen [W] von [N] bezw. [W] von [G] abweicht, nennt man Reibungswinkel, es ist

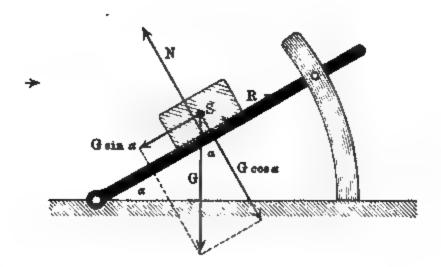
$$tang \varphi = f, \ldots, 140$$

denn man hat $tang \varphi = \frac{R}{N} = \frac{fN}{N} = f$.

Da der Reibungswinkel φ lediglich durch f bestimmt wird, so ist er, solange f als Konstante vorausgesetzt werden darf, von dem Werte von N durchaus unabhängig.

Man kann sich o für zwei bestimmte Materialien veranschaulichen, wenn man einen Körper aus bem einen Stoff auf einer verstellbaren schiefen Ebene

Fig. 369. Fig. 370.



aus dem anderen Stoff (vergl. Fig. 370) gleiten läßt. Läßt man α von 0° an wachsen, so tritt das Gleiten ein, wenn $R=G\sin\alpha$ ist, woraus für R=f . N=f . G . $\cos\alpha$ folgt

$$G \sin \alpha = f$$
. $G \cos \alpha$, b. h. $tg \alpha = f$.

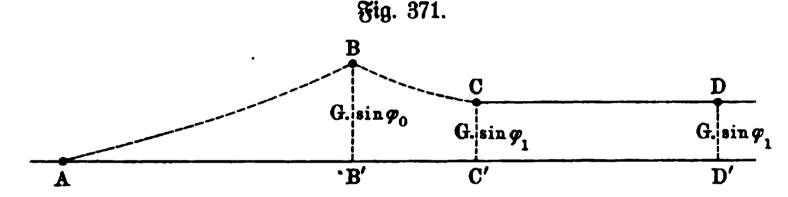
Der Reibungswinkel φ ist also der Wert von α , bei dem das Gleiten gerade eintritt. Nißt man α unter dieser Bedingung, so ist $f=tg\alpha$, d. h. man hat f für die beiden Materialien bestimmt und zwar für die Bewegung aus der Ruhe, d. h. als f_0 .

Ju den Figuren 369 und 370 mag noch bemerkt werden, daß die Lage des Normaldruckes [N] in Bezug auf die Bertikale des Schwerpunktes abshängt von der Höhenlage der bewegenden Kraft, welche die [R] entsprechende Bewegung einleitet oder einzuleiten strebt. Fig. 369 ist genau richtig für den Fall, daß die bewegende Kraft, welche dem Bewegungspfeile B entspricht, in der Gleitfläche selbst angreift. Liegt sie höher, so verschiebt sich der

Normaldruck in Fig. 369 nach rechts, so daß er mit [G] ein Kräftepaar (-) bildet, welches im Gleichgewichte steht mit dem Kräftepaare, das die bewegende Kraft und die Reibung bilden. Da in Fig. 370 die bewegende Kraft nicht in der Gleitsläche liegen kann, so ist die Verschiebung von [N] dort auch zeichnerisch dargestellt. Diese Beziehungen werden bei der Frage des Kippens unter dem Einflusse der Reibung noch genauer besprochen werden.

Behielte f innerhalb der Bewegung den Wert $f_0 = tg \varphi_0$, den es für den Übergang aus der Ruhe erhalten hat, so würde die Stellung $\alpha = \varphi_0$ nun weiter einer gleichförmigen Bewegung entsprechen. Da aber f innerhalb der Bewegung im allgemeinen kleiner wird gegenüber der Bewegung aus der Ruhe, so tritt im allgemeinen eine gleichmäßig=beschleunigte Bewegung ein.

Will man eine gleichförmige Bewegung erzielen, so hat man die schiefe Ebene, nachdem Bewegung eingetreten ist, langsam zu senken bis zu einem



bestimmten Winkel φ_1 , dem eine gleichsörmige Bewegung entspricht; es ist dann $\varphi_1 < \varphi_0$ und $f_1 = tg \, \varphi_1$ bezeichnet den Reibungskoefsizienten innershalb der Bewegung.

Für eine wirkliche Bestimmung von φ_1 bezw. f_1 eignet sich natürlich dieses Versahren nicht. Man betrachtet zu diesem Zwecke die Beschleunigung b für eine beschleunigte Bewegung auf der schiesen Ebene. Ist ψ bei dem Versuche der Neigungswinkel der schiesen Ebene, so ist $G\sin\psi$ — R die

treibende Kraft und $\frac{G}{g}$ die getriebene Masse, so daß man hat

$$b = g \frac{G \sin \psi - R}{G} = g \frac{G (\sin \psi - f_1 \cos \psi)}{G}.$$

Daraus folgt:

$$f_1 = tg\,\psi\,-\frac{b}{g}\cdot\frac{1}{\cos\psi}.$$

Für b=0 erhält man $f_1=tg\,\psi$, d. h. ψ ist dann der vorher mit φ_1 bezeichnete Winkel.

Während man bei der schiefen Ebene α von 0° auf φ_0 anwachsen läßt, entwickelt sich die Reibung vom Werte 0 dis zum Werte $G\sin\varphi_0$, um dann innerhalb der Bewegung, dem Übergange von f_0 zu f_1 entsprechend, auf $G\sin\varphi_1$ zu sinken.

Dabei nimmt der Normaldruck zunächst ab von G bis $G\cos\varphi_0$, um dann, bei einer Senkung der Ebene, wieder auf $G\cos\varphi_1$ zu steigen, so daß f nach der Formel R=fN von 0 über $tg\,\varphi_0$ nach $tg\,\varphi_1$ geht.

Fig. 371 stellt diese Entwickelung der Reibung graphisch dar. Die Strecke AB' entspricht dem Wachsen des Winkels α von 0° bis φ_0 , die Strecke

B'C' der Abnahme des Winkels α von φ_0 bis φ_1 , die Strecke C'D' der Stellung φ_1 ; über die Kurven AB und BC ist nichts Bestimmtes außzusagen.

Denkt man sich in Fig. 369 nach allen möglichen Richtungen Bewegungen des Körpers auf der Unterlage ausgeführt, so beschreibt [W] einen geraden Kreiskegel von der Öffnung φ , und ebenso $[\overline{W}]$. Man nennt diesen Kegel den Reibungskegel $(tg \varphi = f)$.

Um aus dem Normalwiderstande [N] durch Einführung der Reibung den Gesamtwiderstand [W] herzuleiten, hat man [N] zur Achse eines geraden Kreiskegels von der Öffnung φ zu nehmen und auf diesem Kegel die Seite aufzusuchen, welche mit N in der Bewegungsrichtung liegt und mit ihr einen stumpfen Winkel bildet.

Für jede Überführung eines Körpers aus der Ruhe in die Bewegung hat man eine Entwickelung der Reibung, entsprechend Fig. 371, anzunehmen. Für die Ruhe ist [W] = [N], während des Überganges in die Bewegung dreht sich [W] unter Vergrößerung seines Wertes aus der Achsenlage in eine Seite des Reibungstegels hinein, während der Fortsetzung der Bewegung bleibt [W] in der Seite des Reibungstegels liegen, der aber zunächst von der Öffnung φ_0 auf die Öffnung φ_1 zurückgeht, um diese dann beizubehalten.

Diese Betrachtungen sind ganz unabhängig von dem gewählten Beispiele: Der Normaldruck [N] bildet stets die Achse für den Reibungskegel, innerhalb dessen alle Sesamtwiderstände liegen, welche [N] im Berein mit der mehr oder minder entwickelten Reibung bilden kann.

Um eine Anschauung der Größe von p zu geben, diene folgende Tabelle:

```
Stein auf Stein: f = 0.6 \varphi = 31^{\circ}
Stahl auf Eis: f = 0.027 \varphi = 1^{\circ}33'
Holz auf Holz: f = 0.10 bis 0.70 \varphi = 5^{\circ}45' bis 35^{\circ}0'.
```

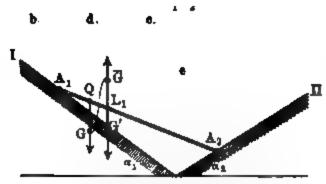
Wir wollen diese Beziehungen sogleich an einem Beispiele erläutern, das von besonderer Wichtigkeit für technische Anwendungen ist. Ein Körper stüge sich auf die beiden Ebenen I und II so, daß A_1 und A_2 als Stützpunkte angesehen werden dürsen. Konstruiert man in A_1 und A_2 bezw. die Kormalen A_1N_1 und A_2N_2 zu den Ebenen, legt um diese die, der Reibung zwischen dem Körper und II und der Reibung zwischen dem Körper und II entsprechenden Reibungskegel mit den Öffnungen φ_1 und φ_2 , so ist jeder Punkt P des Raumes, der innerhalb beider Kegelöffnungen liegt, ein Punkt, in welchem sich Gesamtwiderstände A_1P und A_2P bezw. von A_1 und A_2 schneiden können. Hat also daß Krästesystem, welches den in A_1 und A_2 gestützten Körper angreift, eine Resultante, welche den gemeinsamen Kaum beider Kegelsöffnungen durchdringt, so ist sür den Körper stets Gleichgewicht vorhanden.

Liegen A_1 und A_2 in einer Bertikalebene, welche auf der Schnittgeraden (A) von I und II senkrecht steht, wie es Fig. 372 (a. s. S.) zeigt, und ist der Körper lediglich durch Belastungen, einschließlich seines Eigengewichtes, in Anspruch genommen, welche sich aus der Geraden A_1A_2 konzentrieren, so kommt von dem gemeinsamen Raume der beiden Reibungskegel lediglich das schraffierte Viereck in Frage. Durch dieses muß die Resultante der Belastungen des

Körpers gehen, falls für ihn Gleichgewicht vorhanden sein soll, d. h. L_1 und L_2 find die Grenzpunkte für die Lage dieser Resultante.

Solange also die Resultante der Belastungen des in A_1 und A_2 gestützten Körpers die Strecke L_1L_2 schneidet, ist der Körper im Gleichgewichte.

Rig. 372.



Geht die Resultante durch L_1 , so haben die Widerstände von A_1 und A_2 bezw. die Richtungen A_1B_1 und A_2B_1 ; ihren Wert giebt das darunter gezeichnete Kraftbreieck an (Fig. 372 b).

Geht die Resultante durch L_2 , so haben die Widerstände von A_1 und A_2 bezw. die Richtungen A_1B_2 und A_2B_3 ; ihren Wert giebt das darunter gezeichnete Kraftbreieck an (Fig. 372 c).

In beiben Fallen ift die Reibung von A, und A, voll entwidelt, im

ersten Falle für eine Bewegung des Stabes im Sinne I... II, im zweiten Falle für eine Bewegung des Stabes im Sinne II... I. In Fig. $372\,\mathrm{d}$ ist die Konstruktion auch noch für L durchgeführt.

Überschreitet die Resultante die Grenzlage L_1 oder L_2 , so tritt Bewegung des Körpers ein, im Sinne I... II bezw. II... I. Fig. 372 \circ erläutert dies für L_1 ; G greift in Q an, während in L_1 die Kräfte $[\overline{G}]$ und [G'] zusgesetzt sind, von dem G' durch die Reaktionen ausgehoben wird, so daß noch das Krästepaar aus [G] und $[\overline{G}]$ übrig bleibt, um den Körper im Sinne I... II zu bewegen.

Geht die Resultante zwischen L_1 und L_2 hindurch, so sind sür die Gleichgewichtslage des Körpers unendlich=viele Möglichkeiten der Entwickelung der Reibungen in A_1 und A_2 gegeben, da jeder Punkt P der schraffierten Fläche, welcher auf jener Resultanten liegt, die Richtungen A_1P und A_2P für Re= aktionen von A_1 und A_2 bestimmt, die mit [G] zu einem bestimmten Kraft= dreieck führen. Besonderes Interesse bietet der Punkt N der schraffierten Fläche, der einem Durchgang der Resultante [G] in L entspricht, weil für ihn keine Entwickelung der Reibungen in A_1 und A_2 in Frage kommt. Während für das Gleichgewicht der Belastung in L jeder Punkt der Bertistkalen LN innerhalb der schraffierten Fläche benutt werden kann, wobei unenblich=viele verschiedene Entwickelungen der Reibungen in A_1 und A_2 in Frage kommen, entspricht umgekehrt dem Punkte N, für welchen keine Reibungen in A_1 und A_2 vorgesehen sind, nur der eine Belastungspunkt L. Die Au \mathfrak{s} = gabe, die Belastungsvertikale für den Körper A.A. zu bestimmen, falls die Reibungen in A_1 und A_2 nicht in Frage kommen, ist also eindeutig (N), die Aufgabe, sie unter Verwendung der Reibungen in A_1 und A_2 zu be= stimmen, ist unendlich=vieldeutig; unter den unendlich=vielen Lösungen sind die beiden $(L_1$ und $L_2)$ von besonderem Interesse, welche einer vollen Entwicke= lung der Reibungen in A1 und A2 entsprechen.

Bemerkt mag noch werden, daß der Kreis durch AA_1NA_2 die Punkte B_1 und B_2 aufnimmt, falls $\varphi_1=\varphi_2$ ist.

Bestimmt man A_1L_2 und A_2L_2 aus \triangle $A_1L_2B_2$ und \triangle $A_2L_2B_2$, so erhält man bei Einführung des Neigungswinkels γ für $\varphi_1=\varphi_2=\varphi$

$$\frac{A_1L_2}{A_2L_2} = n = \frac{\cot(\alpha_2 - \varphi) - tg\gamma}{\cot(\alpha_1 + \varphi) + tg\gamma}.$$

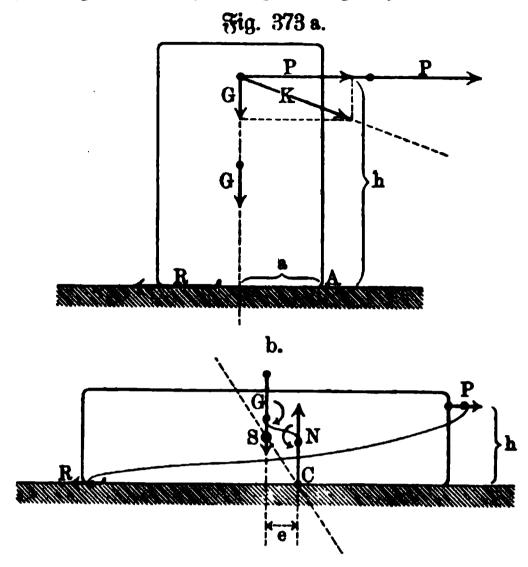
Bestimmt man A_1L_1 und L_1A_2 aus \triangle $A_1L_1B_1$ und \triangle $A_2L_1B_1$, so erhält man ebenso

$$\frac{A_1L_1}{A_2L_1} = n' = \frac{\cot(\alpha_2 + \varphi) - tg\gamma}{\cot(\alpha_1 - \varphi) + tg\gamma}.$$

Aus beiden Gleichungen, welche die Zusammenhänge von n und n' mit γ darstellen, folgt für $\varphi=0$ das Verhältnis $A_1L:A_2L$. Vergl. S. 508.

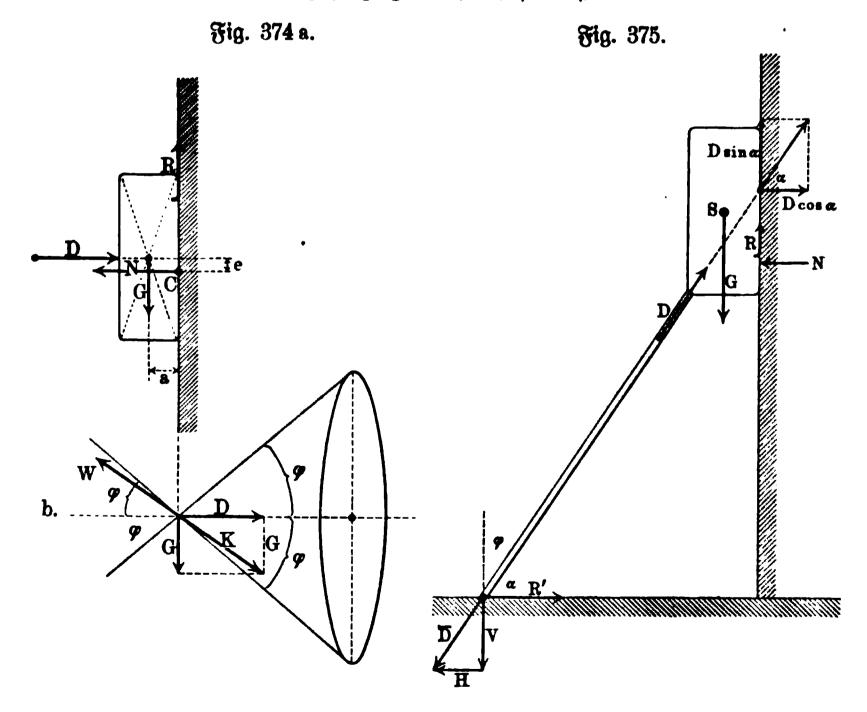
87. Genauere Darstellung der Erscheinungen durch Einführung der gleitenden Reibung. Sobald gegeneinander gepreßte Berührungsflächen von Körpern vorhanden sind, in denen eine relative gleitende Bewegung der Körper

möglich ist, müssen die entsprechenden Reibungen für eine genauere Dar= stellung der Erscheinungen eingeführt werden. Demgemäß sind viele der bis=



her gegebenen Entwickelungen von Fall zu Fall zu verbessern. Dabei hat man sich zunächst bavon zu überzeugen, daß auch wirklich ein Gleiten eintritt. Wollte man z. B. bei bem in Fig. 373 bargestellten Körper ohne weiteres die Reibung [R]einführen, so würde man einen Fehler begehen. Für A als Rippachse wirkt P am Arme h dem Stabilitätsmomente Ga entgegen, so daß für $Ph \ge Ga$ ein Rippen um A eintritt. Bil= bet man aus [G] und P die Resultante [K], so schneidet diese im Falle Ph > Ga die Unterstützungsfläche nicht, kann also auch nicht durch eine Re-

sultante aus [R] und der Reaktion der Unterlage vom Werte G aufgehoben werden. Für Ph = Ga geht [K] durch A, so daß die Reaktion der Unters



stützungsfläche noch gerade in A angreifen kann, es ist dies der früher bestrachtete Fall des unsicheren Gleichgewichtes.

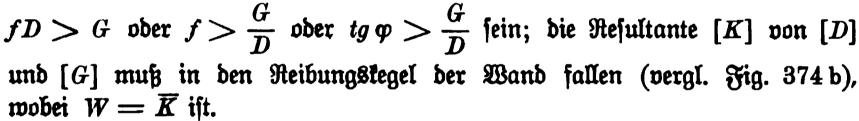
Für Ph < Ga tritt eine gleitende Bewegung ein, wenn [P] die Reisbung [R] überwindet. Diese Bewegung (vergl. Fig. 373 b) ist gleichförmig für P=R=fG. Da aber hier das Kräftepaar Ph nach wie vor auf

Rippen wirkt, so muß die Reaktion der Unterlage [N] vom Werte G dabei ihr dynamisches Centrum in C haben und zwar so, daß Ge = Ph ist. Die Resultanten von [G] und [P] und von [N] und [R] sind nun wieder Gegenkräfte.

Fig. 373 b ist entworfen für P = R $= \frac{2}{5}G$, so daß $e = \frac{2}{5}h$ ist.

Entsprechende Überlegungen gelten für den in Fig. 374 dargestellten Fall, wo für G = R = fD das Kräftepaar aG gegen die Uhr dreht, so daß sich die Resattion [N] der Wand vom Werte D in C konzentriert, falls dabei De = Ga ist.

Soll der Körper gegen die Wand in Ruhe sein, so muß R>G, d. h.



In Fig. 375 entwickelt der Druck der Stütze [D] senkrecht zur Wand eine Komponente vom Werte $D\cos\alpha$, so daß $R=fD\cos\alpha$ ist. Die Besdingung des Gleichgewichtes ist

$$R + D \sin \alpha = G$$
 ober $f D \cos \alpha + D \sin \alpha = G$.

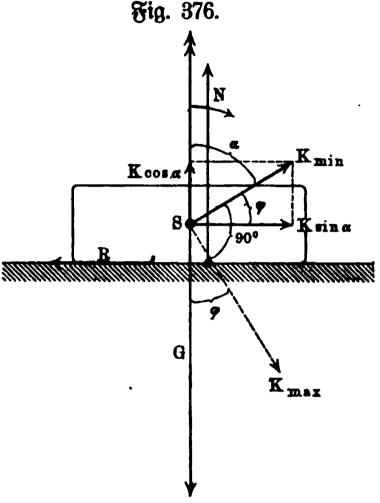
Für
$$f=tg\ \varphi=rac{\sin \varphi}{\cos \varphi}$$
 geht diese Bedingung über in $D=rac{G\cos \varphi}{\sin (\alpha + \varphi)}.$

Da der Nenner von D höchstens den Wert 1 annehmen kann, so erhält D seinen kleinsten Wert $G\cos\varphi$ für $\sin(\alpha+\varphi)=1$, d. h. für $\alpha+\varphi=90^\circ$. Der damit gegebene Wert von α bestimmt die günstigste Stüzenstellung, weil für ihn die Jnanspruchnahme der Stüze am geringsten ist.

Wir untersuchen noch, Fig. 376 entsprechend, die Wirkung einer Kraft K für die Stellungen von $\alpha=0^{\circ}\dots 180^{\circ}$. Der Normaldruck ist für die Unterlage $G-K\cos\alpha$, also $R=f(G-K\cos\alpha)$.

Man hat Gleichgewicht für $K \sin \alpha = R = f(G - K \cos \alpha)$, d. h. für

$$K = G \frac{f}{\sin \alpha + f \cos \alpha}.$$



Führt man wieder $f=tg\ \varphi=rac{\sin \varphi}{\cos \varphi}$ ein, so erhält man

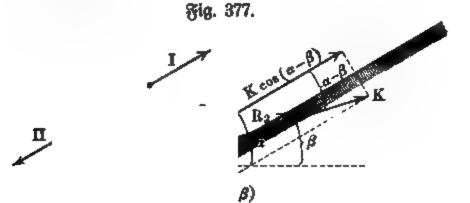
$$K = G \frac{\sin \varphi}{\sin (\alpha + \varphi)}$$

Für $\alpha=0$ ist K=G, entsprechend dem sentrechten Emporheben der Last. K erhält seinen kleinsten Wert für $\alpha+\phi=90^\circ$, womit die günstigste Stellung (vergl. Fig. 377) für die Stellung eines Seiles (K) bei Fortziehen einer Last (G) bestimmt ist.

K erhält seinen größten Wert und zwar ∞ für $\alpha + \varphi = 180^{\circ}$, so daß $\alpha = 0^{\circ}$ und $\alpha = 180^{\circ} - \varphi$ die Grenze bezeichnen, innerhalb deren eine Überwindung der Reibung durch [K], also eine Fortbewegung der Last (G) möglich ist. Für $\alpha = 180^{\circ} - \varphi$ sällt [K] aus den Nantel des Reisdungskegels der Grundsläche.

Für $\alpha > 180^{\circ}$ — φ wird K negativ, was auf eine Umkehrung der Kraftrichtung in Bezug auf den gedachten Zweck hindeutet, — K liegt dann in dem Reibungskegel.

Entwickelt man eine Tabelle von K für $\alpha=0^{\circ}\dots 180^{\circ}-\varphi$, so findet man für $\alpha=90^{\circ}-2\varphi$ und für $\alpha=90^{\circ}$ denselben Wert $K=Gtg\,\varphi$.



Wir betrachten noch die Beziehuns gen auf der schiefen Ebene, unter Bes rücksichtigung der Reibung, wie sie Fig. 377 darftellt.

Die Kraft K liefert, parallel und senkrechtzurschiefen Ebene, die Komponenten Kcos(a—\$) und Ksin(a—\$), so daß der Normal-

bruck N auf die Ebene durch $N = G \cos \alpha + K \sin (\alpha - \beta)$ gegeben ist. I. Soll der Körper emporgezogen werden, so wirkt die Reibung f. N als R_1 , so daß die Zugkraft

$$K\cos(\alpha-\beta)-G\sin\alpha$$

die Reibung R_1 zu überwinden hat.

Die Gleichung

$$K\cos(\alpha - \beta) - G\sin\alpha = f[G\cos\alpha + K\sin(\alpha - \beta)]$$

liefert

$$K[\cos(\alpha - \beta) - f\sin(\alpha - \beta)] = G(\sin\alpha + f\cos\alpha).$$

Für
$$f = tg \varphi = \frac{\sin \varphi}{\cos \varphi}$$
 erhält man

$$K = G \cdot \frac{\sin(\alpha + \varphi)}{\cos(\alpha - \beta + \varphi)}$$

II. Soll der Körper unter der Gegenwirkung von K abgelassen werden, so wirkt die Reibung f . N als R_2 , so daß

$$K\cos(\alpha - \beta) + R_2 = G\sin\alpha$$

ist. Man hat hier

$$K = \frac{G \cdot \sin(\alpha - \varphi)}{\cos(\alpha - \beta - \varphi)}.$$

Die Formeln I und II unterscheiden sich, dem umgekehrten Sinne der Reibung entsprechend, durch die Vorzeichen von φ , so daß man sie in die Formel

zusammenziehen kann.

Praktisch wichtig sind die Sonderfälle $\alpha=\beta$ und $\beta=0$, in denen [K] bezw. der schiefen Ebene parallel oder horizontal wirkt.

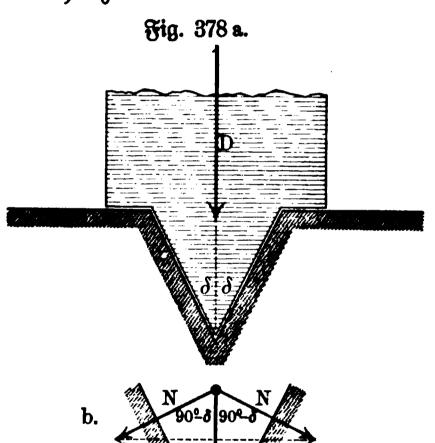
Für
$$\alpha = \beta$$
 gilt

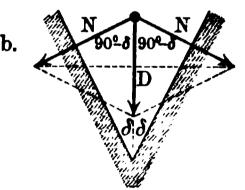
$$K = \frac{G \cdot \sin{(\alpha \pm \varphi)}}{\cos{\varphi}} \quad 142)$$

Für
$$\beta = 0$$
 gilt

$$K = G \cdot tg(\alpha \pm \varphi)$$
 143)

Für $\alpha-\beta\pm\varphi=90^\circ$ wird $K=\infty$, d. h. beim Hinausziehen darf $\alpha-\beta$ den Wert $90^\circ-\varphi$ nicht erreichen, d. h. [K] muß mit der Normalen der schiefen Ebene einen Winkel einschließen, der größer ist als φ . Für $\beta=0$ ist diese Bedingung $\alpha<90^\circ-\varphi$, d. h. bei einer Horizontalkraft muß die schiese Ebene gegen die Vertikale mehr als um den Reibungswinkel absweichen, wenn ein Hinausziehen mögslich sein soll.





Für $\varphi=0$ hat man $K=\frac{G\cdot\sin\alpha}{\cos(\alpha-\beta)}$ als Bedingung des Gleichzgewichtes, die beiden Formeln (\pm) der Nr. 141 geben die Grenze für das Gleichgewicht an, unter Berücksichtigung der beiden möglichen Bewegungen.

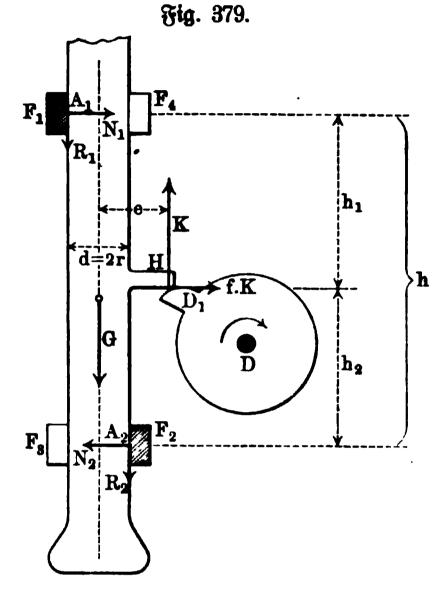
Läßt man einen Körper zunächst auf einer Horizontalebene vermittelst einer Keilnute (vergl. Fig. 378) laufen, so liefert D für beide Seiten den Kormaldruck $N=\frac{D}{2\sin\delta}$, so daß die Reibung für jede Seite $fN=\frac{fD}{2\sin\delta}$, im ganzen also $D\cdot\frac{f}{\sin\delta}$ ist.

Bei der Bewegung in der Keilnute ist also f zu ersetzen durch den größeren Wert $\frac{f}{\sin\delta} = \overline{f}$, dem $tg\,\overline{\varphi} = \overline{f}$ entspricht.

Das gilt auch für eine Führung aus mehreren parallel verlaufenden Keilnuten von gleicher Öffnung (8).

An der Betrachtung ändert sich nichts, wenn die Keilnuten in eine schiese Ebene eingelassen sind, senkrecht zu deren Schnitt mit der Horizontalen. Es gelten die vorher abgeleiteten Formeln, falls man f durch \overline{f} bezw. φ durch $\overline{\varphi}$ ersett.

Alles in allem entspricht der Einfluß der Reibung einer Anderung des Neigungswinkels a der schiefen Ebene, der beim Abwärtsgleiten aus a in



 $\alpha + \varphi$ ober $\alpha + \overline{\varphi}$, beim Auf= wärtsgleiten aus α in $\alpha - \varphi$ ober $\alpha - \overline{\varphi}$ übergeht.

Wir betrachten noch die gleichsörmige Hebung eines Pochsstempels (Stampse), wie er zum Zerkleinern von Erzen u. s. w. (vergl. Fig. 379) dient. Der horizontale Ansak H des Stempels wird durch den Daumen D_1 einer Daumenwelle D gesaßt, wodurch der Stempel selbst mit Pressung gegen die Führungen F_1 und F_2 gehoben wird, die er, frei geworden, durch sein Gewicht herabsällt, um die nötige Arbeit zu leisten.

Ist [K] der Normaldruck an der Übertragungsfläche zwischen dem Daumen D_1 und dem Ansage H, so entspricht diesem die Reisdung [fK]. Ist der Normaldruck für die Führungen F_1 und F_2

bezw. $[N_1]$ und $[N_2]$, so treten dort bezw. die Reibungen $[f'N_1]$ und $[f'N_2]$ auf, falls die Reibung hier einen anderen Koeffizienten hat, als bei der Überstragung an dem Daumen. Man hat also als Bedingungen des Gleichsgewichtes

- 1. in horizontaler Richtung: $fK + N_1 = N_2$,
- 2. in vertikaler Richtung: $G + R_1 + R_1 = K$,
- 3. für Drehung um A_1 (oder A_2): $G \cdot r K(e + r) fK \cdot h_1 + N_2(h_1 + h_2) + 2r \cdot R_2 = 0$.

Die Auflösung der drei Gleichungen führt zu

$$K = \frac{G}{1 - \frac{2e}{h_1 + h_2}f' - ff'\left(1 - \frac{2r}{h_1 + h_2}f' - \frac{2h_2}{h_1 + h_2}\right)}.$$

Für f=0 erhält man

$$K = \frac{G}{1 - \frac{2e}{h_1 + h_2}f'}$$

In diesem Sonderfalle (f=0) ist der Wert K unabhängig von λ_{\bullet} , da $h_1 + h_2 = h$ geset werden fann.

Buhrt man bei ber Bermenbung bes Principes ber virtuellen Berrudungen bie Reibungen als angreifenbe Rrafte ein, fo ift basfelbe allgemein verwendbar.

Man tann auch die virtuellen Berrudungen, sentrecht zur Richtung ber Reibung ober zu ber Richtung bes aus Reibung und Normalbruck gebilbeten

Gesamtwiderstandes einführen, vorausgelett, daß diese Richtungen bekannt find, und so, ohne ben Wert ber Reibung ju tennen, Schlüffe auf das Gleich= gewicht gewinnen.

§ 89.1

88. Bedingungen bes Rlemmens. Fallt bie Berbins dungsgerabe ber beiben Unterftligungspunkte A_1 und A_2 eines, durch zwei Flächen (Ebenen) geftütten Körpers gang in die beiden Reibungstegel der Unter-

ftungungspuntte hinein, fo zeigen fich befonbere Beziehungen. Bier tonnen A_1 und A_2 Gesamtwiderstände entwickeln, welche Gegenkräfte innerhalb A_1A_2

find, so daß der Körper auch amifchen A, und A, fest liegen kann, wenn er kraftfrei ist, d. h. wenn sein Gewicht vernachlässigt werden kann, oder wenn die an ihm wirkenden Arafte im Gleichgewichte stehen. Bergl. Fig. 380.

In diesem Falle erfordert die Entfernung bes Rorpers eine mehr ober minder große Kraft; man sagt, ber Körper sei eingetlemmt zwischen ben gegengepreßten einander Mächen (Cbenen).

Soll z. B. eine Stange zwis schen zwei Ebenen (vgl. Fig. 381) sommetrisch eingeklemmt werben, so muß die Offnung des Reibungstegels $\varphi > \delta$ fein d. h. $2\delta < 2\varphi$.

Relativ fpige Reile, die in irgend ein Material eingeführt sind, zeigen auch die Erscheinung des Klemmens.

89. Die Lagerreibung für gleichförmige Drehnug bei Druden fentrecht gur Achfe. Wenn fich ein belafteter Cylinder um feine horizontal ge-

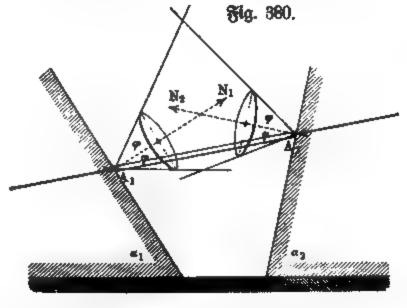
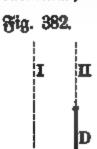


Fig. 381.

lagerte Achse dreht und die Unterstützung auf beiden Seiten durch Lagers slächen geschieht, so ist die Reibung zwischen dem Cylinder und den Lagerslächen zu berücksichtigen.

Beispiele geben die Tragzapfen der Wellen in ihren Lagern.

Für eine gleichförmige Drehung um eine freie Achse des belasteten Enlinders sind bei Bernachlässigung der Reibung keine Kräfte zu berücksichtigen (vergl. S. 388), falls man die reibenden Körper als starr ansieht, also von den Spannungen des Materials, welche den Ausgleich der Centripetalkräfte ver-



mitteln, absieht. Führt man unter dieser Borausseyung die Reibung ein, so muß auch zusgleich ein Paar angreisender Kräfte vom Momente Mo einsgeführt werden, dessen Zweckes ist, die Drehung trop der Reibung gleichförmig zu ershalten.

Wir betrachten zunächst einen Cylinder, der sich mit so großem Spielraum auf der cylindrischen Lagerfläche drehen kann, daß die Berührung ans genähert in einer Geraden (Cylinderseite) erfolgt. Solche Berhältnisse zeigen sich bei stark gebrauchten Lagern aus relatio

weichem Material (ausgelausene Lager). Der Zapfen klettert infolge der Reibung [R], seiner Bewegung entgegen, empor, so daß er nicht die Lage I der Fig. 382 einnimmt, sondern die Lage II. In der Berührungslinie, welche bei B die Ebene der Zeichnung durchschneidet, liesern Kormaldrud [N] und Reibung [R] einen Widerstand [W], welcher dei gleichsörmiger Bewegung mit dem auf den Cylinder wirkenden Drud [D] ein Krästepaar bilden muß, dessen Woment dem Momente Mo der angreisenden Kräste das Gleichgewicht hält. Deshald muß [W] parallel sein zu dem, auf den Cylinder übertragenen Drud [D], d. h. im allgemeinen senkrecht nach oben wirken. In diesem Falle bildet [W] mit dem Radius CB, der ja für B Kormale ist, den Winkel φ , so daß der Arm x des Krästepaares aus [D] und [W] den Wert $r \sin \varphi$ hat. Für gleichsörmige Drehung gilt also die Gleichung

Die linke Seite ber Gleichung stellt das Moment des, zur überwindung ber Reibung nötigen Paares ber angreifenden Kräfte dar, die rechte Seite das entsprechende Moment, welches durch die Reibung bestimmt wird und darum Reibungsmoment heißt.

Bei Anwendung reichlichen Schmiermaterials ift φ so klein, daß $\sin \varphi$ durch $tang \varphi = f$ ersetzt werden darf; man hat dann

$$Mo = Drf \dots 145$$

b. h. für einen Zapfen 3. B. ift bas Reibungsmoment bas Probutt aus Zapfenbrud, Zapfenhalbmeffer und Reibungstoeffizient.

Denkt man sich eine, dem Drucke D entsprechende Reibung (Df) ober genauer $(D\sin\varphi)$ am Arme r wirken, so erhält man Mo, b. h. man darf sich die Bewegung reibungslos vorstellen, wenn man an dem Umfang des Splinders eine Belastung Df bezw. $D\sin\varphi$ andringt, die am Arme r das Gleichzgewicht mit Mo herstellt.

Da die Arbeit von Mo für eine Umbrehung Mo. 2π , für u Umsbrehungen also Mo. 2π . u ist, so hat die Arbeitsstärke bei u Umdrehungen in der Minute (= 60'') den Wert $\frac{Mo \cdot 2\pi \cdot u}{60} = \frac{(Df) \cdot r \cdot 2\pi \cdot u}{60}$. Ist

c die Seschwindigkeit des Cylinderumfanges (Zapfenmantels), so ist $c=rac{2\ r\pi_+ u}{60}$,

d. h. jene Arbeitsstärke ist darstellbar als (Df). c, genauer als (Dsin 9). c. Denkt man sich also einen Körper vom Gewichte Df bezw. Dsin 9 an einem Seile so hängen, daß es der Cylinder bei seiner Drehung aufwickelt, so ist die Arbeit, welche dadurch veranschaus Fig. 383. licht wird, zugleich die Arbeit, welche zur

Überwindung der Reibung erforderlich ist bezw. die Arbeit der Reibung selbst.

Bei Umrechnung in Pferbestärken gilt natürlich

$$\frac{(Df)\cdot c}{75}=N,$$

falls die Anzahl der Pferdestärken mit N bes zeichnet wird.

Bei ber in Fig. 383 angedeuteten Art ber Auflagerung (Reillager) entspricht bem vorher betrachteten Klettern des Bapfens für den gezeichneten Bewegungspfeil ein stärkerer Druck nach rechts hin.

Bei einer genaueren Behandlung muß man demnach N_2 und N_1 vonseinander verschieden annehmen $(N_2>N_1)$, so daß auch $R_2=fN_2$ und $R_1=fN_1$ voneinander verschieden sind.

Bur C als Drehpunkt hat man bei gleichformiger Drehung

1)
$$Mo = (R_1 + R_2)r$$
.

In horizontaler Richtung forbert bas Gleichgewicht außerbem ben Ansat

2)
$$N_1 \cos \delta + R_1 \sin \delta + R_2 \sin \delta = N_2 \cos \delta$$

und in vertitaler Richtung ebenfo

3)
$$N_1 \sin \delta + N_2 \sin \delta + R_2 \cos \delta = D + R_1 \cos \delta$$
.

Für $R_1=fN_1$ und $R_2=fN_2$ erhält man aus Gleichung 2) und 3) zunächst N_2+N_1 und N_2-N_1 , während Gleichung 1) die Form $Mo=fr(N_2+N_1)$ annimmt.

Bernide, Rechantt. I.

So ergiebt fich

$$Mo = D \cdot r \cdot \frac{f}{(1+f^2)\sin\delta} = D \cdot r^{\frac{1}{2}\sin2\phi} \cdot \cdot \cdot \cdot 146$$

Für Keinere Werte von φ darf $\frac{1}{2}\sin 2\varphi = \sin \varphi$. $\cos \varphi$ durch $tg\varphi = f$ ersetzt werden, so daß sich

$$M_0 \sim D \cdot r \cdot \frac{f}{\sin \delta} \cdot \cdot \cdot \cdot \cdot \cdot \cdot \cdot 147$$

ergiebt. Diese Formel geht aus Nr. 145) hervor, wenn man $\overline{f} = \frac{f}{\sin \delta}$ statt f einsührt. Man nennt δ den Winkel des Reiles oder der Reilnute und bezeichnet infolgedessen \overline{f} auch hier (vergl. S. 541) als den Reibungstoeffiszienten für die Reilnute vom Winkel (Öffnung) δ .

Da $\sin\delta$ ein echter Bruch ist, so ist $\overline{f}>f$, b. h. beim Reillager ist eine größere Reibung zu überwinden, als bei der vorher betrachteten einsachen

Fig. 384.

Auflagerung. Das für bietet das Keils lager den Borteil, auch bei Abnugung eine sichere Achsenslage zu gewährsleisten (Berwens dung bei Neßsinftrumenten).

Da bie Auflagerstellen B_1 und B_2 des Reillagers thatsächlich sehr schmale Flächen sind, so kann man aus der vorigen Betrachtung auch die Formeln für ein Umschlußlager, wie

es Fig. 384 barftellt, gewinnen, vorausgesetzt, daß man eine gleiche mäßige Verteilung des Druckes D auf die Horizontale annehmen darf. Teilt man unter dieser Boraussetzung die Sehne $C_1C_2=c$ in n gleiche Teile, so entspricht einem symmetrisch gelegenen Paar solcher Teilchen die vorige Betrachtung für A_1B_1 und A_2B_2 und für den entsprechenden Winkel δ . Da

$$\begin{array}{c} A_1B_1\cdot\cos\left(90^\circ-\delta\right)=\frac{1}{n}\,c\,\text{ ift, fo ift }\sin\delta=\frac{\frac{1}{n}\,c}{A_1B_1}\,\text{ and man hat gemäß}\\ \text{Formel 146)}\\ \frac{2}{n}\,D\cdot r\cdot\frac{\frac{1}{2}\sin2\,\phi}{\sin\delta}=\frac{\frac{2}{n}\,D\cdot r\cdot\frac{1}{2}\sin2\,\phi}{\frac{1}{n}\,c}\cdot A_1B_1 \end{array}$$

$$= D \cdot r \cdot \frac{1}{2} \sin 2 \varphi \cdot \frac{2 A_1 B_1}{c} = D \cdot r \cdot \frac{1}{2} \sin 2 \varphi \cdot \frac{A_1 B_1 + A_2 B_2}{c}$$

als Reibungsmoment für die Berührung in A_1B_1 und A_2B_2 .

Dehnt man die Betrachtung auf alle Paare, wie A_1B_1 und A_2B_2 , aus, so sepen die Stücke, wie $A_1B_1+A_2B_2$, den Bogen C_1C_2 zusammen, d. h. man hat

$$Mo = D \cdot r \cdot \frac{1}{2} \sin 2 \varphi \cdot \frac{\widehat{C_1} \widehat{C_2}}{C_1 C_2}$$

$$= D \cdot r \cdot \frac{1}{2} \sin 2 \varphi \frac{arc \alpha}{\sin \alpha}.$$

Für kleinere Werte von φ gilt hier

$$Mo = D \cdot r \cdot \frac{f \cdot arc \alpha}{sin \alpha} \cdot \cdot \cdot \cdot \cdot \cdot \cdot \cdot 148$$

Für halben Umschluß ($\alpha=90^{\circ}$) ist $arc \alpha=\frac{\pi}{2}$ und $sin \alpha=1$, d. h. man hat hier

$$Mo = D \cdot r \cdot f \cdot \frac{\pi}{2} = D \cdot r \cdot (1.57 f).$$

Bei den Lagern, welche in der Maschinentechnik im Gebrauche sind, sindet eine Abnuzung statt, welche aber nicht dem großen Spielraum der Fig. 382 entspricht.

Für halben Umschluß ($\alpha=90^{\circ}$) hat man hier also weder die Formel des neuen Lagers

$$Mo = 1.57 \cdot D \cdot r \cdot f$$

noch die Formel des völlig ausgelaufenen Lagers

$$Mo = 1 \cdot D \cdot r \cdot f$$

anzusezen, sondern die Formel

$$Mo = \varepsilon \cdot D \cdot r \cdot f$$

in welcher ε einen Zahlenwert bezeichnet, welcher im allgemeinen von Fall zu Fall durch Versuche sestgestellt werden muß. Man setzt dann besser ε . $f = f_s$ und bestimmt f_s in der Gleichung $Mo = Drf_s$ durch Versuche; man kann dann f_s als Koeffizienten der Zapfenreibung bezeichnen.

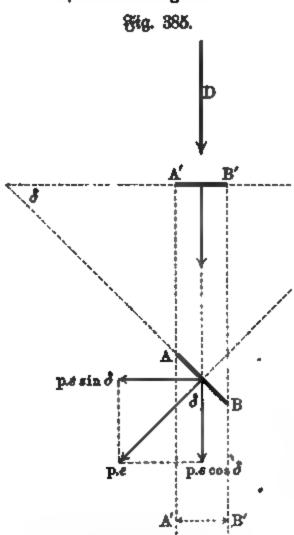
Für neue Lager hat sich der Satz bewährt, daß der vertikale Zapfenstuck sich gleichmäßig auf die Horizontalprojektion der Lagersläche verteilt bezw. daß sich der Zapfendruck überhaupt auf die Projektion der Lagersläche, senkrecht zu seiner Richtung, gleichmäßig verteilt.

Unter dieser Boraussezung ist auch der, auf die Flächeneinheit bezogene Normaldruck (Spannung) für die Elemente der Lagersläche konstant. Bezeichnet nämlich AB in Fig. 385 (a. s. S.) ein Element ε der Lagerssläche, dessen durch A'B' bezeichnete Projektion ε' senkrecht zur Druckrichtung [D] ist, so erhält das Element ε bei einer Normalspannung p den Normaldruck $p\varepsilon$, dessen Komponente in der Richtung [D] den Wert $p\varepsilon\cos\delta$ hat. Da aber $\varepsilon\cos\delta=\varepsilon'$ ist, so ist diese Komponente auch darstellbar als $p\varepsilon'$. Erhält also jedes Element ε' bei der Verteilung von [D] dieselbe Norze

malspannung p, so ist diese Spannung zugleich die Normalspannung für die Elemente der Lagersläche.

Für einen horizontal gelagerten Zapfen von der Länge l und dem Durchmesser 2r hat die Projektion der Lagersläche, senkrecht zum Bertikals druck, den Wert l. 2r, so daß hier $p=\frac{D}{l\cdot 2r}$ ist.

Fig. 386 stellt diese Spannungsverteilung für den Zapfen dar. Bei der Abnugung des Lagers ändert sich diese Spannungsverteilung; über die Art dieser Anderung kann nur die Ersahrung Auskunft geben.



Sie giebt zunächst für die Abnutzung insolge der Reibung einen ziemlich sicheren Anhalt: ein Zapfen frißt sich in der Druckrichtung translatorisch in das Lager ein, vorausgesett, daß der Zapfen bedeutend härter ist (z. B. Stahlzapfen auf Bronze) als das Lager. Entspricht C_1 in Fig. 387 einer Lage der Zapfenachse und I der zugehörigen Lager-

Fig. 886.

fläche, so ist für eine Abnuzung a in der durch C_1 gehenden Druckrichtung (D) die neue Lagersläche durch Π bestimmt, b. h. durch einen Kreis mit r auß C_2 , und nicht durch Π , d. h. durch einen Kreis mit r+a auß C_1 .

Nimmt man nun ferner an, daß die Abnuzung in Richtung des Radius an jeder Stelle der Arbeit für diese Stelle proportional ist, so erhält man eine Grundlage für die Darstellung der Drehung im ausgelausenen Lager, welche mit der Ersahrung in befriedigender Übereinstimmung ist.

Hat der Normaldruck auf die Flächeneinheit an der Stelle Q_s den Wert p_s , so ist für einen senkrecht zur Ebene der Zeichnung stehenden unendliche schmalen Flächenstreisen von der Zapsenlänge l und der Breite λ der Druck $p_s(l \cdot \lambda)$ anzusezen. Diesem entspricht die Reibung $f \cdot p_s \cdot (l \cdot \lambda)$ und, für ein Fortschreiten um λ die Reibungsarbeit $f \cdot p_s(l \cdot \lambda) \cdot \lambda$, während der in Richtung des Radius an der Stelle Q_s zur Zerstörung kommende Teil des

Lagers für den Übergang von I nach II das Bolumen 1.1.a. hat, falls a unendlich klein ist. Setzt man nun, unter Einführung der Konstante C

$$f \cdot p_{i}(l \cdot \lambda) \cdot \lambda$$

$$= C \cdot l \cdot \lambda \cdot a_{i},$$
for ifft
$$p_{i} \cdot \lambda = \frac{C}{f} \cdot a_{i}.$$

Um C zu bestimmen, zerlegen wir p_* so, daß eine Komponente parallel zu [D] wird, sie erhält den Wert $p_*\cos\varepsilon$. Für den Flächenstreisen $(l.\lambda)$ hat demnach der Druck, parallel zu [D], den Wert $(l.\lambda)$ $p_*\cos\varepsilon$ und demsnach ist

$$D = \sum (l \cdot \lambda) p_{\bullet} \cdot \cos \varepsilon$$
$$= \frac{C \cdot l}{f} \sum a_{\bullet} \cos \varepsilon,$$

wobei sich die Summe D auf alle Flächenstreisen bezieht, welche der Berührungsfläche von Zapfen und Lager entsprechen.

Demgemäß gilt

$$C = rac{D \cdot f}{l \sum a_i \cos \varepsilon}$$
 and $p_{\varepsilon} \lambda = rac{D}{l} \cdot rac{a_{\varepsilon}}{\sum a_i \cos \varepsilon}$.

Das Moment der gesamten Reibung ist nun gegeben als

$$Mo = \sum r \cdot f \cdot p_{\epsilon}(l\lambda)$$

$$= D \cdot r \cdot f \cdot \frac{\sum a_{\epsilon}}{\sum a_{\epsilon} \cos \epsilon}.$$

Da die ganze Betrachtung für eine unendlich-kleine Verrückung (a) von I gegen II gilt, so ist $a_s = a \cos \varepsilon$, d. h. man hat schließlich

$$\mathbf{M}o = \mathbf{D} \cdot \mathbf{r} \cdot f \cdot \frac{\sum a \cos \varepsilon}{\sum a \cos^2 \varepsilon}$$

Für eine gleichmäßige Einsteilung (λ) von I ist $p_* = C'.a_*$

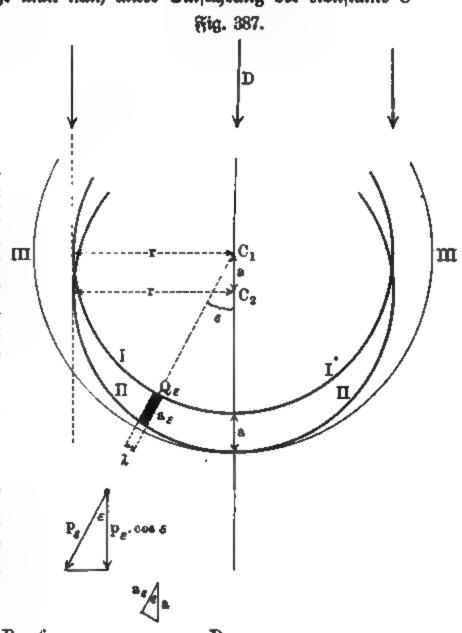
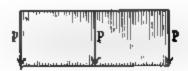


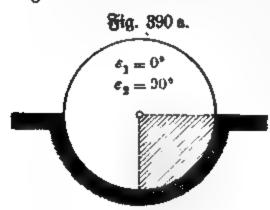
Fig. 388.



 $=C'.a\cos\varepsilon$, falls C' eine Konstante bezeichnet. Bezeichnet man den Wert von p sür $\varepsilon=0$ durch p_0 , so ist die Verteilung der Spannung also hier durch die Formel $p_1=p_0$. $\cos\varepsilon$ gegeben. Sie wird durch Fig. 388 (a. v. S.) dargestellt, in welcher $p_0=r$ gezeichnet ist, damit die Lote $r\cos\varepsilon$ ohne weiteres zur Darstellung von p_1 dienen können.

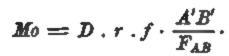
Sig. 389.

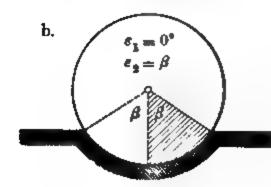
Um die Bestimmung von Mo für den cylindrischen Tragzapsen durchzusähren, betrachten wir Fig. 889, in welcher auf einem Einheitskreise der Bogen AB in n Teile von der Länge a zerlegt ist. Die doppelt schraffierte



Fläche, welche über a steht, hat bei elemenstarer Teilung den Wert $a\cos^2\varepsilon$, so daß die einsach schraffierte Fläche über AB den Wert $\Sigma a\cos^2\varepsilon$ für daß Gebiet von ε_1 diß ε_2 darsstellt. Ebenso stellt die Strede A'B' den Wert $\Sigma a\cos\varepsilon$ für daß Gebiet von ε_1 bis ε_2 dar.

Bezeichnet man die schraffierte Fläche über AB durch F_{AB} , so ist also





Für $\epsilon_1 = 0^\circ$ und $\epsilon_2 = 90^\circ$ erhalten wir halben Umschluß (vergl. Fig. 390 a).

Sier ist A'B'=1 und $F_{AB}=\frac{1}{4}\pi$, b. h. also

$$M_0 = \frac{4}{\pi} D.r. f = 1,27. D.r. f$$
 . 149)

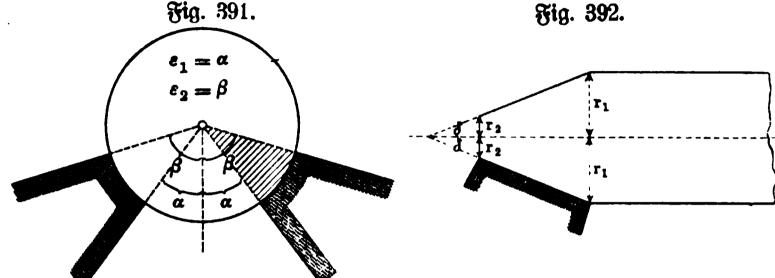
Für $\varepsilon_1 = 0^\circ$ und $\varepsilon_2 = \beta$ erhalten wir eine beliebige Umfaffung (vergl. Fig. 390 b).

Sier ist $A'B' = \sin \beta$ und $F_{AB} = \frac{1}{2}(arc \beta + \sin \beta \cos \beta)$, d. h. also $Mo = D \cdot r \cdot f \cdot \frac{2 \sin \beta}{arc \beta + \sin \beta \cos \beta} \cdot \cdot \cdot \cdot \cdot \cdot 150$

Für $\epsilon_1=\alpha$ und $\epsilon_2=\beta$ erhalten wir eine beliebige Umfassung mit beliebig offener Rinne im Schalengrunde (vergl. Fig. 391). Hier ift $A'B'=\sin\beta-\sin\alpha$ und

 $F_{AB}=rac{1}{2}(arc\,eta\,+\,sin\,eta\,\coseta)-rac{1}{2}(arc\,lpha\,+\,sin\,lpha\,\coslpha),$ b. h. also

$$Mo = D \cdot r \cdot f \cdot \frac{2(\sin\beta - \sin\alpha)}{\arcsin\beta - \alpha\beta - \alpha\beta - \alpha\beta}$$



Führt man eine entsprechende Betrachtung für den in Fig. 392 stizzierten Regelzapfen durch, so erhält man

$$Mo = \frac{\pi}{3} \cdot D \cdot \frac{f}{\cos \delta} \cdot \frac{r_1^3 - r_2^3}{r_1^2 - r_2^2} \cdot \cdot \cdot \cdot \cdot \cdot 151)$$

für ben neuen, und

$$Mo = \frac{2}{\pi} \cdot D \cdot \frac{f}{\cos \delta} (r_1 + r_2) \cdot \cdot \cdot \cdot \cdot \cdot \cdot \cdot 152)$$

für ben eingelaufenen Zapfen.

Für $r_2 = 0$ erhält man die entsprechenden Formeln des Volltegels.

Benutzt man Winkel $\delta'=90^{\circ}-\delta$, welcher der Keilnute im Materiale entspricht, so ist $\frac{f}{\cos\delta}$ durch $\frac{f}{\sin\delta'}$ zu ersetzen. Bergl. S. 541 und S. 546.

Giebt man dem Moment die Gestalt

$$Mo = D \cdot \varrho$$

so heißt der mit o als Radius um die Zapsenachse als Achse beschriebene Cylinder der Reibungschlinder des Zapsens, jeder Schnitt desselben senk=recht zur Achse ein Reibungskreis des Zapsens.

Für statische Konstruktionen im engeren Sinne (Ruhe) ist dieser Kreis von Wichtigkeit. Schneibet die Gerade einer Kraft [K], welche auf dem Zapsen, senkrecht zu seiner Achse wirkt, den Reibungskreiß bezw. berührt sie ihn, so ist der Zapsen unter dem Einflusse dieser Kraft im Gleichgewicht, weil ihr Moment in Bezug auf die Zapsenachse dann $\leq K\varrho$ ist, während das entsprechende Reibungsmoment $K\varrho$ ist (vergl. Fig. 393 a. s. s.). So sind z. B. Gelenkstangen auch noch im Gleichgewicht, wenn die übertragenen Kräfte nicht mehr in der Achse liegen, wenn sie nur den Reibungschlinder schneiden oder berühren. Für eine doppelt eingelenkte Stange geben die gemeinsamen Tangentialebenen der Reibungschlinder ihrer Zapsen die Grenzlagen für die Beweglichkeit der übertragenen Kräfte an.

Ist eine Rolle in Bewegung, wie es der Pseil der Jig. 394 angiebt, so entspricht die Reibung dem Pseile R, es muß also mit D ein Moment gebildet werden, welches dem Reibungsmomente D. ϱ entspricht, d. h. D muß für Fig. 393.

10,

F

Fig. 394 rechts als Tangente an den Reibungstreis gezeichnet werden, um für den Mittelpunkt das Reibungsmoment zu liefern.

90. Die Lagerreibung für gleichförmige Drehung bei Drucken innerhalb der Achje. Wenn sich ein belasteter Enlinder um seine vertital ge-

Fig. 395 a.

Þ

lagerte Achse dreht und die Unterstügung durch eine Lagersläche am unteren Ende des Enlinders geschieht, so ist die Reibung an dieser zu berücksichtigen. Beispiele geben die Stützapfen der Wellen in ihren Lagern. Für eine gleichförmige Drehung um eine freie Achse des belasteten Cylinders gelten entsprechende Betrachtungen wie in § 89.

Wirkt der Druck D in der Achse des in Fig. 395 a stizzierten Stüzzapsens, so stimmt die Lagersläche überein mit ihrer Projektion, senkrecht zur Druckrichtung, sie ist ein Kreisring mit den Radien r. und r. Bei gleichmäßiger Verteilung des Druckes auf die Projektion, senkrecht zur Druckrichtung, ist also

die mittlere Spannung $p=\frac{D}{(r_1^2-r_2^2)\pi}$ dus gleich die Spannung für jedes Element der Lagerfläche.

Auf einen Ausschnitt aus ber Lagerfläche

(vergl. Fig. 395 b) vom Centriwintel 26 wirtt alfo ber Drud

$$(r_1^2-r_2^2)$$
 arc δ . $p=\frac{arc \delta}{\pi}\cdot D$,

b.

so daß die entsprechende Reibung bestimmt ist als

$$R = f \cdot \frac{arc \ \delta}{\pi} \cdot D.$$

Bei der gleichmäßigen Belastung der Elemente der Lagersläche konzentriert sich der Druck auf den Ausschnitt bezw. die entsprechende Reibung in dem Schwerpunkte, für welchen gilt

$$s = \frac{2}{3} \frac{\sin \delta}{arc \delta} \cdot \frac{r_1^3 - r_2^3}{r_1^2 - r_2^2}.$$

Demgemäß ist das Reibungsmoment für den betrachteten Ausschnitt

$$\frac{2}{3}f \cdot D \cdot \frac{r_1^3 - r_2^3}{r_1^2 - r_2^2} \cdot \frac{\sin \delta}{\pi}$$

Für die ganze Fläche ist demnach

$$Mo = \sum \frac{2}{3} f \cdot D \cdot \frac{r_1^3 - r_2^3}{r_1^2 - r_2^2} \cdot \frac{\sin \delta}{\pi}$$

Bei Zerlegung in elementare Ausschnitte hat man von der Entwickelung $\sin\delta = arc\,\delta - \frac{1}{6}(arc\,\delta)^3 + \cdots$ nur das erste Glied zu berücksichtigen, so daß an der Grenze

$$Mo = \frac{2}{3} f \cdot D \cdot \frac{r_1^3 - r_2^3}{r_1^2 - r_2^2} \cdot \frac{1}{\pi} \sum arc \delta$$

wird.

Da $\Sigma arc \, 2 \, \delta$ hier der ganzen Kreisfläche entspricht, so ist $\Sigma arc \, \delta = \pi$, b. h. man hat

$$Mo = \frac{2}{3} f \cdot D \cdot \frac{r_1^3 - r_2^3}{r_1^2 - r_2^2} \cdot \cdot \cdot \cdot \cdot \cdot 153$$

Diese Betrachtung gilt für einen neuen Zapfen.

Für einen Zapfen im ausgelaufenen Lager betrachten wir die Zersftörung des Materiales in einer unendlichsschmalen treisförmigen Rinne (Hohlschlinder) im mittleren Abstande |r| von der Achse. Hat die Oberfläche der Rinne die Größe ε , so ist bei einer Tiese a das Bolumen des zur Zersstörung kommenden Materials $a\varepsilon$.

Der Normaldruck auf die Oberfläche (Kreisring) der Rinne hat, falls die Spannung im Abstande r mit p_r bezeichnet wird, den Wert εp_r , die entsprechende Reibung also den Wert $f \varepsilon p_r$, so daß die entsprechende Reibungs= arbeit für einen Umgang $f \varepsilon p_r$. $2 r \pi$ ist.

Setzt man, unter Einführung der Konstante C, wieder

$$f \cdot \varepsilon \cdot p_r \cdot 2r\pi = C \cdot \varepsilon \cdot a$$

so ergiebt sich für r. p_r ein konstanter Wert.

Setzt man $p_r = \frac{C'}{r}$, so ist der Normaldruck für die Oberfläche arepsilon der be-

lasteten Fläche $\varepsilon p_r = \frac{\varepsilon \, C'}{r}$, so daß

$$D = \Sigma \frac{\varepsilon C'}{r}$$

folgt.

Wird die Oberfläche der Rinne von den Radien r' und r'' begrenzt, so ist $\epsilon=(r')^3\pi-(r'')^3\pi$ und $r=\frac{r'+r''}{2}$, so daß $\frac{\epsilon}{r}=2\pi(r'-r'')$ ist.

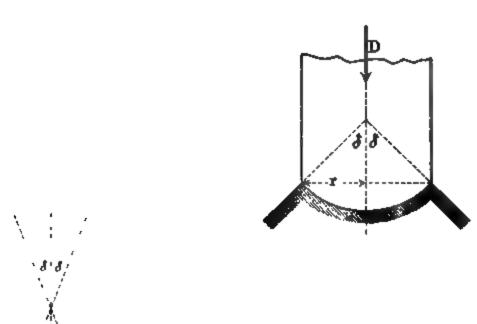
Teilt man die ganze Stütfläche in n konzentrische Ringe von gleicher Breite, beren Radien $r_1,\ a_1,\ a_2,\ \dots\ a_{n-1},\ r_2$ sind, so ist

$$\Sigma \frac{\varepsilon}{r} = [(r_1 - a_1) + (a_1 - a_2) + \cdots (a_{n-1} - r_2)] \cdot 2\pi = 2\pi (r_1 - r_2).$$

Demnach ist D=C' . $2\,\pi\,(r_1\,-\,r_2)$ und $C'=rac{D}{2\,\pi\,(r_1\,-\,r_2)}$.

Run hat man für bas Moment der Reibung

$$extit{Mo} := \Sigma \left(arepsilon p_r \right) , f , r := \Sigma C' , f , \varepsilon := C' , f , \Sigma \varepsilon .$$
 Fig. 396.



Da Σ e die ganze Stügfläche $(r_1^{\,2}\,-\,r_2^{\,2})\pi$ barftellt, fo ift

$$M_0 = f \cdot D \cdot \frac{r_1 + r_2}{2} \cdot \cdot \cdot \cdot \cdot \cdot \cdot 154$$

Für $r_2 = 0$ erhält man den vollen Stützapfen, für den also gilt, falls man $r_1 = r$ set

bei neuem Lager, und

$$Mo = \frac{1}{4} f \cdot D \cdot r \cdot \dots \cdot 156$$

bei ausgelaufenem Lager.

Entsprechenbe Betrachtungen geben für den in Fig. 396 stizzierten Kegelszapfen (N, $\sin\delta = \frac{1}{2}D)$

$$Mo = \frac{2}{3} \frac{f}{\sin \delta} \cdot D \cdot \frac{r_1^3 - r_2^3}{r_1^2 - r_2^2} \cdot \cdot \cdot \cdot \cdot \cdot 157$$

bei neuem Lager, und

$$Mo = \frac{f}{\sin \delta} \cdot D \cdot \frac{r_1 + r_2}{2} \cdot \cdot \cdot \cdot \cdot \cdot 158$$

bei ausgelaufenem Lager.

Für den Spizzapfen $(r_2 = 0 \text{ und } r_1 = r)$ hat man bezw.

$$Mo = \frac{2}{3} \frac{f}{\sin \delta} \cdot D \cdot r$$
 und $Mo = \frac{1}{2} \frac{f}{\sin \delta} \cdot r$ 159)

Läßt man den Kegelzapfen der Fig. 396 auch noch am Grunde unter Reibung aufsigen, so erhält man bei neuem Lager

$$Mo = \frac{2}{3} \cdot f \cdot D \cdot \frac{r_1^3 - r_2^3 (1 - \sin \delta)}{r_1^2 \cdot \sin \delta} \cdot \cdot \cdot \cdot \cdot 160$$

unb

$$Mo = \frac{1}{2} \cdot f \cdot D \frac{r_1^2}{(r_1 - r_2) \sin \delta + r_2} \cdot \cdot \cdot \cdot \cdot 161)$$

bei ausgelaufenem Lager.

Für die in Fig. 397 dargestellte Zapfenform (Kugelzapfen) ergiebt sich

$$Mo = f \cdot D \cdot r \frac{arc \delta - \frac{1}{2} sin 2 \delta}{sin^2 \delta} \cdot \cdot \cdot \cdot \cdot \cdot 162$$

bei neuem Lager, und

$$Mo = f \cdot D \cdot r \cdot \frac{\sin^2 \delta}{\operatorname{arc} \delta + \frac{1}{9} \sin 2 \delta} \cdot \cdot \cdot \cdot \cdot \cdot \cdot 163$$

bei ausgelaufenem Lager.

91. Die Lagerreibung für gleichförmige Drehung bei Drucken, schief zur Achse. Wenn ein Druck [D] die Achse eines Zapfens schief schneibet, so hat man die Komponenten $[D_1]$ und $[D_2]$ von [D] bezw. senkrecht und parallel zur Achse zu bestimmen, und diese gemäß \S 89 und 90 einzuführen.

Man gelangt dabei, mit Rücksicht auf die Erfahrung, zu folgenden Regeln:

- 1. Wirkt auf einen Kegelzapfen ein Druck [D], so ist das Reibungsmoment so zu berechnen, als wenn lediglich $[D_2]$ vorhanden wäre (Stützapfenformel).
- 2. Wirkt auf einen cylindrischen Zapfen mit ebener Endfläche ein Druck [D], so ist das Reibungsmoment so zu berechnen, als wenn $[D_1]$ den Zapfen als Tragzapfen und $[D_2]$ den Zapfen als Stützzapfen in Anspruch nähmen.

Dazu führen wir noch an:

- 3. Für gleiche kegelförmige Tragzapfen einer Welle, von denen der eine den Druck D und der andere den Druck D', beide mal senkrecht zur Achse erleidet, ist das Moment so zu berechnen, als wenn ein Zapfen unter dem Drucke 2D stände, falls D > D' ist.
- 4. Für gleiche cylindrische Tragzapsen ist entsprechend ein Zapsen mit dem Druck D+D' einzusühren.
- 92. Scilreibung. Über einen befestigten cylindrischen Körper C (z. B. Baumstamm, durch Zimmermannshaken angeschlagen) sei, wie Fig. 398 (a. f. S.) zeigt, ein Seil gelegt, an welchem durch eine Kraft P eine Last Q gleichsörmig bewegt werden soll. Dabei hat P die Last Q und die Reibung zwischen Seil und Führungskörper zu überwinden, so daß P > Q ist. Um die Beziehungen zwischen P und Q sestzustellen, schneiden wir (vergl. Fig. 399 a. f. S.) aus

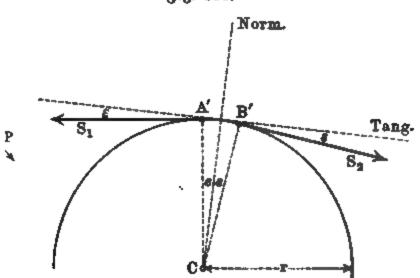
dem Seile einen kleinen Teil A'B' heraus und bringen an den Schnittstellen tangential die Kräfte S_1 und S_2 an, welche durch die Schnitte zerstört wurden. S_1 hat dann S_1 und der Reibung von A'B' das Gleichgewicht zu halten. Berslegt man $[S_1]$ und $[S_2]$ nach Richtung der Tangente und Normale für die Mitte von A'B', so ist der Normaldruck $(S_1 + S_2)\sin\varepsilon$, also die Reibung $f(S_1 + S_2)\sin\varepsilon$. Zum Gleichgewichte erforderlich ist also

$$f: (S_1 + S_2) \sin \varepsilon = (S_2 - S_1) \cos \varepsilon.$$

Daraus folgt

$$S_2 = \frac{1 + f t g \, \varepsilon}{1 - f t g \, \varepsilon} \cdot S_1 = \psi \cdot S_1.$$

Berlegen wir nun AB in n gleiche Teile vom Centriwinkel 2s, so entsprechen ben Teilpunkten bestimmte Spannungen $Q, K_1, K_2, \ldots, K_{n-1}, P$, Fig. 398.



von benen je zwei bezw. den betrachteten Spannungen S_1 und S_2 entsprechen. Demnach gilt

$$K_1 = Q \cdot \psi, \quad K_2 = K_1 \cdot \psi \cdot \ldots, \quad P = K_{n-1} \cdot \psi,$$

ð. h.

$$P = Q \cdot \psi^n = Q \frac{(1 + f t g \epsilon)^n}{(1 - f t g \epsilon)^n}$$

Da $\varepsilon = \frac{\alpha}{2n}$ ist, so ist für $\lim \varepsilon = 0$

$$\lim \left[1 \pm f \cdot tg \frac{\alpha}{2n}\right]_{n=-\infty}^{n}$$

zu bestimmen, was bekanntlich zu e- 1/4 feare a führt.

Demnach gelten für P und Q und für die Reibung R die Gleichungen

$$P = Q \frac{e^{+ \frac{1}{2}f \cdot \operatorname{arc} \alpha}}{e^{-\frac{1}{2}f \cdot \operatorname{arc} \alpha}} = Q \cdot e^{f \cdot \operatorname{arc} \alpha}$$

$$R = P - Q = Q(e^{f \cdot \operatorname{arc} \alpha} - 1) = P \cdot \frac{e^{f \cdot \operatorname{arc} \alpha} - 1}{e^{f \cdot \operatorname{arc} \alpha}}$$
164)

Aus der ersten Formel ersieht man, daß P rasch mit $arc\alpha$ wächst und zwar unabhängig vom Radius r des Körpers C, salls f nicht allzu klein ist.

Die Bersuche ergaben für f im Mittel 0,5 bei Seilen ober Riemen auf Holzund Eisenflächen.

Für eine Umschlingung von 115° ist $arc \alpha \sim 2$, so daß $farc \alpha \sim 1$ und $P \sim Q$. 2,72 ist. Für eine halbe Umschlingung ($\alpha = 180^\circ$) ist $P \sim 5\,Q$, also sür eine volle Umschlingung $P \sim 25\,Q$, sür zwei volle Umschlingungen $P \sim 625\,Q$.

Dabei bebeutet f ben Reibungstoeffizienten innerhalb der Bewegung. Solange $P < Q \cdot e^{f \cdot arc \cdot a}$ ist, bleibt das Seil in Ruhe, es bleibt aber auch noch in Ruhe, wenn für f der größere Roeffizient für die Bewegung aus der Ruhe gesetzt wird.

Kommen die Bewegungen im Sinne von Q und im Sinne von P in Frage, so muß für Ruhe zugleich $P < Q \cdot e^{f \cdot arc \cdot a}$ und $Q < Pe^{f \cdot arc \cdot a}$ sein, d. h. man hat

$$Q \cdot e^{-f \cdot arc \, a} < P < Q \cdot e^{+f \cdot arc \, a}$$

für f als Roeffizient ber Bewegung aus ber Rube.

Schlingt man ein Seil oft genug um einen befestigten Cylinder, so genügt schließlich das Gewicht des einen freien Seilendes, um eine erhebliche Belastung des anderen Seils Fig. 400.

endes zu halten. So wird z. B. ein landendes Schiff durch ein Seil befestigt, das mehrere Male um einen starten, sentrecht stehenden Pfahl geschlungen wird; so tann man sich an einem mehrfach umgeschlungenen

Seile (3. B. bei Feuersgefahr) aus bem Fenster hinablaffen.

Bei großen Geschwindigkeiten des Seiles wird ein Teil des Normals druckes dazu verwendet, die nötige Centripetalkraft zu liesern. Für ein kleines Seilstück AB von der Länge r. $arc\,2\,\varepsilon$ ist dei einem Querschnitt q das Bolumen q. r. $arc\,2\,\varepsilon$ und dei einem specifischen Gewichte δ die Wasse $\frac{\delta . q . r . arc\,2\,\varepsilon}{g}$ anzusezen, welcher die Centripetalkraft $\frac{\delta . q . r^2 . arc\,2\,\varepsilon}{g}\gamma^2 = K.arc\,2\,\varepsilon$ bei einer Winkelgeschwindigkeit γ entspricht. Wan hat dann anzusezen

$$f\{(S_1 + S_2)\sin \varepsilon - K \cdot \arccos 2\varepsilon\} = (S_2 - S_1)\cos \varepsilon$$
.

Ein Grenzübergang führt hier zu

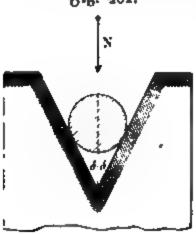
$$P-K=(Q-K)e^{f\cdot are a}$$

Für einen Riemen von 0,5 cm Dide und 3 cm Breite ist q=1,5 gem =0,00015 gm. Wiegt der Kubikmeter des Riemenstückes 800 kg, so ist im Meter-Sekundensystem $\frac{\delta \cdot q}{g} \sim 0,012$ und K=0,012 $(r\gamma)^2$. Für eine Gesschwichtigkeit von $10 \, \frac{\mathrm{m}}{\mathrm{sec}}$ ist also $K \sim 1,2$ kg.

Die ganze Betrachtung gilt auch für bie Relativbewegung von Seil unb

Enlinder, wie sie Fig. 400 (a. v. S.) darstellt. Hier dreht sich eine Rolle C im Sinne des Pfeiles, während die Reibung auf die Rolle dem Pfeile entsgegen, auf das Seil dem Pfeilsinn entsprechend wirkt.

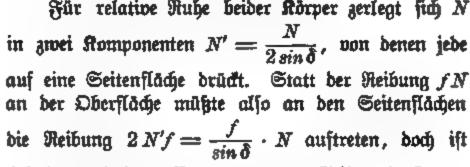
Fig. 401.

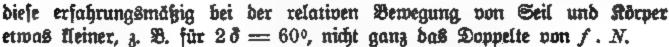


Wenn in Fig. 398 die an dem Körper C haftende Reibung diesen bei mangelhafter Besestigung im Sinne der Seilbewegung verrückt, so verrückt in Fig. 400 die an dem Seile hastende Reibung dieses bei mangels hafter Besestigung im Sinne der Rollenbewegung.

In beiden Fällen würde die Gleichung P=Q nur einem völlig reibungslosen Zustande (f=0) entsprechen.

Beim Einlegen eines Seiles in eine Keilnute wird die Reibung vergrößert (vergl. Fig. 401).





Je kleiner & ist, um so mehr verstärkt sich die Reibung, doch ist es zweckmäßig, $\delta > \varphi$ zu halten für $f = tg \, \varphi$, damit kein Klemmen des Seiles stattfindet.

Für f = 0.3 ist 3. B. $2 \delta = 60^{\circ}$ günstig.

Enblich ist noch, auch im Hinblid auf die Berwendung des Principes der virtuellen Berrückungen, ein Fall hervorzuheben, in welchem die Elemente Fig. 402 a.



vom Seil und Cylinder, welche sich berühren, stets in relativer Ruhe sind. Bei großer Entsernung von Wellen, die in Verbindung gebracht werden sollen, verwendet man sogenannte Riemscheiben, wie sie in Fig. 402 a dargestellt sind. Die Scheibe von A überträgt ihre Bewegung durch einen Riemen an B, wo

irgend eine Arbeit zu leisten ist, die wir uns wieder, einschließlich der Beswegung von B, durch ein am Radius r' aufzuwindendes Gewicht L vorsstellen wollen. Hier soll der Riemen nicht auf den Scheiben gleiten, es soll wegen der Übertragung der Bewegung Element an Element durch Reibung haften, so daß die Umfangsgeschwindigkeiten von A und B dieselben sind. Man hat daher sür die Seilspannungen P und Q

$$P > Q$$
 und $P < Q \cdot e^{f \cdot arc u}$

und also auch

$$P-Q< Q(e^{f\cdot arc\,a}-1).$$

Bezeichnen wir den Unterschied der linken und rechten Seite obiger Un= gleichung durch die positive Größe η , so gilt auch

$$P-Q+\eta=Q(e^{f\cdot arc\,a}-1).$$

Dabei bezeichnet α , falls die Umspannungen von A und B verschieden sind, den kleineren Winkel, damit die Beziehung $P < Q \cdot e^{f \cdot arc \alpha}$ für beide Riemscheiben die Sicherheit gegen Gleiten verbürgt. Setzt man P - Q = D, so ist

$$Q = \frac{D}{e^{f \cdot arc \cdot a} - 1} + \eta'$$
 und $P = \frac{D \cdot e^{f \cdot arc \cdot a}}{e^{f \cdot arc \cdot a} - 1} + \eta'$

wobei $\eta'(e^{f \cdot arc \, a} - 1) = \eta$ ist, so daß auch η' eine Korrektur bedeutet. Über die Werte η und η' , welche die Sicherheit gegen Gleiten bedingen, kann nur von Fall zu Fall durch Ersahrung entschieden werden.

Den Wert von D bestimmt man entweder aus dem Krastmoment der treibenden Scheibe A oder aus dem Lastmoment der getriebenen Scheibe B, wobei der Schnitt MN in Fig. 402 a benutt werden kann.

Für A hat man bei Vernachlässigung aller Widerstände

$$Kr = Pr_1 - Qr_1 = Dr_1$$
, b. h. $D = K \frac{r}{r_1}$.

Für B hat man bei Vernachlässigung aller Widerstände

$$Pr_2 - Qr_2 = Dr_2 = Lr'$$
, b. h. $D = L \frac{r'}{r_0}$.

Demgemäß wäre in Geltung $K:L=rac{r_1}{r_0}:rac{r}{r'}$.

Von Widerständen ist neben der (im nächsten Paragraphen zu behandelns den) Riemensteifigkeit die Reibung an den Zapfen in A und B zu berückssichtigen.

Haben die beiden Zapfen die Halbmesser ϱ_1 und ϱ_2 , so sind die Reisbungsmomente für die Zapsendrucke Z_1 und Z_2 anzusepen als

$$f_s \varrho_1 Z_1$$
 und $f_s \varrho_2 Z_2$.

Für gleiche Scheiben ist $Z_1=Z_2=P+Q$ zu setzen, und dies gilt in Annäherung auch für ungleiche Scheiben. Man hat nun

$$Kr = P(r_1 + f_s \varrho_1) - Q(r_1 - f_s \varrho_1)$$

 $Lr' = P(r_2 - f_s \varrho_2) - Q(r_2 + f_s \varrho_2).$

Für den Grenzzustand des Gleitens ist

$$P = Q \cdot e^{f \cdot arc a}$$

so daß hier gilt

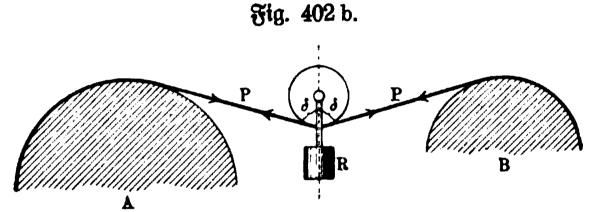
$$\frac{Kr}{Lr'} = \frac{e^{f \cdot arc \cdot \alpha} (r_1 + f_s \cdot \varrho_1) - (r_1 - f_s \cdot \varrho_1)}{e^{f \cdot arc \cdot \alpha} (r_2 - f_s \cdot \varrho_2) - (r_2 + f_s \cdot \varrho_2)}$$

$$\sim 1 + \frac{e^{f \cdot arc \cdot \alpha} + 1}{e^{f \cdot arc \cdot \alpha} - 1} \left(\frac{\varrho_1}{r_1} + \frac{\varrho_2}{r_2}\right) \cdot f_s.$$

Ebenso läßt sich P und Q für die Grenzen des Gleitens aus Kr oder Lr' berechnen.

Der Einfluß der Zapfenreibung ist hier verhältnismäßig sehr gering und kann im Hinblick auf die an und für sich vorhandenen Unsicherheiten in der Bestimmung von P und Q vernachlässigt werden.

Spannt man den Riemen durch eine sogenannte Spannrolle (vergl. Fig. 402 b), so ist einerseits gemäß der Theorie der losen Rolle $P=\frac{R}{2\cos\delta}$, während anderseits die Umspannung von α auf α' anwächst.



Bei großen Gesschwindigkeiten muß die Korrektur K eingeführt werden (vergl. S. 557).

Entsprechende Bestrachtungen gelten für die Fäden und Seile der Rollen und Rollens

züge u. s. w., z. B. auch für die Beziehungen, welche S. 350 u. f. dargestellt wurden.

Für Lederriemen auf Eisenscheiben ist im Mittel f=0.28, so daß für Scheiben von gleichem Halbmesser $(\alpha=180^\circ,\ arc\ \alpha=\pi)$

$$e^{f \cdot arc \, a} = 2.4$$

au setzen ist.

93. Seilsteifigkeit. Bei der Verwendung von Seilen ist auch noch deren innere Reibung von Bedeutung, d. h. die gegenseitige Reibung der Fasern, welche bei jeder Formänderung des Seiles auftritt.

Diese Formänderung besteht im allgemeinen darin, daß die Mittellinie des Seiles zunächst (beim Auflausen) allmählich aus einer Geraden in einen Kreis übergeht, welcher dem Halbmesser des Cylinders oder der Rolle entspricht, an welchem das Seil wirken soll, und daß dann (beim Ablausen) das Umgekehrte eintritt.

Wäre das Seil vollkommen biegsam, so würden solche Formänderungen keine weitere Beachtung fordern. Da ein Seil aber bis zu einem gewissen Grade elastisch ist, d. h. Formänderungen durch innere Kräfte, welche bei diesen aufgetreten sind, wieder auszugleichen sucht, und da ferner die gegensseitige Reibung der Seilsasern in Frage kommt, so ist bei der Biegung aus zweisachem Grunde ein gewisser Widerstand zu berücksichtigen, den man als Seilsteifigkeit bezeichnet.

Unterscheidet man, den beiden Ursachen gemäß, die Elasticitätssteisigsteit und die Reibungssteisigkeit, so ist lettere in theoretischer Hinsicht stets zu berücksichtigen, erstere nur, wenn das Seil nicht zugleich aufs und abgewicklt wird. Die Reibungssteisigkeit wird auch als Widerstand plastischer Art bezeichnet, weil ihr ein Berharren des Seiles in der einmal angenommenen Form entspricht, wie es plastische Massen, z. B. Formerthon oder Brotteig, zeigen. Infolge dieses Widerstandes behält das Seil, gegenüber dem als vollkommen biegsam vorgestellten Seile, beim Auflaufen eine geringere Krümmung bei, beim Ablaufen eine größere. Dadurch wird der Hebelarm der am Seile wirksamen Kräfte an der Auslaufstelle vergrößert, an der Ablaufstelle verkleinert. Die Elasticitätssteisigkeit wirkt an beiden Stellen in demselben Sinne, ihr entspricht stets eine Vergrößerung des Hebelarmes.

Während die für die Biegung aufgewandte Arbeit bei einem vollkommen elastischen Seile bei der Streckung ganz und gar wiedergewonnen würde, geht infolge der Reibungssteifigkeit die für die Biegung aufgewendete Arbeit ganz oder zum Teil als solche verloren, so daß für die Streckung wieder Arbeit aufgewendet werden muß, falls diese der Biegung genau entsprechen soll.

Infolge dieser Verhältnisse spreizt sich das Seil jedenfalls an der Aufslausstelle ab, so daß hier stets ein größerer Hebelarm anzusezen ist, als wenn das Seil vollkommen biegsam wäre. An der Ablaufstelle, wo sich Elasticitätssteisigkeit und Reibungssteisigkeit entgegenwirken, kann eine Verzgrößerung oder Verkleinerung des theoretischen Hebelarmes eintreten, es können sich auch beide Einwirkungen gelegentlich gerade ausgleichen.

Man bestimmt nun durch Versuche entweder die, der Seilsteifigkeit ents sprechende Vergrößerung oder Verkleinerung des Hebelarmes oder die entssprechende Veränderung im Verhältnisse von Kraft und Last.

Sind für einen Cylinder (Holle u. s. w.) vom Halbmesser r die Beränderungen des Hebelarmes beim Auflausen und beim Ablausen bezw. a_1 und a_2 , und die entsprechenden Kräfte bezw. P_1 und P_2 , so tritt statt der Gleichung

$$P_2$$
 . $r = P_1 r$

im allgemeinen ein die Gleichung

$$P_2(r-a_2)=P_1(r+a_1).$$

Für $a_1 = a_2 = a$ hat man

$$P_2 = P_1 \frac{r+a}{r-a} \sim P_1 \left(1 + \frac{2a}{r}\right) \cdot \cdot \cdot \cdot \cdot 165$$

Ist der Durchmesser δ des Seiles in Centimetern gegeben, so ist für Hansseile $a=0.03\,\delta^2$ dis $0.09\,\delta^2$ zu setzen.

Für Drahtseile sind zur Zeit noch keine maßgebenden Versuche bekannt; für mittlere Verhältnisse ist $P_2=1{,}04\,P_1$ zu setzen.

Bei Hanfseilen ist oft $a_2 \sim 0$, so daß dann gilt

$$P_2 = P_1 \left(1 + \frac{a_1}{r} \right) \cdot$$

Diese Formel gilt genau, wenn nur ein Auswickeln stattfindet, soweit die Reibungssteifigkeit in Frage kommt, doch ist dann bei Drahtseilen auch die Arbeit für die Krümmung zu berücksichtigen.

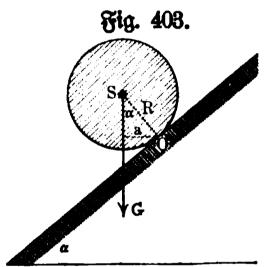
Diese Betrachtungen gelten auch angenähert weiter, wenn statt der Seile Ketten benutt werden; hier liegt der Widerstand in der gegenseitigen Reisbung der Kettenglieder bezw. bei den Gelenkketten in der Reibung der Geslenkbolzen und ihrer Umfassung.

Bezeichnet man die Stärke des Ketteneisens bezw. den Durchmesser des Gelenkbolzens mit d, so ist $a=\frac{1}{2}fd$ zu setzen, wobei f=0.2 bis 0,3 der Koefficient für die gegenseitige Reibung der Kettenglieder ist.

Die Seilsteifigkeit kann meist vernachlässigt werden, doch ist sie bei Seilrollen und bei Kettenrollen von Bedeutung.

Bei genaueren Betrachtungen 'ist auch noch die Dehnung der Seile, Riemen und Ketten und deren Sewicht zu berücksichtigen. Der Arbeitsverlust der Dehnung ist im Verhältnis zur Nutzarbeit bestimmt durch $\frac{P_2-P_1}{F}\cdot \frac{1}{E}$, wenn F den Querschnitt des Riemens u. s. w. und E den Elasticitätsmodul bezeichnet.

94. Das Reibungsmoment bei Rollbewegungen. Wenn ein Körper auf einem anderen rollt (Abwickelung der Oberfläche), so treten Reibungen



besonderer Art auf, welche darauf zurückzuführen sind, daß die Berührung beider Körper thatsächlich nicht in einzelnen Punkten oder Linien erfolgt, son= dern in Flächen, welche den Formänderungen des rollenden Körpers und der Unterlage entsprechen.

Daß dem so ist, zeigt schon die Betrachtung der in der Fig. 403 dargestellten Rollbewegung eines Cylinders auf einer schiefen Ebene. Wären beide Körper starr, so könnte niemals Ruhe ein=

treten, da stets [G] am Arme a um die durch O bezeichnete Kippachse dreht, ohne daß irgend ein Widerstand von O die entsprechende Bewegung vershindern könnte. Da nun die Ersahrung lehrt, daß für α innerhalb gewisser Grenzen $0 \dots \overline{\alpha}$ thatsächlich Kuhe vorhanden ist, so muß insolge Formsänderung der Körper ein Moment Mo austreten, welches mit dem Momente $G \cdot a = GR\sin\alpha$ im Gleichgewichte steht, solange α die Grenze $\overline{\alpha}$ nicht überschreitet. Wir nennen dieses Moment für $\alpha = \overline{\alpha}$ das Keibungssmoment der (betrachteten) Kollbewegung (in Bezug auf O).

Um die Vergleichung mit der Reibung der gleitenden Bewegung durch= führen zu können, ist es zweckmäßig,

$$Mo = GR \sin \overline{\alpha}$$

durch Einführung des Normaldruckes $N = G \cos \overline{\alpha}$ umzuformen, man ers hält dann

$$Mo = NR tg \overline{\alpha}.$$

Bestimmt man nun durch Versuche für Cylinder aus demselben Material für eine bestimmte Unterlage den Winkel $\overline{\alpha}$, bei welchem das Rollen gerade

beginnt, so findet man, daß α von dem Radius R des benutten Cylinders abhängig ist. Für mittlere Größen von R deuten die Versuche auf eine Konstanz des Produktes R. $tg\overline{\alpha}$ hin für ein bestimmtes Cylindermaterial und ein bestimmtes Material der Unterlage.

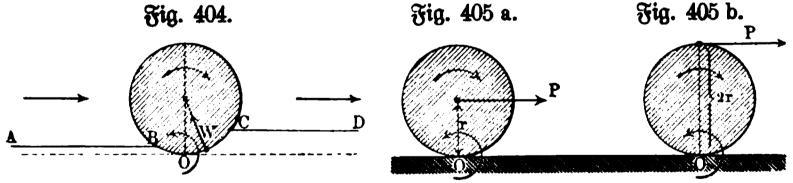
Man führt infolgedessen $f_r = R \cdot tg \overline{\alpha}$ als Hebelarm für das Reibungsmoment der rollenden Reibung ein und nennt diese Größe auch wohl turz den Reibungskoefficienten der rollenden Reibung, worauf die Marke r an f_r hindeuten soll. Natürlich hängt der Zahlenwert von f_r ab von der Einheit, in der man R mißt, es ist üblich, dafür Centimeter zu nehmen.

Für Walzen aus Eisen (Stahl) auf eiserner (stählerner) Unterlage und ebenso für Walzen und Unterlagen aus sehr hartem Holze sindet man $f_r = 0.05 \,\mathrm{cm}$, d. h. für Walzen vom Radius $1 \,\mathrm{cm}$ ist $tg\,\overline{\alpha} = 0.05$; für Walzen vom Radius $10 \,\mathrm{cm}$ wäre $tg\,\overline{\alpha} = 0.005$, für Walzen vom Radius $100 \,\mathrm{cm}$ wäre ferner $tg\,\overline{\alpha} = 0.0005$ u. s. v.

Die Versuche zeigen ferner, daß die Formel

auch noch für Rollbewegungen auf ebener Bahn das zu überwindende Reisbungsmoment der Rollbewegung (in Bezug auf O) darstellt, salls die Bewegung gleichförmig sein soll. Hier sind natürlich für diese Überwindung besondere Kräfte nötig.

Über die Art der Formänderung, welche zu einer theoretischen Begrünsdung der Formel Mo=N. f_r führen könnte, sind vielsach Annahmen gesmacht, man ist aber dabei bisher zu keinem befriedigenden Ergebnisse gelangt. Nur soviel scheint sestzustehen, daß der Eylinder das Material hinter sich niederwalzt, wie es Fig. 404 in starker Berzerrung darstellt, und daß insolges dessen, da AB dabei mehr oder minder einer dauernden Formänderung



unterliegt, der Angriffspunkt des Widerstandes, welchen die BC entsprechende Fläche ausübt, gegen die Vertikale von O nach C zu verschoben erscheint.

Wie unsicher auf diesem Gebiete selbst die Beurteilung der Versuche noch ist, zeigt z. B. der Umstand, daß Reuleaux 1) nach dem Vorgange von Poirée und Sauvage unter Verwendung einer Konstante k

$$Mo = k \cdot N \cdot \sqrt{R}$$

set, während die oben gegebene Formel

$$Mo = tg \, \overline{\alpha} \cdot N \cdot R$$

lautet.

Jedenfalls hat sich die Formel $Mo=N\cdot f_r$ für die Darstellung der Verhältnisse, welche in der Technik vorkommen, bewährt. Daß sie für sehr

¹⁾ Bergl. Weisbachs Ingenieur, 1896, S. 424.

bünne Walzen, wie z. B. Nadeln, schon wegen der Adhäsionserscheinungen 2c. nicht mehr gilt, ist selbstverständlich.

Die Anwendung der Formel mag gemäß Fig. 405 a und b (a. v. S.) gezeigt werden. Soll P in Fig. 405 a ein gleichförmiges Rollen hervorbringen, so muß für den Drehpunkt O gelten $P.r = N.f_r$, soll P in Fig. 405 b diesem Bwede dienen, so muß für den Drehpunkt O gelten $P.2r = N.f_r$.

Um fr für die Bewegung auf einer wagerechten Ebene zu bestimmen, legt man den Cylinder vom Radius r, dessen Sewicht G heißen mag, auf zwei parallele wagerechte Schienen und zwar so, daß die Achse des Cylinders zu deren Richtung sentrecht ist. Schlingt man nun sentrecht zur Achse des Cylinders um dessen Mitte einen Faden mehreremale um den Cylinder und belastet das eine Ende des Fadens mit P+Q, das andere Ende mit Q, so ist P+2Q+G der Normaldruck, während das Übergewicht P am Arme r wirkt. Man hat also hier:

b. h. $(P+2Q+G)f_r=Pr,$ $f_r=\frac{P}{P+2Q+G}\cdot r.$

Für Eisen auf Eisen liefert z. B. bei $G=20 \,\mathrm{kg},\, Q=5 \,\mathrm{kg},\, r=0,366 \,\mathrm{m}$ ber Versuch $P=0,041 \,\mathrm{kg}$, so daß $f_r=0,05 \,\mathrm{cm}$ ist.

Ein Cylinder kann auf einer Ebene auch gleiten, so daß Verbindungen rollender und gleitender Bewegungen eintreten.

Im vorstehenden handelt es sich nur um das gleichförmige Kollen, bei dem ein gleichzeitiges Gleiten ausgeschlossen ist. Bedingung dabei ist, daß jedes Fortschreiten der Achse der Walze um $2r\pi$ auch wirklich einer vollen Umdrehung (T) entspricht und daß diese beiden Bewegungen gleichsörmig sind. Bezeichnet man die Geschwindigkeit der Verschiedung mit c und die Winkelsgeschwindigkeit der Drehung mit γ , so ist hier

$$c=rac{2\,r\pi}{T}$$
 und $\gamma=rac{2\,\pi}{T}$,

d. h. man hat

$$c = r \gamma$$

als phoronomische Bedingung des gleichförmigen Rollens.

Die entsprechenden dynamischen Bedingungen werden später in der Kinetik betrachtet werden.

95. Der Wirkungsgrad (Güteverhältnis). Wenn irgend eine Aufsgabe auf die einfachen Beziehungen von Kraft (P) und Last (Q) zurückgeführt werden kann, wie es z. B. bei der schiefen Ebene der Fall ist, so pslegt man die Behandlung der entsprechenden maschinellen Einrichtung (Getriebe) bei Berücksichtigung der Reibung zu vergleichen mit der Behandlung bei Vernachlässigung der Reibung.

Bei der aufwärts gerichteten Bewegung auf der schiefen Ebene ver= mindert die Reibung die Wirkung der Kraft P, sie tritt als Widerstand auf,

bei der abwärts gerichteten Bewegung auf der schiefen Ebene vermehrt die Reibung die Wirkung der Kraft P, sie tritt als fördernde Kraft auf.

Leistet [P] die Arbeit Pp, während von [Q] die Arbeit Qq vollzogen wird, so ist, salls die Reibung als Widerstand wirkt,

$$Pp = Qq + \mathfrak{A}_{8}$$

wobei An die Arbeit der Reibung bezeichnet.

Man nennt in diesem Falle (Reibung als Widerstand)

$$\eta = \frac{Qq}{Pp} = \frac{\text{Nutgarbeit}}{\text{Gesamtarbeit}} \cdot \cdot \cdot \cdot \cdot \cdot \cdot 167$$

ben Wirkungsgrad (Güteverhältnis) des betreffenden Getriebes.

Bezeichnet man für ein gegebenes Q durch $P_{\rm 0}$ die Kraft, welche bei Vernachlässigung der Reibung für das Sleichgewicht erforderlich wäre, so hätte man

$$P_0 p = Qq$$
 und $(P - P_0)p = \mathfrak{A}_{\mathfrak{R}}$.

Demnach gilt auch

$$\eta = \frac{Qq}{Pp} = \frac{P_0 p}{Pp} = \frac{P_0}{P} \cdot \cdot \cdot \cdot \cdot \cdot \cdot \cdot \cdot 168)$$

Bezeichnet man für ein gegebenes P durch Q_0 die Last, welche bei Vernachlässigung der Reibung für das Gleichgewicht erforderlich wäre, so hätte man

$$Pp = Q_0 q$$
 und $(Q_0 - Q) q = \mathfrak{A}_{\mathfrak{R}}$.

Demnach gilt auch

Das Verhältnis von \mathfrak{A}_{\aleph} und Qq bezeichnet man als "verhältnismäßigen Arbeitsverlust" \mathfrak{B} , so daß

$$\mathfrak{B} = \frac{\mathfrak{A}_{\mathfrak{R}}}{Qq} = \frac{Pp - Qq}{Qq} = \frac{Pp}{Qq} - 1 = \frac{1}{\eta} - 1$$

und

$$\eta = \frac{1}{1+\mathfrak{B}}$$

gilt.

Geht das Getriebe rückwärts, so daß die Reibung in Bezug auf die bisher betrachtete Kraft [P] fördernd wirkt, so gelten für η dieselben Bestimmungen, falls man jest [P] als Last und [Q] als Kraft aufsaßt.

Ift η für den Rückwärtsgang negativ (oder Rull), so heißt das Getriebe selbsthemmend oder selbstsperrend, weil dann die Rückwärtsbewegung nicht von selbst eintreten kann, sondern noch eine Kraft erfordert, welche der bisher betrachteten [P] entgegenwirkt.

Kann man ein Getriebe in einzelne Getriebe zerlegen, für welche der Wirkungsgrad bezw. $\eta_1, \eta_2, \ldots, \eta_n$ ist, so gilt für das ganze Getriebe

Als Beispiel für diese Erklärungen betrachten wir die schiese Ebene für eine Last [Q], welche durch [P] parallel zur Ebene bewegt werden soll. Für die Bewegung auswärts (vergl. S. 541) ist

$$P = \frac{Q \sin{(\alpha + \varphi)}}{\cos{\varphi}}$$
 und $P_0 = Q \sin{\alpha}$,

also

$$\eta = \frac{P_0}{P} = \frac{\sin\alpha \cos\varphi}{\sin(\alpha + \varphi)} = \frac{1}{1 + \cot\alpha \cdot tg\,\varphi}.$$

Für die Bewegung abwärts (vergl. S. 541) ist

$$P = \frac{Q \sin{(\alpha - \varphi)}}{\cos{\varphi}}$$
 und $P_0 = Q \sin{\alpha}$,

also für [P] als Last und [Q] als Kraft

$$\eta' = \frac{P}{P_0} = \frac{\sin{(\alpha - \varphi)}}{\sin{\alpha} \cos{\varphi}} = 1 - \cot{\alpha} \cdot tg \, \varphi.$$

Das Getriebe ist selbsthemmend für $\eta' \leq 0$, d. h. für $\alpha \leq \varphi$. Ist der Winkel α der schiefen Ebene kleiner als der Reibungswinkel φ , so muß die nach oben wirkende Kraft [P] nicht nur verschwinden, sondern sogar durch eine, nach unten wirkende Kraft von entgegengesetzter Richtung ersetzt werden, falls Rückwärtsbewegung eintreten soll.

Ebenso stellt der Vorgang des Nageleinschlagens ein selbsthemmendes Getriebe dar, da eine dem Einschlagen entgegengesetzte Kraft zum Ausziehen des Nagels verwendet werden muß.

Anwendungen der Tehre von den Reibungen.

1. Reibungshülsen und Reibungsringe. Soll an einer Saule AB eine Last Q burch Reibung befestigt werden, so schiebt man über die Saule

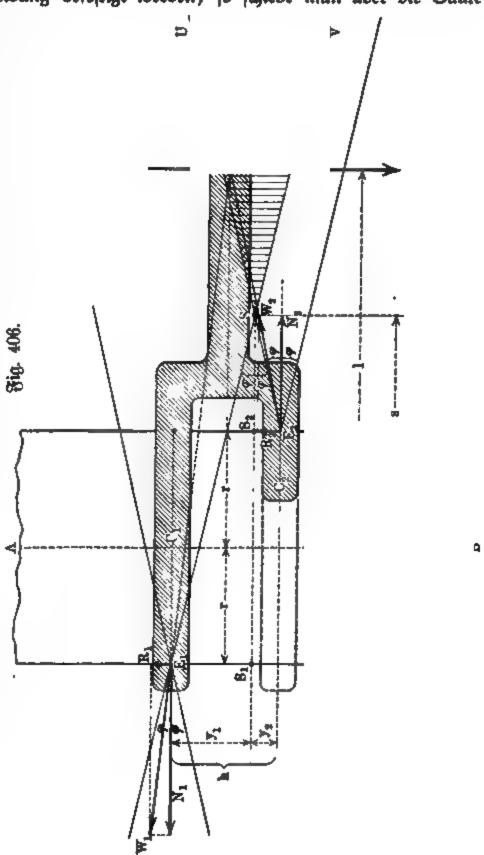
eine Reibungshülse $C_1 D C_2$, welche aus zwei miteinander versbundenen Ringen C_1 und C_2 und einem Hebelarm D besteht.

Die Berührungspunkte E_1 und E_2 der beiden Ringe, welche nur soweit voll außgeführt zu sein brauschen, als es diese Berührung erfordert, liegen mit der Achse des Hebels D in einer Bertikalebene der Sauschenachse (vergl. Fig. 406).

Bei Gleichgewicht müffen die Widerstände $[W_1]$ und $[W_2]$ von E_1 und E_2 und [Q] dem Saze von den drei Kräften entsprechen.

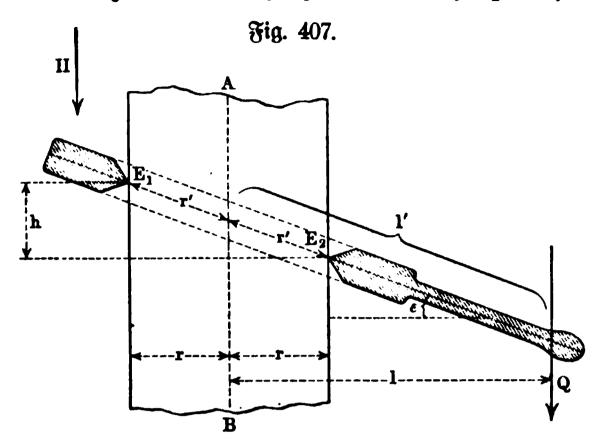
Da die Widers ftände $[W_1]$ und $[W_2]$ aus den Normalreafs tionen $[N_1]$ und $[N_2]$ und den Reibungen $[R_1]$ und $[R_2]$ ers wachsen, so gilt bei Gleichgewicht

1) $R_1 + R_2 = Q$ in der Bertifalen,



- 2) $N_1 = N_2$ in der Horizontalen,
- 3) $+Q(l-r)+R_12r-N_1h=0$ für E_2 als Drehpunkt.

Dabei haben R_1 und R_2 je nach der Entwickelung der Reibung bezw. die Grenzwerte 0 und fN_1 und 0 und fN_2 , während die Gesamtwiderstände



 $[W_1]$ und $[W_2]$ jeden=
falls innerhalb der Reibungstegel von E_1 und E_2 liegen.

In Fig. 406 ift D als Schnittpunkt von W_1 , W_2 und Q angenommen.

Das gemeinsame Gebiet beider Reibungs= tegel ist durch USV be= zeichnet, und demnach muß der Arm l für Q so gewählt werden, daß Q innerhalb dieses Ge= bietes liegt.

Hat S den Abstand s von der Säulenachse, so ist

$$E_2 S_2 = S_2 S$$
. $tg \varphi$ oder $y_2 = (s - r) tg \varphi$

und

$$E_1 S_1 = S_1 S$$
. $tg \varphi$ ober $y_1 = (s + r) tg \varphi$,

b. h. man hat

$$h = y_1 + y_2 = 2 \operatorname{stg} \varphi$$
 und $s = \frac{1}{2} h \cot \varphi = \frac{h}{2f}$.

Die Bedingung des Gleichgewichtes ist also hier

$$l \geq \frac{h}{2f}$$
,

wobei zu bemerken ist, daß diese Bedingung von Q und r unabhängig ist. Bei voller Entwickelung der Reibung ist $R_1=fN_1$ und $R_2=fN_2$, so daß dann also gilt

$$N_1=N_2=rac{Q}{2f}$$
 und $R_1=R_2=rac{Q}{2}$

In diesem Falle liefert Gleichung 3)

$$l-\frac{h}{2f}=0,$$

b. h. für gegebene Werte von r und h muß $l=\frac{h}{2f}$ sein. Führt man $tg \ \epsilon = \frac{h}{2r}$ ein, so ist $tg \ \epsilon = \frac{l}{r} \cdot f$.

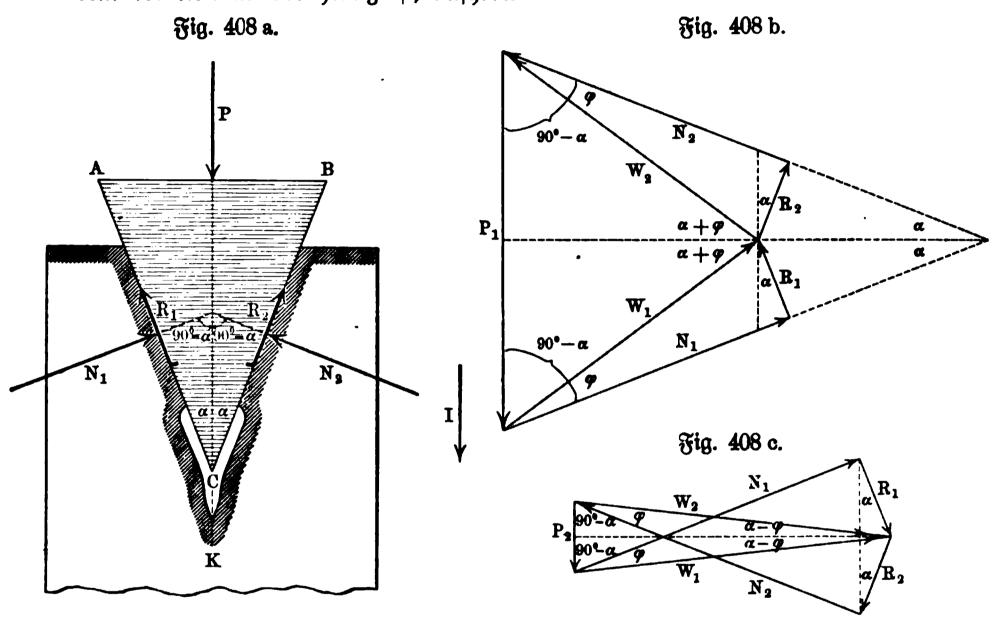
Dieselben Beziehungen gelten auch für den einfachen Reibungsring (Sa=labinsche Einklinkung), gemäß Fig. 407.

Bei voller Entwickelung der Reibung ist hier, da $\frac{l'}{r'}=\frac{l}{r}$ ist,

$$tg \ \varepsilon = \frac{l'}{r'} \cdot f = \frac{h}{2 \ r} \cdot$$

Man hat also z. B. für gegebene Werte von r und r', aus denen der Wert von h folgt, $l' = \frac{h}{2f} \cdot \frac{r'}{r}$.

2. Keile. Bei einem symmetrischen Keile, wie er z. B. zum Spalten von Holzblöcken benutzt wird, tritt-Gleichgewicht ein, wenn die Kraft P, welche auf den Kücken AB des Keiles wirkt, die Widerstände des Körpers K, mit dem der Keil in Berührung ist, aushebt.



In Fig. $408\,\mathrm{a}$ sind die Reibungen $[R_1]$ und $[R_2]$ so eingezeichnet, wie sie einer Bewegung des Keiles im Sinne von Pseil I entsprechen. Ist in diesem Falle $N_1=N_2=N$ und auch $R_1=R_2=R=fN$, so stellt Fig. $408\,\mathrm{b}$ die entsprechenden Beziehungen dar sür das Gleichgewicht der Kräfte. Gemäß diesen ist

$$P_1 = 2 N \cos (90^{\circ} - \alpha) + 2 f N \cos \alpha.$$

Für $f = tg \varphi$ hat man .also

$$P_1 = \frac{2 N \sin (\alpha + \varphi)}{\cos \varphi},$$

d. h.

$$N = \frac{P_1 \cos \varphi}{2 \sin (\alpha + \varphi)}$$
 unb $R = fN = \frac{P_1 \sin \varphi}{2 \sin (\alpha + \varphi)}$.

Für die Gesamtwiderstände vom Werte W gilt noch

$$P_1 = 2W \cdot \sin(\alpha + \varphi),$$

$$W = \frac{P_1}{2\sin(\alpha + \varphi)}.$$

Für die Bewegung des Keiles, welche dem Gegensinne von Pfeil I ent= spricht, sind die Pfeile von $[R_1]$ und $[R_2]$ in Fig. $408\,\mathrm{a}$ umzukehren. Unter den oben angegebenen Bedingungen gilt dann, gemäß Fig. 408 c (a. v. S.)

$$P_2 = \frac{2 N \cdot \sin{(\alpha - \varphi)}}{\cos{\varphi}}$$
 und $N = \frac{P_2 \cos{\varphi}}{2 \sin{(\alpha - \varphi)}}$

und

$$R = fN = \frac{P_2 \sin \varphi}{2 \sin (\alpha - \varphi)}$$
 und $W = \frac{P_2}{2 \sin (\alpha - \varphi)}$.

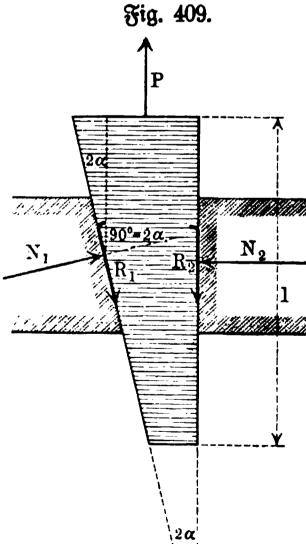
P1 entspricht einer gleichförmigen Bewegung des Keils im Sinne von Pfeil I, P_2 entspricht einer gleichförmigen Bewegung des Keils im umge= kehrten Sinne (II), so daß für die Ruhe des Keils eine Kraft P erforderlich ist, für welche

$$P_1 > P > P_2$$

gilt. Dabei darf φ als Reibungswinkel der Ruhe eingeführt werden.

Faßt man $[N_1]$ und $[N_2]$ als die Last auf, welche der Kraft P ent= spricht, so ist in dem Falle I der Wirkungsgrad $\eta = \frac{\sin\alpha}{\sin(\alpha + \frac{\cos\phi}{\phi})}$, während

er im Falle II ist $\eta' = \frac{\sin{(\alpha - \varphi)}}{\sin{\alpha} \cos{\alpha}}$



Für $\eta' \leq 0$ tritt Selbsthemmung ein, d. h. die Bedingung ist $\alpha < \varphi$.

Wir betrachten den Fall II noch etwas ge= nauer.

Für $\alpha = \varphi$ ist $P_2 = 0$, d. h. in diesem Falle bewegen die Widerstände allein den Keil gleichförmig nach oben, falls eine solche Be= wegung einmal eingeleitet ist. Für $\alpha > \varphi$ ist für eine solche gleichförmige Bewegung der Gegendruck $[P_2]$ erforderlich; andernfalls springt der Reil in beschleunigter Bewegung aus dem Spalte heraus. Für $lpha < \varphi$ wird P_2 negativ, d. h. es wirkt nach oben, so daß in diesem Falle eine gleichförmige Bewegung nur zu stande kommt, wenn eine Kraft vom Werte P2 nach oben wirkt; andernfalls bleibt der Reil im Spalte sigen.

Treibt man den Keil durch Schläge ein, fo soll er im allgemeinen zwischen je zwei Schlägen von selbst sigen bleiben, d. h. selbstsperrend sein; die Bedingung dafür ist $\alpha < \varphi$, d. h. der halbe Keilwinkel muß kleiner gehalten werden

als der Reibungswinkel. Dieselbe Bedingung gilt für Befestigungskeile. Soll der Keil zurückspringen, wie es bei gewissen Keilpressen der Fall ist, so muß $\alpha > \varphi$ sein.

Man unterscheidet die Keile in stumpse und in spize Keile, je nachdem $\alpha > \varphi$ oder $\alpha < \varphi$ ist; diese Unterscheidung hat nur Sinn in Bezug auf einen bestimmten Wert von f bezw. φ .

Befestigungskeile werden meist unsymmetrisch konstruiert, als Prismen mit einem (abgestumpften) rechtwinkeligen Dreiecke als Grundsläche, wie es Fig. 409 zeigt. Hier ist

- 1) $R_1 \cos 2\alpha + R_2 = P + N_1 \cos (90^\circ 2\alpha)$,
- 2) $N_1 \sin(90^{\circ} 2\alpha) + R_1 \sin 2\alpha = N_2$.

Für $R_1 = fN_1$ und $R_2 = fN_2$ folgt auß 2)

$$N_1 \cos(\varphi - 2\alpha) = N_2 \cos \varphi$$
.

Des weiteren folgt aus 1)

$$P = N_2 [tg(\varphi - 2\alpha) + tg\varphi].$$

Für $\varphi = -(\varphi - 2\alpha)$, d. h. für $\varphi = \alpha$ hat man P = 0, so daß die Bedingung für ein positives P ist

$$\alpha < \varphi$$
.

Führt man $tg \, 2\alpha = \frac{m}{l}$ ein, so ist 2α burch das Berhältnis m:l bestimmt. Für m:l=1:10 ist $tg \, 2\alpha = 0.1$ und $2\alpha = 5^{\circ} \, 42' \, 38''$, sür m:l=1:20 ist $tg \, 2\alpha = 0.05$ und $2\alpha = 2^{\circ} \, 51' \, 45''$. Für f=0.16 bezw. $\varphi = 9^{\circ} \, 5' \, 25''$ ist P in diesen Fällen $0.22 \, N_2$ bezw. $0.27 \, N_2$, d. h. bei einem Drucke N_2 bedarf man der Krast $0.22 \, N_2$ bezw. $0.27 \, N_2$ zum Herausziehen des Keiles.

3. Die Schrauben. Wenn ein bestimmter Punkt einer ebenen Figur auf einer gemeinen Schraubenlinie (vergl. S. 119) so geführt wird, daß die Ebene der Figur stets durch die Achse des, zur Schraubenlinie gehörigen Cylinders geht und daß sich die Figur selbst in der damit bestimmten (sich drehenden) Ebene nur verschiebt, so entsteht ein Schraubengewinde, welches im Berein mit dem Cylinder (Kern) eine Schraubenspindel genannt wird. Der zugehörige Hohlkörper heißt Schraubenmutter. Als erzeugende Figuren werden in der Technik hauptsächlich Rechtecke (Quadrate) und gleichschenkeslige Dreiecke benutzt, von denen stets eine Seite bezw. die Basis im Cyslindermantel liegt; erstere geben die flachgängigen, letztere die schrauben. Außerdem sind auch noch Trapezgewinde und Kundgewinde im Gebrauche.

Steigt das Gewinde von links nach rechts auf, so heißt die Schraube rechtsgängig, anderenfalls linksgängig; zur Verwendung gelangen meist rechtsgängige Schrauben. Fig. 410 (a. f. S.) stellt eine scharfgängige Schraube dar, welche überdies rechtsgängig ist, Fig. 411 (a. f. S.) eine flachgängige Schraube, welche linksgängig ist. Bei verhältnismäßig großer Ganghöhe legt man mehrere Gewinde um denselben Kern, wobei n= sache Schrauben

entstehen; Fig. 412 stellt eine zweisache Schraube bar. Solche Schrauben werden nicht als Befestigungsschrauben verwandt, wohl aber bei bestimmten Getrieben.

Hat der Cylinder (Kern) der Spindel den Radius r_2 , während der größte Achsenabstand von Punkten des Gewindes r_1 beträgt, so wird $\dot{r_1} - r_2$ die Tiefe des Gewindes genannt.

Fig. 410.	8	ig. 411.	Hg. 412.
¥	В		
	ת	G	
	F	E	
		-	

E

C

Bei der Schraubung beschreiben (vergl. S. 119 u. S. 120) alle Punkte P des beweglichen Körpers Schraubenlinien von gleicher Ganghöhe (h), deren Neigungswinkel (a) von den Achsenabständen (r) der Punkte P abhängen und zwar ist $tg \alpha = \frac{h}{2 r \pi}$.

Die Schraubenkinie, welche zu dem mittleren Radius $r_{\rm m}=\frac{r_1+r_2}{2}$ geshört, wird besonders hervorgehoben als "Wittlere Schraubenkinie"; ihre Reigung mag $\alpha_{\rm m}$ heißen.

Solange man von der Reibung absieht, ist die Theorie der Schraube leicht zu geben. Soll eine an der vertikal gestellten Schraube hängende Last, welche einschließlich des Schraubengewichtes den Wert Q hat, durch ein Krast-moment Mo bei sesstschender Wutter gleichsörmig emporgeschraubt werden, so solgt (vergl. S. 491) nach dem Principe der virtuellen Verrückungen

$$Qh = 2\pi \cdot Mo$$
.

Dieser Gleichung läßt sich noch eine besondere Deutung geben, wenn man sie auf eine bestimmte Schraubenlinie vom Radius r und der Reigung α bezieht. Setzt man $h = 2 r \pi$. $tg \alpha$ und stellt man **M**0 durch eine **Rra**st P dar, welche am Arme r wirkt, so geht obige Gleichung über in

$$P=Q$$
 . tg $lpha$.

Diese Gleichung entspricht einer schiefen Ebene von der Neigung α , auf welcher eine Last Q durch eine wagerechte Krast P im Gleichgewichte gehalten wird. Es ist also erlaubt, sich bei der Schraube die wirkenden Kräste in irgend einer Schraubenlinie vereinigt zu denken, und diese gemäß Fig. 413 in eine Ebene abzurollen, solange die Reibung nicht in Frage kommt (K = P) und G = Q.

Wäre diese Veranschaulichung auch bei Berücksichtigung der Reibung erslaubt, so ergäben sich dafür ohne weiteres für f=tg φ die Gleichungen

$$P = Q \cdot tg(\alpha \pm \varphi),$$

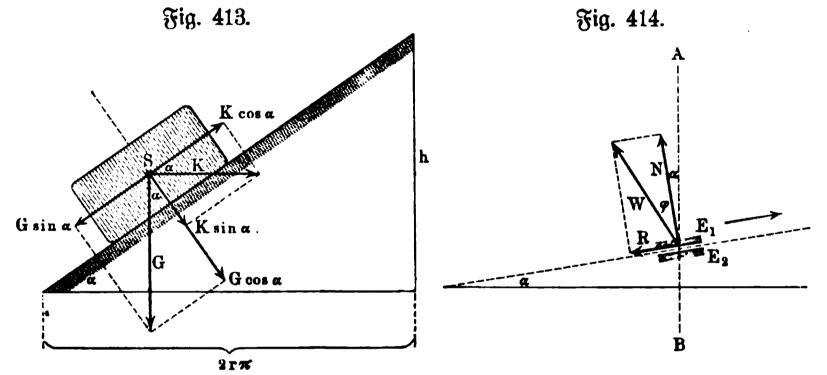
je nachdem die Last gleichförmig emporgezogen (+) oder gleichförmig absgelassen (—) werden soll.

Multipliziert man diese Gleichungen mit r, so entsteht

$$P \cdot r = Mo = Q \cdot r \cdot tg(\alpha \pm \varphi).$$

Da in dieser Gleichung r und α nicht wieder durch h ersett werden können, wie in der Gleichung $P=Q\cdot tg$ α bezw. $Pr=Mo=Q\cdot r\cdot tg$ α , so muß jest eine bestimmte Schraubenlinie für die Veranschaulichung gewählt werden, falls diese überhaupt zulässig ist.

Für die flachgängige Schraube ist nun diese Beranschaulichung that= sächlich erlaubt, wie die folgende Betrachtung zeigt. Wegen der Gleichmäßig=



keit der ganzen Konstruktion in Bezug auf die Achse ist es zunächst zulässig, sich die wirkenden Kräfte in irgend einer Schraubenlinie vereinigt zu denken. Denkt man diese auf der unteren Fläche der Spindel und zugleich auf der oberen Fläche der Mutter verzeichnet, weil in dieser Fläche bei senkrechter Stellung der Achse die Angriffspunkte von Normaldruck und Reibung liegen, so gilt für zwei sich berührende Elemente E_1 und E_2 von Spindel und Mutter die Darstellung der Fig. 414, salls es sich um eine auswärts gerichtete Beswegung der Spindel gegen die seste Mutter handelt.

Der Gesamtwiderstand Wliesert eine Komponente vom Werte $W\cos(\alpha+\varphi)$ in Richtung der vertikalen Achse BA und eine Komponente senkrecht dazu vom Werte $W\sin(\alpha+\varphi)$. Da die Gesamtheit der vertikalen Komponenten das Gewicht Q aushebt, so gilt für die Kraft in der Richtung der Schraubenachse

$$Q = \Sigma W \cos(\alpha + \varphi) = \cos(\alpha + \varphi) \Sigma W.$$

Da die Gesamtheit der horizontalen Komponenten die Momente liesert, welche mit Mo im Gleichgewichte stehen, so gilt serner für die Drehung um die Schraubenachse

$$Mo = \Sigma r \cdot W sin(\alpha + \varphi) = r \cdot sin(\alpha + \varphi) \Sigma W.$$

Durch Division beider Gleichungen ergiebt sich

$$Mo = Qrtg(\alpha + \varphi).$$

Für die abwärts gerichtete Bewegung folgt ebenso

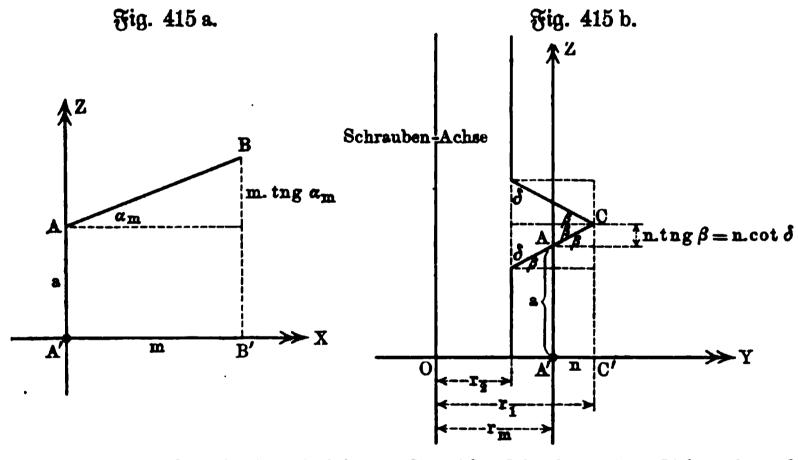
$$Mo = Qrtg(\alpha - \varphi).$$

Die Erfahrung lehrt, daß man sich die Widerstände auf der mittleren Schraubenlinie vereinigt denken dars, so daß in der entwickelten Formel $r=r_{\rm m}=\frac{r_1+r_2}{2}$ zu sezen ist.

Man hat also für die flachgängige Schraube die Formel

für $tg \varphi = f$.

Für die scharfgängige Schraube ist eine ähnliche Veranschaulichung zunächst nicht erlaubt, da hier wegen der schiefen Neigung der E_1 und E_2 entsprechenden Tangentialebene der Schraubenfläche gegen die Achse der Normaldruck [N] aus der Ebene der Zeichnung heraustritt.

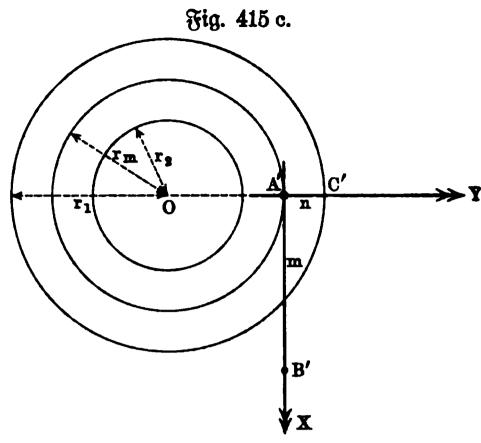


Um eine entsprechende Gleichung für die scharfgängige Schraube abzusleiten, denken wir wieder die Mutter mit vertikaler Achse befestigt, während die Spindel, die einschließlich ihres Gewichtes die Belastung Q tragen mag, hinaufgeschraubt werden soll. Außerdem nehmen wir erfahrungsgemäß an, daß sich die Widerstände auch hier in der mittleren Schraubenlinie $\left(r_m = \frac{r_1 + r_2}{2}\right)$ vereinigt denken lassen.

In einem Punkte A ber mittleren Schraubenlinie legen wir an diese eine Tangente AB, und außerdem durch A einen Achsenschnitt, der das Geswinde in der Geraden AC schneidet. Die Tangentialebene der Schraubensstäche in A geht dann durch die drei Punkte A, B, C. Nehmen wir die Projektion A' von A zum Ansangspunkte eines rechtwinkeligen Kreuzes und zwar die X-Achse als Tangente an dem Cylinder der mittleren Schraubenslinie im Sinne von deren Steigung, die Y-Achse senkted dazu nach außen

gerichtet, und die Z-Achse nach oben verlaufend, so stellen die Fig. 415 a, b, c die damit gewonnenen Beziehungen in den drei Achsenebenen dar. Die Nor=

male der Schraubenfläche in A, welche in A auf der Ebene ABC senkrecht steht, soll in ihrer Rich= dem Normaldrucke tung sprechen, welchen die Mutter auf die Spindel ausübt. Bildet diese Normale mit den Achsen die Winkel λ , μ , ν , so lassen sich die entsprechenden Cosinus durch eine stereometrische Betrachtung ober durch Verwendung sphärischer Tri= gonometrie leicht bestimmen. Statt dessen kann man auch folgender= maßen schließen. Da die Nor= mase auf AB senkrecht steht und



da AB mit den Achsen bezw. die Winkel α_m , 90°, 90° — α_m bildet, so gilt nach Formel 11

$$0 = \cos \lambda \cdot \cos \alpha_m + \cos \nu \cdot \sin \alpha_m$$
 oder $\cos \lambda = -tg \alpha_m \cdot \cos \nu$.

Da die Normale auch auf AC senkrecht steht und da AC mit den Achsen bezw. die Winkel 90°, β , 90° — β bildet, so gilt nach derselben Formel

$$0 = \cos \mu \cdot \cos \beta + \cos \nu \cdot \sin \beta$$
 oder $\cos \mu = - tg \beta \cdot \cos \nu$.

Da endlich nach Formel 7 auch

$$\cos^2 \lambda + \cos^2 \mu + \cos^2 \nu = 1$$

ist, so ift

$$\cos^2\nu\left(tg^2\,\alpha_m\,+\,tg^2\,\beta\,+\,1\right)=1,$$

d. h. man hat für $W=\sqrt{tg^2\,lpha_m+tg^2\,eta+1}$ die Beziehung $\cos
u=\pm\,rac{1}{W}\cdot$

Da nach unseren Festsetzungen der Winkel zwischen der Normalen und der Z-Achse spitz ist, so gilt

$$\cos v = + \frac{1}{W}$$

und demnach

$$\cos \lambda = -\frac{tg \, \alpha_m}{W} \quad \text{und} \quad \cos \mu = -\frac{tg \, \beta}{W}.$$

Dieselben Beziehungen gewinnt man endlich auch, wenn man die Gleischung für die Ebene aufstellt, welche durch die drei Punkte A=(0;0;a), $B=(m;0;a+m.tg\,\alpha_m)$, $C=(0;n;a+ntg\,\beta)$ geht. Man erhält zunächst als Gleichung

$$-tg\alpha_m \cdot x - tg\beta \cdot y + z - a = 0$$

und für deren Normalform, falls man wieder W einführt,

$$-\frac{tg \,\alpha_m}{W} \cdot x - \frac{tg \,\beta}{W} \cdot y + \frac{1}{W} \cdot z - \frac{a}{W} = 0.$$

Demnach sind $-\frac{tg \, \alpha_m}{W}$, $-\frac{tg \, \beta}{W}$, $+\frac{1}{W}$ die Cosinus der Winkel, welche die Normale aus A' auf diese Ebene mit den Achsen bildet. Da diese Ebene die betrachtete Tangentialebene ist und da die Normale aus A' in ihrer Richtung mit der vorher betrachteten Normalen übereinstimmt, so sind die gestundenen Größen wieder bezw. $\cos \lambda$, $\cos \mu$, $\cos \nu$.

Zerlegt man nun den Normaldruck [N], welcher von der Mutter auf die Spindel ausgeht, nach den Achsen, so haben dessen Komponenten folgende Werte

$$-\frac{tg \alpha_m}{W} \cdot N$$
, $-\frac{tg \beta}{W} \cdot N$, $+\frac{1}{W} \cdot N$.

Die Reibung hat bei voller Entwickelung den Wert fN und fällt beim Aufwärtsschrauben der Spindel in die Richtung BA, so daß ihre Kompo=nenten nach den Achsen sind

$$-\cos\alpha_m \cdot fN$$
, 0, $-\sin\alpha_m \cdot f \cdot N$.

Dehnt man die Betrachtung, welche hier für einen Punkt A der mittleren Schraubenlinie durchgeführt wurde, auf alle Punkte dieser Linie aus, wobei ΣN statt N und $f\Sigma N$ statt fN auftritt, so gilt für das Gleichgewicht der aufwärts gerichteten Bewegung, welche durch ein Moment Mo hervorgebracht wird:

a) für die Richtung der Schraubenachse

$$-Q + \frac{1}{W} \cdot \Sigma N - \sin \alpha_m \cdot f \cdot \Sigma N = 0,$$

d. h.

$$\Sigma N = Q \cdot \frac{W}{1 - f \sin \alpha_m \cdot W},$$

b) für die Drehung um die Schraubenachse

$$Mo - r_m \cdot \frac{tg \, \alpha_m}{W} \Sigma \dot{N} - r_m \cdot \cos \alpha_m \cdot f \cdot \Sigma N = 0,$$

d. h.

$$Mo = r_m \sum N \cdot \frac{tg \, \alpha_m + f \cos \alpha_m \cdot W}{W}.$$

Aus a) und b) folgt

$$Mo = r_m Q \cdot \frac{tg \alpha_m + f \cos \alpha_m \cdot W}{1 - f \sin \alpha_m \cdot W}$$
 für $W = \sqrt{tg^2 \alpha_m + tg^2 \beta + 1}$.

Setzt man $f\cos \alpha_m$. $W=tg\,\psi$, so erhält man

$$Mo = r_m Q \cdot \frac{tg \alpha_m + tg \psi}{1 - tg \alpha_m \cdot tg \psi} = r_m Q \cdot tg (\alpha_m + \psi).$$

Da α_m meist ein kleiner Winkel ist, so kann man in W meist $tg^2\alpha_m$ gegen $1+tg^2\beta$ vernachlässigen, so daß $W\sim \sqrt{tg^2\beta+1}$ oder $W\sim \frac{1}{\cos\beta}$ ist. Man hat dann $tg\,\psi=\frac{f\cos\alpha_m}{\cos\beta}$ oder, wenn man β durch δ (vergl.

Fig. 415 b) ersett, $tg\,\psi=\frac{f\cos\alpha_{\rm m}}{\sin\delta}$. Da $\cos\alpha_{\rm m}\sim 1$ für sehr kleine Winkel, so ist in diesem Falle $tg\,\psi=\frac{f}{\sin\delta}$ der Reibungskoefficient für eine Reilnute (vergl. S. 541), d. h. man kann die scharfgängige Schraube angenähert beshandeln als eine slachgängige Schraube, in welche eine Reilnute von der Öffnung $2\,\delta$ eingestemmt ist.

Die Veranschaulichung durch die schiefe Ebene ist also auch hier erlaubt, falls man ψ je nach dem Grade der Genauigkeit, welchen man erreichen will, durch eine der obigen Formeln bestimmt.

Für die abwärts gerichtete Bewegung gilt ebenso

$$Mo = Qr_m tg(\alpha_m - \psi).$$

Für die scharfgängige Schraube gilt demnach die Formel

für
$$tg \, \psi = f \cos \alpha_m \cdot \sqrt{tg^2 \, \alpha_m + tg^2 \, \beta + 1}$$
 bezw. für
$$tg \, \psi \sim \frac{f \cos \alpha_m}{\cos \beta} \quad \text{ober} \quad tg \, \psi \sim \frac{f \cos \alpha_m}{\sin \delta}$$

Das gleichschenkelige Dreieck, welches dem Gewinde der scharfgängigen Schraube zu Grunde liegt, wird in Deutschland (metrisches Gewinde) gemäß Fig. 416 einem Quadrate eingezeichnet, so daß $2\beta = 53^{\circ}8'$ ist.

Für das Withworth-Gewinde (England) ist $2\beta = 55^{\circ}$, für das Sellers-Gewinde (Amerika) ist $2\beta = 60^{\circ}$. Die scharfe Kante wird sowohl an der Spize als im Grunde abgeflacht, beim metrischen Gewinde je um $\frac{1}{8}h$.

Siebt man dem Momente Mo den Radius der mitt= leren Schraubenlinie r_m als Arm, so daß eine Kraft P am Arme r_m der Sleichung $Pr_m = Mo$ entspricht, so h erhält man für die gleichförmigen Bewegungen der flach= gängigen Schraube

$$P = Q \cdot tg(\alpha_m \pm \varphi) \cdot \cdot \cdot \cdot 173$$

und für die gleichförmigen Bewegungen der scharfgängigen Schraube

$$P = Q \cdot tg(\alpha_m \pm \psi) \cdot \cdot \cdot \cdot \cdot \cdot \cdot \cdot 174)$$

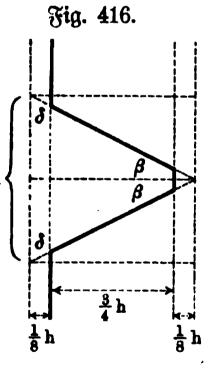
Der Wirkungsgrad ist für die Bewegung aufwärts

$$\eta = \frac{tg \, \alpha_m}{tg \, (\alpha_m + \varphi)}$$
 beam. $\frac{tg \, \alpha_m}{tg \, (\alpha_m + \psi)}$

und für die Bewegung abwärts

$$\eta' = rac{tg(lpha_m - oldsymbol{arphi})}{tg \, lpha_m}$$
 bezw. $rac{tg(lpha_m - oldsymbol{\psi})}{tg \, lpha_m}$.

Die Ruhe der Schraube ist bedingt durch die Beziehungen Wernide, Mechanik. 1.



37

beam.

 $\mathbf{D}_{\mathbf{s}}$

$$\begin{aligned}
& Q t g (\alpha_m - \varphi) < P < Q t g (\alpha_m + \varphi) \\
& Q \cdot t g (\alpha_m - \psi) < P < Q t g (\alpha_m + \psi)
\end{aligned}$$

Selbsthemmung tritt ein für am < p bezw. am < \psi.

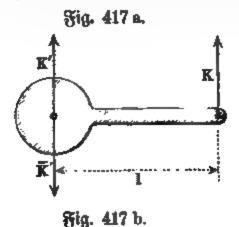
Die Reibungen an der flachgängigen und an der scharfgängigen Schraube werden bezw. bestimmt durch $tg \varphi = f$ und $tg \psi = f \cos \alpha_m \sqrt{tg^2 \alpha_m + tg^2 \beta + 1}$. Rur $\varphi = \psi$ batte man bie Gleichung

 $\cos \alpha_m \sqrt{tg^2 \alpha_m + tg^2 \beta + 1} = 1$ ober $\cos^2 \alpha_m (tg^2 \alpha_m + tg^2 \beta + 1) = 1$, **b.** h.

$$\sin^2 \alpha_m + tg^2 \beta$$
. $\cos^2 \alpha_m + \cos^2 \alpha_m = 1$ ober $tg^2 \beta$. $\cos^2 \alpha_m = 0$.

Diese Gleichung ist nur für $\beta = 0$ erfallt, d. h. die Reibung an der scharfs gängigen Schraube ist niemals gleich der Reibung an der flachgängigen Schraube.

Für $tg \psi > tg \varphi$ ergiebt sich $tg^2 \beta \cos^2 \alpha_m > 0$, für $tg \psi < tg \varphi$ ergiebt sich tg'β cos'a, < 0, b. b. bie Reibung an der fcarfgangigen



Schraube ift ftets größer als bie Reibung an ber flachgangigen Schraube.

Darum werben Befeftigungs= fdrauben ftets als icharfgangige Schrauben (und zwar mit Meinem Bert von a) bestimmt, ganz abgesehen bavon, daß auch die Form dieser Schraube für die Inanspruchnahme des zu ihr verwendeten Materiales günstiger ift. Da= gegen bient die flachgangige Schraube im Getriebe für Ubertragung von Bewegungen, wobei die Reibung mög-DA lichft gering sein foll.

Bei der flachgängigen Schraube ist

außerdem allerdings noch die Reibung an der Mantelfläche zu berücksichtigen, falls die Schraube durch eine Kraft K am Arme l bewegt wird. Hier ist, wie Fig. 417 zeigt, neben Mo = Kl noch der

feitliche Horizontalbruck von [K'] zu berücksichtigen, ben man sich an den Stellen A und B, d. h. oben und unten an der Mutter in die Horis zontalbrude $[D_A]$ und $[D_B]$ zerlegt benten kann (vergl. Fig. 417 b). Faßt man die Schraube für diese Betrachtung als einen Enlinder vom Radius $r_m = \frac{r_1 + r_2}{2}$ auf, so treten noch die Reibungsmomente $D_A f r_m$ und $D_B f r_m$ auf, beren Summe

$$(D_A+D_B)fr_m=rac{b+a}{b-a}\cdot K\cdot f\cdot r_m$$
 ift, be $D_A=rac{b}{p}K'$ and $D_B=arac{K'}{p}$ ift.

Unter Berüdfichtigung biefes Biberftanbes ift für Gleichgewicht

$$Kl = Mo = Qr_m tg(\alpha_m \pm \varphi) + \frac{b+a}{b-a}K \cdot f \cdot r_m$$

und man hat alfo

$$K = \frac{Qr_m tg(\alpha_m \pm \varphi)}{1 - \frac{b+a}{b-a} \cdot f \cdot r_m}.$$

Für $l \leq \frac{b+a}{b-a} \cdot f \cdot r_m$ wird der Nenner negativ bezw. 0, d. h. es tritt Klemmung ein, so daß $l > \frac{b+a}{b-a} \cdot f \cdot r_m$ die Bedingung für die Bewegung ist.

Man überträgt diese Formel gelegentlich auch auf die schraufe schraube, indem man φ durch ψ und f durch $\frac{f}{\sin \vartheta}$ ersett.

Endlich ist noch zu bemerken, daß bei dem Anbringen oder Kösen einer Besestigunsschraube noch ein Reibungsmoment in einer Ebene, senkrecht zur Sig. 418.

3. B. für Fig. 418 zwischen der Nutter $M_1 M_2$ und der Platte AB. Dieses hat bei einer Pressung Q in der Richstung der Schraubenachse den Wert Qfr',

Sig. 419.



wobei $r'=rac{s+d_1}{4}$ gesetzt wird, salls a die Schlüsselweite und $d_1=2\,r_1$ der Durchmesser in den Spigen ist.

Entsprechende Reibungswerte treten auch in Getrieben auf für die Berührungsstäche des Endes einer Schraubenspindel und einer Prefplatte.

Bei der einfachen Schraubenpresse, die Fig. 419 darstellt, ist z. B. an der Stelle AB noch die Reibung der Spindel zu berücksichtigen, welche man als Reibung eines ausgelaufenen Stützapfens auffassen kann, so daß ihr Moment

$$\frac{1}{2}Q.f.Q$$

ist, salls der Zapsenabschluß des Schraubenendes bei AB den Radius ϱ hat. Da durch dieses Woment die Platte CD sür $CD=2\,a$ mit der Kraft

4 1

$$\frac{1}{2}Qf\cdot\frac{\varrho}{a}$$

gegen die Saulen $S_1 S_1'$ und $S_2 S_2'$ gebrückt wird, so entsteht an diesen die Reibung

$$2\cdot \frac{1}{2}Qf\cdot \frac{\varrho}{a}\cdot f',$$

falls der Reibungskoefficient für die Berührung in C und D mit f' bezeichnet wird. Wan hat also hier statt Q einzuführen $Q\left(1-ff'\frac{Q}{a}\right)$, b. h. es gilt

$$M_0 = Q\left(1 - ff'\frac{\varrho}{a}\right)\left[r_m tg\left(a_m + \varphi\right) + \frac{1}{2}f\varrho\right]$$

Die Korrektur $ff'\frac{\varrho}{a}$ ist bei Anwendungen zu vernachlässigen, salls nicht auch noch das Gewicht der Schraube und der Prefiplatte berücksichtigt wird.

4. Reilketten und Stühlinien von Gewölben. Wir betrachten jest zwei Reile, die fich einerseits gegeneinander stügen, wie es Fig. 420 a zeigt, Fig. 420 a.

und anderseits durch zwei seste Ebenen I und II gehalten werden. Wenn der erste Keil eine Bewegung aussührt, die dem Pseile B_1 bezw. B_1' entsspricht, so ist die Bewegung des zweiten Keiles durch den Pseil B_2 bezw. B_2' bestimmt, d. h. der erste Keil treibt den zweiten vor sich her und an sich herauf.

Dieser Bewegung entsprechen die in Fig. 420 a bei den Rormalreaktionen $[N_1]$, $[N_2]$, $[N_1]$, $[N_2]$ eingezeichneten Reibungswinkel φ , durch welche die Richtungen der Widerstände $[W_1]$, $[W_2]$, $[W_1]$, $[W_2]$ bestimmt werden. Gleichsgewicht tritt ein, wenn äußere Kräste $[K_1]$ und $[K_2]$ bezw. durch die Schnittspunkte O_1 und O_2 von $[W_1]$ und $[W_1]$ und von $[W_2]$ und $[W_3]$ gehen und

zwar so, daß die drei Kräfte in O_1 und die drei Kräfte in O_2 einander unter sich ausheben. Fig. $420\,\mathrm{b}$ und Fig. $420\,\mathrm{c}$ stellen die betreffenden Bezieshungen sür O_1 und O_2 dar. Man gewinnt diese am einsachsten, wenn man sich $[K_1]$ erst parallel zu I und dann parallel zu III gerichtet denkt und es beide Male aus diesen Lagen in seine wirkliche Lage dreht; entsprechendes gilt sür $[K_2]$.

Nach bem Sate ber drei Kräfte gilt bann für Fig. 420 b

 $K_1:W_1':W_1=\sin(2\varphi+\alpha_1):\cos(\varphi+\epsilon_1):\cos(\varphi+\alpha_1-\epsilon_1),$ und für Fig. $420\,\mathrm{c}$

$$K_2:W_2:W_2=\sin(\alpha_2-2\,\varphi):\cos(\varphi-\epsilon_2):\cos(\varphi-\alpha_2+\epsilon_2).$$

Da W_1' und W_2' nach dem Principe der Paarwirkung einander gleich sind, so ist unter anderem

1)
$$\frac{K_1}{K_2} = \frac{\sin(\alpha_1 + 2\varphi) \cdot \cos(\epsilon_2 - \varphi)}{\cos(\epsilon_1 + \varphi) \cdot \sin(\alpha_2 - 2\varphi)} = m \cdot \cdot \cdot 176$$

Hier ist $[K_1]$ die treibende Kraft und $[K_2]$ der Widerstand für eine gleichsörmige Bewegung der Keilkette.

Fig. 420 b.

Fig. 420 c.

Fig. 420 d.

$$W_1'$$
 $90^{9} - \varphi - \alpha_1$
 W_2'
 W_1'
 $90^{9} - \varphi + \epsilon_1$
 $90^{9} - \varphi + \epsilon_2$
 W_2'
 $W_$

Kehrt man die Bewegungspfeile B_1 u. s. w. um, so sind die Winkel φ auf der anderen Seite von $[N_1]$ u. s. w. zu zeichnen und man erhält ebenso

2)
$$\frac{K_2}{K_1} = \frac{\cos(\varepsilon_1 - \varphi)\sin(\alpha_2 + 2\varphi)}{\sin(\alpha_1 - 2\varphi)\cdot\cos(\varepsilon_2 + \varphi)} = \overline{m} \cdot \cdot \cdot 177$$

Hier ist $[K_2]$ die treibende Kraft und $[K_1]$ der Widerstand für eine gleichförmige Bewegung der Keilkette.

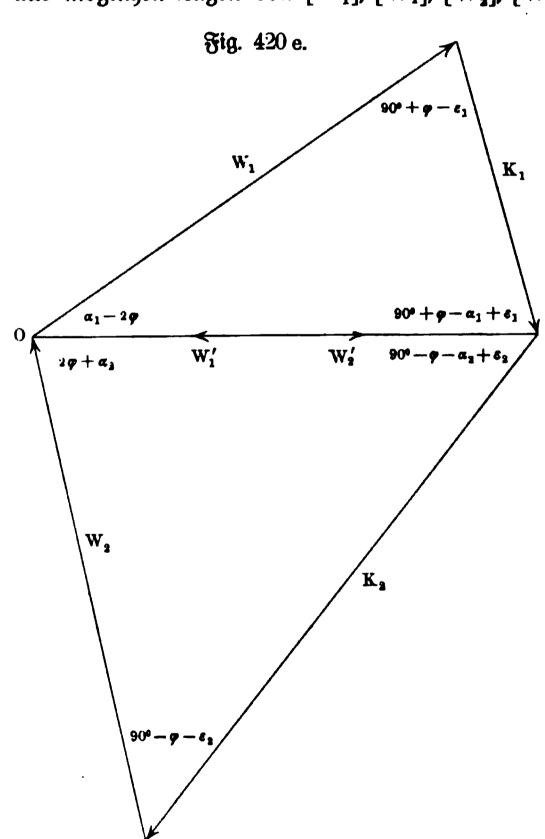
Im ersten Falle würde $K_1 = \infty$ für $\alpha_2 = 2 \varphi$ und für $\varepsilon_1 = 90^\circ - \varphi$, weil der Nenner von $\frac{K_1}{K_2}$ den Wert 0 erhielte. Für $\alpha_2 = 2 \varphi$ ist $\angle MOM_2 = 360^\circ - 2 \varphi - (90^\circ - \varphi) - (90^\circ - \varphi) = 180^\circ$, d. h. MO und MO_2 sallen in eine Gerade, so daß sich Reil 2 sestellemmt. Für $\varepsilon_1 = 90^\circ - \varphi$ siele $[K_1]$ in die Nichtung von W_1 , so daß $[W_1]$ überhaupt nicht auftreten könnte und also eine Druckübertragung auf Reil 2 überhaupt nicht stattsindet. Im zweiten Falle gilt sür $\alpha_1 = 2 \varphi$ und $\varepsilon_2 = 90^\circ - \varphi$ Entsprechendes.

Schiebt man Fig. $420\,\mathrm{b}$ zum Kraftdreieck zusammen und ebenso Fig. $420\,\mathrm{c}$, so lassen sich beide Dreiecke, da ja $W_1'=W_2'$ ist, vereinigen, wie es Fig. $420\,\mathrm{d}$ (a. v. S.) zeigt. Dabei wird O der Pol für die Darstellung des Seilecks $M_1O_1MO_2M_2$ der Hauptsigur.

Sollen die Keile 1 und 2 in Ruhe verharren, so darf weder die erste noch die zweite Bewegung möglich sein. Aus Gleichung 1) folgt $K_1 < m K_2$ und aus Gleichung 2) folgt $K_2 < \overline{m} K_1$ als Bedingung, d. h. man hat

$$m>rac{K_1}{K_2}>rac{1}{\overline{m}}$$
.

Die Reibungskegel von M_1 , M und M_2 bestimmen dabei das Sebiet für alle möglichen Lagen von $[W_1]$, $[W_1]$, $[W_2]$, $[W_2]$, welche der Ruhe der Keile



entsprechen; innerhalb dieses Gebietes giebt es natürlich unendlich-viele Seilpolngone $M_1O_1MO_2M_2$, deren Grenz= lagen durch Fig. 420 d, welche der Bewegung B_1 2c. entspricht, und durch Fig. 420 e, welche der entgegen= Bewegung gesetzten spricht, bestimmt sind. Außer= dem ist auch für die Lage M1, M, M2 ein großer Spiel= raum vorhanden. Selbst= verständlich muß dabei eine Drudübertragung möglich bleiben, d. h. die Seiten des Seiled's muffen durch die Be= rührungsfläche selbst gehen und nicht etwa durch deren Erweiterungen.

Die Betrachtung läßt sich ohne weiteres auf besliebigsviele Keile übertragen, indem man z. B. zunächst die Stütssläche I durch einen dritten Keil ersett, der auf einer Stütssläche I ruht u. s. f.

Ein Beispiel für eine derartige Keilkette bietet der

Bogen eines gewöhnlichen Gewölbes, wobei man von der gegenseitigen Be= festigung der Steine durch den Mörtel absieht.

Öffnet sich die Scheitelfuge bei A nach außen, wobei sich zugleich an irgend einer Stelle P eine Fuge nach innen öffnet (vergl. Fig. 421), so ist H zu groß. Um die Fuge bei P zu schließen, müßte, wenn [G] das Gewicht

des Gewölbestückes zwischen A und P bezeichnet, für P als Drehpunkt sein

$$Gx > Hy$$
, b. h. $H < G\frac{x}{y}$.

Für Gx = Hy geht die Resultante von [H] und [G] gerade durch P, d. h. die Richtungslinie des Druckes trifft die äußere Wölbungslinie,

sie überschreitet diese für $H>G\frac{x}{u}$. Liegt A unter P, so wirken [H] und

[G] in demselben Sinne, d. h. die Konstruktion ist in Bezug auf P sicher.

Offnet sich die Scheitel= fuge bei B nach innen, wobei sich zugleich an irgend einer Stelle Q eine Fuge nach außen öffnet (vergl. Fig. 422), so ist H zu klein. Um die Fuge bei Q zu schließen, müßte, wenn [G'] das Gewicht des Gewölbe= stückes zwischen B und Q be= zeichnet, für Q als Drehpunkt sein Hy' > G'x'

d. h. $H > G' \frac{x'}{y'}$

Für Hy' = Gx' geht die

 $H < G' \frac{x'}{y'}$

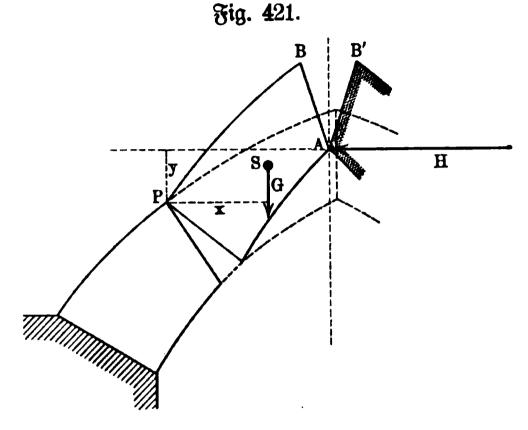


Fig. 422. H •S G'

Bestimmt man also $G \stackrel{x}{=}$ für jede Fuge des Gewölbes und bezeichnet $H < H_1$ sein; ebenso muß $H > H_2$ sein, salls man $\left(G'rac{x'}{y'}
ight)_{Max}$ durch H_2 bezeichnet. Für den Wert des thatsächlich vorhandenen [H] gilt also $H_1 > H > H_2$

als Bedingung dafür, daß kein Kippen der Gewölbesteine eintritt bezw. dafür, daß die Richtungslinie des Druckes nicht aus der Wölbung heraustritt.

Handelt es sich z. B. um ein scheitrechtes Gewölbe, so ist für irgend eine Fuge QP für Q als Drehpunkt $[H_Q]$ und für P als Drehpunkt $[H_P]$ zu benuten. Bergl. Fig. 423 (a. f. S.).

Für P als Drehpunkt wird, da A unterhalb von P liegt, das Moment Gx durch H_P . y stets unterstügt, so daß für H hier überhaupt keine obere Grenze H1 existiert.

Für die untere Grenze H_2 ist Q als Drehpunkt zu nehmen, und man hat

$$G'\frac{x'}{y'}=G'\cdot\frac{AQ-m}{d}.$$

Für AQ = s und $\angle PQA' = \varepsilon$ ist $BP = s + d \cot \varepsilon$, so daß

$$m = \frac{1}{3} \frac{3z^2 + 3dz \cot \varepsilon + d^2 \cot^2 \varepsilon}{2z + d \cot \varepsilon}$$

ist (vergl. S. 459).

Für eine Ausdehnung l des Gewölbes, senkrecht zur Ebene der Zeich= nung, ift

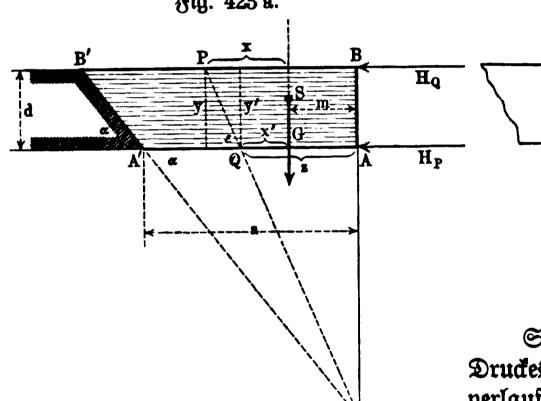
$$G' = \frac{1}{2}\delta \cdot l \cdot d(2z + d\cot \varepsilon),$$

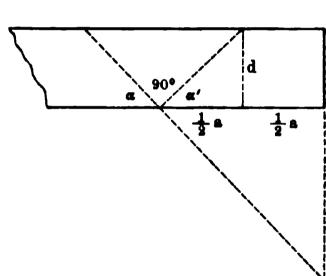
falls das specifische Gewicht des Materials mit d bezeichnet wird. Man hat also

$$\frac{G'x'}{y'} = \frac{1}{6}\delta \cdot l \cdot (3z^2 - d^2\cot^2\epsilon).$$

Fig. 423 a.

Fig. 423 b.





Soll die Richtungslinie des Druckes senkrecht zu den Fugen verlaufen, so müssen diese alle durch eine Gerade gehen, senkrecht aur Ebene der Zeichnung in M.

In diesem Falle ist $AM = a t g \alpha = s t g \varepsilon$ und man hat

$$\frac{G'x'}{y'} = \frac{1}{6} \delta \cdot l \cdot z^2 \left(3 - \frac{d^2}{a^2} \cot^2 \alpha\right)$$

ober

$$\frac{G'x'}{y'} = \frac{1}{6} \delta \cdot l \cdot a^2 \cot^2 \varepsilon \left(3 t g^2 \alpha - \frac{d^2}{a^2}\right).$$

Für das Maximum H_2 von $\frac{G'x'}{y'}$ gilt dann $H>H_2$. Dieses Maxi= mum tritt ein für den größten Wert von cot e bezw. für den kleinsten Wert von e, d. h. für a.

Man hat also

$$H_2 = \frac{1}{6}\delta \cdot l \cdot a^2 \left(3 - \frac{d^2}{a^2}\cot^2\alpha\right)$$

Da die Richtungslinie des Druckes senkrecht zu den Fugen stehen soll, so heben sich die Komponenten von [H] und [G'], welche der Fuge PQ parallel sind, auf, d. h. es ist $H\cos\varepsilon=G'\sin\varepsilon$ oder $H=G'tg\varepsilon$.

Für $\varepsilon = \alpha$ gilt also

$$G'tg\,lpha>rac{1}{6}\,\delta$$
 . l . $a^2\left(3-rac{d^2}{a^2}\cot^2lpha
ight)$

und es ist dabei

$$G' = \frac{1}{2}\delta \cdot l \cdot d(2a + d\cot \alpha).$$

Daraus folgt

$$\cot \alpha^3 - 3\left[\left(\frac{a}{d}\right)^2 - 1\right]\cot \alpha + 6\frac{a}{d} > 0.$$

Bei gegebenen Werten von a und d ist also α gemäß dieser Ungleichung zu bestimmen. Man genügt ihr z. B. durch $\cot \alpha = \frac{2 d}{a}$ gemäß Fig. 423 b, in welcher $\cot \alpha = tg \, \alpha' = \frac{2 d}{a}$ ist. Durch α gewinnt man Punkt M und damit die Richtung jeder beliebigen Fuge PQ.

Da die Richtungslinie des Druckes auf den Fugen senkrecht steht, so könnte der Reibungskegel in jedem Stützpunkt die Öffnung 0 haben, d. h. die Steine könnten hier absolut glatt sein. Dies folgt auch aus den im Einsgange dieser Nummer entwickelten Formeln $\frac{K_1}{K_2}$ und $\frac{K_2}{K_1}$ für $\varphi=0$, da K_1 und K_2 hier die Sewichte der Sewölbesteine sind, für welche $G=H\cot\varepsilon$ gilt.

Handelt es sich ferner um einen Gewölbebogen, dessen Vertikalschnitt durch zwei konzentrische Halbkreise begrenzt ist, so ist für irgend eine radiale Fuge OQP, gemäß Fig. 424 (a. f. S.)

$$G\frac{x}{y} = G \cdot \frac{OP' - OS'}{OA - OP''} = G\frac{r_1 \sin \varepsilon - OS \cdot \sin \frac{\varepsilon}{2}}{r_2 - r_1 \cos \varepsilon}$$

und

$$G'\frac{x'}{y'} = G' \cdot \frac{OQ' - OS'}{OB - OQ''} = G'\frac{r_2 \sin \varepsilon - OS \cdot \sin \frac{\varepsilon}{2}}{r_1 - r_2 \cos \varepsilon}$$

Dabei ist $G = G' = \frac{1}{2}\delta$. l. $(r_1^2 - r_2^2) arc \varepsilon$, falls die Ausdehnung des Gewölbes, senkrecht zur Zeichnungsebene, mit l und das specifische Gewicht mit δ bezeichnet wird.

Außerdem ist

$$OS = \frac{2}{3} \frac{r_1^3 - r_2^3}{r_1^2 - r_2^2} \cdot \frac{\sin \frac{\varepsilon}{2}}{arc \frac{\varepsilon}{2}}.$$

Demnach ist

$$\frac{Gx}{y} = \frac{1}{6}\delta \cdot l \cdot \frac{3(r_1^2 - r_2^2)r_1 \sin \varepsilon \ arc \ \varepsilon - 4(r_1^3 - r_2^3) \sin^2 \frac{\varepsilon}{2}}{r_2 - r_1 \cos \varepsilon}$$

$$\frac{G'x'}{y'} = \frac{1}{6}\delta \cdot l \cdot \frac{3(r_1^2 - r_2^2)r_2 \sin \varepsilon \ arc \ \varepsilon - 4(r_1^3 - r_2^3) \sin^2 \frac{\varepsilon}{2}}{r_1 - r_2 \cos \varepsilon}$$

Für den ersten Ausdruck ist s so zu bestimmen, daß er ein Minimum (H_1) wird; für den zweiten Ausdruck ist ε so zu bestimmen, daß er ein Waximum (H_2) wird. Es gilt dann für daß thatsächlich vorhandene [H] die Beziehung

 $H_1 > H > H_2$

llm H_1 und H_2 zu bestimmen für ein gegebenes Berhältnis $\frac{r_1}{r_2}=n$, entwirft man eine Tabelle von $\frac{G\,x}{y}$ bezw. $\frac{G'\,x'}{y'}$ für $\varepsilon^0=0^\circ\dots 90^\circ$.

Wan findet 3. B. für n=1.25 als größten Wert von $\frac{G'x'}{y'}$ den Wert $H_2=0.1285$. δ . l . r_2^3 und zwar für $s=61^{\circ}15'$, d. h. ses ist zu nehmen H>0.1285 . δ . l . r_2^3 .

Anstatt nun auch noch H_1 zu bestimmen, geht man mit dem Werte H_2 an den Entwurf und vergrößert H nach Bedürsnis, aber so, daß die entsprechende Richtungslinie des Druckes (vergl. S. 583) nicht aus dem Gewölbequerschnitte her-

austritt.

Mit Hulfe biefer Linie tann man nun überhaupt für die Sicherheit ber Gewölbetonftruttion die folgenden Regeln aufstellen.

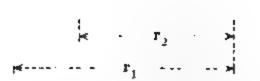
Sollen die Gewölbesteine nicht gegeneinander gleiten, so muß die Richtungslinie des Druckes, gemäß der eben durchsgesührten Untersuchung, an jedem Stützunkte innerhalb des zus gehörigen Reibungstegels bleiben.

Man pflegt diese Forderung als die eine Bedingung ber Stabilität des Gewölbes zu bezeichnen.

Als zweite Bedingung kommt dazu, daß die Richtungslinie des Druckes ganz innerhalb des Gewölbes verläuft, d. h. stets auf wirklich materielle Teile trifft und nicht etwa die geometrische Erweiterung einer Gewölbefuge.

Bahrend die erste Bedingung Sicherheit gegen Einsturz durch Gleiten ber Gewölbesteine gewährt, giebt die zweite Sicherheit gegen Einsturz durch Kippen der Gewölbesteine.

Fig. 424.



Außerdem muß noch drittens das Material die Drucke, die ihm zu= gemutet werden, auch wirklich aushalten können, d. h. die verwendeten Drucke mussen zulässig sein in Bezug auf die Festigkeit des Materiales.

Wir betrachten die zweite Bedingung noch etwas genauer. Bezeichnet [H] wieder den Horizontalschub in der Scheitelfuge, so ist [H] zugleich der horizontale Druck für jeden Teil der Konstruktion, weil die Gewölbesteine als Belastungen nur vertikale Kräfte hinzufügen.

Für $H < 0.1285 \, \delta$. l . r_{2}^{2} würde sich das Gewölbe in der Fuge, die $\varepsilon=61^{\circ}15'$ entspricht, nach außen öffnen (Bruchfuge). Die Richtungslinie des Druckes würde für $H = 0.1283 \, \delta \, . \, l \, . \, r_2^{\, 2}$ die innere Wölbungslinie in jener Fuge berühren, für kleinere Werte von H würde sie dort aus dem Gewölbequerschnitt heraustreten, für größere Werte von H dort in dem Gewölbequerschnitte bleiben.

 $\frac{Gx}{y}$ in Bezug auf die Entsprechendes gilt für das Minimum von Öffnung nach innen in einer bestimmten Bruchfuge.

Hat man für ein Gewölbe, wie es an dem Beispiele gezeigt worden ist, die Grenzen H_1 und H_2 für H bestimmt, so läßt sich in jedem Punkte der

Scheitelfuge AB zu jedem Werte von [H] in den Grenzen H_1 und H_2 eine Richtungslinie des Druckes zeichnen, welche innerhalb des Gewölbequer= schnittes bleibt.

Schneidet sie die Fugen inner= halb der Reibungskegel der Stütz= punkte, so ist bei zulässiger Belastung des Materiales Stabilität vorhanden, andernfalls muß der Angriffspunkt von [H] oder dessen Wert innerhalb der Grenzen H_1 und H_2 oder die Fugenstellung geändert werden.

Die Anderung der Richtungs=

 $\mathbf{H_2}$ H $\mathbf{H_1}$ G₂ G_3

Fig. 425.

linie des Druckes bei Verwendung von H in den Grenzen H_1 und H_2 ist aus Fig. 425 ersichtlich, wo G_1 , G_2 , G_3 , . . . die Gewichte der Gewölbesteine find, vom Scheitel aus geordnet.

Über die wirkliche Lage der Richtungslinie des Druckes in einem ausgeführten Gewölbe läßt sich erst auf Grund des elastischen Verhaltens des Materiales Gewißheit erhalten.

5. Seil= und Rettenrollen und entsprechende Berbindungen. Kraft P, welche eine Last Q über eine feste Rolle führt, hat dabei den Wider= stand der Zapfenreibung zu überwinden, so daß P>Q ist. Der Überschuß $P \longrightarrow Q$, der bei einem Rollenhalbmesser r das Moment $(P \longrightarrow Q)r$ liefert, überträgt die Bewegung des Seiles durch die Seilreibung auf die Rolle. Da das Moment der Zapfenreibung D. f. ϱ ist (vergl. S. 545), falls D der Zapfendruck, o der Zapfenhalbmesser und f der entsprechende Reibungskoeffi= cient ift, so gilt

$$(P-Q)r=D.f.\varrho.$$

Bei einer gleichförmigen Bewegung der Rolle ist für parallele Seile D=P+Q, so daß

und

$$\frac{P + Q}{P - Q} = \frac{r}{f\varrho}$$

$$\frac{P + Q}{P - Q} = \frac{r}{f\varrho}$$

$$\frac{P + Q}{P - Q} = \frac{r}{f\varrho}$$

$$\frac{1 + \frac{f\varrho}{r}}{1 - \frac{f\varrho}{r}} = \frac{\left(1 + \frac{f\varrho}{r}\right)^2}{1 - \frac{f^2\varrho^2}{r^2}} = \frac{1 + \frac{2f\varrho}{r} + \frac{f^2\varrho^2}{r^2}}{1 - \frac{f^2\varrho^2}{r^2}}$$

ist.

Da $\frac{\varrho}{r}$ ein echter Bruch ist, so läßt sich $\frac{f^2\varrho^2}{r^2}$ im Zähler und im Nenner gegen die anderen Größen vernachlässigen und man erhält in gewisser Ansnäherung, falls man noch $2\varrho=d$ sett,

ober

Der Borgang ist demnach so, als wenn Q wegen der Zapfenreibung um $Z=Q\cdot \frac{f\cdot d}{r}$ vermehrt werden müßte, so daß die Kraft P eine größere Last Q+Z bewegt, statt der Last Q.

Sind die Seile nicht parallel, so ist für $2\,lpha$ als Centriwinkel des um= spannten Bogens angenähert $D=2\,P\sinlpha$ und demnach

 $(P-Q)r=2P\sin\alpha \cdot f \cdot Q$,

d. h.

$$P = Q \frac{1}{1 - \frac{2 f \varrho}{r} \sin \alpha} = \frac{Q \left(1 + \frac{2 f \varrho}{r} \sin \alpha\right)}{1 - \frac{4 f^2 \varrho^2}{r^2} \sin^2 \alpha}.$$

Man hat also in gleicher Annäherung wie oben

$$P = Q\left(1 + \frac{fd\sin\alpha}{r}\right)$$
 und $Z = \frac{Qfd\sin\alpha}{r}$ · · · 180)

Derselbe Ausdruck ergiebt sich unmittelbar für $D=2\,Q\sin\alpha$.

Für a = 90° erhält man wieder die Formel für parallele Seile.

Berücksichtigt man noch die Steifigkeit beim Aufwickeln und beim Ab= wickeln (vergl. § 93), so ist P noch weiter zu vermehren

für Hanfseile um $S=\frac{2\,a}{r}\cdot Q$, wobei $a=0.03\,\delta^2$ bis $0.09\,\delta^2$ zu setzen ist, falls δ den Seildurchmesser in Centimetern bezeichnet, und

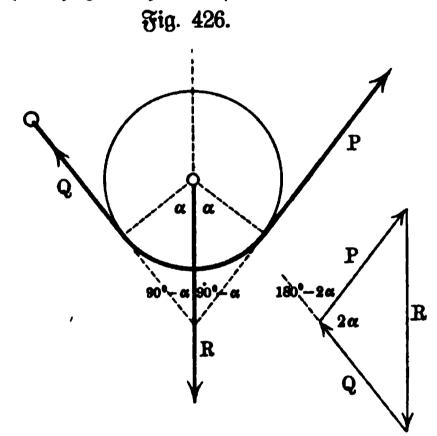
für Ketten um $S=\frac{0,2~\delta}{r}$ bis $\frac{0,3~\delta}{r}$, falls δ die Stärke des Ketten= eisens bezw. den Gelenkbolzendurchmesser bezeichnet.

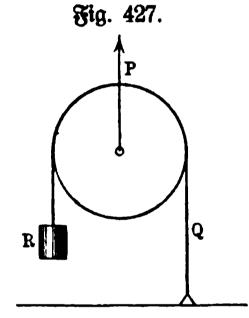
Für Seilrollen erhält man also für P als Minimum

Für $r=4\,\delta$, $d=0.8\,\delta$, f=0.08 ergiebt sich z. B. $P=1.04\,Q$ bis $1.09\,Q$ bei $\delta=1.6\,\mathrm{cm}$ und $P=1.09\,Q$ bis $1.25\,Q$ bei $\delta=5.2\,\mathrm{cm}$ sür Kettenrollen ergiebt sich ebenso sür P als Minimum

$$P = Q\left(1 + \frac{fd\sin\alpha}{r} + \frac{0.2\delta}{r}\right) \cdot \cdot \cdot \cdot \cdot \cdot 182$$

Für $r=10\,\delta$, $d=3\,\delta$, f=0.08 ergiebt sich z. B. $P=1.044\,Q$ bis $1.06\,Q$ für $\alpha=90^\circ$, wobei für verzahnte Kettenrollen der obere Grenz-wert (1.06) zu nehmen ist.





Dabei ist r zu messen in Centimetern von der Mitte der Kolle bis zur Mitte des Seiles oder der Kette.

Bezeichnen P und Q Seilspannungen, so ist P die Spannung im abslaufenden Seilstück (Trum) und Q die Spannung im auflaufenden Seilstück (Trum).

Bezeichnet man die Klammer bei Q durch μ , so ist

$$P = \mu Q$$
 and $\mu > 1$.

Der Wirkungsgrad ist

$$\eta = \frac{1}{\mu}$$

Für Drahtseilrollen hat man im Mittel $\eta=rac{1}{1,04}$ zu setzen.

Für die lose Rolle (vergl. Fig. 426) ist

$$P = \mu Q$$
 und $R^2 = P^2 + Q^2 - 2 PQ \cos 2 \alpha$,

d. h.

$$P=R\cdot rac{\mu}{\sqrt{1\,+\,\mu^2\,-\,2\,\mu\,\cos2\,lpha}} \; ext{unb} \; \; Q=R\cdot rac{1}{\sqrt{1\,+\,\mu^2\,-\,2\,\mu\,\cos2\,lpha}} \, \cdot$$

Für parallele Seile $(2\alpha = 180^{\circ})$ ist hier

$$P = R \frac{\mu}{1 + \mu} \quad \text{unb} \quad Q = R \cdot \frac{1}{1 + \mu}.$$

Für die sogenannte "umgekehrte lose Rolle", die Fig. 427 (a. v. S.) darstellt, ist für $2\alpha=180^{\circ}$

$$Q = \mu R$$
 und $P = R + Q$,

d. h. man hat hier

$$P = R(1 + \mu)$$
 und $Q = \mu R$.

Für den Rollenzug (vergl. Fig. 198) ergiebt sich unter Berücksichtigung der Reibung folgendes:

Man hat für das Emporziehen von [R]

a) $K = \mu S_6$, $S_6 = \mu S_5$, $S_4 = \mu S_8$, $S_2 = \mu S_1$,

b)
$$R + G_1 = S_1 + S_2$$
, $S_2 + G_2 = S_3 + S_4$, $S_4 + G_3 = S_5 + S_6$.

Bestimmt man von K aus ober von R aus die Seilspannungen durch einander, so erhält man

$$\mu\left[\frac{\mu^3}{(1+\mu)^3}(R+G_1)+\frac{\mu^2}{(1+\mu)^2}\cdot G_2+\frac{\mu}{1+\mu}\cdot G_3\right]=K.$$

Für $\mu=1$, d. h. bei Vernachlässigung der Reibung ergiebt sich wieder

$$R + G_1 + 2 G_2 + 4 G_3 = 8 K$$

Für das Ablassen von R gilt

a) $S_6 = \mu K$, $S_5 = \mu S_6$, $S_8 = \mu S_4$, $S_1 = \mu S_2$.

Die Gruppe b) bleibt unverändert.

Gegen a) im vorigen Falle erscheint μ ersetzt durch $\frac{1}{\mu}$, d. h. es gilt jetzt

$$\frac{1}{\mu} \left[\left(\frac{1}{1+\mu} \right)^{8} (R + G_{1}) + \left(\frac{1}{1+\mu} \right)^{2} G_{2} + \frac{1}{1+\mu} \cdot G_{3} \right] = K.$$

Für den Flaschenzug der Fig. 222 ergiebt sich ebenso für das Emporziehen, falls die Seile von links nach rechts durch 1, 2, 3, 4, 5, 6 und das Gewicht der unteren Flasche durch G bezeichnet wird

a)
$$P = \mu S_1$$
, $S_1 = \mu S_2$, $S_2 = \mu S_3$, $S_3 = \mu S_4$, $S_4 = \mu S_5$, $S_5 = \mu S_6$,

b)
$$R + G = S_1 + S_2 + S_3 + S_4 + S_5 + S_6$$
.

Man hat also

$$\frac{(R+G)\mu^6}{1+\mu+\cdots\mu^5}=P.$$

Ist n wieder die Sesamtzahl der Rollen und G das Sewicht der unteren Flasche, so gilt allgemein

$$P = \frac{(R+G)\mu^{n}}{1+\mu+\cdots+\mu^{n-1}} = \frac{(R+G)\mu^{n}(\mu-1)}{\mu^{n}-1}.$$

Der Wirkungsgrad ist

$$\eta = \frac{\mu^n - 1}{(\mu - 1)\mu^n} \cdot \frac{1}{n}.$$

Beim Differentialflaschenzug, den Fig. 428 darstellt, bilden die beiden oberen Rollen einen einzigen Körper, der sich um die gemeinschaftliche feste Drehachse A zu drehen vermag. Die Rollen sind hier als Kettenscheiben kon=

ſ

Fig. 428 b.

struiert, b. h. an ihrem Umfange mit Bahnen versehen, die in die Schaken ber Rette greifen und auf diese Weise ein Gleiten berselben auf den Ums

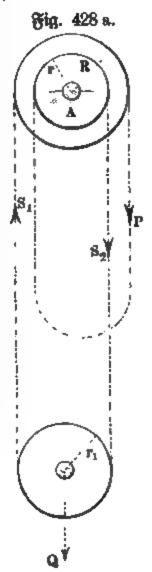
fängen verhindern. Die untere lose Rettenscheibe trägt die zu hebende Last Q. Die Halbmesser der beiden oberen Kettenscheiben seien K und r, der Halbmesser der unteren Scheibe sei r, und die Zapsen mögen den Halbmesser r, haben. Bei der um das System der drei Rettenscheiben gelegten Kette ohne Ende sei in dem schlaff herunterhängenden Teile der oberen größeren Scheibe die Kraft P wirksam, und die von der unteren losen Scheibe nach oben sührenden Teile der Kette mögen die Spannungen S, und S, ersahren.

Wan hat hier, falls μ' ben Roefficienten für die untere Rolle beszeichnet, $S_1 = \mu' S_2$ und $S_1 + S_2 = Q$, d. h.

$$S_i = Q \cdot \frac{\mu'}{1 + \mu'}$$

unb

$$S_i = Q \cdot \frac{1}{1 + \mu'}.$$



Denkt man für die obere Rolle die Kraft S_2 am Arme r ersett durch eine Kraft am Arme R, so hat diese den Wert $\frac{S_2\,r}{R}$, und es wirkt nun an der Außenscheibe (R) der oberen Rolle die Kraft $P+\frac{S_2\,r}{R}$. Ist μ der Koefficient sür die obere Rolle, so gilt also sür das Seben der Last

$$P+\frac{S_2r}{R}=\mu S_1.$$

Trägt man die oben bestimmten Werte von S_1 und S_2 in diese Formel ein, so ergiebt sich

$$P = \frac{Q}{1 + \mu'} \Big(\mu' \mu - \frac{r}{R} \Big) \cdot$$

Bei dem geringen Unterschiede der Halbmeffer der oberen und unteren Rolle kann man $\mu := \mu'$ setzen, d. h. man erhält

$$P = \frac{Q}{1 + \mu} \left(\mu^2 - \frac{r}{R} \right).$$

Für das Ablassen der Last ist wieder μ durch $\frac{1}{\mu}$ zu ersegen, so daß jetzt

$$P = \frac{Q\mu}{1+\mu} \left(\frac{1}{\mu^2} - \frac{r}{R} \right)$$

ift.

Selbsthemmung tritt ein für $\frac{1}{\mu^2} < \frac{r}{R}$, d. h. für $\frac{R}{r} < \mu^2$.

Für $\mu=$ 1,05 und R:r= 12:11 ift $\frac{R}{r}=$ 1,091 und $\mu^{2}=$ 1,1025.

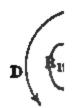
Bei Bernachlässigung der Reibung ($\mu=1$) ist $P=rac{Q}{2}\cdotrac{R-r}{R}\cdot$

Man hat also für das Emporziehen den Wirtungsgrad

$$\eta = \frac{1+\mu}{2} \cdot \frac{R-r}{\mu^2 R-r}.$$

Für $\mu = 1.05$ und R: r = 12:11 ist $\eta \sim 0.4$.

6. Der Hebel. Wenn die Stangen AA' und BB' bezw. in A und B (vergl. Fig. 429) mit Bolzen von den Radien ϱ_1 und ϱ_2 eingelenkt sind und wenn der Drehpunkt C durch einen Zapfen vom Radius r gebildet wird,



Di



so hat für eine gleichsörmige Bewegung im Sinne des Drehungspseiles D, dem die Drehungspseile D_1 und D_2 der Stangen entsprechen, für SC = c das Moment aP + Gc neben dem Momente Qb überdies die Reibungsmomente (vergl. die Pseile R_1 , R, R_2) in A, B und C zu überwinden, für welche bezw. P, Q und P + Q + G die Zapsendrucke sind. Bezeichnet man den Reibungsstoessichenten sür die Zapsenreibung durch f_s , wobei f_s in start ausgelausenen Lagern den Wert f_s , im allgemeinen aber den Wert f_s (vergl. S. 550) bez zeichnet, so ist

 $aP + cG = bQ + f_s \varrho_1 P + f_s \varrho_2 Q + f_s r(P + Q + G)$ ober

 $P[a - f_{s}(\varrho_{1} + r)] = Q[b + f_{s}(\varrho_{2} + r)] - G(c - f_{s}r).$

Giebt man dem Faktor von Q, der bei der Entwickelung von P auftritt, die Form

$$\frac{b}{a}\frac{1+f_s\frac{\varrho_2+r}{b}}{1-f_s\frac{\varrho_1+r}{a}},$$

so erhält, abgesehen von $\frac{b}{a}$, der Nenner bei Multiplikation mit $1+f_s\frac{\varrho_1+r}{a}$ angenähert den Wert 1, während der Zähler ebenso den Wert $1+f_s\frac{\varrho_2+r}{b}+f_s\frac{\varrho_1+r}{a}$ erhält. Ebenso erhält der Faktor von -G, der bei der Entwickelung von P auftritt, im Nenner angenähert den Wert 1 und im Zähler den Wert $1-f_s\frac{r}{c}+f_s\frac{\varrho_1+r}{a}$.

Man hat also

$$P \sim Q \cdot \frac{b}{a} + Q \cdot f_s \left[\frac{\varrho_2 + r}{a} + \frac{(\varrho_1 + r)b}{a^2} \right] - G \cdot \frac{c}{a} + G \cdot f_s \left[\frac{r}{a} - \frac{(\varrho_1 + r)c}{a^2} \right].$$

Für $\varrho_1 = \varrho_2 = \varrho$ ist

$$P \sim Q \frac{b}{a} + Q \cdot f_s \frac{(Q+r) \cdot (a+b)}{a^2} - G \cdot \frac{c}{a} + G f_s \cdot \frac{r(a-c) - Qc}{a^2}$$

Für den gleicharmigen Hebel (a=b), dessen Schwerpunkt S im Drehpunkte C liegt (c=0), ist

$$P \sim Q\left(1 + 2f_s \cdot \frac{Q + r}{a}\right) + G \cdot f_s \frac{r}{a} = Q + \overline{Q}.$$

Bei Vernachlässigung der Reibungen wäre in diesem Falle eine Kraft P_0 nötig, so daß $P_0 = Q$ ist; es muß also P_0 um \overline{Q} vermehrt werden, wenn Bewegung im Sinne des Pseiles D eintreten soll.

Erset man $+f_s$ durch $-f_s$, so erhält man $P=Q-\overline{Q}$, d. h. P_0 muß um \overline{Q} vermindert werden, wenn Bewegung im entgegengesetzten Sinne eintreten soll.

Da in diesem Falle Q als Kraft und P als Last anzusehen ist, so gilt auch

$$Q \sim P\left(1 + 2f_s\frac{\varrho + r}{a}\right) + G \cdot f_s\frac{r}{a}$$

oder

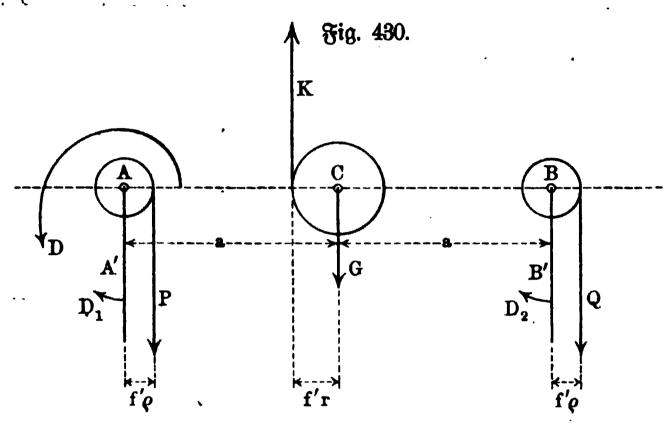
$$P \sim \frac{Q}{1 + 2f_s \frac{\varrho + r}{a}} - \frac{G \cdot f_s \frac{r}{a}}{1 + 2f_s \frac{\varrho + r}{a}}.$$

Multipliziert man die Faktoren von Q und G im Zähler und im Nenner mit $1-2\,f_z\,\frac{\varrho\,+\,r}{a}$, so erhalten die Nenner bei der vorausgesetzten Ans

näherung den Wert 1, während der Zähler bei Q den Wert $1-2f_z\frac{\varrho+r}{a}$ und der Zähler bei -G den Wert $f_s\frac{r}{a}$ erhält.

Man sieht also, daß beide Entwickelungen übereinstimmen.

Dieselbe Betrachtung läßt sich auch mit Hülfe des Reibungskreises (vergl. $\mathfrak S. 551$) durchsühren. An der Grenze der Bewegung im Sinne des Pseiles D bezw. der Pseile D_1 und D_2 der Fig. 429 berühren die Kräfte [P], [Q] und die Reaktion in C bezw. die Reibungskreise von A, B und C, und zwar berühren [P] und [Q] ihre Kreise rechts, während die Reaktion in C ihren



Kreis links berührt. Senkt sich nämlich A, so muß sich AA' nach außen und BB' nach innen drehen, um vertikal zu bleiben, d. h. beide Bewegungen solgen dem Uhrzeiger; die Reibungsmomente für den Balken des Hebels entsprechen infolgedessen (vergl. die Pseile R_1 und R_2) bei A und bei B gleichsfalls der Uhrzeigerbewegung, so daß für ihre Darstellung [P] bezw. [Q] von A bezw. B aus nach rechts gerückt werden muß. Da sich der Hebel selbst gegen die Uhr bewegt, so muß das Reibungsmoment (vergl. den Pseil R), welches die Reaktion P+Q+G hervorrust, auch mit der Uhr drehen, d. h. die Resaktion muß nach links verschoben werden, um es graphisch darzustellen. Diese Beziehungen sind für a=b und c=0 in Fig. 430 dargestellt.

Man hat nun ohne weiteres für einen Punkt der Vertikalen der versschobenen Reaktion [K] als Drehpunkt

$$P[a-f'(\varrho+r)] = Q[a+f'(\varrho+r)] + G(f'r).$$

Dieses ist die oben, an erster Stelle entwickelte Gleichung für $\varrho_1=\varrho_2$, c=0 und a=b, falls f' durch f_z ersett wird.

Da das System [P], [G], [Q] und [K] ein System im Gleichgewichte bildet, so ist auch P leicht graphostatisch zu bestimmen, falls [G] und [Q] gegeben sind. Für das Krafteck, welches obiger Folge entspricht, ist 0 bezw. 4 nicht gegeben, so daß noch der Polstrahl I bezw. V fehlt; er ergiebt sich aus der Hauptsigur, weil sich das Seileck schließt, und kann in die Nebenfigur

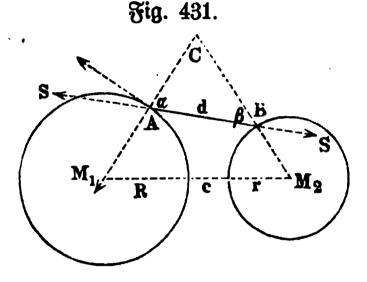
übertragen werden, so daß man dort P und damit auch K findet. Bestimmung ist innerhalb ber Grenzen der zeichnerischen Darstellung genau.

Für die Gegenbewegung, bei der sich B senkt, rücken [P] und [Q] auf die linke Seite ihrer Kreise, [K] auf die rechte Seite seines Kreises.

Man erhält jest den anderen (kleineren) Wert von P, der denselben Werten von [G] und [Q] entspricht.

Der Hebel bleibt in Ruhe, solange das thatsächlich verwendete P in den Grenzen bleibt, welche die beiden oben bestimmten Werte von P anzeigen.

Onetschwalzen. Es stellen die beide Kreise M, und M, (Fig. 431) von den Halbmessern R und r den normalen Querschnitt zweier Quetsch= walzen vor, deren geringste Entsernung gleich e sein mag. Zwischen beide Walzen werde ein Körper gesteckt, bessen Dimensionen größer als der Abstand der beiden Walzen sein mögen, und welcher die= selben in den Punkten A und B berührt. Wird der Körper durch irgend eine Kraft zwischen die Walzen gedrängt und dann sich selbst überlassen, so soll derselbe von den Walzen erfaßt und durchgezogen werden. Für diese Bedingung sind die Radien der Walzen zu bestimmen.



Bei dem Eindrücken des Körpers zwischen die Walzen entsteht in ABeine Spannung S, die im Punkte A von B nach A und im Punkte B von A nach B wirksam gebacht werden muß. Zerlegen wir dieselbe nach tangen= tialer und normaler Richtung in die Komponenten Ssina, Scosa bezw. $S \sin \beta$, $S \cos \beta$, so sind die Normalkomponenten als die Ursache der bei Aund B entstehenden Reibungen anzusehen, und es muß, damit der Körper von den Walzen gefaßt werde, die Reibung an beiden Punkten gleichzeitig größer, als das Streben zurückgestoßen zu werden, d. h. als die betreffende Tangentialkomponente sein, d. h. man hat

$$f S \cos \alpha > S \sin \alpha$$
,

und

$$f_1 S \cos \beta > S \sin \beta$$
,

wenn f und f_1 die Reibungskoefficienten für die beiden Walzen bezeichnen. Ist nur eine dieser Bedingungen erfüllt, so wird der Körper vor den Walzen eine Drehung erfahren, und findet keine derselben statt, so bleibt der Körper in Ruhe. Aus den obigen Ungleichheiten ergiebt sich hiernach, als Bedingung des Einziehens

$$tang \alpha < f$$

gleichzeitig mit

tang
$$\beta < f_1$$
.

Nehmen wir $\alpha = \beta$ und ist f der kleinere der beiden Reibungskoefficienten, so reduzieren sich die beiden Ungleichheiten auf die eine

$$tang \alpha < f$$
 ober $\alpha < \varphi$.

Es sei AB=d die Dicke des durch die Walzen zu ziehenden Körpers, so ergiebt sich aus der Figur für $\gamma=180^{\circ}-\alpha-\beta$

$$M_1 M_2^2 = (M_1 C - M_2 C)^2 + 4 M_1 C \cdot M_2 C \sin \frac{\gamma^2}{2}$$
,

b. h. für $\alpha = \beta$ ist

$$2R = \frac{d^2 - e^2 + 2r(d\cos\alpha - e)}{2r\sin\alpha^2 - (d\cos\alpha - e)}.$$

Aus dieser Gleichung läßt sich R berechnen, wenn r gegeben und die obige Bedingung dabei berücksichtigt wird. Für den Gleichgewichtszustand ist $\alpha = \varphi$ zu sezen, wodurch der Quotient rechts einen kleineren Wert erhält, so daß die Bedingung des Einziehens der Walzen durch die Ungleichheit außegesprochen ist:

$$2R > \frac{d^2 - e^2 + 2r(d\cos\varphi - e)}{2r\sin\varphi^2 - (d\cos\varphi - e)}.$$

Haben die beiden Walzen gleichen Durchmesser, dann ist

$$2R = 2r > \frac{d-e}{1-\cos \varphi}$$

oder

$$2R = 2r > \frac{(d-e)\sqrt{1+f^2}}{\sqrt{1+f^2}-1}.$$

Wird die Walze vom Halbmesser R zu einer ebenen Platte, wie die Ansordnung bei den Kollersteinen gegeben, so ist $R=\infty$ zu setzen, und wir ershalten

 $2r > \frac{d\cos\varphi - e}{\sin\varphi^2}$

oder

$$2r > \frac{d\sqrt{1+f^2}-e(1+f^2)}{f^2}$$

Ift die Walze vom Halbmesser R hohl, also eine Trommel, welche die andere Walze umschließt, so ist R negativ zu nehmen, und es sindet sich in ähnlicher Weise wie oben die notwendige Bedingung, daß der absolute Wert von

$$2R < \frac{d^2 - e^2 + 2r(d\cos\varphi - e)}{-2r\sin\varphi^2 + (d\cos\varphi - e)}$$

sein muß.

Beim Walzprozesse ist z. B. für glühendes Eisen $(f=tg\,\phi=0,1)$ zu seinen $d-e<0,01\,R$ für R=r

8. Das **Wellrad**. 1. Bei wagerechter Lage der Achse (vergl. S. 360) gilt, wie Fig. 432 zeigt, bei Vernachlässigung der Reibung als Bedingung des Gleichgewichtes, daß die Momente von [P] und [Q] einander ausheben. An Reibungen sind zu berücksichtigen die Reibungen in den Lagern und die Seilssteifigkeit. Für erstere muß man die Zapfendrucke kennen. Um diese zu bestimmen, zerlegen wir die Kräfte senkrecht und parallel zur Achse der Welle und zwar hier in vertikaler und horizontaler Richtung.

ŗ

[P] und [Q], welche in Normalschnitten der Welle liegen, mögen mit der Bertikalen bezw. die Winkel α und β bilden und von dem Ende 1) des Zapfens D bezw. die Abstände a und b haben, während das Sewicht der Welle [G] von D den Abstand c habe und DE = l ist. Es seien ferner die Halbmesser des Rades, der Welle und der Zapsen bezw. R, r, ϱ .

Wan hat dann für die Drucke in D und E bezw. deren Horizontals und Bertikalkomponenten

$$V_D = \frac{1}{l} \left[P(l-a)\cos\alpha + Q(l-b)\cos\beta + G(l-c) \right]$$

$$H_D = \frac{1}{l} \left[-P(l-a)\sin\alpha + Q(l-b)\sin\beta \right]$$

$$V_E = \frac{1}{l} \left[Pa\cos\alpha + Qb\cos\beta + Gc \right]$$

$$H_E = \frac{1}{l} \left[-Pa\sin\alpha + Qb\sin\beta \right].$$

Die Drucke selbst sind $K_D = \sqrt{V_D^2}$ und H_D^2 und $K_E = \sqrt{V_E^2 + H_E^2}$. Man hat dann als Bedingung des Gleichgewichtes für P als Kraft und Q als Last, salls man den Koefficienten der Zapsenreibung mit f_s bezeichnet

1)
$$PR = Qr + f_t K_D Q + f_t K_E Q.$$

Werben die Kräfte [P] und [Q], wie Fig. 432 zeigt, durch Seile überstragen, so muß für [P] das Ablaufen und für [Q] das Auflaufen noch durch Einführung von $\mu'R$ und $\mu''r$ bezw. $_{\text{Kia. 432.}}$ statt R und r berücksicht werden.

Die Gleichung 1) für PR ist im allgemeinen, da P auch in $[K_D]$ und $[K_E]$ steckt, sehr verwickelt, man hilft sich dann in der Prazis dadurch, daß man P zunächst aus der Gleichung PR = Qr berechnet, welche der Versnachlässigung der Reibung entspricht, mit diesem Werte von P die Rechnung sür K_D und K_E durchführt und nun P gemäß der Gleichung 1) berechnet. Gelegentlich muß man dann mit diesem

Werte von P nochmals K_D und K_E berechnen und damit wieder P vers bessern u. s. f.

Sind [P] und [Q] vertifal $(\alpha = 0, \beta = 0)$, so ist

$$K_D = V_D = \frac{1}{l} [P(l-a) + Q(l-b) + G(l-c)] \text{ und } H_D = 0$$

$$K_E = V_E = \frac{1}{l} [Pa + Qb + Gc] \text{ und } H_E = 0.$$

¹⁾ Die Reaktionen treten im ungunftigsten Falle an ben Enden auf, während fie im allgemeinen in der Rapfenmitte angenommen werden bürfen.

Man hat in diesem Falle ($\alpha = 0$, $\beta = 0$)

2)
$$PR = Qr + f_s \varrho (P + Q + G)$$
.

Bei Seilübertragung ist wieder für R und r bezw. $\mu'R$ und $\mu''r$ ein= zusetzen.

Ift z. B. [P] der Zahndruck eines Rades, das mit dem als Zahnrad konstruierten Rade B im Eingriff steht, und ist [Q] an einem Seile besestigt, so wird Gleichung 2) für eine Seildicke δ in Centimetern bei mittlerer Steisigkeit

 $PR = Q(r + 0.06 \delta^2) + f_z Q(P + Q + G)$

und man hat

$$P = \frac{Q(r + 0.06 \delta^2 + f_s \varrho) + Gf_s \varrho}{R - f_s \varrho}$$

und

$$P \sim Q\left(\frac{r+0.06\delta^2+f_s\varrho}{R}+f_s\frac{\varrho r}{R^2}\right)+G.f_s\cdot\frac{\varrho}{R}$$

Kommt auch für die Übertragung von Q keine Seilsteifigkeit in Frage, und ist auch noch G zu vernachlässigen gegenüber P und Q, so gilt

$$P \sim \frac{Q}{R} \left[r + f_s \varrho \frac{(R+r)}{R} \right]$$

2. Bei vertikaler Stellung der Achse (Erdwinde, Söpel 2c.), wobei D in Fig. 432 zum unteren Stützpunkte werden mag, ist auch noch die Reibung an der Stützsläche $\frac{1}{2}$ G f o zu berücksichtigen, welche durch das Gewicht G her vorgerusen wird (vergl. S. 554).

Die Werte K_D und K_E , welche der Mantelreibung der Zapfen entsprechen, sind je nach den Richtungen von [P] und [Q] zu berechnen, während [G] keinen Beitrag dazu liefert.

Ist der Antrieb der Maschine z. B. durch die beiden Kräfte eines Paares gebildet, so sind K_D und K_E nur von Q abhängig, dessen Komponenten sür D und E die Werte $Q\frac{l-b}{l}$ und $\frac{Qb}{l}$ haben. Man hat dann für gleiche Zapfen

$$Mo = Qr + Q \frac{l-b}{l} \cdot f_z \varrho + \frac{Qb}{l} f_z \varrho + \frac{1}{2} Gf \varrho$$

$$= Q(r + f_z \varrho) + \frac{1}{2} Gf \varrho.$$

Ist bei Q die Seilsteifigkeit zu berücksichtigen, so ist r wieder zu ersetzen durch $r+0.03\,\delta^2$ bis $r+\cdots0.09\,\delta^2$ für δ als Seildicke in Centimetern.

3. Bei geneigter Achse müssen die Kräfte nach Richtung der Achse und senkrecht dazu zerlegt werden. Dies trifft stets zu für das Gewicht, welches dann bei einer Neigung α gegen den Horizont in der Richtung der Achse den Druck $G\sin\alpha$ und senkrecht dazu den Druck $G\cos\alpha$ ausübt; ersterer giebt die Reibung an der Stützsäche, letzterer verteilt sich auf die Stützpunkte I) und E und trägt dort zur Mantelreibung bei.

Bergl. dazu S. 555.

9. Die Hirnsche Reibungswage und der Pronysche Bremszaum. Legt man auf eine Welle W vom Radius r ein Lager L_1L_2 lose auf, welches an seiner unteren Schale einen Wagebalken trägt, so sucht die Welle infolge der Reibung Lager und Wagebalken mitzunehmen. Belastet man die linke Seite der Wage (vergl. Fig. 433) mit P+Q, während die rechte mit Q belastet ist, so wirkt P am Arme l der infolge der Reibung eintretenden Drehung der Wage entgegen. Sieht nun P durch Versuche die Größe, bei welcher der Balken der Wage horizontal steht, so ist Pl dem Moment der Reibung gleich. Bezeichnet man das Sewicht der Wage mit G, so ist der Druck, welcher das Reibungsmoment hervorruft, G+2Q+P und dieses selbst also G+2Q+P

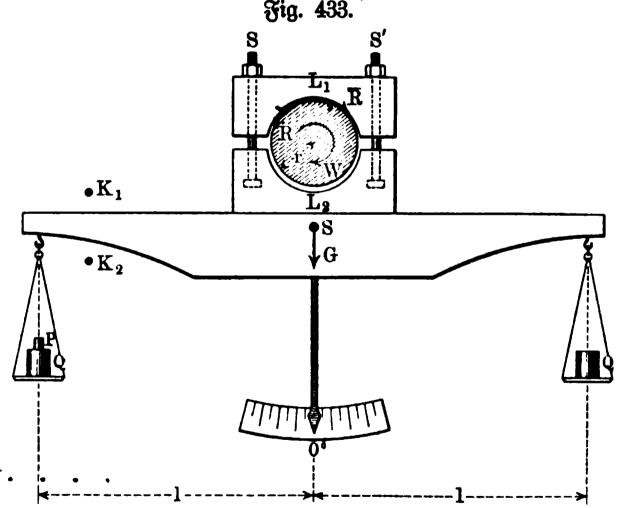
unb
$$Pl = (G + 2Q + P)fr$$

$$f = \frac{Pl}{(G + 2Q + P)r}$$

Mit dieser von Hirn eingeführten Borrichtung läßt sich also der Reisbungskoefficient f für Zapfenreibung bestimmen, wobei die Pflöcke K_1 und K_2 in der Wand dazu dienen, das Mitnehmen des Balkens zu verhindern.

Zeigt z. B. der Versuch für eine Welle aus Gußeisen und ein Bronzeslager bei $l=1\,\mathrm{m},\,r=10\,\mathrm{cm},\,G=100\,\mathrm{kg},\,Q=1000\,\mathrm{kg}$ die horizontale Stellung des Baltens für $P=16.8\,\mathrm{kg},\,$ so ist für diese Verhältnisse $f\sim0.08.$

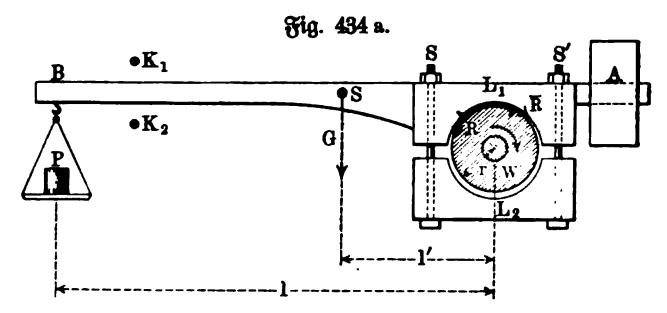
Ist f bestimmt, so kann dieselbe Bor= richtung dazu dienen, Arbeitsleistung die einer Maschine zu be= stimmen. Wenn die Welle W etwa durch ein Zahnrad mit einer zweiten Welle W' in Berbindung ist und durch diese eine bestimmte Arbeit leistet, so macht sie dabei eine bestimmte Anzahl von Umdrehungen in der Minute. Wird die Berbindung von W. und W' gelöst, so



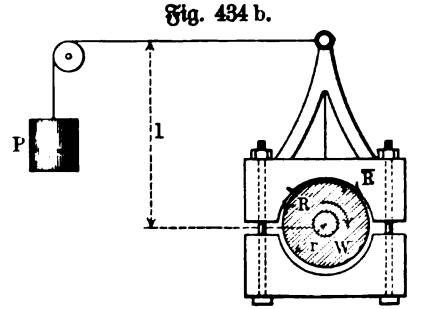
läuft W rascher. Legt man nun die Reibungswage auf die Welle W und belastet dieselbe mit Q bezw. Q+P, dis W wieder die frühere Anzahl n Umdrehungen in der Minute macht, so mißt Pl bei horizontaler Stellung des Wagebalkens das entstandene Reibungsmoment, dessen Arbeit genau so groß ist wie die Arbeit, welche W beim Eingriff mit W' im Betriebe leistet.

Es ist zweckmäßiger, die Belastungen Q durch Anziehen der Lagersschrauben S und S' zu ersezen, so daß man mit einer Schale für P auß=

kommt, und demnach auch nur die linke Hälfte des Wagebalkens gebraucht. Man gelangt dann zu einer Vorrichtung, die bereits vor der Hirnschen Reibungswage von Prony eingeführt worden ist, zu dem Pronyschen Zaum. Man pflegt dabei den halben Wagebalken an der oberen Lagerhälfte anzusbringen, wie Fig. 434 a zeigt. Statt der anderen Hälfte des Wagebalkens muß dann bei A eins sür allemal ein Gewicht angebracht werden, so daß der



unbelastete Zaum bei ruhender Welle W horizontal steht, falls man nicht das Gewicht G der linken Hälfte des Wagebalkens, welches in dem Schwer=punkte S zur Wirkung kommt, durch sein Moment 1'G berücksichtigen will.



Bei Versuchen legt man zunächst die obere und die untere Backe des Zaumes locker auf, verschraubt sie leicht und belastet bei B; dabei dienen die Pslöcke K_1 und K_2 in der Wand zur Sicherheit gegen das Schleubern des Zaumes. Man zählt nun die Touren=zahl sür W, entweder unmittelbar oder mit Hülse eines Velocimeters, und bringt sie durch abwechselndes Anziehen der Schrauben S und S' und durch

Vermehrung der Belastung bei B auf den Wert n, den die Welle W beim Eingriff mit W' hatte. Ift dieser Zustand erreicht, so ist die Arbeitsleistung im Betriebe für W dieselbe wie jetzt, wo ihre Arbeitsleistung in der Überswindung der Reibung besteht. Bezeichnet Mo das Moment der Reibung, welches überwunden wird, so ist, salls das Gegengewicht A angebracht ist,

Die Arbeit für eine Umdrehung ist $Mo.2\pi$, für n Umdrehungen also $Mo.2\pi.n$, so daß in der Sekunde

$$\frac{\textit{Mo} \cdot 2\pi \cdot n}{60}$$

Meterkilogramm Arbeit geleistet werden, ober in Pferdestärken

Würde der Balken von der Welle mitgenommen, so hätte B die Gesschwindigkeit $c=\frac{2\pi l \cdot n}{60}$, so daß die Arbeitsleistung in der Sekunde für Mo=Pl auch durch $P\cdot c$ dargestellt werden kann.

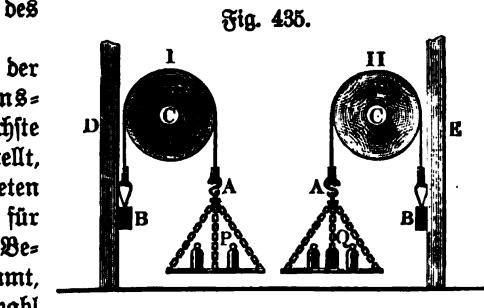
Siebt z. B. der Versuch $P\sim 50\,\mathrm{kg}$ für $l=2\,\mathrm{m}$ und für n=100, so ist die Arbeitsleistung von W bestimmt als 13,96 P . S.

In Bezug auf die Versuche mag noch bemerkt werden, daß man den Zaum nicht unmittelbar mit der Welle in Berührung bringt, sondern auf dieser (um sie zu schonen) eine Bremsscheibe befestigt.

In Fig. 434 b ist noch eine Borrichtung dargestellt, bei welcher das Geswicht des Balkens unter allen Umständen außer Betracht bleibt, weil hier

Balkens eingeführt ist.

Derartige Vorrichtungen wie der Pronysche Zaum heißen Brems= dynamometer. Ihre einsachste Form ist in Fig. 435 dargestellt, wo die Reibung durch einen belasteten Gurt ausgeführt wird. Werden sür die Anordnungen I und II die Beslastungen P und Q so bestimmt, daß die Welle C dieselbe Tourenzahl



n erhält, welche sie im Betriebe hat, so ist für I die Spannung von B durch Q und sür II die Spannung von B durch P gegeben. Bezeichnet man die Reibung durch R, so ist also in beiden Fällen

$$Q = P + R$$

d. h. man hat R=Q-P, so daß für einen Wellenradius r das Moment der Reibung r(Q-P) und ihre Arbeitsleiftung

$$\frac{r(Q-P) \cdot 2\pi \cdot n}{60 \cdot 75} P \cdot S \cdot \cdot \cdot \cdot \cdot \cdot \cdot \cdot \cdot 185)$$

iſt.

10. Reibungsrollen und Reibungsräder. Um die Reibung eines Zapsens vom Halbmesser r zu vermindern, legt man ihn, wie Fig. 436 (a. f. S.) zeigt, auf zwei Reibungsrollen I und II vom Halbmesser r', die selbst mit Zapsen vom Halbmesser ϱ in Lagern ruhen. Der Druck [D] auf den Zapsen Z zerlegt sich in die Drucke $[N_1]$ und $[N_2]$, welche sür die Zapsen von I und II die betreffenden Reibungsmomente liefern.

Statt des Reibungsmomentes Dfr, welches der unmittelbaren Auflagerung von Z entsprechen würde, sind also hier die Reibungsmomente $N_1f\varrho$ und $N_2f\varrho$ anzusetzen. Dabei ist der Borgang des näheren so, daß in A_1 und A_2 bezw. für Z die Reibungen $[\overline{R}_1]$ und $[\overline{R}_2]$ entstehen, welchen für I und II bezw. die Reibungen $[R_1]$ und $[R_2]$ entsprechen.

Das Moment der äußeren Kräfte, welches für Z thatsächlich die Reibungen überwindet, ist

$$Mo = (\overline{R}_1 + \overline{R}_2)r$$
.

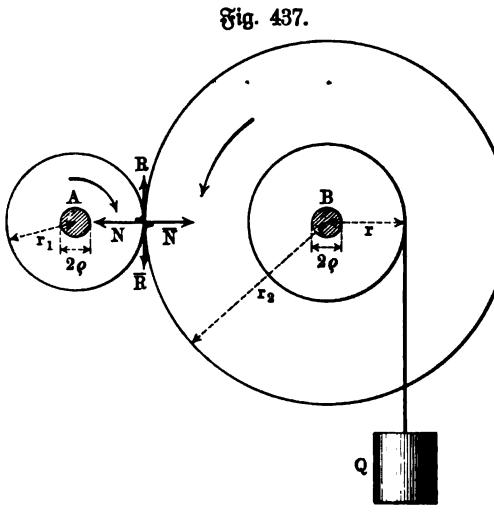
Für I und II wirken $[R_1]$ und $[R_2]$ am Arme r', so daß $R_1 \cdot r' = N_1 f \varrho$ und $R_2 \cdot r' = N_2 \cdot f \cdot \varrho$

ist.

Man hat also

$$Mo = \frac{f \varrho \, r}{r'} \, (N_1 + N_2).$$
§ig. 436.

Sieht man von der geringen, gelegentlich des Kletterns des Zapfens besprochenen Ungleichheit von N_1 und N_2 ab, so ist für $2\,\varepsilon$ als Centriwinkel



$$N_1 = N_2 = \frac{D}{2\cos\varepsilon},$$

d. h. man hat

$$Mo = \frac{\varrho}{r'\cos\varepsilon} (Dfr).$$

Soll also gegenüber Dfr eine Ersparnis eintreten, so muß

 $\varrho < r' \cos \varepsilon$

sein.

Für $\varepsilon = 60^{\circ}$ muß z. B. $2 \varrho < r'$ sein.

Die Werte der Reibungen $[R_1]$ und $[R_2]$, welche nicht bestimmt zu werden brauchen, sind hier nicht etwa als fN_1

und fN_2 anzusehen, da die

Flächen in A_1 und A_2 nicht aufeinander gleiten sollen, sie sind viel geringer.

Wir betrachten diesen Borgang noch etwas genauer, wollen aber dabei den Japsen Z durch ein Kad ersetzt denken, wie es Jig. 437 zeigt, bei der es sich um zwei Reibungsräder A und B handelt. Werden die Umsänge der Käder A und B durch die Kräste [N] und $[\overline{N}]$ gegeneinander gepreßt, so entstehen zugleich die tangentialen Widerstände [R] und $[\overline{R}]$. Soll B, einsschließlich der Überwindung der Zapsenreibung, eine bestimmte Arbeit leisten, so kann man sich diese durch das Auswickeln eines Gewichtes Q am Arme r veranschaulichen, so daß

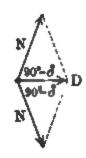
$$\overline{R} \cdot r_1 = Q \cdot r$$

iſt.

Dabei ist $\overline{R} < fN$, falls kein Gleiten stattsinden soll, so daß

$$\frac{Qr}{r_2} < fN$$
 ober $N > \frac{Qr}{fr_3}$

die Bedingung dafür ist, daß B durch Reibung von A mitgenommen wird. Dabei ist f der Reibungskoefficient innerhalb der Bewegung.



Läßt man die Räder durch eine Keilnute (Keilräder) ineinander greisen, wie es Fig. 438 zeigt, so ist $N=\frac{D}{2\sin\delta}$ und $2N=\frac{D}{\sin\delta}$. Demnach ist jest die Bedingung

$$\frac{D}{\sin\delta} > \frac{Qr}{fr_2}$$
 ober $D > \frac{(Qr)\sin\delta}{fr_2}$

zu erfüllen, d. h. in diesem Falle dars D Cleiner sein als im vorigen Falle. Nimmt man noch Rücksicht auf die Einpressung der Räder insolge ihrer Clasticität, so ist zu setzen

$$D > \frac{(Qr)\sin(\delta + \varphi)}{r \cdot \sin \varphi}$$

Für $\delta=15^\circ$ und f=0.1 ist $\frac{f}{\sin\delta}=0.39$ und $\frac{\sin\varphi}{\sin(\varphi+\delta)}=0.28$, so daß $D>\frac{Qr}{r_2}\cdot\frac{1}{0.39}$ im ersten Falle und $D>\frac{Qr}{r_2}\cdot\frac{1}{0.28}$ im dweiten Falle.

Bei Berücksichtigung der Zapfenreibung (f_s) sind für die Zapfen vom Halbmesser ϱ_1 und ϱ_2 die Momente N . f_s . ϱ_1 und N . f_s . ϱ_2 zu überwinden.

Das treibende Moment Mo für A hat bann für die Grenze des Gleitens ben Wert

$$M_0 = r_1 R + N \cdot f_s \cdot \varrho_1 = N(fr_1 + f_s \varrho_1).$$

Ebenfo ift für B an ber Grenge bes Gleitens

$$Rr_2 = rQ + N \cdot f_1 \cdot Q_2$$

b. h.

$$rQ = N(fr_2 - f_s \varrho_2).$$

Daraus folgt

$$Mo = rQ \frac{fr_1 + f_s}{fr_s - f_s} \frac{q_1}{q_2} \sim rQ \cdot \frac{f_s}{f} \cdot \frac{r_1}{r_2} \left(\frac{f}{f_s} + \frac{q_1}{r_1} + \frac{q_2}{r_2} \right).$$

Reduziert man Mo auf den Umfang (r_1) und ebenso rQ auf den Umsfang (r_2) , so ist $Mo = r_1K_1$ und $rQ = r_2K_2$, so daß dann

$$K_1 \sim K_2 + K_2 \left(\frac{\varrho_1}{r_1} + \frac{\varrho_2}{r_2}\right) \cdot \frac{f_2}{f}$$

ift.

Soll die Arbeitsleistung von rQ einer bestimmten Anzahl \overline{N} von Pferdesstärken entsprechen, so hat man für eine Geschwindigkeit v von Q

$$\overline{N}$$
. 75 = $Q \cdot v$.

Dabei ist $v=rac{2\,r\,\pi\,.\,n_2}{60}$, salls n_2 die Tourenzahl von B ist, so daß also

$$Qr = \frac{\overline{N} \cdot 75 \cdot 60}{2\pi \cdot n_2} = 716.2 \cdot \frac{\overline{N}}{n_2}$$

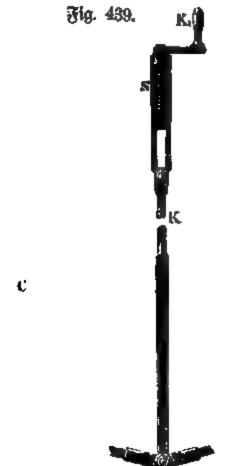
und $K_2 = 716.2 \cdot \frac{\overline{N}}{n_2} \cdot \frac{1}{r_3}$ ist (oder auch = $716.2 \frac{\overline{N}}{n_1} \cdot \frac{1}{r_1}$, falls sich n_1 und $n_2 = 16.2 \frac{\overline{N}}{n_1} \cdot \frac{1}{r_2}$, falls sich n_1 und $n_2 = 16.2 \frac{\overline{N}}{n_2} \cdot \frac{1}{r_2}$, falls sich n_1 und $n_2 = 16.2 \frac{\overline{N}}{n_2} \cdot \frac{1}{r_2}$, falls sich n_2 und $n_3 = 16.2 \frac{\overline{N}}{n_2} \cdot \frac{1}{r_2}$.

If x die Anzahl P . S, welche A bewegt, so ist

$$x = \overline{N} \left[1 + \left(\frac{\varrho_1}{r_1} + \frac{\varrho_2}{r_2} \right) \frac{f_z}{f} \right].$$

11. Bremsvorrichtungen. Als Beispiel mag zunächst die in Fig. 439 bargestellte Badens bremse behandelt werden. Sie besteht aus einem oder zwei Stüden Dolz oder Gußeisen, die gegen den Umfang einer Welle oder eines darauf sizens den Rades gebrüdt werden, hierdurch Reibung erzeugen, um mit Hülfe berselben eine vorhandene Bewegung zu vers nichten oder zu verlangsamen.

Es gehören hierzu die fos genannten Schleifzeuge, die bei ben Juhrwerten zur Anwens dung kommen.



Es soll der Reibungswiderstand bei einem Schleiswerke (Fig. 439) für Eisenbahnräder berechnet werden, bei welchem das Bremsen an zwei Rädern A und A_1 zu gleicher Zeit bewirkt wird. Zu dem Ende wird der Kniehebel DED_1 mittels der Schraube S in eine möglichst horizontale Lage gebracht, wodurch die beiden Laschen B und B_1 gegen die Radumsänge gedrückt werden. Die Kraft an der Kurbel sei K_1 , Länge derselben a, mittlerer Halbmesser der Schraube r_m , h deren Ganghöhe, α_m der mittlere Neigungswinkel und f Reisdungskoefficient sür die Bewegung der Schraube. Weiter sei β der Winkel zwischen einem Arme des Kniehebels und der Zugstange EK, f_1 der Reibungsstoefficient zwischen Radumsang und Backe.

Für diese Annahmen ist

$$R = f_1 \frac{a}{r_m} K_1 \cot(\alpha_m + \varphi) tg \beta.$$

Die Kraft K, mit welcher die Stange in E aufwärts zieht, ist für die Schraube als Last aufzufassen, so daß man hat

$$K_1 a \stackrel{\cdot}{=} Kr_m tg(\alpha_m + \varphi)$$

oder

$$K = \frac{K_1 a}{r_m tg (\alpha_m + \varphi)}.$$

Der horizontale Druck, den der Kniehebel (vergl. S. 302) auf B oder auf B_1 ausübt, ist $\frac{1}{2}Ktg\beta$, die entsprechende Reibung also $\frac{1}{2}f_1Ktg\beta$. An beiden Backen zusammen beträgt also die Reibung

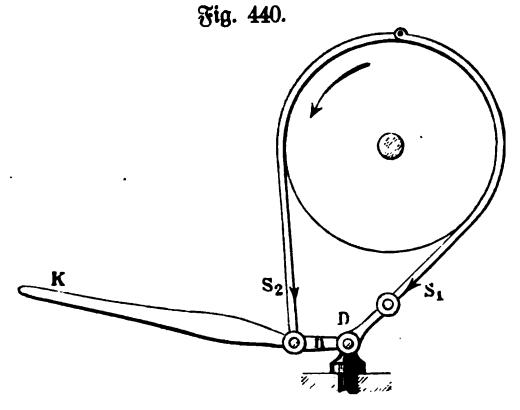
$$R = f_1 \frac{K_1 a}{r_m} \cot(\alpha_m + \varphi) \cdot tg \beta.$$

Wir betrachten ferner eine Kegelbremse, wie sie bei Kuppelungen vor= kommt.

Die Reibung mag auf den Mänteln zweier normalen Kegel hervors gebracht werden. Der Kegel auf der treibenden Welle ist sest und bietet der

Reibung eine konkave Ober= fläche dar, bei dem anderen, der auf der getriebenen Welle verschiebbar ist, geschieht die Reibung auf der konveren Oberfläche.

Es ist das Reibungs= moment Mo zu bestimmen, wenn der verschiebbare Kegel mit einem Drucke P, in Rich= tung der Achse wirksam, gegen den sesten geschoben wird. Zu dem Ende sei r_1 der äußere, r_2 der innere Halbmesser des



reibenden Regelmantels, a der Winkel, den die Seite des Regels mit der Achse bildet, und f der Reibungskoefficient. Man hat hier

$$Mo = \frac{2}{3} \frac{P \cdot \sin \varphi}{\sin (\alpha + \varphi)} \frac{r_1^3 - r_2^3}{r_1^2 - r_2^2}.$$

Der Druck P wird gewöhnlich durch eine Rückgabel mit doppelter Hebel= verbindung übertragen, wonach sich P durch die wirksame Krast K und die Hebelarme a, b, a' und b' wie folgt bestimmt

$$P = \frac{a}{b} \cdot \frac{a'}{b'} K.$$

Die Kraft P_1 , welche bei derartigen Bremsen im Zapfen der inneren Büchsennabe wirksam sein muß, um die Bremse zu lösen, ist

$$P_1 = P \frac{\sin(\varphi - \alpha)}{\sin(\varphi + \alpha)}.$$

Wir betrachten weiter eine Bandbremse, wie sie Fig. 440 (a. v. S.) darstellt. Ist Mo das Woment der an dem Hebel wirksamen Kraft [K] für D als Drehpunkt, so ist

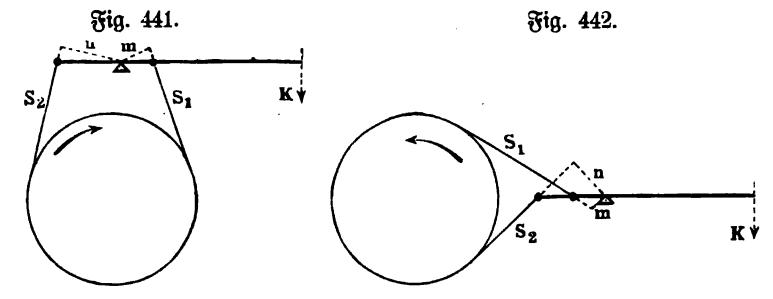
$$Mo = nS_2$$

da $[S_1]$ durch den Drehpunkt geht.

Die Reibung für die Scheibe ist $R=S_1-S_2=S_2\,(e^{\,f\,arc\,\cdot\,\alpha}-1)$, so daß

$$Mo = n \cdot \frac{R}{e^{farc \cdot a} - 1}$$

ist.



Dient die Reibung dazu, eine Last Q am Arme r_2 gleichförmig zu beswegen, so ist für einen Scheibenhalbmesser r_1

$$R \cdot r_1 = Q \cdot r_2,$$

b. h. man hat

$$Mo = n \cdot Q \cdot \frac{r_2}{r_1} \cdot \frac{1}{e^{farc \cdot \alpha} - 1}$$

In den Fig. 441 und 442 sind sogenannte Differentialbremsen dars gestellt, bei denen beide Bandenden an einem zweiarmigen Hebel angebracht sind. Hier ist

$$Mo = S_1 m - S_2 n.$$

Da $S_1 = S_2 \cdot e^{farc \cdot a}$ ist, so kann Mo beliebig klein gemacht werden, wenn man m und n so wählt, daß

$$\frac{n}{m} \sim e^{fare \cdot a}$$
.

Man tann hier ftatt ber Kraft K am Ende bes Hebelarmes allein bas Gewicht bes Hebelarmes benugen.

12. Zahnräder. Wir betrachten hier ben Fall, in dem die Wellen der Räder parallel gelagert sind, so daß es sich um eine sogenannte cylindrische Berzahnung (vergl. S. 150) handelt. Die beiden Wellenachsen mögen in Fig. 443 sentrecht zur Ebene der Zeichnung durchtreten, in den Punkten W. Fig. 443.

und W_2 . Die Räder, welche auf W_1 und W_2 figen, mögen fich in B bestühren, wobei M_1N_1 das Profil eines Zahnes für W_1 und M_2N_2 das Profil eines Zahnes für W_2 darstellt.

Ist γ_1 die Wintelgeschwindigkeit für W_1 , so hat B als Punkt von W_1 die Geschwindigkeit $[b_1\gamma_1]$. Bei der Übertragung der Bewegung erhält W_2 eine Winkelgeschwindigkeit γ_2 , so daß B als Punkt von W_2 die Geschwindigskeit $[b_2\gamma_2]$ hat; es sind $[b_1\gamma_1]$ und $[b_2\gamma_2]$ bezw. senkrecht zu W_1B und W_2B .

Berlegt man diese Geschwindigkeiten in Richtung der Tangente und der Normale von B, so müffen die Normalkomponenten (c_n) infolge des Ein= griffes übereinstimmen, d. h. man hat

$$(b_1\gamma_1)\sin\nu_1=(b_2\gamma_2)\sin\nu_2.$$

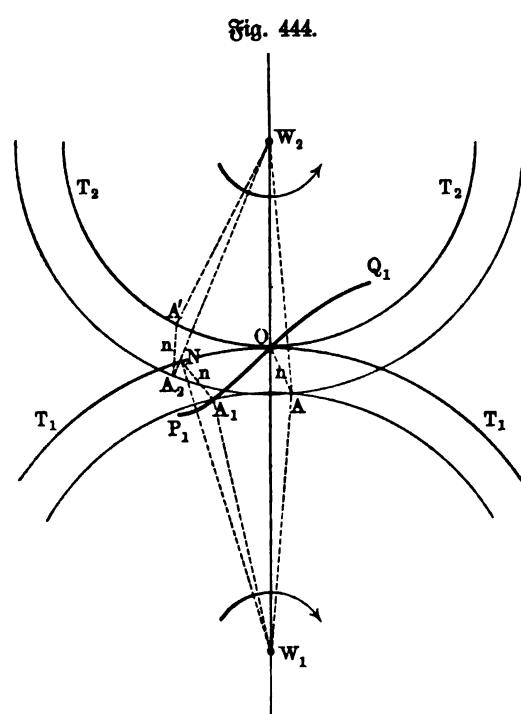
Da nun die Lote p_1 und p_2 bezw. aus W_1 und W_2 auf die Normale die Werte $p_1 = b_1 \sin \nu_1$ und $p_2 = b_2 \sin \nu_2$ haben, so gilt auch

$$p_1\gamma_1=p_2\gamma_2$$
 ober $p_1:p_2=\gamma_2:\gamma_1$.

Daraus solgt, da $p_1:p_2=OW_1:OW_2$ ist,

$$OW_1:OW_2=\gamma_2:\gamma_1.$$

Soll also das Berhältnis der Winkelgeschwindigkeiten $\gamma_1:\gamma_2=\varepsilon$ bei der Bewegung konstant bleiben, so muß die Ror=



male im Berührungs= punkte zweier Bahne stets burch ein und benfelben Punkt O der Centrale W₁ W₂ gehen, und zwar teilt O bie Centralstrede W₁ W₂ im umgekehrten Berhältnisse ber Wintel= geschwindigkeiten y, und y2.

Man nennt diese Bezie= hung das Grundgesetz der Verzahnung.

Schlägt man also um W_1 $\min W_1 O = r_1 \mod um W_2$ mit $W_2O = r_2$ Kreise, so rollen diese Kreise bei der Bewegung für ein konstantes & ausein= ander ab. Diese Kreise heißen die Teilkreise (Primitivum= fänge) der Verzahnung. Hülfe der Teilkreise kann man für ein beliebiges Profil eines Zahnes von W1 das zuge= hörige Profil eines Zahnes von W, bestimmen.

 P_1Q_1 in Fig. 444 sei die gegebene Kurve, welche das Zahnprofil für W_1 giebt. Kommt ein bestimmter Punkt A_1 von P_1Q_1 bei der Bewegung mit einem Punkte A_2 der gesuchten Kurve P_2Q_2 überhaupt in Berührung, so muß der Berührungspunkt A auf der Bahn von A_1 liegen, d. h. auf einem Kreise vom Radius W_1A_1 . Die Normale der Kurve P_1Q_1 in A_1 geht durch O, wenn A_1 nach A gelangt ist. Da die Normale für die Lage A zum Teil= freise von W_1 dieselbe relative Lage hat wie für die Lage A_1 , so kann man OA dadurch bestimmen, daß man die Strecke $A_1N=n$ auf der Normalen in A_1 mißt, d. h. A liegt auf einem Kreise um O vom Radius OA = n.

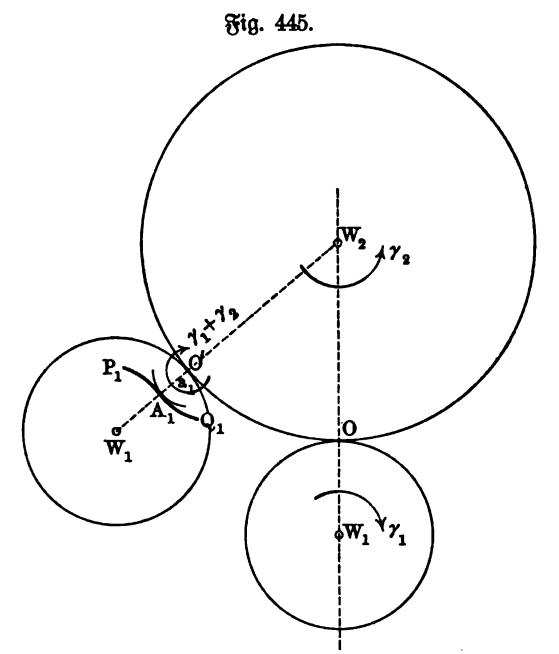
Der Ort ber Berührungspunkte A heißt die Eingriffslinie.

Der Punkt A_2 des gesuchten Prosiles P_2Q_2 , der mit A_1 in A in Berührung ist, muß von W_2 den Abstand W_2A haben, d. h. auf einem Kreise um W_2 vom Radius W_2A liegen. Seine relative Lage zu A_1 sindet man offenbar, indem man A als Punkt von W_1 nach A_1 zurückbewegt und zugleich die entsprechende Lage A_2 von A als Punkt von W_2 aufsucht. Sie entsprechen Abrollen des Teilkreises von W_2 um OA' = ON, da W_1AO in die Lage W_1A_1N gelangt, wenn A als Punkt von W_1 nach A_1 zurücksehrt.

Dabei nimmt W_2OA die Lage $W_2A'A_2$ ein, d. h. $A'A_2 = OA = n$. Dem=nach ist A_2 gegeben durch den Kreis um W_2 vom Radius W_2A und durch den Kreis um A' vom Ra=dius n.

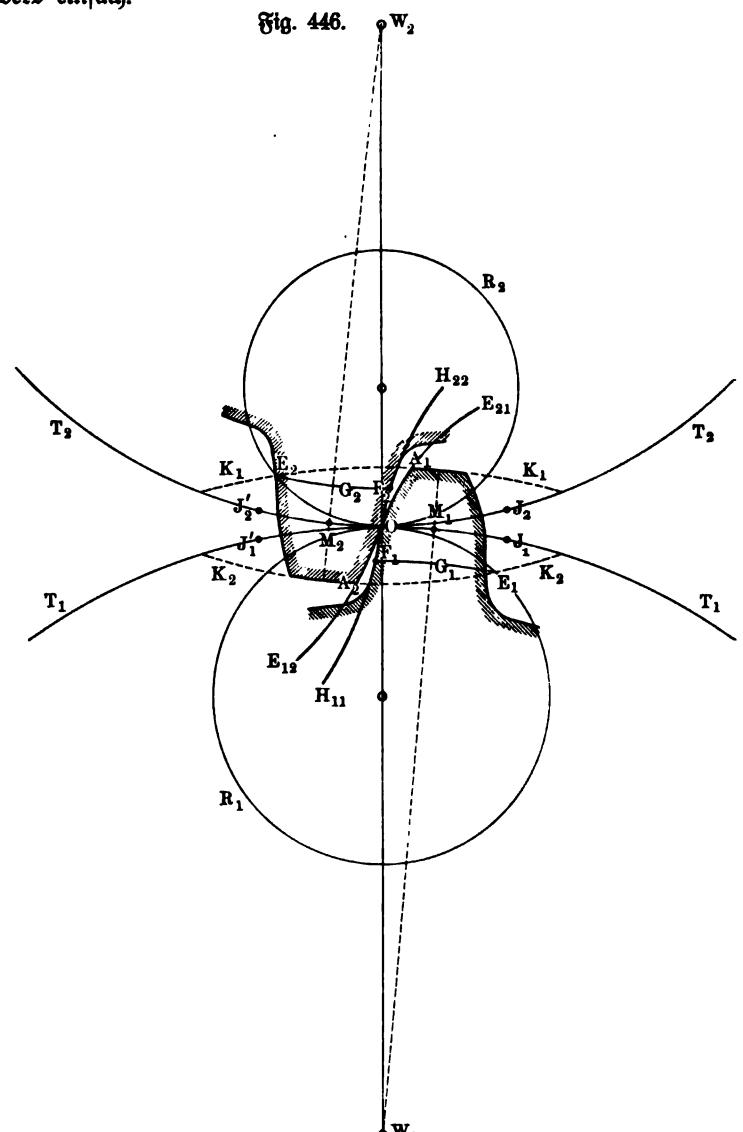
Heuleauf gründet sich unmittelbar das eine der Reuleauxschen Verfahren für die Konstruktion des Prosiles für W_2 .

Eine andere Konstruktion (vergl. S. 149) ergiebt sich nach Poncelet, indem man das Abrollen von P_1Q_1 auf dem zu bestimmenden Profile P_2Q_2 näher unterssucht. Nan dentt sich dazu beiden Kädern außer ihren Winkelgeschwindigkeiten γ_1



und γ_2 noch die Winkelgeschwindigkeit — γ_2 erteilt, und zwar so (um W_2), daß W_2 ruht und die Relativbewegung von W_1 gegen W_2 untersucht werden kann. Es rollt jetzt der Teilkreiß von W_1 (zugleich mit seinem Prosile P_1Q_1) auf dem ruhenden Teilkreise von W_2 ab, so daß die verschiedenen Lagen von P_1Q_1 die gesuchte Linie P_2Q_2 einhüllen. Dabei ist die Winkelgeschwindigkeit von W_1 für den Berührungspunkt O' der Kreise als Drehpunkt $\gamma_1+\gamma_2$. Ein Punkt A_1 des Prosiles P_1Q_1 beschreibt also in der Zeit τ , sür $lim\tau=0$ den Bogen $a_1(\gamma_1+\gamma_2)\tau$, salls $O'A_1=a_1$ gesett wird. Thatsächlich geht durch O in der Zeit τ der Bogen $(r_1\gamma_1)\tau$ vom Teilkreise W_1 und der Bogen $(r_2\gamma)\tau$ von dem Teilkreise W_2 . Bezeichnet man diese Bogen, welche einander gleich sind, durch b, so ist $a_1(\frac{1}{r_1}+\frac{1}{r_2})b$ der Bogen für A_1 (vgl. Fig. 445).

Für die Profile werden die cyklischen Kurven [Cykloide, Epicykloide, Hypocykloide (Pericykloide) und Kreisevolvente] verwandt, welche durch Ab-Bernicke, Mechanik. I. rollen von Kreisen und Geraden auf Kreisen entstehen; die Konstruktion der Normalen (mit Hülse des augenblicklichen Drehpunktes) ist für diese Kurven besonders einsach.



Für die Kreisevolvente ist die Eingriffslinie eine Gerade, für die anderen Profilkurven ein Kreis.

In Fig. 446 sind zur Erzeugung der Jahnprofile die beiden Rollfreise (Wälzungstreise oder Radfreise) R_1 und R_2 eingeführt. Durch Abrollen von R_1 innerhalb des Teilfreises T_1 entsteht die Hypocytloide $OH_{1,1}$, durch Ab-

rollen von R_1 auf dem Teilfreise T_2 entsteht die Epicykloide $OE_{1,2}$. Durch Abrollen von R_2 innerhalb des Teilfreises T_2 entsteht die Hypocykloide $OE_{2,2}$, durch Abrollen von R_2 auf dem Teilfreise T_1 entsteht die Epicykloide $OE_{2,1}$. Schlägt man mit der halben Zahnbreite um O einen Kreis $(M_1$ und $M_2)$, so sind die Durchmesser W_1M_1 und W_2M_2 die Symmetralen der beiden Zähne, so daß die bereits bestimmten Kurven um sie geklappt werden müssen, um die äußeren Zahnflanken zu geben. Durch die Kreise K_1 und K_2 , welche Kronenkreise (Kopskreise) genannt werden, und durch entsprechende Kreise, welche Wurzelkreise (Fußkreise) genannt werden, begrenzt man die Zähne vollständig.

Die Eingriffslinie liegt auf den beiden Rolltreisen; die Eingriffsbahn, welche wirklich benutt wird, wird auf ihnen durch die Kronenkreise abgegrenzt, so daß sie durch $E_1 O E_2$ dargestellt wird.

Sind von den Teilfreisen T_1 und T_2 die Bogen J_1OJ_1' und J_2OJ_2' zur Erzeugung der Jähne wirklich benutt worden (Eingriffsbogen), so ist $E_1OE_2 = J_1OJ_1' = J_2OJ_2'$. Bei Beginn des Eingriffes in E_1 berühren sich dort A_2 und F_1 , so daß sür die gezeichnete Stellung OA_2 und OF_1 in Berührung gewesen sind, deren relative Berschiebung $OA_2 - OF_1$ beträgt. Bei der weiteren Bewegung kommen schließlich in E_2 die Punkte A_1 und F_2 zur Bestührung, so daß nach der gezeichneten Stellung OA_1 und OF_2 zur Berührung gekommen sind, deren relative Berschiebung $OA_1 - OF_2$ beträgt.

Bezeichnet man den mittleren Normaldruck für den ganzen Eingriff durch N, so ist die mittlere Reibung durch fN darstellbar, und ihre Arbeit $A_{\mathfrak{R}}$ ist im Mittel

$$\mathfrak{A}_{\mathfrak{R}} = fN[(\widehat{OA}_{2} - \widehat{OF}_{1}) + (\widehat{OA}_{1} - \widehat{OF}_{2})] \\
= fN[(\widehat{OA}_{2} - \widehat{OF}_{2}) + (\widehat{OA}_{1} - \widehat{OF}_{1})] \\$$
. . . 186)

Da [N] während des ganzen Eingriffes in seiner jeweiligen Richtung die Bahn E_1OE_2 zurücklegt, so ist die dabei geseistete Arbeit

Man hat also den verhältnismäßigen Verlust an Arbeit durch gleitende Reibung in Bezug auf die Nuzarbeit gegeben als

$$\mathfrak{B} = \frac{\mathfrak{A}_{\mathfrak{R}}}{\mathfrak{A}} \cdot 188)$$

Die entwickelte Formel ist die Grundlage für die graphische Be= stimmung der Reibungsarbeit bei Zahnrädern.

Ihre Umsetzung in eine, für die Rechnung geeignete Form, scheitert naturgemäß daran, daß die Ausdrücke für die Bogen, welche in ihr auftreten, äußerst verwickelt sind.

Man pflegt deshalb einen rechnerischen Ausdruck für die sogenannte Gradslankenverzahnung zu entwickeln und diesen auch für andere Verzahnungen zu benutzen, was bei der Unsicherheit in Bezug auf die Bestimmung von f und N sehr wohl zu rechtsertigen ist.

Bei der äußeren Gradslankenverzahnung, welche Fig. 447 darstellt, greift von dem einen Rade nur die Krone, von dem anderen nur die Wurzel ein, so daß der ganze Eingriff auf der einen Seite von O erfolgt.

Hier ist $\mathfrak{B} = f \cdot \frac{\widehat{OA}_1 - \widehat{OF}_1}{\widehat{OE}_1}.$ Fig. 447. T_2 T2 T_1

Dreht man die Räder zurück nach E_1 , so daß $\widehat{O''E_1}$ mit $\widehat{OA_2}$ und $\widehat{E_1O'}$ mit $\widehat{OF_1}$ kongruent ist, so ist

$$\mathfrak{B} = f \cdot \frac{\widehat{O''PO'}}{\widehat{OE_1}},$$

ober auch

$$\mathfrak{B} \sim \frac{p_1 + p_2}{\widehat{OE}_1},$$

falls man die Projektionen p_1 und p_2 auf die Achsenrichtung $W_1\,W_2$ einführt.

Sind r, und r, bie Radien der Teiltreife, fo ift

$$2r_1 \cdot p_1 = \overline{00'}^2 \sim \widehat{00'}^2
2r_2 \cdot p_2 = \overline{00'}^2 \sim \widehat{00'}^2.$$

Man hat also

$$\mathfrak{B} \sim f \cdot \left(\frac{\widehat{OO'^2}}{2 r_1} + \frac{\widehat{OO'^2}}{2 r_2} \right) \cdot \frac{1}{\widehat{OE}}$$

Bezeichnet man \widehat{OE}_1 , b. h. die thatsächlich benutzte Eingriffslinie, durch e, so ist, da $\widehat{OO'} = \widehat{OO''} = \widehat{OE}_1 = e$ ist,

$$\mathfrak{B} \sim \frac{1}{2} f\left(\frac{1}{r_1} + \frac{1}{r_2}\right) e \dots 189$$

Für die sogenannte innere Bergahnung (Centren W, und W, auf berselben Seite von O) gilt ebenso

$$\mathfrak{B} \sim \frac{1}{2} f\left(\frac{1}{r_1} - \frac{1}{r_*}\right) e$$

Da die Entfernung zweier Zähne, gemessen im Teilkreisbogen, als Teislung t bezeichnet wird, so gilt für die Zähnezahlen x_1 und x_2

$$2\pi r_1 = s_1 t$$
 und $2\pi r_2 = s_1 t$.

Andererseits ist $e = \varphi t$, wobei φ proportional ist zur Dauer des Einsgriffes. Man hat also auch

$$\mathfrak{B} = \pi f \left(\frac{1}{z_1} \pm \frac{1}{z_2} \right) \varphi \quad . \quad . \quad . \quad . \quad 190)$$

Dabei gilt das Zeichen + für äußere Berzahnung (Bollräder), das Zeichen — für innere Verzahnung (Hohlräder).

Für f gaben die Bersuche 0,3 bis 0,1, bei gut eingelaufenen Radern kunn f auch noch unter 0,1 finken.

13. Die Schraube ohne Ende. Wenn sich die Wellen zweier Räder schneiden, anstatt parallel zu sein, so verwendet man Regelräder (konische Berzahnung, vergl. S. 150). Kreuzen sich Fig. 448.

die Wellen, so sind wiederum besondere Radsormen einzusühren, salls man nicht durch Einführung einer Hals weile das Räderpaar durch zwei Paare konischer oder durch ein Paar cylindrischer und ein Paar konischer Räder ersetzt.

Areuzen sich die Wellen unter rechtem Winkel, so kann man mit einer Schraube (Schnecke) und einem Schraubenrade die Übertragung der Bewegung (Schraube ohne Ende) bewirken (Fig. 448).

Das Moment Mo für die Schraube, für welche ber Druck P des Rades als Last anzus

sehen ist, beträgt nach Formel 171) für am als Steigung der mittleren Schraubenlinie

$$Pr_m tg(\alpha_m + \varphi).$$

Außerdem ist die Reibung im Lager zu berücksichtigen, wobei namentlich das einseitige Anpressen der Schraube durch [P] in Frage kommt.

Man kann das entsprechende Moment nach den Formeln der Zapfensreibung bestimmen oder dasselbe durch Versuche feststellen. Wan pslegt ihm dadurch Rechnung zu tragen, daß man 10 Proz. zuschlägt und also mit

$$Mo = 1.1 Pr_m \cdot tg(\alpha_m + \varphi)$$

rechnet.

Bei guter Ölung ist $tg \varphi = 0,1$ zu setzen.

Selbsthemmung tritt also ein für $tg \, \alpha_m < 0.1$.

Den Achsendruck der Schnecke beseitigt man dadurch, daß man zwei Schnecken auf derselben Welle verwendet, von denen die eine rechts, die andere links gewunden ist, während sie sonst miteinander übereinstimmen, und diese zwei im Eingriff befindliche Schraubenräder mit parallelen Achsen treiben läßt.

Für die Reibung beim Gleiten der Zähne in ihrer Breitenrichtung setzt man den verhältnismäßigen Arbeitsverlust an als

$$\mathfrak{B} = \frac{f\left(\frac{2\pi r_m}{t} + \frac{t}{2\pi r_m}\right)}{1 - \frac{t}{2\pi r_m}f},$$

falls t die Teilung und r_m den mittleren Halbmesser der Schrauben (Schnecken) bezeichnet.

Den Arbeitsverlust durch die eigentliche Zahnreibung hat man für sals Zähnezahl und φ als Dauer des Eingriffes durch

$$\mathfrak{B} = \frac{\pi f}{e} (\frac{1}{2} \varphi^2 - \varphi + 1)$$

zu bestimmen.

Wird das Schraubenrad zum Heben einer Last Q am Arme r benutt, so ist für R_1 als Hebelarm von P

$$PR_1 = Qr$$

bei Vernachlässigung der Widerstände im Lager des Rades bezw. der Seilssteifigkeit.

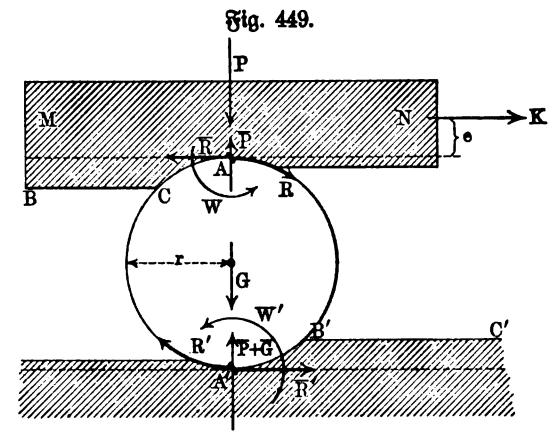
Ersetzt man noch Mo durch eine Kraft K am Arme l, so ist in diesem Falle

$$K = 1.1 Q \cdot \frac{r}{R_1} \cdot \frac{r_m}{l} \cdot tg(\alpha_m + \varphi).$$

14. Gleichförmige Bewegung von Fuhrwerken. Wird ein Körper MN auf eine Walze gelegt, wie es Fig. 449 darstellt, so tritt an den Punkten A und A' rollende Reibung auf, wenn die Kraft K in Wirksamkeit tritt. Wäre die Walze mit dem Boden sest verbunden, so würde bei A die gleitende Reibung fP auftreten. Wäre die Walze mit dem Körper MN sest vers

bunden, so würde bei A' die gleitende Reibung f'(P+G) auftreten. Da beides nicht der Fall ist, entwickelt sich bei A nur ein Bruchteil R von fP

und bei A' nur ein Bruchsteil R' von f'(P+G). Dafür findet ein Einsinken der Walze in den Boden und ein Einsinken des Körpers gegen die Walze statt, wie es die Linien ABC und A'B'C' in starker Berzerrung darstellen. Diesem Einsinken entspricht sür A als Drehpunkt das Moment der rolslenden Keibung $W=P.f_r$ und sür A' als Drehpunkt das Moment der rollenden Keibung $W'=(P+G)f'_r$.



Betrachtet man nur die Walze, so ist für A als Drehpunkt R'. 2r = W und für A' als Drehpunkt R. 2r = W', falls eine gleichförmige Drehung der Walze entstehen soll. Man hat also

$$\overline{R} = R = \frac{1}{2r} (P + G) f'_r$$
 und $R' = \overline{R}' = \frac{1}{2r} \cdot P \cdot f_r$

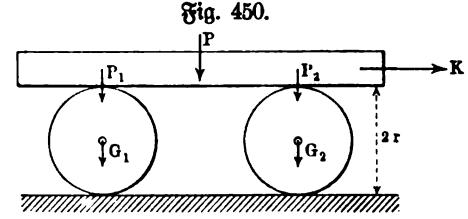
Bringt man alle Horizontalkräfte, die auf MN wirken, unter Abspaltung der entsprechenden Kräftepaare, in A an, so folgt

$$K = R' + \overline{R}$$

b. h.

$$K = \frac{1}{2r} [P.f_r + (P + G)f_r'].$$

Legt man den Körper auf zwei Walzen, so zerlegt sich P auf irgend eine Weise in P_1 und P_2 , und dieser Zerlegung entspricht eine Zerlegung von K in K_1 und K_2 .



Man hat dann

$$K_1 = \frac{1}{2r} [P_1 \cdot f_r + (P_1 + G)f'_r]$$

und

$$K_2 = \frac{1}{2r} [P_2 \cdot f_r + (P_2 + G)f'_r],$$

b. h. man erhält

$$K = K_1 + K_2 = \frac{1}{2r} [P \cdot f_r + (P + G)f_r'].$$

Für $f_r = f_r'$ ergiebt sich im besondern

$$K = \frac{f_r}{2r} (2 P + G).$$

Betrachten wir nun das Rad eines Juhrwerkes, so müssen wir das Gewicht P des rollenden Teiles und das Gewicht P_1 des fortschreitenden Teiles unterscheiden. Bei gewöhnlichen Wagen besteht der rollende Teil nur in dem Rade, bei Eisenbahnwagen, wo Rad und Achse sest verbunden sind, aber aus Rad und Achse.

Für A ist das Moment der rollenden Reibung $(P+P_1)f_r$ zu über= winden, für O außerdem das Moment der Japfenreibung, welche P_1 ent= spricht, also P_1f_0 . (Vergl. Fig. 451.)

Nimmt man A als Drehpunkt, so ist hier für eine wagerechte Kraft K in O

$$Kr = (P + P_1)f_r + P_1f\varrho.$$

Dieselbe Betrachtung gilt auch für ein Räberpaar an einer Achse bezw. für mehrere Räberpaare.

Ist die Bahn geneigt, so ändert sich an dem Reibungsmomente der Zapfen nichts, während der Normaldruck für die rollende Reibung in $(P+P_1)\cos \alpha$

Fig. 451.

Fig. 452.

übergeht (vergl. Fig. 452). Hier gilt also für die Kraft K', welche diese Widerstände zu überwinden hat, für jedes Rad

$$K' = \frac{(P + P_1) f_r \cdot \cos \alpha + P_1 f \varrho}{r}.$$

Außerdem sind aber noch die Komponenten $P\sin\alpha$ und $P_1\sin\alpha$ zu überwinden, so daß hier

$$K_1 = K' + (P + P_1) \sin \alpha$$

zu setzen ist.

Da α für die thatsächlich vorhandenen Bahnen oder Wege sehr klein ist, so ist wegen $\cos\alpha=1-\frac{arc\ \alpha^2}{1\cdot 2}+\cdots$ und $\sin\alpha=\frac{arc\ \alpha}{1}-\cdots$, in erster Annäherung $\cos\alpha=1$ und $\sin\alpha=arc\ \alpha$, so daß

$$K_1 = \frac{(P + P_1)f_r + P_1f\varrho}{r} + (P + P_1)arc\alpha = K + (P + P_1)arc\alpha$$
gesett werden darf.

Bei Verwendung von Seilen oder Zahnstangen ist diese Betrachtung nicht mehr zulässig, da a hier größere Werte annimmt.

Für das gleichmäßige Ablassen eines Wagens auf geneigten Bahnen bei Benutzung eines Seiles von der Spannung S hat man

$$(P + P_1)\sin\alpha - S = K'.$$

Für einen bestimmten Winkel α_0 tritt ohne Anwendung eines Seiles (S=0) gleichförmige Bewegung abwärts ein, man hat für $\cos\alpha_0=1$ und $\sin\alpha_0=rc\alpha_0$ unmittelbar

$$arc \alpha_0 = \frac{(P+P_1)f_r + P_1f_Q}{r(P+P_1)} = \frac{Kr}{r(P+P_1)} = \frac{K}{P+P_1}$$

Demnach ist auch für die Bewegung auf ebener Bahn

$$K = (P + P_1) \operatorname{arc} \alpha_0.$$

Da α_0 durch Versuche verhältnismäßig leicht bestimmt werden kann, während die Bestimmung von f_r und dessen Verwendung nicht einwandfrei ist, so pflegt man α_0 unter dem Namen "Gleichgewichtsneigung" auch der Theorie zu Grunde zu legen.

Man hat dann $K' \sim K$ und findet so

$$K_1 = (P + P_1)(\sin \alpha + \arcsin \alpha_0)$$

 $\sim (P + P_1) \operatorname{arc}(\alpha + \alpha_0)$

und

$$S \sim (P + P_1) arc(\alpha - \alpha_0)$$

Bezeichnet man $arc \, \alpha_0$, welches durch $sin \, \alpha_0$ oder $tg \, \alpha_0$ ersetzt werden darf, durch \overline{f} , so spielt \overline{f} die Rolle eines Reibungskoeffizienten, d. h. die Beswegung kann so beurteilt werden, als wenn gleitende Reibung vorhanden wäre mit dem Koeffizienten \overline{f} .

Thatsächlich wirkt [K] nicht, wie bisher angenommen wurde, in der Höhe der Achsen, sondern oberhalb derselben. Eine Betrachtung, welche der Untersuchung auf \mathfrak{S} . 533 entspricht, zeigt aber, daß durch diese Parallelverschies bung von [K] in den Beziehungen parallel zur Fahrbahn nichts geändert wird, nur sentrecht dazu (Druckverteilung) treten Anderungen auf, welche aber auf die abgeleiteten Formeln ohne Einfluß sind.

Abungen zur Lehre von den Reibungen.

Ein Körper liegt auf einer horizontalen Unterlage, hat ein Gewicht von 62,75 kg und wird durch eine Kraft von 15,25 kg, die nach horizontaler Richtung wirkt, so eben fortbewegt.

Wie groß ist der Reibungskoeffizient?

0,243.

Ein mit Eisen beschlagener Schlitten von 150 kg Gewicht wird auf einer horizontalen Schneebahn gerade fortgezogen.

Wie groß ist die dazu notwendige Kraft, wenn f = 0.06 ist?

3. Für eine auf Straßenpflaster fortgezogene Schleife ist f=0.45. Wie groß ist die zum Fortziehen notwendige Kraft, wenn die Schleife mit der Last 250 kg wiegt?

Wie groß ist die Kraft zum Anziehen der Schleife, wenn der Reibungs= koeffizient der Ruhe 0,7 ist?

Ein mit Eisen beschlagener Schlitten von 25 kg Gewicht wird auf einer horizontalen Schneemasse in Bewegung gesetzt.

Welchen Weg legt derselbe zurück, wenn eine Arbeitsgröße von 20 mkg auf ihn übertragen wurde und der

Reibungskoeffizient 0,05 ist?

Fig. 453.

16 m.

Wenn ein Körper vom Ge= wichte G auf einer wagerechten Ebene fortbewegt werden soll durch eine Kraft, mit dieser den Winkel abildet, so sind zwei Anordnungen (vergleiche

Fig. 453) möglich: K_1 wirkt ziehend und K_2 wirkt schiebend. Beachtet man ben Winkelpseil W, so hat $[K_2]$ die Neigung 360° — α , wenn $[K_1]$ die Neigung α hat. Für wagerechte Kräfte $[K_1]$ und $[K_2]$ fällt dieser Unter= schied fort.

Man hat (vergl. S. 539)

$$K_1 = G \frac{\sin \varphi}{\cos(\alpha - \varphi)}$$
 und $K_2 = G \cdot \frac{\sin \varphi}{\cos(\alpha + \varphi)}$.

6. Die Betrachtung der Aufgabe Nr. 5 ist für die schiefe Ebene $[\alpha]$ durchzuführen, wobei ϵ den Winkel der Kräfte gegen diese bezeichnen mag, und zwar für das Hinaufziehen und Ablassen einer Last G. Für Kräfte, parallel zur schiefen Ebene, fällt dieser Unterschied fort.

$$K_1 = G \frac{\sin{(\alpha \pm \varphi)}}{\cos{(\varepsilon \mp \varphi)}}$$
 und $K_2 = \frac{G \sin{(\alpha \pm \varphi)}}{\cos{(\varepsilon \pm \varphi)}}$.

- 7. Welche Beziehungen zeigen die Werte für K_1 und K_2 in Nr. 6?
- 8. Wie groß ist K_2 für $G=270\,\mathrm{kg}$ und f=0.49 (Holz auf Guß=eisen), falls die schiefe Ebene die Neigung 65° 7' hat und die Kraft mit der schiefen Ebene den Winkel 37° 13' bildet?

$$K_2 = 601.2 \text{ kg}$$
 beam. 173.2 kg.

- 9. Welchen Winkel ε bildet eine Kraft [G] mit einer schiefen Ebene von der Neigung α , auf welcher sie einen Körper vom Gewichte [G] hält? Für die ziehende Kraft ist $\varepsilon = 90^{\circ} \alpha$, für die schiebende Kraft ist $\varepsilon = 90^{\circ} \alpha + 2 \varphi$.
- 10. Ein Körper aus Granit liegt auf einer geneigten Ebene aus Holz, die den Winkel $40^{\circ}\,7'\,3''$ mit der Horizontalebene bildet, f=0.53. Der Körper soll auf der Ebene durch eine im Schwerpunkte desselben wirksame Kraft gehalten werden, welche gleich dem Gewichte des Körpers ist.

Welchen Winkel bildet die Kraftrichtung mit der Richtung der geneigten Ebene für die Grenze des Gleitens?

- 11. Welche Beziehungen gelten für Nr. 9 und 10?
- 12. Die Anwendung Nr. 4 des ersten Kapitels dieses Abschnittes ist unter Berücksichtigung der Reibung auf den Ebenen zu behandeln, salls die Cylinder der Fig. 203 durch Körper mit ebener Grundsläche ersetzt werden. Für die Bewegung in der Richtung der Pfeile gilt für den Fall des Gleichzgewichtes

$$P_1 \sin{(\alpha_1 - \varphi)} = P_2 \sin{(\alpha_2 + \varphi)}.$$

Für das Ablassen von P_2 , d. h. für die Bewegung gegen die Pfeile gilt $P_1 \sin{(\alpha_1 + \varphi)} = P_2 \sin{(\alpha_2 - \varphi)}$.

Damit sind die Grenzen für P_1 bei gegebenem P_2 bestimmt, salls Ruhe vorhanden sein soll. Im ersten Falle ist bei beschleunigter Bewegung

$$S = \frac{P_1 P_2}{P_1 + P_2} \frac{\sin{(\alpha_1 - \varphi)} + \sin{(\alpha_2 + \varphi)}}{\cos{\varphi}} u. f. f.$$

13. Die Betrachtung der Nr. 12 ist durchzuführen für die folgende Anwendung Nr. 5. Für die beschleunigte Bewegung im Sinne der Pfeile gilt

$$\iota = \frac{P_1 r_1 \sin{(\alpha_1 - \varphi)} - P_2 r_2 \sin{(\alpha_2 + \varphi)}}{\cos{\varphi} (P_1 r_1^2 + P_2 r_2^2)} \cdot g \text{ u. f. f.}$$

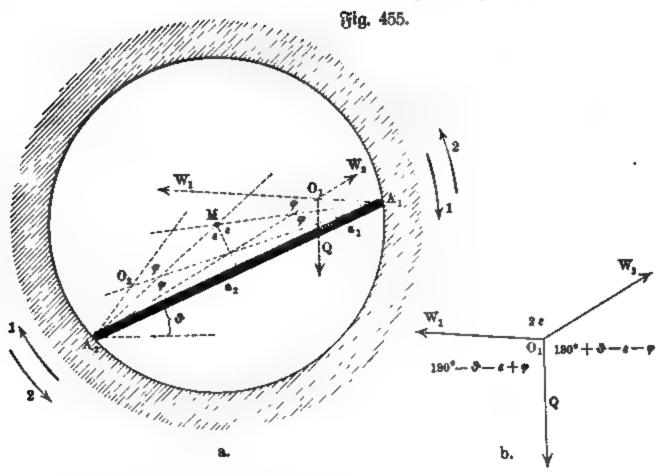
14. und 15. Graphostatische Bestimmung für Nr. 12 und Nr. 13.

16, In einem Hohlcylinder befindet sich ein Körper, dessen Stützsläche dem Cylinder angepaßt ist, auf der Grenze der Bewegung. Welche Lage hat er? Bergl. Fig. 454.

b. h.
$$a = f = tg \varphi,$$
$$\alpha = \varphi.$$

Der Reibungstegel für MM' als Achse umfaßt alle möglichen Ruhelagen bes Schwerpunttes S.

17. In einem Hohlcylinder besindet sich ein prismatischer Stab, dessen Achse die Cylinderachse sentzrecht kreuzt. Welche Beziehungen treten hier auf? Bergl. Fig. 455. Durch die Länge 1 des Stabes und den Halbmesser wird s bestimmt. Für die Bewegungspfeile 1 ist O₁, sür die Bewegungspseile 2 ist O₂ der Durchschnittspunkt der wirkenden Kräste bei voller Entwickelung der Reibung. Bergl. Fig. 455.



Far O, folgt gemäß Fig. 455 b

b. h.

$$\frac{a_2}{a_1} = \frac{\cos(\varepsilon - \varphi) \cdot \sin(\varepsilon + \varphi - \vartheta)}{\cos(\varepsilon + \varphi) \cdot \sin(\vartheta + \varepsilon - \varphi)},$$

$$\begin{aligned} tg\,\vartheta &= \frac{a_1\,\cdot tg\,(\varepsilon\,+\,\varphi)\,-\,a_1\,tg\,(\varepsilon\,-\,\varphi)}{a_1\,+\,a_2}\cdot\\ \mathfrak{F} &\text{for } a_1 =: a_2\,\,\text{iff} \\ tg\,\vartheta &= \frac{\sin 2\,\varphi}{2\cos\left(\varepsilon\,+\,\varphi\right)\,\cdot\,\cos\left(\varepsilon\,-\,\varphi\right)}\cdot \end{aligned}$$

Far Og gilt Entsprechenbes.

18. Eine Rugel (Cylinder) liegt zwischen zwei um B drehbaren Ebenen A_1B und A_2B . Bei welchem Drucke P bewegt sich die Rugel auswärts, falls alle Kräfte in einer Vertikalebene liegen? Vergl. Fig. 456.

Für die Ebene links ist das Gleichs gewicht bedingt durch

$$hP - m\bar{N}_1 = 0.$$

Entsprechendes gilt für die Ebene rechts. Für die Kugel gilt als Bedingung des Gleichgewichtes $(N_1 = N_2 = N)$

$$2 N \frac{\sin(\varepsilon - \varphi)}{\cos \varphi} = G.$$

Man hat also

$$P = \frac{1}{2} \frac{G \cdot m \cdot \cos \varphi}{h \cdot \sin (\varepsilon - \varphi)}$$

ober für $m = R \cot \varepsilon$

$$P = \frac{1}{2} G \cdot \frac{R}{h} \cdot \frac{\cot \varepsilon \cdot \cos \varphi}{\sin(\varepsilon - \varphi)}.$$

19. Ein prismatischer Stab lehnt sich bei A auf eine Horizontalebene, während er bei B durch ein über eine Rolle geführtes Seil gehalten wird. Welche Beziehungen treten auf, falls alle Kräfte in einer Vertitalebene liegen? Vergl. Fig. 457.

Die Gleichung

$$\cos{(eta-arphi)}=rac{P}{Q}\sin{arphi}$$

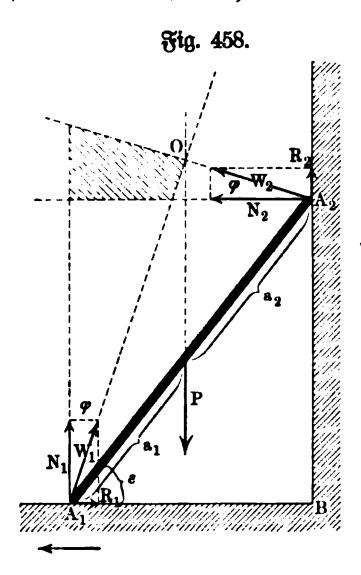
δig. 457.

Fig. 456.

giebt den Wert von β , durch den dann α bestimmt ist gemäß der Gleichung (Drehpunkt A)

$$tg \alpha = \frac{(a+b) Q \sin \beta - a P}{(a+b) Q \cos \beta}.$$

20. Für den prismatischen Stab der Fig. 458 soll der Winkel & bes stimmt werden, welcher der Grenze des Gleitens entspricht.



$$tg\,\varepsilon=\frac{a_1-a_2\,f^2}{(a_1+a_2)\,f}.$$

Für
$$a_1 = a_2$$
 ist $tg \varepsilon = \frac{1 - f^2}{2f}$,

man hat also z. B. für $f = 0.4 \epsilon = 46^{\circ}41'$.

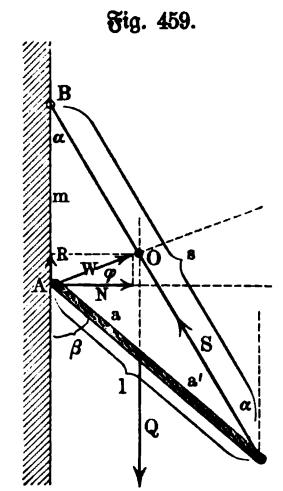
Bei unvolltommener Entwickelung der Reibung muß [P] das gemeinsame Gebiet der Reibungstegel treffen, soweit dieses in Frage kommt. Bergl. die Entwickelung auf S. 535 für $\alpha_1 = 0$ und $\alpha_2 = 90^{\circ}$.

21. Wie groß ist ε für den Stab der vorigen Aufgabe, wenn er über eine Mauerkante A_2B gelehnt wird?

$$\sin 2\varepsilon = \frac{2f}{1+f^2} \cdot \frac{a_1+a_2}{a_1}$$

$$= \sin 2\varphi \cdot \frac{a_1+a_2}{a_1}.$$

22. Die Bedingung des Gleichgewichtes für den in Fig. 459 dar= gestellten prismatischen Stab ist zu bestimmen.



[Q] und [S] müssen sich im Reibungstegel von A, soweit dieser hier in Frage kommt, schneiden. Bei voller Entwickelung der Reibung gilt

$$S = Q \cdot \frac{\cos \varphi}{\cos (\alpha - \varphi)}$$

$$N = Q \cdot \frac{\cos \varphi \cdot \sin \alpha}{\cos (\alpha - \varphi)}$$

Für A als Drehpunkt gilt des weiteren

$$Qa\sin\beta = S \cdot m\sin\alpha$$
,

wobei $m = s \cos \alpha - l \cos \beta$ ist. Da serner $s \cdot \sin \alpha = l \cdot \sin \beta$ ist, so ist α bestimmbar und damit β oder umgekehrt.

Für
$$a + a' = l$$
 erhält man, falls $a = a'$ ist
$$tg^2 \alpha \left[l^2 - s^2 - \frac{1}{4} f^2 s^2 \right] + \frac{1}{2} f s^2 tg \alpha$$

$$+ l^2 - \frac{1}{4} s^2 = 0.$$

23. Ein prismatischer Stab stützt sich, wie Fig. 460 zeigt, auf zwei wagerecht parallele Pslöcke. Welche Beziehungen treten auf, wenn die Achse des Stabes, dessen Gewicht vernachlässigt werden mag, die Achsen der Pslöcke unter rechten Winkeln kreuzt? Vergl. Fig. 460.

Bei voller sentwickelung der Reibung gilt

$$N_{1} = \frac{Q \cdot \sin(\alpha - \varphi)}{2 \sin \varphi}$$

$$N_{2} = \frac{Q \cdot \sin(\alpha + \varphi)}{2 \sin \varphi}$$

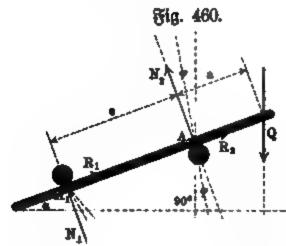
$$e \cdot tg \alpha = (2 a + e) tg \varphi$$

ober

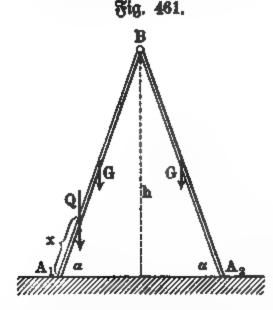
$$a = \frac{1}{2} e \frac{\sin{(\alpha - \varphi)}}{\cos{\alpha} \cdot \sin{\varphi}}$$

Für $\alpha = \varphi$ ist a = 0, für $\alpha > \varphi$ liegt Q rechts von A_2 , für $\alpha < \varphi$ liegt Q links pon Ag.

Bei unvollständiger Entwickelung ber Reibung zeigt bas Gebiet ber



Reibungstegel die Löfung; in Fig. 460 ift die Ronftruktion für α == φ durchgeführt, bei voller Entwickelung der Reibung muß [Q] burth T_1 gehen (a = 0), für $\varphi < \alpha$ ruckt babei T_1 nach rechts (a>0), für $\varphi>\alpha$ rüdt babei T_1 nach links (a < 0). Bunkt N entspricht bem Gleichgewichte bei unvollständiger Entwickelung der Reibung.



Welche Beziehungen bietet eine Trittleiter (vergl. Fig. 461) bar? Belche Beziehungen bietet eine symmetrisch aufgestellte Trittleiter bar, von der jeder Schenkel das Gewicht [G] hat, während auf A_1B eine LastQaufwärts bewegt wird?

Wie wirkt eine wagerechte Verbindungsstange ein?

Für die Losung vergl. Die Entwidelung auf S. 872 u. f.

25. Anwendung Rr. 7, VII auf S. 514 ist unter Einführung ber Reibung zu behandeln.

26. Andern sich die Ergebnisse der Übungen Rr. 29 und 31 auf S. 524 durch Einführung der Reibungen?

27. Ubung Rr. 22 auf S. 522 ist unter Einführung ber Reibung zu behandeln.

28. Desgl. Übung Rr. 32 auf S. 524.

624

- 29. Desgl. Ubung Rr. 33 auf S. 525.
- 30. Desgl. Übung Rr. 34 auf S. 526.
- 31. Desgl. Ubung Rr. 36 auf S. 526.

32. Es ist die in Fig. 462 stizzierte Keilsette zu untersuchen für P als treibende Kraft. In der Untersuchung auf S. 580 ist zu setzen $\epsilon_1=\delta$, $\epsilon_2=0$, $\alpha_1=2\delta$, $\alpha_2=90^\circ-\delta$. Für das gleichförmige Eintreiben gilt

$$P = \frac{2 Q \sin (\delta + \varphi) \cos \varphi}{\cos (\delta + 2 \varphi)}.$$

Für die umgekehrte Bewegung bezw. für bas Lofen bes Reiles gilt

$$\pm P = \frac{2 Q \sin (\delta - \varphi) \cos \varphi}{\cos (\delta - 2 \varphi)}$$
.

Selbsthemmung tritt ein für $\delta < \varphi$.

Angenähert ist $P=2\,Qtg(\delta\pm\varphi)$ und $\eta=rac{tg\,\delta}{tg\,(\delta+\varphi)}$ u. s. w.

33. Graphostatische Behandlung von Nr. 32.

Fig. 462.

Fig. 468.

34. Es ist die in Fig. 463 dargestellte Reilsette zu untersuchen, bei der ein keilsormig abgeschlossener Pfeiler durch einen Reil angetrieben wird. Man hat $\alpha_1 + \alpha_2 = 90^{\circ}$, $\varepsilon_1 = 0$, $\varepsilon_2 = 0$.

Hat f für alle Gleitflachen benfelben Wert, fo gilt

- 300

$$P=Q$$
 . $tg\left(lpha_1\,+\,2\,arphi
ight)$ und $\eta=rac{tg\,lpha_1}{tg\left(lpha_1\,+\,2\,arphi
ight)}$.

Für bas Musgieben bes Reiles gilt

$$-P = Q tg (\alpha_1 - 2 \varphi)$$

bei Selbsthemmung $(a_1 < 2\,\phi)$ und

$$\eta' = \frac{tg\left(\alpha_1 - 2\varphi\right)}{tg\alpha_1}.$$

- 35. Graphostatische Behandlung von Nr. 34.
- 36. Wie ändert sich das Ergebnis der Nr. 34, salls die Reibungstoeffizienten für die gemeinsame Gleitsläche der Reile f_1 , für die Reibung in der Bertitalen f_2 und für die Reibung in der Horizontalen f_3 sind?

$$P = \frac{Q\cos\varphi_2\sin(\alpha_1 + \varphi_1 + \varphi_2)}{\cos\varphi_3 \cdot \cos(\alpha_1 + \varphi_1 + \varphi_2)} \text{ u. f. w.}$$

37. Es ift die in Fig. 464 bargestellte Reilpreffe gu untersuchen.

$$Q' = Q = \frac{1}{3} \frac{P \cdot \cos(\varepsilon + 2\varphi)}{\sin(\varepsilon + \varphi)\cos\varphi}.$$

Für P als treibende Kraft ist $\dot{}$

$$\eta = \frac{\sin \varepsilon \cos (\varepsilon + 2 \varphi)}{\cos \varepsilon \sin (\varepsilon + \varphi) \cos \varphi}.$$

38. Graphoftatische Ausführung zu Nr. 37.

39. Der Schieber einer Dampfmaschine von 5 Atmosphären (1 kg auf 1 qcm) ist 20 cm lang und 15 cm breit.

Belche Kraft P überwindet die Schieberreibung (f = 0,1)?

$$P = 150 \,\mathrm{kg}$$
.

Wie groß ist die Arbeitsstarke bei einem Schieberhube von 8 cm für die Tourenzahl 40?

Die Durchschnittsgeschwindigkeit des Schiebers (Bor = und Rückgang = $2.8\,\mathrm{cm}$) ist $\frac{2.8\cdot40}{60}=10,67\frac{\mathrm{cm}}{\mathrm{sec}}=0,1067\frac{\mathrm{m}}{\mathrm{sec}}$ und demnach die

Arbeit für die Setunde 150 . 0,1067 $\sim 15 \, {{\rm mkg} \over {\rm sec}} = 0,2 \, {\rm P.\, S.}$

40. Bei einem Keile (vergl. Fig. 408) ist AB:BC=1:8 und f=0.15. Bie groß ist P für das Eintreiben, salls N=250 kg ist? P=105.83 kg bei $\varphi=8^{\circ}30'$.

Für bas Burudtreiben ift P - 43,33 kg.

Bei Bernachlässigung ber Reibung ergiebt sich $P=31,25~{
m kg}.$

41. Eine schiefe Ebene ist mit brei Keilnuten vom Winkel 2 8 = 60° versehen, welche den Schnitt der schiefen Ebene und der horizontalen unter rechtem Winkel treffen.

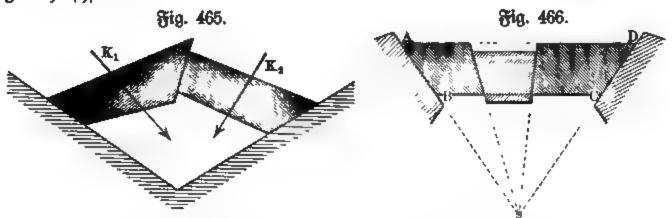
Wie andern sich die Formeln der Ubungen Nr. 6, 9, 12, 13?

Unabhängig von der Anzahl der Reilnuten muß f ersett werden durch

$$f' = \frac{f}{\sin \delta} = 2f.$$

Bernide, Dechantt. I.

- 42. Unter Berücksichtigung der entstehenden Krästepaare ist der Kormalsdruck zu bestimmen für einen rechtkantigen Block von den Kanten 1 m, 1,5 m, 2 m und vom specifischen Gewichte 2,5, welcher auf der Fläche von 2 qm auf einer Horizontalebene steht, wenn eine Krast [K] von 8000 kg in der Mittelsebene des Blockes parallel zur Kante 2 m wirkt und zwar zunächst auf der Oberfläche und dann abwärts gleitend bis zur Grundebene. Dabei ist ein etwaiges Kippen zu berücksichtigen.
- 43. Nr. 42 ist durchzuführen, falls der Block auf einer schiesen Ebene von der Neigung $28^{\circ}20'$ steht und die Kraft [K] einmal für das gleichsförmige Emporziehen und dann für das gleichsörmige Ablassen in Frage kommt (f=0,3).
- 44. Welchen Spielraum (Parallelverschiebung) hat die Kraft $[K_9]$ bei fester Lage von $[K_1]$ in Fig. 465, salls das Keilspstem nicht kippen soll, unter der Boraussehung, daß die Kräfte mit den Reaktionen ein Gleichzgewichtsspstem bilden?



- 45. Für das scheitrechte Gewölbe (vergl. Fig. 423) ist der Grenzwert von α zu bestimmen, salls MA:AB=5 ist und absolut glatte Flächen voraußgesetzt werden. $90^{\circ}-\alpha=33^{\circ}45'.$
- 46. Für das scheitrechte Gewölbe ist durch Betrachtung der in Fig. 466 dargestellten Keilsette zu zeigen, daß der Einsturz durch Gleiten selbst bei reibungslosen Fugen nicht erfolgen würde, salls für die Widerlagersuge AB Sicherheit vorhanden ist.
- 47. Bei dem Gewölde der Fig. 424 ist eine Tabelle $\varepsilon=0^{\circ}\dots 90^{\circ}$ für H_2 zu entwersen, salls $r_1:r_2=1,1$ ist. Das Wazimum von H_2 tritt ein sür $\varepsilon=53^{\circ}15'$.
 - 48. Es ist die in Fig. 467 dargestellte Schraus benkeilpresse zu untersuchen, bei welcher zwei Schrauben, die eine rechtsläusig, die andere linksläusig, auf einer Achse die Keile A1 und A2 und damit den Keil A versschieben.

Fig. 468.

Ift P am Arme l wirkfam, und werden für die Schrauben die eins gefährten Bezeichnungen r_m und a_m angewandt, so ergiebt sich, falls f_1 für die Reibung der Schrauben und falls f für die Reibung der Reilflächen eingeführt wird

$$P = Q \cdot \frac{r_m}{l} \cdot tg(\alpha_m + \varphi_1) [\cot(\delta - \varphi) + tg \varphi].$$

49. Graphostatische Behandlung von Nr. 48.

Die Beziehungen für die Differentialschraube (vergl. Zig. 468) sind zu entmideln.

Wird die Hohlschraube S durch eine **A**raft P am Arme l um einen Gang d hinab= geschraubt, während die obere Spindel S' verhindert ist, diese Drehung mitzumachen, so schiebt sich S' um einen Gang h' empor, so baß sich S' und Q um h' - h hebt.

Führt man für S und S' die Größen rm bezw. rm und am und am ein, so gilt

$$P = Q \cdot \frac{1}{l} [r'_{m} tg (\alpha'_{m} + \varphi) - r_{m} tg (\alpha_{m} - \varphi)]$$

$$\eta = \frac{r'_m tg \, \alpha'_m - r_m tg \, \alpha_m}{r'_m tg \, (\alpha'_m + \varphi) - r_m tg \, (\alpha_m - \varphi)}$$

Soll 7 positiv sein, so muß r'm tg a'm

> rm tg am sein, b. h. nur unter dieser Bedingung wird Nugarbeit geleistet. Fir $\alpha_m'=20^\circ$ und $\alpha_m=8^\circ$, $r_m'=2\,\mathrm{cm}$ und $r_m=4\,\mathrm{cm}$ und bei $\varphi = 4^{\circ}$ ift $\eta = 0.27$, d. h. hier find 73 Proz. der Arbeit nötig für die Uberwindung der Widerstände.

Selbsthemmung ift vorhanden für

$$r'_m tg(\alpha'_m - \varphi) < r_m tg(\alpha_m + \varphi).$$

51. Es find die Beziehungen der Differentialhaspel (vergl. Fig. 225) zu untersuchen.

Es sei das Gewicht der Welle mit Zubehör G, der Halbmeffer des stärkeren Teiles der Welle r_1 , die Spannung des daran hängenden Seiles S_1 , der Halbmeffer des schwächeren Teiles ra, die Spannung des daran wirkenben Seiles S2, der Zapfenhalbmeffer der Welle Q. Der Arm der Kraft P sei R und Q bezeichne die gesamte Laft.

Man hat für die Hebung

$$S_1 = \frac{\mu}{1 + \mu} Q$$
 and $S_2 = \frac{1}{1 + \mu} Q$.

Bei Bernachläffigung des Seilbiegungswiderstandes ist

$$PR + S_1r_2 = S_1r_1 + f_2(P + Q + G)\varrho.$$

Der Widerstand ber Seilbiegung ist nötigen Falles einzuführen (vergl. S. 561).

- 52. Die Formeln für den Regelzapfen in § 89 sind abzuleiten.
- 53. Die Formeln für den Regelzapfen in § 90 sind abzuleiten.
- 54. Eine horizontale Welle, an beiben Enden in Lagern ruhend, trägt zwei Käder, durch welche die Welle in drei Teile geteilt ist, die sich wie 2:2:1 verhalten. Die Welle hat ein Gewicht von $300\,\mathrm{kg}$, das Kraftrad, in der Entsernung 2 von dem einen Ende, wiegt $1300\,\mathrm{kg}$, hat einen Halbsmesser von $1,5\,\mathrm{m}$ und die zu suchende Kraft P wirke tangential in einer zur Wellenachse normalen Ebene nach horizontaler Richtung. Das Lastrad in der Entsernung 1 von dem anderen Wellenende wiegt $700\,\mathrm{kg}$, hat einen Halbmesser von $0,5\,\mathrm{m}$ und die Last von $900\,\mathrm{kg}$ wirkt tangential in einer zur Wellenachse normalen Ebene nach vertikaler Richtung. Der Halbmesser der Zapsen sei $0,105\,\mathrm{m}$ und der Koessizient für die Zapsenreibung 0,08.

Ohne Berücksichtigung der Widerstände und der Gewichte ist

$$P.1,5 = 900.0,5$$
, daher $P = 300 \text{ kg}$.

Man hat für die senkrechten und wagerechten Komponenten der Zapfenstrucke D_1 und D_2

$$V_1 = 150 + 1300 \cdot 0.6 + 1600 \cdot 0.2 = 1250 \,\mathrm{kg},$$
 $V_2 = 150 + 1300 \cdot 0.4 + 1600 \cdot 0.8 = 1950 \,\mathrm{kg},$
 $H_1 = 0.6 P = 180 \,\mathrm{kg},$
 $H_1 = 0.4 P = 120 \,\mathrm{kg}.$

Demnach ist

$$D_1 = 1263 \,\mathrm{kg}$$
 und $D_2 = 1954 \,\mathrm{kg}$.

Das Reibungsmoment ist also

$$0.08(1263 + 1954)0.105 = 27 \text{ mkg}.$$

Man hat also

$$P = 300 + \frac{27}{1.5} = 318 \text{ kg}.$$

55. Ein eisernes Rad von $10\,000\,\mathrm{kg}$ Gewicht und einem Halbmesser R von 5 m ruht in Japsen von $0,13\,\mathrm{m}$ Halbmesser. Wie groß ist die Kraft P am Umfange des Rades, welche die Japsenreibung überwindet? Welche Arbeitsstärke ist zur Überwindung der Reibung notwendig, wenn fünf Umstrehungen in der Minute gemacht werden und der Reibungskoeffizient $f_z=0,08$ angenommen wird?

$$54 \frac{mkg}{sec} = 0.72 P.S.$$

56. Eine stehende Welle ist mit einer liegenden durch ein Kammrad und einen Drehling verbunden. Die stehende Welle wird durch zwei Pferde in Bewegung gesetzt, die einander gegenüber an dem Arme m wirken. Das Gewicht der stehenden Welle mit Zubehör sei G_1 , der Halbmesser der Zapfen Q_1 und der mittlere Halbmesser des Kammrades R_1 . Das Gewicht der liegenden Welle sei G_2 , der Halbmesser der Zapfen Q_2 , der Halbmesser des Drehlings R_2 . Auf der liegenden Welle ist noch ein Stirnrad vom Halbemesser R_3 befestigt, in dessen Umfange ein Druck Q zu überwinden ist, dessen

Richtung mit der Vertikalen zusammenfällt. Es ist der Wert von Q zu bestimmen, wenn jedes Pferd mit dem Drucke von P kg wirkt und die Zapfensreibung berücksichtigt wird.

Wir erhalten als Gleichgewichtsbedingungen, falls der im Mantel der Räderverbindung wagerecht wirksame Druck mit V bezeichnet wird und die Zapfendrucke der liegenden Welle D_1 und D_2 genannt werden

1)
$$2Pm - fG_1\frac{\varrho_1}{2} - VR_1 - f_*V\varrho_1 = 0$$
,

2)
$$VR_2 - QR_3 - f_zD_1Q_2 - f_zD_2Q_2 = 0$$
.

Es sei für die Berechnung gegeben

$$P = 60 \text{ kg}, G_1 = 300 \text{ kg}, G_2 = 200 \text{ kg}, m = 3,139 \text{ m};$$

$$R_1 = 0.628 \,\mathrm{m}, R_2 = 0.314 \,\mathrm{m}, R_3 = 0.157 \,\mathrm{m},$$

$$\varrho_1 = 0.046 \,\mathrm{m}, \; \varrho_2 = 0.036 \,\mathrm{m}, \; f = 0.16, \; f_s = 0.08.$$

Außerdem seien die Entsernungen von $[D_1]$ bei der wagerechten Welle, deren Länge $l=3,452\,\mathrm{m}$ sein mag, für Q, G_2 , V gegeben bezw. durch $2,824\,\mathrm{m}$, $1,650\,\mathrm{m}$, $0,314\,\mathrm{m}$.

Aus der ersten Gleichung folgt

$$V = 594,5 \, \text{kg}.$$

Für Q findet man annähernd aus der Gleichung $VR_2 - QR_3 = 0$ den Wert

$$Q = 1190 \text{ kg}.$$

Berechnet man mit diesem Werte von Q die Zapfendrucke D_1 und D_2 , so ist

$$D_1 = 629 \,\mathrm{kg}$$
 und $D_2 = 1070 \,\mathrm{kg}$,

während das Reibungsmoment 5 mkg wird. Nun folgt aus der zweiten Gleischung genauer

$$Q = 1157 \, \text{kg}.$$

57. Welche Kraft ist notwendig, um mittels eines Flaschenzuges, dessen sechs Rollen gleichen Durchmesser haben, eine Last von 1000 kg im Gleich= gewichte zu erhalten?

Es ist für $\mu = 1.12$

$$P = 1000 \, \frac{1,12^7 - 1,12^6}{1,12^6 - 1} = 243 \, \text{kg}.$$

58. Bei einem zweiarmigen Hebel, dessen Arme für Kraft und Last bezw. $0.5 \,\mathrm{m}$ und $1 \,\mathrm{m}$ sind, unterstütt das Gewicht G die Last Q im Abstande $0.1 \,\mathrm{m}$ vom Drehpunkte. Welche Kraft P ist erforderlich für eine Last $Q = 40 \,\mathrm{kg}$ und für ein Gewicht $G = 6 \,\mathrm{kg}$, falls der Hebel auf einer Schneide ruht, deren Reibung vernachlässigt werden kann, während die Stangen mit Zapsen vom Halbmesser $Q = 0.005 \,\mathrm{m}$ eingelenkt sind $Q = 0.005 \,\mathrm{m}$

Die Kraft, welche die Last gleichsörmig bewegt, beträgt 81,3 kg, die Kraft, welche das Sinken der Last gerade verhindert, beträgt 81,1 kg. Bei Bernachlässigung der Reibung hat die erforderliche Krast den Wert 81,2 kg und die Reaktion der Unterstützung den Wert 127,2 kg.

- 59. An einem einarmigen Hebel vom Gewichte $5\,\mathrm{kg}$, dessen Schwerspunkt vom Drehpunkte $0.032\,\mathrm{m}$ entsernt ist, wirkt eine Last von $200\,\mathrm{kg}$ am Arme $0.012\,\mathrm{m}$. Welchen Wert hat die Kraft am Arme $0.08\,\mathrm{m}$, wenn der Zapsen $1\,\mathrm{cm}$ start ist (f=0.1)? Für die gleichsörmige Senkung ist die Kraft $30.9\,\mathrm{kg}$, für die Hebung $33.1\,\mathrm{kg}$, ohne Reibung $32\,\mathrm{kg}$?
- 60. Eine stehende Welle, deren Zapsen (d = 10 cm) mit voller Kreißfläche berührt, hat in der Achsenrichtung einen Druck von 8000 kg auszuhalten. Welches Moment ist zur Überwindung der Zapsenreibung nötig (f = 0,1)?

$$M = \frac{1}{9} \cdot 0.1 \cdot 8000 \cdot 5 = 2000 \text{ cmkg} = 20 \text{ mkg}.$$

61. Eine liegende Welle ist mit 20000 kg belastet und hat Zapsen vom Halbmesser 10 cm. Welche Arbeit ist für eine Tourenzahl 10, wie sie z. B. bei Wasserrädern vorkommt, zur Überwindung der Zapsenreibung nötig?

$$200 \frac{\text{mkg}}{\text{sec}} = 2,67 \text{ P.S. für } f = 0,1.$$

62. Welche Kraft P muß bei einer flachgängigen Schraube, für die $\alpha_m=6^{\circ}10'$ ist, am mittleren Schraubenhalbmesser r_m als Arm wirken, wenn eine Last Q=250 kg emporgeschraubt werden soll (f=0,16)?

 $P=68.2\,\mathrm{kg}$, der umgekehrten Bewegung entspricht $P=-12.75\,\mathrm{kg}$. Für $Q=750\,\mathrm{kg}$ und $\alpha_m=2^{\circ}40'$ erhält man $P=156\,\mathrm{kg}$ sür die Hebung und $P=-84.4\,\mathrm{kg}$ sür die Senkung.

Welche Last Q kann mit einer flachgängigen Schraube, für die $r_m = 0.026 \,\mathrm{m}$ und $\alpha_m = 90\,10'$ ist, durch eine Kraft $P = 45\,\mathrm{kg}$ an einem Arme von $2\,\mathrm{m}$ gehoben werden?

$$Q = 10492 \, \mathrm{kg}$$
.

Für $P=16\,\mathrm{kg}$ und $\alpha_m=3^\circ$ ergiebt sich unter sonst gleichen Vershältnissen $Q=5\,746\,\mathrm{kg}$.

63. Welche Kraft P ist am mittleren Halbmesser r_m einer scharfgängigen Schraube $(2\beta=55^{\circ})$ bei einem Achsendrucke Q ersorderlich, wenn die Mutter als ein Stützapfen mit ringförmigem Querschnitte $(r=2r_m)$ angesehen wird $(f=0.16; \alpha_m=2^{\circ}40')$?

$$P \sim 0.5 Q$$

64. Bei einer Schraubenpresse ist für die Schraube $r_1=4\,\mathrm{cm}$, $r_2=3.2\,\mathrm{cm}$, $h=1.6\,\mathrm{cm}$ und für die Auslagersläche der Spindel $\varrho=3\,\mathrm{cm}$ gegeben. Welches Moment ist erforderlich, um $6000\,\mathrm{kg}$ Druck zu erhalten?

$$Mo \sim 62 \text{ mkg für } f = 0.16.$$

Bei Vernachlässigung der Reibung ist $Mo=15,12\,\mathrm{mkg}$, also $\eta\sim\frac{1}{4}$.

65. Bei einer Schraubenkeilpresse ist $r_m=0.025\,\mathrm{m}$, $\delta=85^{\circ}$, $\alpha_m=4^{\circ}$ und f=f'=0.08.

Welches Kraftmoment entspricht dem Drucke von 1000 kg?

0,94 mkg.

66. Bei einer Differentialschraube ist $\alpha'_m = 20^{\circ}$, $\alpha_m = 8^{\circ}$, $r'_m = 0.02 \,\mathrm{m}$, $r_m = 0.04 \,\mathrm{m}$ und f = 0.08.

Welches Moment ist für eine Last von 1000 kg nötig?

$$6,08 \, \text{mkg}.$$

67. Bei einem Differentialflaschenzuge ist r:R=14:15 und $\mu=1,06$. Wie groß ist für die Hebung P:Q?

$$P \sim \frac{Q}{11}$$
.

- 68. Bei einem Schraubenrad mit Schnede (Schraube ohne Ende) ist das wirksame Moment 14 mkg. Wie groß ist der Zahndruck für $\frac{h}{2 \pi r_m} = \frac{1}{10}$, $r_m = 80 \text{ mm}$ und f = 0.15 bei Anrechnung der Lagerreibung zu 10 Proz.? $P \sim 625 \text{ kg}$.
- 69. Bei einer Differentialhaspel (vergl. Übung Nr. 51 in diesem Abschnitte) ist Q=4700 kg, R=0.5 m, $r_1=0.13$ m, $r_2=0.12$ m, $\varrho=0.02$ m, G=20 kg, $\mu=1.06$, $f_s=0.1$. Wie groß ist P?

$$P \sim 100 \,\mathrm{kg}$$
.

70. Wieviel P.S. muß man einer Welle A mitteilen, welche mit einer Welle B durch Reibungsräder verbunden ist, wenn für die von B zu leistende Arbeit 5 P.S. versügbar sein sollen? Der Achsenabstand beider Wellen sei 50 cm, die Tourenzahl der treibenden Welle $n_1 = 80$, die der getriebenen $n_2 = 100$, der Reibungstoeffizient für Eisen auf Eisen 0.15, die Zapsenhalbmesser q = 3 cm, der Koefsizient für die Reibung in den Lagern p = 0.08. Auß p = 100 cm und p = 100 cm und p = 100 cm folgt p = 100 cm und p = 100 cm p = 100 cm und p = 100 cm und p = 100 cm p = 100 cm und p = 100 cm p = 100

$$r_1 = \frac{5}{9} \cdot 50 \text{ cm}$$
 und $r_2 = \frac{4}{9} \cdot 50 \text{ cm}$.

Man hat (vergl. S. 603)

$$K_2 = \frac{716,2 \cdot 5 \cdot 100}{100 \cdot \frac{4}{9} \cdot 50}$$

und

$$K_1 = K_2 + K_2 \cdot \frac{0.08}{0.15} \left(\frac{3.9}{5.50} + \frac{3.9}{4.50} \right)$$

Demnach ist, falls x die gesuchte Anzahl P.S. bezeichnet,

$$K_1 = \frac{716,2 \cdot x \cdot 100}{80 \cdot \frac{5}{9} \cdot 50},$$

d. h. man hat

$$x = 5 \left[1 + \frac{0.08}{0.15} \left(\frac{3 \cdot 9}{5 \cdot 50} + \frac{3 \cdot 9}{4 \cdot 50} \right) \right]$$

= 5 (1 + 0.13) = 5.65 P.S.

Der Druck N ist für den Grenzzustand des Gleitens rund 1160 kg.

71. Durch einen Riemenbetrieb von gleichen Scheiben sollen 4 P.S. zur Arbeitsleistung übertragen werden. Wie groß sind die Spannungen P und

 $Q \text{ für } r_1 = r_2 = 40 \text{ cm}, \ n_1 = n_2 = 80, \ f_s = 0.08, \ Q_1 = Q_2 = 2.5 \text{ cm}?$ Man hat

$$Lr' = \frac{716,2 \cdot 4}{80} = 35,81 \text{ mkg}$$

und für die Grenze des Gleitens

100 .
$$Lr' = Q$$
 . $[40(2,4-1)-2,5 \cdot 0,08(2,4+1)]$ $\sim 56 Q$.

Es ist also für die Grenze des Gleitens

$$Q \sim 64 \,\mathrm{kg}$$
 und $P \sim 2.4 \,Q \sim 154 \,\mathrm{kg}$.

72. Für die Bremse der Fig. 439 sei $K_1=15\,\mathrm{kg}$, $a=23.5\,\mathrm{cm}$, $r_m=2.6\,\mathrm{cm}$, $\alpha_m=6^{\,0}\,3'$, $\beta=80^{\,0}$, $f_1=0.4$, f=0.16. Wie groß ist R?

$$R = 1134 \text{ kg}.$$

73. Für eine Regeltuppelung (vergl. \leq . 605) ift K = 15 kg, a = 94.2 cm, b = 15.6 cm, a' = 141.2 cm, b' = 15.6 cm, $r_1 = 15.6 \text{ cm}$, $r_2 = 13 \text{ cm}$, $\alpha = 30^{\circ}$, f = 0.16.

Wie groß ist das Reibungsmoment?

Wie groß ist P_1 für $\alpha = 7^{\circ}$?

$$P_1 = 107.6 \, \mathrm{kg}$$
.

74. Für Bandbremsen (vergl. S. 606) wirte $K=15\,\mathrm{kg}$ am Arme 0,942 m für $m=n=0,078\,\mathrm{m}$, $\alpha=1,4\,\pi$, f=0,18. Dann ist $e^{f\cdot arc\,\alpha}=2,21$ und $R=219,2\,\mathrm{kg}$, wenn die Spannung S_1 durch den Drehpunkt des Hebels gerichtet ist.

Es sei unter denselben Verhältnissen $R=225\,\mathrm{kg}$, dann ist im Winimum

 $K=49,4~{
m kg}$ zur Erzeugung beider Spannungen,

K=15.4 kg zur Erzeugung von S_2 .

Für die Anordnung als Differentialbremse ist

$$n = e^{f \cdot are \, a} m = 2.21 \, m$$

wobei der Hebel mittels einer Schraube festgehalten und das Bremsband mit einem derartigen Druck gegen die Scheibe gepreßt wird, daß die notwendigen Spannungen S_1 und S_2 dadurch erzeugt werden.

75. Für Riemenscheiben mit Spannrolle ist $2\delta = 120^{\circ}$, $S_1 - S_2 = 150$ kg, $r_1 = 0.654$ m, $r_2 = 0.131$ m, $\varrho = 1.098$ m, f = 0.25.

Mit welcher Kraft R muß die Spannrolle gegen den Riemen drücken? Welche Spannung P ruft sie hervor?

$$R = P \sim 272 \,\mathrm{kg}$$
.

76. Bei einem Eisenbahnwagen sei der Halbmesser der Räder 50 cm, der Halbmesser der Zapfen 5 cm. Das Satzewicht (Achsen und Räder) bestrage 2000 kg, das Gewicht der übrigen Wagenteile 12 000 kg.

Welche Zugkraft Z entspricht hier der gleichförmigen Bewegung, falls $f_r=0.05\,\mathrm{cm}$ und $f_s=0.02\,\mathrm{ift}$?

Für die rollende Reibung kommt die gesamte Belastung in Anrechnung (12000 + 2000 = 14000 kg), so daß hier 14 kg Zugkraft erfordert werden.

Für die Zapfenreibung kommt nur die Belastung 12000 kg zur Ansrechnung, so daß für diese die Zugkraft 24 kg beträgt.

$$Z = 14 + 24 = 38 \,\mathrm{kg}$$
.

77. Eine Chausseewalze vom Halbmesser R ruht in Japsen vom Halbs messer r. Das Gewicht der Walze sei Q, der auf den Zapsen liegende Rahmen mit Jubehör wiege G kg. Wie groß ist die Kraft P in den Zugsträngen, damit die wälzende und Zapsenreibung gerade überwunden werde?

$$PR = f_r(Q + G) + f_s \sqrt{P^2 + G^2} \cdot r.$$

$$Q = 1000 \text{ kg}, R = 0.785 \text{ m}, f_s = 0.08,$$

$$G = 100 \text{ kg}, r = 0.033 \text{ m}, f_r = 0.018 \text{ m}.$$

Berechnet man zuerst P aus der Gleichung $PR = f_r(Q + G)$, so ers hält man als Näherungswert $P = 25,2 \,\mathrm{kg}$, der zur Berechnung des Wosmentes der Bapfenreibung benutt wird, wonach sich dann aus der obigen Gleichung als genauerer Wert von P finden läßt

$$P = 25.6 \text{ kg}.$$

78. Ein Rollenbett bestehe aus sechs in paralleler Lage horizontal ans geordneten Cylindern vom Halbmesser r_1 , deren Zapsen den Halbmesser r_2 haben mögen. Eine Last vom Gewichte Q soll mittels einer Kraft P gerade in Bewegung gesett werden, d. h. mit den Widerständen der Bewegung gerade im Gleichgewichte sein.

Welchen Wert hat P, wenn die Reibungstoeffizienten f. und f. und bas

Gewicht jedes Enlinders G ist?

$$P = Q \frac{f_r}{r_1} + 6 f_s \sqrt{\left(\frac{Q}{6} + G\right)^2 + P^2} \cdot \frac{r_2}{r_1},$$

oder annähernd

$$P = \frac{Q f_r + f_s (Q + 6 G) r_2}{r_1}.$$

79. Eine Last Q (Fig. 469) wird auf horizontalem Boden durch untersgelegte Walzen fortgeschafft. Die hierzu notwendige Kraft P soll berechnet

werden, wenn dieselbe normal zu einem Arme von der Länge 1 wirkt, der in der Achse der Walze mündet und in diesem Augenblicke mit der Vertikalen den Winkel & bildet. Der Halbmesser der Walze sei r, das eigene Gewicht G und die Reibungskoefsizienten seien fr und fr.

Der Druck am oberen Berührungsspunkte ist gleich Q, der am unteren gleich Q $Q + P \sin \alpha + G$. Für A als Drehpunkt ist $l + r \cos \alpha$ der Arm von P, so daß Arment für die Überwindung der rollenden Reibung $P(l + r \cos \alpha)$ anzusezen ist.

Fig. 469.

Man bat baber

$$P = \frac{Q(f_r + f_r') + Gf_r}{1 + r\cos\alpha - f_r\sin\alpha},$$

und für fr = fr ergiebt fich

$$P = f_r \frac{2 Q + G}{1 + r \cos \alpha - f_r \sin \alpha}.$$

80. Welche Kraft ist nötig, um einen Schubkarren (vergl. Fig. 470) gleichsörmig zu bewegen? Das Gewicht des Karrens und der aufgelegten Last sei Q, wirksam in S, es sei CB = c und BA = a, der Halbmesser des Kades R und ber des Kapfens Q.

Berlegt man [Q] in die, in C und A and greisenden Parallelträste $\left[\frac{Qa}{l}\right]$ und $\left[\frac{Qc}{l}\right]$ sin D durch sen Arbeiter überwunden, der außerdem noch mit einer Krast [K] in der Richtung DC wirken muß. Für A $DCA = \alpha$ ist $[K\cos\alpha]$

bie treibende Kraft, welche bie rollende Reibung und die Zapfenreibung zu überwinden hat.

Der Bertikalbruck hat den Wert $\frac{Qa}{l}+K\sin\alpha$, so daß das Moment der rollenden Reibung $f_r\Big(\frac{Qa}{l}+K\sin\alpha\Big)$ ist; der Zapsendruck sest sich zussammen aus $\Big[\frac{Qa}{l}\Big]$ und $[K]_r$ so daß er den Wert

$$Z = \sqrt{K^3 + \left(rac{Qa}{l}
ight)^3 + rac{2 \ KQa}{l} \sin lpha}$$

und fein Moment den Wert rf. . Z hat.

Für den Unterstügungspunkt des Rades als Drehpunkt gilt also

$$K\cos\alpha$$
. $R = f_r\left(\frac{Qa}{l} + K\sin\alpha\right) + r$. f_s . $\sqrt{K^2 + \left(\frac{Qa}{l}\right)^2 + \frac{2KQa}{l}\sin\alpha}$.

Diese quadratische Gleichung für K vereinsacht sich etwas, falls α so klein ist, daß $\sin \alpha = 0$ und $\cos \alpha = 1$ gesetzt werden darf.

Viertes Kapitel.

Kinetik des farren Körpers.

96. Der Bewegungszustand eines Körpers und dessen Anderung. Wenn Kräfte, welche an einem starren Körper wirken, nicht im Gleichgewichte stehen, so ändern sie dessen Bewegungszustand (vergl. § 54).

Um die Aufgabe der Kinetik, welche solche Anderungen zu untersuchen und darzustellen hat, näher zu bestimmen, ist es notwendig, einerseits genauer zu erläutern, was man unter dem Bewegungszustande eines Körpers zu versstehen hat, und andererseits darauf hinzuweisen, daß dieser Bewegungszustand sich selbst bei starren Körpern auch ohne den Einfluß äußerer Kräfte ändern kann.

Unter dem elementaren Bewegungszustande eines Körpers verstehen wir das Bild des Körpers, welches wir erhalten, wenn wir in jedem seiner Punkte die Bewegungsgröße, welche einem bestimmten Zeitpunkte t entspricht, als Bektor andringen. Wir nehmen dabei den Punkt zum Ursprung, die Seschwindigkeit des Punktes zur Zeit t als Richtung und das Produkt aus dem Werte seiner Seschwindigkeit zur Zeit t und seiner Wasse als Waszahl des Bektors. Vergl. S. 250 u. f.

Man nennt die Bewegungsgröße als Vektor wohl auch Momentankraft oder Impuls.

Der Bewegungszustand eines Körpers für eine bestimmte Zeit erwächst dann aus den elementaren Bewegungszuständen, die dem Verlaufe dieser Zeit entsprechen.

Die einfachen Bewegungszustände, welche wir gelegentlich schon in der Statik betrachtet haben, nämlich die gleichförmige Verschiebung mit gerader Leitlinie, die gleichförmige Drehung um eine, im Raume unbewegliche Hauptsachse des Körpers durch dessen Massenmittelpunkt (vergl. S. 388) und die entsprechende Schraubung, erscheinen demgemäß jetzt als Bewegungszustände, welche während der Bewegung keinen Anderungen unterliegen. Sie bilden gewissermaßen den Übergang von statischen zu kinetischen Verhältnissen, weil hier die Bewegungen, wenigstens für Körper in der Nähe der Erdoberfläche 1),

¹⁾ Im Gegensate zu astronomischen Verhältnissen.

unter dem Einflusse im Gleichgewichte befindlicher Kräfte zu stande kommen. Dabei steht die gleichsörmige Verschiedung mit gerader Leitlinie, bei welcher gar keine Effektivkräfte auftreten, den Verhältnissen ruhender Körper am nächsten, während die Vetrachtung der anderen beiden Vewegungszustände, bei welchen ja Centripetalkräfte als effektive Kräfte auftreten, schon in die eigentliche Kinetik hineinsührt.

Besonders hervorgehoben werden muß nun, daß sich selbst der Beswegungszustand eines starren Körpers auch ohne den Einfluß äußerer Kräfte ändern kann, und zwar gemäß der räumlichen Massenverteilung, welche dem Körper eigen ist. Bei homogenen Körpern wird diese räumliche Massensverteilung schon allein durch die geometrische Sestalt des Körpers gegeben, bei heterogenen Körpern wird sie außerdem durch die veränderliche Dichtigkeit bestimmt. Dreht sich z. B. ein freier starrer Körper in einem bestimmten Zeitpunkte um eine Achse, so ändert sich dieser elementare Bewegungszustand insolge der Massenverteilung auch ohne Einfluß äußerer Kräste, falls jene Achse nicht eine Hauptachse des Körpers durch dessen Kassenstellunkt ist. Will man in diesem Falle den elementaren Bewegungszustand erhalten, so bedarf es der Einsührung von Krästen, z. B. durch Besestzungszustand des Körpers unter dem Einslusse von Krästen erhalten wird, handelt es sich im Grunde um eine Änderung des an und sür sich veränderlichen Bewegungszustandes.

Wir werden nun zunächst die Behandlung der Bewegungen, welche in technischer Hinsicht am wichtigsten sind, nämlich der Verschiebung und der Drehung um eine seste Achse, zum Abschluß bringen, und darauf zur Kinetik einer beliebigen Bewegung eines starren Körpers und eines Systemes von starren Körpern übergehen. Letztere Aufgabe ist, so vielzgestaltig sie auch erscheinen mag, im wesentlichen gelöst, wenn die Schwenztung um einen festen Punkt eine sachgemäße Darstellung erhalten hat, weil sich schließlich in kinetischer Beziehung alle Bewegungen eines starren Körpers auf Verschiebungen seines Massenmittelpunktes und auf Schwenzkungen um diesen zurücksühren lassen.

97. Die Berschiebung. Nach \S 44 u. f. ist bei einer Verschiebung eines starren Körpers das System der Effektivkräfte in jedem Augenblicke gleichwertig einer, durch den Massenmittelpunkt gehenden, Effektivkräft [K] = M[j], falls die Masse des Körpers durch M und die augenblickliche Beschleunigung der Verschiebung durch [j] bezeichnet wird. Da nun das System der Effektivkräfte nach dem Principe von d'Alembert (vergl. auch S. 344) stets dem Systeme der äußeren Kräfte gleichwertig ist, so haben die auf den Körper wirkenden Kräfte in diesem Falle in jedem Augenblicke eine Resultante [K], welche durch den Massenmittelpunkt des Körpers geht.

Umgekehrt ist nach demselben Principe nur ein System äußerer Kräfte, dessen Resultante durch den Massenmittelpunkt des Körpers geht, im stande, diesem eine Verschiebung zu erteilen.

Bei Verschiebungen ist der Massenmittelpunkt des Körpers stets dynamisches Centrum, so daß er als materieller Punkt mit der Masse M

für den Körper eintreten tann. Die dynamischen Bewegungsgleichungen des materiellen Punttes lassen sich in diesem Falle ohne weiteres auf den ganzen Körper übertragen, zunächst die Gleichung

$$j = \frac{K}{M}$$
, d. h. Beschsteunigung $= \frac{{
m Rrast}}{{
m Whaffe}} \cdot \cdot \cdot \cdot 191$

Diese Betrachtungen gelten zunächst für einen freien Körper, dann aber auch, nach Einführung der Reaktionen, für einen unfreien Körper.

Entsprechendes gilt für Snfteme ftarrer Rorper, deren einzelne Glieder

Berichiebungen unterliegen.

Dabei sind die Bemertungen, welche bei der Behandlung des Principes der virtuellen Berrückungen in Bezug auf die Reaktionen gemacht wurden, forgfältig zu beachten.

98. Die Drehung um eine feste Achse. Während die Berschiebung eines starren Körpers mit den einsachen Hülfsmitteln, welche die Lehre vom materiellen Punkte unmittelbar darbietet, erledigt werden konnte, zeigten sich in Bezug auf die Drehung (vergl. § 49) um eine Achse gewisse Schwierigsteiten, namentlich war die Ersezung des Körpers durch einen materiellen Punkt nicht mehr möglich. Außerdem bedurfte die Gleichung der Achsens drehung

$$\iota = \frac{\textit{Mo}}{\mathfrak{Tr}}$$
, d. h. Winkelbeschleunigung = $\frac{\Re \text{raftmoment}}{\mathfrak{TrägheitSmoment}}$ · 192)

einer weiteren Behandlung, sowohl was ihre Bilbung als auch was ben Bereich ihrer Gultigkeit anlangt.

In Bezug auf den Jähler Mo des Ausdruckes für i hat das erfte Kapitel dieses Abschnittes (Dynamit) unterdessen die nötigen Ergänzungen gebracht, während diese in Bezug auf den Nenner Er noch ausstehen.

Bichtige Folgerungen aus der Gleichung für & wurden schon am Schlusse von § 49 gegeben, namentlich in Bezug auf die Arsbeitsstärke und die Reduktion träger Massen.

Daß obige Gleichung zunächst für die Drehung einer sesten Achse gültig ist, wie sie in der Technit verwendet wird, wurde bereits früher erwähnt; auch zeigt die Answendung Nr. 14 a. S. 386, daß schon in diesem Falle eine Fülle von Beziehungen zu beachten sind.

Wir betrachten nun diesen Fall etwas genauer, gemäß Fig. 471.

Wenn die Mittellinie der sesten Achse als Z=Achse eingeführt wird, so gelten für das System der Effektivkräfte der Dreshungen die Gleichungen Nr. 107 a und 107 b,

Fig. 471.

X-Y

wobei man sich den einen Endpunkt B der Achse AB als Ansagspunkt O der Koordinaten gewählt denken kann. Da das System der gegebenen Kräfte, zu welchem auch die Reaktionen in A und in B gehören, nach dem Principe von d'Alembert (vergl. S. 344) dem Systeme der Effektivekräfte gleichwertig ist, so erhält man zwischen den, auf dasselbe Koordinatenkreuz bezogenen Kräften und Womenten beider Systeme sechs Gleichungen. Bon diesen Gleichungen genügt eine für die Darstellung der Bewegung, so daß die fünf übrigen zur Bestimmung der zunächst unbekannten Keaktionen in A und B verwendet werden können. Da nämlich bei dem Zwange der Bewegung für diese nur die Drehung um die Z=Achse in Frage kommt, so ist sür die Bewegung nur die eine Gleichung von Bedeutung, welche die Momente sür die Z=Achse darstellt. Diese lautet sür die Effektivkräste gemäß Gleichung Kr. 107 b bei einer Winkelbeschleunigung ι , salls man das Trägsheitsmoment der Körper sür die Z=Achse mit Tr, bezeichnet, je nach dem Sinne der ι entsprechenden Drehung

$$M_z = + \iota \cdot \mathfrak{Tr}_z$$

Ist \overline{M}_s das Moment der gegebenen Kräfte für die Z-Achse, zu welchen die Reaktionen von A und B nichts beitragen, so folgt demnach auf Grund des Principes von d'Alembert

$$\overline{M}_z = M_z = \pm \iota \cdot \mathfrak{Tr}_{s}$$

Damit ist die früher bereits benutte Formel für die Drehung um feste Achsen gerechtsertigt.

Die übrigen fünf Gleichungen bestimmen die vier Komponenten der Reaktionen von A und B, welche die Richtung der X=Achse und der Y=Achse haben, und die Gesamtreaktion innerhalb der Z=Achse, deren Verteilung auf die Punkte A und B statisch=unbestimmt ist. Vergl. S. 473.

Da die Effektivkraft Z in Richtung der Z=Achse den Wert Rull hat, so hängt diese Gesamtreaktion in Richtung der Z=Achse nur von den gegebenen Kräften ab.

Für die Bestimmung der vier Reaktionen von A und B, welche die Richtung der X=Achse und der Y=Achse haben, stehen also vier Gleichungen zur Verfügung.

Bezeichnet man diese vier Reaktionen bezw. durch $R_A^{(x)}$, $R_A^{(y)}$, $R_B^{(x)}$, $R_B^{(y)}$ und AB durch l, so sauten diese vier Gleichungen

$$X = \overline{X} + R_A^{(x)} + R_B^{(x)}$$

$$Y = \overline{Y} + R_A^{(y)} + R_B^{(y)}$$

$$M_x = \overline{M_x} + l \cdot R_A^{(y)}$$

$$M_y = \overline{M_y} - l \cdot R_A^{(x)}$$
193)

falls man die Komponenten des Systemes der Effektivkräfte, welche die Gleischungen Nr. $107\,\mathrm{a}$ und $107\,\mathrm{b}$ liefern, bezw. durch X, Y, M_x , M_y und die Komponenten des Systems der gegebenen Kräfte bezw. durch \overline{X} , \overline{Y} , \overline{M}_x , \overline{M}_y bezeichnet. (Bergl. Fig. 216 und Fig. 471.)

Die Auflösung des Gleichungssystemes ergiebt

$$R_A^{(x)} = -\frac{\underline{M}_y - \overline{\underline{M}_y}}{l}, \qquad R_A^{(y)} = +\frac{\underline{M}_x - \overline{\underline{M}_x}}{l}$$

$$R_B^{(x)} = X - \overline{X} + \frac{\underline{M}_y - \overline{\underline{M}_y}}{l}, \quad R_B^{(y)} = Y - \overline{Y} - \frac{\underline{M}_x - \overline{\underline{M}_x}}{l}.$$

Der Angriffspunkt der Kraft $[R_A^{(x)}] \stackrel{\times}{+} [R_B^{(x)}]$, deren Wert $X - \overline{X}$ ist, teilt AB = l im Verhältnisse $R_B^{(x)} : R_A^{(x)}$, der Angriffspunkt der Kraft $[R_A^{(y)}] + [R_B^{(y)}]$, deren Wert $Y - \overline{Y}$ ist, teilt AB = l im Verhältnisse $R_B^{(y)} : R_A^{(y)}$.

Da φ und ι in den Ausdrücken X, Y, M_x , M_y im allgemeinen Funkstionen der Zeit sind, so sind die bestimmten Reaktionen gleichfalls im alls gemeinen mit der Zeit veränderlich.

Bei gleichförmiger Drehung ($\iota=0$ und $\varphi=\gamma$) treten die Vereinsfachungen ein, welche bereits auf S. 387 u. f. ausgeführt wurden.

In technischer Hinsicht wird die Drehungsachse auch als eine freie Achse bezeichnet, wenn die Reaktionen von A und B in die Richtung der Achse fallen.

Es haben dann $R_A^{(x)}$, $R_B^{(x)}$, $R_A^{(y)}$, $R_B^{(y)}$ sämtlich den Wert Null, so daß $X = \overline{X}$, $Y = \overline{Y}$, $M_x = \overline{M_x}$, $M_y = \overline{M_y}$ ist. Nach den früheren Betrachstungen tritt dies z. B. ein, wenn die Drehungsachse eine Hauptachse ist, welche durch den Massenmittelpunkt geht, und wenn außer $\overline{M_x}$ keine äußere Kräste auf den Körper wirken.

Während sich nach dem sonst üblichen Gebrauche die Begriffe "freie Achse" und "Hauptachse durch den Massenmittelpunkt" völlig decken, wird also in technischer Hinsicht eine Achse auch dann "frei" genannt, wenn sie keine senkrecht gegen sie gerichtete Reaktionen auszuhalten hat.

Da der Druck auf die Lager und die Reaktionen der Lager u. s. w. zu Materialzerstörungen sühren, so ist es zweckmäßig, innerhalb der Technik möglichst die Hauptachsen durch den Massenmittelpunkt eines Körpers als Drehungsachsen zu benutzen. Dieser Einsicht entsprechen auch die üblichen Formen der in der Technik verwendeten drehbaren Körper.

Für manche Anwendungen ist es zweckmäßig, das System der Effektiv= kräfte, abgesehen von M., auf zwei sich kreuzende Kräfte zurückzuführen. Bergl. S. 337.

Wenn man die Paare M_x und M_y der Formel 107 b bezw. in die YZ-Ebene und in die XZ-Ebene legt und ihnen dort bezw. die Kräfte Y und X der Formel Nr. 107 a als Kräfte giebt, so sind die zugehörigen Arme z_1 und z_2 gegeben durch

$$M_x = z_1 \cdot Y$$
 und $M_y = z_2 \cdot X$.

Dreht man jetzt die Paare bezw. in der YZ-Ebene und in der XZ-Ebene so, daß je eine ihrer Kräfte die Kräfte [Y] und [X] in O zerstört, so bleiben die anderen Kräfte der Paare übrig. Die erste schneidet die positive Z=Achse im Abstande x_1 von O und hat die Richtung und den Wert von [Y], die zweite schneidet die negative Z=Achse im Abstande x_2 von O und hat die Richtung und den Wert von [X].

Für diese Darstellung gelten demnach die Formeln

$$z_1 = \frac{-\varphi^2 D_x + \iota D_y}{-\varphi^2 M \eta + \iota M \xi}$$
 und $z_2 = \frac{+\varphi^2 D_y + \iota D_x}{-\varphi^2 M \xi - \iota M \eta}$. 194)

Diese Formeln für z_1 und z_2 ändern sich nicht, wenn man statt der Effektivkräfte deren Gegenkräfte einführt, da dabei die Borzeichen im Zähler und im Nenner von z_1 und z_2 umschlagen.

Die Einführung dieser Gegenkräfte ist von einer gewissen Bedeutung.

Junerhalb der Technik pflegt man sich nämlich den Einfluß der Beswegung auf den sich drehenden Körper dadurch zu veranschaulichen, daß man sich die Gegenkräfte der Effektivkräfte an dem ruhenden Körper angebracht denkt. Da das System der Effektivkräfte dem Systeme der äußeren Kräfte (einschließlich der Reaktionen) gleichwertig ist, so steht dieses System mit dem Systeme der Gegenkräfte der Effektivkräfte im Gleichsgewichte. Bergl. S. 344. Denkt man sich also an dem ruhenden Körper neben den äußeren Kräften die Gegenkräfte der Effektivkräfte angebracht, so handelt es sich dann des weiteren lediglich um statische Betrachtungen. Bergl. S. 260. Man nennt die (fingierten) Gegenkräfte der Effektivkräfte, so weit sie von der Winkelgeschwindigkeit op abhängen, Centrifugalkräfte, so weit sie von der Winkelgeschwindigkeit op abhängen, Trägheitskräfte. Nach Gleichung Nr. 107a) und 107b) gilt also für die Centrifugalkräfte eines Körpers bei der Drehung um die Z-Achse

$$X = + \varphi^2 M \xi$$
 $Y = + \varphi^2 M \eta$
 $Z = 0$

$$\begin{cases} M_x = + \varphi^2 D_x \\ M_y = - \varphi^2 D_y \\ M_z = 0 \end{cases} \cdot \cdot \cdot 195$$

Ebenso gilt für die Trägheitskräfte

$$X = + \iota M\eta$$
 $Y = - \iota M\xi$
 $Z = 0$

$$\begin{cases}
M_x = - \iota D_y \\
M_y = - \iota D_x \\
M_z = + \iota \mathfrak{T}_z
\end{cases}$$
 $\cdot \cdot \cdot \cdot 196$

Beide Systeme lassen sich, abgesehen von M_s , durch die Formel Nr. 194) auf je zwei sich kreuzende Kräfte zurücksühren, indem man in dieser einmal $\iota=0$ und einmal $\varphi=0$ sett.

Solange es sich um gleichförmige Drehungen ($\iota = 0$) handelt, kommt hier lediglich das System der Centrifugalkräfte zur Geltung.

Für dieses System der Centrifugalkräfte gilt

$$+z_1=+rac{D_x}{M\eta}$$
 und $-z_2=+rac{D_y}{M\xi}$ · · · 197)

Können die beiden sich kreuzenden Kräfte, welche dieses System dar= stellen, durch eine Kraft ersett werden, so kann man von einer Centri= fugalkraft des ganzen Körpers sprechen.

Sind ξ , η und D_x , D_y von Null verschieden, so ist die allgemeine Bestingung 1) dafür $+z_1=-z_2$, d. h. $\xi D_x-\eta D_y=0$.

¹⁾ Sie ist im Sonderfalle der Bedingung $XM_x + YM_y + ZM_z = 0$. Bergl. S. 335.

Der Wert dieser Centrisugalkraft ist $\varphi^2 M \sqrt{\xi^2 + \eta^2} = \varphi^2 M \varrho$, falls man den Abstand des Schwerpunktes von der Achse durch ϱ bezeichnet, d. h. für die Berechnung dieses Wertes darf man den Körper stets durch seinen Schwerpunkt erset denken.

Von Wichtigkeit ist der Sonderfall, in welchem der Körper eine Sym= metrieebene hat, senkrecht zur Drehungsachse; es ist dann (vergl. S. 388) $D_x = 0$ und $D_y = 0$, salls die Symmetrieebene zur XY-Chene genommen wird, welche dann also auch den Schwerpunkt enthält. Die Resultante aus [X] und [Y] geht hier, da $Y: X = \eta: \xi$ ist, durch den Schwerpunkt. In diesem Falle verhält sich der Körper wie ein materieller Punkt von der Masse M, der mit dem Körperschwerpunkte zusammensällt, d. h. der Körper ist durch seinen Schwerpunkt ersetzer.

Berlegt man einen beliebigen Körper in unendlich=dünne Platten, sent= recht zur Drehungsachse, so gilt obige Betrachtung für jede einzelne Platte. Ist der Körper nun so gebaut, daß die Schwerpunkte der einzelnen Platten in eine Ebene fallen, welche durch die Drehungsachse geht, so bilden die Centrisugalkräste der einzelnen Platten ein ebenes System von Parallel= krästen; dieses hat, abgesehen von dem Sonderfalle des Krästepaares, eine Resultante.

$$Y = + \varphi^2 M \eta$$
 und $M_x = + \varphi^2 D_x = + \varphi^2 \Sigma m z \eta$.

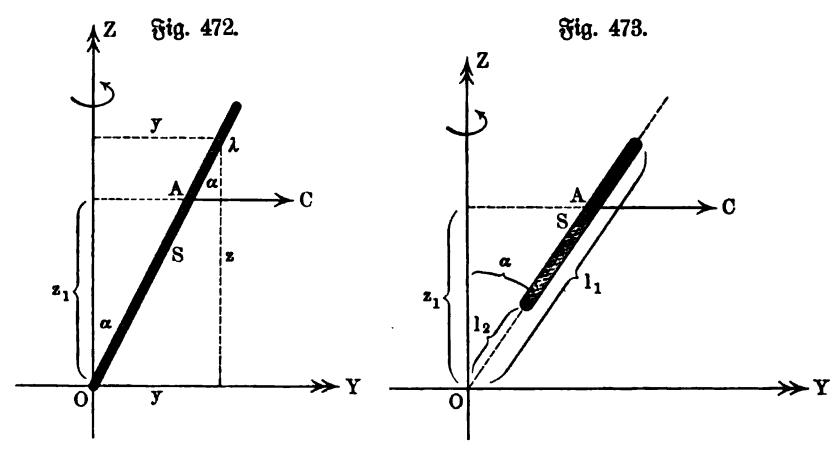
Demnach ist für den Fall einer Resultante deren Angriffspunkt gegeben durch $z_1 = \frac{\sum m z \, \eta}{M \eta}$.

Da die Höhe des Schwerpunktes über der XY-Ebene durch $\zeta = \frac{\sum m\,z}{M}$ bestimmt ist, so geht die Resultante hier im allgemeinen nicht durch den Schwerpunkt, obwohl ihr Wert $\varphi^2 M\eta$ so gebildet ist, als wenn auch hier der Schwerpunkt für den Körper als dynamisches Centrum eintreten könnte 1).

¹⁾ Läßt sich der Körper auffassen als eine ebene Platte, welche die Drehungssachse in sich aufnimmt, so kann man die Ebene der Platte als YZ=Ebene nehmen; es ist dann X=0 und $D_y=0$, so daß nur die Gleichungen $Y=+\varphi^2M\eta$ und $M_x=+\varphi^2D_x$ bestehen bleiben.

Die Centrifugalfrast hat hier also den Wert, als wenn sich im Schwerpunkte der Platte deren Wasse verdichtete, ihr Angrissspunkt liegt (z_1) aber in der Entsfernung $z_0 = \frac{D_x}{M \cdot \eta}$ von der Y=Achse; seine Entsfernung y_0 von der Z=Achse ist ges geben durch $\Sigma(\varphi^2 \mu y)y = (\varphi^2 M \eta)y_0$, d. h. es ist $y_0 = \frac{\mathfrak{T} r_s}{M \cdot \eta}$.

Nur wenn $\eta \Sigma mz = \Sigma mz \eta$ ist, läßt sich auch hier der Körper durch seinen Schwerpunkt ersezen, also z. B. sür $y_1 = y_2 = y_3$ u. s. w., d. h. wenn die Schwerpunkte der einzelnen Platten auf einer Geraden liegen, welche der Drehungsachse parallel ist, wie es z. B. bei einem homogenen Rotationskörper der Fall ist, wenn die Drehungsachse seiner Achse parallel ist.



Für eine Stange von der Länge l, die sich um die Achse OZ dreht, wie es Fig. 472 andeutet, ist die Centrifugalkraft bei einer Belastung γ für die Längeneinheit

$$C = \varphi^2(l\gamma) \cdot \varrho = \frac{1}{2} \varphi^2 m l \sin \alpha$$
,

falls man die Masse ly durch m bezeichnet.

Da hier, wenn man die Ebene durch die Stange als YZ=Ebene ein= führt, $D_y=0$ ist, so hat man nur $D_x=\Sigma \mu yz$ zu berechnen.

Für ein Element λ der Stange ist $\mu = \lambda \gamma$ und, da $y = z t g \alpha$ ist, $\Sigma \mu y z = \lambda \gamma t g \alpha \Sigma z^2$.

Härige z den Wert $p\lambda\cos\alpha$, so daß

$$\Sigma \mu yz = \lambda^3 \gamma \sin \alpha \cos \alpha \Sigma p^2$$

ist.

Für $l=n\lambda$ ergiebt sich bei $lim n=\infty$

$$D_x = \frac{\gamma}{3} l^3 \sin \alpha \cos \alpha = \frac{1}{3} m l^2 \sin \alpha \cos \alpha$$
.

Für den Angriffspunkt A der Centrisugalkraft gilt also

$$z_1 = \frac{D_x}{M \cdot \eta} = \frac{\frac{1}{3} m l^2 \sin \alpha \cos \alpha}{m \cdot \frac{1}{2} l \sin \alpha} = \frac{2}{3} l \cos \alpha,$$

d. h. er liegt auf der Stange von O um $\frac{2}{3}l$ entfernt, während der Schwer= punkt von O den Abstand $\frac{1}{2}l$ hat.

Für die Stange der Fig. 473 gilt

$$C = \frac{1}{2} \varphi^2 \sin \alpha \gamma (l_1^2 - l_2^2).$$

Da hier die Masse $m = (l_1 - l_2) \gamma$ ist, so gilt auch

$$C=\frac{1}{3}\varphi^{3}m(l_{1}+l_{2})\sin\alpha.$$

Ferner ist

$$D_x = \frac{1}{8} \gamma \sin \alpha \cos \alpha (l_1^3 - l_2^3).$$

Man hat also, ba $\eta = \frac{1}{2}(l_1 + l_2) \sin \alpha$ ist, hier

$$s_1 = \frac{\frac{1}{3}\gamma\sin\alpha\cos\alpha(l_1^3 - l_2^3)}{\frac{1}{3}\gamma(l_1 - l_2)(l_1 + l_2)\sin\alpha} = \frac{2}{3}\frac{l_1^3 - l_2^3}{l_1^3 - l_2^3}\cos\alpha.$$

Hur li = 30 cm und la = 10 cm hat d. B. ber Abstand bes Angriffs. punktes auf dem Stabe, von O aus gerechnet, den Wert 21,67 cm, während der Schwerpunkt entsprechend den Abstand 20 cm hat.

Auch in den Fallen, wo die sich freuzenden Rrafte, welche das System der Centrifugalkräfte eines Körpers ersezen, nicht auf eine Kraft zurückgesührt werden können, kann man aus X und Y eine Resultante vom Werte $\phi^2 M \phi$ bilden, nur tritt dann neben dieser noch ein Araftepaar auf.

Wählt man den Schwerpunkt ein für allemal als Zurückführungspunkt dieses Krästesystems, so kann man ihn demnach auch stets als dynamisches Centrum betrachten, nur muß man außerdem noch Fig. 474.

von Fall zu Fall gewisse Kraftepaare beachten, welche auf Bewegung der Achse wirken, während die im Schwerpunkte angreisende Centrifugalkraft an der Achse nach außen reißt.

In den zuletzt behandelten Beispielen der Fig. 472 und 473 würde neben der im Schwerpunkte an der Adhle wirkenden Kraft [C'] vom Werte C noch ein Kräftepaar vom Werte $+\ C$. dauftreten, welches auf Bewegung der Achse wirkt, falls AS . $\cos \alpha = d$ ift.

Festzuhalten ift bei allen diesen Betrachtungen, daß durch Einführung der Centrisugalträfte, ebenso

wie auch der Trägheitskräfte, die Jnanspruchnahme des Körpers innerhalb der Bewegung so dargestellt wird, wie sie am ruhenden Körper unter dem Eins flusse entsprechender statischer Kräfte eintreten würde.

Die Hauptgleichung des Abschnittes, Rr. 192, benutzen wir in der kurzen Form

wenn über die Lage der Achse u. s. w. keine Zweifel obwalten. Ihre Ableitung kann man, auf Grund der vorstehenden Betrachtung, auch kurz auf folgendem Wege gewinnen. Ift O in Fig. 474 der Durchtritt der Achse, senkrecht zur Ebene der Zeichnung, so ist das Moment der Effektivkraft von P vollständig gegeben als $r(\mu j_T)$, weil die Komponente $[j_N]$ von $[j_G]$ die Achse schneidet. Führt man die Winkelbeschleunigung ι ein, so ist $j_T=r\iota$ und man hat also für jenes Moment den Wert i. rou. Da i für die einzelnen Buntte bes Rorpers zur Beit t benfelben Wert hat, fo führt diefe Betrachtung für den Körper zu

$$Mo = \iota (r_1^2 \mu_1 + r_2^3 \mu_2 + \cdots) = \iota \cdot \mathfrak{T} \mathfrak{r}.$$

Dabei bedeutet Mo zunächst das Moment der Effettivfräfte, gemäß dem Principe von d'Alembert aber auch das Moment der gegebenen Kräfte.

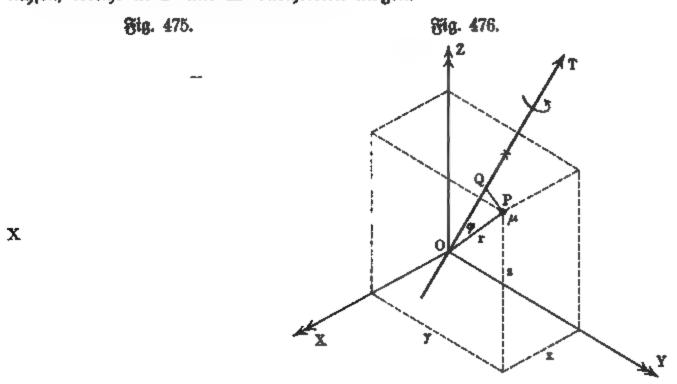
99. Die Trägheitsmomente und Deviationsmomente für verschiedene Achsen und die Hauptachsen des Körpers. Um die Bestimmung von Er für besondere Falle durchführen zu können, betrachten wir diese Größe etwas genauer.

Dazu beweisen wir zunächst solgenden Sat: Ist Er für eine, durch den Massenmittelpunkt S des Körpers gelegte Achse bekannt, so ist es für jede Parallelachse im Abstande a gegeben durch die Formel

$$\mathfrak{Tr}_a = \mathfrak{Tr}_S + a^2 \cdot M$$

in welcher Tr_s das Trägheitsmoment für die Achse durch den Schwerpunkt, Tr_a das Trägheitsmoment für die Parallelachse im Abstande a und M die Masse des Körpers bezeichnet.

Fig. 475 stelle eine Scheibe des Körpers dar, senkrecht zu den beiben Achsen, welche in S' und A' durchtreten mogen.



Jeber Punkt P in der Schnittebene liesert für Tr_S den Beitrag μr^3 und für Tr_a den Beitrag $\mu \varrho^2$. Da $\varrho^3=r^2+a^3-2\,ar\cos\alpha$ ist, so ist

$$\mu \varrho^2 = \mu r^2 + \mu a^2 - 2\mu a r \cos \alpha.$$

Berlegt man den Körper in unendlich bunne Schichten, fentrecht zu der Achse, so gilt also

b. h.
$$\Sigma\mu\varrho^2=\Sigma\mu r^2+a^2(\mu_1+\mu_2+\cdots)-2\,a\,\Sigma\mu r\cos\alpha,$$

$$\mathfrak{T} r_a=\mathfrak{T} r_S+a^2\cdot M-2\,a\,\Sigma\mu r\cos\alpha.$$

Da $r\cos\alpha=x$ ist, so ist $\Sigma\mu r\cos\alpha=\Sigma\mu x$, d. h. es ist das Massens moment für die YZ-Ebene, salls man die Z-Achse senkrecht zur Ebene der Zeichnung durch S' legt. Da diese Ebene den Schwerpunkt enthält, so ist dieses Moment Null. Demnach gilt

$$\mathfrak{Tr}_a = \mathfrak{Tr}_S + a^2 M \quad . \quad . \quad . \quad . \quad . \quad 198)$$

Ferner beweisen wir den Sag: Sind die Trägheitsmomente $\mathbb{T}r_x$, $\mathbb{T}r_y$, $\mathbb{T}r_x$ für drei Achsen OX, OY, OZ, die sich rechtwinkelig in einem Punkte O schneiden, gegeben und sind sür die Ebenen dieser Achsen auch die drei $\mathbb{D}e_z$ viationsmomente (Centrifugalmomente) D_x , D_y , D_z gegeben, so ist auch für eine beliebige durch O gehende Achse OT von bekannter Richtung (α, β, γ) das entsprechende Trägheitsmoment $\mathbb{T}r_{\alpha, \beta, \gamma}$ gegeben.

Bezeichnet man in Fig. 476 durch PQ das Lot von einem beliebigen Punkte P auf OT, so ist der Beitrag von P für das gesuchte Trägheits= moment gegeben als μ . \overline{PQ}^2 .

Für das Quadrat dieses Lotes PQ gilt, falls $P=(x;\ y;\ z)$ ist, der Ausdruck

$$(y^2 + z^2)\cos^2\alpha + (z^2 + x^2)\cos^2\beta + (x^2 + y^2)\cos^2\gamma$$

$$-2yz\cos\beta\cos\gamma - 2zx\cos\gamma\cos\alpha - 2xy\cos\alpha\cos\beta.$$

Man leitet ihn unter anderem leicht auf folgende Weise ab. Man hat $PQ = r \cdot \sin \varphi$ und $\cos \varphi = \cos \alpha \cos \alpha' + \cos \beta \cos \beta' + \cos \gamma \cos \gamma'$, falls OP mit den Achsen bezw. die Winkel α' , β' , γ' bildet (vergl. Gleichung Nr. 11). Auß $x = r \cos \alpha'$, $y = r \cos \beta'$, $z = r \cos \gamma'$ folgt

$$\cos \varphi = \frac{x \cos \alpha + y \cos \beta + z \cos \gamma}{r}$$

und

$$\sin \varphi^2 = 1 - \cos^2 \varphi = \frac{r^2 - (x \cos \alpha + y \cos \beta + z \cos \gamma)^2}{r^2},$$

so day

$$\overline{PQ}^2 = r^2 \sin^2 \varphi = (x^2 + y^2 + z^2) - (x \cos \alpha + y \cos \beta + z \cos \gamma)^2$$
 ift.

Entwickelt man die Quadrate unter Berücksichtigung der Gleichung $\cos^2\alpha + \cos^2\beta + \cos^2\gamma = 1$, so erhält man den oben angegebenen Wert.

Behandelt man alle Punkte des Körpers, wie für P angegeben, so ershält man

$$\Sigma_{\alpha, \beta, \gamma} = \Sigma \mu \cdot \overline{PQ^2} = \cos^2 \alpha \Sigma \mu (y^2 + z^2) + \cos^2 \beta \Sigma \mu (z^2 + z^2) + \cos^2 \gamma \Sigma \mu (x^2 + y^2) - 2\cos \beta \cos \gamma \Sigma \mu yz - 2\cos \gamma \cos \alpha \Sigma \mu zx - 2\cos \alpha \cos \beta \Sigma \mu xy.$$

Da $\sqrt{y^2+z^2}$ den Abstand des Punktes P von der X=Achse bezeichnet, so ist $\Sigma \mu (y^2+z^2)=\Sigma r_x$ das Trägheitsmoment des Körpers in Bezug auf die X=Achse als Drehungsachse u. s. w.

Ebenso ist $\Sigma \mu ys = D_x$ das Deviationsmoment (Centrisugalmoment) des Körpers in Bezug auf die YZ-Ebene, welches auch als D_{yz} bezeichnet werden kann, u. s. w.

Demgemäß gilt

$$\begin{array}{l} \mathfrak{Tr}_{\alpha, \beta, \gamma} = \mathfrak{Tr}_{x} \cdot \cos^{2}\alpha + \mathfrak{Tr}_{y} \cdot \cos^{2}\beta + \mathfrak{Tr}_{z} \cdot \cos^{2}\gamma \\ - 2 D_{x} \cos\beta \cos\gamma - 2 D_{y} \cos\gamma \cos\alpha - 2 D_{z} \cos\alpha \cos\beta \end{array} \right\} \cdot 199$$

Die Formeln Nr. 198) und 199) gestatten, das Trägheitsmoment für jede beliebige Achse herzustellen, falls für irgend einen Punkt O des Körpers

und ein durch diesen gelegtes Achsensustem die Größen $\mathbb{T}r_x$, $\mathbb{T}r_y$, $\mathbb{T}r_s$ und D_x , D_y , D_s gegeben sind.

Um dies durchzusühren, zeichnet man zu der gegebenen Achse I Parallelen II und III bezw. durch O und durch S. Unmittelbar gegeben ist dann durch Sleichung Nr. 199) das Trägheitsmoment für die Achse II durch O, welches Tr_{11} heißen mag. Ist a_2 der Abstand von II und III, so gilt nun ferner nach Gleichung Nr. 198

$$\mathfrak{Tr}_{11} = \mathfrak{Tr}_{111} + a_2^2 \cdot M$$
, b. h. $\mathfrak{Tr}_{111} = \mathfrak{Tr}_{11} - a_2^2 \cdot M$.

Ist endlich a_1 der Abstand von I und III, so gilt gleichfalls nach Gleischung Nr. 198)

$$\mathfrak{Tr}_{1} = \mathfrak{Tr}_{11} + a_{1}^{2} \cdot M = \mathfrak{Tr}_{11} + (a_{1}^{2} - a_{2}^{2}) M.$$

Diese Bestimmung läßt sich sehr vereinfachen, wenn man das Kreuz durch $\mathcal O$ geschickt wählt.

Trägt man auf OT in Fig. 476 eine Strede OE ab vom Werte $\frac{C}{\sqrt{\Sigma r_{\alpha, \beta, \gamma}}}$, so erhält man einen Punkt E, dessen Koordinaten $r = OE \cdot \cos \alpha$, $r = OE \cdot \cos \beta$, $r = OE \cdot \cos \gamma$ sind. Denkt man diese Konstruktion sür alle durch O gehenden Strahlen durchgeführt, so entsteht eine Fläche, sür welche O Centrum sein muß, da die Werte sür OE und \overline{OE} dieselben sind, salls OE und \overline{OE} auf einer Geraden liegen.

Diese Fläche ist leicht zu bestimmen, indem man $\cos\alpha=\frac{\mathfrak{x}}{OE}$, $\cos\beta=\frac{\mathfrak{y}}{OE}$, $\cos\gamma=\frac{\mathfrak{d}}{OE}$ in den Wert von $\mathfrak{T}_{\alpha,\ \beta,\ \gamma}=\frac{C^2}{\overline{OE}^2}$ einführt. So ergiebt sich $C^2=\mathfrak{x}^2\cdot\mathfrak{T}_x+\mathfrak{y}^2\cdot\mathfrak{T}_x+\mathfrak{z}^2\cdot\mathfrak{T}_x+\mathfrak{z}^2\cdot\mathfrak{T}_x-2\,D_x\mathfrak{y}\mathfrak{z}-2\,D_y\mathfrak{z}\mathfrak{x}-2\,D_z\mathfrak{x}\mathfrak{y}.$

Man erhält also eine geschlossene Fläche zweiter Ordnung, deren Tenstrum O ist, d. h. ein dreiachsiges Ellipsoid vom Tentrum O, welches das Trägheitsellipsoid für O heißt.

Erset man das zufällig gewählte Koordinatensystem durch das System der Hauptachsen (ξ, η, ζ) des Ellipsoides, so geht obige Gleichung über in

$$C^2 = \xi^2 \cdot \mathfrak{T} \mathfrak{r}_{\xi} + \eta^2 \cdot \mathfrak{T} \mathfrak{r}_{\eta} + \xi^2 \cdot \mathfrak{T} \mathfrak{r}_{\xi} \cdot \ldots \cdot 200 \, a$$

d. h. in Bezug auf dieses System erhalten die Größen D_{ξ} , D_{η} , D_{ζ} den Wert Null.

In diesem Systeme gilt also auch für Tra, ß, y die einfachere Gleichung

$$\mathfrak{Tr}_{\alpha, \beta, \gamma} = \mathfrak{Tr}_{\xi} \cdot \cos^2 \alpha + \mathfrak{Tr}_{\eta} \cdot \cos^2 \beta + \mathfrak{Tr}_{\zeta} \cdot \cos^2 \gamma$$
. 200 b)

falls die Achse, auf welche sich $\operatorname{Tr}_{\alpha, \beta, \gamma}$ bezieht, mit den Hauptachsen des Ellipsvides bezw. die Winkel α, β, γ bildet.

Demnach gelangen wir zu dem Schlusse:

Durch jeden Punkt O eines Körpers geht ein, aber im all= gemeinen auch nur ein System dreier, auseinander rechtwinke= liger Achsen (ξ, η, ζ) , für welche die Deviationsmomente (Centri= sugalmomente) D_{ξ} , D_{η} , D_{ζ} verschwinden: man nennt diese Achsen die Hauptachsen des Körpers für den Punkt O.

Wählt man diese Achsen zu Koordinatenachsen, so reicht die Kenntnis der drei Trägheitsmomente Trz, Trz, welche Hauptsträgheitsmomente heißen, aus, um das Trägheitsmoment für jede beliebige Achse durch O zu bestimmen, gemäß Gleichung Nr. 200b).

Da C^2 jeden beliebigen Wert erhalten kann, so stellt die Gleichung $\Re r.\ 200\,a$) eine unendliche Schar ähnlicher und ähnlich=gelegener Ellipsoide dar, deren jedes für die Untersuchung brauchbar ist.

Liegen keine besonderen Gründe vor, so kann man $C^2 = 1$ sezen. Stellt man ein Trägheitsmoment Tr gemäß der Reduktion träger Massen (vergl. S. 257) in der Form $T = ml^2$ dar, so wird l der entsprechende Trägheitsarm genannt, weil ein materieller Punkt von der Masse m im Abstande l von der Achse in Bezug auf diese das Trägheitssmoment Tr hat.

Denkt man sich den Körper für eine bestimmte Achse (α, β, γ) durch einen materiellen Punkt von der Körpermasse M ersett, so gilt

$$\mathfrak{T}_{\alpha, \beta, \gamma} = \varrho_{\alpha, \beta, \gamma}^2 \cdot M.$$

Man nennt $\varrho_{\alpha,\beta,\gamma}$ den Trägheitsarm für die Achse (α,β,γ) . Führt man für Tr ξ , Tr $_{\eta}$, Tr $_{\zeta}$ die Trägheitsarme ein, so geht Gleichung Nr. 200 a) über in

$$C'^{2} = \frac{C^{2}}{M} = \xi^{2} \varrho_{\xi}^{2} + \eta^{2} \varrho_{\eta}^{2} + \xi^{2} \varrho_{\xi}^{2} \quad . \quad . \quad . \quad 201)$$

Hier setzt man zwedmäßig $C^2 = M$ bezw. $C'^2 = 1$.

Ift das Trägheitsellipsoid ein Umdrehungsellipsoid, dessen Achse z. B. die ξ =Achse ist, so ist $\operatorname{Tr}_{\xi} = \operatorname{Tr}_{\eta} = \operatorname{Tr}$; in diesem Falle hat $\operatorname{Tr}_{\alpha, \beta, \gamma}$ für jede Achse der $\xi \eta$ =Ebene ($\gamma = 90^{\circ}$) nach Gleichung Nr. 200 b) den Wert $\operatorname{Tr}(\cos^2\alpha + \cos^2\beta) = \operatorname{Tr}$, wie auch aus der Anschauung folgt.

Ist das Trägheitsmoment eine Kugel, so ist $\operatorname{Tr}_{\xi} = \operatorname{Tr}_{\eta} = \operatorname{Tr}_{\zeta} = \operatorname{Tr}_{\xi}$ wie auch aus der Anschauung solgt, hat in diesem Falle jedes $\operatorname{Tr}_{\alpha, \beta, \gamma}$ den Wert $\operatorname{Tr}(\cos^2\alpha + \cos^2\beta + \cos^2\gamma) = \operatorname{Tr}$.

Da nach früheren Bemerkungen (vergl. S. 388) die Deviationsmomente für Symmetrieebenen der Körper verschwinden, so hat z. B. das Rechtkant mit verschiedenen Kanten für seinen Schwerpunkt ein dreiachsiges Ellipsoid als Trägheitsellipsoid, dessen Achsen zu den Kanten des Rechtkants parallel sind, während das Rechtkant auf quadratischer Basis, wenn es kein Würfel ist, den Fall des Umdrehungsellipsoides, der Würfel den Fall der Kugel darstellt.

Wählt man den Schwerpunkt S zum Mittelpunkte des Trägsheitsellipsoides, so führt dieses den Namen "Centralellipsoid".

Wählt man eine Hauptachse eines beliebigen Punktes O als Drehungsachse, so gilt gemäß Formel Nr. 108 b) für die Effektivkräfte, falls die Achse die L-Achse ist,

$$M_{\xi}=0$$
, $M_{\eta}=0$, $M_{\zeta}=-\iota \mathfrak{Tr}_{\xi}$,

d. h. eine Hauptachse verhält sich in Bezug auf Drehungen wie eine feste Achse, wobei im übrigen aber die Formeln Nr. 107a) zu berücksichtigen sind.

Wählt man im besonderen eine Hauptachse durch den Schwerpunkt S des Körpers als Drehungsachse, so bleibt gemäß Formel Nr. 108 a) und

108 b) bezw. gemäß Formel Nr. 109) von dem Systeme der Effektiv= kräfte nur

$$M_{\zeta} = \iota \mathfrak{T} \mathfrak{r}_{\zeta}$$

übrig. Demgemäß gilt: Für jeden Körper sind die Hauptachsen des Schwerpunktes und nur diese freie Achsen, falls außer einem, senkrecht zur Achse wirkenden Momente keine äußeren Kräfte vorshanden sind.

100. Die Berechung der Trägheitsmomente und der Deviations= momente (Centrifugalmomente). a) Allgemeines. Die Berechnung der Trägheitsmomente und Deviationsmomente ist in der Technik meist nur für homogene Körper erforderlich bezw. für Körper, welche aus solchen zusammen= gesetzt sind.

Von den Trägheitsmomenten für homogene Körper gelangt man zu den Trägheitsmomenten homogener Flächen und homogener Linien durch Betrachstungen, welche den in der Lehre des Schwerpunktes durchgeführten genau entsprechen, wobei man die Flächeneinheit bezw. die Linieneinheit mit der Masse δ homogen belegt denkt.

Für $\delta=1$ gelangt man wieder zu rein geometrischen Beziehungen. Sieht man einen Körper und die Achse, sür welche das Trägheitssmoment des Körpers berechnet werden soll, als ein System an und bildet man dieses System ähnlich ab nach dem Wodul $1:\varepsilon$, so verhalten sich die Trägheitsmomente des ursprünglichen Körpers und seiner Abbildung wie $1:\varepsilon^5$, salls man beide Körper aus demselben homogenen Stoffe hergestellt denkt.

Ist nämlich v ein Volumenelement des ersten Körpers und r dessen stand von der Achse, so sind die entsprechenden Größen sür den zweiten Körper $v \cdot \varepsilon^3$ und $r \cdot \varepsilon$, so daß dem Trägheitsmomente $(v \cdot \delta) r^2$ das Trägsheitsmoment $(v \cdot \varepsilon^3 \cdot \delta) r^2 \varepsilon^2 = (v\delta) r^2 \cdot \varepsilon^5$ entspricht. Solches gilt für alle Volumenelemente beider Körper, also auch für diese selbst.

Für homogen belegte Flächen und Linien sind die entsprechenden Vershältnisse bezw. $1: \varepsilon^4$ und $1: \varepsilon^3$.

Will man die Trägheitsmomente eines Körpers für alle möglichen Achsen darstellen, so ist es zweckmäßig, auf die Betrachtung eines Trägheits= ellipsoides bezw. im besonderen des Centralellipsoides zurückzugreisen, dessen Achsen ihrer Lage nach (Symmetrie) bei den, in der Technik ver= wendeten Körpern meist unmittelbar gegeben sind.

Es handelt sich dabei um die Bestimmung der drei Trägheitsmomente für die Hauptachsen des Schwerpunktes, deren jedes im allgemeinen durch einen Grenzübergang hergestellt werden muß.

Von hier aus gelangt man durch die Formeln Nr. 198) und 199) zu dem Trägheitsmomente jeder beliebigen Achse.

Die Anwendungen verlangen besonders häufig die Anwendung von Formel Nr. 198), aus welcher sich noch eine Reihe von brauchbaren Folgerungen absleiten lassen. Besteht z. B. ein Körper aus zwei Teilkörpern von den Massen m_1 und m_2 , deren Schwerpunkte S_1 und S_2 heißen, und sind die Trägheits=

momente dieser Körper bezw. für zwei Parallelachsen durch S_1 und S_2 als Tr_1 und Tr_2 gegeben, so gilt für eine zu jenen Achsen parallele Achse durch den Gesamtschwerpunkt S die Formel

$$\mathfrak{T}\mathbf{r} = \mathfrak{T}\mathbf{r}_1 + \mathfrak{T}\mathbf{r}_2 + \frac{m_1 m_2}{m_1 + m_2} \cdot e^2 \quad . \quad . \quad 202$$

falls der Abstand der Achsen durch S_1 und S_2 mit e bezeichnet wird.

Wan hat nämlich nach Formel Nr. 198) zunächst, salls a_1 und a_2 bezw. die Abstände der Achsen durch S_1 und S_2 von der Achse durch S bezeichnen,

$$\mathfrak{Tr} = (\mathfrak{Tr}_1 + a_1^2 m_1) + (\mathfrak{Tr}_2 + a_2^2 m_2).$$

Da aber $a_1 + a_2 = e$ und $m_1 a_1 = m_2 a_2$ ist, so lassen sich a_1 und a_2 durch m_1 , m_2 und e ausdrücken, wie oben angegeben.

Handelt es sich darum, von einer Achse, die von dem Schwerpunkte den Abstand a_1 hat, überzugehen zu einer Parallelachse, die vom Schwerpunkte den Abstand a_2 hat, so gilt in Bezug auf eine Parallelachse durch S

$$\mathfrak{T}\mathfrak{r}_{a_1}=\mathfrak{T}\mathfrak{r}_S+a_1^2.m$$
 und $\mathfrak{T}\mathfrak{r}_{a_2}=\mathfrak{T}\mathfrak{r}_S+a_2^2.m$, b. h. man hat

$$\mathfrak{T}_{a_2} = \mathfrak{T}_{a_1} + m(a_2^2 - a_1^2).$$

Für die Beziehung des Abstandes a der beiden Achsen zu den Abständen a_1 und a_2 gilt stets (vergl. Fig. 477)

$$a^2 = a_1^2 + a_2^2 - 2 a_1 a_2 \cos \alpha$$
.

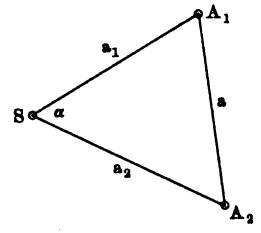
Liegen die drei Achsen in einer Ebene, so vereinfacht sich diese Beziehung erheblich.

Bei der Berechnung eines bestimmten Trägheitsmomentes eines Körpers finden die folgenden Betrachtungen, welche sich auf ebene, homogen beslegte Flächen beziehen, sinngemäß Anwendung.

Gleiches gilt auch in Bezug auf die Deviationsmomente (Centrifugal=momente).

b) Die Bestimmung der Trägheitsmomente und der Deviastionsmomente ebener, homogen belegter Flächen. In der Technik spielen die Trägheitsmomente von (ebenen) Querschnitten einzelner Konsstruktionsglieder eine hervorragende Rolle, wobei diese als ebene, homogen belegte Flächen (d) aufzusassen sind, und zwar mit einer Belegung, entsprechend $\delta = 1$.

Faßt man die Ebene der Fläche als XY-Ebene auf, während die Z-Achse senkrecht auf der Fläche steht, so bezeichnet man \mathbb{T}_x und \mathbb{T}_y als achsiale Trägheitsmomente, weil deren Achsen in der Fläche als Achsen auftreten, während man \mathbb{T}_x ein polares Trägheitsmoment i) nennt, weil dessen Achse die Fläche nur in einem Punkte (Pol) trifft. Man bezeichnet dann \mathbb{T}_x und \mathbb{T}_y wohl auch bezw. als \mathbb{T}_1 und \mathbb{T}_2 und \mathbb{T}_z als \mathbb{T}_0 .



¹⁾ Die Ausdehnung dieses Begriffes auf Körper ist bisher in der Technik nur von geringer Bedeutung geworden.

Da hier alle materiellen Punkte in der XY-Ebene liegen, so gilt für jeden dieser Punkte gemäß Fig. 478

$$r^2 = y^2 + x^2.$$

Bezeichnet man nun ein Element der Fläche durch op und die Beslegung der Flächeneinheit durch o, so ist

$$(\varphi \delta) r^2 = (\varphi \delta) y^2 + (\varphi \delta) x^2$$

und demnach auch

$$\Sigma(\varphi\delta) r^2 = \Sigma(\varphi\delta) y^2 + \Sigma(\varphi\delta) x^2$$

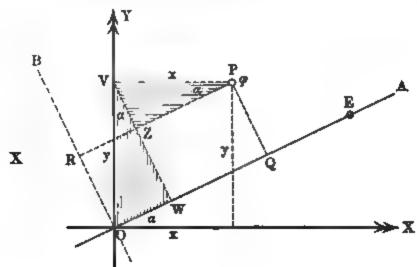
wobei die Summation über alle Elemente der Flache zu erstrecken ift. Die Glieder dieser Gleichung sind die drei Trägheitsmomente der ebenen Flache, so daß hier

$$\mathfrak{T}\mathfrak{r}_s = \mathfrak{T}\mathfrak{r}_x + \mathfrak{T}\mathfrak{r}_y$$
 ober $\mathfrak{T}\mathfrak{r}_0 = \mathfrak{T}\mathfrak{r}_1 + \mathfrak{T}\mathfrak{r}_2$. . . 203)

gilt.

Bon dem Trägheitsellipsoide bezw. im besonderen von dem Centralsellipsoide ift hier meist nur der Schnitt mit der XY-Ebene, die sogenannte Trägheitsellipse bezw. im besonderen die Centralellipse von Wichtigkeit.

Fig. 478. Fig. 479.



Man kann diese Ellipse selbständig einführen durch die Erklärung: Wenn man die Trägheitsmomente Tr_a einer ebenen Fläche für alle in ihr gelegenen Achsen, die durch einen bestimmten Punkt O gehen, bestimmt, und auf jeder Achse (α)

von O aus Streckenpaare vom Werte $\frac{C}{\sqrt{\mathfrak{T}\mathfrak{r}_a}}$ aufträgt, so bilden die Endpunkte

dieser Streckenpaare die zu O gehörige Trägheitsellipse der ebenen Fläche. Ist O der Schwerpunkt der Fläche, so heißt die Ellipse im besonderen Centralsellipse.

Ihre Gleichung erhält man gemäß ber Entwickelung auf S. 646 für z=0 als

$$x^2$$
 . $\operatorname{Tr}_x + y^2$. $\operatorname{Tr}_y - 2\,xy\,D_{xy} = C^2$, während zugleich $\operatorname{Tr}_\alpha = \operatorname{Tr}_x \cdot \cos^2 \alpha + \operatorname{Tr}_y \cdot \sin^2 \alpha - D_{xy}\sin 2\,lpha$. . . 204)

ist; dabei bedeuten Tr_x und Tr_y die Trägheitsmomente für die Achsen OX und OY eines beliebigen rechtwinkeligen Kreuzes und D das Deviations-

moment (Centrifugalmoment) für die XY=Ebene mit ihrem bestimmten Kreuze XOY, welches genauer als D_x oder auch als D_{xy} bezeichnet werden kann, während Tr_a das Trägheitsmoment für eine Achse darstellt, welche durch O geht und mit der X=Achse den Winkel α bildet.

Um diese Beziehungen selbständig zu entwickeln, bestimmt man hier zu= nächst den Abstand PQ eines Flächenelementes φ von der durch O gehenden Achse OA, welche unter dem Winkel α gegen OX gegeben ist (vergl. Fig. 479). Man hat

$$PQ = VW - VZ = y \cos \alpha - x \sin \alpha$$
.

Demnach ist das Trägheitsmoment von φ für OA bei einer homogenen Belegung δ für die Flächeneinheit

$$\varphi \cdot \overline{PQ}^2 \cdot \delta = \varphi (y \cos \alpha - x \sin \alpha)^2 \cdot \delta$$

= $(\varphi \delta) y^2 \cdot \cos^2 \alpha + (\varphi \delta) x^2 \cdot \sin^2 \alpha - (\varphi \delta) xy \sin 2\alpha$.

Das Trägheitsmoment der ganzen Fläche für OA ist demnach

$$\mathfrak{T}_{\alpha} = \cos^2 \alpha \, \Sigma(\varphi \, \delta) \, y^2 \, + \, \sin^2 \alpha \, \Sigma(\varphi \, \delta) \, x^2 \, - \, \sin 2 \alpha \, \Sigma(\varphi \, \delta) \, xy.$$

Da die Summen der Reihe nach das Trägheitsmoment T_x für die X=Achse, das Trägheitsmoment T_y für die Y=Achse und das Deviations= moment D für das Kreuz XOY bezeichnen, so ist die zweite Gleichung der Nr. 204) damit von neuem bewiesen.

Trägt man nun auf OA eine Strecke $OE=rac{C}{\sqrt{\mathfrak{Tr}_a}}$ auf, so sind die Koordinaten ihres Endpunktes

$$x = \frac{C}{\sqrt{\mathfrak{T}\mathfrak{r}_{\alpha}}} \cdot \cos \alpha$$
 und $y = \frac{C}{\sqrt{\mathfrak{T}\mathfrak{r}_{\alpha}}} \cdot \sin \alpha$,

so daß $cos^2\alpha = \frac{x^2 \cdot \mathfrak{Tr}_a}{C^2}$, $sin^2\alpha = \frac{y^2 \cdot \mathfrak{Tr}_a}{C^2}$ und $sin 2\alpha = \frac{2xy \cdot \mathfrak{Tr}_a}{C^2}$ ist.

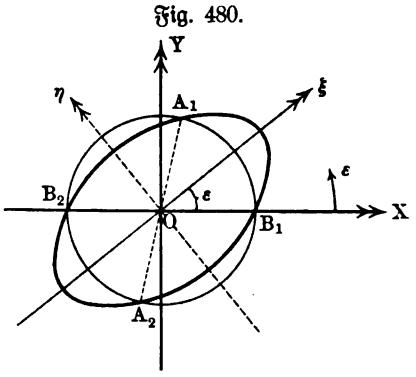
Trägt man diese Werte in die eben erhaltene Gleichung ein, so erhält man auch die erste Gleichung der Nr. 204) von neuem. Führt man den Träg= heitsarm ein, indem man $\operatorname{Tr}_u = \varrho_u^2(f\delta)$ sett, wobei f die ganze Fläche

und demnach $f\delta$ die ganze Masse bedeutet, so ist $\frac{C}{\sqrt{\mathfrak{T}\mathfrak{r}_a}}=\frac{1}{\varrho_a}\cdot\frac{C}{\sqrt{f\delta}}=\frac{C'}{\varrho_a}$,

d. h. man gewinnt die Ellipse auch durch Auftragen von Strecken, proportio= nal zu den reciproken Werten des Sia 480.

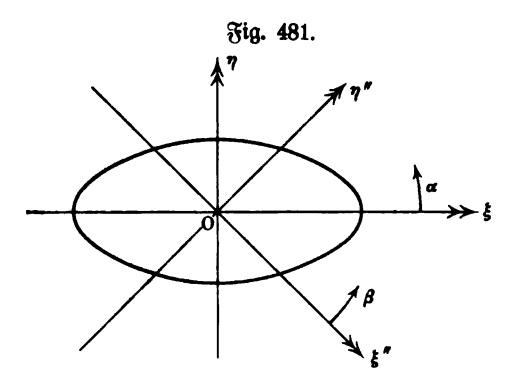
Trägheitsarmes oa.

Die Konstanten C bezw. C', welche die Dimension l^3 bezw. l^2 haben, weil OE die Dimension l^1 und Tr_a die Dimension l^4 hat, sind ganz beliebig, so daß es sich stets um eine unendliche Schar von ähnlichen und ähnlich=gelege=nen Ellipsen handelt, deren jede für die Betrachtung brauchbar ist. Für C=1 oder C'=1 erhält man je eine be=stimmte Ellipse der Schar.



Deviationsmoment für jedes Kreuz durch O bestimmt. Dreht man das Nebenkreuz, dem Winkelsinne entsprechend, bis es wieder in seine alte Lage kommt, so geht β von 0° bis 360° und 2β von 0° bis 720° .

Für $\beta=45^{\circ}$, 135° , 225° , 315° findet ein Zusammenfallen mit dem Hauptkreuze statt, wobei $\cos2\beta=0$, d. h. $D_{\beta}=0$ wird. Um die Bor=



zeichen der Formel Nr. 208) zu unterscheiden, muß man zunächst das Hauptkreuz näher bestimmen, und das soll so geschehen, wie es Fig. 481 zeigt, wobei die ξ =Achse die große Achse der Ellipse wird, so daß also $\mathfrak{T}r_{\xi} < \mathfrak{T}r_{\eta}$ ist.

Dreht man nun das Hauptkreuz um α in die Lage (ξ'', η'') , wobei $\xi = \xi'' \cos \alpha - \eta'' \sin \alpha$ und $\eta = \xi'' \sin \alpha + \eta'' \cos \alpha$ zu segen ist, so erhält man für $\cos^2 \alpha = \sin^2 \alpha$

$$\frac{1}{2}(\xi'')^2 \mathfrak{T}r_0 + \frac{1}{2}(\eta'')^2 \mathfrak{T}r_0 + \xi''\eta'' (\mathfrak{T}r_{\eta} - \mathfrak{T}r_{\xi}) \sin 2\alpha = C^2.$$

Soll diese Gleichung mit der Gleichung für das Nebenkreuz

$$\frac{1}{2}(\xi')^2 \mathfrak{T} \mathfrak{r}_0 + \frac{1}{2}(\eta')^2 \mathfrak{T} \mathfrak{r}_0 - 2 D_0 \xi' \eta' = C^2$$

übereinstimmen, und soll dabei D_0 einen positiven Wert erhalten, so muß, da $\operatorname{Tr}_{\eta} - \operatorname{Tr}_{\xi} > 0$ ist, gesetzt werden $\sin 2\alpha = -1$, d. h. $2\alpha = -90^{\circ}$ oder $+270^{\circ}$ und $\alpha = -45^{\circ}$ oder $+135^{\circ}$.

Unter dieser Voraussetzung ist

$$D_0 = \frac{1}{2} (\mathfrak{Tr}_{i_i} - \mathfrak{Tr}_{\xi}) \quad . \quad . \quad . \quad . \quad 210)$$

Der Winkel β des Nebenkreuzes entspricht also hier dem Winkel $\alpha=135^{\circ}+\beta$ oder $\alpha=315^{\circ}+\beta$, so daß gemäß Nr. 209)

$$D_{\alpha} = -D_0 \cdot \sin 2\alpha \quad . \quad . \quad . \quad . \quad . \quad 211)$$

ist, falls man alles auf das Hauptkreuz beziehen will. Fig. 481 zeigt die Lage des Nebenkreuzes für $\alpha=-45^{\circ}$, eine Umkehrung der Pseile beider Achsen entspräche $\alpha=+135^{\circ}$.

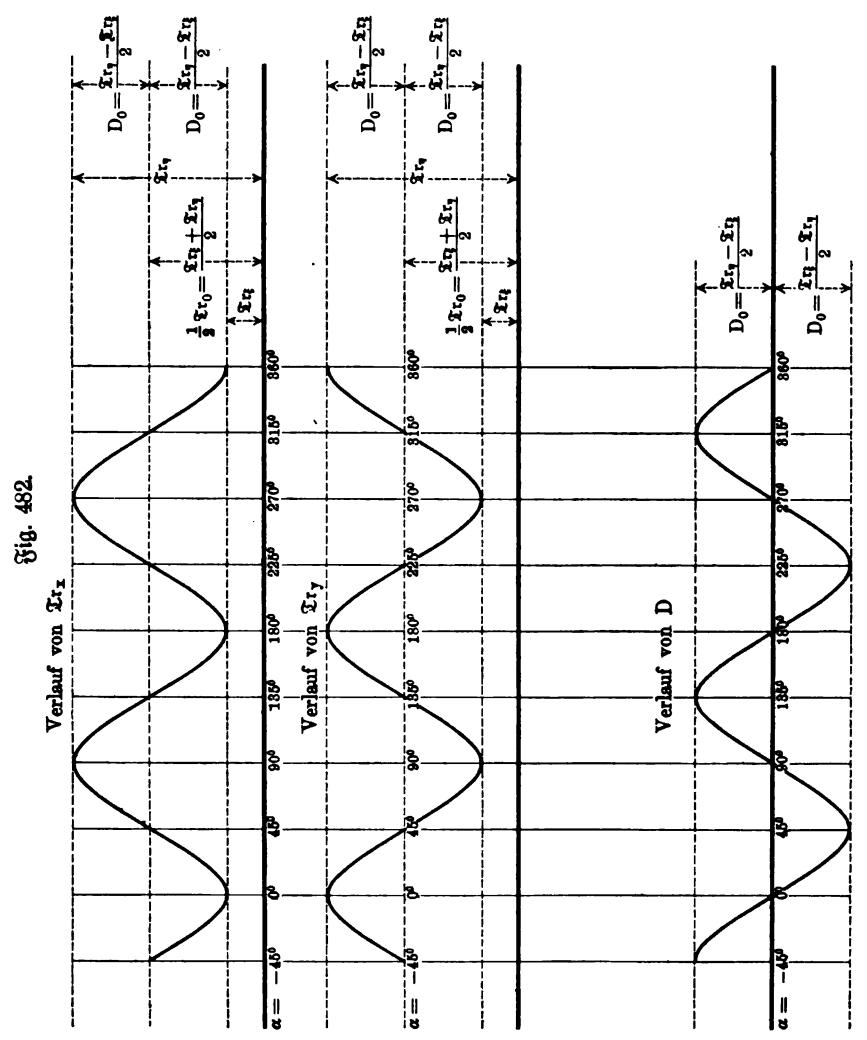
Dreht man das Hauptkreuz stetig um 360° , so sind die Werte Tr_x , Tr_y und D, welche den einzelnen Stellungen seiner Achsen entsprechen, nun leicht zu bestimmen. Sie werden durch Fig. 482 veranschaulicht.

Fig. 482 erläutert auch die gewonnenen Gleichungen und deren Folge= rungen

$$\mathfrak{Tr}_x = \mathfrak{Tr}_\xi + (\mathfrak{Tr}_\eta - \mathfrak{Tr}_\xi) \sin^2 \alpha$$
 und $\mathfrak{Tr}_y = \mathfrak{Tr}_\eta - (\mathfrak{Tr}_\eta - \mathfrak{Tr}_\xi) \sin^2 \alpha$ $\mathfrak{Tr}_\beta = \frac{1}{2} \mathfrak{Tr}_0 - D_0 \sin 2 \beta$ und $\mathfrak{Tr}_\alpha = \frac{1}{2} \mathfrak{Tr}_0 - D_0 \cos 2 \alpha$ $\mathfrak{Tr}_\beta = D_0 \cos 2 \beta$ und $\mathfrak{Tr}_\alpha = D_0 \sin 2 \alpha$.

Unter den Veranschaulichungen dieser Beziehungen ist noch für *D* die Darstellung durch eine der Cassinischen Kurven und zwar durch eine Lem niscate zu erwähnen.

Da sich D nicht auf eine der Achsen bezieht, wie das Trägheitsmoment, sondern auf das Achsenkreuz, so ist es zweckmäßig, den Wert für D oder daraus abgeleitete Werte von O aus auf einer Symmetralen des Kreuzes abzutragen. Dabei ergeben sich insofern Schwierigkeiten, als D seine Vorzeichen wechselt; man kann diese z. B. dadurch beseitigen, daß man die Symmetrale



der Quadranten (+,+) und (-,-) des Nebenkreuzes für positive Werte von D und die Symmetrale der Quadranten (+,-) und (-,+) des Nebenkreuzes für negative Werte von D benutzt.

Trägt man die Werte von D selbst von O aus ab, so erhält man dabei Kurven, welche sonst nicht in Gebrauch sind.

Führt man statt deffen, dem Trägheitsmomente entsprechend, einen Arm

für das Deviationsmoment ein, so gelangt man zu der bekannten Lems niscate, welche der Gruppe der Cassinischen Kurven angehört.

Für positive Werte von D kann man ohne weiteres $D_{\beta} = \varrho_{\beta}^2(f\delta)$ setzen, so daß $\varrho_{\beta}^2 = \varrho_0^2 \cos 2\beta$ wird.

Diese Gleichung ist, salls für die in Fig. 481 gezeichnete Lage des Nebenstreuzes die positive &=Achse als Symmetrale benutt wird, unmittelbar als Polargleichung für diese &=Achse zu verwenden, da [q] beim Auftragen auf

die Symmetrale mit der ξ -Achse denselben Winkel φ bildet, wie die ξ'' -Achse mit ihrer ursprünglichen Lage, so daß stets $\varphi=\beta$ ist. Man hat also für die positiven Werte von D

$$\varrho^2 = \varrho_0^2 \cos 2 \varphi \quad . \quad 212)$$

Diese Betrachtung entspricht der in Fig. 483 gezeichneten Lemniscate, bei der z. B. $\varrho = OP$ den Wert von D für die Lage P'OP'' des Nebenstreuzes bestimmt.

Für negative Werte von D, für deren Darstellung die beiden Quadranten (+,-) und (-,+) des Nebenkreuzes vorhanden sind, setzen wir

$$-D_{\beta}=\varrho_{\beta}^{2}(f\delta),$$

so daß hier die Gleichung $\varrho_{\beta}^2 = \varrho_0^2 [-\cos 2\beta]$ zu verwenden ist, wobei ϱ_0 den alten Wert hat.

Benuten wir hier die Symmetrale zwischen der negativen ξ'' =Achse und der η'' =Achse, so ist φ für das Hauptkreuz mit β verbunden durch $90^\circ + \beta = \varphi$, so daß $-\cos 2\beta = +\cos 2\varphi$ ist, d. h. man erhält dieselbe Lemniscate wie vorher.

Es bestimmt in Fig. 483 z. B. $\varrho = OP$ den Wert von — D sür die Lage I''OP' des Nebenkreuzes.

Um die Lemniscate 1) zu konstruieren, kann man solgendermaßen verschen. Da $D_0 = \frac{1}{2} (\mathfrak{T} \mathfrak{r}_{\eta} - \mathfrak{T} \mathfrak{r}_{\xi}) = \frac{1}{2} (f \delta) (\varrho_{\eta}^2 - \varrho_{\xi}^2)$ ist, so ist

^{&#}x27;) In Bezug auf die weitere Verwendung dieser Lemniscate vergl. Holz= müller, Ingenieur=Mathematik, 1897.

$$\varrho^2 = \frac{1}{2} (\varrho_{\eta}^2 - \varrho_{\xi}^2) \cos 2 \varphi = (\frac{1}{2} \sqrt{\varrho_{\eta}^2 - \varrho_{\xi}^2}) (\sqrt{\varrho_{\eta}^2 - \varrho_{\xi}^2} \cos 2 \varphi).$$
In Fig. 484 ift $ON = \sqrt{\varrho_{\eta}^2 - \varrho_{\xi}^2}$, so daß für $OM = \frac{1}{2} ON$ ift $\varrho^2 = OM \cdot OQ$,

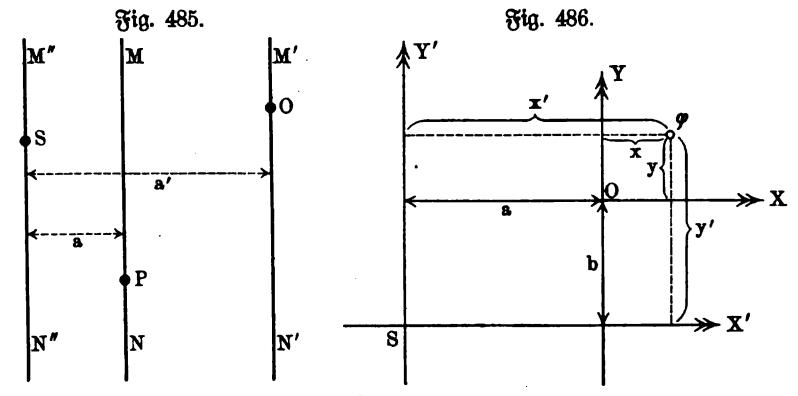
b. h. $OP = \varrho$ ist mittlere Proportionale zwischen OM und OQ, so daß $\triangle OMP \sim \triangle OPQ$ ist.

Um von den Momenten sür Achsen durch einen Punkt O zu Momenten für beliebige andere Achsen überzugehen, benutt man stets Parallelachsen durch den Schwerpunkt S.

Beim Trägheitsmomente reicht für $m=f\delta$ die Formel (vergl. S. 645)

$$\mathfrak{T}\mathfrak{r}_a = \mathfrak{T}\mathfrak{r}_S + a^2 \cdot m$$

aus. Ist für den Punkt O alles bekannt, während es sich um die Achse MN durch P handelt, so zieht man durch O und S Parallelachsen zu MN.



Bezeichnet man die Trägheitsmomente für die Achsen MN, M'N' und M''N'' bezw. durch Tr, Tr' und Tr'', so gilt gemäß Fig. 485

$$\mathfrak{T}\mathfrak{r}'=\mathfrak{T}\mathfrak{r}''+a'^2\cdot (f\delta)$$
 und $\mathfrak{T}\mathfrak{r}=\mathfrak{T}\mathfrak{r}''+a^2\cdot (f\delta)$,

d. h. man hat

$$\mathfrak{Tr} = \mathfrak{Tr}' + (a^2 - a'^2)(f\delta).$$

Für das Deviationsmoment gilt für zwei parallele Kreuze, von denen eins durch den Schwerpunkt S geht, in Bezug auf ein Flächenelement φ , gemäß Fig. 486

$$x = x' - a$$
 und $y = y' - b$
 $xy = x'y' - bx' - ay' + ab$

$$\Sigma(\varphi\delta)xy = \Sigma(\varphi\delta)x'y' - b\Sigma(\varphi\delta)x' - a\Sigma(\varphi\delta)y' + ab\Sigma\varphi\delta.$$

Da die mittleren Glieder Null sind, weil die Achsen durch S gehen, so gilt sür $\delta=1$

Statt des Quadrates der Verschiebung a, welche beim Trägheitsmomente auftritt, ist also die Anderung hier durch das Rechteck aus den Verschiesbungen a und b bestimmt, dessen Vorzeichen natürlich wechseln kann.

Da dieses Rechteck den Wert Rull hat, wenn entweder a=0 ober b=0 ist, so ist das Deviationsmoment eine Konstante für jedes Kreuz, das aus einer bestimmten Schwerachse und irgend einem Lote derselben gestildet wird.

Die Übertragung von einem Kreuze durch O auf ein Kreuz durch P unter Vermittelung eines Kreuzes durch S ist ohne weiteres ersichtlich.

Dabei ist stets zu beachten (vergl. S. 388), daß für eine Fläche mit einer Symmetralen das Deviationsmoment den Wert Null ershält, wenn man das Kreuz aus dieser Symmetralen und einem Lot derselben bildet.

Unter den verschiedenen Mittelpunkten für Trägheitsellipsen einer ebenen Fläche (F) haben neben dem Schwerpunkte noch die Punkte besondere Bedeutung, für welche die Ellipse im besonderen ein Kreis ist. Wan nennt solche Punkte, deren es stets zwei giebt, Festpunkte, weil das Trägheitsmoment für jede Achse durch sie einen festen Wert hat.

Wenn die Trägheitsellipse für irgend einen Punkt C ein Kreis sein soll, so muß ihre Gleichung für je des rechtwinkelige Kreuz (x, y) durch C die Gleichung

$$\mathfrak{x}^2+\mathfrak{y}^2=\mathfrak{r}^2$$

haben, also auch z. B. für das Kreuz, welches durch Berschiedung des centralen Hauptkreuzes nach C entsteht. Sind die Berschiedungen für die ξ -Achse und η -Achse bezw. b und a, so sind die Trägheitsmomente für die χ -Achse und η -Achse sür $\delta = 1$ bezw. $\mathrm{Tr}_{\xi} + b^2 \cdot F$ und $\mathrm{Tr}_{\eta} + a^2 \cdot F$, während das Deviationsmoment sür das neue Kreuz abF ist. Also hat die Ellipse sür C die Gleichung

$$g^2(\mathfrak{T}r_{\xi} + b^2F) + \mathfrak{y}^2(\mathfrak{T}r_{\eta} + a^2F) - 2g\mathfrak{y}abF = 1.$$

Soll diese Ellipse ein Kreis sein, so muß das Glied mit xy fortfallen, b. h. es muß a=0 oder b=0 sein, und ferner müssen die Koeffizienten von x^2 und y^2 einander gleich sein. Für a=0 ist also $\operatorname{Tr}_\eta=\operatorname{Tr}_\xi+b^2$. F und für b=0 ist ebenso $\operatorname{Tr}_\xi=\operatorname{Tr}_\eta+a^2F$ Bedingung.

Unter der Boraussetzung, daß nicht der Sonderfall (a=0, b=0) vorliegt, in welchem die Ellipse des Hauptkreuzes ein Kreis ist, gilt $\operatorname{Tr}_{\xi} \geq \operatorname{Tr}_{\eta}$.

Ift $\operatorname{Tr}_{\xi} > \operatorname{Tr}_{\eta}$, so ist die Bedingung für b=0 erfüllbar, während die Bedingung für a=0 unerfüllbar ist.

Ift $\operatorname{Tr}_{\xi} < \operatorname{Tr}_{\eta}$, so ist die Bedingung für a=0 erfüllbar, während die Bedingung für b=0 unerfüllbar ist.

Nehmen wir an, daß die große Achse der Ellipse des Hauptkreuzes als ξ =Achse bezeichnet ist, so ist $\mathfrak{T} r_\xi \subset \mathfrak{T} r_\eta$, d. h. die Berschiebung (0; b), bei welcher die η =Achse in sich gleitet, führt sür

$$b = \pm \sqrt{\frac{\mathfrak{Tr}_{\eta} - \mathfrak{Tr}_{\xi}}{F}} = \pm \sqrt{\varrho_{\eta}^2 - \varrho_{\xi}^2}$$

je zu einem Punkte, für welche die Trägheitsellipse im besonderen ein Kreis ist. Man nennt die beiden Punkte, die auf der kleinen Achse der Ellipse des centralen Hauptkreuzes zu beiden Seiten des Schwerpunktes im Abstande $\sqrt[4]{\varrho_{\eta}^2-\varrho_{\xi}^2}$ liegen, die Festpunkte (Fixpunkte) der ebenen Figur.

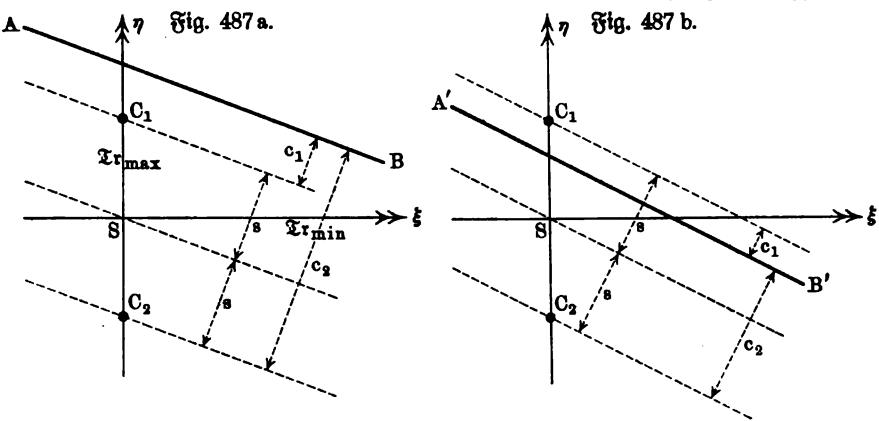
Der Trägheitskreis für jeden der Festpunkte hat die Gleichung

$$\mathfrak{x}^2 + \mathfrak{y}^2 = \mathfrak{r}^2 = \frac{1}{\mathfrak{Tr}_{\eta}} = \left(\frac{1}{\sqrt{\mathfrak{Tr}_{\eta}}}\right)^2$$

wobei Tr, das größere Trägheitsmoment des centralen Hauptkreuzes ist.

Die Bedeutung der Festpunkte liegt darin, daß von ihnen aus das Träg= heitsmoment für jede beliebige Achse leicht konstruktiv gefunden werden kann.

Zieht man durch den Festpunkt C_1 auf der positiven Halbachse (η) und durch den Schwerpunkt S je eine Parallele zu der vorgelegten Achse AB



(vergl. Fig. 487 a), deren Trägheitsmoment Tr gesucht wird, so ist Tr $_{\eta}$ das Trägheitsmoment für die Achse durch C_{1} , d. h. es gilt

$$\mathfrak{Tr}_S + s^2$$
. $F = \mathfrak{Tr}_\eta$ und $\mathfrak{Tr}_S + (s + c_1)^2$. $F = \mathfrak{Tr}$.

Man hat also

$$\mathfrak{T} r = \mathfrak{T} r_{\eta} + F(c_1^2 + 2 s c_1).$$

Führt man noch die Entfernung c_2 des anderen Festpunktes von der Ahsein, so ist $c_2=c_1+2\,s$, d. h. man hat

$$\mathfrak{T}r = \mathfrak{T}r_{\eta} + Fc_1c_2 \dots \dots 214a$$

Diese Gleichung gilt zunächst für jede Gerade AB, welche die η = Achse schneidet und zwar außerhalb der Strecke C_1C_2 .

Schneidet sie innerhalb der Strecke C_1C_2 , so ist (vergl. A'B', Fig. 487 b)

$$\mathfrak{Tr} = \mathfrak{Tr}_{\eta} + F(c_1^2 - 2sc_1)$$

und $c_2 = 2s - c_1$, b. h. man hat

$$\mathfrak{T}\mathfrak{r} = \mathfrak{T}\mathfrak{r}_{\eta} - Fc_1c_2 \ldots 214 \text{ b}$$

Man kann die beiden Formeln Nr. $214\,\mathrm{a}$) und $214\,\mathrm{b}$) in eine zussammenziehen, wenn man die Lote auß C_1 und C_2 auf AB, welche mit den Strecken c_1 und c_2 übereinstimmen, mit gleichen Borzeichen ansetz, wenn sie gleich gerichtet, und mit entgegengesetzen Borzeichen ansetz, wenn sie gegenseinander gerichtet sind. Führt man die Trägheitsarme ein, so ist dann

$$\varrho^2=\varrho^2_{\eta}+c_1c_2.$$

Liegen keine besonderen Gründe vor, so giebt man C oder C' bei der Trägheitsellipse den Wert 1.

Bei graphischen Darstellungen hat es große Vorzüge, eine besondere Ellipse zu wählen, für welche $C^2=\varrho_\xi^2\cdot\varrho_\eta^2\cdot(f\delta)$ ist.

Ihre Gleichung ist demnach (für das Hauptkreuz)

$$\xi^{2} \cdot \varrho_{\xi}^{2} + \eta^{2} \cdot \varrho_{\eta}^{2} = \varrho_{\xi}^{2} \cdot \varrho_{\eta}^{2}$$

Legt man an diese Ellipse eine Tangente im Punkte (x; y), so ist deren Gleichung

 $\xi \cdot g \cdot \varrho_{\xi}^{2} + \eta \cdot \eta \cdot \varrho_{\eta}^{2} = \varrho_{\xi}^{2} \cdot \varrho_{\eta}^{2}.$

Bringt man diese Gleichung durch Division mit $\sqrt{x^2 \varrho_\xi^4 + \eta^2 \varrho_\eta^4} = n$ auf die Normalform, so sieht man, daß der Abstand der Tangente von O den Wert

$$\frac{\varrho \xi \cdot \varrho \eta}{n}$$
 hat.

Da die Tangente mit der ξ =Achse den Winkel α bildet, sür den $tg\alpha$ $= -\frac{\mathbf{r} \cdot \varrho \xi}{\eta \cdot \varrho_{\eta}^{2}} \text{ ist, so hat die Achse durch O, welche jener Tangente parallel ist,}$ das Trägheitsmoment

$$\mathfrak{Tr}_{\alpha} = \mathfrak{Tr}_{\xi} \cdot \cos^2 \alpha + \mathfrak{Tr}_{\eta} \sin^2 \alpha$$

falls $sin^2\alpha=\frac{\mathfrak{x}^2\cdot\varrho\xi}{n^2}$ und $cos^2\alpha=\frac{\mathfrak{y}^2\cdot\varrho^4_\eta}{n^2}$ gesetzt wird, d. h. man hat

$$\mathfrak{T}\mathfrak{r}_{\alpha} = \frac{\mathfrak{T}\mathfrak{r}_{\xi}\mathfrak{y}^{2}\varrho_{\eta}^{4} + \mathfrak{T}\mathfrak{r}_{\eta}\mathfrak{x}^{2}\varrho_{\xi}^{4}}{n^{2}}.$$

Führt man den Trägheitsarm ein, so ist

$$\varrho_a^2 = \frac{\varrho_{\eta}^2 \eta^2 \varrho_{\eta}^4 + \varrho_{\eta}^2 \xi^2 \varrho_{\xi}^4}{n^2} = \frac{\varrho_{\xi}^2 \varrho_{\eta}^2 (\eta^2 \varrho_{\eta}^2 + \xi^2 \varrho_{\xi}^2)}{n^2}.$$

Da der Punkt (x, y) auf der Ellipse liegt, so gilt auch

$$\mathfrak{x}^2 \cdot \varrho_{\xi}^2 + \mathfrak{y}^2 \cdot \varrho_{\eta}^2 = \varrho_{\xi}^2 \varrho_{\eta}^2$$

d. h. man hat

$$\varrho_a^2 = \frac{\varrho_\xi^4 \varrho_\eta^4}{n^2}$$
 und $\varrho_a = \pm \frac{\varrho_\xi^2 \varrho_\eta^2}{n}$.

Demnach hat der Abstand der Tangente im Punkte (x; y) von O densselben Wert wie der Trägheitsarm für die Achse durch O, welche jener Tansgente parallel ist.

Die betrachtete Ellipse läßt sich also solgendermaßen herstellen: Zieht man zu jeder Achse durch O die beiden Parallelen im Abstande q, wobei q den Arm des Trägheitsmomentes für die jeweilige Achse bezeichnet, so um= hüllen diese Parallelen die Ellipse, welche als die Tulmannsche Ellipse bezeichnet werden mag, weil sie von diesem innerhalb technischer Untersuchungen eingeführt worden ist.

Da alle Trägheitsellipsen eines Punktes O, welche verschiedenen Werten von C entsprechen, ähnlich und ähnlich=gelegen sind, so zeigt jede in be=

stimmter Verkürzung oder Verlängerung dasselbe, was bei der Culmannsschen Ellipse unmittelbar hervortritt.

Denkt man in einem Scheitel dieser Ellipse die Masse der Ellipse $(ab\pi\delta)$ verdichtet, so ersetzt der Scheitel als materieller Punkt die Ellipse bei der Drehung um die Hauptachse, welche den Scheitel nicht enthält.

Konstruiert man für den Mittelpunkt O der Ellipse deren Fußpunkts= kurve, so kann je der Punkt P dieser Kurve in obigem Sinne als Ersatz der Ellipsensläche für je eine bestimmte Achse benutzt werden, und zwar nur für die Achse, die auf OP in O senkrecht steht.

Schließlich mag noch bemerkt werden, daß jede Trägheitsellipse bei reciproker Abbildung in Bezug auf einen konzentrischen Kreis eine Reciprokalsellipse liesert, welche in diesem Gebiete gleichfalls mit Nuzen verwendet werden kann.

Bu den Trägheitsellipsen

$$\xi^2\varrho\xi^2+\eta^2\varrho\eta^2=C^2$$

gehören die Reciprokalellipsen

$$\frac{\xi^2}{\varrho\xi^2}+\frac{\eta^2}{\varrho\eta^2}=K^2,$$

falls C und K beliebige Konstanten bezeichnen.

Für $K^2 = 1$ hat die Reciprokalellipse im besonderen die Gleichung

$$\frac{\xi^2}{\varrho\xi} + \frac{\eta^2}{\varrho\eta} = 1.$$

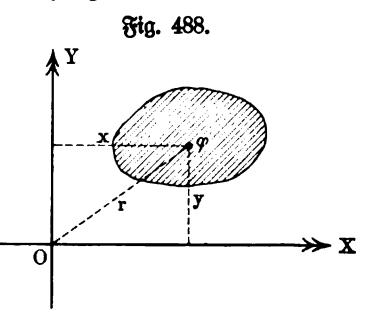
Fällt man bei dieser besonderen Ellipse ein Pot von O auf die Tangente im Punkte $(x; \eta)$, so hat dieses für $m = \sqrt{x^2 \varrho_{\eta}^4 + \eta^2 \varrho_{\xi}^4}$ die Länge $\frac{\varrho_{\xi}^2 \varrho_{\eta}^2}{m}$, welche zugleich den Trägheitsarm für das Vot als Achse darstellt.

Trägt man also auf den Achsen durch O von O aus deren Trägheits= arme ab, so umhüllen die Lote in den Endpunkten der Trägheitsarme die Reciprokalellipse.

Für $\operatorname{Tr}_{\xi} < \operatorname{Tr}_{\eta}$ liegt die kleine Achse der Reciprokalellipse auf der ξ -Achse.

Für die Berechnung der Trägheitsmomente und der Deviationsmomente sind gelegentlich auch die folgenden Veranschaulichungen von Wert.

Bezeichnet man ein Element der Fläche in Fig. 488 durch φ , so ist das (achsiale) Trägheitsmoment der Fläche in Bezug auf OX für die Belegung 1 der Flächeneinheit bestimmt durch $T = \Sigma \varphi y^2$. Errichtet man nun über φ ein Prisma von der Höhe y, senkrecht zur Ebene der Zeichnung, so ist dessen Inhalt φy , wähzend sein (auf halber Höhe gelegener) Schwerpunkt von der Ebene ZOX den Abstand y hat. Führt man diese Betrach=



tung für alle Elemente jo der Fläche durch, so entsteht über der Fläche ein

Prisma, das oberhalb durch eine Ebene begrenzt wird, welche durch OX geht und die Ebene der Zeichnung unter 45° schneidet.

Das Massenmoment Zoy's bieses Prismas in Bezug auf bie Ebene ZOX stimmt überein mit dem Trägheitsmoment der bestrachteten Fläche in Bezug auf die Achse OX.

Ferner stimmt bas Massenmoment Doxy bieses Prismas in Bezug auf die Ebene ZOY überein mit dem Deviationsmoment ber betrachteten Fläche in Bezug auf das Kreuz XOY.

Seht man von der Achfe OY aus, fo daß eine Ebene durch biefe das Prisma über der betrachteten Fläche abschrägt, so liefern die Massemomente dieses Körpers bezw. für die Fläche das Trägheitsmoment für die Achse OY und das Deviations, moment für das Kreuz XOY.

Schrägt man das Prisma über der betrachteten Fläche durch Ebenen ab, welche durch OX bezw. OY gehen und mit der Ebene der Zeichnung

Ria. 489 a.

bezw. die Winkel a und β bilden, so entstehen zwei andere Prismen, für welche die Höhen der Elementarprismen bezw. y tg a und x tg β sind.

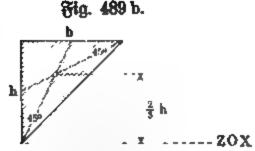
In diesem allgemeinen Falle sind die Bolumen der beiden Körper $tg \alpha \Sigma \varphi y$ und $tg \beta \Sigma \varphi x$, ihre Massenmomente sür die Ebene ZOX bezw. $tg \alpha \Sigma \varphi y^2$ und $tg \beta \Sigma \varphi x y$, ihre Massenmomente sür die Ebene ZOY bezw. $tg \alpha \Sigma \varphi x y$ und $tg \beta \Sigma \varphi x y$ und $tg \beta \Sigma \varphi x y$ und $tg \beta \Sigma \varphi x y$

Bezeichnet man die Höhen, welche die Vertikalen durch die Schwerpunkte der beiden Körper in diesen bestimmen bezw. durch h_{α} und h_{β} , so ist die Höhen- lage der Schwerpunkte durch

bezw. ½ ha und ½ h; bestimmt, weil jedes Elementarprisma seinen Schwerpunkt in der Mitte seiner Hohe hat und also die Ebene durch diese Mitten für den Körper Schwerebene ist.

Führt man noch die Koordinaten des Schwerpunktes der Fläche, deren Inhalt f sein mag, als x_0 und y_0 ein, so ist $\Sigma \varphi y = f, y_0$ und $\Sigma \varphi x = f, x_0$, während außerdem $\Sigma \varphi y^2$, $\Sigma \varphi x^2$ und $\Sigma \varphi xy$ bezw. Σr_x , Σr_y und D dare stellen.

Bezeichnet man nun die Koordinaten des Schwerpunktes für den ersten Körper durch x_a , y_a , e_a und für den zweiten Körper durch x_β , y_β , e_β , so gilt also



$$x_{\alpha} = rac{D}{f \cdot y_{0}}, \ y_{\alpha} = rac{\mathfrak{T} \mathfrak{r}_{x}}{f \cdot y_{0}}, \ x_{\alpha} = rac{1}{2}h_{\alpha},$$
 $x_{\beta} = rac{\mathfrak{T} \mathfrak{r}_{y}}{f \cdot x_{0}}, \ y_{\beta} = rac{D}{f \cdot x_{0}}, \ x_{\beta} = rac{1}{2}h_{\beta}.$

Mit Hülfe dieser Formeln, in denen x_a , y_a bezw. x_β , y_β von α bezw. β unabhängig sind, kann man einerseits $\mathbb{T} r_x$, $\mathbb{T} r_y$, D berechnen, wenn die anderen Größen gegeben sind, man kann sie aber auch anderseits für die Bestimmung der Schwerpunkte schief abgeschnittener Prismen bezw. keilformiger Lamellen (für unendlich=kleine Werte von α und β) verwenden.

Als Beispiel betrachten wir das Rechteck der Fig. 489. Wir legen durch OX und durch OY Ebenen, welche die Ebene der Zeichnung unter 45° schneiden. Die Ebene durch OX bestimmt einen Körper, der sich als ein geswöhnliches horizontal gelegenes dreiseitiges Prisma von der Höhe b und dem Querschnitte der Fig. b auffassen läßt. Sein Inhalt ist $\frac{1}{2}bh^2$, seine Schwerpunktsabstände von der Ebene ZOX und ZOY sind bezw. $\frac{2}{3}h$ und $\frac{b}{2}$, also ist $\operatorname{Tr}_x = \frac{bh^3}{3}$ und $D = \frac{1}{4}b^2h^2$.

Die Ebene durch OY bestimmt einen Körper, der sich ebenso als gewöhnliches Prisma von der Höhe h aufsassen läßt. Sein Inhalt ist $\frac{1}{2}b^2h$, seine Schwerpunktsabstände von der Ebene ZOX und ZOY sind bezw. $\frac{h}{2}$ und $\frac{2}{3}b$, also ist $D=\frac{1}{4}b^2h^2$ und $\operatorname{Tr}_y=\frac{b^3h}{2}$.

Geht man zu den Achsen durch S über in Fig. 489, so ist

$$\mathfrak{T}r_{\xi} + \frac{h^2}{4} \cdot f = \mathfrak{T}r_{x},$$
 b. h. $\mathfrak{T}r_{\xi} = \frac{bh^3}{12}$
 $\mathfrak{T}r_{\eta} + \frac{b^2}{4} \cdot f = \mathfrak{T}r_{y},$ b. h. $\mathfrak{T}r_{\eta} = \frac{b^3h}{12}$
 $D_{\xi\eta} + \frac{b}{2} \cdot \frac{h}{2} \cdot f = D_{xy},$ b. h. $D_{\xi\eta} = 0.$

Die Achsen (ξ, η) sind also die Hauptachsen des Rechteckes, wie man auch schon aus der Symmetrie hätte schließen können; wäre man davon ausgegangen, so würde aus $D_{\xi\eta}=0$ umgekehrt der Wert von D_{xy} folgen.

Für b>h ist $\operatorname{Tr}_\xi<\operatorname{Tr}_\eta$, d. h. die große Achse der Centralellipse liegt auf der ξ =Achse. Ihre Gleichung ist

$$\xi^2 \cdot \frac{bh^3}{12} + \eta^2 \cdot \frac{b^3h}{12} = C^2.$$

Für eine Achse SA, die mit St den Winkel a bildet, gilt

$$\mathfrak{Tr}_{\alpha} = \frac{bh^3}{12}\cos^2\alpha + \frac{b^3h}{12}\sin^2\alpha.$$

Die Trägheitsarme sind gegeben durch $ho\xi=rac{h^2}{12}$ und $ho_\eta^2=rac{b^2}{12}$

Die gebräuchlichen Ellipsen des Schnittes treten auf für C=1, für

 $C=\sqrt{bh}$, b. h. für $C^3=\frac{C^2}{bh}=1$ und für $C^3=\frac{b^3h^3}{144}$. Im legteren Falle liegt die Culmannsche Ellipse vor, deren Gleichung sich auch schreiben läßt

$$\frac{\xi^2}{\frac{1}{12}b^2} + \frac{\eta^2}{\frac{1}{12}h^2} = 1.$$

Die Lemniscate des Deviationsmomentes hat für $S\xi$ die Polargleichung $\varrho^2=\frac{1}{24}(b^2-h^2)\cos2\,\varphi$.

Har das Kreuz YOX gilt ebenso

$$x^2 \cdot \frac{bh^3}{8} + y^2 \cdot \frac{b^3h}{3} - 2xy \frac{b^2h^2}{4} = C^2$$

unb

$$\mathfrak{X}\mathfrak{r}_{\alpha} = \frac{bh^3}{3}\cos^2\alpha + \frac{b^3h}{3}\sin^2\alpha - \frac{b^3h^2}{4}\sin 2\alpha.$$

Um das (polare) Trägheitsmoment Tr. = Tr $_{0}$ einer Fläche, welches durch $\Sigma \varphi r^{2}$ dargestellt wird, zu veranschaulichen, trägt man am besten über

Fig. 490.

 φ ein Prisma von der Höhe r^2 auf, so daß über f ein Körper vom Inhalte $\Sigma \varphi r^2$ entsteht.

Für ben Kreis der Fig. 490 a entsteht 3. B. das Rotationsparaboloid der Fig. 490 b als Oberssläche, so daß Tro durch den Inhalt des Körpers, welcher der schraffierten Fläche entspricht, dars gestellt wird.

Man hat für den Cylinder als Inhalt $r^4\pi$, für das Paraboloid nach dem einen Pappus-Guldinschen Saze, da $\frac{2}{3}r^3$ die Erzeugungsfläche und der Schwerpunktsabstand $\frac{3}{8}r$ ist (vergl. S. 431),

als Inhalt $\frac{r^4\pi}{2}$, also für den Resttörper als In-

halt
$$\frac{r^4\pi}{2}$$
, b. h. es ist

$$\mathfrak{T}\mathfrak{r}_0 = \frac{1}{2} r^4 \pi.$$

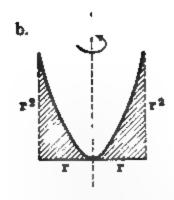
Daraus folgt gemäß $\mathfrak{T}r_{\xi}=\mathfrak{T}r_{\eta}$ und $\mathfrak{T}r_{\varphi}=\mathfrak{T}r_{\xi}+{}^{\bullet}\mathfrak{T}r_{\eta}$

$$\mathfrak{T}r_{\xi} = \mathfrak{T}r_{\eta} = \frac{1}{4}r^{4}\pi.$$

Diese Art der Beranschaulichung läßt sich auch für die (achsialen) Trägs heitsmomente Tr. und Tr. gelegentlich mit Borteil verwenden.

Für das Rechteck der Fig. 489 erhält man z. B. für $S\xi$ als Achse, entsprechend $\Sigma \varphi \eta^s$, einen parabolischen Enlinder von der Länge b und dem Querschnitte $2 \cdot \left(\frac{1}{3} \frac{h^3}{8}\right)$, dessen Inhalt also $\frac{bh^3}{12}$ ist, was wieder Trz giebt.

Ferner ist zu bemerken, daß der Nr. h) auf S. 480 entsprechende Bestrachtungen auch für achsiale Trägheitsmomente gelten, d. h. das Trägheitssmoment für die Achse UV wird nicht geandert, wenn die Streifen, parallel



zu UV, lediglich verschoben werden, und es wird proportional geändert, wenn die Streifen alle nach demselben Modul verlängert oder verkürzt werden.

So ist z. B. das Trägheitsmoment für die Halbellipse der Fig. 255 a in Bezug auf UV als Achse leicht zu bestimmen. Da entsprechende Flächensstreisen für Ellipse und Kreis im Verhältnis a: b stehen, so gilt dasselbe sür die entsprechenden Trägheitsmomente, d. h. die Halbellipse hat das Trägheitsmoment

$$\frac{a}{b} \cdot \frac{1}{8}b^4\pi = \frac{1}{8}ab^3\pi.$$

Ebenso gilt für Fig. 255 b in Bezug auf die Halbellipse ${\rm Tr}=\frac{1}{8}a^3b\pi$. Für die ganze Ellipse ist also

$$\mathfrak{Tr}_{s} = \mathfrak{Tr}_{0} = \frac{a b \pi}{4} (a^{2} + b^{2}).$$

Auch die Betrachtungen über die Mittelschnittsformel u. s. w. (vergl. § 75) lassen sich auf Trägheitsmomente ausdehnen.

Ist q_y wieder durch $a_0 + a_1y + a_2y^2 + \cdots + a_ny^n$ gegeben stergl. Fig. 259), so liefert eine Grenzbetrachtung, wie sie schon mehrsach durch= geführt wurde,

$$\mathfrak{T} = \left(\frac{a_0}{3}h^3 + \frac{a_1}{4}h^4 + \frac{a_2}{5}h^5 + \cdots + \frac{a_nh^{n+8}}{n+3}\right)\delta$$

für das Trägheitsmoment der Fläche in Bezug auf I als Achse, falls die Belegung der Flächeneinheit durch d bezeichnet wird.

Versucht man dieses Trägheitsmoment durch die Mittelschnittsformel

$$\mathfrak{Tr} = \frac{h}{6} (1 \cdot q_0 \cdot y_0^2 + 4 q_{h/2} \cdot y_{h/2}^2 + 1 \cdot q_h \cdot y_h^2) \delta . \quad . \quad 215)$$

darzustellen, so ergiebt sich, daß hier genaue Werte nur für $q_y = a_0 + a_1 y$ erhalten werden.

Geht man zu einer Achse UV im Abstande a über, so würde die Mittel=schnittsformel

$$\mathfrak{Tr}_a = \frac{h}{6} \left[1 \cdot q_0 (y_0 + a)^2 + 4 q_{h/2} (y_{h/2} + a)^2 + 1 \cdot q_h (y_h + a)^2 \right]$$
 liefern, b. h.

$$\mathfrak{T} \mathbf{r}_a = \mathfrak{T} \mathbf{r} + a^2 \cdot \frac{h}{6} (1 \cdot q_0 + 4 q_{h/2} + 1 \cdot q_h)$$

$$+ 2 a \cdot \frac{h}{6} \cdot (1 \cdot q_0 y_0 + 4 q_{h/2} y_{h/2} + 1 \cdot q_h y_h)$$

$$= \mathfrak{T} \mathbf{r} + a^2 \cdot F + 2 a \cdot M_s$$

falls man den Flächeninhalt durch F und das Moment der Fläche in Bezug auf I durch M bezeichnet.

Bezeichnet man das Trägheitsmoment für eine Achse durch den Schwerspunkt, parallel zu I (vergl. Fig. 259), durch Tr_s, so gilt

Sr
$$=$$
 Tr $_S+F$. η^2 and Tr $_a=$ Tr $_S+F(\eta+a)^2$, b. h.
$${\mathfrak Tr}_a={\mathfrak Tr}+a^2\cdot F+2\,a\,(F\cdot\eta).$$

Da $F \cdot \eta = M$ ist, so gilt auch hier, daß die Mittelschnittsformel für jede Achse, parallel zu I anwendbar ist, wenn sie für Achse I erlaubt ist.

Fig. 491.

Demgemäß läßt sich die Betrachtung auch hier auf Fig. 261 ausbehnen, wobei der Fehler dadurch bezeichnet wird, daß bie Begrenzung $B_0B_1B_2$ ber Fig. 261 jest burch $x = a_0 + a_1 y$ gegeben sein, d. h. geradlinig sein müßte.

Als Beispiel behandeln wir das Recht= ed (vergl. Fig. 491), für welches F = bh, V $M = F \cdot \frac{h}{2}$ und $\mathfrak{Tr}_S = \frac{bh^3}{12}$ ist.

hat nach der Verschiedungsformel für I

$$\mathfrak{T} = \frac{bh^3}{12} + \frac{h^2}{4}(bh) = \frac{bh^3}{3}$$

und für UV

$$\mathfrak{X}_a = \frac{bh^3}{12} + (bh)\left(a + \frac{h}{2}\right)^2 = \frac{bh^3}{3} + a^2 \cdot F + 2a\left(F \cdot \frac{h}{2}\right)$$

Nach der Mittelschnittsformel ergiebt sich unmittelbar

$$\mathfrak{Tr} = \frac{h}{6} \left(1 \cdot b \cdot o^2 + 4 \cdot b \cdot \frac{h^2}{4} + 1 \cdot b \cdot h^2 \right) = \frac{bh^3}{3}$$

und

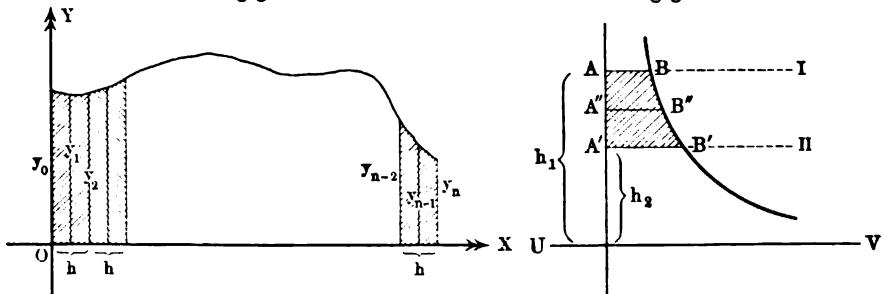
$$\mathfrak{T}_{a} = \frac{h}{6} \left[1 \cdot b \cdot a^{2} + 4b \cdot \left(a + \frac{h}{2} \right)^{2} + 1 \cdot b \cdot (a + h)^{2} \right]$$

$$= \frac{bh^{3}}{3} + a^{2}(bh) + 2a \left(\frac{bh^{2}}{2} \right) \cdot$$

Ebenso erhält man für das Dreieck und für das Trapez genaue Ergebnisse, da hier die Voraussetzung $q_y = a_0 + a_1 y$ erfüllt ist.

Fig. 492.

Fig. 493.



Weitere Betrachtungen der angegebenen Art führen noch in Bezug auf Fig. 492 zu den brauchbbaren Näherungsformeln für n als gerade Zahl

$$\mathfrak{Tr}_{x} = \frac{1}{18} h \left[1 \cdot y_{0}^{3} + 1 \cdot y_{n}^{3} + 2 \left(y_{2}^{3} + y_{4}^{3} + \cdots y_{n-2}^{3} \right) + 4 \left(y_{1}^{3} + y_{3}^{3} + \cdots y_{n-1}^{3} \right) \right]$$

$$\mathfrak{Tr}_{y} = \frac{1}{24} h^{3} [0^{2} \cdot y_{0} + 1^{2} \cdot 4 y_{1} + 2^{2} \cdot 2 y_{2} + 3^{2} \cdot 4 y_{3} + 4^{2} \cdot 2 y_{4} + \cdots (n-1)^{2} 4 y_{n-1} + n^{2} \cdot y_{n}].$$

Ist das Trägheitsmoment eines unendlich=dünnen Streifens von der Breite d (vergl. Fig. 261) für die Achse I darstellbar als

$$(b_0 + b_1 y + b_2 y^2 + \cdots b_n y^n) d\delta$$
,

so erhält man wieder durch eine einfache Grenzbetrachtung für die Fläche

$$\mathfrak{Tr} = \left(b_0 h + \frac{b_1}{2} h^2 + \frac{b_2}{3} h^3 + \cdots + \frac{b_n}{n+1} h^{n+1}\right) \delta.$$

In diesem Falle giebt die Mittelschnittsformel natürlich genaue Ergebnisse (vergl. S. 437) für $b_0 + b_1 y + b_2 y^2 + b_8 y^3$.

Dies ist der Fall für alle Kurven von der Gleichung

$$xy^2 = b_0 + b_1y + b_2y^2 + b_3y^3$$

Unter diesen besindet sich z. B. die Gleichung der Hyperbel $xy=b_1$ für $b_0=0$, $b_2=0$, $b_8=0$, welche Fig. 493 entspricht. Man hat nach der Mittelschnittsformel, da $AB=\frac{b_1}{h_1}$, $A'B'=\frac{b_1}{h_2}$, $A''B''=\frac{b_1}{\frac{1}{2}(h_1+h_2)}$ ist, für die Achse UV als Trägheitsmoment der schraffierten Fläche

$$\mathfrak{T} = \frac{h_1 - h_2}{6} \left[\frac{b_1}{h_1} \cdot h_1^2 + 4 \frac{b_1}{\frac{1}{2}(h_1 + h_2)} \cdot \frac{1}{4}(h_1 + h_2)^2 + \frac{b_1}{h_2} \cdot h_2^2 \right]$$

$$= \frac{b_1}{2}(h_1^2 - h_2^2).$$

c) Bemerkungen in Bezug auf die Trägheitsmomente von Körpern. Bei der Übertragung der Untersuchungen der Nr. b) auf Körper ist zu beachten, daß einer Geraden der Ebene bei Übergängen von zwei auf drei Dimensionen im allgemeinen eine Ebene des Raumes entspricht.

Wie das Massenmoment (vergl. S. 410) in Bezug auf eine Ebene im Raume ober in Bezug auf eine Serade der Ebene angesetzt werden kann, so bezieht sich auch der Ausdruck $\Sigma \mu x^2$, der sich in der Ebene auf die Abstände (x) von einer Geraden (Y=Achse) bezieht, in sachgemäßer Erweiterung im Raume auf die Abstände (x) von einer Ebene (YZ=Ebene). Demgemäß sind die Ausdrücke

$$E_{ys} = \Sigma \mu x^2$$
, $E_{sx} = \Sigma \mu y^2$, $E_{xy} = \Sigma \mu z^2$. . . 216)

welche als Ebenenmomente¹) bezeichnet werden mögen, im Raume die sachgemäßen Erweiterungen der innerhalb einer Ebene gültigen Ausdrücke.

$$\mathfrak{Tr}_{y} = \Sigma \mu x^{2}, \quad \mathfrak{Tr}_{x} = \Sigma \mu y^{2}.$$

Die Trägheitsmomente eines Körpers sind dann mit Hülfe dieser Momente darstellbar als

$$\mathfrak{T}_{\mathbf{x}_{x}} = \Sigma \mu (y^{2} + z^{2}) = E_{sx} + E_{xy}$$
 $\mathfrak{T}_{\mathbf{y}_{y}} = \Sigma \mu (z^{2} + x^{2}) = E_{xy} + E_{ys}$
 $\mathfrak{T}_{\mathbf{x}_{s}} = \Sigma \mu (x^{2} + y^{2}) = E_{ys} + E_{zx}$

¹⁾ Den Massenmomenten gegenüber sind sie als Momente zweiter Ordnung einzuführen.

Den Streisen der Ebene, welche gelegentlich der Mittelschnittsformel bestrachtet wurden, entsprechen Schichten des Körpers, welche parallel zu einer der Ebenen des Koordinatentreuzes sind, so daß die abgeleiteten Formeln in ihrer Erweiterung auf den Raum unmittelbar zu Ebenenmomenten führen und erst mittelbar zu Trägheitsmomenten.

Da ein Punkt des Körpers, welcher die Koordinaten (x, y, z) hat, von o den Abstand $r = \sqrt{x^2 + y^2 + z^2}$ hat, so gilt auch

Wan bezeichnet P als Polarmoment des Körpers, weil es sich auf die Abstände von einem Punkte oder Pole (0) bezieht 1). Für die Berechnung von \mathbf{Tr}_x , \mathbf{Tr}_y , \mathbf{Tr}_y ist es gelegentlich von Borteil, auch die Beziehung

$$P = E_{yz} + E_{zz} + E_{xy} \dots \dots 219$$

und beren Folgerungen, wie 3. B. $P=E_{yz}+{\mathfrak T} {\mathfrak x}_x$, zu beachten.

Stellt man umgekehrt P und E_{xy} , E_{yz} , E_{xx} durch Tr_x , Tr_y , Tr_z bar, so gelangt man unter anderem zu dem Saze, daß man die Formel (vergl. \mathfrak{S} . 645)

$$\mathfrak{X}\mathbf{r}_a = \mathfrak{X}\mathbf{r}_S + a^2 \cdot \mathbf{M} \cdot \ldots \cdot 220$$

auch für P und E_{xy} , E_{yx} , E_{xx} umschreiben darf, d. h. das Polarmoment wächst um a^x . M, wenn der ursprünglich im Schwerpunkte gelegene Pol um

Ђід. 494. М₁

 \mathbf{D}_{1}

die Strede a verschoben wird, und die Ebenensmomente machsen um a2. M, wenn sie urssprünglich für Schwerebenen gelten und diese um die Strede a verschoben werden.

Diese Beziehungen lassen sich auch unmittels bar durch eine Betrachtung ableiten, welche der Untersuchung auf S. 644 genau entspricht.

Auch die Betrachtungen auf S. 657 laffen sich hier unmittelbar übertragen.

In Bezug auf die befonderen Werte von C bezw. C' für die Auswahl der Trägheitssellipsoide ist zu bemerken, daß für C-1 und C'-1 die entsprechenden Erweiterungen für die Ebene auftreten.

Der Culmannschen Ellipse würde das Ellipsoid

D₂ M₂

$$\frac{\xi^{2}}{\varrho_{\eta}^{2}\varrho_{\xi}^{2}} + \frac{\eta^{2}}{\varrho_{\xi}^{2}\varrho_{\xi}^{2}} + \frac{\xi^{2}}{\varrho_{\xi}^{2}\varrho_{\eta}^{2}} = 1$$

entsprechen, für welches $C^2 = M \cdot \varrho_{\ell}^2 \varrho_{\eta}^2 \varrho_{\ell}^2$ ist.

Durch reciprote Abbilbung entsteht auch hier bas Reciprotalellipsoib

$$\frac{\xi^2}{\varrho_\xi^2} + \frac{\eta^2}{\varrho_\eta^2} + \frac{\xi^2}{\varrho_\xi^2} = K^2,$$

¹⁾ Bei Berwendung von Bektoren ist es mit Rücksicht auf Formel Nr. 65) als Bolarmoment zweiter Ordnung zu bezeichnen.

für welches, entsprechend der Betrachtung der Reciprokalellipse, gilt: Trägt man auf den Achsen durch O, von O aus die Trägheitsarme ab, so umhüllen die Normalebenen in den Endpunkten der Trägheitsarme das Reciprokalellipsoid.

Bei der Wichtigkeit der Rotationskörper für die Technik mag endlich noch der Sat von Townsend angesührt werden. Er lautet solgendermaßen (vergl. Fig. 494): Der Trägheitsarm sür einen homogenen Rotationskörper, dessen Erzeugungssläche eine zur Achse des Körpers (D_1D_2) parallele Symmestrale (M_1M_2) besitzt, hat in Bezug auf die Körperachse (D_1D_2) den Wert $\sqrt{a^2+3\varrho^2}$, wenn ϱ der Trägheitsarm der Erzeugungssläche für die Symmestrale (M_1M_2) und u der Abstand beider Achsen ist.

Teilt man nämlich die Elemente der Erzeugungsfläche in Paare φ und φ' , welche symmetrisch zur Symmetrale liegen, so liefern φ und φ' zum Trägheitsmomente des Körpers die Beiträge

$$(\varphi 2\pi x)x^2 \cdot \delta$$
 und $(\varphi 2\pi x')x'^2 \cdot \delta$,

weil jeder materielle Punkt eines der entstehenden materiellen Ringe denselben Abstand x bezw. x' von der Achse hat. Da x=a-e und x'=a+e ist, so ist

$$2\pi\varphi(x^3+x'^3)=4\pi\varphi(a^3+3ae^2).$$

Für das Trägheitsmoment des Körpers gilt also

$$\mathfrak{T} = 4 \pi a^3 \delta \Sigma \varphi + 12 a \pi \delta \Sigma \varphi e^2,$$

wobei sich die Summation aber nur auf den halben Querschnitt erstreckt. Da der Körper das Volumen $4a\pi\Sigma\varphi$ hat, so ist $M=4a\pi\delta\Sigma\varphi$ seine Masse, während $\Sigma\varphi e^2=\frac{1}{2}{\rm Tr}_f=\varrho^2$. $\Sigma\varphi$ das halbe Trägheitsmoment der Fläche für M_1M_2 darstellt. Wan hat also

$$\mathfrak{T} = M(a^2 + 3 \varrho^2) \dots 221$$

d) Die entsprechenden Integralsormeln. Will man Integralsrechnung benutzen, so ist für Körper μ zu ersetzen durch dv. δ , wobei $dv = dx\,dy\,ds$ das Volumenelement des Körpers bezeichnet.

Man berechnet dann zunächst E_{xy} , E_{yz} , E_{zx} .

Ist q_{xy} der Querschnitt des Körpers in der Höhe z, so ist

$$E_{xy} = \int z^2 \cdot q_{xy} \cdot dz \cdot \delta.$$

Für Rotationskörper berechnet man, falls die Z=Achse der Achse des Körpers entspricht, E_{xy} und Tr_z , indem man die Höhe (z) und den Abstand (ϱ) eines Punktes von der Achse $(\varrho^2 = x^2 + y^2)$, sowie die Lage φ des Meridians von $[\varrho]$ gegen einen Ansangsmeridian einführt.

Man hat dann $dv = \varrho \, d\varrho \, d\varphi \, dz$ und

$$E_{xy} = \int \!\! z^2 \varrho \, d\varrho \, d\varphi \, dz$$
 . δ und $\mathfrak{Tr}_z = \int \!\! \varrho^3 d\varrho \, d\varphi \, dz$. δ .

Dabei ist die Erzeugungslinie der Rotationssläche als r=f(z) gegeben, so daß sich für einen homogenen Körper

$$E_{xy} = \pi \delta \int z^2 f_{(z)}^2 dz$$
 und $\operatorname{Tr}_s = \frac{1}{2} \pi \delta \int f_{(s)}^4 dz$

ergiebt. Für die Masse gilt ebenso

$$M = \pi \delta \int f_{(s)}^2 dz.$$

Aus Formel Nr. 217) folgt

$$\mathfrak{T}\mathfrak{r}_x + \mathfrak{T}\mathfrak{r}_y = 2E_{xy} + E_{xx} + E_{yx} = 2E_{xy} + \mathfrak{T}\mathfrak{r}_{xy}$$

so daß für Rotationskörper

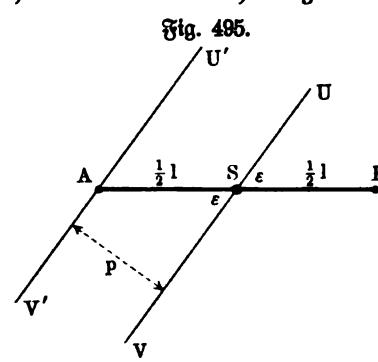
$$\mathfrak{T}\mathbf{r}_x = \mathfrak{T}\mathbf{r}_y = E_{xy} + \frac{1}{2}\mathfrak{T}\mathbf{r}_x$$

ist.

Für ebene Flächen ist das Element φ durch dxdy, also μ durch dxdy du ersezen.

Entsprechendes gilt für die Deviationsmomente.

e) Die Trägheitsmomente homogener Linien. a) Das Trägsheitsmoment ber homogenen Strecke. Um das Trägheitsmoment für die



gleichmäßig (d) belastete Strecke AB abzuleiten in Bezug auf eine Achse UV durch ihren Schwerpunkt, sühren wir die Parallelachse U'V' ein (vergl. Fig. 495). If T_1 das Trägheitsmoment von AB in Bezug auf U'V' und T_2 das Trägheitsmoment von AS in Bezug auf U'V', so hat man gemäß der Beziehung ähnlicher Systeme, da hier der Modul 2:1 ist,

$$T_1:T_2=2^3:1.$$

Da die Achse U'V' gegen UV um $p=\frac{1}{2}l\sin\varepsilon$ verschoben ist, so gilt für

das gesuchte Trägheitsmoment Tr und für T_1 die Beziehung

$$T_1 = \mathfrak{Tr} + p^2 \cdot (l\delta).$$

Da SB und SA zu UV dieselbe relative Lage haben, wie AS zu U'V', so ist ferner

$$\mathfrak{Tr}=2 T_2.$$

Aus den drei aufgestellten Gleichungen folgt ohne weiteres

$$\mathfrak{Tr} = \frac{p^2}{3} \cdot (l \delta) = \frac{l^2}{12} \cdot \sin^2 \varepsilon (l \cdot \delta) \cdot \ldots \cdot 222)$$

Für $\varepsilon=90^\circ$ ist ${\rm Tr}=\frac{l^2}{12}(l\delta)$, für $\varepsilon=0$ ist ${\rm Tr}=0$. Für $\delta=1$ ist ${\rm Tr}$ bas geometrische Trägheitsmoment der Strede AB.

Betrachtet man AB als materielle Stange, so muß man diese als einen unendlich = dünnen Eylinder von der Länge l und der Masse m=l. δ auf sassen, dessen materielle Punkte sich also in der Achse (Tr = 0) befinden für $\epsilon=0$.

Das Centralellipsoid ist hier ein gerader Kreischlinder, auf dessen Absliegt.

 β) Die Trägheitsmomente des homogenen regelmäßigen Stangenvielecks und der homogenen Kreislinie. Für eine Seite AB=s eines regelmäßigen Vielecks hat das Trägheitsmoment für eine Achse durch S, senkrecht zur Ebene der Zeichnung, nach der vorigen Entwickes lung $(\varepsilon=90^\circ)$ den Wert (vergl. Fig. 496)

$$\frac{s^2}{12}$$
 (s δ).

Für eine Parallelachse burch O hat man also

$$\left(\frac{s^2}{12} + \varrho^2\right) s \delta.$$

Für das ganze Vieleck gilt demnach, falls man ns = u sett, für eine Achse durch O

$$\mathfrak{Tr}_s = \left(\frac{s^2}{12} + \varrho^2\right) u \delta,$$

oder auch, da $\frac{s^2}{4} = r^2 - \varrho^2$ ist,

$$\mathfrak{Tr}_s = \frac{u\delta}{3} (2 \varrho^2 + r^2).$$

Ist das Trägheitsmoment des regelmäßigen Vielecks für irgend eine Achse durch o in der XY-Ebene bestimmt, so erhält man dasselbe Trägheitsmoment, wenn man die Achse um $\frac{360^{\circ}}{n}$, $\frac{2.360^{\circ}}{n}$, \cdots in der XY-Ebene dreht, weil alle diese Achsen zu dem ganzen Vielecke dieselbe relative Lage haben. Demnach ist die Trägheitsellipse hier ein Kreis, so daß auch $Tr_x = Tr_y$ ist. Wan hat also

$$\frac{1}{2}\mathfrak{T}\mathfrak{r}_s = \frac{1}{2}(\mathfrak{T}\mathfrak{r}_x + \mathfrak{T}\mathfrak{r}_y)$$

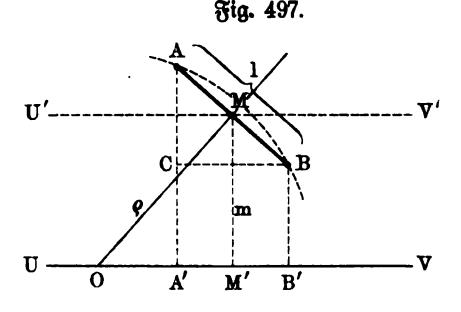
und

$$\mathfrak{Tr}_x = \mathfrak{Tr}_y = \frac{u\delta}{6} (2 \varrho^2 + r^2).$$

Für $\lim n = \infty$ geht das Vieleck in einen Kreis über, wobei $\varrho = r$ wird. Man hat also für die Kreislinie für $u\delta = m$

$$\mathfrak{T} \mathfrak{r}_x = \mathfrak{T} \mathfrak{r}_y = \frac{u\delta}{2} \cdot r^2 = \frac{1}{2} m r^2 = \delta \cdot r^3 \pi$$
 $\mathfrak{T} \mathfrak{r}_z = u\delta r^2 = m r^2 = 2 \delta r^3 \pi$
 $\mathfrak{F} \mathfrak{ig}. 496.$
 $\mathfrak{F} \mathfrak{ig}. 497.$

 $\begin{array}{c}
\mathbf{R} \\
\mathbf{A} \\
\frac{1}{2}\mathbf{B} \\
\mathbf{C}
\end{array}$



 γ) Die Trägheitsmomente des homogenen Kreisbogens. Für eine homogene Stange AB von der Länge l hat das Trägheitsmoment (vergl. Fig. 497) in Bezug auf die Achse U'V', welche durch die Mitte M der Stange geht, für $XV'MB = \varepsilon$ nach der vorigen Betrachtung den Wert

$$\frac{l^2}{12} \cdot \sin^2 \varepsilon$$
 , $l\delta = \frac{l^3 \cdot \delta}{12} \cdot \sin^2 \varepsilon$,

Für die Parallelachse UV im Abstande m ist das Trägheitsmoment der Stange AB

$$\frac{l^3 \cdot \delta}{12} \cdot \sin^2 \varepsilon + m^2 \cdot l \delta.$$

Errichtet man das Mittellot für AB, welches die Achse UV in O schneidet und projiziert man serner A und B auf UV, so ist $\triangle ABC \sim OMM'$ und man hat (vergl. S. 422) $m \cdot l = A'B' \cdot \varrho$, also $m^2l = m \cdot A'B' \cdot \varrho = \varrho \cdot f$, salls f die Fläche des Trapezes A'ABB' bezeichnet. Fig. 498.

Für ein, oberhalb von UV gelegenes Polygon von * Stangen, für welche OM benselben Wert o hat, ist also

$$\Sigma m^2$$
 , l , $\delta = \varrho$, δ , F ,

falls F die Fläche bezeichnet, welche durch das Polygon, die Achfe UV und durch die entsprechenden Lote begrenzt wird.

Um bas Trägheitsmoment für bas Polygon zu bilben, muß auch noch

$$\Sigma l^3$$
 , $sin^2 arepsilon$

berechnet werden. Bezeichnet man den größten und den kleinsten Wert von $sin\ \varepsilon$ bezw. durch $sin\ \varepsilon_0$ und $sin\ \varepsilon_u$, so ist für n Stangen von derselben Länge l

$$nl^3sin^2\varepsilon_0 > \Sigma l^3sin^2\varepsilon > nl^3sin^2\varepsilon_u$$
,

ober es gilt, nach Einführung ber Länge L des Stredenzuges (nl=L) auch

$$Ll^{9}sin^{2}\varepsilon_{0} > \Sigma l^{3}sin^{2}\varepsilon > Ll^{2}sin^{2}\varepsilon_{w}$$

Läßt man das Polygon in einen Areisbogen vom Halbmesser abers gehen, so erhalten die beiden Grenzwerte für $\Sigma l^3 sin^2 \epsilon$ den Wert Null, so daß diese Größe selbst verschwindet, während o durch r zu ersezen ist. Man hat also als Trägheitsmoment des Bogens AB in Fig. 498 in Bezug auf die Achse UV

$$\mathfrak{T}\mathfrak{r}=\delta$$
 , r , F .

falls F bie ichraffierte Rache ber Fig. 498 bezeichnet.

Siebt man UV einmal die Lage OX und einmal die Lage OY in Fig. 499, so ist

$$\mathfrak{Tr}_x = \delta \cdot r \cdot F_x$$

wobei F_{x} die Fläche bezeichnet, welche bei der Projektion von \widehat{AB} auf die X=Achse entsteht, und es ist ferner

$$\mathfrak{Tr}_{\mathbf{v}} = \delta \cdot \mathbf{r} \cdot F_{\mathbf{v}}$$

wobei F_y die Fläche bezeichnet, welche bei der Projektion von \widehat{AB} auf die Y-Achse entsteht. Man hat also

$$\mathfrak{Tr}_x = \delta \cdot \frac{r^3}{2} (\operatorname{arc} 2 \varepsilon + \sin 2 \varepsilon)$$
 und $\mathfrak{Tr}_y = \delta \cdot \frac{r^3}{2} (\operatorname{arc} 2 \varepsilon - \sin 2 \varepsilon)$.

Fügt man nun noch in O die Z=Achse hinzu, senkrecht zur Ebene der Zeichnung, so ist

$$\mathfrak{Tr}_{s} = \mathfrak{Tr}_{x} + \mathfrak{Tr}_{y} = \delta \cdot r^{3} \cdot arc \, 2 \, \epsilon$$

Letteres Ergebnis läßt sich auch unmittelbar gewinnen, da der volle Kreis sür die Achse OZ das Trägheitsmoment δ . $(2r\pi) \cdot r^2 = \delta \cdot r^3 \cdot 2\pi$ hat, welches natürlich proportional zu dem Bogen bezw. zu dessen Centriwinkel wächst.

Da der Abstand s des Schwerpunktes S von O gegeben ist als $r\frac{\sin \varepsilon}{arc\ \varepsilon}$, so lassen sich die drei Trägheitsmomente für Parallelachsen durch S leicht bestimmen.

Es bleibt Tr, unverändert, während Tr $_x$ und Tr $_z$ je um $2\delta \cdot r^3 \cdot \frac{\sin^2 \varepsilon}{arc \, \varepsilon}$ verändert werden müssen, falls sie für die entsprechenden Achsen durch S gelten sollen.

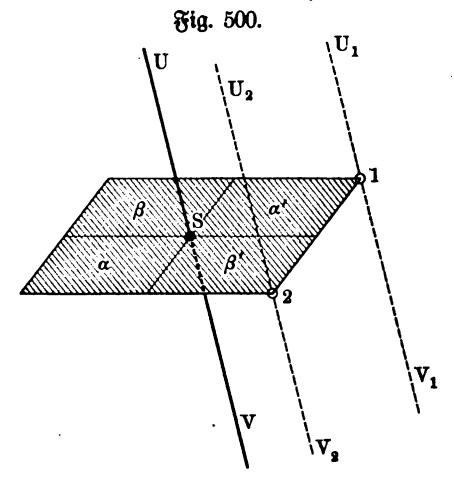
Für den vollen Kreis ($\varepsilon=180^{\circ}$) ist

$$\mathfrak{T}\mathbf{r}_x = \mathfrak{T}\mathbf{r}_y = \frac{\delta \cdot r^3}{2} \cdot 2\pi = \frac{1}{2}r^2 \cdot m \quad . \quad . \quad 223 \text{ a}$$

falls man die Masse $(2r\pi)\delta$ durch m bezeichnet, und

Für $\delta = 1$ handelt es sich wieder um geometrische Beziehungen, während für $l\delta = m$ eine unendlich= dünne Stange in Form eines Kreis= bogens von der Länge l vorliegt.

f) Die Trägheitsmomente homogener Flächen. a) Die Trägheitsmomente des Parsallelogramms. Um das Trägsheitsmoment eines gleichmäßig (d) belegten Parallelogramms von der Fläche F für eine beliebige Achse UV durch dessen Schwerpunkt zu bestimmen, kann man es durch seine Mittellinien in vier Parallelogramme zerlegen, wie Fig. 500 zeigt. Zieht Wernicke, Mechanik. I.



43

man die Parallelen U_1V_1 und U_2V_2 zu UV, so bilbet a und die Achse UV mit der ganzen Fläche und der Achse U_1V_1 ein ähnliches System vom Nodul 1:2 und ebenso bildet β und die Achse UV mit der ganzen Fläche und der Achse U_2V_3 ein ähnliches System vom Nodul 1:2.

Bezeichnet man die Trägheitsmomente von α , β , α' , β' in Bezug auf die Achse UV bezw. durch T_a , $T_{\beta'}$, $T_{\alpha'}$, $T_{\beta''}$, die Trägheitsmomente der ganzen Fläche in Bezug auf die Achsen U_1V_1 und U_2V_2 bezw. durch T_1 und T_2 und das gesuchte Trägheitsmoment der ganzen Fläche in Bezug auf die Achse UV durch Tr, so ist

1)
$$T_a:T_1=1:24$$
 unb $T_\beta:T_2=1:24$.

Da α und α' einerseits und β und β' anderseits gegen UV dieselbe relative Lage haben, so ist $T_{\alpha} = T_{\alpha'}$ und $T_{\beta} = T_{\beta'}$ und man hat

2)
$$\mathfrak{X}_{r} = T_{\alpha} + T_{\alpha'} + T_{\beta} + T_{\beta'} = 2(T_{\alpha} + T_{\beta}).$$

Bezeichnet man die Entfernungen der Achsen U_1V_1 und U_2V_2 von UV bezw. durch p_1 und p_2 , so ist

3)
$$T_1 = \mathfrak{T} \mathfrak{r} + p_1^2 \cdot F \cdot \delta$$
 and $T_2 = \mathfrak{T} \mathfrak{r} + p_2^2 \cdot F \cdot \delta$.

Aus den Gleichungen 1), 2) und 3) folgt unmittelbar

Fig. 501.
$$\mathfrak{T} x = \frac{1}{6} (p_1^2 + p_2^2) \cdot F \cdot \delta \cdot \ldots 224 \, \mathrm{a})$$
 Für ein Rechteck von den Seiten a und b hat man (vergl. Fig. 501), falls UV mit SX dufammenfällt, für X U_1V_1 und U_2V_2 die Lagen M_1X_1 und M_2X_2 , also $p_1 = \frac{b}{2}$ und M_2X_2 , also $p_1 = \frac{b}{2}$ und $X_2 = \frac{b}{2}$, $X_3 = \frac{b}{2}$, $X_4 = \frac{b}{2}$, $X_4 = \frac{b}{2}$ und $X_4 = \frac{b}{2}$ und $X_5 = \frac{b}{2}$, $X_5 = \frac{b}{2}$

 \mathbf{M}_{2}

M,

$$\mathfrak{Tr}_x = rac{1}{6} \Big(rac{b^2}{4} + rac{b^2}{4}\Big) F$$
, $\delta = rac{b^3 a}{12} \cdot \delta$.

Ebenso ergiebt fich

$$\mathfrak{Tr}_{y} = \frac{ba^{3}}{12} \cdot \delta.$$

Endlich ist

$$\mathfrak{T}\mathfrak{r}_s = \mathfrak{T}\mathfrak{r}_x + \mathfrak{T}\mathfrak{r}_y = \frac{ab(a^2 + b^2)}{12} \cdot \delta$$

wobei noch a^2+b^2 durch das Quadrat der Diagonale d ersett werden kann. Bei geometrischen Betrachtungen ist $\delta=1$ zu setzen.

Handelt es sich um eine unendlich=dünne Platte von der Masse m, so ist m=F . δ und man hat

$$\mathfrak{T}\mathbf{r}_x = \frac{m}{12}b^2$$
, $\mathfrak{T}\mathbf{r}_y = \frac{m}{12}a^2$ und $\mathfrak{T}\mathbf{r}_z = \frac{m}{12}\cdot d^2$.

Das Centralellipsoid ist damit gleichfalls bestimmt.

 V_1

Für eine Seite a als Achse gilt: $\mathfrak{T} = \frac{b^3 a}{3} \cdot \delta = \frac{m}{3} b^2$.

Für eine Diagonale als Achse gilt, falls der Winkel zwischen den Diagonalen durch ε bezeichnet wird: $\operatorname{Tr} = \frac{\mathbf{0}}{48} d^4 \sin^3 \varepsilon = \frac{m}{24} d^2 \sin \varepsilon^2$.

Für ein beliebiges Parallelogramm, dessen Diagonalen d_1 und d_2 sich unter dem Winkel ε schneiden, gilt für d_1 als Achse: $\operatorname{Tr} = \frac{\sigma}{48} d_1 d_2^3 \sin \varepsilon^3$ $=\frac{m}{2A}d_2^2 \sin \varepsilon^2$; für den Rhombus ist im besondern $\varepsilon=190^\circ$.

β) Die Trägheitsmomente des Dreiecks. Teilt man das Par= allelogramm der Fig. 500 durch eine Diagonale, so ist das Trägheitsmoment

eines Teildreieck, wie es Fig. 502 darstellt, in Bezug auf UV die Hälfte des gefundenen Wertes von Formel Nr. 224 a), in welchem F die Fläche des Parallelogramms darstellt. Be= zeichnet man jett die Fläche des Dreieck, welche die Hälfte der Fläche bes Parallelogramms ift, burch F, so gilt die Formel weiter, und zwar bezeichnen p_1 und p_2 noch immer die Abstände von UV und U_1V_1 bezw. von UV und U_2V_2 . hat also für UV den Ansat

$$\frac{1}{6}(p_1^2 + p_2^2) \cdot F \cdot \delta.$$

Führt man durch den Schwer=

punkt S des Dreiecks eine Achse $U_0 V_0$ ein, parallel zu UV, so gilt für das Trägheitsmoment Tr in Bezug auf diese Achse $\mathfrak{Tr} + p_0^2 \cdot F\delta = \frac{1}{6}(p_1^2 + p_2^2)F \cdot \delta$

falls p_0 den Abstand von UV und U_0V_0 bezeichnet.

Da
$$p_0: p_2 = 1:3$$
 ist, so ist

Fig. 502.

Um diesen Ausdruck zweckmäßiger zu gestalten, projizieren wir \triangle ABCauf eine Ebene, senkrecht zu U_0V_0 , so daß in dieser ein Dreieck A'B'C' entsteht. Man hat bann $p_1 = \frac{1}{2}c'$ und $p_2 = t'_c$, so daß

$$\mathfrak{Tr} = \frac{1}{18} [\frac{3}{4} c'^2 + t'^2] F \cdot \delta$$

ist.

Da diese Formel in Geltung bleibt, wenn c' und t'_c durch a' und t'_a oder burch b' und t'_b erset wird, so gilt auch

$$3 \, \mathfrak{Tr} = \frac{1}{18} \left[\frac{3}{4} \left(c'^{2} + b'^{2} + a'^{2} \right) + \left(t'_{u} + t'^{2} + t'^{2} \right) \right] F \cdot \delta.$$

Da nun für jedes Dreieck

$$3(a^2 + b^2 + c^2) = 4(t_a^2 + t_b^2 + t_c^2)$$

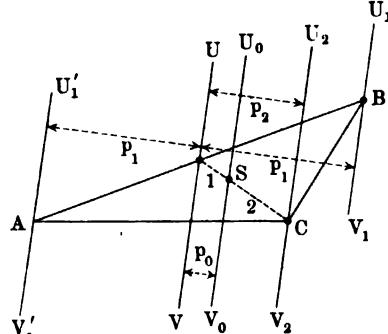
ist, so hat man

$$\mathfrak{Tr} = \frac{1}{36} (a'^2 + b'^2 + c'^2) F \cdot \delta$$

oder auch

$$\mathfrak{Tr} = \frac{1}{27} (t_a^{\prime 2} + t_b^{\prime 2} + t_c^{\prime 2}) F \cdot \delta.$$

Steht U_0V_0 sentrecht auf der Fläche des Dreiecks, so ist a=a', b=b'u. s. w. Fällt U_0V_0 in die Fläche des



Fällt U_0V_0 in die Fläche des Dreiecks hinein, wie Fig. 503 zeigt, so bestimmt man unmittelbar p_1 und p_2 und rechnet nach Formel Nr. 224 b); dabei sind die Achsen U_1V_1 und $U_1'V_1'$ gleichwertig. Ist z. B. $U_0V_0//AB$, so ist $p_1=0$ und $p_2=h_c$, d. h. man hat $\operatorname{Tr}=\frac{1}{18}h_c^2\cdot F\cdot\delta=\frac{1}{36}ch_c^3\cdot\delta$. Dabei sällt UV mit AB zusammen, und man hat sür UV als Achse

$$\mathfrak{Tr} = \frac{1}{6}h_c^2 \cdot F \cdot \delta = \frac{1}{12}ch_c^3 \cdot \delta$$
.

Am meisten werden gebraucht die achsialen Momente für die Achsen I,

II, III der Fig. $504\,\mathrm{a}$ und die polaren Momente für die Achsen, senkrecht zur Ebene der Zeichnung durch $S,\,B$ und B'. Man hat für $m=F\delta$

$$\mathfrak{T}_{\mathbf{r}_{1}} = \frac{1}{4} b h_{b}^{3} \delta = \frac{1}{18} m h_{b}^{2}$$

$$\mathfrak{T}_{\mathbf{r}_{1}} = \frac{1}{36} b h_{b}^{3} \delta = \frac{1}{18} m h_{b}^{2}$$

$$\mathfrak{T}_{\mathbf{r}_{11}} = \frac{1}{12} b h_{b}^{3} \delta = \frac{1}{6} m h_{b}^{2}$$

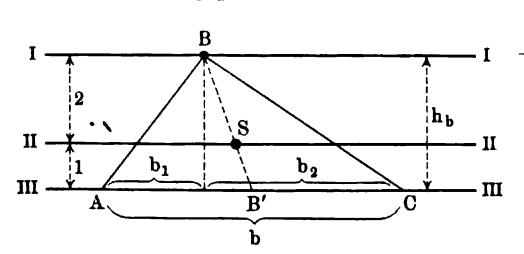
$$\mathfrak{T}_{\mathbf{R}} = \frac{\delta}{4} \left[b h_{b}^{3} + \frac{1}{3} h_{b} (b_{1}^{3} + b_{2}^{3}) \right]$$

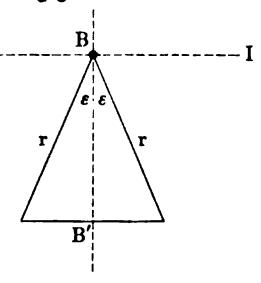
$$\mathfrak{T}_{\mathbf{R}} = \left[\frac{1}{36} b h^{3} + \frac{1}{12} (b_{1}^{3} + b_{2}^{3}) h_{b} - \frac{1}{18} b h_{b} (2 b_{1}^{2} + 2 b_{2}^{2} - b^{2}) \right] \delta,$$

$$\mathfrak{T}_{\mathbf{R}} = \left[\frac{1}{12} b h_{b}^{3} + \frac{1}{4} (b_{1}^{3} + b_{2}^{3}) h_{b} - \frac{1}{24} b h_{b} (8 b_{1}^{2} + 8 b_{2}^{2} - 3 b^{2}) \right] \delta$$

$$\mathfrak{F}_{\mathbf{ig}} = 504 \, \mathbf{a}.$$

$$\mathfrak{F}_{\mathbf{ig}} = 504 \, \mathbf{b}.$$





Für gleichschenkelige Dreiecke (vergl. Fig. 504 b) ist im besonderen

$$\mathfrak{Tr}_{i} = \frac{\delta}{8} r^{4} \sin 2 \varepsilon (1 + \cos 2 \varepsilon)$$

$$\mathfrak{Tr}_{B} = \frac{\delta}{12} r^{4} \sin 2 \varepsilon (2 + \cos 2 \varepsilon).$$

Für BB' als Achse folgt noch (vergl. Tr.,,)

$$\operatorname{Tr}_{BB'} = \frac{\delta}{24} r^4 \sin 2 \varepsilon (1 - \cos 2 \varepsilon).$$

Dabei ist natürlich $\mathfrak{Tr}_{\mathcal{B}}=\mathfrak{Tr}_{_{\! 1}}+\mathfrak{Tr}_{\mathcal{B}\mathcal{B}'}.$

Außerdem ift
$$m=F\delta=rac{\delta}{2}r^2\sin 2s$$
.

Bei einem beliebigen Biered gilt für eine Diagonale d_1 als Achse, wenn für diese die Teilbreiede die Höhen h_1 und $\overline{h_1}$ haben,

$$\mathfrak{T}r = \frac{\delta}{12} d_1 (h_1^3 + \overline{h}_1^3).$$

Dabei ist $m = F\delta = \frac{1}{3}\delta d_1 d_2 \sin \epsilon$, wenn die andere Diagonale durch d_2 und der Winkel zwischen den Diagonalen mit ϵ bezeichnet wird.

y) Die Trägheitsmomente der homogenen regelmäßigen Vieledsfläche und der homogenen Kreisfläche. Für das gleichsschenkelige Dreied der Fig. 505 gilt für Fig. 505. eine Achse durch S, senkrecht zur Fläche eines Teildreieds, nach S. 675

$$\frac{\delta}{6} \cdot f \cdot \left(\frac{p_2^2}{3} + p_1^2\right).$$

falls die Dreiedsfläche durch f bezeichnet wird; hier ist $p_1=rac{s}{2}$ und $p_3=\varrho$, so daß obiger Ausdruck wird

$$\frac{\delta}{6} \cdot f\left(\frac{\varrho^2}{3} + \frac{s^2}{4}\right) \cdot$$

Für die Parallelachse burch O gilt

$$\frac{\delta}{6} \cdot f \cdot \left(\frac{\varrho^3}{3} + \frac{s^2}{4}\right) + \frac{4}{9} \varrho^2 f \delta = f \delta \left(\frac{1}{2} \varrho^2 + \frac{s^2}{24}\right) = \frac{f \delta}{6} (r^2 + 2 \varrho^2).$$

Bei n solchen Dreieden hat man für nf — F

$$\mathfrak{Tr}_{s} = \frac{F \cdot \delta}{6} (r^{2} + 2 \varrho^{2}).$$

Ift das Trägheitsmoment des regelmäßigen Bieleck für irgend eine Achse durch o in der XY-Ebene bestimmt, so erhält man dasselbe Trägheitsmoment, wenn man die Achse um $\frac{360^{\circ}}{n}$, $\frac{2\cdot360^{\circ}}{n}$, \cdots in der XY-Ebene dreht, weil alle diese Achsen zu dem ganzen Bielecke dieselbe relative Lage haben. Demgemäß ist die Trägheitsellipse hier ein Kreis, so daß auch $Tr_x - Tr_y$ ist.

Man hat also
$$\frac{1}{2} \operatorname{Tr}_s = \frac{1}{2} (\operatorname{Tr}_x + \operatorname{Tr}_y)$$

$$\mathfrak{T}_{\mathbf{r}_x} = \mathfrak{T}_{\mathbf{r}_y} = \frac{F \cdot \delta}{12} (r^2 + 2 \varrho^2).$$

ľ

Für $lim \cdot n = \infty$ geht bas Bieleck in einen Kreis über, wobei $\varrho = r$ wird. Man hat also für die Kreisfläche

$$\mathfrak{T}r_{x} = \mathfrak{T}r_{y} = \frac{F \cdot \delta}{4} \cdot r^{2} = \frac{1}{4} m r^{2} = \frac{\delta}{4} r^{4} \pi$$

$$\mathfrak{T}r_{x} = \frac{F \cdot \delta}{2} \cdot r^{2} = \frac{1}{2} m r^{2} = \frac{\delta}{2} r^{4} \pi$$

Filt die Fläche des Kreisringes von den Radien r_1 und r_2 ist ebenso

$$\mathfrak{T} \mathfrak{r}_x = \frac{1}{2} m (r_1^2 + r_2^2)$$

 $\mathfrak{T} \mathfrak{r}_x = \mathfrak{T} \mathfrak{r}_y = \frac{1}{4} m (r_1^2 + r_2^2)$

d) Die Trägheitsmomente des Areisausschnittes. Denkt man einen Areisausschnitt durch konzentrische Bogen in n Ringskücke von gleicher Breite d zerlegt, wie es Fig. 506 andeutet, so läßt sich die Wittellinie jedes

%ig. 506.■

Ningstückes für lim. n == 00
als ein entsprechend belasteter
Bogen ansehen. Um das
Trägheitsmoment des Ausschnittes zu bestimmen, hat
man die Summe der entsprechenden Trägheitsmos
mente der n Bogen zu bils
den und diese Summe für
lim n == 00 zu behandeln.
Wählt man statt der Nittels
v linie des Kingstückes dessen
äußere oder innere Bes

grenzung, so gelangt man in beiben Fällen zu bemfelben Ergebnisse, es kann also statt der Vittellinie auch eine dieser Begrenzungen gewählt werden.

Bezeichnet & die Massenbelegung für die Flächeneinheit des Ausschnittes, so entspricht dem Kreisbogen, der ein Ringstück von den Radien ϱ und $\varrho-d$ und dem Centriwinkel 2ε ersett, die Belastung $\frac{1}{2} arc \, 2\varepsilon \, (\varrho^2-\varrho-d^2)$. $\delta=\delta$. $arc\, 2\varepsilon \, (\varrho\, d-\frac{1}{2}\, d^2)$.

Wählt man die außere Begrenzung (o) des Ringstudes als Trager der Belaftung, so kommt auf die Bogeneinheit die Belaftung

$$\frac{\delta \cdot \operatorname{arc} 2 \varepsilon (\varrho d - \frac{1}{2} d^2)}{\varrho \cdot \operatorname{arc} 2 \varepsilon} = \delta \cdot \frac{\varrho d - \frac{1}{2} d^2}{\varrho}.$$

In Bezug auf die Achse UV ist nun (vergl. S. 672) das Trägheitsmoment dieses Bogens

 δ , $(Qd - \frac{1}{2}d^2) F_q$,

falls F_{ϱ} die A'ABB' entsprechende Fläche der Fig. 506 für den Radius ϱ bezeichnet, deren Wert $\frac{1}{3} \varrho^2 [arc \, 2 \, \varepsilon \, + \, \frac{1}{2} sin \, 2 \, \alpha \, + \, \frac{1}{2} sin \, 2 \, \beta]$ ist.

Diefes Tragheitsmoment hat alfo den Wert

$$C \cdot [Q^3d - \frac{1}{2}Q^2d^2],$$

mobei $C = \frac{\delta}{2} [arc \, 2 \, \varepsilon \, + \, \frac{1}{2} \sin 2 \, \alpha \, + \, \frac{1}{2} \sin 2 \, \beta]$ ift.

Da r in n gleiche Teile d zerfällt, so ist bei Wahl der äußeren Besgrenzung der Ringstücke, für ϱ der Reihe nach zu setzen d, 2d, 3d, ... nd = r.

Für $\varrho = pd$ hat das aufgestellte Trägheitsmoment den Wert

$$C[p^3d^4-\frac{1}{2}p^2d^4].$$

Demnach ist das Trägheitsmoment Tr des Ausschnittes

$$\mathfrak{T} r = C[d^4 \Sigma p^3 - \frac{1}{2} d^4 \Sigma p^2]$$

für $p=1, 2, \ldots n$.

Der Grenzübergang liesert ohne weiteres, nachdem nd=r gesetzt ist, $\operatorname{Tr}=\frac{1}{4} Cr^4$, so daß man also hat

$$\mathfrak{T} = \frac{\delta}{8} r^4 \left[\operatorname{arc} 2 \varepsilon + \frac{1}{2} \sin 2 \alpha + \frac{1}{2} \sin 2 \beta \right] \quad . \quad . \quad 226)$$

Steht UV senkrecht auf der Symmetrale OM, so ist $\alpha=\beta=90^{\circ}-\varepsilon$ und man hat, entsprechend Fig. 499,

$$\mathfrak{T}_x = \frac{\delta}{8} r^4 (\operatorname{arc} 2 \varepsilon + \sin 2 \varepsilon).$$

Fällt UV mit der Symmetralen OM zusammen, so ist $\beta = -\varepsilon$ und $\alpha = 180^\circ - \varepsilon$ und man hat, entsprechend Fig. 499,

$$\mathfrak{Tr}_{y} = \frac{\delta}{8} r^{4} (arc \ 2 \ \varepsilon - sin \ 2 \ \varepsilon).$$

Ebenso ist

$$\mathfrak{Tr}_s = \frac{\delta}{4} r^4 \operatorname{arc} 2 \varepsilon = \frac{1}{2} m r^2.$$

Da der Abstand des Schwerpunktes $OS = s = \frac{2}{8} r \frac{\sin \varepsilon}{arc \varepsilon}$ gegeben ist, so ist es wieder leicht, die Trägheitsmomente für die Hauptachsen des Schwerpunktes umzuschreiben.

Für den vollen Kreis ($\varepsilon=180^{\circ}$) gilt für dessen Schwerpunkt

$$\mathfrak{T}\mathfrak{r}_x = \mathfrak{T}\mathfrak{r}_y = \frac{1}{4}\delta r^4\pi$$
 und $\mathfrak{T}\mathfrak{r}_s = \frac{1}{2}\delta r^4\pi$.

Führt man die Masse $m=r^2\pi\delta$ ein, so ist wieder

$$\mathfrak{Tr}_x = \mathfrak{Tr}_y = \frac{1}{4} m r^2$$
 und $\mathfrak{Tr}_z = \frac{1}{2} m r^2$.

Für den Ausschnitt eines Kinges Υ Fig. 507. von den Radien r_1 und r_2 gilt ebenso für das Kreiscentrum

$$\mathfrak{Tr}_z = \frac{1}{2} m (r_1^2 + r_2^2).$$

e) Die Trägheitsmomente des Kreisabschnittes. Für die Achse durch O (Fig. 507), senkrecht zur Ebene der Zeichnung, ist das Trägheitsmoment des Abschnittes der Unterschied zwischen den Trägheitsmomenten des Ausschnittes und

Y Fig. 507.

des entsprechenden Dreiecks (vergl. S. 676) für dieselbe Achse, d. h. man hat

$$\mathfrak{Tr}_{s} = \mathfrak{Tr}_{0} = \frac{\delta}{4} r^{4} \operatorname{arc} 2 \varepsilon - \frac{\delta}{12} r^{4} \sin 2 \varepsilon (2 + \cos 2 \varepsilon)$$

$$= \frac{\delta}{24} r^{4} [6 \operatorname{arc} 2 \varepsilon - 4 \sin 2 \varepsilon - \sin 4 \varepsilon].$$

Ebenso ist

$$\mathfrak{Tr}_{y} = \frac{\delta}{8} r^{4} (\operatorname{arc} 2 \varepsilon - \sin 2 \varepsilon) - \frac{\delta}{24} r^{4} \sin 2 \varepsilon (1 - \cos 2 \varepsilon)$$
$$= \frac{\delta}{48} r^{4} [6 \operatorname{arc} 2 \varepsilon - 8 \sin 2 \varepsilon + \sin 4 \varepsilon].$$

Ebenso ist

$$\mathfrak{T}r_{x} = \frac{\delta}{8} r^{4} (\operatorname{arc} 2\varepsilon + \sin 2\varepsilon) - \frac{\delta}{8} r^{4} \sin 2\varepsilon (1 + \cos 2\varepsilon)$$

$$= \frac{\delta}{16} r^{4} (2 \operatorname{arc} 2\varepsilon - \sin 4\varepsilon).$$

Will man die Masse m einführen, so ist zu setzen

$$m = \frac{\delta}{2} r^2 (arc 2 \varepsilon - sin 2 \varepsilon).$$

Will man das Kreuz verschieben, so daß es durch S geht, so bleibt T_y ungeändert, während die Berschiebungsstrecke für die anderen beiden Momente ist

$$OS = \frac{(2 r \sin \varepsilon)^3}{12 f}$$

und demnach

$$OS^{2} \cdot f = \frac{(2 r \sin \varepsilon)^{6}}{144 f} = \frac{8 r^{4} \sin \varepsilon^{6}}{9 (arc 2 \varepsilon - \sin 2 \varepsilon)}.$$

Heichung $\frac{x^2}{a^2} + \frac{y^2}{b^2} = 1$ hat $y = \pm \frac{b}{a} \sqrt{a^2 - x^2}$, während y für den entsprechenden Kreis vom Radius a der Wert $\sqrt{a^2 - x^2}$ ist, so stehen die Streisen beider Flächen, parallel zur Y=Achse im Verhältnis b:a, und es ist T_y für die Ellipse $\frac{b}{a}$ T_y , falls man das Trägheitsmoment des Kreises für die Y=Achse durch T_y bezeichnet. Demnach gilt

$$\mathfrak{Tr}_y = \frac{b}{a} (\frac{1}{4} \pi a^4 \delta) = \frac{\delta}{4} \pi a^3 b = \frac{m}{4} \cdot a^3.$$

Ebenso ist

$$\mathfrak{Tr}_x = \frac{\delta}{4} \pi a b^3 = \frac{m}{4} \cdot b^2.$$

Daraus folgt

$$\mathfrak{Tr}_{s} = \mathfrak{Tr}_{0} = \frac{\delta}{4} \pi a b (a^{2} + b^{2}) = \frac{m}{4} (a^{2} + b^{2}).$$

Für die Halbellipsen und Viertelellipsen, welche der Achsenteilung entsprechen, tritt die Hälfte bezw. ein Viertel obiger Werte ein.

Für andere Ausschnitte und für Abschnitte hat man auf die entsprechenben Kreisstude gurudzugeben.

 η) Die Trägheitsmomente von Parabelflächen. Für die obere Fläche ber Fig. 508 findet man bei Berlegung in Streifen durch Grenzübersgang $(f=\frac{4}{3}ab)$

$$\mathfrak{Tr}_{y} = \frac{2 \, \delta}{15} a b^{3} = \frac{m}{5} b^{2}$$

$$\mathfrak{Tr}_{y} = \frac{2 \, \delta}{7} a^{3} b = \frac{3 \, m}{7} a^{3}.$$

Daraus folgt

$$\mathfrak{Tr}_s = \mathfrak{Tr}_0 = m(\frac{1}{5}b^2 + \frac{3}{7}a^2).$$

Für die Berschiebung bes Kreuzes nach S vergl. die Werte auf S. 432. Für die Doppelfläche der Fig. 508 gilt

$$\mathfrak{T}_{\mathbf{r}_x} = \frac{4 \, \delta}{15} a b^3$$
, $\mathfrak{T}_{\mathbf{r}_y} = \frac{4 \, \delta}{7} a^3 b$ und $\mathfrak{T}_{\mathbf{r}_z} = \mathfrak{T}_{\mathbf{r}_0} = 2 \, m \, (\frac{1}{5} \, b^2 \, + \frac{3}{7} \, a^3)$.

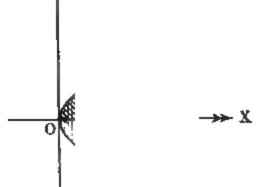
Berschiebt man hier das Kreuz nach dem Schwerpunkte der Fläche, so bleibt Trx ungeändert, während für Trx und Tro AY Fig. 508. die Berschiebung fa in Rechnung zu stellen ist.

Für die Schwerpunktsachsen der Doppelsfläche gilt also

$$\mathfrak{T}\mathfrak{r}_x = \frac{4}{15}\delta ab^3 = \frac{1}{5}mb^2$$

$$\mathfrak{T}\mathfrak{r}_y = \frac{16}{175}\delta a^3b = \frac{12}{175}ma^3$$

$$\mathfrak{T}\mathfrak{r}_t = \frac{m}{175}(12a^3 + 35b^2).$$



- 8) Die Trägheitsmomente von Hyperbelflachen. Diese find im allgemeinen (vergl. S. 667) auf elementarem Wege faum barftellbar.
- 6) Die Trägheitsmomente für den Mantel des geraden Cylinders. Um das Trägheitsmoment für die Cylinderachse OZ zu besstimmen, zerlegt man den Mantel durch Schnitte senkrecht zur Achse in nachlindermäntel von der Höhe d und denkt sich jeden Mantel von der Beslastung 2rn. d. d durch die Kreislinie 2rn seines Mittelschnittes ersetzt, deren Längeneinheit also durch dd belastet ist.

Das Trägheitsmoment einer solchen Kreislinie für die Achse ift gemäß S. 673 $d\delta \cdot r^3 \cdot 2\pi$, beträgt also für n solche Kreislinien $nd \cdot \delta \cdot r^3 \cdot 2\pi$.

Da nd = h ist, salls man die Höhe des Cylindermantels durch h beseichnet, so ist

$$\mathfrak{T}_{r_s} = \delta \cdot h \cdot r^3 \cdot 2\pi = (2 r \pi h \delta) \cdot r^2 = m \cdot r^2.$$

Für eine Achfe, senkrecht zur Cylinderachse durch den Mittelpunkt (Schwerpunkt), welche durch OX ober OY bezeichnet werden kann, betrachtet man eine der oben eingeführten Kreislinien, deren Abstand von O den Wert

 $pd+\frac{1}{2}d$ hat, wofür aber, wie bereits mehrfach durchgeführt, pd bezw. (p+1)d gesetzt werden darf. Das Trägheitsmoment für die Achse durch O ist dann

$$\frac{d\delta}{2} \cdot r^3 2\pi + (2r\pi d\delta) \cdot p^2 d^3.$$

Wählt man n gerade, so daß n=2q ist, so wird das Trägheits= moment für die Hälfte des Cylindermantels durch

$$\frac{qd}{2}\delta r^3 2\pi + 2r\pi d^3\delta \Sigma p^2$$

für $qd=rac{h}{2}$ bestimmt, falls $lim.n=\infty$ ist. Man hat also für das halbe Trägheitsmoment

$$\frac{h}{4}r^3 2\pi\delta + \frac{2}{3}\left(\frac{h}{2}\right)^3 r\pi\delta = 2r\pi h\delta\left(\frac{r^2}{4} + \frac{h^2}{24}\right)$$

und also

$$\mathfrak{Tr}_{r} = \mathfrak{Tr}_{y} = 2 r \pi h \delta \left(\frac{r^{2}}{2} + \frac{h^{2}}{12} \right) = \frac{1}{2} m \left(r^{2} + \frac{h^{2}}{6} \right).$$

n) Die Trägheitsmomente für den Mantel des geraden Regels. Bezeichnet man Höhe und Grundkreisradius des Regels bezw. mit h und r, so hat ein Schnittkreis im Abstande pd von der Spize den Radius $\frac{r}{h} \cdot pd$. Entsprechend den vorangegangenen Betrachtungen findet man g. B.

$$\mathfrak{Tr}_s = \frac{1}{2} m r^2,$$

wobei $m = \delta r \pi s$ ist, unter s die Regelseite verstanden.

Für den Kegelstumpf von den Radien r_1 und r_2 ist ebenso

$$\mathfrak{Tr}_{s} = \frac{1}{2} m (r_{1}^{2} + r_{2}^{2}),$$

wobei $m = \delta (r_1 + r_2) \pi s$ ist, unter s die Seite des Stumpses verstanden.

 λ) Die Trägheitsmomente für die Kugelfläche. Bezeichnet man den Kugelradius mit R, so hat ein Schnittkreis im Abstande pd vom Wittelspunkte den Radius 2R. pd — p^2d^2 . Entsprechend den vorigen Betrachstungen findet man für eine Achse durch den Wittelpunkt

$$\mathfrak{Tr} = \frac{2}{3} m R^2,$$

wobei $m = \delta$. $4 R^2 \pi$ ist.

- μ) Die Deviationsmomente (Centrisugalmomente) der betrach= teten ebenen Flächen. Bildet man für die Hauptachsen $\frac{1}{2}(\mathrm{Tr}_y-\mathrm{Tr}_x)$, so ist mit diesem Werte der Wert des maximalen Deviationsmomentes für das Kreuz XOY gegeben, aus dem sich die anderen Werte gemäß \mathfrak{S} . 653 u. 657 berechnen lassen.
- g) Die Trägheitsmomente homogener Körper. α) Die Träg=heitsmomente des Rechtkants. Das Kreuz der centralen Hauptachsen liegt wegen der symmetrischen Verhältnisse des Körpers parallel zu den Kanten a, b, c. Zu demselben Ergebnisse führt die Verechnung der Deviastionsmomente für das Kreuz dreier anstoßenden Kanten und deren Überstragung auf das Parallelkreuz durch den Schwerpunkt. Vergl. S. 657.

Sind die Achsen OX, OY, OZ, für welche O der Schwerpunkt des Körpers ist, bezw. parallel zu den Kanten a, b, c, so berechnet man Tr, z. B. auf folgende Weise. Teilt man c in n gleiche Teile d, so hat eine Platte von der Dicke d, senkrecht zur Achse OZ, die Masse (abd). d, welche, als Belegung der Rechtecksstäche ab aufgesaßt, für diese dd als Belegung der Flächeneinheit giebt. Da die Achse OZ das Rechteck von der Fläche ab in dessen Schwerpunkt senkrecht schwerpunkt schwerpunkt

$$\frac{ab\left(a^2+b^2\right)}{12}d\delta,$$

so daß man für n Platten, da nd = c ist, für $lim n = \infty$ erhält

$$\mathfrak{Tr}_s = \frac{abc}{12}(a^2 + b^2) \cdot \delta = \frac{1}{12}M(a^2 + b^2) \cdot \cdot \cdot \cdot 227$$

Ebenso ist: $\operatorname{Tr}_y = \frac{1}{12} M(c^2 + a^2)$ und $\operatorname{Tr}_x = \frac{1}{12} M(b^2 + c^2)$.

Dieselben Ergebnisse lassen sich durch Berechnung von E_{xy} u. s. w. durch die Mittelschnittsformel erhalten.

Das Centralellipsoid hat die Gleichung

$$x^2 \cdot \frac{1}{12}M(b^2+c^2)+y^2 \cdot \frac{1}{12}M(c^2+a^2)+z^2 \cdot \frac{1}{12}M(a^2+b^2)=C^2$$

Die Quadrate der Trägheitsarme sind für OX, OY, OZ bezw. $\frac{1}{12}(b^2+c^2)$, $\frac{1}{12}(c^2+a^2)$, $\frac{1}{12}(a^2+b^2)$.

Das centrale Reciprokalellipsoid hat die Gleichung

$$\frac{x^2}{\frac{1}{12}(b^2+c^2)}+\frac{y^2}{\frac{1}{12}(c^2+a^2)}+\frac{z^2}{\frac{1}{12}(a^2+b^2)}=K^2.$$

eta) Die Trägheitsmomente gerader Prismen bezw. Cylinder. Wir legen das Kreuz durch den Schwerpunkt des Körpers, so daß die Achse OZ einer Seite des Prismas bezw. Cylinders parallel ist. Wenn der Quersschnitt von der Fläche f in Bezug auf die entsprechenden Achsen durch seinen Schwerpunkt die Trägheitsmomente Tr_x , Tr_y und $Tr_x = Tr_0$ für die Beslegung 1 der Flächeneinheit hat, so ist, wie im Falle α), bei einer Höhe h des Prismas bezw. Cylinders

$$\mathfrak{Tr}_z = \mathfrak{Tr}_0 \cdot h \cdot \delta$$
.

Um Tr_x abzuleiten, betrachten wir eine der Hälften des Prismas bezw. Enlinders, welche die XY-Ebene bestimmt. Eine Platte, senkrecht zu OZ, von der Dicke d im Abstande pd von der XY-Ebene hat dann für die Achse OX das Trägheitsmoment

$$[\overline{\mathfrak{Tr}}_x + f \cdot (pd)^2] d\delta.$$

Zerlegt man $\frac{h}{2}$ in n gleiche Teile d, so hat der halbe Körper für die Achse OX das Trägheitsmoment

$$n \cdot \overline{\mathfrak{Tr}}_x \cdot d\delta + f d^3 \delta \Sigma p^2$$

. welches, da $nd = \frac{1}{2}h$ ist, für $\lim n = \infty$ den Wert

$$\overline{\mathfrak{Tr}}_{x}\cdot\frac{h}{2}\delta+f\frac{h^{3}}{24}\delta$$

annimmt.

Demgemäß ist für ben ganzen Körper

$$\mathfrak{Tr}_x = \overline{\mathfrak{Tr}}_x \cdot h \cdot \delta + \frac{1}{10} f h^3 \delta.$$

Ebenso ist

$$\mathfrak{Tr}_{\mathbf{v}} = \overline{\mathfrak{Tr}}_{\mathbf{v}} \cdot h \cdot \delta + \frac{1}{12} f h^3 \delta.$$

Mit diesen Formeln, die sich auch durch die Mittelschnittsformel u. s. w. ableiten lassen, kann man unter anderem auch die Ergebnisse unter α) wieder=gewinnen.

Für den geraden Kreiscylinder vom Radius r ist $f=r^2\pi$ und $\operatorname{Tr}_0=\frac{1}{2}\pi r^4$ und $\overline{\operatorname{Tr}}_x=\overline{\operatorname{Tr}}_y=\frac{1}{4}\pi r^4$, so daß sich also in diesem Falle ergiebt

$$\mathfrak{Tr}_{x} = \frac{1}{2}\pi r^{4}h\delta = \frac{1}{2}M \cdot r^{2}$$
 $\mathfrak{Tr}_{x} = \mathfrak{Tr}_{y} = \frac{1}{4}\pi r^{4}h\delta + \frac{1}{12}r^{2}\pi h^{3}\delta = \frac{1}{4}M(r^{2} + \frac{1}{3}h^{2}).$

Das centrale Trägheitsellipsoid ist ein Rotationsellipsoid, dessen Achse OZ ist. Für den Sonderfall $\operatorname{Tr}_x=\operatorname{Tr}_x=\operatorname{Tr}_y$, d. h. für $h=r\sqrt{3}$ geht es in eine Kugel über.

Im übrigen gelten entsprechende Bedingungen wie unter a).

Für den geraden Hohlcylinder von den Radien r, und ra gilt ebenfo

$$\mathfrak{T}\mathbf{r}_z = \frac{1}{2} M(r_1^2 + r_2^2)$$

 $\mathfrak{T}\mathbf{r}_x = \mathfrak{T}\mathbf{r}_y = \frac{1}{4} M(r_1^2 + r_2^2 + \frac{1}{3} h^2).$

 γ) Die Trägheitsmomente gerader Pyramiden bezw. Kegel. Unter geraden Pyramiden bezw. Kegeln sollen hier pyramidale Körper versstanden werden, bei denen der Schwerpunkt der Grundsläche senkrecht unter der Spize liegt. Wir legen das Kreuz durch den Schwerpunkt des Körpers, so daß die Achse OZ mit der Achse (h) des Körpers zusammenfällt. Wenn die Grundsläche von der Größe f in Bezug auf die entsprechenden Achsen durch ihren Schwerpunkt die Trägheitsmomente Tx_x , Tx_y und $Tx_z = Tx_0$ für die Belegung 1 der Flächeneinheit hat, so sind die entsprechenden Größen sine Parallelsläche im Abstande pd, von der Spize (Abbildung nach dem Modul h:pd)

$$f \cdot \frac{p^2 d^2}{h^2}$$
, $\overline{\mathfrak{Tr}}_x \frac{p^4 d^4}{h^4}$, $\overline{\mathfrak{Tr}}_y \frac{p^4 d^4}{h^4}$, $\overline{\mathfrak{Tr}}_0 \frac{p^4 d^4}{h^4}$.

Für ein Kreuz durch die Spize des Kegels, welches dem oben einsgeführten Kreuze durch den Schwerpunkt parallel ist, gilt dann zunächst in Bezug auf die Z=Achse der Ansat ${\rm Tr}_0 \cdot \frac{d^5}{h^4} \cdot \delta$. Σp^4 für $\lim n = \infty$. Wan hat also

$$\mathfrak{Tr}'_s = \frac{1}{5}h \cdot \mathfrak{Tr}_0 \cdot \delta.$$

Für Tr_x' liefert die einzelne Platte, senkrecht zu OZ, den Beitrag

$$\overline{\mathfrak{Tr}}_x \frac{p^4 d^4}{h^4} + \frac{p^4 d^4}{h^2} f_{,}$$

d. h. für die X=Achse gilt der Ansatz

$$\overline{\mathfrak{Tr}}_x \delta \cdot \frac{d^5}{h^4} \Sigma p^4 + \frac{d^5}{h^2} f \delta \Sigma p^4$$

für $\lim n = \infty$. Man hat also

$$\mathfrak{T}\mathfrak{r}'_x = \frac{1}{5}h \cdot \overline{\mathfrak{T}\mathfrak{r}_x} \cdot \delta + \frac{1}{5}fh^3\delta.$$

Ebenso ist

$$\mathfrak{T}\mathfrak{r}'_y=\frac{1}{5}h\cdot\overline{\mathfrak{T}\mathfrak{r}_y}\cdot\delta+\frac{1}{5}fh^3\delta.$$

Für das Kreuz durch den Schwerpunkt bleibt Tr', unverändert, während für Tr', und Tr', eine Verschiebung um $\frac{3}{4}h$ in Rechnung gestellt werden muß. Man hat also, da die Wasse des Körpers $\frac{fh}{3}\cdot\delta$ ist,

$$\mathfrak{Tr}_{x} = \frac{1}{5}h \cdot \mathfrak{Tr}_{0} \cdot \delta$$

$$\mathfrak{Tr}_{x} = \mathfrak{Tr}'_{x} - \frac{9}{16}h^{2} \cdot \left(\frac{fh\delta}{3}\right) = \frac{1}{5}h \cdot \overline{\mathfrak{Tr}}_{x} \cdot \delta + \frac{1}{80}f \cdot h^{3} \cdot \delta$$

$$\mathfrak{Tr}_{y} = \mathfrak{Tr}'_{y} - \frac{9}{16}h^{2} \cdot \left(\frac{fh\delta}{3}\right) = \frac{1}{5}h \cdot \overline{\mathfrak{Tr}}_{y} \cdot \delta + \frac{1}{80}f \cdot h^{3} \cdot \delta.$$

Für die gerade Pyramide mit rechteckiger Grundfläche (ab) ist 3. B.

$$\mathfrak{Tr}_0 = \frac{ab(a^2 + b^2)}{12}, \quad \mathfrak{Tr}_x = \frac{ab^3}{12}, \quad \mathfrak{Tr}_y = \frac{a^3b}{12},$$

d. h. man hat

$$\mathfrak{Tr}_{z} = \frac{1}{20} M(a^{2} + b^{2})$$
 $\mathfrak{Tr}_{x} = \frac{1}{20} M(b^{2} + \frac{3}{4} h^{2})$
 $\mathfrak{Tr}_{y} = \frac{1}{20} M(a^{2} + \frac{3}{4} h^{2})$

Für den geraden Kreiskegel ist

$$f=r^2\pi$$
, $\mathfrak{T}\mathfrak{r}_0=\frac{1}{2}r^4\pi$ und $\overline{\mathfrak{T}\mathfrak{r}}_x=\overline{\mathfrak{T}\mathfrak{r}}_y=\frac{1}{4}r^4\pi$,

so daß hier gilt

$$\mathfrak{Tr}_{z} = \frac{1}{10} r^{4} \pi h \delta = \frac{8}{10} M r^{2}$$
 $\mathfrak{Tr}_{x} = \mathfrak{Tr}_{y} = \frac{1}{20} r^{4} \pi h \delta + \frac{1}{80} r^{2} \pi h^{3} \delta = \frac{3}{20} M (r^{2} + \frac{1}{4} h^{2}).$

Für den Regelstumpf von den Radien r_1 und r_2 ist ebenso

$$\mathfrak{T}\mathbf{r}_z = \frac{3}{10} M \frac{r_1^5 - r_2^5}{r_1^3 - r_2^3}.$$

 δ) Trägheitsmomente für die Augel, den Augelausschnitt und den Augelabschnitt. Legt man ein rechtwinkeliges Kreuz durch den Mittelspunkt O der Augel vom Kadius R, so hat eine Platte von der Dicke d, senkrecht zu OZ, im Abstande pd von O das Trägheitsmoment $\frac{1}{2}r^4\pi d\delta$ sür $r^2=R^2-p^2d^2$. Man hat also für Tr, den Ansag

$$egin{aligned} & egin{aligned} & igsim rac{1}{2}(R^2 - p \, d^2)^2 \pi \, d \, \delta \ &= rac{1}{2} \, igsim (R^4 d - 2 \, R^2 p^2 d^3 \, + \, p^4 d^5) \, \pi \, \delta. \end{aligned}$$

Dabei ist für die Halbkugel nd=R für $lim\,n=\infty$. Für die Halb-kugel gilt also

$$\mathfrak{Tr}_{\mathbf{z}} = \frac{1}{2} \Big(R^5 - \frac{2 R^5}{3} + \frac{1}{5} R^5 \Big) \delta = \frac{4}{15} R^5 \cdot \delta.$$

Für die Rugel ist also

$$\mathfrak{T}r_{z} = \mathfrak{T}r_{z} = \mathfrak{T}r_{y} = \frac{8}{15}R^{5}\delta = \frac{2}{5}M \cdot R^{2} \cdot \cdot \cdot \cdot 228$$

Für die Hohltugel von den Radien r_1 und r_2 gilt ebenso

$$\mathfrak{T}\mathfrak{r}_s = \mathfrak{T}\mathfrak{r}_x = \mathfrak{T}\mathfrak{r}_y = \frac{2}{5}M\frac{r_1^5 - r_2^5}{r_1^3 - r_2^3}$$

Für den Kugelabschnitt von der Höhe h, der parallel zur XY=Ebene abgeschnitten ist, hat man die oben aufgestellte Formel für Tr, zunächst zu berechnen für nd = R - h und zwar für $lim n = \infty$, und dann diesen Wert vom Trägheitsmomente der Halbkugel abzuziehen. Man hat also hier abzuziehen

$$\frac{1}{2}[R^4(R-h)-\frac{2}{3}R^2(R-h)^3+\frac{1}{5}(R-h)^5]\pi\delta$$

und findet

$$\mathfrak{Tr}_s = \frac{1}{3}\pi\delta h^3 \left[2R^2 - \frac{3}{2}Rh + \frac{3}{10}h^2\right] = M \cdot h \cdot \frac{2R^2 - \frac{3}{2}Rh + \frac{3}{10}h^2}{3R - h}.$$

Um für den Kugelabschnitt $\operatorname{Tr}_x = \operatorname{Tr}_y$ für Achsen durch den Schwer= punkt zu bestimmen, berechnet man E_{xy} , E_{yz} , E_{xx} .

Entsprechendes gilt für Rugelschichten.

Für den Kugelausschnitt, dessen Kalotte die Höhe k hat, findet man ebenso

$$\mathfrak{Tr}_s = \frac{1}{5} M(3Rh - h^2).$$

ein Rotationsellipsoid von den Achsen a, a, c läßt sich zunächst das Trägsheitsmoment für die Hauptachse OZ, welche [c] parallel ist, leicht bestimmen, salls man die konzentrische Kugel vom Radius c einführt. Eine unendlichsdünne Platte des Ellipsoides senkrecht zu OZ, von der Dicke d, verhält sich zu der entsprechenden Platte der Kugel wie $a^2:c^2$, ihr Trägheitsmoment also, da beide Platten kreissörmig sind, wie $a^4:c^4$. Demgemäß muß das Trägsheitsmoment der Kugel $\frac{2}{5}\binom{4}{3}\delta c^3\pi)c^2$ im Berhältnisse $a^4:c^4$ verändert werden, um das entsprechende Trägheitsmoment sür das Ellipsoid zu liesern. Man hat also sür dieses

$$\mathfrak{Tr}_{z} = \frac{2}{5} \left(\frac{4}{3} \delta a^{2} c \pi \right) \cdot a^{2} = \frac{2}{5} M \cdot a^{2}$$

Entsprechende Schlüsse führen für eine der anderen Achsen zu

$$\mathfrak{Tr}_x = \mathfrak{Tr}_y = \frac{1}{5}M(a^2 + c^2).$$

Für das dreiachsige Ellipsoid von den Halbachsen a, b, c, dessen Gleichung $\frac{x^2}{a^2} + \frac{y^2}{b^2} + \frac{z^2}{c^2} = 1$ ist, hat ein Schnitt in der Höhe z senkrecht zur Achse OZ die Halbachsen $\frac{a}{c}\sqrt{c^2-z^2}$ und $\frac{b}{c}\sqrt{c^2-z^2}$, so daß das (polare) Trägsheitsmoment dieses Schnittes (für OZ) den Wert

$$\frac{1}{4}\pi \frac{ab}{c^4}(a^2 + b^2) (c^2 - z^2)^2$$

hat.

Faßt man diesen Schnitt als Träger der Belastung einer Platte von der Dicke d auf, so ist für z=pd das entsprechende Trägheitsmoment

$$\frac{1}{4}\pi \frac{ab}{c^4} (a^2 + b^2) [c^4d - 2c^2p^2d^2 + p^4d^5] \delta.$$

Demnach ist für das halbe Elipsoid, falls nd = c für $\lim n = \infty$ gilt, $\operatorname{Tr}'_s = \frac{2}{15} \pi abc (a^2 + b^2) \delta$.

Für das ganze Ellipsoid ist also

$$\mathfrak{Tr}_s = \frac{4}{15} \pi abc(a^2 + b^2) \delta = \frac{1}{5} M(a^2 + b^2).$$

Ebenso folgt

$$\mathfrak{Tr}_{y} = \frac{1}{5} M(c^{2} + a^{2})$$

$$\mathfrak{Tr}_{x} = \frac{1}{5} M(b^{2} + c^{2}).$$

Für Abschnitte und Schichten u. s. w. von Ellipsoiden geht man auf die betreffenden Formeln für die Kugel zurück.

 ζ) Trägheitsmomente für das Umdrehungsparaboloid. Für die Drehungsachse OZ findet man bei einer Begrenzung, wie in Fig. 508

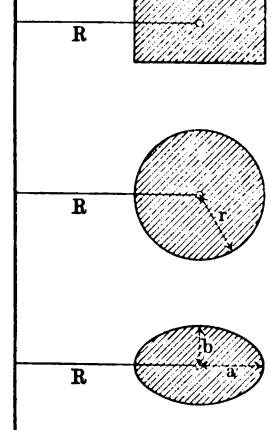
$$\mathfrak{Tr}_{s} = \frac{1}{3} M b^{2}.$$

Für eine Schwerpunktsachse, senkrecht zu OZ, gilt

$$\mathfrak{Tr}_x = \mathfrak{Tr}_y = \frac{1}{6}M(b^2 + \frac{1}{3}a^2).$$

- η) Trägheitsmomente für Hyperboloide. Gemäß S. 457 sind die entsprechenden Formeln leicht herzustellen, zunächst für Umdrehungskörper, dann auch für dreiachsige.
- &) Trägheitsmomente für Ringe. Gemäß S. 668 findet man für den Ring des Rechtecks der Jig. 509

Fig. 509.



10

 $\mathfrak{Tr}_s = M(R^2 + \frac{1}{4}b^2).$

Ebenso gilt für den Kreis der Fig. 509

$$\mathfrak{Tr}_z = M(R^2 + \frac{3}{4}r^2),$$

und für die Ellipse der Fig. 509

$$\mathfrak{Tr}_s = M(R^2 + \frac{3}{4}a^2).$$

Für eine Schwerpunktsachse, senkrecht zu OZ, gilt für den Ring des Rechtecks

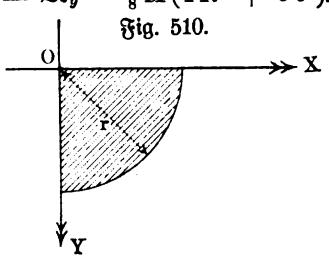
$$\mathfrak{T}r_x = \mathfrak{T}r_y = \frac{1}{8}M(4R^2 + b^2 + \frac{2}{3}h^2),$$

für den Kreis

$$\mathfrak{T}r_x = \mathfrak{T}r_y = \frac{1}{8}M(4R^2 + 5r^2),$$

und für die Ellipse

$$\mathfrak{T}r_x = \mathfrak{T}r_y = \frac{1}{8}M(4R^2 + 5b^2).$$



1) Die Centrisugalmomente für einen rechteckigen Keil des geraden Kreischlinders. Man findet bei einer Höhe k über der schrafsfierten Grundsläche der Fig. 510 (a. v. S.) ohne weiteres

$$D_y = D_x = \frac{2}{3\pi} M \cdot rh.$$

Ferner ist

$$D_s = \frac{1}{2\pi} M \cdot r^2.$$

- Der elementare Bewegungszustand eines starren Körpers innerhalb einer beliebigen Bewegung. In der Phoronomie wurde nach= gewiesen, daß sich jede Bewegung eines starren Körpers auf Folgen elementarer Verschiebungen und Drehungen bezw. elementarer Schraubungen zurückführen läßt. Wir wollen nun den elementaren Bewegungszustand eines starren Körpers (vergl. § 95) in dynamischer Hinsicht untersuchen. Behandelt man das System der Bewegungsgrößen $\mu[v]$, welches den einzelnen Punkten eines materiellen Systemes entspricht, wie ein System von Kräften $\mu[j_G]$, welches in den einzelnen Punkten des materiellen Systemes angreift, so erhält man auch hier für einen beliebigen Zurückführungspunkt O eine Resultante, welche $[R_B]$ heißen, und ein resultierendes Moment, das [Mo(B)] genannt werden mag. Die Bereinigung von $[R_B]$ und [Mo(B)], wofür wir, solange keine Verwechselungen zu befürchten sind, auch kurz [R] und [Mo] schreiben, führt dann ferner zu einer Centralachse und dem ihr entsprechenden Momente [Mo(B)]. Für den Fall, daß R=0 ist, bestimmt schon [Mo(B)] die Centralachse 1).
- 1. Handelt es sich bloß um eine elementare Verschiebung, so ist bereits in § 48 auch für endliche Verschiebungen nachgewiesen, daß hier der Sat gilt: Die Bewegungsgröße eines starren materiellen Körpers ist bei Verschiebungen gleich der Bewegungsgröße seines Massen=

¹⁾ Dabei mag darauf aufmerksam gemacht werden, daß man von den Mo= menten von Bektoren in Bezug auf einen Punkt O sprechen darf, auch wenn diese Bektoren nicht in einer, auch den Punkt O enthaltenden Ebene liegen. Für einen Bektor [AB] ist das Moment in Bezug auf O bestimmt, wenn man ihn in der Ebene betrachtet, welche durch ihn und durch Ogelegt werden kann, es ist dem Werte nach gegeben durch die doppelte Fläche des Dreiecks OAB (vergl. Fig. 13) und hat in der Ebene einen bestimmten Drehungssinn. Errichtet man nun in O auf der Ebene OAB ein Lot vom Werte des Momentes und in dem Sinne, als wenn es sich um ein Kräftepaar handelte, so wird das Moment durch eine Rich= tungsstrede dargestellt. Für n Bektoren bilden sich in O also n solche Richtungs= streden. Diese sind genau dieselben, als wenn es sich um die entsprechenden Bettorenpaare handelte, die für O als Zurückführungspunkt auftreten würden. Ihre Vereinigung durch geometrische Abdition ist erlaubt, wenn sie für die entsprechen= den Bektorenpaare erlaubt ist, da diese ja stets so verschoben werden dürken, daß für jedes Paar ein Veftor durch () geht und also keinen Beitrag für die Berech= nung des Momentes liefert. Bildet man z. B. für O die Momente der Kräfte eines, einen starren Körper angreifenden Kräftespstemes und vereinigt man ferner die Richtungsstreden dieser Momente durch geometrische Addition, so stimmt die so ge= wonnene Resultante überein mit dem Achsenmomente des resultierenden Paares, falls für dessen Bildung O als Zurückführungspunkt gedient hat.

mittelpunktes, in dem stets die gesamte Masse des Körpers ver= bichtet zu benken ist.

2. Handelt es sich bloß um eine elementare Drehung, so kann man die Achse der Drehung, für welche φ die Winkelgeschwindigkeit sein mag, als Z-Achse nehmen und senkrecht zu ihr eine XY-Ebene einsühren, um [R] und [Mo] zu berechnen. Diese Rechnung können wir in Bezug auf die Betrachtung, welche Fig. 216 entspricht, ersparen, wenn wir in den dort gewonnenen Formeln erst $\varphi = 0$ setzen und dann φ sür ι einsühren, da in unserem Falle $K_N = 0$ und $K_T = \mu v = \mu r \varphi$ ist. Man hat dann sür das System, gemäß den Sleichungen Nr. 107 a) und 107 b)

$$X = -\varphi M\eta$$
 $M_x = +\varphi D_y$
 $Y = +\varphi M\xi$ $M_y = +\varphi D_x$
 $Z = 0$ $M_s = -\varphi \mathfrak{T} r_s$

Denigemäß ist $R=\varphi M\sqrt{\xi^2+\eta^2}=\varphi M\varrho$, falls man den Abstand des Massenmittelpunktes von der Achse wieder mit ϱ bezeichnet.

Demgemäß ist serner $Mo = \varphi \sqrt{D_x^2 + D_y^2 + \mathfrak{T}_x^2}$. Der Winkel ω zwischen [R] und [Mo] ist gegeben durch

$$\cos \omega = rac{+ \xi D_x - \eta D_y}{\varrho \sqrt{D_x^2 + D_y^2 + \mathfrak{T}_x^2}}$$

und also Mo durch

$$\mathfrak{Mo} = \frac{\varphi}{\varrho} \left(+ \xi D_x - \eta D_y \right).$$

Wan sieht, daß [R] auf der Ebene senkrecht steht, welche durch die Achse und durch den Massenmittelpunkt geht; der Wert von [R] stimmt überein mit der Bewegungsgröße des Massenmittelpunktes, so daß R nur verschwindet $(\varrho = 0)$, wenn der Schwerpunkt auf der Achse liegt. Würde man [R] nach dem Massenmittelpunkte verschieben, so stellte es dessen, der gegebenen Drehung entsprechende Bewegungsgröße dar.

Der Neigungswinkel ν von [Mo] gegen die Z=Achse wird bestimmt durch

$$\cos \nu = -rac{\mathfrak{Tr}_s}{\sqrt{D_x^2 + D_y^2 + \mathfrak{Tr}_s^2}}$$

Dieser Winkel ν wird nur 0° bezw. 180° , wenn $D_x=0$ und $D_y=0$ ist, d. h. wenn die Deviationsmomente (Centrisugalmomente) bezw. für die YZ-Ebene und für die XZ-Ebene verschwinden, so daß also die Z-Achse, um welche die Drehung erfolgte, eine Hauptachse ist.

Soll sich nun der einmal gegebene elementare Bewegungs= zustand, welcher eine elementare Drehung um die Z=Achse ist, ers halten, so muß die [R] entsprechende Verschiebung fortfallen und es muß außerdem [Mo] um die Z=Achse drehen.

Bur Erhaltung des gegebenen Bewegungszustandes, in welchem schon infolge der Massenverteilung im allgemeinen die Bedingungen seiner Beränderung liegen, ist also erforderlich, daß die Drehungsachse durch den Massenmittelpunkt $(\varrho=0)$ geht und eine Hauptachse $(D_x=0)$

 $D_y=0$) ist, d. h. sie muß eine Hauptachse des Massenmittelpunktes sein. Da [R] auf der Ebene senkrecht steht, welche durch die Achse und den Massenmittelpunkt geht, so steht auch die Centralachse, welcher die, sich aus dem gegebenen Bewegungszustande entwickelnde elementare Schraubung entspricht, auf dieser Ebene senkrecht. Das Moment für die Centralachse wird Null, abgesehen von dem Sonderfalle $\xi D_x=\eta D_y$, falls zugleich $D_x=0$ und $D_y=0$ ist, ohne daß zugleich R=0 ist, d. h. bei der Drehung um eine Hauptachse, welche nicht durch den Schwerpunkt geht. Ist $D_x=0$, $D_y=0$ und $\varrho=0$, so erscheint No in der Form $\frac{0}{0}$, während sein wahrer Wert $M_z=-\varphi \operatorname{Tr}_z$ ist.

Die XY_* Ebene kann man sich stets durch den Massenmittelpunkt gelegt benken und zwar so, daß eine Achse, etwa die X_* Achse (positiv), durch den Massenmittelpunkt geht. Führt man noch im Massenmittelpunkte die Gegenskräfte $[R_0]$ und $[\overline{R_0}]$ vom Werte R ein, so tritt sür den Massenmittelpunkt als Zurücksührungspunkt $[R_0]$ auf neben einem Momente $[Mo_0]$. Letzteres setzt sich zusammen aus dem Momente [Mo] und aus dem Momente vom Werte ϱ . R, welches in der XY_* Ebene der gegebenen Drehung entgegen wirkt. Setzt man die Komponente $[M_s]$ von [Mo] mit $[\varrho$. R] zusammen, so erhält man $-\varphi$. $\mathbb{T}_s + \varrho$. $R = -\varphi(\mathbb{T}_s - M\varrho^2) = -\varphi$. $(\mathbb{T}_s)_o$, salls man das Trägheitsmoment sür die Gerade durch den Massenmittelpunkt, welche der Drehungsachse parallel ist, durch $(\mathbb{T}_s)_o$ bezeichnet (vergl. Formel Nr. 198). Legt man durch den Wassenmittelpunkt ein Koordinatenkreuz X'Y'Z', welches eine Berschiedung des zuerst benutzten darstellt, so bleiben s und y unverändert, während x in x' + ϱ übergeht. Für das neue System bleibt also D_x ungeändert, während

$$D_y = \Sigma \mu xz = \Sigma \mu z (x' + \varrho) = \Sigma \mu x'z + \varrho \Sigma \mu z = \Sigma \mu x'z$$

ist, so daß also die anderen beiden Komponenten von [Mo] ebensowohl durch $+ \varphi D_y$ und $+ \varphi D_x$ als auch durch $+ \varphi (D_y)_o$ und $+ \varphi (D_x)_o$ bezeichnet werden dürsen, wenn letztere Größen sich wieder auf das Achsenkreuz durch den Schwerpunkt beziehen. Demnach ist $[Mo_0]$ genau so aus den Komponenten $- \varphi (\mathfrak{T} r_z)_o$, $+ \varphi (D_x)_o$, $+ \varphi (D_y)_o$ zu bilden, wie [Mo] aus den Komponenten $- \varphi \mathfrak{T} r_z$, $+ \varphi D_x$, $+ \varphi D_y$. Legt man also durch den Massenmittelpunkt eine Gerade, parallel zur Drehungsachse, so ist das Moment sür den Massenmittelpunkt als Zurücksührungspunkt genau so zu berechnen, als wenn die Gerade durch ihn Achse wäre für eine, der gegebenen Drehung entsprechende Drehung (vergl. dazu Fig. 71 a). Rechnet man sür diese Achse, so erhält man keine Resultante, da jezt $\varrho = 0$ ist; dasür hat aber die Achsenverlegung schon die Verschiedung, entsprechend $[R_0]$, geliesert.

3. Handelt es sich endlich um eine elementare Schraubung, für welche die Geschwindigkeit in Richtung der Achse [c] und die Winkelgeschwinsdigkeit um die Achse φ ist, so kommt zu den Größen [R] und [Mo] der vorigen Nummer noch die Größe M[c] gemäß der Nr. 1 hinzu. Da diese im Massenmittelpunkte haftet, so ist es zweckmäßig, ihn in diesem Falle von vornherein als Zurücksührungspunkt zu wählen. Man hat dann $[Mo_0]$ nach Nr. 2 zu bilden, während sich [R] vom Werte $\varphi M \varrho$ und M[c] zu $[M\sqrt{\varphi^2\varrho^2+c^2}]$ zusammensezen, d. h. zu einer Resultante, welche der Schraus

bung (c, φ) des Massenmittelpunktes entspricht. Diese Resultante liegt in der Ebene durch den Massenmittelpunkt, welche senkrecht zur Ebene durch die Achse und den Massenmittelpunkt verläuft.

Setzt man die gewonnenen Ergebnisse nach dem Vorgange von Poinsot zu dem Centralellipsoide in Beziehung, wobei man von vornherein den Massenmittelpunkt als Zurückstührungspunkt zu wählen hat, so erhält man ein anschauliches Bild des ganzen Vorganges.

Berlegt man [φ] nach den Achsen des Centralellipsoides

$$\xi^2$$
 . $\mathfrak{Tr}_{\xi} + \eta^2$. $\mathfrak{Tr}_{\eta} + \zeta^2$. $\mathfrak{Tr}_{\zeta} = C^2$

in die Komponenten $[\varphi_{\xi}]$, $[\varphi_{\eta}]$, $[\varphi_{\zeta}]$, so haben die Deviationsmomente für die Drehungen, welche diesen Komponenten entsprechen, den Wert Null. Zerslegt man auch $[Mo_{0}]$ nach den Achsen in die Komponenten $[Mo_{\zeta}]$, $[Mo_{\eta}]$, $[Mo_{\zeta}]$, so gilt also $Mo_{\xi} = \varphi_{\xi}$. Tr $_{\xi}$, $Mo_{\eta} = \varphi_{\eta}$. Tr $_{\eta}$, $Mo_{\zeta} = \varphi_{\zeta}$. Tr $_{\zeta}$, salls $[\varphi]$ und $[Mo_{0}]$ mit den positiven Halbachsen des Ellipsoides spize Wintel bilden. Demnach läßt sich die Lage von $[Mo_{0}]$, dessen Wert durch $Mo_{0}^{2} = M_{\xi}^{2} + M_{\eta}^{2} + M_{\zeta}^{3}$ bestimmt ist, gegen diese Halbachsen darstellen durch die Cosinus

$$\frac{Mo_{\xi}}{Mo_{0}} = \frac{\varphi_{\xi}\mathfrak{T}\mathfrak{r}_{\xi}}{Mo_{0}}, \quad \frac{Mo_{\eta}}{Mo_{0}} = \frac{\varphi_{\eta}\mathfrak{T}\mathfrak{r}_{\eta}}{Mo_{0}}, \quad \frac{Mo_{\zeta}}{Mo_{0}} = \frac{\varphi_{\zeta}\mathfrak{T}\mathfrak{r}_{\zeta}}{Mo_{0}}.$$

Eine Gerade in der Richtung von $[\varphi]$, welche durch den Massenmittel= punkt geht, schneidet das Centralellipsoid in einem Punkte P, dessen Koordi= naten ξ , η , ξ sich als

$$\frac{r\varphi_{\xi}}{\varphi}$$
, $\frac{r\varphi_{\eta}}{\varphi}$, $\frac{r\varphi_{\zeta}}{\varphi}$

darstellen, falls sein Abstand vom Massenmittelpunkte durch r bezeichnet wird. Die Tangentialebene in P hat dann die Gleichung

$$\xi \varphi_{\xi} \mathfrak{T} \mathfrak{r}_{\xi} + \eta \varphi_{\eta} \mathfrak{T} \mathfrak{r}_{\eta} + \xi \varphi_{\xi} \mathfrak{T} \mathfrak{r}_{\xi} = \frac{C^{2} \varphi}{r},$$

so daß die Cosinus der entsprechenden Normale in P für

durch

$$\frac{\varphi_{\xi} \mathfrak{T} \mathfrak{r}_{\xi}^{z} + \varphi_{\eta}^{z} \mathfrak{T} \mathfrak{r}_{\eta}^{z} + \varphi_{\zeta}^{z} \mathfrak{T} \mathfrak{r}_{\zeta}^{z} = Mo_{0}^{z}}{\frac{\varphi_{\xi} \mathfrak{T} \mathfrak{r}_{\xi}}{Mo_{0}}}, \frac{\varphi_{\eta} \mathfrak{T} \mathfrak{r}_{\eta}}{Mo_{0}}, \frac{\varphi_{\zeta} \mathfrak{T} \mathfrak{r}_{\zeta}}{Mo_{0}}$$

gegeben sind. Demnach hat $[Mo_0]$ die Richtung dieser Normalen, während die Sbene von $[Mo_0]$ der Tangentialebene parallel ist.

Fällt man von dem Massenmittelpunkte ein Lot (1) auf die Tangential= ebene, so ist dieses bestimmt durch

$$l=\frac{C^2\varphi}{r}\cdot\frac{1}{Mo_0},$$

d. h. man hat

$$Mo_0=\frac{C^2\varphi}{rl}$$
.

Beachtet man noch, daß [r] und die Tangentialebene in P einander konzingiert sind, so gelangt man also zu dem Ergebnisse: Die Ebene des Momentes $[Mo_0]$ ist parallel zu der Mittelebene des Centralellip=

1

soides, welche zur Richtung der gegebenen Drehungsachse kon= jugiert ist.

Trägt man im Massenmittelpunkte ben Bektor [p] ein, so ist die Richtung von [Mo,] durch das Lot vom Massenmittelpunkte auf bie Tangentialebene im Schnittpunkte des Ellipsoides mit [p] be= stimmt. Der Wert des Momentes [Moo] ist proportional zu der ge= gebenen Winkelgeschwindigkeit (p) und umgekehrt proportional zu dem Produkte aus dem Abstande (1) des Massenmittelpunktes von jener Tangentialebene und dem Abstande (r) des Massenmittel= punttes von dem Berührungspuntte.

Soll die gegebene Drehungsachse dauernd Drehungsachse sein, so muß $[Mo_0]$ die Richtung der gegebenen Achse haben, d. h. der im Massenmittel= punkte eingetragene Bektor [φ] muß Normale des Centralellipsoides sein, so daß die gegebene Drehungsachse eine Hauptachse des Ellipsoides ist. Nennt man den außeren Borgang, welcher ber Erzeugung einer Be= wegungsgröße entspricht, einen Stoß, so kann man den Kern der ganzen Betrachtung auch so ausbruden: Ein Stoß muß durch den Massen= mittelpunkt gehen, wenn eine Berschiebung entstehen foll; ein Stogpaar (entsprechend einem Rraftepaare) muß fentrecht zu einer Hauptachse liegen, wenn die Achse der Drehung auf seiner Ebene senkrecht stehen soll.

Denkt man sich Kräfte aus unendlich = kleinen Stößen, welche den ein= zelnen aufeinander folgenden Zeitelementen entsprechen, zusammengesetzt und behnt man diese Anschauung auch auf Kräftepaare aus, so sieht man, daß Entsprechendes auch für Kräfte und Kräftepaare gilt.

102. Allgemeine Sațe über die Bewegung eines materiellen Syftems. Für die weitere Untersuchung der Bewegungen eines starren Körpers sind noch einige Sätze von Bedeutung, die überhaupt für materielle Systeme gelten, also auch im besondern für Systeme starrer Körper.

Da nämlich nach dem Principe der Paarwirkung die inneren Kräfte jedes materiellen Systems in jedem Zeitpunkte im Gleichgewichte stehen, so heben sich diese in jedem Zeitpunkte auf, mag das System ein starrer Körper sein ober nicht.

Da das System der inneren Kräfte im besondern aus Paaren von Gegenkräften besteht, so steht es übrigens nicht bloß im Gleichgewichte, wenn jede seiner Kräfte an dem Punkt wirkt, an dem sie thatsächlich zur Geltung kommt, sondern auch dann, wenn man alle Kräfte des Systems als Bektoren an einen Punkt versetzt benkt.

Dieser Sat, dessen Verallgemeinerung leicht zu übersehen ist, lätt sich natürlich nicht umkehren.

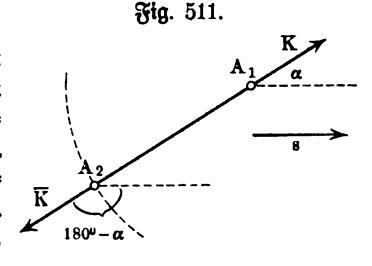
Solange man die Betrachtung auf einen bestimmten Zeitpunkt beschränkt, ist also die besondere Art der Verbindung der Atome zu Körpern ohne Ein= fluß auf die Betrachtung. Man giebt dieser Einsicht wohl auch den Ausdruck, daß man sich jedes materielle System für einen Augenblick erstarrt denken und nun auf dieses starre System die Gesetze starrer Körper anwenden darf. Sobald man aber die Betrachtung auf ein Zeitelement ausdehnt oder auf eine endliche Zeitdauer, wird die besondere Art der Berbindung der Atome zu Körpern von großem Einflusse.

Dies tritt z. B. bei der Berechnung der Arbeit ein, in welcher die Bestrachtung zum mindesten auf ein Zeitelement ausgedehnt werden muß. In diesem Falle verschwindet die Arbeit der inneren Kräfte, obwohl diese für jeden Zeitpunkt in Paare von Gegenkräften zerfallen, im allgemeinen durchaus nicht für ein Zeitelement, weil sich in diesem sowohl die Angriffspunkte jedes Paares gegeneinander verschieben können, als auch Anderungen nach Wert und Richtung eintreten können.

Das Verschwinden der Arbeit der inneren Kräfte ist also an besondere Bedingungen über den Bau des Systems gebunden, nur für einen starren Körper verschwindet sie stets.

Betrachtet man nämlich zwei Punkte A_1 und A_2 eines starren Körpers bei irgend einer Bewegung desselben, so kann man diese Bewegung darstellen

als eine, auf A_1 bezogene Verschiebung und als eine Drehung um eine durch A_1 gehende Achse. Da sich die Länge $A_1A_2=l$ nicht ändert, so ist die Arbeit von veränderlichen Gegenkräften in A_1 und A_2 für eine Versschiebung Null, weil sie, wie Fig. 511 zeigt, stets als $Ks[\cos\alpha + \cos(180^\circ - \alpha)]$ erscheint. Ebenso ist sie für die Drehung Null, weil [K] stets durch A_1 geht und \overline{K} stets senkrecht zu seiner Bahn steht.



Diese Betrachtung gilt für je zwei Punkte des starren Körpers, salls man dessen Bewegung, immer dem gewählten Punktpaare entsprechend, als Verschiebung und Drehung darstellt.

Im folgenden sollen nun vier Sätze abgeleitet werden, bei welchen die Eigenart der inneren Kräfte eines beliebigen materiellen Systems (als Gegensträfte) eine Rolle spielt.

Vorher aber muß noch darauf aufmerksam gemacht werden, daß auch das Princip von d'Alembert, welches im § 66 abgeleitet wurde, ganz allsgemein für materielle Systeme gilt, da bei seiner Ableitung nur voraussgesett wurde, daß die inneren Kräfte im Gleichgewichte stehen.

Diese Princip sagt aus, daß die Effektivkräfte, welche aus der Bewegung berechnet werden müssen, und die äußeren, das materielle System angreisenden Kräfte, stets gleichwertig sind in Bezug auf die Bildung einer Resultante und eines Kräftepaares.

Ersett man die Kräste des einen Systems durch ihre Gegenkräfte, so steht dieses System der Gegenkräfte natürlich mit dem anderen Systeme im Gleichgewichte, so daß auf dieses zusammengesetzte System alle Sätze des Gleichgewichtes angewandt werden können, unter anderem auch das Princip der virtuellen Verrückungen (vergl. S. 482).

Es zeigt sich hier wieder, daß der Kernpunkt des Principes von d'Alembert die Anerkennung der Thatsache ist, daß statische Kraft nichts anderes ist als ge=

hemmte kinetische Kraft bezw. daß kinetische Kraft nichts anderes ist als entwickelte oder frei gewordene statische Kraft, d. h. es weist hin auf die Gleichwertigkeit kinetischer und statischer Kräfte (vergl. S. 10 u. f.).

1. Der Massenmittelpunkt als kinetisches Centrum. Die Gleischungen Nr. 66), welche zur Bestimmung der Koordinaten des Massenmittelspunktes dienen, lassen sich auch bei einem in Bewegung besindlichen Körper in jedem Zeitpunkte in Bezug auf die augenblickliche Stellung des Körpers anwenden.

Bur Zeit t mögen die Koordinaten der einzelnen materiellen Punkte durch x_p , y_p , z_p und die des Schwerpunktes durch x, y, z bezeichnet werden, zur Zeit $t'=t-\tau$ bezw. durch x_p , y_p' , z_p' und x', y', z'.

In Bezug auf die YZ-Ebene z. B. gelten dann für die Zeitpunkte t' und t bezw. die Gleichungen

$$\mu_1 x_1' + \mu_2 x_2' + \cdots = M \cdot x'$$

 $\mu_1 x_1 + \mu_2 x_2 + \cdots = M \cdot x.$

Die Differenz beider Gleichungen giebt nach Division durch r

$$\mu_1 \frac{x_1 - x_1'}{\tau} + \mu_2 \frac{x_2 - x_2'}{\tau} + \cdots = M \frac{x - x'}{\tau}.$$

Bezeichnet man die Komponenten der Geschwindigkeiten der einzelnen Punkte nach den Achsen zur Zeit t durch $v_p^{(x)}$, $v_p^{(y)}$, $v_p^{(z)}$ und die des Schwerspunktes durch $v^{(x)}$, $v^{(y)}$, $v^{(y)}$, $v^{(y)}$, $v^{(y)}$, $v^{(z)}$, so gilt für $\lim \tau = 0$

$$\mu_1 v_1^{(x)} + \mu_2 v_2^{(x)} + \cdots = M \cdot v_2^{(x)} \cdot \cdots \cdot 229$$

Entsprechende Gleichungen gelten in Bezug auf die ZX=Ebene und die XY=Ebene. Fast man die Bewegungsgrößen wieder als Bektoren auf, so sprechen diese Gleichungen den Satz auß: Die (algebraische) Summe der Komponenten der Bewegungsgrößen der einzelnen materiellen Punkte nach einer bestimmten Richtung ist gleich der, dieser Rich=tung entsprechenden Komponente der Bewegungsgröße des Massen=mittelpunktes, falls man in diesem die gesamte Masse vereinigt denkt.

Um diese (algebraische) Summe zu bilden, kann man sich die Bewegungssgrößen der einzelnen Punkte als Vektoren an einen Punkt versetzt denken und sie an diesem wie Kräfte behandeln: die Resultante dieser Vektoren liesert die drei Komponenten in Richtung der Achsen, welche bezw. $M \cdot v^{(x)}$, $M \cdot v^{(y)}$, $M \cdot v^{(z)}$ darstellen.

Versetzt man also die Bewegungsgrößen der einzelnen Punkte als Bekteren an einen bestimmten Punkt, zu dem man auch den Massenmittels punkt wählen kann, so giebt ihre geometrische Summe (Resultante) die Beswegungsgröße des Massenmittelpunktes als Bektor.

Betrachtet man die Beziehung der Gleichung Nr. 229) für zwei Zeitspunkte $t'=t-\tau$ und t, so führt ein Grenzübergang, unter Einführung der Beschleunigungen, weiter zu der Gleichung

$$\mu_1 j_1^{(x)} + \mu_2 j_2^{(x)} + \cdots = M \cdot j_2^{(x)} \cdot \ldots \cdot 230$$

und zu den entsprechenden Gleichungen für die ZX= und die XY=Ebene.

Jetzt stehen auf der linken Seite die Komponenten der Effektivkräfte der einzelnen materiellen Punkte nach den Achsen, auf der rechten Seite die entsprechenden Komponenten der Effektivkraft des Massenmittelpunktes. Da für jeden materiellen Punkt (vergl. S. 233) die Effektivkraft aus der Berseinigung der Resultante $[A_p]$ der an ihm wirkenden äußeren Kräfte und der Resultante $[J_p]$ der an ihm wirkenden inneren Kräfte erwächst, so ist

$$\mu_p j_p^{(x)} = A_p^{(x)} + J_p^{(x)}$$

b. h. man hat auch

$$(A_1^{(x)} + A_2^{(x)} + \cdots) + (J_1^{(x)} + J_2^{(x)} + \cdots) = M \cdot j^{(x)}$$

Da sich nun bei jedem Körper die inneren Kräfte gegenseitig zerstören, so gilt auch noch

$$A_{i}^{(x)} + A_{i}^{(x)} + \cdots = M \cdot j^{(x)} \cdot \cdots \cdot 231$$

und die entsprechenden Gleichungen für die ZX=Ebene und für die ZY=Ebene.

Demnach spricht Gleichung Nr. 231) den Satz auß: Die (algebraische) Summe der Komponenten der äußeren, an den einzelnen mate=riellen Punkten angreifenden Kräfte nach einer bestimmten Rich=tung ist gleich der, dieser Richtung entsprechenden Komponente der Effektivkraft des Massenmittelpunktes.

Um diese (algebraische) Summe zu bilden, kann man sich die äußeren Kräste der einzelnen Punkte als Vektoren an einen Punkt versetzt denken und sie an diesem zusammensetzen: die Resultante dieser Kräste liesert dann drei Komponenten in Richtung der Achsen, welche bezw. $M \cdot j^{(x)}$, $M \cdot j^{(y)}$, $M \cdot j^{(y)}$, $M \cdot j^{(x)}$ darstellen.

Bersett man also die äußeren Kräfte der einzelnen Punkte als Bektoren an einen bestimmten Punkt, zu dem man auch den Massenmittelpunkt wählen kann, so giebt ihre geometrische Summe (Resultante) die Effektivkraft M.[j] des Massenmittelpunktes, d. h. die Beschleunigung des Massenmittel=punktes ist stets so gebildet, als wenn die äußeren Kräfte der einzelnen materiellen Punkte an ihm wirkten.

Hiermit sind die Sätze, in denen der Massenmittelpunkt bei Verschiebungen starrer Körper als dynamisches Centrum auftrat, sehr erweitert.

Benutt man den Massenmittelpunkt als Zurücksührungspunkt für das System der Bewegungsgrößen und für das System der äußeren Kräfte, welche den Körper angreisen, so bestimmen deren Resultanten die Bewegung des Massenmittelpunktes, während die resultierenden Paare die Schwenkung um den Massenmittelpunkt bestimmen.

Man zerlegt infolgedessen bei kinetischen Betrachtungen die Bewegung eines Körpers meist in die Bewegung seines Massenmittelpunktes und in die Schwenkung um diesen.

2. Die Bewegungsgröße und der Kraftantrieb. Die Bewegung des Massenmittelpunktes eines materiellen Systems ist durch die Betrachstungen der Nr. 1 bestimmt, er bewegt sich so, als wenn die Bewegungssgrößen der einzelnen materiellen Punkte und die, an diesen wirkenden äußeren Kräfte an ihm aufträten. Damit ist die Möglichkeit gegeben, die Formeln

für die Bewegung eines materiellen Punktes auf die Bewegung des Massen= mittelpunktes anzuwenden. Unter diesen hat die Formel für die Beziehung zwischen der Bewegungsgröße und dem Kraftantrieb nicht bloß für die Be= wegung des Massenmittelpunktes, sondern auch für die Bewegung des ganzen Systems Bedeutung.

Jene Beziehung, bei welcher nur die Werte der Bewegungsgröße und des Antriebes der tangentialen Kraftkomponente berücksichtigt wurden, lautete (vergl. S. 247): Die Anderung der Bewegungsgröße ist gleich dem entsprechenden tangentialen Kraftantriebe.

Sie läßt sich erweitern, wenn man die Bewegungsgröße als Bektor aufsfaßt, wobei auch der Kraftantrieb als Bektor erscheint. Stellen nämlich in Fig. 512 die Bektoren $[\mu v']$ und $[\mu v]$ die Bewegungsgröße eines materiellen Punktes bezw. zur Zeit $t'=t-\tau$ und zur Zeit t dar, so ist der Bektor [x] der entsprechende Kraftantrieb sür $\lim \tau=0$, weil sür $\mu=1$ die Be-

Fig. 512.

ziehung $\lim \left[\frac{z}{\tau}\right] = [j_G]$ besteht. Dehnt man die Bestrachtung der Fig. 512 auf eine Reihe von Zeitelementen auß, so vereinigen sich die Krastantriebe [z] durch geosmetrische Addition, d. h. es gilt: Die Anderung der Bewegungsgröße als Vektor ist gleich dem ents

sprechenden Kraftantriebe als Bettor.

Projiziert man Fig. 512 auf irgend eine Achse, so treten statt $[\mu v']$, $[\mu v]$ und [x] deren Komponenten in Richtung dieser Achse auf, d. h. es gilt: Die Anderung der Bewegungsgröße in Richtung irgend einer Achse ist gleich dem entsprechenden Kraftantriebe.

Ist der betrachtete Punkt der Massenmittelpunkt eines materiellen Systems, so ist die Kraft der Bewegung die Resultante A aus den äußeren, an den Massenmittelpunkt versetzen Kräften des Systems. Bezeichnet man deren Komponente nach irgend einer Achse, die wir als X=Achse bezeichnen wollen, durch $A^{(x)}$, so ist der Kraftantried in Richtung der Achse sür die Zeit t durch t. $A^{(x)}$ gegeben, salls $A^{(x)}$ innerhalb dieser Zeit konstant ist, sonst durch $\Sigma A^{(x)}$. τ . Sind nun die Komponenten der Geschwindigkeiten des Massenmittelpunktes nach zener Achse zur Zeit o und zur Zeit t bezw. $v_o^{(x)}$ und $v^{(x)}$, so gilt also

Da $Mv^{(x)}$ nach Nr. 1 darstellbar ist als $\mu_1v_1^{(x)}+\mu_2v_2^{(x)}+\cdots$, so läßt sich die Formel Nr. 232) solgendermaßen in Worte sassen: Die Anderung der (algebraischen) Summe der Komponenten der Bewegungssgrößen der einzelnen materiellen Punkte nach einer bestimmten Richtung ist gleich dem, dieser Richtung entsprechenden Antriebe der Resultante der, an den Wassenmittelpunkt versetzen äußeren Kräste.

Man darf hier nicht von der Anderung der Bewegungsgröße des Systems sprechen, weil die Bewegungsgrößen in den einzelnen Punkten als Bektoren haften, während sie für die Berechnung der Komponentensummen an einen Punkt, z. B. an den Massenmittelpunkt, versetzt erscheinen.

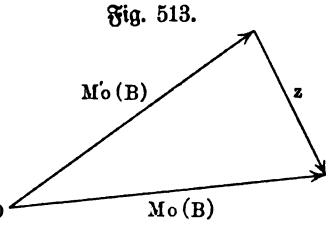
Man kann dem abgeleiteten Sate auch die folgende Veranschaulichung geben. Projiziert man ein materielles System auf eine Achse, indem man der Projektion eines Punktes von der Masse μ gleichfalls die Masse μ giebt (vergl. S. 247), so gilt für die geradlinige Bewegung des projizierten Systems: Die (algebraische) Summe der Bewegungsgrößen der einzelnen Punkte ist gleich dem Antriebe der Resultante der, an den Massenmittelpunkt versetzen äußeren Kräfte.

Für den Sonderfall, daß keine außeren Kräfte wirken, hat die (algebraische) Summe der Komponenten der Bewegungsgrößen der einzelnen materiellen Punkte nach einer bestimmten Richtung den Wert Null.

3. Das Moment der Bewegungsgröße und der Antried des Kraftmomentes. Bei der Zurückführung eines Kräftesystems auf eine Resultante und auf ein Paar für einen bestimmten Zurückführungspunkt O, konnte die Resultante so bestimmt werden, als wenn alle Kräfte an dem Punkte O in Wirkung wären, während bei der Bestimmung des Paares jede Kraft an ihrem thatsächlichen Angrisspunkte betrachtet werden mußte.

Die Sätze Nr. 1 und Nr. 2 entsprechen jener Resultantenbestimmung, sowohl in Bezug auf die Bewegungsgröße als Vektor, als auch in Bezug auf die Kraft als Vektor.

Jetzt soll noch ein äußerst wichtiger Satzabgeleitet werden, welcher der Bestimmung des resultierenden Paares entspricht, insofern als die Bewegungsgröße jedes materiellen O



Punktes dabei durchaus als ein, an ihm haftender Bektor angesehen und Gleiches auch für die auftretenden Kräfte vorausgesetzt wird.

Behandelt man das System der als Vektoren dargestellten Bewegungssgrößen wie ein System von Kräften, so entspricht dem Achsenmomente des resultierenden Kräftepaares ein Vektor, welcher das Moment der Bewegungssgröße des Systems als Richtungsgröße darstellt 1) — für den Sondersfall eines starren Körpers ist er bereits als [Mo(B)] in \S 101 verwendet worden 2).

Bildet man nun für ein beliebiges materielles System in den Zeitspunkten $t'=t-\tau$ und t die Momente der Bewegungsgröße des Systems, welche bezw. mit [Mo'(B)] und [Mo(B)] bezeichnet werden mögen, so stellt [x] in Fig. 513 den Zusat dar, welcher für die Überführung von [Mo'(B)] in [Mo(B)] innerhalb der Zeit τ erforderlich ist. Man wird $\frac{x}{\tau}$ als die mittlere Erzeugungsgeschwindigkeit des Momentes für die Zeit τ bezeichnen können, um ferner demgemäß die Erzeugungsgeschwindigkeit selbst für $lim \tau = 0$ zu bilden.

¹⁾ In ihrer "Theorie des Kreisels" bezeichnen ihn die Herren Klein und Sommerfeld als "Impulsvektor".

^{*)} Vergl. dazu die Anmerkung auf S. 688.

Es liegt nahe, zu vermuten, daß diese Erzeugungsgeschwindigkeit in enger Beziehung zu dem Momente der wirkenden Kräfte steht.

Um diese Vermutung zu prüfen, wollen wir zunächst voraussetzen, daß sich alle Punkte des materiellen Systems in einer Ebene befinden.

Bezeichnet man für eine ebene Bewegung die Geschwindigkeiten eines Punktes zur Zeit $t'=t-\tau$ und zur Zeit t bezw. mit [v'] und [v], die Lote auf diese Geschwindigkeiten (Arme) von irgend einem Punkte O der Ebene aus bezw. mit p' und p, die Beschleunigung zur Zeit t mit $[j_G]$ und den Arm sür O mit q, so gilt gemäß Fig. 65

$$\frac{pv-p'v'}{\tau}=q.j_{G}+\delta,$$

wobei d eine Korrektur bedeutet, die für $\lim \tau = 0$ verschwindet.

Durch Multiplikation mit μ geht diese Gleichung über in

$$\frac{p(\mu v) - p'(\mu v')}{\tau} = q(\mu j_G) + \mu \delta.$$

Gehört der betrachtete Punkt einem System materieller Punkte an, so entsteht die Effektivkrast $\mu[j_G]$ durch Jusammensetzung aus der Resultante [A] der äußeren Kräfte und der Resultante [J] der inneren Kräfte, deren Arme bezw. a und b sein mögen, b. h. man hat in diesem Falle

$$\frac{p(\mu v) - p'(\mu v')}{\tau} = aA + bJ + \mu \delta.$$

Dabei bedeuten $p'(\mu v')$ und $p(\mu v)$ die Momente der Bewegungsgröße bezw. für die Zeitpunkte $t-\tau$ und t, so daß die linke Seite der Gleichung also die mittlere Erzeugungsgeschwindigkeit dieses Momentes für die Zeit τ darstellt.

Für $\lim \tau = 0$ erhält man, falls man die Erzeugungsgeschwindig= keit des Momentes der Bewegungsgröße mit $v_{Mo(B)}$ bezeichnet, die Beziehung

Wendet man diese Gleichung auf ein System materieller Punkte an, welche in einer Ebene liegen, so hat die linke Seite der Gleichung zunächst die Gestalt

$$\frac{1}{\tau} \left[p_1(\mu_1 v_1) + p_2(\mu_2 v_2) + \cdots \right] - \frac{1}{\tau} \left[p'_1(\mu'_1 v'_1) + p'_2(\mu'_2 v'_2) + \cdots \right].$$

In jeder Klammer steht die (algebraische) Summe der Womente der Bewegungsgrößen der einzelnen Punkte, welche kurz als das Moment der Bewegungsgröße für das System bezeichnet werden mag, und zwar bezw. für die Zeitpunkte t und $t-\tau$.

Beim Grenzübergange bildet sich also für das System die Erszeugungsgeschwindigkeit des Momentes, welche mit $V_{M_0(B)}$ bezeichnet werden mag, d. h. man hat die Beziehung

$$V_{Mo(B)} = \sum a_p A_p + \sum b_p J_p.$$

Auf der rechten Seite steht die Momentensumme der äußeren Kräfte,

vermehrt um die Momentensumme der inneren Kräfte. Da letztere im Gleichgewichte stehen, so ist ihre Momentensumme Null, d. h. man hat

Für ein ebenes System hat die Größe $V_{Mo(B)}$ gemäß den Betrachtungen von Fig. 65 noch eine weitere Bedeutung, da pv=2V und $q\cdot j_G=2J$ ist, salls man durch V und J bezw. Flächengeschwindigkeit und Flächens beschleunigung bezeichnet. Bildet man noch μV und μJ und nennt man diese Größen bezw. Massenstlächengeschwindigkeit und Massenstlächenbeschleunigung für den Punkt von der Masse μ , so kann man $\Sigma \mu_p V_p$ und $\Sigma \mu_p J_p$ bezw. als Massenstlächengeschwindigkeit und Massenstlächenbeschleunigung für das System bezeichnen, so daß also $V_{Mo(B)}$ zugleich die doppelte Massenseschleunigung für das System barstellt.

Die Gleichung Nr. 234) stellt nun für ebene Systeme den Sax vom Momente der Bewegungsgröße dar, welcher, namentlich in gewissen Sonderfällen, auch als Flächensax bezeichnet werden kann. Er lautet in Worten: Die Erzeugungsgeschwindigkeit des Momentes der Beswegungsgröße, welche zugleich die doppelte Massenstlächensbeschleunigung darstellt, ist in jedem Zeitpunkte gleich dem Mosmente der äußeren Kräfte.

Der gegebene Beweis gilt zunächst für ein System von abzählbaren Atomen, b. h. für ein Molekül, während seine Ausdehnung auf unendlich viele Atome noch die, bereits des öfteren angewandten weiteren Betrachtungen erfordert.

Um den Sat auf räumliche materielle Systeme auszudehnen, braucht man nur das betrachtete ebene System als Projektion eines räumlichen Systems aufzufassen; man muß dabei wieder (vergl. S. 247) der Projektion eines Punktes von der Masse μ gleichfalls die Masse μ zusschreiben und außerdem den Punkt O, welcher für die Ebene als Drehpunkt gewählt war, als Projektion eine Achse ansehen, die auf der Ebene senkt steht.

Projiziert man ein räumliches materielles System auf die drei Ebenen eines (rechtwinkeligen) Koordinatenkreuzes vom Ansangspunkte O, so liesern die Momente der Bewegungsgröße in den Projektionsebenen die Komponenten des Bektors, welcher das Noment der Bewegungsgröße des Systems für O als Zurücksührungspunkt darstellt, ebenso wie die Krastmomente in den Projektionsebenen die Komponenten des Bektors liesern, welcher das Moment des Systems der wirkenden Kräste für O als Zurücksührungspunkt darstellt.

Man kann dem abgeleiteten Sate, der für einen bestimmten Zeitpunkt gilt, auch leicht einen entsprechenden, für eine endliche Zeit geltenden Satzur Seite stellen, gemäß den Betrachtungen auf S. 69 u. s., salls man den Begriff des Antriebes einer Kraft auf ein Krastmoment Mo ausdehnt und darunter τ . [Mo] bezw. $\Sigma \tau$. [Mo] versteht. Man erhält dann ohne weiteres die Beziehung: Die Anderung des Momentes der Bewegungsgröße innerhalb einer endlichen Zeit stimmt überein mit dem entsprechens den Antriebe des Momentes der Kräfte.

Die Bedeutung des abgeleiteten Satzes besteht darin, daß er eine Ver= allgemeinerung der bekannten Formel $\iota=\frac{Mo}{{\mathfrak T}{\mathbf r}}$ darstellt.

Sind die Winkelgeschwindigkeiten bei der Drehung um eine feste Achse für $t'=t-\tau$ und t bezw. φ' und φ , so gilt für die Bestimmung der Besichleunigung ι der Ansag

$$\lim \left[\frac{\varphi-\varphi'}{\tau}\right]=\iota.$$

Für einen Punkt im Abstande r von der Drehungsachse sind die entsprechenden Geschwindigkeiten bezw. $v'=r\varphi'$ und $v=r\varphi$. Wählt man nun die Drehungsachse des Körpers als Achse im Sinne des abgeleiteten Saxes, so ist p=p'=r, d. h. man hat hier

$$v_{Mo(B)} = \lim \left[\frac{\mu r^2 \varphi' - \mu r^2 \varphi}{\tau} \right]_{\tau=0} = \mu r^2 \iota$$

und

$$V_{Mo(B)} = \Sigma \mu r^2 \iota = \iota \Sigma \mu r^2 = \iota \mathfrak{T} r.$$

Da $V_{M_0(B)} = \Sigma a_p A_p$ ist, so gelangt man für $\Sigma a_p A_p = M_0$ zurück zu der Gleichung ι . Tr $= M_0$.

Für Anwendungen ist es noch zweckmäßig, unter allen Ebenen durch einen Punkt O die Ebene zu bestimmen, für welche die Projektion eines räumlichen Systems materieller Punkte das größte Moment der Beswegungsgröße liefert.

Um diese Ebene zu bestimmen, betrachten wir zunächst die Momente eines Bektors [AB] für Achsen, die durch einen Punkt O gehen, gemäß der ursprünglich (vergl. S. 316) für das Moment einer Kraft in Bezug auf eine Achse gegebenen Erklärung. Unter diesen Momenten entspricht offenbar das größte der Normalen derjenigen Ebene durch O, welche den Vektor in sich ausnimmt, und zwar wird der Wert dieses Maximalmomentes dargestellt burch die doppelte Fläche F des Dreiecks OAB, d. h. durch 2F. Bildet eine andere Ebene durch O mit der Ebene des Maximalmomentes den Winkel a, so ist das Moment für ihre Normale 2 Fcos a. Trägt man auf den Nor= malen beider Ebenen, welche den Winkel a bilden, die Richtungsstrecken auf, welche den Normalen entsprechen, so entsteht die zweite $(2 F \cdot \cos \alpha)$ durch Projektion der ersten (2F). Denkt man also auf den Normalen aller Ebenen durch O die Richtungsstrecke der zugehörigen Momente von O aus aufgetragen, so bilden deren freie Endpunkte eine Kugel vom Durchmesser 2 F, für welche die Ebene durch O und [AB] Tangentialebene ist. Rehrt man den Sinn bes Bektors [AB] um, so erhält man eine zweite Kugel, welche bezw. auf der anderen Seite jener Ebene liegt.

Bildet man nun in einem bestimmten Zeitpunkte für einen bestimmten Punkt O als Zurücksührungspunkt das Moment der Bewegungsgröße eines materiellen Systems, dargestellt durch einen Bektor, so ist die Normalebene dieses Bektors durch O unter allen Ebenen durch O die Ebene des Maximal=wertes jenes Momentes, d. h. unter den Projektionen des materiellen Systems auf die Ebenen durch O hat für O als Drehpunkt die Projektion

auf jene Ebene das größte Moment der Bewegungsgröße. Da aber das Moment der Bewegungsgröße der Massen-Flächengeschwindigkeit proportional ist, so ist auch diese für jene Ebene ein Maximum, d. h. in einem Zeitselemente, welches dem betrachteten Zeitpunkte entspricht, ist die erzeugte Massensläche sur jene Ebene ein Maximum.

Dieses Ergebnis kann man sich badurch veranschaulichen, daß man O mit den einzelnen Punkten P des materiellen Systems verbunden denkt, so daß jeder Bektor OP in einem bestimmten Zeitelemente ein bestimmtes Flächenelement w beschreibt, dem das Massen-Flächenelement $\mu\omega$ entspricht. Unter den Projektionen der Gesamtheit dieser Massen-Flächenelemente auf die Ebenen durch O ist die Projektion auf jene ausgezeichnete Ebene für das be= trachtete Zeitelement ein Maximum. Vorausgesetz ist dabei, daß der Sinn der Flächenerzeugung für jeden projizierten Punkt, entsprechend den Mo= menten, genau beachtet wird, so daß etwa bei einer Erzeugung, welche der Uhrzeigerbewegung entspricht, die Fläche als positiv angesetzt wird, bei der um= gekehrten Erzeugung als negativ. Hat im besondern das Moment der äußeren Kräfte für O den Wert Null, was z. B. eintritt, wenn diese eine durch O gehende Resultante haben, wie es bei der Centralbewegung der Fall ist, so hat auch die Erzeugungsgeschwindigkeit des Momentes bezw. die Massen=Flächenbeschleunigung den Wert Null. In diesem Falle ist das Mo= ment der Bewegungsgröße, das zugleich die Massen-Flächengeschwindigkeit dar= stellt, für jede bestimmte Ebene durch O eine Konstante, d. h. die Massen= fläche selbst mächst proportional zur Zeit. In diesem Falle wechselt die oben bestimmte Maximalebene durch O nicht von Zeitpunkt zu Zeitpunkt ihre Lage, da ja jett der Bektor, welcher das Moment der Bewegungsgröße darstellt, unveränderlich ist, sie beharrt vielmehr durchaus im Raume, weshalb sie die unveränderliche Ebene des materiellen Systems (nach Laplace) für den Punkt O genannt wird.

Steht das System der äußeren Kräfte im Gleichgewichte, so gilt die für O durchgeführte Betrachtung für jeden Punkt des Raumes, d. h. für jeden bestimmten Punkt des Raumes als Drehpunkt giebt es ein bestimmtes konstantes Moment der Bewegungsgröße und eine bestimmte unveränderliche Ebene.

Wählt man verschiedene Punkte des Raumes als Drehpunkte, so gelangt man im allgemeinen für das Moment der Bewegungsgröße zu verschiedenen Ergebnissen, so daß auch die Lage der unveränderlichen Ebene im allgemeinen von Punkt zu Punkt wechselt.

Ruht der Massenmittelpunkt des Systems, so ist dieser Wechsel ausgeschlossen, d. h. in diesem Falle giebt es eine Richtung im Raume, deren Normalebenen sämtlich für jeden ihrer Punkte die Rolle einer un= veränderlichen Ebene spielen.

Dasselbe ist für die Relativbewegung gegen den Massenmittelpunkt der Fall, salls sich dieser in Urbewegung befindet.

Wählt man nämlich zwei Punkte O und O' als Drehpunkte und legt durch sie parallele Kreuze, so daß für irgend einen Punkt des Systems x = x' + a, y = y' + b, z = z' + c gilt, so ist z. B. die Komponente

des Momentes für die Z=Achse des ersten Kreuzes $M_s=\Sigma \mu (xv_y-yv_x)$ und für die des zweiten Kreuzes $M_z'=\Sigma \mu (x'v_y'-y'v_x')$.

Da x = x' + a und y = y' + b ist, so ist $v_x = v'_x$ und $v_y = v'_y$, b. h. man hat

 $xv_y - yv_x = x'v_y' - y'v_x' + av_y - bv_x$

und demnach

$$M_s = M_s' + a \Sigma \mu v_v - b \Sigma \mu v_x$$

Ist der Massenmittelpunkt in Ruhe, so ist seine Bewegungsgröße Rull, d. h. $\Sigma \mu v_x$ und $\Sigma \mu v_y$ verschwinden und man hat $M_s = M_z'$ u. s. w. Ist der Massenmittelpunkt in Urbewegung, so ist seine Bewegungsgröße konstant, d. h. $\Sigma \mu v_x$ und $\Sigma \mu v_y$ sind Konstanten.

Man nennt den Sat über das Moment der Bewegungsgröße in dem besonderen Falle, in welchem das Moment der äußeren Kräfte verschwindet, wohl auch den "Sat von der Erhaltung der Flächen", weil hier in der Ebene, für welche die Betrachtung gilt, in gleichen Zeiten gleiche Massensten beschrieben werden.

4. Energie und Arbeit. Die Erweiterung des Satzes über Energie und Arbeit sührt, gemäß den im Eingange gemachten Bemerkungen, zu einem wesentlich anderen Ergebnisse.

Für die Bewegung eines materiellen Punktes gilt (vergl. S. 247) der Satz: Die Anderung der Energie ist bei jeder Bewegung gleich der entsprechenden Arbeit.

Sehört der Punkt einem materiellen Systeme an, so ist seine Essektivskraft zusammengesetzt aus der Resultante [A] der äußeren Krast und der Resultante der inneren Krast [J]. Bezeichnen wir die entsprechenden Arbeiten für die Zeit τ durch A_A und A_J und die Geschwindigkeiten zur Zeit $t-\tau$ und t bezw. durch \bar{v} und v, so gilt demnach

$$\frac{1}{2}\mu v^2 - \frac{1}{2}\mu \bar{v}^2 = \mathfrak{A}_A + \mathfrak{A}_J$$

für die Zeit von beliebiger Dauer. Wendet man diesen Satz auf die mate= riellen Punkte eines Systems an, so erhält man

$$\Sigma_{\frac{1}{2}}^{\frac{1}{2}}\mu_p v_p^2 - \Sigma_{\frac{1}{2}}^{\frac{1}{2}}\mu_p \bar{v}_p^2 = \Sigma \mathfrak{A}_A + \Sigma \mathfrak{A}_J.$$

Rennt man die Summe linker Hand kurz die Energie des Systems bezw. zur Zeit $t-\tau$ und t und bezeichnet man sie dementsprechend durch E und \overline{E} , so gilt also allgemein:

$$E - \overline{E} = \Sigma \mathfrak{A}_A + \Sigma \mathfrak{A}_J \quad . \quad . \quad . \quad . \quad 235$$

Wird $\Sigma \mathfrak{A}_J = 0$, wie es für einen starren Körper stets der Fall ist, so gilt im besondern

$$E - \overline{E} = \Sigma \mathfrak{A}_{A} \cdot \ldots \cdot \ldots \cdot 236$$

d. h. die Anderung der Energie für eine bestimmte Zeit ist gleich der, inzwischen von den äußeren Kräften geleisteten Arbeit. Für das Zeitgebiet 0 t lautet die Formel

$$E-E_0=\Sigma \mathfrak{A}_A$$
.

Läßt sich DA darstellen als Differenz zweier Potentialwerte, d. h. als

 $-(U-U_0)$, wo U der Zeit t und U_0 der Zeit 0 entspricht, so gilt wieder (vergl. S. 252)

$$E + U = E_0 + U_0,$$

d. h. die Summe von Bewegungsenergie und Spannungsenergie ist eine Konstante (Sat von der Erhaltung der Energie).

Für beliebige Körper, bei denen gelegentlich auch $\Sigma \mathfrak{A}_J = 0$ sein kann, ist die letzte Betrachtung natürlich im allgemeinen nur gültig, falls sich $\Sigma \mathfrak{A}_A + \Sigma \mathfrak{A}_J$ als $-(U - U_0)$ darstellen läßt.

103. Allgemeine Charafteristif der Bewegung eines materiellen Systems. Während innerhalb der Phoronomie für die Darstellung der freien Bewegung eines starren Körpers die Auswahl des Körperpunktes, dessen Bahn die Leitlinie der Berschiebung bestimmt, durchaus gleichgültig ist, sordern die Betrachtungen der Dynamik, hierzu den Massenmittelspunkt zu wählen (vergl. S. 250), und zwar überhaupt für materielle Systeme. Will man eine möglichst klare Anschauung der freien Bewegung eines materiellen Systems in phoronomischer und in dynamischer Hinscht gewinnen, so hat man den Massenmittelpunkt auszuzeichnen und dessen Bahn als Leitlinie für die Berschiedung des Körpers zu betrachten, so daß außerdem nur noch Drehungen um Achsen zu betrachten sind, welche durch den Massensmittelpunkt gehen.

Das System der Bewegungsgrößen, welche einem bestimmten Zeitpunkte entsprechen, giebt, an den Massenmittelpunkt versetzt, dessen augenblickliche Bewegungsgröße an, während das System der äußeren Kräste, an ihn verssetzt, seine Beschleunigung bestimmt. Dabei tritt der Massenmittelpunkt durchs aus als ein materieller Punkt zweiter Art auf, in welchem die Masse des Systems vereinigt zu denken ist, so daß damit die Lehre vom materiellen Punkte unmittelbar auf ihn anwendbar ist.

Für die Beurteilung der Drehungen um den Massenmittelpunkt und der relativen Verrückungen der Atome gegen diesen leistet dann die Beziehung zwischen dem Momente der Bewegungsgröße und dem Momente der Kräfte (Flächensat) ausgezeichnete Dienste.

Auch die Energie des materiellen Systems entspricht stets der ansgegebenen Zerlegung der Bewegung.

Bei solchen Untersuchungen, die sich nicht lediglich auf den Massenmittel= punkt beziehen, ist es zweckmäßig, in diesen ein Koordinatenkreuz zu legen und es mit ihm beweglich zu denken.

Bezieht man die Bewegung des Massenmittelpunktes auf ein unbewegslich gedachtes Koordinatenkreuz, so kann man das bewegliche Kreuz, dessen Anfangspunkt im Massenmittelpunkte liegt, stets zu dem unbeweglichen Kreuze parallel gelagert annehmen, so daß es gegen dieses eine Verschiebung aussführt, für welche die Bahn des Massenmittelpunktes Leitlinie ist.

Außer der Relativbewegung gegen das bewegliche Kreuz kommen dann nur dessen Verschiebungen in Frage, so daß hier die dritte Komponente der Beschleunigung, welche dem Saxe von Coriolis entspricht (vergl. § 38), niemals auftritt. Handelt es sich also nicht um eine gleichförmige Verschiebung mit gerader Führung, bei der ja für die Relativbewegung überhaupt keine bessondere Beschleunigung einzuführen ist, so hat man (vergl. § 51) für jeden Punkt des Systems

 $[j_r] \stackrel{\times}{=} [j_G] \stackrel{\times}{+} [\bar{j_f}]$

zu sezen, um dessen Relativbeschleunigung zu bestimmen. Dabei bedeutet $[j_G]$ die absolute Beschleunigung des Punktes und $[\bar{j}_f]$ die Gegenbeschleunigung der Führung, d. h. hier die Gegenbeschleunigung des Massenmittelpunktes. Bezeichnet $[j_M]$ die augenblickliche Beschleunigung des Massenmittelpunktes, so ist also in jedem Punkte die Ergänzungskraft $\mu[j_M]$ anzubringen, d. h. alle Ergänzungskräfte bilden in jedem Zeitpunkte ein System von Parallelkräften, dessen Resultante durch den Massenmittelpunkt geht. Nach Einführung dieser Kräfte darf man die Relativbewegung behandeln, als wenn sie eine absolute Bewegung wäre, also auch unter anderem die oben abgeleiteten Säze auf sie anwenden.

Die Beziehungen zwischen der absoluten und der relativen Bewegung lassen sich (vergl. S. 144) in der Form

$$x = \xi + x_0, y = \eta + y_0, z = \xi + z_0$$

darstellen, wobei sich x, y, z auf das seste und ξ , η , ξ auf das bewegliche System beziehen, während x_0 , y_0 , z_0 die Koordinaten des Massenmittel= punktes sind.

Für die Berechnung der Bewegungsgröße bezw. des Kraftantriedes für die relative Bewegung gilt zunächst Folgendes. Bezeichnen ξ' und ξ die Stellungen eines materiellen Punktes in der X-Richtung bezw. zur Zeit $t-\tau$ und t, so entsteht die entsprechende Geschwindigkeit v_ξ durch einen Grenzübergang aus $\frac{\xi-\xi'}{\tau}$. Da aber $\Sigma \mu \xi = 0$ und $\Sigma \mu \xi' = 0$ ist, weil die X-Achse durch den Massenmittelpunkt geht, so ist auch $\Sigma \mu v_\xi = 0$, d. h. die Bewegungsgröße, bezogen auf das relative System, ist stets Null. Dasselbe gilt auch für den Krastantried, der sich aus dem Krastantriede A sür die absolute Bewegung und aus dem Krastantriede des Systems der Kräste $\mu[\bar{j}_M]$ zusammensett. Ersterer ist, da der Massenmittelpunkt dynamisches Gentrum ist, $Mv_{x_0} - Mv_{x_0}$, salls dessen Geschmet werden; letzterer ist aber, falls die Beschleunigung des Schwerpunktes sür die X-Achse mit j_{x_0} bezeichnet wird, durch $-\Sigma \mu j_{x_0}\tau$ gegeben. Da $j_{x_0} = \lim_{n \to \infty} \left[\frac{v_{x_0} - \bar{v}_{x_0}}{\tau}\right]_{\tau=0}$ ist, so erhält er den Wert $-Mv_{x_0} + M\bar{v}_{x_0}$.

Für die Berechnung des Momentes der Bewegungsgröße bezw. des Anstriebes des Kraftmomentes müssen die Kräfte $\mu[\bar{j}_M]$ hinzugefügt werden, als wenn sie äußere Kräfte wären. Da es sich aber meist um Drehungsachsen handelt, welche durch den Massenmittelpunkt gehen und da das System der zugefügten Kräfte in jedem Zeitpunkte eine Kesultante hat, welche durch den Massenmittelpunkt geht, so ist der Zusaf meist entbehrlich.

Dasselbe gilt stets für die Berechnung der relativen Arbeit, da die

Resultante der Ergänzungskräfte durch den Massenmittelpunkt geht, welcher ja für die Relativbewegung stets in Ruhe ist.

Für die weitere Berechnung dienen folgende Betrachtungen:

Das Moment der Bewegungsgröße ist z. B. in Bezug auf die Z=Achse bei der absoluten Bewegung

$$\Sigma \mu (xv_y - yv_x) = M_s$$
.

Da aber $v_x = v_{\xi} + v_{x_0}$ ist u. s. w., so ist jedes Glied dieses Ausbruckes darstellbar als

 $(\xi + x_0)(v_{\eta} + v_{y_0}) - (\eta + y_0)(v_{\xi} + v_{x_0})$

und man hat

$$M_s = \Sigma \mu (\xi v_{\eta} - \eta v_{\xi}) + (x_0 v_{y_0} - y_0 x_{x_0}) \cdot \Sigma \mu + v_{y_0} \Sigma \mu \xi - v_{x_0} \Sigma \mu \eta + x_0 \Sigma \mu v_{\eta} - y_0 \Sigma \mu v_{\xi}.$$

Die letzten vier Glieder verschwinden, da ξ , η sich auf den Massenmittel= punkt beziehen, so daß man für $\Sigma\mu=M$ erhält

$$M_z = \sum \mu (\xi v_{\eta} - \eta v_{\xi}) + M(x_0 v_{y_0} - y_0 v_{x_0}),$$

d. h. das Moment der Bewegungsgröße im absoluten Systeme ist gleich dem Moment der Bewegungsgröße im relativen Systeme, falls man dieses um das entsprechende Moment des Massenmittels punktes vermehrt.

Für die Energie gilt ebenso

$$\frac{1}{2}\mu v_x^2 = \frac{1}{2}\mu (v_\xi + v_{x_0})^2 = \frac{1}{2}\mu (v_\xi^2 + 2v_\xi v_{x_0} + v_{x_0}^2)$$

und

$$\Sigma_{\frac{1}{2}} \mu v_x^2 = \Sigma_{\frac{1}{2}} \mu v_\xi^2 + v_{x_0} \Sigma \mu v_\xi + \frac{1}{2} v_{x_0}^2 \Sigma \mu.$$

Das Mittelglied ist wieder Null, so daß man für $\Sigma \mu = M$ erhält

$$\Sigma_{\frac{1}{2}} \mu v_x^2 = \Sigma_{\frac{1}{2}} \mu v_\xi^2 + \frac{1}{2} v_{x_0}^2 M.$$

Bildet man $v^2 = v_x^2 + v_y^2 + v_z^2$ und $w^2 = v_\xi^2 + v_\eta^2 + v_\zeta^2$ und auch $v_{x_0}^2 + v_{y_0}^2 + v_{z_0}^2 = v_0^2$, so gilt also

$$\Sigma_{\frac{1}{2}}\mu v^2 = \Sigma_{\frac{1}{2}}\mu w^2 + \frac{1}{2}v_0^2 M$$

d., h. die Energie im absoluten Systeme ist gleich der Energie im relativen Systeme, falls man diese um die Energie des Massen= mittelpunktes vermehrt.

Ist das materielle System im besondern ein starrer Körper, so ist die Energie der Drehung um die betreffende Achse des Massenmittelpunktes $\frac{1}{2} \varphi^2 Tr$, falls φ die entsprechende Winkelgeschwindigkeit und Tr das entsprechende Trägheitsmoment bezeichnen. Hat die Verschiedung die Geschwindigsteit [c], so ist die gesamte Energie also

Unter die materiellen Systeme, auf welche sich unsere Sätze beziehen, gehören auch die Systeme von Körpern, die miteinander verbunden sind.

Handelt es sich im besondern um die absolute oder relative Bewegung solcher Körpersysteme, so muß in Bezug auf die Versbindungsreaktionen und in Bezug auf die Reibungen stets von Fall

zu Fall überlegt werden, ob die Bedingungen für die inneren Kräfte, welche bei der Ableitung obiger Sätze eingeführt wurden, erfüllt sind oder nicht.

Den diesbezüglichen, beim Principe der virtuellen Berrückungen dars gestellten Überlegungen sügen wir hier nur noch hinzu, daß die Reaktionen von sesten Linien und Oberslächen, welche sich relativ bewegen, auf die Beswegung der Körper, zu welchen sie dabei relativ in Ruhe sind, keinen Einssluß haben.

104. Beispiele zu den Entwickelungen der §§ 102 und 103. Wenn alle Punkte eines materiellen Systems, welches nur inneren Kräften untersworsen ist, für ein Zeitelement in Ruhe sind, so bleibt der Massenmittelpunkt des Systems dauernd in Ruhe, denn er hat in Bezug auf jenes Zeitelement die Ansangsgeschwindigkeit Rull und wird durch keine äußeren Kräfte ansgetrieben.

Die Bewegung des Systems um seinen Massenmittelpunkt läßt sich des weiteren solgendermaßen erläutern: Da das Moment der Bewegungsgröße für jeden Punkt als Zurücksührungspunkt in einem Zeitelemente den Wert Null hat, so behält er für jeden Punkt dauernd den Wert Null. Projiziert man das System auf eine beliebige Ebene, so ist die Summe der Massenssslächengeschwindigkeiten für jeden Punkt dieser Ebene als Drehpunkt dauernd Null, d. h. jeder Punkt der Ebene wird in jedem Zeitelemente von einem Teile der projizierten Punkte im Sinne des Uhrzeigers umlausen, von einem Teile im umgekehrten Sinne und zwar so, daß obige Beziehung besteht.

Haben die Punkte eines Systems, das nur inneren Kräften untersworsen ist, zur Zeit t eine Bewegung, sür welche das Moment der Beswegungsgröße nicht den Wert Null hat, so ist der Massenmittelpunkt des Systems entweder dauernd in Ruhe oder er befindet sich in Urbewegung.

Im ersten Falle ist das Moment der Bewegungsgröße für jeden Zurücksführungspunkt ein Vektor von derselben Richtung und demselben Werte, so daß für das ganze System eine unveränderliche Ebene vorhanden ist.

Im zweiten Falle gilt dasselbe, falls man die Bewegung des Systems auf ein Kreuz bezieht, welches im Massenmittelpunkte haftet, d. h. wenn man die Bewegung des Systems betrachtet, relativ zur Bewegung des Massen= mittelpunktes.

Treten äußere Kräfte hinzu, welche durch einen Punkt O im Endlichen gehen, so bestimmen diese, parallel mit sich an den Massenmittelpunkt des Systems versetzt, im Verein mit dessen Geschwindigkeit dessen Bewegung. Für den Punkt O ist das Moment der Bewegungsgröße eine Konstante, so daß für ihn eine unveränderliche Ebene vorhanden ist.

Rückt O ins Unendliche, so wird das System durch Parallelkräfte ansgegriffen, deren Woment für jede Achse, die der Richtung der Kräfte parallel ist, verschwindet. Hier ist also das Woment der Bewegungsgröße für jeden bestimmten Punkt eine bestimmte Konstante, solange man die Betrachtung auf Achsen beschränkt, welche den äußeren Kräften parallel sind. Projiziert man das System auf eine Ebene, senkrecht zur Richtung der äußeren Kräfte,

so ist das Moment der Bewegungsgröße demnach für jeden Drehpunkt in einer solchen Ebene eine Konstante. Beim Wechsel des Drehpunktes tritt wieder (vergl. S. 705) die Bewegungsgröße des Massenmittelpunktes bestimmend auf. Ist dessen Projektion auf die Ebene in Auhe, so ändert sich das Moment der Bewegungsgröße in dieser nicht, d. h. dieses Moment ist konstant, falls der Massenmittelpunkt ruht oder sich parallel zu der Richtung der äußeren Kräfte bewegt.

Besteht die Bewegungskomponente des Massenmittelpunktes, senkrecht zur Richtung der äußeren Kräfte, in einer Urbewegung, so gilt die Betrachtung auch noch für die gesamte Bewegung, relativ zum Massenmittelpunkte.

Da für alle Körper in der Nähe der Erdoberfläche die gegenseitige Einswirkung mit der Erde nicht vernachlässigt werden kann, so passen für solche Körper im allgemeinen erst die zuletzt gemachten Annahmen über materielle Systeme, freilich auch dann nur, falls man alle Reibungen, die auftreten, vernachlässigt.

Beispiele für die zunächst besprochenen einfacheren Annahmen über mate= rielle Systeme lassen sich nur gewinnen, wenn man Himmelskörper betrachtet, angenähert auch, wenn man irdische Körper heranzieht, die im Luftraume ober auf dem Wasser schwimmen ober auf wagerechten, absolut glatten Stüg= flächen ruhen. Ruht z. B. ein Wagen auf horizontalen Schienen ober ein Schiff auf dem Wasser oder ein Ballon im Luftmeere, so läßt sich der Massenmittelpunkt nicht durch innere Kräfte bewegen. Wirft man Ballast, 3. B. Ziegelsteine bei einem damit vollgepackten Wagen, in bestimmter Rich= tung aus, so bewegt sich der Wagen in entgegengesetzter Richtung, weil der Massenmittelpunkt ruht. Beim Abseuern eines Geschützes bleibt (abgesehen von den Vorgängen an der Zündmasse und dem Pulver) der Massenmittel= punkt von Geschütz und Geschöß in Ruhe, so daß dem Vorwärtsfliegen des Geschosses der Rückprall des Geschützes entspricht. Entsprechendes tritt bei dem Abbrennen einer Rakete ein, bei welcher die Masse des unten am Mundloche austretenden Zündsages einen Rückstoß des Raketenkörpers nach oben bewirkt.

Projiziert man die Bewegungsgrößen von Geschütz und Geschoß auf die Achse des Rohres, so hat diese Summe vor dem Abseuern den Wert Rull und muß also diesen Wert auch nach dem Abseuern beibehalten, salls man alle Reibungen vernachlässigt. Für den Massenmittelpunkt von Geschütz (m_1) und Geschöß (m_2) bleibt also die Gleichung $m_1v_1+m_2v_2$ bestehen, salls man die Massen von Zündkörper und Pulverladung vernachlässigt, so daß unter dieser Annahme die der Richtung nach entgegengesetzen Geschwindigkeiten $[v_1]$ und $[v_2]$ von Geschütz und Geschöß den Massen umgekehrt proportional sind. That-sächlich ist der Rückstoß für das Geschütz etwas größer.

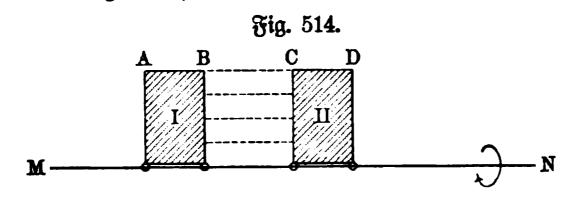
Handelt es sich um ein Sprenggeschoß, so verfolgt dessen Schwerpunkt auch nach dem Zerspringen seine parabolische Bahn. Erst in dem Augenblicke, in dem das erste Sprengstück aufschlägt, wird durch die Reaktion des Aufschlagens eine äußere Kraft in das System eingeführt, welche auch die Bahn des Schwerpunktes beeinflußt.

Solange das nicht der Fall ist, gilt für die Bewegungen der Spreng=

stücke, relativ zum Schwerpunkte, auch der Satz vom Momente der Beswegungsgröße.

Der Massenmittelpunkt unseres Sonnenspstems muß, solange man das System der äußeren Kräfte, welches durch die Einwirkung der Fixsterne dars gestellt wird, vernachlässigen darf, entweder in Ruhe sein oder sich gleichstörmig bewegen. Da die Achsendrehung der Sonne und die Bewegungen der einzelnen Körper um die Sonne für den Mittelpunkt der Sonne als Zurücksührungspunkt Bewegungen gleichen Sinnes darstellen, so ist das Mosment der Bewegungsgröße für das System jedenfalls nicht Null, es ist entweder an und für sich oder wenigstens, relativ zu dem, im Inneren der Sonne gelegenen Massenmittelpunkte des Systems, eine Konstante. Senkrecht zu dem entsprechenden Vektor liegt die unveränderliche Ebene.

Wenn ein Körper des Systems sich infolge Abkühlung zusammenzieht, so wird das Moment der Bewegungsgröße sur dessen Mittelpunkt als Zurücksführungspunkt kleiner, so daß also gleichzeitig innerhalb des Systems Versänderungen auftreten müssen, durch welche dieser Verlust wieder ausgeglichen



wird. Tritt der Ausgleich an demselben Körper auf, so steigert sich dessen Winkel= geschwindigkeit; bei einer Abkühlung der Erde würde -N sich also z. B. die Dauer des Tages vermindern.

Ein starrer Körper kann dem Flächensatz zusolge, falls nur innere Kräfte in Wirkung treten, wie z. B. bei einem Sprenggeschosse, keine Drehung um eine Achse beginnen, weil der Drehung einzelner Teile eine Gegendrehung anderer Teile entsprechen müßte, welche durch die Starrheit ausgeschlossen ist.

Bei einem System von zwei starren, durch elastische Schnüre verbunstenen Körpern an einer Achse, wie es Fig. 514 andeutet, ist eine dem Flächenssate entsprechende Bewegung möglich, wenn sich zugleich z. B. I vor die Ebene der Zeichnung und II hinter die Ebene der Zeichnung dreht, wobei sich die Schnüre schraubenartig winden.

Betrachtet man Fig. 514 als das Schema eines fallenden Tieres, für welches I den Vorderkörper und II den Hinterkörper, MN den Rücken und ABCD die Linie der Füße darstellen, so würde das Tier die Erde mit den Beinen erreichen können, wenn es sich in dem erläuterten Sinne schrauben- artig zu verdrehen imstande wäre.

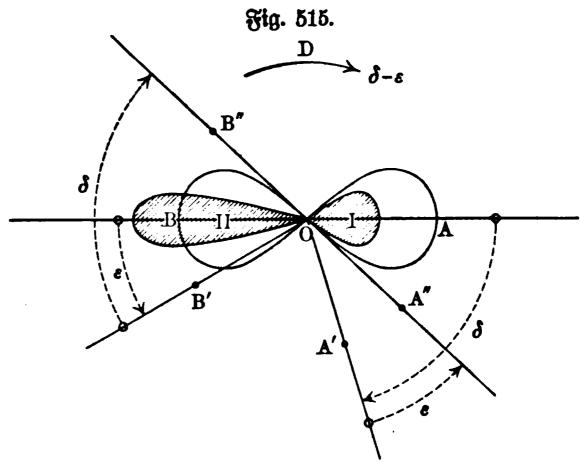
Auf Anregung der Pariser Akademie der Wissenschaften ist seit 1894 die Frage der Umdrehung fallender Tiere studiert i) worden. Kapen, die mit den Beinen nach oben an Schnüren ausgehangen wurden, kamen nach deren Zerstörung beim Fallen in einem dunklen Raume bei wechselnder Fallhöhe stets mit den Füßen auf den Boden. Da hierbei die Möglichkeit eines Abstoßes von sesten Körpern ausgeschlossen wurde, so konnte die Bewegung der

¹⁾ Dabei hat die Aufnahme von Augenblicksbildern sehr gute Dienste geleistet.

fallenden Kaze nicht mit einer, durch den Abstoß eingeleiteten Drehung beseinnen, wie man früher angenommen hatte.

Den Borgang der Drehung mag Fig. 515 erläutern, in der I und II zwei miteinander verbundene Körper darstellen, welche dem Borderkörper und dem Hinterkörper eines Tieres entsprechen mögen. Wird bei der Drehung um eine Achse, die in O auf der Sbene der Zeichnung senkrecht steht, I auf den schraffierten Raum zusammengezogen, während zugleich II auf den schraffierten Raum ausgedehnt wird, so beschreibt die Gerade OA von I nach

dem Flächensatze einen größeren Winkel als die Gerade OB von II, so daß die Teile I und II nach Ablauf einer ge= wiffen Zeit die Stellung A'OB'gegeneinander haben, wobei $\angle AOA'$ > $\angle BOB'$ ist. Wird jest II zusammengezogen und I gedehnt, so geht bei Umkehr des Be= megungssinnes unter übrigens gleichen Um= ständen OB' in die Lage OB'' und OA' in die



Lage OA'' über. Durch beide Bewegungen ist demnach die Gerade AOB in die Lage A''OB'' gelangt, d. h. der Körper hat im Sinne des Drehungs= pfeiles D eine Drehung um δ — ε vollführt.

Durch die Aneinanderreihung solcher Doppelbewegungen läßt sich natür= lich eine halbe Umdrehung erzielen.

Ist durch einen Abstoß eine Drehung im Sinne des Pseiles D eingeleitet, so läßt sich die Winkelgeschwindigkeit durch obiges Verfahren verstärken. Solche Beziehungen zeigt z. B. der salto mortale der Gymnastiker (Anziehen der Arme und Einziehen des Kopses mit gleichzeitigem Strecken der Beine).

Vorstehendes erläutert die Drehung der Katze um eine Achse, welche auf der Symmetralebene des Körpers senkrecht steht.

Die Wendung kann aber auch durch eine Drehung der Symmetralebene selbst erfolgen.

Wenn die Kage ihren Schwanz mit großer Geschwindigkeit immer in demselben Sinne herumdreht, so muß der übrige Körper sich mit geringerer Geschwindigkeit im umgekehrten Sinne um seine Längsachse drehen.

Ein Gymnastiker, der auf einer horizontalen (reibungslos aufgelagerten) Drehscheibe stände, würde diese im Sinne eines Uhrzeigers drehen, wenn er mit einem Säbel oder Stabe über seinem Kopfe relativ rasche horizontal geslagerte Kreisbewegungen im umgekehrten Sinne aussührte und sich im übrigen ruhig verhielte.

Entsprechendes gilt für die Wendung eines Schiffes ober eines Ballons.

Mit vorstehendem sind die Möglichkeiten der Drehungen von Körpern unter dem Einflusse innerer Kräfte durchaus nicht erschöpft.

Dreht sich z. B. ein, in seiner Gondel stehender Luftschiffer rasch um seine Achse, so dreht sich der Ballon im umgekehrten Sinne; dasselbe ist der Fall, wenn er in der Gondel im Kreise umherläuft; statt des eigenen Körpers könnte er auch ein Rad mit senkrechter Achse benugen.

Entsprechendes gilt für Fahrzeuge auf dem Wasser (geradlinige und treisförmige Bewegung der Mannschaft).

Theorie der Schautel, Einfluß der Meeressströmungen bei gleichem Sinne auf die Drehung der Erde u. s. w.

Die Ergebnisse der Betrachtungen bleiben auch bei Berücksichtigung der Reibung der Körper an Luft und Wasser bestehen, wenn auch in entsprechens der Abschwächung.

Die Erläuterung dieser Borgänge durch Bersuche geschieht zweckmäßig an den Modellen von Elektromotoren, wie sie für den Unterricht in der Physik gebräuchlich sind 1).

Innerhalb der Technik ist die Beachtung der vorstehenden allgemeinen Sätze namentlich wichtig bei der Bewegung von Maschinenteilen, wie sie bei Lokomotiven (Kompensation an den Triebrädern) und bei Schiffsmaschinen (Schlickscher Ausgleich) vorkommt, wo der entsprechende Rückstoß und das entsprechende Schwanken des Hautsdere möglichst vermieden werden muß.

105. Die Schwenkung (Punktdrehung) eines starren Körpers. Der Satz über das Moment der Bewegungsgröße (Flächensat) gestattet nun, die Darstellung einer beliebigen Bewegung eines starren Körpers sormell zum Abschlusse zu bringen, da er über die Schwenkung eines Körpers, d. h. die Drehung eines Körpers um wechselnde, durch einen bestimmten Punkt O des Körpers (z. B. dessen Massenmittelpunkt) gehende Achsen, die nötigen Aufschlüsse giebt.

Da sich jener Sat aber auf eine unbewegliche Achse (bezw. auf deren Normalebene) bezieht, so muß das, für eine bewegliche Achse berechnete Moment der Bewegungsgröße, stets für eine unbewegliche Achse umgerechnet werden. Denkt man das Moment als Bektor dargestellt, so hat man also stets den Bektor, welcher der beweglichen Achse entspricht, auf die unbewegliche Achse zu projizieren.

Wir wollen nun zunächst einen starren Körper betrachten, der sich um einen festen Punkt O bewegen kann, wie es etwa ein Augelgelenk veranschaulicht.

Dreht sich der Körper in den Zeitpunkten t und $\bar{t}=t+\tau$ bezw. um die Achsen OA und $O\overline{A}$, die wir uns im Körper verzeichnet denken wollen, so haben diese Achsen im allgemeinsten Falle nur den Körperpunkt O gesmeinsam.

Berechnet man das Moment der Bewegungsgröße zur Zeit t für die Achse OA und zur Zeit $t+\tau$ für die Achse $O\overline{A}$, um die Erzeugungsgeschwins digkeit des Momentes sestzustellen, so kann man die Gerade ON im Raume,

¹⁾ Vergl. dazu Mach, Grundlinien der Lehre von den Bewegungsempfindungen.

mit welcher OA zur Zeit t zusammenfällt, als unbewegliche Achse ansehen, muß aber dann das für $O\overline{A}$ berechnete Moment, da $O\overline{A}$ zur Zeit $t+\tau$ mit einer anderen Geraden $O\overline{N}$ im Raume zusammenfällt, auf jene Achse ON beziehen. Bezeichnet man die beiden Werte durch Mo(B) und $\overline{Mo}(B)$ und den Winkel zwischen OA und $O\overline{A}$ mit α , so ist also

$$V_{Mo(B)} = lim \left[\frac{\overline{Mo}(B) \cdot cos \alpha - Mo(B)}{\tau} \right]_{\tau = 0}$$

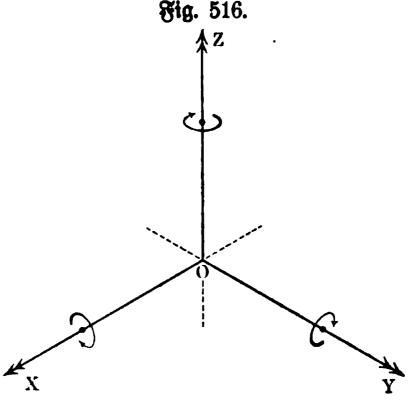
Die Berechnung dieses Ausdruckes wird am einsachsten, wenn man die Momente $\overline{Mo}(B)$ und Mo(B) als Bektoren auffaßt und sie nach drei Achsen zerlegt, welche im Körper sest sind.

Man muß dann die Stellung dieser Achsen zur Zeit t von der Stellung zur Zeit t+ au unterscheiden, in erster Hinsicht sollen sie, OA entsprechend,

OX, OY, OZ heißen, in zweiter Hinsficht, $O\overline{A}$ entsprechend, $O\overline{X}$, $O\overline{Y}$, $O\overline{Z}$.

Wir betrachten diese Lagenände= rung unter der Boraussetzung, daß τ ein Zeitelement ist.

Ist φ die Winkelgeschwindigkeit für die Achse OA zur Zeit t, so geht die zweite Lage des Körpers aus der ersten hervor, indem man das mit OA sest verbundene Kreuz O(XYZ) um OA dreht, und zwar der thatsächlichen Drehung entsprechend, um den Arcus $\varphi \tau$. Zerlegt man diese unendlich=kleine \mathcal{L} Drehung in die Drehungen $\varphi_x \tau$, $\varphi_y \tau$,



 $\varphi_{z\tau}$ bezw. um OX, OY, OZ, so ist die gesuchte Lagenänderung leicht darsstellbar.

Wählen wir im Kreuze O(XYZ) diejenigen Halbachsen als positiv, für welche die thatsächliche Drehung um OA lauter positive Drehungen (im Sinne des Uhrzeigers) liefert, so gilt gemäß Fig. 516:

- I. Bei der Drehung um OX als Achse:
 - 1. OX bleibt liegen,
 - 2. OY dreht sich in der YZ=Ebene um $\varphi_{,x}\tau$ auf die negative Z=Achse zu,
 - 3. OZ dreht sich in der YZ=Ebene um $\varphi_x \tau$ auf die positive Y=Achse zu.
- II. Bei der Drehung um OY als Achse:
 - 1. OY bleibt liegen,
 - 2. OZ dreht sich in der XZ=Ebene um $\varphi_y \tau$ auf die negative X=Achse zu,
 - 3. OX dreht sich in der XZ-Ebene um $\varphi_y \tau$ auf die positive Z-Achse zu.
- III. Bei der Drehung um OZ als Achse:
 - 1. OZ bleibt liegen,

- 2. OX dreht sich in der XY=Cebene um φ_{xx} nach der negativen Y=Achse zu,
- 3. OY dreht sich in der XY=Ebene um φ_s τ nach der positiven X=Achse zu.

Die neue Lage des Kreuzes $O(\overline{X}\overline{Y}\overline{Z})$ ist aus dieser Tabelle unmittelbar abzulesen.

Gegen OX ist $O\overline{X}$ gedreht gemäß II, 3 und III, 2, d. h. die Drehung besteht auß zwei auseinander senkrechten Komponenten $[\varphi_y\tau]$ und $[\varphi_s\tau]$, so daß die gesamte Drehung, deren Lage durch II, 3 und III, 2 ohne weitereß gegeben ist, $\tau \sqrt{\varphi_y^2 + \varphi_z^2}$ beträgt.

Gegen OX ist $O\overline{Y}$ gedreht gemäß III, 3, d. h. die Drehung $\varphi_s\tau$ versmindert den Winkel YOX, der $\frac{\pi}{2}$ beträgt.

Gegen OX ist $O\overline{Z}$ gedreht gemäß II, 2, d. h. die Drehung $\varphi_y\tau$ versgrößert den Winkel ZOX, der $\frac{\pi}{2}$ beträgt.

Ebenso ergeben sich die (je drei) Drehungen gegen OY und OZ.

Das Moment der Bewegungsgröße Mo(B) für die Achse OA, welches der Winkelgeschwindigkeit φ entspricht, erwächst aus den Momenten für die Achsen OX, OY, OZ solgendermaßen:

Nach \S 101 liefert die φ_z entsprechende Drehung um die Z=Achse die Momente $M_x=\varphi_z D_y$, $M_y=\varphi_z D_x$, $M_z=-\varphi_z$. Tr_, und Entsprechendes gilt für die anderen beiden Achsen.

Der Bau dieser Ausdrücke zeigt, daß es zweckmäßig ist, das Kreuz O(XYZ), welches ja im Körper sest ist, mit den Hauptachsen des Punktes O zusammenfallen zu lassen.

In diesem Falle liefert die φ_x entsprechende Drehung um die Z=Achse nur das eine Moment $M_s=-\varphi_x$. Tr_s, weil die Deviationsmomente D_x und D_y dann den Wert Null haben; dabei bezieht sich das Zeichen von M_s auf den im § 101 gewählten Drehungssinn, während in unserem Falle zu setzen ist $M_s=+\varphi_x$. Tr_s. Entsprechendes gilt für die X=Achse und für die Y=Achse.

Das Moment Mo(B) sett sich also zusammen aus den drei Komposienten $M_x = \varphi_x$. Tr_x , $M_y = \varphi_y$. Tr_y , $M_s = \varphi_s$. Tr_s , so daß es stets nach Wert und Lage bestimmt werden kann.

Bezeichnet man die Winkelgeschwindigkeit für die Achse $O\overline{A}$, welche der Zeit t+ au entspricht, durch $\overline{\varphi}$, so erwächst das Moment $\overline{Mo}(B)$ ebenso aus den drei Komponenten $\overline{M}_x=\overline{\varphi}_x$. Tr_x , $\overline{M}_y=\overline{\varphi}_y$. Tr_y , $\overline{M}_s=\overline{\varphi}_s$. Tr_s .

Da sich die Momente \overline{M}_x , \overline{M}_y , \overline{M}_s auf die Achsen $O\overline{X}$, $O\overline{Y}$, $O\overline{Z}$ beziehen, welche gegen die Achsen OX, OY, OZ um die vorher bestimmten Arcus gedreht sind, so muß nun $\overline{Mo}(B)$ für das Kreuz O(XYZ) umgerechnet werden.

Diese Umrechnung entspricht der Projektion des auf $O\overline{A}$ abgetragenen Bektors $\overline{Mo}(B)$ auf OA bezw. auf die zu OA gehörigen Achsen OX, OY, OZ.

Statt dessen kann man auch die Komponente von $\overline{Mo}(B)$ nach den Achsen $O\overline{X}$, $O\overline{Y}$, $O\overline{Z}$ auf OA bezw. auf die zu OA gehörigen Achsen OX, OY, OZ projizieren.

Für die Projektion auf OX erhält man, gemäß der oben aufgestellten Tabelle der Arcus, zunächst

$$\overline{M}_x$$
. $cos(\tau \sqrt{\varphi_y^2 + \varphi_s^2}) + \overline{M}_y$. $cos(\frac{\pi}{2} - \varphi_s \tau) + \overline{M}_s$. $cos(\frac{\pi}{2} + \varphi_y \tau)$.

Da die ganze Entwickelung einer ersten Annäherung entspricht, so darf man noch $\cos(m\tau) = 1 - \frac{m^2\tau^2}{2} + \cdots$ und $\sin(m\tau) = m\tau - \frac{m^3\tau^3}{6} + \cdots$ in erster Annäherung einführen, ohne die einmal gewählte Genauigkeit zu stören.

Man erhält dann für obige Projektion

$$\overline{M}_x \cdot 1 + \overline{M}_y \cdot \varphi_z \tau - \overline{M}_z \cdot \varphi_y \tau,$$

b. h. $\overline{\varphi}_x \cdot \mathfrak{T} \mathfrak{r}_x + \overline{\varphi}_y \varphi_z \cdot \mathfrak{T} \mathfrak{r}_y \cdot \tau - \overline{\varphi}_z \varphi_y \cdot \mathfrak{T} \mathfrak{r}_z \tau.$

Entsprechende Werte ergeben sich für die Projektion auf OY und auf OZ. Für die Komponente des Momentes der Bewegungsgröße, welche in die Achse OX fällt, ist demnach die Erzeugungsgeschwindigkeit gegeben als

$$\lim_{\tau} \left[\frac{(\overline{\varphi}_{x} \cdot \mathfrak{T}r_{x} + \overline{\varphi}_{y} \cdot \varphi_{z} \cdot \mathfrak{T}r_{y} \cdot \tau - \overline{\varphi}_{z}\varphi_{y}\mathfrak{T}r_{z}\tau) - \varphi_{x}\mathfrak{T}r_{x}}{\tau} \right]_{\tau=0}$$

$$= \mathfrak{T}r_{x} \cdot \lim_{\tau} \left[\frac{\overline{\varphi}_{x} - \varphi_{x}}{\tau} \right]_{\tau=0} + \overline{\varphi}_{y} \cdot \varphi_{z} \cdot \mathfrak{T}r_{y} - \overline{\varphi}_{z} \cdot \varphi_{y} \cdot \mathfrak{T}r_{z}.$$

Bezeichnet man die Winkelbeschleunigung für die Drehung um die Achse OX durch ι_x und beachtet man, daß $\overline{\varphi}_x$ und φ_x , $\overline{\varphi}_y$ und φ_y , $\overline{\varphi}_s$ und φ_s sür $\lim \tau = 0$ übereinstimmen, so erhält man schließlich für die Komponente in der Achse OX

$$\iota_x \cdot \mathfrak{Tr}_x + \varphi_y \varphi_s (\mathfrak{Tr}_y - \mathfrak{Tr}_s).$$

Bezeichnet man nun die Komponente des Momentes der äußeren Kräfte für die Achse OX, welche mit der einen Hauptachse des Körpers zu= sammenfällt, durch $M_A^{(x)}$, so erhält man, unter Beisügung der entsprechen= den Gleichungen für die Achsen OY und OZ,

$$\iota_{x} \cdot \mathfrak{T}_{r_{x}} + \varphi_{y} \varphi_{s} (\mathfrak{T}_{r_{y}} - \mathfrak{T}_{r_{s}}) = M_{A}^{(x)}$$
 $\iota_{y} \cdot \mathfrak{T}_{r_{y}} + \varphi_{s} \varphi_{x} (\mathfrak{T}_{r_{s}} - \mathfrak{T}_{r_{x}}) = M_{A}^{(y)}$
 $\iota_{s} \cdot \mathfrak{T}_{r_{s}} + \varphi_{x} \varphi_{y} (\mathfrak{T}_{r_{x}} - \mathfrak{T}_{r_{y}}) = M_{A}^{(z)}$

Borstehende Gleichungen werden die Eulerschen Gleichungen genannt. Bestimmt man die Komponenten des Womentes der äußeren Kräfte stets für die augenblickliche Lage der Hauptachsen des Körpers, mit denen das benutte Kreuz O(XYZ) ja zusammenfällt, so gelten die Betrachtungen in jedem Zeitpunkte t für die Zeitsdauer von t bis $t+\tau$, d. h. allgemein.

Ist $\operatorname{Tr}_x = \operatorname{Tr}_y = \operatorname{Tr}_z = \operatorname{Tr}$, so gehen die Eulerschen Gleichungen über in

$$\iota_x = \frac{M_A^{(x)}}{\mathfrak{Tr}}, \quad \iota_y = \frac{M_A^{(y)}}{\mathfrak{Tr}}, \quad \iota_z = \frac{M_A^{(s)}}{\mathfrak{Tr}}.$$

Man hat also in diesem Falle, in welchem das Trägheitsellipsoid eine Rugel ist

$$\iota = \frac{M_A}{\mathfrak{Tr}},$$

d. h. man kommt zurück zu der Gleichung, welche für feste Achsen gilt.

Ist $\mathbb{Z} r_x = \mathbb{Z} r_y$, so entspricht die dritte der Eulerschen Gleichungen der Gleichung für feste Achsen.

Hörper mit der Achse OZ ist, die Momente der äußeren Kräfte den Wert Kull, so daß also entweder gar keine Kräfte an dem Körper wirken oder nur solche, deren Resultante durch O geht, so vereinsachen sich die Eulerschen Gleichungen bedeutend.

Für $\mathfrak{T}\mathfrak{r}_x=\mathfrak{T}\mathfrak{r}_y=A$ nehmen sie unter dieser Voraussetzung die Form an

1)
$$\iota_x A + \varphi_y \varphi_z (A - \mathfrak{T} \mathfrak{r}_z) = 0$$

2)
$$\iota_y A + \varphi_z \varphi_x (\mathfrak{T} \mathfrak{r}_s - A) = 0$$

3)
$$\iota_z \mathfrak{Tr}_z = 0$$
.

Aus 3) folgt hier zunächst, daß $\iota_z=0$ und daß also φ_z eine Konstante γ ist, d. h. die Winkelgeschwindigkeit für die Z=Achse ändert sich nicht.

Setzt man $\frac{A-\mathfrak{Tr}_z}{A}\gamma=m$, so gehen die Gleichungen Nr. 1) und 2) über in

4)
$$\iota_x = -m \varphi_y$$

$$5) \quad \iota_y = + m \, \varphi_{x}.$$

Für $A > \text{Tr}_s$, d. h. für ein verlängertes Umdrehungsellipsoid ist m posistiv, für $A < \text{Tr}_s$, d. h. sür ein verkürztes Umdrehungsellipsoid ist m negativ, für $A = \text{Tr}_s$, d. h. für eine Kugel als Umdrehungsellipsoid ist m = 0.

Denkt man sich φ_x und φ_y als Funktionen der Zeit t gegeben, so daß $\varphi_x = \varphi_x(t)$ und $\varphi_y = \varphi_y(t)$ geschrieben werden kann, so stellen die Absleitungen $\varphi_x'(t)$ und $\varphi_y'(t)$ bezw. die Größen ι_x und ι_y dar, d. h. man hat, entsprechend Nr. 4) und 5)

6)
$$\varphi_x' = -m \varphi_y$$

7)
$$\varphi_y' = + m \varphi_x$$

Bezeichnet man die Ableitungen von φ_x' und φ_y' , d. h. die sogenannten zweiten Ableitungen von φ_x und φ_y bezw. durch φ_x'' und φ_y'' , so ist auch gemäß $\operatorname{Nr.} 6$) und 7)

$$8) \quad \varphi_x'' = -m \varphi_y' = -m^2 \varphi_x,$$

9)
$$\varphi_y'' = + m \varphi_x' = -m^2 \varphi_y$$
.

Faßt man nun φ_x'' und φ_x bezw. als Beschleunigung und Stellung einer geradlinigen Bewegung auf, so ist für diese die Beschleunigung der Stellung proportional und zu ihr entgegengesetzt gerichtet, d. h. wir gelangen zu den Beziehungen, welche die harmonische Schwingung darbot. Dieser entsprechen nach den früheren Entwickelungen (vergl. S. 172) die Gleichungen

$$s = r \sin(mt)$$
 ober $s = \bar{r} \cos(mt)$,

oder auch, bei einem anderen Anfangspunkte für die Zählung der Stellung, die Gleichung

$$s = r \sin(mt) + \bar{r} \cos(mt)$$
.

Demnach stellt diese Gleichung auch hier eine Lösung dar, und man hat entsprechend

10)
$$\varphi_y = a \sin(mt) + b \cos(mt)$$
,

11)
$$\varphi_x = c \sin(mt) + d \cos(mt)$$
.

Daß diese Lösung zugleich die allein mögliche ist, läßt sich durch weiter= gehende Betrachtungen zeigen, auf die wir hier verzichten.

Die Winkelgeschwindigkeiten für die X=Achse und für die Y=Achse sind also periodisch=veränderlich und zwar beträgt die Zeit T, welche einer vollen Schwingung entspricht, dem Anwachsen der Arcus mt um 2π , d. h. man

hat
$$m(t+T)=mt+2\pi$$
, so daß $T=\frac{2\pi}{m}$ oder

12)
$$T = \frac{2\pi}{\gamma} \cdot \frac{A}{A - \mathfrak{T}\mathfrak{r}_s}$$

ist.

Trägt man φ_x auf OX von O aus als Vektor auf, so beschreibt dessen Spize eine harmonische Schwingung von der Dauer T, und Gleiches gilt für φ_y .

Trägt man φ_x und φ_y von O aus bezw. auf OX und auf OY auf, so beschreibt die Spize des Bektors $[\varphi_x] \stackrel{\times}{+} [\varphi_y]$ demnach eine Ellipse, die im besonderen auch ein Kreis sein kann. Dieser Sonderfall liegt hier vor, wie die weitere Betrachtung zeigt.

Da
$$m=-\frac{\varphi_x'}{\varphi_y}=+\frac{\varphi_y'}{\varphi_x}$$
 ist, gemäß Nr. 6) und 7), so gilt auch 13 a) $\varphi_y\varphi_y'+\varphi_x\varphi_x'=0$.

Stellt man

 $\varphi'_y = ma\cos(mt) - mb\sin(mt)$ und $\varphi'_x = mc\cos(mt) - md\sin(mt)$ her und bildet man 13 a), so erhält man

13b)
$$\frac{a^2-b^2+c^2-d^2}{2}\cdot \sin{(2\,mt)}+(ab+cd)\cdot\cos{(2\,mt)}=0.$$

Soll diese Gleichung für jeden Wert von t erfüllt sein, so muß

14)
$$a^2 - b^2 + c^2 - d^2 = 0$$
 und $ab + cd = 0$

sein.

Wählt man a und b willkürlich, so muß man demnach $c=\pm b$ und $d=\mp a$ seizen. Für c=-b und d=+a hat man demnach

15)
$$\varphi_y = a \sin(mt) + b \cos(mt)$$
,

16)
$$\varphi_x = -b \sin(mt) + a \cos(mt)$$
.

Es ist zweckmäßig, a und b durch zwei andere Konstanten α und ε zu ersetzen und zwar folgendermaßen. Es geht

$$\varphi_y = a \left[\sin(mt) + \frac{b}{a} \cos(mt) \right]$$

für $\frac{b}{a} = tg \, \epsilon$ über in $\varphi_v = \frac{a}{\cos \epsilon} \cdot \sin(mt + \epsilon)$.

Ebenso hat man

$$\varphi_x = a \left[\cos(mt) - \frac{b}{a} \sin(mt) \right] = \frac{a}{\cos \varepsilon} \cdot \cos(mt + \varepsilon).$$

Für $\frac{a}{\cos \varepsilon} = \alpha$ ist also

17)
$$q_y = \alpha \cdot \sin(mt + \epsilon)$$
,

18)
$$\varphi_x = \alpha \cdot \cos(mt + \varepsilon)$$
.

Hätte man c=+b und d=-a gewählt, so hätte man entsprechende Ergebnisse erhalten.

Die Ellipse, welche dem Bektor $[\varphi_x] \stackrel{\times}{+} [\varphi_y]$ entspricht, ist hier also thatssächlich ein Kreis, da $\varphi_y^x + \varphi_x^z = \alpha^z$ ist.

Es ist also sowohl $\varphi_x^2 + \varphi_y^2$ als auch φ_x^2 konstant und dem = nach auch φ^2 , da $\varphi^2 = \varphi_x^2 + \varphi_y^2 + \varphi_x^2 = \alpha^2 + \gamma^2$ ist.

Trägt man in O auf den Achsen bezw. φ_x , φ_y , φ_z von O aus ab, so bildet deren Resultante $[\varphi]$ mit OZ stets denselben Winkel λ , denn man hat

$$[\varphi_x] \stackrel{\times}{+} [\varphi_y] \stackrel{\times}{=} [\alpha]$$
 und $[\alpha] + [\gamma] \stackrel{\times}{=} [\varphi]$.

Der Bektor $[\varphi]$, welcher zugleich die augenblickliche Drehungsachse darsstellt, beschreibt also um die Achse OZ bei der Bewegung einen Kegel, dessen Öffnung λ gegeben ist durch $tg\lambda = \frac{\alpha}{\gamma}$.

Die Bewegung des Vektors ist gleichförmig, da der Endpunkt von $[\alpha]$ eine gleichförmige Kreisbewegung vollführt, wie Nr. 17) und 18) zeigen, deren Winkelgeschwindigkeit $\frac{2\pi}{T} = \gamma \frac{A - \mathfrak{T} \mathfrak{r}_z}{A}$ ist gemäß Nr. 12).

Der Regel, den $[\varphi]$ beschreibt, schneidet das Trägheitsellipsoid in lauter gleichen Achsen, so daß Tr für die Drehung einer jeden Achse konstant ist.

Dasselbe liefert auch die Gleichung für die Energie, da diese hier, wo die äußeren Kräfte eine durch O gehende Resultante haben, falls sie nicht ganz verschwinden, konstant ist und da man ihr den Wert $\frac{1}{2} \varphi^2 \Sigma r$ geben kann.

Da die Momente der äußeren Kräste verschwinden, so hat hier das Moment der Bewegungsgröße Mo(B) als Vektor eine seste Stellung im Raume und demnach ist auch eine unveränderliche Ebene vorhanden. Die Komponenten dieses Vektors sind hier $\varphi_x \operatorname{Tr}_x = \varphi_x A$, $\varphi_y \operatorname{Tr}_y = \varphi_y A$ und $\varphi_x \operatorname{Tr}_z = \gamma \operatorname{Tr}$, so daß seine Neigung gegen das Kreuz O(XYZ) bestimmt wird durch die Cosinus

$$\frac{\varphi_x A}{Mo(B)}$$
, $\frac{\varphi_y A}{Mo(B)}$, $\frac{\gamma \mathfrak{Tr}_s}{Mo(B)}$.

Geht man von diesem unbeweglichen Bektor aus, auf dem die unversänderliche Ebene senkrecht steht, so ist damit umgekehrt die Lage des Körpers O(XYZ) gegen ihn bestimmt. Da der Cosinus des Winkels zwischen OZ

und diesem Bektor konstant ist, so beschreibt die Achse OZ im Raume einen gewöhnlichen Kegel, dessen Achse jener Bektor ist.

Der Winkel w, den die augenblickliche Achse der Drehung mit diesem Bektor bildet, ist bestimmt durch

$$\cos \omega = \frac{\varphi_x}{\varphi} \cdot \frac{\varphi_x A}{Mo(B)} + \frac{\varphi_y}{\varphi} \cdot \frac{\varphi_y A}{Mo(B)} + \frac{\gamma}{\varphi} \cdot \frac{\gamma \mathfrak{T}_{r_s}}{Mo(B)}$$

$$= \frac{A(\varphi_x^2 + \varphi_y^2) + \gamma^2 \mathfrak{T}_{r_s}}{\varphi \cdot Mo(B)} = \frac{A\alpha^2 + \mathfrak{T}_{r_s}\gamma^2}{\varphi \cdot Mo(B)},$$

d. h. w ist konstant, so daß auch die augenblickliche Drehungsachse im Raume einen gewöhnlichen Kegel beschreibt, dessen Achse Normale der unveränderlichen Ebene ist. Die ganze Bewegung hat also folgenden Charakter: Der Körper dreht sich gleichsörmig mit der Winkelgeschwindigkeit φ um augenblickliche Drehungsachsen, welche im Körper mit der Winkelgeschwindigkeit $\gamma \cdot \frac{\overline{A} - \mathfrak{T} r_s}{A}$ einen Kreiskegel beschreiben, dessen Achse OZ ist, und zwar sind beide Beswegungen gleichen Sinnes sür $A > \mathfrak{T} r_s$, d. h. für ein verkängertes und entsgegengesetzen Sinnes sür $A < \mathfrak{T} r_s$, d. h. für ein verkürztes Umdrehungsellipsoid als Trägheitsellipsoid. Die augenblickliche Drehungsachse beschreibt im Raume gleichsörmig einen Kreiskegel, dessen Achse auf der unveränderslichen Ebene senkrecht steht, und ein Gleiches gilt sür OZ.

Geht man von der Kegelbewegung auß, die OZ im Raume beschreibt, so hat man auß der Bewegung von OZ und auß einer Drehung des Körpers um OZ auf die Lage der augenblicklichen Drehungsachse in diesem zu schließen.

Bezeichnet man den Winkel zwischen OZ und der Drehungsachse kurz durch $\angle (Z, D)$, den Winkel zwischen der Drehungsachse und der Normalen der unveränderlichen Ebene durch $\angle (D, N)$ und den Winkel zwischen dieser Normalen und OZ durch $\angle (N, Z)$, so ist

$$cos(Z, D) = \frac{\gamma}{\varphi}, \quad cos(D, N) = \frac{A\alpha^2 + \mathfrak{T}r_s\gamma^2}{\varphi \cdot Mo(B)}, \quad cos(N, Z) = \frac{\gamma \mathfrak{T}r_s}{Mo(B)}.$$

Man sieht sosort, daß für $A > \operatorname{Tr}_* \cos(Z, D) > \cos(N, Z)$ und dem=nach $\angle (Z, D) < \angle (N, Z)$ ist, ebenso, daß sich $\cos(N, Z) < \cos(D, N)$ und demnach $\angle (N, Z) > \angle (D, N)$ ergiebt u. s. w.

Durch diese Betrachtung ist es leicht, die Schnitte der betrachteten Kegel in der unveränderlichen Ebene zu zeichnen, und dementsprechend die Bewegung übersichtlich darzustellen, wobei die Fälle $A > \mathrm{Tr}_s$ und $A < \mathrm{Tr}_s$ zu scheiden sind.

Man gelangt so zu dem Ergebnisse, daß der Körper sich um OZ gleichsförmig dreht, während OZ einen gewöhnlichen Kegelmantel beschreibt, dessen Achse auf der unveränderlichen Ebene sentrecht steht. Dabei ist die augenblickliche Drehungsachse stets gemeinsame Seite zweier gewöhnlicher Kegel, deren einer im Raume sest ist, während der andere, dem Körper angehörige, auf ihm abrollt. Die Schnitte dieser Kegel in der unveränderlichen Ebene bezw. mit dem Trägheitsellipsoid stellen zwei Kurven dar, deren Abrollen die Bewegung gleichsalls darstellt, salls die unveränderliche Ebene als Berührungssebene des Ellipsoides konstruiert wird.

Schon die Behandlung dieses sehr einfachen Falles zeigt, daß die Auß= wertung der Eulerschen Gleichungen für bestimmte Aufgaben große Schwie= rigkeiten darbietet.

Hierzu kommt noch das Bedürfnis, die Bewegung ein für allemal auf ein sestes Koordinatensystem zu beziehen, damit auch die Stellung des Körpers im Raume zu jeder Zeit t dargestellt werden kann.

Euler selbst hat dazu den Schnitt (Knotenlinie) einer Hauptebene des Centralellipsoides mit einer festen Ebene eingeführt und einmal den Winkel dieser beiden Ebenen bezw. ihrer Normalen und dann die Stellung der Knotenlinie zu einer festen und zu einer beweglichen Achse als Stellungsgrößen genommen.

Um diese Darstellung zu übersehen, legt man am besten durch O ein seites Kreuz $O(\Xi H Z)$, welches dem Kreuze O(XYZ) kongruent ist, so daß beide Systeme Rechtssysteme (oder beide Linksysteme) sind. Wählt man die Hauptebene YOX des Centralellipsoides als bewegliche Ebene und die entsprechende Ebene $HO\Xi$ als seste Ebene, so ist deren Schnitt OK die Knotenslinie, deren Winkel η_1 und η_2 etwa gegen OH und OY gemessen werden müssen, während außerdem noch der Winkel ϑ zwischen OZ und OZ besnutt wird.

Der Sinn der Drehungen, welche durch η_1 , η_2 und ϑ bestimmt werden, mag solgendermaßen sestgestellt werden: Nachdem eine Halbachse der Knotenslinie willkürlich als positiv bezeichnet worden ist, denken wir uns das bewegsliche System mit dem undeweglichen System zur Deckung gebracht. Dreht man nun das bewegliche System um OZ, das mit OZ zusammenfällt, im Sinne des Uhrzeigers, dis die positive Halbachse OY mit der positiven Halbsachse der Knotenlinie zusammenfällt, so entsteht der Winkel η_1 und zwar in bestimmtem Sinne. Dreht man serner das bewegliche System um die positive Halbachse der Knotenlinie im Sinne des Uhrzeigers, dis die Achse ihre richtige Lage erhält, so entsteht der Winkel ϑ und zwar im bestimmten Sinne. Dreht man endlich das bewegliche System um die jetzt gegebene Lage der Achse OZ im Sinne der Uhrzeigerbewegung, dis die XY-Sbene, welche bereits als Ganzes ihre richtige Stellung hat, in die richtige Achsenlage OX und OY) gelangt, so entsteht der Winkel η_2 und zwar im bestimmten Sinne.

Sind η_1 , ϑ , η_2 als Funktionen der Zeit t gegeben, so kann man ihre Werte für einen bestimmten Zeitpunkt berechnen, und dann diesen Werten gemäß durch die eben beschriebenen drei Bewegungen die Lage des bewegslichen Hauptachsenkreuzes O(XYZ) gegen das seste Kreuz $O(\Xi HZ)$ seste stellen.

Nennt man die Erzeugungsgeschwindigkeiten der Winkel η_1 , ϑ , η_2 bezw. η_1' , ϑ' , η_2' , so findet man durch eine Betrachtung, welche der im Eingange dieses Paragraphen angewandten durchaus entspricht,

Mit Hülfe dieser Gleichungen gehen die Eulerschen Gleichungen in ein

System von Gleichungen für η_1 , ϑ , η_2 über, falls auch noch $M_A^{(x)}$, $M_A^{(y)}$, $M_A^{(s)}$ burch η_1 , ϑ , η_2 ausgebrückt werden.

Lassen sich diese Größen aus den so erhaltenen Gleichungen bestimmen, so daß sie als Funktionen von t erscheinen, so ist die Stellung des Haupt=achsenkreuzes des Körpers zu jeder Zeit im Raume bestimmt.

Die Gleichungen Nr. 240) geben dann φ_x , φ_y , φ_z und damit $[\varphi]$, so daß dann also auch die Lage der Drehungsachse im Körper und damit auch im Raume zu jeder Zeit bestimmt ist.

In dem besonderen Falle, den wir oben behandelten, wo eine unversänderliche Ebene vorhanden ist, empsiehlt es sich, gegen diese die Knotenlinie OK zu bestimmen. Die Normale dieser Ebene (OZ) ist parallel zu dem Bestor, welcher das Moment der Bewegungsgröße darstellt, dessen Komposnenten mit den beweglichen Achsen Pax x_x , $\varphi_y x_y$, $\varphi_z x_z$ sind, so daß die Neigung dieser Achsen OX, OY, OZ gegen OZ bezw. durch $\frac{\varphi_x x_x}{Mo(B)}$, $\frac{\varphi_y x_y}{Mo(B)}$, $\frac{\varphi_z x_z}{Mo(B)}$ gegeben wird.

Stellt man diese Cosinus durch η_1 , &, η_2 dar, so ist

$$\varphi_x \mathfrak{T} \mathfrak{r}_x = Mo(B) \cdot \cos \eta_2 \cdot \sin \vartheta, \quad \varphi_y \mathfrak{T} \mathfrak{r}_y = Mo(B) \cdot \sin \eta_2 \sin \vartheta,$$

$$\varphi_s \mathfrak{T} \mathfrak{r}_s = Mo(B) \cdot \cos \vartheta,$$

b. h. man hat

$$\cos \vartheta = \frac{\varphi_z \mathfrak{T} \mathfrak{r}_z}{Mo(B)}$$
 und $tg \, \eta_2 = \frac{\varphi_y \mathfrak{T} \mathfrak{r}_y}{\varphi_x \mathfrak{T} \mathfrak{r}_x}$.

Um η_1 zu bestimmen, bildet man aus den beiden ersten Gleichungen der Nr. 240)

$$\varphi_x \cos \eta_2 + \varphi_y \sin \eta_2 = \eta_1' \sin \vartheta,$$

b. h.

$$\eta_1' = \frac{\varphi_x \cos \eta_2 + \varphi_y \sin \eta_2}{\sin \vartheta} = Mo(B) \cdot \frac{\varphi_x^2 \mathfrak{T} \mathfrak{r}_x + \varphi_y^2 \mathfrak{T} \mathfrak{r}_y}{\overline{Mo(B)}^2 - \varphi_x^2 \mathfrak{T} \mathfrak{r}_x^2}.$$

Wir erläutern die Bedeutung der gewonnenen Ergebnisse erst für den Fall, daß das Trägheitsellipsoid eine Kugel ($\operatorname{Tr}_x = \operatorname{Tr}_y = \operatorname{Tr}_s = A$) ist.

Die Eulerschen Gleichungen liesern hier, wo keine Kräste wirken, $\varphi_x = \alpha$, $\varphi_y = \beta$, $\varphi_s = \gamma$, so daß $\varphi = \sqrt{\alpha^2 + \beta^2 + \gamma^2}$ ist, d. h. man hat hier gleichsörmige Drehung (φ) um eine bestimmte Achse des Körpers. Die Komponenten von Mo(B) sind αA , βA , γA , so daß $[\varphi]$ und [Mo(B)] übereinstimmen, d. h. die Drehungsachse liegt in Bezug auf das unbewegliche System sest und zwar verläuft sie senkrecht zur unveränderlichen Ebene $(\Xi H_z$ Ebene).

Der Körper bewegt sich also, als wenn OZ seste Achse wäre.

Man hat $\cos\vartheta=\frac{\gamma}{\varphi}$ und $tg\,\eta_2=\frac{\beta}{\alpha}$, d. h. d und η_2 sind konstant, so daß OZ einen Kegel von der Öffnung d um OZ beschreibt und die Knotenlinie im beweglichen Systeme sest liegt.

Aus
$$\eta_1' = \varphi \cdot \frac{\alpha^2 + \beta^2}{\varphi^2 - \gamma^2}$$
 folgt $\eta_1 = \varphi \cdot \frac{\alpha^2 + \beta^2}{\varphi^2 - \gamma^2}t + C'$, falls C'

eine Konstante bezeichnet, d. h. die Knotenlinie dreht sich im sesten Systeme gleichförmig, wobei C'=0 ist bei der Bestimmung $\eta_1=0$ für t=0.

Hätte man OZ mit $[\varphi]$ und OZ von Anfang an zusammenfallen lassen, so wäre $\alpha = \beta = 0$ und $\varphi = \gamma$, serner $\cos \vartheta = 1$ und $tg \eta_2 = \frac{0}{0}$ und $\eta_1 = \frac{0}{0}$. Hier ist die XY=Ebene parallel zur ΞH =Ebene, so daß die Knotenslinie unendlich sern ist.

Ist das Trägheitsellipsoid ein Rotationsellipsoid ($\operatorname{Tr}_x = \operatorname{Tr}_y = A$), so ist $\varphi_x^2 + \varphi_y^2 = \alpha^2$ und $Mo(B) = \sqrt{\alpha^2 A^2 + \gamma^2 \operatorname{Tr}_x^2}$, d. h. man hat

$$\cos \vartheta = \frac{\gamma \cdot \mathfrak{Tr}_s}{\sqrt{\alpha^2 A^2 + \gamma^2 \mathfrak{Tr}_s}}$$
 und $tg \, \eta_2 = tg \, (mt + \varepsilon)$.

Gerner ist
$$\eta_1' = \frac{\sqrt{\alpha^2 A^2 + \gamma^2 \mathfrak{Tr}_s}}{A}$$
 und $\eta_1 = \frac{\sqrt{\alpha^2 A^2 + \gamma^2 \mathfrak{Tr}_s}}{A} \cdot t + C'$,

wenn C' wieder eine Konstante ist.

Hier ist also & konstant, d. h. OZ beschreibt im Raume einen Regel von der Öffnung & und zwar ist seine Bewegung gleichförmig, weil die Knotenslinie sich in der festen Ebene gleichförmig (η_1) bewegt.

Man hat ferner $\eta_2 = mt + \varepsilon$, so daß ε den Wert von η_2 für t = 0 bezeichnet.

Man gelangt dabei wieder zu den oben entwickelten Ergebnissen.

106. Allgemeine Charakteristik der Bewegung eines starren Körpers. Die ganze Betrachtung des vorigen Paragraphen bezog sich auf einen Körper, der Schwenkungen um einen festen Punkt vollführen konnte.

Sie gilt ebenso für die freie Bewegung eines Körpers, salls man dessen Massenmittelpunkt als Punkt O wählt, und außerdem in diesem Falle noch die Bewegung des Massenmittelpunktes als Verschiebung auf das Achsenstreuz O(XYZ) überträgt.

Sie gilt auch noch, nach Einführung der nötigen Reaktionen, für geswungene Bewegungen starrer Körper.

Bei der freien Bewegung, auf welche man die gezwungene Bewegung zurückzuführen hat, bewegt sich der Massenmittelpunkt so, als wenn alle Beswegungsgrößen und alle äußeren Kräfte, an ihn parallel verschoben, an ihm zur Geltung kämen.

Außerdem bestimmen die Eulerschen Gleichungen die Drehungen und deren Achsen für den Massenmittelpunkt.

107. Die Bewegung eines kraftfreien starren Körpers. Wirken auf einen Körper überhaupt keine Kräfte, so bewegt sich sein Massenmittelpunkt gleichsörmig auf gerader Bahn, falls er nicht in Ruhe ist. Ist der Körper starr, so lassen die außerdem vorhandenen Schwenkungen um den Massenmittelpunkt eine anschauliche Darstellung zu. Man kann sie entweder aus den Gleichungen des § 105 gewinnen, indem man die für das Beispiel des Umdrehungsellipsoides durchgeführte Untersuchung verallgemeinert, oder sich nach dem Vorgange von Poinsot mehr auf geometrische Überlegungen

stützen. Hier soll der letztere Weg eingeschlagen werden, womit dann zugleich die Betrachtungen am Schlusse von § 101 weiter geführt werden.

Da keine Kräfte auf den Körper wirken, so ist seine Energie zu jeder Zeit konstant (E_0) und zwar hat man für die Drehung um eine Achse, der die Winkelgeschwindigkeit φ und das Trägheitsmoment Tr entspricht, $E_0 = \frac{1}{2} \varphi^2 T$ r.

Der Halbmesser OP=r, den diese Achse im Centralellipsoide bestimmt, ist gemäß dessen Konstruktion $\frac{C}{\sqrt{\mathfrak{Tr}}}$, so daß $r^2=\frac{C^2}{\mathfrak{Tr}}$ und $E_0=\frac{1}{2}\,\varphi^2\cdot\frac{C^2}{r^2}$

ist, d. h. $\frac{\varphi}{r}$ ist eine Konstante. Man hat also den Saz: Die Winkelsgeschwindigkeit für die augenblickliche Drehungsachse ist stets dem Halbmesser des Centralellipsoides proportional, mit welchem jene Achse zusammenfällt, so daß dieser Halbmesser [OP] die Winkelgeschwindigkeit als Vektor in einem bestimmten Naßstade darstellt.

Bildet [OP] mit den Hauptachsen des Körpers, welchen das KreuzO(XYZ) entspricht, bezw. die Winkel α , β , γ , so ist für $P=(\bar x,\ \bar y,\ \bar z)$

$$\cos \alpha = \frac{x}{r}, \cos \beta = \frac{\bar{y}}{r}, \cos \gamma = \frac{\bar{z}}{r}.$$

Da andererseits $\cos \alpha = \frac{\varphi_x}{\varphi}$, $\cos \beta = \frac{\varphi_y}{\varphi}$, $\cos \gamma = \frac{\varphi_z}{\varphi}$ ist, so gilt auch $\frac{\bar{x}}{r} = \frac{\varphi_x}{\varphi}$, $\frac{\bar{y}}{r} = \frac{\varphi_y}{\varphi}$, $\frac{\bar{z}}{r} = \frac{\varphi_z}{\varphi}$.

Da die Berührungsebene des Centralellipsoides $x^2 \operatorname{Tr}_x + y^2 \operatorname{Tr}_y + z^2 \operatorname{Tr}_z = C^2$ im Punkte P die Gleichung

$$x\bar{x} \cdot \mathfrak{T} \mathfrak{r}_x + yy \cdot \mathfrak{T} \mathfrak{r}_y + z\bar{z} \cdot \mathfrak{T} \mathfrak{r}_z = C^2$$

hat, so gilt für diese Ebene auch

$$x \cdot \varphi_x \cdot \mathfrak{Tr}_x + y \cdot \varphi_y \cdot \mathfrak{Tr}_y + z \cdot \varphi_z \cdot \mathfrak{Tr}_s = C^2 \cdot \frac{\varphi}{r} = C\sqrt{2} \cdot \frac{\varphi}{r}$$

Da ferner die Komponenten für das Moment der Bewegungsgröße Mo(B) des Körpers in Bezug auf die Achsen sich bezw. als φ_x . Tr_x , φ_y . Tr_y , φ_z . Tr_x darstellen, so sind die Cosinus der Neigungswinkel dieses Momentes als Bektor gegen die Achsen bezw.

$$\frac{\varphi_x \cdot \mathfrak{Tr}_x}{Mo(B)'} \quad \frac{\varphi_y \cdot \mathfrak{Tr}_y}{Mo(B)'} \quad \frac{\varphi_z \cdot \mathfrak{Tr}_z}{Mo(B)'}$$

d. h. dieser Bektor ist Normale der vorher bestimmten Berührungsebene. Da dieser Bektor nun die Normale der unveränderlichen Sbene ist, so ist diese jener Berührungsebene parallel, oder, was dasselbe ist, der augenblickslichen Drehungsachse [OP] konjugiert in Bezug auf das Ellipsoid.

Fällt man ein Lot von O auf die Berührungsebene, so hat dieses die Länge

$$l = \frac{C\sqrt{2} E_0}{\sqrt{\varphi_x^2 \mathfrak{T} \mathfrak{r}_x^2 + \varphi_y^2 \mathfrak{T} \mathfrak{r}_y^2 + \varphi_z^2 \mathfrak{T} \mathfrak{r}_z^2}}.$$

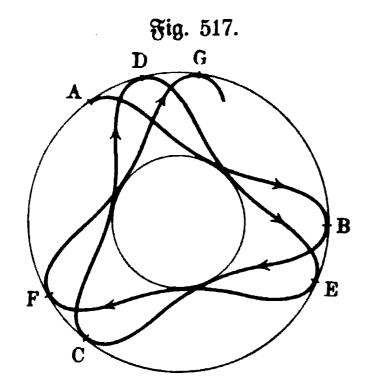
Der Nenner von l ist Mo(B), so daß

$$l = \frac{C\sqrt{2}E_0}{Mo(B)}$$

eine Konstante ist.

Da nun die Berührungsebene des Ellipsoides, welche einer bes liebigen Drehungsachse konjugiert ist, der unveränderlichen Ebene parallel ist und von dem Punkte O einen sesten Abstand hat, so fallen alle, zu Drehungsachsen konjugierten Berührungsebenen im Raume zusammen, falls O unbeweglich ist.

Legt man durch den Mittelpunkt des Ellipsoides eine Ebene, die zu [OP] konjugiert ist, so wird diese durch die Drehung um [OP] im alls gemeinen nicht in sich gedreht, so daß nach Ablauf eines Zeitelementes die unveränderliche Ebene im allgemeinen einer anderen Centralebene des Ellipssoides parallel ist, welche nun den zu ihr konjugierten Durchmesser als neue Drehungsachse bestimmt, u. s. f. Kur wenn die Drehung um eine Hauptsachse stattsindet, bleibt die ihr konjugierte Centralebene des Ellipsoides der



unveränderlichen Ebene bei der Drehung parallel, so daß also kein Wechsel der Achse erfolgt.

Falls O unbeweglich ist, rollt also das Ellipsoid auf einer bestimmten, im Abstande l von O der unveränderlichen Ebene parsallelen Ebene [U] ab.

Ist O beweglich, so gilt Entsprechendes, nur verschiebt sich jene Ebene [U] mit O.

Die Gesamtheit der möglichen Berüh= rungspunkte auf dem Ellipsoide ist eine be= stimmte Linie, welche für das ruhend ge= dachte Ellipsoid leicht bestimmt werden kann.

Denkt man sich zu ihm eine konzentrische Kugel vom Radius l, so bestimmen die gemeinsamen Tangentialebenen von Kugel und Ellipsoid auf letzterem jene Linie, welche als der Weg der Drehpole durch den Namen "Polweg" oder "Polodie" ausgezeichnet wird.

Berzeichnet man die Pole für eine bestimmte Bewegung in der unversänderlichen Ebene [U], so entsteht auch dort eine Linie, welche wegen ihrer wins dungsreichen Gestalt Herpolodie (oder Serpolodie) heißt.

Die Polodie ist, wie leicht zu ersehen, stets die Durchkreuzung des Ellips soides und eines Regels zweiten Grades von der Spize O. Vergl. S. 724.

Fällt man von O ein Ω ot ON auf die unveränderliche Ebene [U], so ist die Projektion von OP durch NP gegeben. Diese Projektion hat ein Maximum und ein Minimum, welchem zwei konzentrische Kreise vom Mittelpunkte N entsprechen. Die Herpolodie kann als Bahn der Punkte P die Kingsläche dieser beiden Kreise nicht überschreiten, und wendet sich infolgedessen zwischen den begrenzenden Kreislinien hin und her. Vergl. die Linie ABC... in Fig. 517.

Die Bewegung des Körpers stellt sich also schließlich dar als ein Ab=

rollen der Polodie auf der Herpolodie bezw. der entsprechenden Kegelflächen vom Mittelpunkte O.

Für den oben behandelten Fall des Umdrehungsellipsoides sind die beiden Polkurven Kreise, denen bestimmte Kreiskegel entsprechen, wie schon oben gefunden wurde.

Die Betrachtung gilt auch noch für die Bewegung eines schweren Körpers, der sonst kraftfrei ist, da hier die Resultante aller Kräfte durch den Massenmittelpunkt geht.

Wird z. B. irgend ein Körper der Außenwelt geworfen, so beschreibt sein Massenmittelpunkt eine ballistische Kurve, welche angenähert als Parabel erscheint. Mit dem Massenmittelpunkt fest verbunden, verschiebt sich die unversänderliche Ebene [U] im Raume, auf welcher das abrollende Centralellipsoid des Körpers dessen Schwenkungen um den Schwerpunkt darstellt.

Dabei wird vorausgesett, daß der Lustwiderstand vernachlässigt werden darf, da dessen Einwirkung sonst als ein System äußerer Kräfte einzusführen ist.

108. Stabilität einer Drehungsachse. Wenn auch alle drei Hauptsachsen des Schwerpunktes als dauernde Drehungsachsen auftreten können, so bieten doch die Hauptachsen, welche zum kleinsten und zum größten Trägheitsmomente gehören, dabei andere Beziehungen dar, als die Hauptsachse, welche zum mittleren Trägheitsmomente gehört. Erstere zeigen eine gewisse Stabilität, welche der letzteren sehlt. Wird nämlich die Drehung um eine Hauptachse durch verhältnismäßig geringe Anstöße von außen gesstört, so treten im ersten Falle meist Achsen an ihre Stelle, welche der urssprünglichen Drehungsachse verhältnismäßig nahe liegen, während dies im zweiten Falle meist nicht eintritt, weil der Polweg (Polodie) nur im ersten Falle eine, den Scheitel der Achse verhältnismäßig eng umziehende, gessschlossen Kurve sein kann.

In jedem Falle bilden die Berührungspunkte zwischen dem Centralellipsoide und der unveränderlichen Ebene den möglichen Polweg. Hat diese vom Mittelpunkte des Ellipsoides den Abstand l, so muß also die Tangential= ebene des Ellipsoides in jedem Punkte $(\bar{x}, \bar{y}, \bar{z})$ des möglichen Polweges vom Mittelpunkte den Abstand l haben.

Für das Ellipsoid x^2 . ${\rm Tr}_x+y^2$. ${\rm Tr}_y+z^2$. ${\rm Tr}_s=C^2$ hat die Tansgentialebene im Punkte $(\bar x,\ y,\ \bar z)$ die Gleichung

$$x\bar{x} \cdot \mathfrak{T}\mathfrak{r}_x + y\bar{y} \cdot \mathfrak{T}\mathfrak{r}_y + z \cdot \bar{z} \cdot \mathfrak{T}\mathfrak{r}_z = C^2$$

während das Lot aus dem Mittelpunkte (O, O, O) auf sie den Wert

$$\frac{C^2}{\sqrt{\bar{x}^2\mathfrak{T}\mathfrak{r}_x^2+\bar{y}^2\mathfrak{T}\mathfrak{r}_y^2+\bar{z}^2\mathfrak{T}\mathfrak{r}_z^2}}$$

hat.

Soll dieses die Länge l haben, so gilt also für (\bar{x}, \bar{y}, z)

$$\bar{x}^2 \mathfrak{T} \mathfrak{r}_x^2 + \bar{y}^2 \mathfrak{T} \mathfrak{r}_y^2 + \bar{z}^2 \mathfrak{T} \mathfrak{r}_z^2 = \frac{C^4}{7^2}$$

Da $(\bar{x}, \bar{y}, \bar{z})$ sowohl auf dem Ellipsoide als auch auf der Tangential= ebene liegt, so hat man für $(\bar{x}, \bar{y}, \bar{z})$ neben der eben aufgestellten Gleichung auch noch die Gleichung

$$\bar{x}^2 \mathfrak{T} \mathfrak{r}_x + \bar{y}^2 \mathfrak{T} \mathfrak{r}_y + \bar{z}^2 \mathfrak{T} \mathfrak{r}_z = C^2$$
.

Der mögliche Polweg stellt sich also dar als Durchdringung des Central-ellipsoides mit einem zweiten (ihm konfokalen) Ellipsoide. Zieht man die beiden gewonnenen Gleichungen, nachdem man die zweite mit $\frac{C^2}{l^2}$ multipliziert hat, voneinander ab, so erhält man für $(\bar{x}, \bar{y}, \bar{z})$ eine dritte Gleichung, welche lautet

$$\bar{x}^2 \cdot \mathfrak{Tr}_x(C^2 - l^2 \cdot \mathfrak{Tr}_x) + \bar{y}^2 \cdot \mathfrak{Tr}_y(C^2 - l^2 \cdot \mathfrak{Tr}_y) + \bar{z}^2 \cdot \mathfrak{Tr}_z(C^2 - l^2 \cdot \mathfrak{Tr}_z) = 0.$$

Da dieses die Gleichung eines Regels zweiten Grades ist, der seinen Scheitel im gemeinsamen Mittelpunkte der beiden Ellipsoide hat, so stellt dieser Regel die Gesamtheit der möglichen Drehungsachsen dar. Durch seine Durchkreuzung mit dem Centralellipsoide wird die mögliche Polbahn sehr gut veranschaulicht.

Sind nun die Trägheitsmomente der Hauptachsen des Centralellipsoides durch die Beziehung

$$\mathfrak{Tr}_x < \mathfrak{Tr}_y < \mathfrak{Tr}_z$$

bestimmt, so gilt für diese Hauptachsen selbst

$$\frac{C}{\sqrt{\mathfrak{T}\mathfrak{r}_x}} > \frac{C}{\sqrt{\mathfrak{T}\mathfrak{r}_y}} > \frac{C}{\sqrt{\mathfrak{T}\overline{\mathfrak{r}_s}}}$$

Soll die unveränderliche Ebene [U] das Ellipsoid berühren, so muß also sein

$$\frac{C}{\sqrt{\mathfrak{T}\mathfrak{r}_x}} \ge l \ge \frac{C}{\sqrt{\mathfrak{T}\mathfrak{r}_x}}.$$

Für $\frac{C}{\sqrt{\mathfrak{T}\mathfrak{r}_x}}=l$ erhält der oben bestimmte Regel die Gleichung $\bar{y}^2\mathfrak{T}\mathfrak{r}_y(C^2-l^2\mathfrak{T}\mathfrak{r}_y)+\bar{z}^2\mathfrak{T}\mathfrak{r}_z(C^2-l^2\mathfrak{T}\mathfrak{r}_z)=0.$

Da beide Klammern negative Größen sind, so wird dieser Gleichung unter den reellen Werten nur durch y=0, $\bar{z}=0$ genügt, d. h. der Kegel schrumpft in diesem Falle auf die X=Achse zusammen, der mögliche Pol=weg ist der eine oder der andere Scheitel des Elipsoides, welcher auf der X=Achse liegt.

Für $\frac{C}{\sqrt{\mathfrak{T} \mathfrak{r}_z}}=l$ zeigen entsprechende Schlüsse, daß der Kegel in diesem Falle auf die Z=Achse zusammenschrumpft.

Dagegen sind die Verhältnisse für $\frac{C}{\sqrt{\mathfrak{Tr}_y}}=l$ ganz andere, da hier der Kegel durch die Gleichung

$$\bar{x}^2$$
. $\mathfrak{Tr}_x(C^2-l^2\mathfrak{Tr}_x)+\bar{z}^2\mathfrak{Tr}_z(C^2-l^2\mathfrak{Tr}_s)=0$

bestimmt wird, in welcher $C^2 - l^2 \operatorname{Tr}_x$ positiv und $C^2 - l^2 \operatorname{Tr}_z$ negativ ist.

Diese Gleichung hat für
$$\mu^2=rac{\mathfrak{T} \mathbf{r}_x}{\mathfrak{T} \mathbf{r}_x}\cdotrac{\mathfrak{T} \mathbf{r}_x}{\mathfrak{T} \mathbf{r}_y}-rac{\mathfrak{T} \mathbf{r}_y}{\mathfrak{T} \mathbf{r}_x}$$
 die Gestalt $\bar{x}^2-\mu^2\bar{z}^2=0$

und zerfällt demnach in $\bar{x} - \mu \bar{z} = 0$ und $\bar{x} + \mu \bar{z} = 0$, d. h. in diesem Falle entfaltet sich der Regel zu zwei Ebenen, die auf der XZ-Ebene senktrecht stehen und durch die Y-Achse gehen. Hier ist der mögliche Polweg demnach ein System zweier Ellipsen, welche die Oberfläche des Ellipsoides in vier, paarweise symmetrische Felder zerlegen; das eine Paar dieser Felder enthält die Scheitel der größten, das andere Paar die Scheitel der kleinsten Achse.

Ist nun bei Störungen der Drehung um eine der Hauptachsen

$$\frac{C}{\sqrt{\mathfrak{T}\mathfrak{r}_x}} = l + \delta$$
 ober $\frac{C}{\sqrt{\mathfrak{T}\mathfrak{r}_x}} = l - \delta$ ober $\frac{C}{\sqrt{\mathfrak{T}\mathfrak{r}_y}} = l \pm \delta$

für d als verhältnismäßig kleine positive Größe, so erhalten die Regel in den ersten beiden Fällen, wie leicht zu ersehen, meist eine verhältnismäßig kleine Össnung, während der mögliche Polweg im letzten Falle innerhalb eines der vier bezeichneten Felder verläuft und von dessen Umgrenzung verhältnis= mäßig wenig abweicht, also eine der beiden anderen Hauptachsen in verhält= nismäßig weiter Windung umzieht.

Während also bei geringen Störungen der Drehung um die Achse des mittleren Trägheitsmomentes die Drehungsachsen nur dann in der Nähe der ursprünglichen Achse bleiben können, wenn eine Umkehr der Bewegung ein= tritt, umziehen die Polwege bei Störungen der Drehungen um die anderen Achsen stets deren Scheitel. Trozdem ist auch in diesem Falle nicht immer Die Größe der Felder, innerhalb welcher die ge= Stabilität vorhanden. schlossenen Polwege für Störungen der Drehungen um die Achse des größten und kleinsten Trägheitsmomentes liegen, hängt ab von μ^2 , welches für $\operatorname{Tr}_x = \operatorname{Tr}_y$ den Wert Null und für $\operatorname{Tr}_x = \operatorname{Tr}_y$ den Wert Unendlich erhält. Sobald also eine der Größen Trx oder Trx der Größe Tr, sehr nahe kommt, werden die Felder des einen Paares sehr schmale Sicheln, welche sich jedoch von dem einen Scheitel der Achse des mittleren Trägheitsmomentes zu deren anderem Scheitel hinziehen. Für die Scheitel, welche innerhalb dieser Sicheln liegen, giebt es stets Polwege, welche in geringer Entfernung von diesen Scheiteln vorbeigehen und demnach nahe an die Scheitel der Achse des mitt= leren Trägheitsmomentes hinkommen. Erfolgt in diesem Falle die Störung so, daß der Anstoß nach dem Scheitel der mittleren Achse zielt, so bleibt die Stabilität bestehen, erfolgt er senkrecht zu der eben bezeichneten Richtung, so ist die Stabilität gefährdet.

Für $\text{Tr}_x = \text{Tr}_y$ oder für $\text{Tr}_x = \text{Tr}_y$, d. h. für ein Umdrehungsellipsoid werden die Sicheln Null, so daß nur zwei Felder übrig bleiben, welche die Scheitel der Umdrehungsachse enthalten.

109. Die Reaktionen innerhalb der Kinetik und die besonderen Besziehungen gleitender und rollender Bewegungen. Da man mit Hülfe des

Principes von d'Alembert die kinetischen Ausgaben stets auf statische Ausgaben zurücksühren kann, so bietet die Einsührung der Reaktionen bei Beswegungen eines Körpers bezw. eines Körpersustens in theoretischer Hinsicht der Statik gegenüber keine besonderen Schwierigkeiten, solange die Reaktionen überhaupt durch Kräste darstellbar sind. Trozdem ist die weitere Aussührung kinetischer Ausgaben meist erheblich schwieriger als die Behandlung statischer Ausgaben, weil die Reaktionen bei kinetischen Berhältnissen meist mit der Zeit veränderlich sind, wie es schon der einsache Fall der Drehung um eine seste Achse zeigt.

Nur ein Fall bedarf noch ber besonderen Betrachtung, nämlich die Berseinigung einer gleitenden und rollenden Bewegung bezw. die Übers

%ig. 518.

gänge von einer bieser Bewegungen zur anderen, natürlich auch mit Rūds sicht auf die dabei auftretenden Reis bungen.

Diese Beziehungen sind so vers wickelt, daß sie kaum allgemein dars gestellt werden können; wir sühren dess halb einige Beispiele dafür an.

Ein Cylinder ober eine Rugel bewege sich, wie es Fig. 518 andeutet, auf einer schiefen Ebene so, daß die

gesamte Bewegung aus einer Berschiebung mit der Ansangsgeschwindigkeit v_0 und aus einer Drehung um den Schwerpunkt S mit der ansänglichen Winkelgeschwindigkeit φ_0 besteht.

Bewegt sich der Berührungspunkt B längs der schiesen Ebene, so ist die gleitende Reibung R voll entwickelt und hat also den Wert f. $G\cos\alpha$. In diesem Falle, wo die Ansangsgeschwindigkeit $v_0 - r\varphi_0$ von B nicht Rull ist, gilt für die abwärts gerichtete Beschleunigung von S

1)
$$j = (G \sin \alpha \pm R) \frac{g}{G}$$

und für die Winkelbeschleunigung der Drehung um S im Sinne von $[\varphi_0]$

2)
$$\iota = \frac{\pm Rr - W}{\Im r},$$

falls man das Widerstandsmoment der rollenden Reibung f_{r} . $G\cos\alpha$ durch W bezeichnet,

Dabei entsprechen die oberen Borzeichen (+) in beiden Gleichungen der Auswärtsbewegung von B, die unteren (-) der Abwärtsbewegung von B. Nan hat also für die Bewegung von S

$$v = v_0 - jt$$

und für die Drehung um S

$$\varphi = \varphi_0 + \iota t$$
.

Die Bedingung einer reinen Rollbewegung ist die Ruhe von B, welche dem Ansahe $r \varphi = v$ entspricht.

Da diese Gleichung $\overline{t}=\frac{v_0-r\varphi_0}{j+r\iota}$ liefert, so tritt im allgemeinen bei $t=\overline{t}$ für B ein Augenblick der Ruhe ein, in welchem eine reine Rollsbewegung einsetzen kann. Bezeichnet man die Werte von v und φ , welche dem Augenblicke $t=\overline{t}$ entsprechen, durch v_0 und $\overline{\varphi}_0$, so gilt von diesem Zeitpunkte ab

$$v = \overline{v}_0 - jt$$
 und $\varphi = \overline{\varphi}_0 + \iota t$,

so daß die Bedingung für ein nun folgendes Rollen, nämlich $v=r\varphi$, die Bedingung $j+r\iota=0$ nach sich zieht. Diese Bedingung lautet auß-führlicher

$$(G \sin \alpha \pm R) \frac{g}{G} + \frac{\pm Rr - W}{\mathfrak{Tr}} r = 0.$$

Sett man $\frac{G}{g} = m$, so folgt daraus

$$\pm R = -G \sin \alpha \cdot \frac{\mathfrak{Tr}}{\mathfrak{Tr} + mr^2} + \frac{Wrm}{\mathfrak{Tr} + mr^2}.$$

Das lette Glied ist, da W sehr klein ist, ohne Einfluß auf das Borzeichen, so daß von den beiden Borzeichen der linken Seite nur das Borzeichen — Geltung hat, d. h. bei der Rollbewegung wirkt die Reibung stets nach oben, und zwar mit dem Betrage

$$R = G \sin \alpha \cdot \frac{\mathfrak{Tr}}{\mathfrak{Tr} + mr^2} - \frac{Wrm}{\mathfrak{Tr} + mr^2}.$$

Da die Reibung bei voller Entwickelung den Wert $fG\cos\alpha$ hat, so muß

$$fG\cos\dot{\alpha}>R$$
 sein.

Für $R \sim G \sin \alpha \cdot \frac{{
m Tr}}{{
m Tr} + mr^2}$ folgt daraus

$$tg\,\alpha \leq f \cdot \frac{\mathfrak{T}\mathfrak{r} + mr^2}{\mathfrak{T}\mathfrak{r}},$$

d. h. eine Rollbewegung tritt nur ein, falls der Neigungswinkel der schiefen Ebene unter einer gewissen Grenze liegt.

Für einen Cylinder ist $\operatorname{Tr} = \frac{1}{2}mr^2$, so daß sich also $tg \alpha \leq 3 f$ ergiebt. Für f = 0.08 ist der Reibungswinkel $4^{\circ}30'$, sür 3f = 0.24 ist $\alpha = 13^{\circ}30'$, d. h. ein Cylinder kann überhaupt nur rollen, salls $\alpha \leq 13^{\circ}30'$ ist für f = 0.08.

Für die Rollbewegung ergiebt sich bei Benutzung des Wertes von R

$$j = g \left(\sin \alpha \cdot \frac{mr^2}{\mathfrak{T}r + mr^2} + \frac{f_r \cdot \cos \alpha \cdot m \cdot r}{\mathfrak{T}r + mr^2} \right)$$
 und $-\iota = \frac{j}{r}$.

Für die Gleit=Rollbewegung, von der wir ausgingen, gilt, da bei ihr die Reibung voll entwickelt ist,

$$j = g(\sin \alpha \pm f \cos \alpha)$$
 und $\iota = \frac{G \cos \alpha \cdot (\pm r \cdot f - f_r)}{\mathfrak{Tr}}$.

In jedem Falle kann man noch Tr $=\mu r^2$ setzen, wobei μ die Masse eines materiellen Punktes bedeutet, welche den Körper bei der Drehung ersetzt (Reduktion der Masse).

Für eine Kugel vom Halbmesser $r=0.1\,\mathrm{m}$ auf einer Bahn von $\alpha=5^{\circ}50'$ sei $v_0=8\frac{\mathrm{m}}{\mathrm{sec}}$ und $\varphi_0=20$ bei f=0.2. Hier ist der Beginn der Bewegung auswärts gerichtet, da $v_0=8$ und $r\varphi_0=2$ ist, man hat also $j=g\left(\sin\alpha+f\cos\alpha\right)\sim0.3\,g$.

Es ift ferner G = mg, $\operatorname{Tr} = \frac{2}{5}mr^2$ und man hat daher für

$$\iota = + \frac{G\cos\alpha (rf - f_r)}{\Im r}$$

bei $f_r = 0.05 \, \mathrm{cm}$ ben Wert $5 \, g - \frac{1}{8} \, g$. Demnach ist

$$t = \frac{8-2}{0.3 g + 0.5 g - \frac{1}{80} g} = \frac{6}{0.8 g - 0.013 g} = \frac{6}{0.787 \cdot g} \sim 0.75''.$$

In diesem Augenblicke beginnt eine auswärts gerichtete Rollbewegung, für welche die auswärts gerichtete Reibung den Wert $R \sim \frac{1}{3\delta} G$ hat, während fie bisher etwa $\frac{1}{6} G$ war und zwar abwärts gerichtet.

Für diese Rollbewegung gilt min $j=r\iota=0.07\,g$ und $\bar{v}_0=5.75\,\frac{\mathrm{m}}{\mathrm{sec}};$ die Gleichung $v=v_0-jt$ zeigt, daß v=0 und $\varphi=0$ ist für $\bar{t}=\frac{5.75}{0.07\,g}$ $\sim 8.2''$, d. h. die Rollbewegung auswärts dauert 8.2'', wobei ein Weg von Fig. 519.

ginnt eine Rollbewegung abwärts mit der selben Beschleunigung $j = r\iota = 0.07 g$, die für das Aufswärtsrollen galt.

Auch auf horizontaler Bahn läßt sich eine Bewegung erzeugen, welche bem eben betrachteten Rüd=

wärtsrollen entspricht. Man hat für a = 0, entsprechend Fig. 519

$$j = -rac{Rg}{G}$$
 and $\iota = -rac{rR + W}{\mathfrak{Tr}}$

Bunächst ist die Reibung voll entwickelt, so daß R = fG ist.

Man hat hier $v=v_0-fgt$ und $\varphi=\varphi_0-\frac{fGr+W}{\operatorname{Tr}}\cdot t$ und $v+r\varphi=0$ als Bedingung für die Ruhe von B. Es ift also

$$t = \frac{v_0 + r \varphi_0}{fg\left(1 + \frac{mr^2}{\mathfrak{Tr}}\right) + \frac{rW}{\mathfrak{Tr}}}$$

und bas zugehörige

$$v = v_0 - fgt - rac{-r\varphi_0 + v_0 rac{mr^2}{\mathfrak{T}r} + v_0 rac{rW}{\mathfrak{T}r} \cdot rac{1}{fg}}{1 + rac{mr^2}{\mathfrak{T}r} + rac{rW}{\mathfrak{T}r} \cdot rac{1}{fg}}.$$

Soll nun $[\bar{v}]$ entgegengesetzt zu $\{v_0\}$ gerichtet sein, so muß das Borzeichen von $r\varphi_0$ überwiegen, d. h. es muß

$$r\varphi_0 > v_0 \left(\frac{mr^2}{\mathfrak{T}r} + \frac{rW}{\mathfrak{T}r} \cdot \frac{1}{fg} \right)$$

sein. Bei einer Kugel ($\mathfrak{T} r = \frac{2}{6} m r^2$) muß also in großer Annäherung (W = 0) gelten $r \varphi_0 > 2.5 v_0$.

Dabei kann $v>v_0$ sein; dies tritt in großer Annäherung (W=0) ein für

$$\frac{r\varphi_0-v_0\frac{mr^2}{\mathfrak{Tr}}}{1+\frac{mr^2}{\mathfrak{Tr}}}>v_0.$$

Bei einer Kugel lautet biese Bedingung $r \, arphi_{
m o} > 6 \, v_{
m o}.$

Hier ist $\varphi_0>rac{6\,v_0}{r}$ und $\overline{\varphi}=rac{v}{r}>rac{v_0}{r}$, wobei die Energie der Beswegung am Ansange

$$\frac{1}{2}mv_0^2 + \frac{1}{2}\mathfrak{T}r\varphi_0^2$$

und bei Beginn bes Rollens

$$\frac{1}{2}m\bar{v}^2 + \frac{1}{2}\mathfrak{T}r\overline{\varphi}^2$$

beträgt.

Für $\varphi_0 = \frac{6\,v_0}{r} + s$ wird für die Rugel $\overline{\varphi} = \frac{\hat{v}}{r} = \frac{v_0}{r} + \frac{3}{7}\,\varepsilon$, so daß die Energie der Drehbewegung für φ_0 erheblich größer ist, als für $\overline{\varphi}$, während die Energie der Verschiebung für v_0 kleiner Fig. 520. ist, als für v; im ganzen hat die Energie natürlich, entsprechend der Reibungsarbeit, abgenommen.

Um eine Rollbewegung zu erzeugen, kann man unter anderem eine Kraft K, wie Fig. 520 zeigt, wirken lassen; dabei entsteht eine Reibung R oder \overline{R} . Führen wir R in die Rechnung ein, so ist die Beschleunigung des Schwerpunktes

$$j = \frac{K - R}{m}$$

und die Winkelbeschleunigung der Drehung um ihn, bei Bernachlässigung des Widerstandsmomentes der rollenden Reibung,

$$. \iota = \frac{Kk + rR}{\Im r}.$$

Für ben Fall bes Rollens ist $j=r\iota$, so baß sich

$$R = K \frac{\mathfrak{Tr} - rkm}{r^2m + \mathfrak{Tr}}$$

ergiebt.

Für $k = \frac{\mathfrak{T}r}{mr}$ ist R = 0, was bei einer Kugel ($\mathfrak{T}r = \frac{2}{5}mr^3$) sür $k = \frac{3}{5}r$ eintritt; sür eine Kugel gilt also die Reibung [R] der Fig. 520 für $k = 0 \dots \frac{2}{5}r$ und die Reibung $[\overline{R}]$ der Fig. 520 für $k = \frac{2}{5}r \dots r$. Da R = 0 sür $k = \frac{2}{5}r$ eintritt, was einer absolut glatten Fläche entsprechen Fig. 521.

würde, so muß ein Stoß in diefer Hohe unter allen Umständen eine reine Rollbewegung erzeugen.

Wir betrachten noch die Abertragung der Drehung eines rollenden Rades oder eines Räderpaares auf seine Achse gemäß Fig. 521, wobei die Masse des Rades durch m_1 , die der Achse mit m_2 bezeichnet werden mag.

Wird das Reibungsmoment, welches bei der Be-

rührung zwischen Rad und Achse auf das Rad wirkt mit D, und das entsprechende Moment für die Achse mit D bezeichnet, so gilt für die Winkels beschleunigung des Rades

$$\iota_1 = \frac{rR - D}{\mathfrak{T}\mathfrak{r}_1}$$

und für die Bintelbeschleunigungen der Achse

$$\iota_2 = \frac{\bar{D}}{\mathfrak{Tr}_a}$$

Für die Beschleunigung des Schwerpunktes des ganzen Systems gilt $j\left(m_1+m_2\right)=\left(m_1+m_2\right)g\sin\alpha-R.$

Da $r\iota_1=j$ ist, so hat man

$$g\sin\alpha-\frac{R}{m_1+m_2}=\frac{r^2R-rD}{\mathfrak{T}r_1},$$

d. h.

$$R = \frac{(m_1 + m_2) (\mathfrak{T} \mathfrak{r}_1 g \sin \alpha + r D)}{r^2 (m_1 + m_2) + \mathfrak{T} \mathfrak{r}_1}.$$

Daraus folgt

$$j = \frac{r^2(m_1 + m_2) g \sin \alpha - rD}{r^2(m_1 + m_2) + \mathfrak{T} \mathfrak{r}_1}.$$

Ist die Reibung, welche D entspricht, zu schwach, um $\iota_2=\iota_1$ zu machen, so ist sie voll entwickelt und man hat $D\sim (m_2g)$. f. ϱ , salls ϱ den Radius der Achse bezeichnet.

In diesem Falle $(\iota_2 < \iota_1)$ ist

$$\eta = \frac{r^2 (m_1 + m_2) g \sin \alpha - r \varrho m_2 g f}{r^2 (m_1 + m_2) + \mathfrak{T} r_1}.$$

Ist die Reibung, welche D entspricht, stärk genug, um $\iota_2=\iota_1$ zu machen, so folgt der Betrag von D aus dem Ansate $\iota_1=\iota_2$, oder da $j=r\iota_1$ ist, auch aus dem Ansate $j=r\iota_2$, d. h. man hat

$$r\frac{\bar{D}}{\mathfrak{T}r_{2}} = \frac{r^{2}(m_{1} + m_{2})g\sin\alpha - rD}{r^{2}(m_{1} + m_{2}) + \mathfrak{T}r_{1}}.$$

Daraus jolgt

$$D = \frac{r^2(m_1 + m_2)g\sin\alpha}{r^2(m_1 + m_2) + \mathfrak{T}\mathfrak{r}_1 + \mathfrak{T}\mathfrak{r}_2} \cdot \frac{\mathfrak{T}\mathfrak{r}_2}{r}$$

und

$$j = \frac{r^2(m_1 + m_2)g\sin\alpha}{r^2(m_1 + m_2) + \mathfrak{T}r_1 + \mathfrak{T}r_2}.$$

Reduziert man die Massen m_1 und m_2 für den Trägheitsarm r, so daß ${\rm Tr}_1 = \mu_1 r^2$ und ${\rm Tr}_2 = \mu_2 r^2$ ist, so gilt im ersten Falle

$$j = \frac{(m_1 + m_2) g \sin \alpha - \frac{Q}{r} m_2 g f}{m_1 + m_2 + \mu_1}$$

und im zweiten Falle

$$j = \frac{(m_1 + m_2) g \sin \alpha}{m_1 + m_2 + \mu_1 + \mu_2}.$$

Im zweiten Falle wirkt die Reibung so, daß man Rad und Achse als einen Körper betrachten kann. Für diesen wären

$$j = \frac{(m_1 + m_2)g\sin\alpha - R}{m_1 + m_2}$$

und

$$\iota = \frac{rR}{\mathfrak{Tr}_1 + \mathfrak{Tr}_2}.$$

Daraus folgt sofort wieder die obige Formel.

Sind die Räder oder Räderpaare belastet, wie es bei Fuhrwerken der Fall ist, so führt man am besten wieder die ersahrungsmäßig zu bestimmende Gleichgewichtsneigung ein, wie in den Anwendungen zu diesem Abschnitte gezeigt werden soll.

110. Principien der Dynamik bezw. der physikalischen Mechanik. Die allgemeinen Sätze (vergl. § 102), welche die Kinetik beherrschen, sind, wie bereits bei ihrer Entwickelung hervorgehoben wurde, durchaus nicht bloß als Sätze über starre Körper oder Systeme solcher Körper aufzusassen, sondern als Sätze, die überhaupt für materielle Systeme gelten, und zwar, weil diese ja auch Systeme starrer Körper sind, falls man ihre Atome als unendelichelieine starre Körper auffaßt.

Da anderseits die Statik in der Kinetik als besonderer Fall (Grenzsfall der Ruhe u. s. w.) enthalten ist und da die Dynamik wiederum die Phoronomie als besonderen Fall umfaßt, so treten jene allgemeinen Säze schließlich an die Spize der gesamten Mechanik, genauer der gesamten physikalischen Mechanik, durch welche die Bewegungen der uns gegebenen Außenwelt behandelt werden können.

Man hat nun mehrsach i) gesucht, diese allgemeinen Sätze unter Berücksschtigung aller Boraussetzungen, auf welche sie sich stützen, in einem alls gemeinen Satze zusammenzusassen und diesen als (unbeweisbares) Princip (vergl. S. 6) an die Spitze der ganzen physitalischen Mechanik zu stellen, um aus ihm, gestützt auf die nötigen Definitionen, alle anderen Sätze und Regeln herzuleiten.

Man beabsichtigte dabei, der Mechanik das Gepräge einer deduktiven Wissenschaft zu geben, als deren Muster vor allem die Geometrie galt. Eine solche Aufgabe ist für die mathematische (reine) Mechanik sicher durchführbar, da man hier jede Lücke, die sich zeigt, durch eine geeignete Definition schließen kann, für die physikalische Mechanik, welche auf die Außenwelt anwendbar sein soll, ist sie nicht zu lösen, ebensowenig wie für die Physik selbst, hier wird man vielmehr immer wieder von Fall zu Fall auf Beobachtung und Versuch zurückgehen müssen.

Dies gilt natürlich auch im besondern für die technische Mechanik, deren fruchtbare Entwickelung in den letten Jahrzehnten gerade mit darauf beruht, daß man die Theorie immer von neuem durch Beobachtungen und Versuche geprüft und berichtigt hat.

Von den allgemeinen Sätzen, welche wir benutt haben, hat das Princip von d'Alembert noch am meisten das Gepräge eines solchen umfassenden Principes, falls man das Princip des Parallelogramms und das Princip der Paarwirtung, welch letzteres ja das Princip der Beharrung (Trägheit) umfaßt, in ihm mit enthalten denkt.

Unter dieser Boraussetzung verbindet das Princip von d'Alembert die beiden Formen der Kraft, welche sich zeigen, die kinetische und die statische. Es ist in diesem Sinne ein Princip von der Erhaltung der Kraft 2), das Wort "Kraft" in scharfer begrifflicher Bestimmung genommen, insosern es lehrt, die scheinbar verlorene statische Kraft in der Bewegung und die scheins dar verlorene kinetische Kraft im Zuge und im Drucke wiederzusinden, so daß Statik und Kinetik in engste Beziehung treten.

Thatsächlich lassen sich auch aus dem Principe von d'Alembert die allgemeinsten Gleichungen für die Behandlung materieller Systeme herleiten, welche als die Gleichungen von Lagrange bezeichnet werden.

Für freie Systeme wurde die Ableitung bereits auf S. 346 gegeben. Für Systeme, in welchen einzelne materielle Punkte besonderen Bestingungen unterworfen sind (Zwang von Kurven, Oberflächen u. s. w.), gelten natürlich dieselben Gleichungen, falls es gelingt, die Bedingungen durch Kräfte auszudrücken.

Auch die Durchführung dieser allgemeinen Aufgabe verdankt man Las grange; seine Darstellung ist sehr zweckmäßig für eine Reihe von prak-

¹⁾ So hat z. B. Lagrange das Princip der virtuellen Verrückungen an die Spike gestellt.

²⁾ Daß in dem Sate über die Beziehung von Energie und Arbeit und in dem Sate von der Erhaltung der Energie ursprünglich statt des Wortes "Energie" das Wort "Kraft" gebraucht wurde, hat mit obiger Darstellung natürlich nichts zu thun.

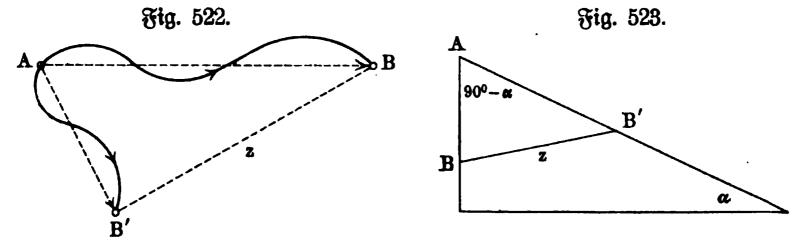
tischen Aufgaben, unter denen die Untersuchung der Bewegung einer Glocke und ihres Klöppels und der entsprechenden Reaktionen an Glockenstühlen bes sonders hervorgehoben werden mag.

Die Gleichungen von Lagrange hat Hamilton wieder zu einem ziem= lich umfassenden Principe zusammengezogen, das sehr fruchtbar ist, freilich nicht bei Anwendung elementarer Methoden.

Dagegen läßt sich ein anderes, von Gauß eingeführtes Princip, das Princip des kleinsten Zwanges, welches gleichfalls die Gleichungen von Lagrange umfaßt, auch bei elementarer Behandlung gelegentlich mit Vorteil anwenden.

Dieses Princip läßt sich folgendermaßen darstellen.

Wenn ein materieller Punkt von der Masse μ , der einem System anzgehört, in der Zeit τ die Verlegung [AB] hätte, falls er frei wäre, that= sählich aber in dieser Zeit τ die Verlegung [AB'] erleidet, so stellt die



Berlegung [BB']=[z] den Zwang dar, welchem seine Bahn innerhalb der Zeit τ unterliegt (vergl. Fig. 522). Drückt man diesen Zwang, welcher in phoronomischer Hinsicht durch [z] ausgedrückt wird, in dynamischer Hinsicht mit Gauß durch μz^2 aus, so ist

ber Zwang eines materiellen Systems.

Das Princip von Gauß sagt nun aus, daß die thatsächlichen Beziehungen sich von allen möglichen Beziehungen dadurch unterscheiden, daß für sie der Zwang Z in jedem Zeitelemente ein Minimum ist.

Dabei ist die Bedingung der Ruhe zu erschließen, indem man sie als Grenzfall der Bewegung auffaßt.

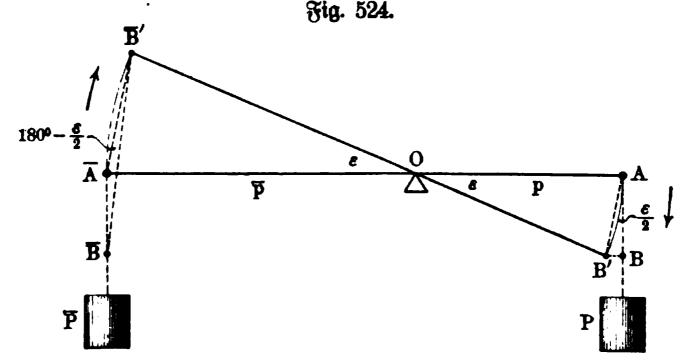
Als Beispiel diene zunächst die Bestimmung der Beschleunigung für die Bewegung auf einer schiefen Ebene. If x diese Beschleunigung, so ist (vergl. Fig. 523) der Weg ohne Zwang $AB = \frac{1}{2}g\tau^2$, der Weg mit Zwang $AB' = \frac{1}{2}x\tau^2$. Man hat also

$$Z = \mu z^2 = \frac{1}{4} \mu \tau^4 [g^2 + x^2 - 2 gx \sin \alpha].$$

Da μz^2 für $x=g\sin\alpha$ ein Minimum wird, so ist $g\sin\alpha$ die thats sächliche Beschleunigung sür die schiefe Ebene.

Geht man von einem Zustande der Ruhe auß, so muß $g \sin \alpha = 0$, d. h. $\alpha = 0$ sein, salls keine Bewegung eintreten soll.

Als nächstes Beispiel diene die Untersuchung der Bewegung eines zwei= armigen Hebels, wie ihn Fig. 524 (a. f. S.) zeigt. Wir gehen von der künstlich hergestellten Ruhelage aus, in der der Hebelarm wagerecht steht. Ist die Winkelbeschleunigung für die beginnende Bewegung, sobald der Hebel



frei gelassen wird, ι , so ist der Weg AB' für die dargestellte Drehung in zweiter Annäherung als $\frac{1}{2}p\iota\tau^2$, der Weg AB als $\frac{1}{2}g\tau^2$ anzusetzen, so daß für A

$$\mu z^2 = \frac{P}{g} \cdot \frac{1}{4} \tau^4 \left(p^2 \iota^2 + g^2 - 2 p i g \cos \frac{\varepsilon}{2} \right)$$

anzusetzen ist. Ebenso folgt für \overline{A}

$$\mu \bar{z}^2 = \frac{\bar{P}}{g} \cdot \frac{1}{4} \tau^4 \Big(\bar{p}^2 \iota^2 + g^2 + 2 p i g \cos \frac{\varepsilon}{2} \Big).$$

Demnach ist

$$Z = \frac{1}{4} \tau^4 \left[\iota^2 \cdot \frac{Pp^2 + \vec{P}^2 \vec{p}^2}{g} + g (P + \vec{P}) - 2 \iota \cos \frac{\varepsilon}{2} (p P - \vec{p} \vec{P}) \right] \cdot$$

Das Minimum tritt ein für

$$\iota = \frac{Pp - \overline{P}\overline{p}}{\frac{P}{g}p^2 + \frac{\overline{P}}{g}p^2}\cos\frac{\varepsilon}{2}$$

Der Grenzübergang liefert für $lim \varepsilon = 0$

$$\iota = \frac{Pp - \overline{P}p}{\frac{P}{q}p^2 + \frac{\overline{P}}{q}\overline{p}^2},$$

d. h. man erhält die bekannte Formel wieder, welche $\iota = \frac{Mo}{{\mathfrak T} {\mathfrak r}}$ entspricht.

Soll keine Bewegung aus der vorausgesetzten Ruhelage eintreten, so muß $Pp=\overline{P}p$ sein.

Als lettes Beispiel diene die Betrachtung eines pendelnden Körpers. Ein Punkt P des Körpers (vergl. Fig. 525) von der Masse μ hätte als freischwingendes Fadenpendel bei dem Ausschlage α die Tangentialbeschleunigung $g\sin\alpha$, während er thatsächlich bei einer augenblicklichen Winkelbeschleunigung ι die Tangentialbeschleunigung $r\iota$ hat. Für ein Zeitelement τ entspricht der Beschleunigung $g\sin\alpha$ auf der Bahn der Weg $\frac{1}{2}g\sin\alpha\tau^2$, der Beschleunigung

 $r\iota$ der Weg $\frac{1}{2}r\iota\tau^2$, so daß hier der Zwang in phoronomischer Hinsicht durch $\frac{1}{2}\tau^2(g\sin\alpha-r\iota)$ und in dynamischer Hinsicht durch $\frac{1}{4}\mu\tau^4(g\sin\alpha-r\iota)^2$ dargestellt wird. Für den Körper muß also

$$\frac{1}{4}\tau^{4} \Sigma \mu (g \sin \alpha - r\iota)^{2} = \frac{1}{4}\tau^{4} \Sigma (\mu g^{2} \sin^{2} \alpha - 2 \mu g \sin \alpha r\iota + \mu r^{2}\iota^{2})$$

$$= \frac{1}{4}\tau^{4} [g^{2} \Sigma \mu \sin^{2} \alpha - 2 g\iota \Sigma \mu r \sin \alpha + \iota^{2} \Sigma \mu r^{2}]$$

ein Minimum sein. Das tritt ein für

$$\iota = \frac{g \sum \mu r \sin \alpha}{\sum \mu r^2}.$$

Bezeichnet man das Gewicht des Körpers mit G, den Abstand des Schwerpunktes S von der Drehungsachse mit s und die Abweichung der Geraden

AS von der Vertikalen durch &, so ist für die augen= blickliche Stellung des Pendels die Lage des Schwer= punktes gegen die Vertikalebene AV bestimmt durch

$$\frac{G}{g} \cdot (s \sin \vartheta) = \Sigma \mu (r \sin \alpha).$$

Man hat also

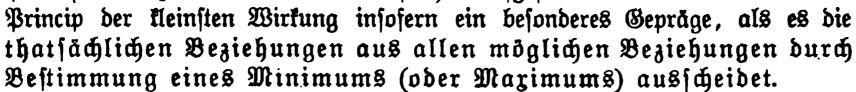
§ 110.]

$$\iota = \frac{G(s \sin \vartheta)}{\sum \mu r^2} = \frac{Mo}{\mathfrak{Tr}},$$

d. h. man erhält für die Bestimmung der Winkels beschleunigung die bekannte Formel wieder.

Soll aus einem, noch zu bestimmenden $\Im u = \beta u$ stand der Ruhe keine Bewegung eintreten, so muß $Mo = G(s \sin \theta) = 0$ sein, d. h. es muß $\theta = 0$ sein.

Das Princip von Gauß hat ebenso wie das Princip von Hamilton und das früher aufgestellte

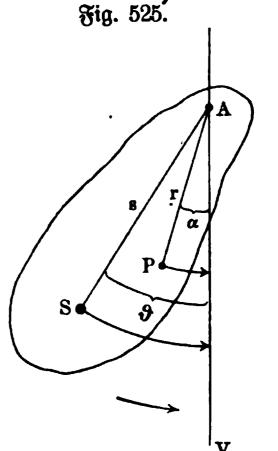


Es steht in naher Verwandtschaft zu dem Principe der schnellsten Ankunft (vergl. S. 290), welches die Lichtbewegungen beherrscht.

Man hat aus der Existenz derartiger Principien auf eine bestimmte Zweckmäßigkeit in der Einrichtung der Außenwelt schließen wollen.

Rein Geringerer als Euler, dem die Mechanik so viel verdankt, sagt gelegentlich: "Da nämlich die Einrichtung der ganzen Welt die vorzüglichste ist, und da sie von dem weisesten Schöpfer herstammt, wird nichts in der Welt getroffen, woraus nicht irgend eine Maximal= oder Minimaleigenschaft hervorleuchtete; deshalb kann kein Zweisel bestehen, daß alle Wirkungen in der Welt ebensowohl durch die Methode der Maxima und Minima aus den Zweisen wie aus den wirkenden Ursachen selbst abgeleitet werden können."

Eine genauere Betrachtung dieser Principien zeigt aber, daß bei ihrer Fassung lediglich eine Form gewählt worden ist, welche ebenso leicht ver= mieden werden kann.



So scheint sich z. B. das Licht nur auf Wegen kürzester Zeit auszustreiten, während es sich thatsächlich auf allen möglichen Wegen ausbreitet, und zwar so, daß sich die Wellen auf jenen besonderen Wegen verstärken und demnach dort für das Auge sichtbar werden.

So läßt sich das Princip von Gauß aus dem Principe von d'Alembert ableiten, und umgekehrt 1).

Trothem ist die besondere Fassung der Principien, in welchen eine Maximal= oder Minimaleigenschaft ausgesprochen wird, bei deren Verwendung gelegentlich von Wert, wie die oben gegebenen Beispiele zeigen. Sie sagen aber in der besonderen Fassung nichts Neues, d. h. sie sügen nichts zu der allgemeinen Auffassung hinzu, welche durch das Princip des Parallelos gramms, das Princip der Paarwirkung und das Princip von d'Alems bert im Verein mit den zugehörigen Desinitionen bestimmt wird.

¹⁾ Vergl. dazu Schefflers Abhandlung in Schlömilchs Zeitschr. f. Mathematik, III und Machs Mechanik, Kapitel 3 und 4.

Anwendungen der Kinetik des ftarren Körpers.

1. Das physische Bendel. Ein Körper, ber um eine horizontale Achse Schwingungen vollführt, wird als physisches Bendel bezeichnet. Man stellt seine Bewegung am besten dar durch Bergleichung mit einem entsprechenden mathematischen Bendel von gleicher Winkelbeschleunigung.

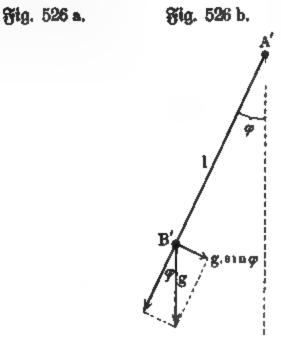
In Fig. 526 a gilt für den pendelnden Körper, deffen Achse bei A durchtreten mag, mahrend S seinen Schwerpunkt bezeichnet, gemaß Formel Nr. 192)

$$\iota = \frac{Mo}{\mathfrak{T}r} = \frac{G \cdot p}{\mathfrak{T}r} = \frac{G \cdot s \cdot \sin \varphi}{\mathfrak{T}r}$$

In Fig. 526'b gilt für das Fadenpendel

$$\iota = \frac{g \sin \varphi}{l} \cdot$$

Aus den beiden Gleichungen folgt $l = \frac{\mathfrak{Tr} \cdot g}{G \cdot s}$, d. h. giebt man einem Fadenpendel die hiermit bestimmte Länge, so stimmt seine Winkelbeschleusnigung überein mit der Winkelbeschleusnigung des vorgelegten pendelnden Körpers.



Führt man die Masse
$$M=rac{G}{g}$$
 ein, so ist $l=rac{{\mathfrak T}{\mathbf r}}{M+s}$

Giebt man der Geraden AS des Körpers dieselbe Anfangslage wie dem Pendelsaden A'B', J. B. beide Male einem Ausschlage von 5° nach links entsprechend, so stimmt die Bewegung von AS genau überein mit der Bewegung von A'B'. Da nun die Dauer einer vollen Schwingung sür das Fadenspendel (vergl. S. 177) angenähert bestimmt ist durch

$$T=2\,\pi\,\sqrt{\frac{l}{g}}\,,$$

fo gilt für bie Schwingungsbauer bes pendelnden Rorpers angenähert

$$T = 2\pi \sqrt{\frac{\mathfrak{Tr}}{G \cdot s}} = 2\pi \sqrt{\frac{\mathfrak{Tr}}{M \cdot s \cdot g}} \cdot \cdot \cdot \cdot 242)$$

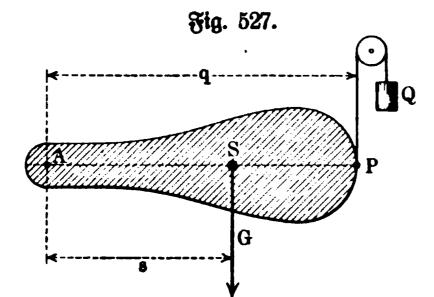
Wernide, Dechanit. I.

wobei G und M dessen Gewicht und Masse, Tr dessen Trägheitsmoment für die Achse durch A und s den Abstand seines S Schwerpunktes von der Achse bezeichnet.

Durch Umkehrung der Formel Nr. 242) kann man das Trägheitsmoment Tr durch den Versuch bestimmen, indem man die Schwingungsdauer T sest=stellt; man hat

$$\mathfrak{Tr} = \frac{T^2}{4\pi^2} \cdot G \cdot s.$$

Dabei ist der Wert des Momentes G. s gemäß Fig. 527 zu bestimmen, nachdem man die Lage von P auf der Berlängerung von AS für die Ruhe=



lage des pendelnden Körpers festgestellt hat; man hat

$$G \cdot s = Q \cdot q$$

Trägt man A'B'=l aus Fig. 526 b auf AS in Fig. 526 a auf, so daß AB=l ist, so heißt B der Schwinsgungspunkt des pendelnden Körpers, während l selbst seine reduzierte Pendellänge genannt wird.

Läßt man den Körper um eine Achse durch B schwingen, welche der Achse durch A parallel ist, so ist die reduzierte Länge \overline{l} für die neue Achse, in Bezug auf welche das Trägheits= moment \overline{Tr} sein mag, gegeben als

$$\bar{l} = \frac{\mathfrak{Tr}}{M(l-s)}$$

Bezeichnet man das Trägheitsmoment für eine parallele Achse durch den Schwerpunkt S durch Tr_0 , so ist

$$\mathfrak{T}\mathfrak{r} = \mathfrak{T}\mathfrak{r}_0 + s^2M$$
 und $\overline{\mathfrak{T}\mathfrak{r}} = \mathfrak{T}\mathfrak{r}_0 + (l-s)^2M$,

d. h. man hat

$$\overline{\mathfrak{Tr}} = \mathfrak{Tr} + (l^2 - 2 ls) M.$$

Da $\operatorname{Tr} = lsM$ und $\overline{\operatorname{Tr}} = \overline{l}(l-s)M$ ist, so folgt daraus

$$\bar{l}(l-s)M = lsM + (l^2-2ls)M$$

oder

$$\bar{l}(l-s)=l(l-s),$$

b. h. es ist $\overline{l} = l$.

Der pendelnde Körper hat also für die Achsen durch A und durch B die selbe reduzierte Pendellänge, also auch die selbe Schwingungsdauer.

Stellt man die Lage von B durch Bersuche sest (Umdrehungspendel), so ist AB = l.

Denkt man s veränderlich, so ist auch

$$l = \frac{\mathfrak{Tr}}{Ms} = \frac{\mathfrak{Tr}_0}{Ms} + s$$

veränderlich. Führt man noch den Trägheitsarm ϱ_0 für Tr $_{\bullet}$ ein, so daß Tr $_{0} = M \varrho_0^2$ ist, so ist

$$l = \frac{\varrho_0^2}{s} + s.$$

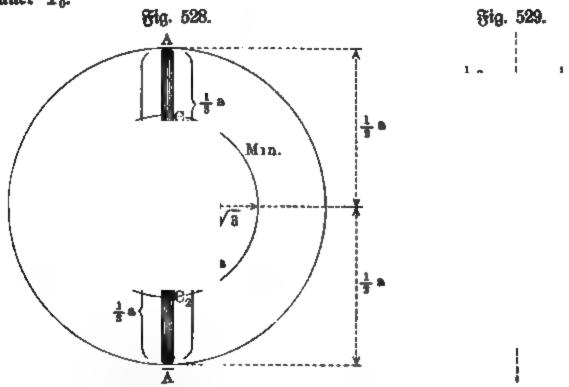
Man hat $l=\infty$ für s=0 und für $s=\infty$, während für $s=\varrho_0$ das Minimum von l im Werte von $l=2\,\varrho_0$ eintritt, wie man unter anderem bei graphischer Darstellung der Hyperbel $(l-s)s=\varrho_0^s$ leicht sieht.

Demnach hat auch die Schwingungsbauer ein Minimum für

$$T_0 = 2 \pi \sqrt{\frac{2 \varrho_0}{g}}$$

Da $l=2 \varrho_0$ ist für $s=\varrho_0$, so ist hier $l-s=\varrho_0$, b. h. man hat $l-s=s=\varrho_0$.

Schlägt man mit ϱ_0 um S in der Ebene der Zeichnung der Fig. 526 a einen Kreis, so läßt sich dieser auffassen als die Durchdringung eines Cylinders, bessen ber Achse durch A parallel sind. Für jede Seite dieses Cylins ders als Drehungsachse zeigt der pendelnde Körper die minimale Schwingungssauer T_0 .



Für andere Werte von l bezw. T find s und l-s verschieden, so daß es zwei Kreise von den Radien s und l-s um S giebt, für welche die entsprechenden Achsen zu demselben Werte von T führen.

Für einen prismatischen Stab von der Länge a, der an einem Ende aufgehängt ist, hat man 3. B.

$$\mathfrak{T}_{r_0} = \frac{M}{12}a^2$$
 und $\mathfrak{T}_{r} = \frac{M}{12}a^2 + M\frac{a^2}{4} = \frac{M}{8}a^2$

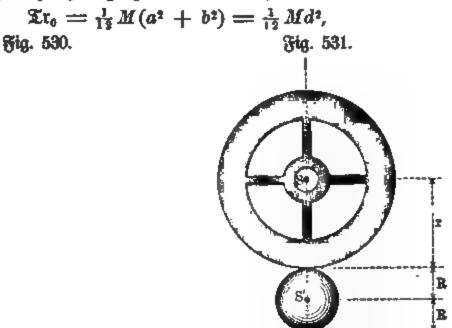
und ferner $s=rac{a}{2}$. Hier ist also

$$l = \frac{\frac{1}{8}Ma^2}{M \cdot \frac{a}{2}} = \frac{2}{8}a$$
 und $l - s = \frac{1}{4}a$.

In Fig. 528 (a. v. S.) ist für die Achsen durch A, \overline{B} , B, \overline{A} , sentsrecht zur Ebene der Zeichnung, die Schwingungsdauer T dieselbe und zwar T=2 v $\sqrt{\frac{2a}{3a}}$.

Da $ho_0=rac{a}{6}\sqrt{3}$ ist, so liesern die Achsen durch C_1 und C_2 , salls $SC_1=SC_2=arrho_0$ ist, das Minimum der Schwingungsdauer, nämlich $T_0=2$ a $\sqrt{rac{a}{3}}\sqrt{3}$.

Für eine rechtedige Platte (vergl. Fig. 529), welche um Achsen senkrecht zu ihrer Ebene schwingt, gilt Folgendes. Man hat



falls man die Diagonale durch d bezeichnet, und ebenso $\varrho_0=\frac{d}{6}\sqrt{3}$. Für eine Achse durch A ist $\operatorname{Tr}=\frac{1}{12}M(a^2+4b^2)$ und $s=\frac{b}{2}$, so daß gilt $l=\frac{\frac{1}{12}M(a^2+4b^2)}{M\cdot\frac{b}{2}}=\frac{a^2+4b^2}{6\,b}\quad\text{und}\quad l-s=\frac{a^3+b^2}{6\,b}.$

Für eine treissormige Platte (vergl. Fig. 530), welche um Achsen senkt zu ihrer Ebene schwingt, gilt Folgendes. Wan hat $\operatorname{Tr}_0 = \frac{1}{2} M r^2$ und ebenso $\varrho_0 = \frac{r}{2} \sqrt{2}$. Für eine Achse durch A ist $\operatorname{Tr} = \frac{3}{2} M r^2$ und s = r, so daß gilt

$$l = \frac{\frac{3}{2}Mr^2}{Mr} = \frac{3}{2}r$$
 und $l - s = \frac{1}{2}r$.

Um Tr_0 durch Versuche zu bestimmen, bestimmt man Tr für eine Achse durch A und erhält $\operatorname{Tr}_0 = \operatorname{Tr} - s^2 M$.

Muß man mit einer Achse durch S arbeiten, weil sich in keinem Punkte A des Körpers eine Achse anbringen läßt, so verbindet man den Körper mit Massen von bekannten Trägheitsmomenten, wie es Fig. 531 zeigt. Bier ift für eine Adfe burch S anzusegen

$$\mathfrak{T} \mathbf{r} = \mathfrak{T} \mathbf{r}_0 + \frac{2}{5} m R^2 + m (R + r)^2,$$

falls man die Masse der hinzugefügten Halfstugel vom Radius R durch m bezeichnet.

Aus der Beobachtung der Schwingungsbauer folgt Tr und daraus durch Rechnung Tr_{o} .

2. Die Biege. Ein Abschnitt einer Augel ober eines Cylinders mag burch einen Anstoß aus seiner Ruhelage auf einer horizontalen Ebene entsfernt werden, so daß er, sich wiegend

ohne zu gleiten, Schwingungen vollführt, wie es Fig. 532 andeutet.

Bezeichnet man für den Schwerspunkt S die Geschwindigkeiten der Bersschiedung und der Drehung bezw. mit [v] und $[\varphi]$, so erhält der augenblicksliche Drehpunkt B durch die Drehung um S die Geschwindigkeit SB. $\varphi = p$. φ und durch die Berschiedung von S die Geschwindigkeit v. Da B für einen Beitpunkt in Ruhe ist, so müssen sich [v] und $[p\varphi]$ für B zerstdren, wie es Fig. 532 für den Hingang (nach rechts) des Körpers zeigt.

Sig. 532.

Hat die ursprüngliche Bertikale MB' gegen ihre Ruhelage einen Ausschlag ε , so ist $p^2 = r^2 + e^2 - 2 re\cos \varepsilon$, so daß $v^2 = \varphi^2(r^2 + e^2 - 2 re\cos \varepsilon)$ ist.

Demnach ist die (attuelle) Energie des Körpers für die Stellung & ge-

$$\frac{1}{2}Mv^2 + \frac{1}{2}\mathfrak{T}r\varphi^2 = \frac{1}{2}\varphi^2[M(r^2 + e^2 - 2re\cos\epsilon) + \mathfrak{T}r].$$

Diese Energie wird zu Rull für ben größten Ausschlag bes Körpers (nach rechts), ber für $\epsilon = \alpha$ eintreten mag, wobei er in dieser Stellung a zur Umkehr kommt.

Die Arbeit, welche zwischen den Stellungen s und a durch die äußeren Kräste geleistet wird, läßt sich leicht berechnen, da die Reaktionen in B bei einer reinen Rollbewegung, wie wir sie voraussezen, keine Arbeit leisten.

Die Höhe bes Schwerpunktes S über der Horizontalen ist für die Stellung ε gegeben als $r-e\cdot\cos\varepsilon$, so daß er von der Stellung ε die zur Stellung α um

$$(r - e \cdot \cos \alpha) - (r - e \cos \varepsilon) = e(\cos \varepsilon - \cos \alpha)$$

fteigt.

Die Arbeit des Gewichtes Mg, welche für Senkungen positiv gerechnet wird, ist also

—
$$Mg(\cos \varepsilon - \cos \alpha)$$
. ϵ ,

während die entsprechende Anderung ber Energie als

Wendet man die

$$0 - \frac{1}{2} \varphi^2 [M(r^2 + e^2 - 2 re \cos \varepsilon) + \mathfrak{T}r]$$

bestimmt ist. Der Vergleich beider Ausdrücke liefert

$$\varphi^{2} = \frac{2 Mg \cdot (\cos \varepsilon - \cos \alpha) \cdot e}{M(r^{2} + e^{2} - 2 r e \cos \varepsilon) + \mathfrak{T}r}$$

und damit auch $v = p \varphi$.

Für $\varepsilon = +\alpha \dots 0 \dots -\alpha$ ist bezw. $\varphi^2 = 0 \dots m^2 \dots 0$, wobei m^2 das Maximum von φ^2 darstellt.

Für kleine Werte von e, welche auch kleine Werte von « nach sich ziehen, ist die Klammer des Nenners darstellbar als

$$r^2 + e^2 - 2 re \left(1 - \frac{\varepsilon^2}{2} + \cdots\right) = (r - e)^2 + re \cdot \varepsilon^2 \dots$$

Hier kann man re. ε^2 gegen $(r-e)^2$ vernachlässigen, während im Zähler die Entwickelung der Klammer $\cos \varepsilon - \cos \alpha$ zu $\frac{1}{2}(\alpha^2 - \varepsilon^2)$ führen würde.

Für kleine Ausschläge gilt also, falls man $\operatorname{Tr} = \varrho^2$. M und

$$\frac{(r-e)^2+\varrho^2}{e}=l$$

sett,

$$\varphi^2 = \frac{2 g}{l} (\cos \varepsilon - \cos \alpha).$$

Diese Gleichung stimmt aber genau überein mit der entsprechenden Gleischung für ein mathematisches Pendel von der Länge 1, dessen Schwingungssbauer

 $T=2\pi\sqrt{\frac{l}{q}}$

ist.

Demgemäß gilt hier

$$T = 2\pi \sqrt{\frac{(r-e)^2+\varrho^2}{e\cdot g}}$$
.

Der ganze Vorgang läßt sich also so auffassen, als wenn ein Pendel von der Länge l um den beweglichen Punkt B seine Schwingungen vollführte.

Damit stimmt auch solgende Betrachtung überein. Gleichung $\iota = \frac{Mo}{\mathfrak{Tr}}$ für B als Drehpunkt an, so gilt

$$\iota = \frac{(Mg) \cdot e \sin \varepsilon}{\mathfrak{Tr} + p^2 \cdot M}$$

Für kleine Ausschläge ist $p^2 \sim (r-e)^2$, so daß

$$\iota = \frac{g \cdot \sin \varepsilon}{l}$$
 oder $j_T = (l \iota) = g \sin \varepsilon$

ist, womit wieder die Formeln des Pendels erreicht sind.

3. Umfallen eines senkrechten Stabes. Ein Stab OA mag in O durch ein Gelenk befestigt sein, wie es Fig. 533 zeigt. Wir wollen seine

≫ X

Bewegung betrachten, wenn er aus der senkrechten Lage des (unsicheren) Gleichgewichtes durch einen kleinen Anstoß zum Umfallen gebracht wird.

Fig. 533.

H

Bezeichnen wir das Trägheitsmoment für die Achse durch O mit Tr, so sind Winkelgeschwindigkeit φ und Winkelbeschleunigung ι für die Stellung α gegeben durch

$$\frac{1}{2} \varphi^2 \mathfrak{T} r - 0 = Gs(1 - \cos \alpha)$$
und durch

$$\iota = \frac{G s \sin \alpha}{\mathfrak{T} r}.$$

Die Reaktionen [H] und [V] von O lassen sich nach dem Principe von d'Alembert bestimmen, gemäß



0

Gemäß den Formeln Nr. $107\,\mathrm{a}$), bei deren Verwendung zu beachten ist, daß die Drehung in Fig. 583 umgekehrt erfolgt, als in Fig. 216 (K_T wechselt die Richtung!), gilt

$$H = -\varphi^2 M \xi + \iota M \eta$$

$$-G + V = -\varphi^2 M \eta - \iota M \xi.$$

Dabei ist $\xi = s \sin \alpha$ und $\eta = s \cos \alpha$, so daß

$$H = -\frac{2 Gs(1 - \cos \alpha)}{\mathfrak{Tr}} \cdot M \cdot s \sin \alpha + \frac{Gs \sin \alpha}{\mathfrak{Tr}} \cdot M \cdot s \cos \alpha$$
$$= \frac{Gs^2 M}{\mathfrak{Tr}} \sin \alpha (3 \cos \alpha - 2)$$

und

$$V = G - \frac{2 G s (1 - \cos \alpha)}{\mathfrak{T} r} \cdot M \cdot s \cos \alpha - \frac{G s \sin \alpha}{\mathfrak{T} r} \cdot M \cdot s \sin \alpha$$

$$= G \left[1 - \frac{s^2 M}{\mathfrak{T} r} (1 + 2 \cos \alpha - 3 \cos^2 \alpha) \right]$$

ist.

Für $\alpha=0$ ist H=0, ebenso ist H=0 sür $\cos\alpha=\frac{2}{3}$, d. h. sür $\alpha\sim48^{\circ}10'$. Für $\alpha>\bar{\alpha}$ wird H negativ, so daß [H] von $\alpha=0^{\circ}\dots\bar{\alpha}$ nach rechts und dann nach links gerichtet ist; sür $\alpha=90^{\circ}$, d. h. beim Ausschlagen, ist $H=-\frac{2\ Gs^2M}{\Im r}$.

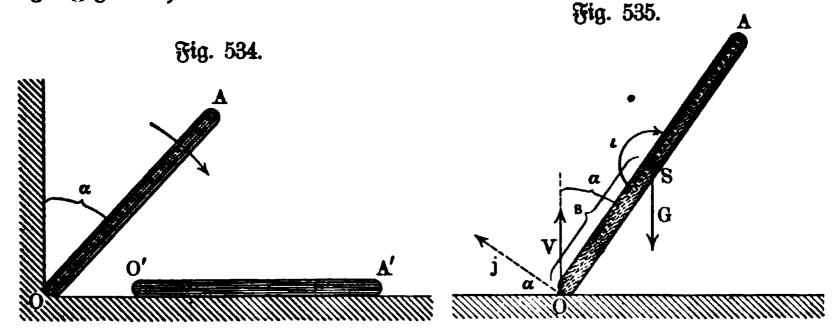
Im Gebiete $\alpha=0^{\rm o}$... $\bar{\alpha}$ hat H sein Maximum für $\alpha\sim26^{\rm o}\,40'$ vom Werte $0.31\cdot\frac{G\,s^2\,M}{{\rm Tr}}\cdot$

Für $\alpha=0$ ist V=G, für $\alpha\sim70^{\circ}30'$ hat V ein Minimum vom Werte $G\left(1-\frac{4}{3}\frac{s^2M}{\mathfrak{Tr}}\right)$. Für $\alpha=90^{\circ}$ ist $V=G\left(1-\frac{s^2M}{\mathfrak{Tr}}\right)$.

Diese Betrachtungen lassen sich ohne weiteres auf eine Platte übertragen, welche um eine horizontale Achse umschlägt.

Ist der Stab bei O nicht durch ein Gelent befestigt, sondern in einer Ede ausgestellt, so gilt obige Betrachtung dis zu dem Punkte, wo H negativ wird $(\bar{\alpha} \sim 48^{\circ}\,10')$ bezw. wegen des Austretens der Reibung noch etwas weiter, während dann ein Ausgleiten des unteren Stabendes nach rechts hin erfolgt, so daß der Stab etwa in der Lage O'A' zur Ruhe kommt.

Fällt endlich die seitlich stützende Wand der Fig. 534 fort, so ist die Verschiebung des Schwerpunktes und die Drehung um diesen zu behandeln (vergl. Fig. 535).



Bezeichnet man das Trägheitsmoment für den Schwerpunkt durch Tr_0 , so gilt für die Verschiebung

$$j_{s} = \frac{G - V}{M}$$

und für die Drehung

$$\iota = \frac{Vs\sin\alpha}{\mathfrak{T}_{r_0}}.$$

Da das Stangenende O sich wagerecht bewegt, so muß für dieses die (senkrechte) Beschleunigung der Verschiebung durch die Drehung aufgehoben werden. Die Drehung um S giebt O die Beschleunigung $j=s\iota=\frac{Vs^2\sin\alpha}{\mathfrak{Tr}_0}$,

deren Vertikalkomponente $\frac{Vs^2sin^2\alpha}{\mathfrak{T}r_0}$ ist. Man hat also

$$\frac{G-V}{M}=\frac{Vs^2sin^2\alpha}{\mathfrak{T}r_0},$$

d. h.

$$V = \frac{G}{1 + \frac{Ms^2 \sin^2 \alpha}{\mathfrak{T}_0}}$$

und damit ist j_S und ι endgültig bestimmt.

Da die lebendige Kraft der Stange bei Beginn der Bewegung den Wert Kull hat, so erzeugt die Arbeit $Gs(1-\cos\alpha)$ die lebendige Kraft für die Stellung α . Ist v die Geschwindigkeit von S und φ die Winkelgeschwindigkeit um S, so gilt also

$$Gs(1 - \cos \alpha) = \frac{1}{2}Mv^2 + \frac{1}{2}\mathfrak{T}r_0\varphi^2.$$

Für das Stangenende O gilt wieder $v = s \varphi \sin \alpha$, so daß damit v und φ bestimmt ist.

Die wagerechte Geschwindigkeit von O ist im besondern s $\varphi \cos \alpha$.

4. Beschlennigte Schraubenbewegung. Eine (belastete) Schraube mag bei senkrechter Achsenstellung durch ihr eigenes Gewicht Q = Mg sinken.

Um eine gleichförmige Abwärtsbewegung der Schraube zu erreichen, müßte ein hemmendes Moment vom Werte (vergl. S. 574)

$$Mo = Qr_m tg(\alpha_m - \varphi)$$

angebracht werden, wobei sich r_m und α_m wieder auf die mittlere Schraubenslinie beziehen.

Fällt dieses Moment fort, so wird so viel aktuelle Energie (lebendige Kraft) erzeugt, als der Arbeit dieses hemmenden Momentes entsprechen würde.

Da die volle Umdrehung, für welche die Arbeit $Mo.2\pi$ in Rechnung zu stellen ist, der Senkung um eine Ganghöhe h entspricht, so entspricht einer Senkung s die Arbeit

$$\frac{s}{h} \cdot 2\pi \cdot Qr_m tg(\alpha_m - \varphi),$$

wosür man auch, mit Rücksicht auf $h=2\pi r_m$. $tg\,\alpha_m$, schreiben kann

$$Qs\frac{tg(a_m-\varphi)}{tg\alpha_m}.$$

Ist v die Geschwindigkeit in Richtung der Schraubenachse, welche der Senkung s entspricht, so ist die zugehörige Winkelgeschwindigkeit φ bestimmt durch

so daß

$$r_m\varphi:v=2\pi r_m:h,$$

$$\varphi = 2 \pi \cdot \frac{v}{h}$$
 ift.

Demgemäß ist die gesamte aktuelle Energie, welche der Senkung s entsspricht

$$\frac{1}{2}Mv^2 + \frac{1}{2}\varphi^2\mathfrak{T}r = \frac{1}{2}v^2\Big(M + \frac{4\pi^2}{h^2}\cdot\mathfrak{T}r\Big).$$

Da $h=2\pi r_m$. $tg\,\alpha_m$ ist, so ist $\frac{4\,\pi^2}{h^2}=\frac{1}{r_m^2\cdot tg^2\alpha_m}$ und man hat, falls man die Masse M für den Abstand r_m reduziert, so daß $\operatorname{Tr}=r_m^2\cdot \mu$ wird, für diese Energie den Wert

$$\frac{1}{2}v^2(M + \mu \cdot \cot^2\alpha_m).$$

Demgemäß gilt die Gleichung

$$Qs\frac{tg(\alpha_m-\varphi)}{tg\alpha_m}=\frac{1}{2}v^2(M+\mu\cdot \cot^2\alpha_m).$$

Bei gleichmäßiger Beschleunigung ist $\frac{1}{2}v^2=j$. s, so daß sich dann

$$j = \frac{Q \cdot tg(\alpha_m - \varphi) \cdot tg \alpha_m}{M \cdot tg^2 \alpha_m + \mu} = g \cdot \frac{tg(\alpha_m - \varphi) \cdot tg \alpha_m}{tg^2 \alpha_m + \frac{\mu}{M}}$$

ergiebt.

Aus dem Werte von j folgt dann für einen bestimmten Wert von s $v^2 = 2j \cdot s$.

Ist die Schraube an ihren Hebelarmen mit großen Schwungkugeln verssehen, wie es z. B. bei Prägewerken der Fall ist, so ist M. $tg^2 \alpha$ im Nenner gegen μ zu vernachlässigen, bezw. $tg^2 \alpha_m$ gegen $\frac{\mu}{M}$; man hat hier

$$j \sim g \cdot \frac{M}{\mu} \cdot tg(\alpha_m - \varphi) \cdot tg \alpha_m$$
.

If g. B. $M=300\,\mathrm{kg}$, und kommen dabei $200\,\mathrm{kg}$ auf die Schwungstugeln im Abstande $20\,r_m$, so ist $\mu\sim270\,M$, also $\frac{\mu}{M}\sim270$, während $tg^2\alpha_m$ für $\alpha_m=11^{\circ}20'$ den Wert 0.04 hat.

Wird die Schraube nicht lediglich sich selbst überlassen, sondern außerdem im Sinne einer Senkung durch äußere Kräfte gedreht, deren Arbeit A ist, so gilt

$$\mathfrak{A} + Qs \frac{tg(\alpha_m - \varphi)}{tg \alpha_m} = \frac{1}{2} v^2 (M + \mu \cdot \cot^2 \alpha_m).$$

Handelt es sich um die verzögerte Bewegung, welche eine sich aufswärts bewegende Schraube durch ihr Gewicht erleidet, so ist in den entswickelten Formeln (A = 0) das Vorzeichen von op umzukehren.

Das Arbeitsvermögen einer reibungslos ($\varphi=0$) sinkenden Schraube ist ($\frac{1}{2}v^2=j$. s) proportional zu j, d. h. also für

$$j \sim g \cdot \frac{M}{\mu} \cdot tg(\alpha_m - \varphi) \cdot tg \alpha_m$$

proportional zu $tg \, \alpha_m$. $tg \, \alpha_m$. Demnach ist der Wirkungsgrad hier

$$\eta = \frac{tg(\alpha_m - \varphi) \cdot tg \alpha_m}{tg \alpha_m \cdot tg \alpha_m} = \frac{tg(\alpha_m - \varphi)}{tg \alpha_m}.$$

Für das Heben um die Strecke s ist der Wirkungsgrad in gleicher Weise

$$\eta' = \frac{tg \, \alpha_m}{tg \, (\alpha_m + \varphi)}$$

Demnach ist für einen ganzen Hub (Heben und Senken) als Wirskungsgrad

$$\eta \cdot \eta' = \frac{tg(\alpha_m - \varphi)}{tg(\alpha_m + \varphi)}$$

in Rechnung zu stellen.

Für $\alpha=11^{\circ}20'$ und $\varphi=5^{\circ}40'$ ist $tg\,\alpha=0.2$ und $tg\,\varphi=0.01$ und η . $\eta'\sim\frac{1}{3}$.

5. Beschleunigte Rollenbewegung. Es sind die Bewegungsverhältnisse gemäß Fig. 536 zu untersuchen.

Das Gewicht Q an der losen Rolle EG soll durch das Gewicht P gehoben werden. Der Halbmesser der losen Rolle sei r_1 , das Gewicht derselben mit Zubehör V, das Trägheitsmoment Tr_1 . Der Halbmesser der sesten Kolle AB sei r_2 , das Gewicht derselben mit Zubehör W, das Trägheitsmoment Tr_2 .

Für die parallele Lage der Seilenden haben wir, unter j die Beschleunisgung des sinkenden Gewichtes P, unter j_1 die Beschleunigung der aussteigens den Last Q+V, unter j_2 die Beschleunigung der drehenden Bewegung am Umfange der losen Rolle verstanden,

$$j = j_1 + j_2$$
. Sig. 536.

Setzen wir voraus, daß das Seil auf dem Umfange der losen Rolle nicht gleiten kann, so ist die Beschleunigung j₂ der drehenden Bewegung gleich der Beschleunigung j₁ der fortschreitenden, daher

$$i = 2i$$

Es sei S_1 die Spannung des Seilendes BE, so hat man

1)
$$j = \frac{P - S_1}{\frac{P}{g} + \frac{\Re r_0}{r_2^2}} = 2j_1.$$

Bezeichnen wir die Spannung des Seilendes GH mit S_t , so ist die Besschleunigung 1 der drehenden Bewegung in der Entsernung 1 vom Mittelpunkt der losen Rolle gleich

Sieraus folgt
$$\frac{(S_1 - S_2) r_1}{\mathfrak{T} r_1}.$$
2) $j_1 = \frac{(S_1 - S_2) r_1^2}{\mathfrak{T} r_1} = \frac{j}{2}.$

Andererseits ist für die aufsteigende Bewegung der Last Q+V dieselbe Beschleunigung j_1 , gleich

3)
$$j_1 = \frac{S_1 + S_2 - (Q + V)}{\frac{Q + V}{g}} = \frac{j}{2}$$
.

Aus diesen Gleichungen läßt sich j, j_1 , S_1 und S_2 entwickeln. Auß 2) und 3) erhalten wir

$$2 S_1 = j_1 \frac{\mathfrak{X} r_1}{r_1^{\frac{2}{3}}} + j_1 \frac{Q + V}{g} + Q + V,$$
und auß 1)
$$2 S_1 = 2 \left[P - 2 j_1 \left(\frac{P}{g} + \frac{\mathfrak{X} r_2}{r_2^{\frac{2}{3}}} \right) \right],$$

beshalb ist

ļ

$$j_{1}\left(\frac{\mathfrak{X}\mathfrak{r}_{1}}{r_{1}^{2}} + \frac{Q+V}{g} + 4\frac{P}{g} + 4\frac{\mathfrak{X}\mathfrak{r}_{2}}{r_{2}^{2}}\right) = 2P - (Q+V),$$

$$j_{1} = \frac{1}{2} \frac{P - \frac{Q+V}{2}}{\frac{P}{g} + \frac{Q+V}{4g} + \frac{\mathfrak{X}\mathfrak{r}_{3}}{r_{1}^{2}} + \frac{\mathfrak{X}\mathfrak{r}_{1}}{4r_{1}^{2}}} = \frac{j}{2},$$

$$S_{1} = P - j\left(\frac{P}{g} + \frac{\mathfrak{X}\mathfrak{r}_{3}}{r_{2}^{2}}\right),$$

$$S_{2} = \frac{Q+V}{2} + \frac{j_{1}}{2}\left(\frac{Q+V}{g} - \frac{\mathfrak{X}\mathfrak{r}_{1}}{r_{1}^{2}}\right).$$

Die übrigen Größen v und s der Bewegung für die Zeit t ergeben sich nun auf leichte Weise.

Statt bessen kann man auch folgendermaßen schließen.

Bezeichnen wir den in der Zeit t von dem Gewichte P zurückgelegten Weg mit s_1 , den in derselben Zeit von Q+V zurückgelegten Weg mit s_2 , so ist

$$s_1 = \frac{1}{2} j t^2$$
 und $s_2 = \frac{1}{2} j_1 t^2$.

Hieraus folgt, da $j=2j_1$ ist,

$$s_1 = 2 s_2$$
.

Die von dem Gewicht P verrichtete Arbeitsgröße während der Zeit t ist Ps_1 , die von der Last Q+V verrichtete dagegen

$$-(Q+V)s_2$$
 ober $-\frac{1}{2}(Q+V)s_1$.

Die Arbeit A der ganzen Maschine ist daher

$$\mathfrak{A} = \left(P - \frac{Q + V}{2}\right)s_1.$$

Andererseits ergiebt sich die Energie der ganzen Maschine nach Formel Nr. 237)

$$E = \frac{1}{9}Mv^2 + \frac{1}{9}\varphi^2\mathfrak{T}r.$$

Der erste Summand bestimmt die Arbeit des sinkenden Gewichtes P und die der aufsteigenden Last Q+V, der zweite Summand dagegen die Arbeit der drehenden festen und losen Rolle.

Das Gewicht P habe die Geschwindigkeit v_2 , so ist, unter φ_2 die Winkelsgeschwindigkeit der sessen Kolle verstanden,

$$v_2 = r_2 \varphi_2$$
.

Ebenso ist für die Geschwindigkeit v_1 der Last Q+V und die Winkelsgeschwindigkeit φ_1 der losen Rolle

$$v_1 = r_1 \varphi_1$$
.

Außerdem aber haben wir, da $v_2 = jt$, $v_1 = j_1t$ und $j_1 = \frac{j}{2}$ ist,

$$v_2 = 2 v_1.$$

Nach diesen Vorbemerkungen ist, falls man v statt v2 einführt

b. h.
$$E = \frac{1}{2} \frac{P}{g} v^2 + \frac{1}{2} \frac{Q + V}{g} \left(\frac{v}{2}\right)^2 + \frac{1}{2} \left(\frac{v}{r_2}\right)^2 \mathfrak{T} \mathfrak{r}_2 + \frac{1}{2} \left(\frac{v}{2r_1}\right)^2 \mathfrak{T} \mathfrak{r}_1,$$

$$E = \frac{1}{2} v^2 \left(\frac{P}{g} + \frac{Q + V}{4g} + \frac{\mathfrak{T} \mathfrak{r}_2}{r_2^2} + \frac{\mathfrak{T} \mathfrak{r}_1}{4r_1^2}\right).$$

Setzen wir die beiden entwickelten Werte A und E einander gleich, so entsteht

$$\left(P - \frac{Q + V}{2}\right) s_1 = \frac{1}{2} v^2 \left(\frac{P}{g} + \frac{Q + V}{4 g} + \frac{\mathfrak{T}_2}{r_2^2} + \frac{\mathfrak{T}_1}{4 r_1^2}\right).$$

Für $s_1 = \frac{v^2}{2j}$ ergiebt sich die Beschleunigung des sinkenden Gewichtes P

$$j = rac{P - rac{Q + V}{2}}{rac{P}{g} + rac{Q + V}{4 g} + rac{\mathfrak{T} \mathfrak{r}_2}{r_2^2} + rac{\mathfrak{T} \mathfrak{r}_1}{4 r_1^2}} = 2 j_1.$$

6. Bewegung eines Eisenbahnzuges unter Berücksichtigung des Luftwiderstandes. Da der Luftwiderstand (vergl. S. 164) dem Quadrate der Geschwindigkeit proportional ist, so hat die Beschleunigung bei der Wirkung einer konstanten Kraft die Formel

$$j=k(b^2-v^2),$$

wobei k eine positive Konstante bezeichnet, während die der konstanten Kraft entsprechende Beschleunigung kb^2 positiv oder negativ sein kann.

Bezeichnet man mit v_1 und v_2 bezw. die Anfangs= und Endgeschwindig= keit für ein bestimmtes Bahnelement σ , das in der Zeit τ durchlaufen wird, so gilt für die Bewegung auf diesem in zweiter Annäherung

$$\frac{1}{2}v_2^2 - \frac{1}{2}v_1^2 = j$$
 . G.

Dabei ist j mit der Mittelgeschwindigkeit $v=rac{v_1+v_2}{2}$ gemäß der Formel $j=k(b^2-v^2)$ zu bilden, so daß sich

$$2 \, \sigma k = \frac{v_2^2 - v_1^2}{b^2 - v^2}$$

ergiebt.

Bilbet man den Ausdruck

$$1+2\,\sigma k=\frac{v_2^2-v_1^2+b^2-v^2}{b^2-v^2},$$

so ist in diesem mit Rücksicht auf einen nachfolgenden Grenzübergang v durch v_1 oder durch v_2 ersetzbar. Für $v=v_2$ ergiebt sich

$$1 + 2\sigma k = \frac{b^2 - v_1^2}{b^2 - v_2^2}.$$

Wendet man die gewonnene Formel auf n einander folgende gleiche Bahnelemente σ an, denen die Anfangs = bezw. Endgeschwindigkeiten v_0 , v_1 , v_2 , ... v_{n-1} , v entsprechen, so ergiebt sich bei Multiplikation der n so entstehenden Gleichungen

$$(1 + 2 \sigma k)^n = \frac{b^2 - v_0^2}{b^2 - v^2}.$$

Für $n\sigma = s$ ergiebt sich demnach, falls $\lim n = \infty$ gesetzt wird,

1)
$$e^{2sk} = \frac{b^2 - v_0^2}{b^2 - v^2}$$
 und $v = \sqrt{b^2 - (b^2 - v_0^2)e^{-2sk}}$.

Hiermit ist eine endliche Wegstrecke s zu der entsprechenden Anfangssgeschwindigkeit v_0 und zu der entsprechenden Endgeschwindigkeit v in Beziehung gesetzt.

Für ein Zeitelement r gilt ferner in zweiter Annäherung

$$v_2 - v_1 = j\tau = k(b^2 - v^2)\tau$$

falls v_1 und v_2 wiederum bezw. Anfangs = und Endgeschwindigkeit für das Element bezeichnen und $v=\frac{v_1+v_2}{2}$ ist.

Man hat also für $v_2 - v_1 = \delta$

$$k\tau = \frac{\delta}{b^2 - v^2}$$

und demnach auch $2bk\tau = \frac{2b\delta}{b^2 - v^2}$

Um auch hier auf Produkte zu kommen, führen wir folgende Umformung ein. Nach der Formel

$$\frac{1+a}{1-a} = \frac{(1+a)(1+a)}{(1-a)(1+a)} = \frac{1+2a+a^2}{1-a^2}$$

gilt für kleine Werte von a in erster Annäherung

$$\frac{1+a}{1-a}\sim 1+2a.$$

Für $a=bk\tau=\frac{b\delta}{h^2-v^2}$ gilt also in erster Annäherung

$$1 + 2bk\tau = 1 + \frac{2b\delta}{b^2 - v^2} = \frac{1 + \frac{b\delta}{b^2 - v^2}}{1 - \frac{b\delta}{b^2 - v^2}} = \frac{b^2 - v^2 + b\delta}{b^2 - v^2 - b\delta}$$
$$= \frac{(b + \frac{1}{2}\delta)^2 - v^2 - \frac{1}{4}\delta^2}{(b - \frac{1}{2}\delta) - v^2 - \frac{1}{4}\delta^2} \sim \frac{(b + \frac{1}{2}\delta)^2 - v^2}{(b - \frac{1}{2}\delta) - v^2}$$

$$\frac{-\frac{1}{(b-\frac{1}{2}\delta)-v^2-\frac{1}{4}\delta^2}}{(b+v+\frac{1}{2}\delta)(b-v+\frac{1}{2}\delta)} \sim \frac{(b-\frac{1}{2}\delta)-v^2}{(b+v_2)(b-v_1)} \sim \frac{(b+v+\frac{1}{2}\delta)(b-v+\frac{1}{2}\delta)}{(b+v-\frac{1}{2}\delta)(b-v-\frac{1}{2}\delta)} \sim \frac{(b+v_2)(b-v_1)}{(b+v_1)(b-v_2)}.$$

Man hat also in erster Annäherung

$$1+2bk\tau=\frac{b-v_1}{b+v_1}\cdot\frac{b+v_2}{b-v_2}$$

Wendet man die gewonnene Gleichung auf n einander folgende Zeitselemente von der gleichen Dauer r an, für welche die Anfangs = und Endsgeschwindigkeiten als $v_0, v_1, v_2, \ldots v_{n-1}, v$ gegeben sind, so folgt bei Wultiplikation der n Gleichungen

$$(1+2bk\tau)^n=\frac{b-v_0}{b+v_0}\cdot\frac{b+v}{b-v}$$

Für t=nr gilt also, falls $lim n=\infty$ gesetzt wird,

$$e^{2bkt} = \frac{b-v_0}{b+v_0} \cdot \frac{b+v}{b-v},$$

woraus

2)
$$t = \frac{1}{2bk} \cdot \log nat \left[\frac{b-v_0}{b+v_0} \cdot \frac{b+v}{b-v} \right]$$

und

3)
$$v = b \frac{(b + v_0) e^{2bkt} - (b - v_0)}{(b + v_0) e^{2bkt} + (b - v_0)}$$

folgt.

Aus 1) und 3) ergiebt sich bei Elimination von v

4)
$$s = \frac{1}{k} \log nat \left[\frac{(b + v_0)e^{bkt} + (b - v_0)e^{-bkt}}{2b} \right]$$

Die entwickelten Gleichungen sind ohne weiteres brauchbar, falls be eine positive Größe ist.

Ist b^2 eine negative Größe, so muß zunächst Gleichung 2) umgeformt werden. Setzt man in diesem Falle b=ib', so ist

$$e^{2b'kti} = \frac{b'i - v_0}{b'i + v_0} \cdot \frac{b'i + v}{b'i - v} = \frac{(b'^2 + vv_0) + ib'(v_0 - v)}{(b'^2 + vv_0) - ib'(v_0 - v)}.$$

Sept man
$$\frac{b'(v_0-v)}{b'^2+vv_0}=tg\,\lambda$$
, so ist also $e^{2\,b'kti}=rac{1\,+\,itg\,\lambda}{1\,-\,itg\,\lambda}$

und

$$b'kt = \frac{1}{2i} \log nat \frac{1 + itg \lambda}{1 - itg \lambda}.$$

Durch Division der bekannten Formeln

 $e^{+i\cdot arc\,\lambda}=\cos\lambda+i\sin\lambda$ und $e^{-i\cdot arc\,\lambda}=\cos\lambda-i\sin\lambda$ erhält man

$$e^{2i \cdot arc \lambda} = \frac{1 + i tg \lambda}{1 - i tg \lambda}$$

und

$$arc \lambda = \frac{1}{2i} \log nat \frac{1 + itg \lambda}{1 - itg \lambda}.$$

Demnach ist

$$b'kt = arc \lambda$$
,

falls $tg \lambda = \frac{b'(v_0 - v)}{b'^2 + vv_0}$ geset wird.

Giebt man $tg \lambda$ die Form $\dfrac{\dfrac{1}{b'} \cdot v_0 - \dfrac{1}{b'} \cdot v}{1 + \dfrac{1}{b'} \cdot v_0 \cdot \dfrac{1}{b'} \cdot v}$, so sieht man, daß

 $\lambda=\lambda_1-\lambda_2$ gesetzt werden darf, salls $tg\,\lambda_1=rac{v_0}{b'}$ und $tg\,\lambda_2=rac{v}{b'}$ ist. Man hat also jetzt

$$t = \frac{1}{h'k} \left[arc \, \lambda_1 - arc \, \lambda_2 \right]$$

oder

2')
$$t = \frac{1}{b'k} \left[arc tg \frac{v_0}{b'} - arc tg \frac{v}{b'} \right]$$

und

3')
$$arctg \frac{v}{b'} = arctg \frac{v_0}{b'} - b'kt$$

ober

$$v = b' \cdot \frac{v_0 - b' tg(b'kt)}{b' + v_0 tg(b'kt)}.$$

In Gleichung 4) geht der Zähler der rechten Seite für b=ib' über in $b'i(e^{ib'kt}+e^{-ib'kt})+v_o(e^{ib'kt}-e^{-ib'kt}),$

b. h. in $2b'i\cos(b'kt) + 2v_0i\sin(b'kt)$, so daß sich ergiebt

4')
$$s = \frac{1}{k} \log nat \cdot \left[\cos (b'kt) + \frac{v_0}{b'} \sin (b'kt) \right]$$
.

Wir betrachten nun zunächst einen Block vom Gewichte G, der auf einer schiefen Ebene von der Neigung α unter der Einwirkung einer Kraft [P], welche der Ebene parallel ist, abwärts gleitet.

Die treibende Kraft ist hier $P + G(\sin \alpha - f\cos \alpha)$, falls man den Reibungskoeffizienten mit f bezeichnet, die Beschleunigung also, unter Berücksschitigung des Lustwiderstandes,

$$g \cdot \frac{P + G(\sin \alpha - f\cos \alpha)}{G} - kv^2$$

Hier ist also

$$b^{2} = \frac{g}{k} \cdot \frac{P + G(\sin \alpha - f \cos \alpha)}{G} = \frac{g}{k} \left(\frac{P}{G} + \frac{\sin (\alpha - \varphi)}{\cos \varphi} \right).$$

Erfahrungsmäßig ist in diesem Falle der Luftwiderstand bestimmt durch den Ansag

$$\frac{\gamma}{q} \cdot F \cdot v^2$$
,

falls γ das Gewicht von 1 cbm Luft (im Mittel 1,24 kg bei 10°C.) und F die widerstehende Fläche bezeichnet.

Demgemäß ist die entsprechende Beschleunigung für eine Masse vom Geswichte G

$$\frac{\gamma \cdot F}{G} \cdot v^2$$

so daß
$$k = \frac{\gamma \cdot F}{G}$$
 zu setzen ist.

Als widerstehende Fläche F ist bei ruhiger Luft die Projektion der Vordersläche des bewegten Körpers auf eine Ebene, senkrecht zur Richtung der Bewegung, zu nehmen, falls der Körper eine relativ geringe Längenausdehnung hat. Ist letzteres nicht der Fall, wie z. B. bei Eisenbahnzügen, so hat man auch andere Querschnitte des Körpers zu berücksichtigen.

Man rechnet z. B. bei Eisenbahnzügen nach Frank (Hannover) auf Lokomotive und Tender $7\,\mathrm{qm}$, auf den folgenden Wagen $1,7\,\mathrm{qm}$ und dann für jeden weiteren Wagen $0,5\,\mathrm{qm}$, um F zu bilden.

Man hat also für die Rechnung allgemein im Falle des gleitenden Blockes

$$k = \frac{\gamma \cdot F}{G}$$
 und $b^2 = \frac{g}{\gamma F} \left(P + \frac{G \sin{(\alpha - \varphi)}}{\cos{\varphi}} \right)$.

Habern, so hat man wieder (vergl. S. 730) die Masse m_1 der rollenden Teile (Räder und auch Achsen) und die Masse m_2 der übrigen Teile des Fuhrwerkes voneinander zu unterscheiden.

Führt man auch die Gleichgewichtsneigung α_0 wieder ein, so ist hier (vergl. S. 781)

$$j = \frac{P + (m_1 + m_2) g(\alpha - \alpha_0) - \frac{\gamma}{g} \cdot F \cdot v^2}{m_1 + m_2 + \mu},$$

falls wieder μ die Masse des materiellen Punktes bezeichnet, welche die rollenden Teile im Abstande des Radhalbmessers R vom Mittelpunkte der Drehung ersett.

Man hat also

$$b^2 = g \cdot \frac{P + (m_1 + m_2) g (\alpha - \alpha_0)}{\gamma \cdot F}$$
 und $k = \frac{\gamma \cdot F}{g (m_1 + m_2 + \mu)}$

Wird P zum Bremsen benutzt, so ist es natürlich negativ in Rechnung zu stellen, und zwar als -f. N für N als Normaldruck.

Für P=0 und j=0 und v=c ergiebt sich $\overline{\alpha}_0=\alpha_0+\frac{\gamma}{g}\frac{F\cdot c^2}{(m_1+m_2)g'}$ und zwar bedeutet $\overline{\alpha}_0$ dann die Gleichgewichtsneigung unter Berücksichtigung des Lustwiderstandes, so daß $\overline{\alpha}_0(m_1+m_2)g$ die Zugkraft bei der Gesschwindigkeit c für die Horizontalebene ist (vergl. S. 617).

If für einen $\operatorname{Bug}(m_1+m_2)g=167t$ und $\mu g=14t$ und $F=11,7\,\mathrm{qm}$, so ist für $\alpha_0=0{,}0025$

$$\bar{\alpha}_0 = 0.0025 + \frac{1.24}{9.81} \cdot \frac{11.7 \cdot c^2}{167000}$$

Für c=20 ergiebt sich z. B. $\bar{\alpha}_0=0{,}0025+0{,}0035$, d. h. durch den Luftwiderstand wächst die erforderliche Zugkraft auf horizontaler Bahn bei einem Gewichte G von $0{,}0025$. G auf $0{,}0060$. G.

Für den betrachteten Zug ist für kg als Einheit

$$k = \frac{1.24 \cdot 11.7}{181\,000} = 0.000\,080\,2$$
 und $b^2 = 9.81 \cdot \frac{P + 167\,000\,(\alpha - \alpha_0)}{1.24 \cdot 11.7}$.

Für eine Bremskraft P=-12t ist bei horizontaler Bahn ($\alpha=0$) $b^2=-8396,5$, so daß die zweite Gruppe von Formeln benutzt werden muß (b'=91,63).

Für $v_0 = 20$ und v = 0 ergiebt z. B. Gleichung 2')

$$t = 136,1 \cdot arc \cdot (12^{\circ}19') = 29,3''$$

als die zum Bremsen notwendige Zeit.

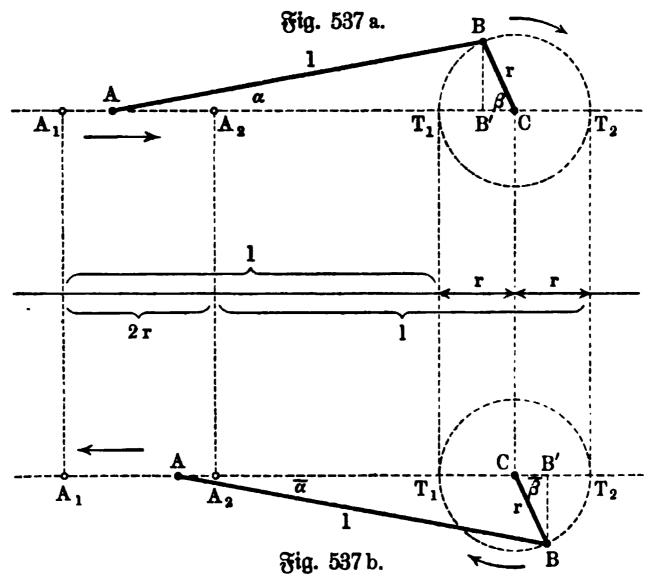
Aus Gleichung 1) folgt $s=291\,\mathrm{m}$ als zugehörige Strecke, dasselbe Ergebnis giebt Gleichung 4') für t=29.3''.

Für eine Neigung $\alpha = 1:200$ ist $b^2 = -7831,5$ bei P = -12t. Hier ist die Bremszeit t = 31,3'' und die Bremsstrecke s = 311 m.

Vergleicht man diese Jahlen mit den Jahlen, die man bei Vernach- lässigung des Lustwiderstandes (k=0) sindet, wobei man eine gewöhnliche gleichmäßig=geänderte Bewegung vor sich hat, so zeigt sich, daß die Bremszeiten nur um Zehntel von Setunden, die Bremsstrecken um weniger als $10 \, \mathrm{m}$ verändert werden.

Während also der Luftwiderstand für die Größe der aufgewendeten Zugstraft von erheblicher Bedeutung ist, kann er bei Betrachtung der Brems-wirkung vernachlässigt werden.

7. Das Kurbelgetriebe nehft Schwungrad. Das in Fig. 124 dars gestellte Getriebe wird durch die Fig. 537 a und 537 b genauer erläutert. T_1 und T_2 bezeichnen die beiden toten Punkte des Kurbelkreises (B) und A_1 und A_2 die zugehörigen äußersten Stellungen des Kreuzkopses (A), dessen Hinspersen



gange die Bahn A_1A_2 und dessen Rückgange die Bahn A_2A_1 entspricht, so daß $A_1C=l+r$, $A_2C=l-r$ und $A_1A_2=2r$ ist.

Die Schwingung von A auf seiner Bahn ist für den Hingang (Fig. 537a) bestimmt durch

$$A_1A = A_1C - AC = (l+r) - (l\cos\alpha + r\cos\beta)$$

= $r(1-\cos\beta) + l(1-\cos\alpha)$.

Für den Hergang gilt (vergl. Fig. 537 b)

$$A_{2}A = CA - CA_{2} = (l\cos\overline{\alpha} - r\cos\overline{\beta}) - (l-r)$$

$$= r(1 - \cos\overline{\beta}) - l(1 - \cos\overline{\alpha}).$$

Dabei sind die Stellungswinkel β und $\overline{\beta}$ der Kurbel von den Totpunktslagen T_1 und T_2 aus im Sinne der Bewegung zu rechnen, von 0° bis 180° .

Durch β und $\overline{\beta}$ werden α und $\overline{\alpha}$ bestimmt mit Hülse der für Fig. 537 a und 537 b übereinstimmenden Gleichungen

$$BB'=l\sinlpha=r\sineta$$
 and $BB'=l\sinarlpha=r\sinareta$, so daß $\sinlpha=rac{r}{l}\sineta$ and $\sinarlpha=rac{r}{l}\sinareta$ ist.

Da bei Konstruktionen in der Regel $l \ge 5r$ ist, so liegt $\sin \alpha$ jedenfalls in der Regel, entsprechend $\beta = 0 \dots 90^{\circ} \dots 180^{\circ}$, in den Grenzen $0 \dots \frac{1}{5} \dots 0$ und α selbst in den Grenzen $0^{\circ} \dots 11^{\circ} 30' \dots 0^{\circ}$, denen sür $\cos \alpha$ die Grenzen $1 \dots 0,9799 \dots 1$ entsprechen. Dasselbe gilt sür $\overline{\alpha}$.

In erster Annäherung darf man also $1-\cos\alpha=0$ und $1-\cos\bar\alpha=0$ segen, so daß dann

$$A_1A = r(1 - \cos \beta)$$
 und $A_2A = r(1 - \cos \overline{\beta})$

ist. Nimmt man in diesem Falle die Mitte M von A_1A_2 zum Nullpunkte der Bewegung, so ist für den Hingang $AM=-r\cos\beta$ und für den Hergang

 $AM = + r \cos \beta$; für $\beta = 180^{\circ} + \bar{\beta}$ geht die Formel für den Hergang über in $AM = -r \cos \beta$, so daß die ganze Bewegung für $\beta = 0...360^{\circ}$ durch die Formel

$$AM = -r \cos \beta$$

dargestellt wird.

Bei dieser An=
näherung vollführt A
eine harmonische Schwin=
gung zwischen A1 und
A2, welche genau über=
einstimmt mit der Be=
wegung der Projektion
B' von B auf AC. Bergl.
S. 172.

Diese Bewegung würde thatsächlich genau Fig. 538.

eintreten, wenn die Kolbenstange l unendlich=lang und also BA//CA wäre.

In zweiter Annäherung ist $1-\cos\alpha=\frac{1}{2}arc^2\alpha$ und $arc\alpha=\sin\alpha=\frac{r}{l}\sin\beta$, so daß $1-\cos\alpha=\frac{1}{2}\frac{r^2}{l^2}\sin^2\beta$ zu setzen ist; Entsprechendes gilt für $\bar{\alpha}$.

Die Schwingung von A zwischen A_1 und A_2 wird also in zweiter Annäherung dargestellt durch

$$A_1A = r(1-\cos\beta) + \frac{1}{2}\frac{r^2}{l}\sin^2\beta$$

und

$$A_2A = r(1 - \cos \overline{\beta}) - \frac{1}{2} \frac{r^2}{l} \sin^2 \overline{\beta}.$$

Auch hier lassen sich beide Gleichungen leicht in eine Gleichung zussammenfassen, doch ist es für die Praxis besser, bei den beiden einzelnen Gleichungen stehen zu bleiben.

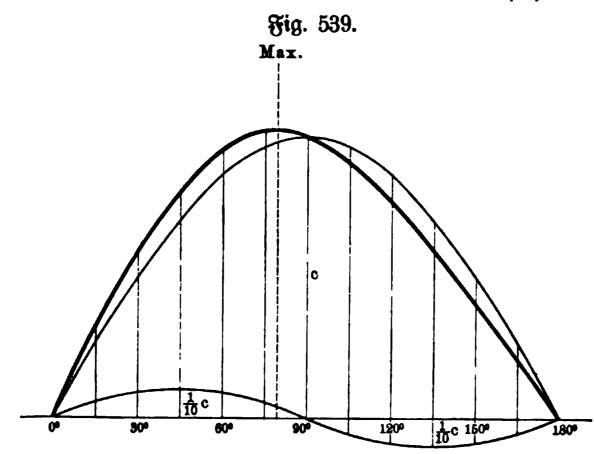
Setzt man $2\sin^2\beta = 1 - \cos 2\beta$, so erhält A_1A die Gestalt

$$A_1A = r(1 - \cos \beta) + \frac{1}{4} \frac{r^2}{l} (1 - \cos 2 \beta).$$

Demnach läßt sich $A_1A_2=x$ durch Übereinanderlagerung zweier harmosnischer Schwingungen, $x_1=r(1-\cos\beta)$ und $x_2=\frac{1}{4}\frac{r^2}{l}(1-\cos2\beta)$ darstellen, wie es Fig. 538 (a. v. S.) für den Hingang bei $\frac{r}{l}=\frac{1}{5}$ zeigt; die eine Schwingung hat die Amplitude r und den Bereich $\beta=0^{\circ}\dots 180^{\circ}$, die andere die Amplitude $\frac{1}{4}\frac{r}{l}\cdot r=\frac{1}{20}r$ und den Bereich $2\beta=0^{\circ}\dots 360^{\circ}$.

Entsprechendes gilt für den Hergang.

Man sieht hier deutlich die Korrektur (x_2) der ersten Annäherung (x_1) .



Auch unmittelbar an der Fig. 537 lassen sich die Wege A_1A und A_2A leicht für die vers schiedenen Kurbelstelluns gen abgreifen.

Bei einer dritten Annäherung wird die Korrektur für $\frac{r}{l} \leq \frac{1}{5}$ selbst $\leq \frac{l}{5000}$, so daß man bei allen Fragen der Praxis im allgemeinen bei der zweiten Annähe=rung stehen bleiben kann.

Um die Geschwindigkeiten v_1 und v_2 von A bezw. für den Hingang und für den Hergang sestzustellen, muß man β und $\overline{\beta}$ als Funktionen der Zeit t kennen.

Für eine gleichförmige Bewegung der Kurbel B ist $arc\beta = \frac{t}{T} \cdot 2\pi = t \cdot \gamma$, falls man die Zeit für einen ganzen Umlauf durch T und die entsprechende Winkelgeschwindigkeit durch γ bezeichnet; Entsprechendes gilt für $arc \overline{\beta}$, wobei nur zu beachten ist, daß $arc \beta$ und $arc \overline{\beta}$ selbständig von 0 bis π wachsen.

Für die erste Annäherung sind in diesem Falle v_1 und v_2 durch die Theorie der harmonischen Schwingung ohne weiteres bestimmt.

Für die zweite Annäherung muß man die Ableitungen der Gleichungen für A_1A und A_2A bilden, wobei sich sofort (vergl. S. 174) ergiebt

$$v_1 = r\gamma \left(\sin \beta + \frac{1}{2}\frac{r}{l}\sin 2\beta\right)$$
 und $v_2 = r\gamma \left(\sin \overline{\beta} - \frac{1}{2}\frac{r}{l}\sin 2\overline{\beta}\right)$.

Dabei ist $r\gamma=c$ die Lineargeschwindigkeit von B, während γ bei einer Tourenzahl n durch $\gamma=\frac{2\,\pi\,.\,n}{60}$ gegeben ist.

Die Formeln gelten auch, wie leicht zu ersehen, für eine veränderliche Winkelgeschwindigkeit φ , welcher die veränderliche Geschwindigkeit $v=r\varphi$ von B entspricht.

Für eine konstante Winkelgeschwindigkeit tritt bei $\frac{r}{l}=\frac{1}{5}$ das Maximum von v_1 für $\beta=79^{\circ}16'$ ein, wie die Gleichung $\cos\beta+\frac{r}{l}\cos2\beta=0$ oder $\cos\beta+\frac{r}{l}(2\cos^2\beta-1)=0$ für $\frac{r}{l}=\frac{1}{5}$ sehrt.

Das Maximum von v_2 ergiebt sich ebenso bei $\frac{r}{l}=\frac{1}{5}$ für $\overline{\beta}=100^{\circ}\,44'$. Für die erste Annäherung gilt $\beta=\overline{\beta}=90^{\circ}$.

Für die zeichnerische Darstellung der Geschwindigkeit kann man wieder die Übereinanderlagerung zweier Schwingungen benutzen, deren Amplituden $c=r\gamma$ und $\frac{1}{2}\frac{r}{l}\cdot c=\frac{1}{10}\,c$ sind, wie es Fig. 539 für den Hingang zeigt.

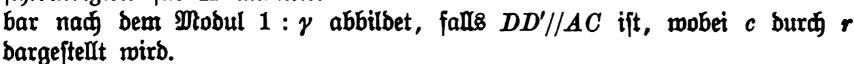
Fig. 540.

Die Korrektur der ersten An= näherung ist hier wieder deut= lich zu sehen.

Statt bessen kann man auch v_1 und v_2 gemäß Fig. 84 unmittelbar gewinnen, wie es Fig. 540 näher aussührt. Man hat $v_1: c = OA: OB = CD: r$, falls CO'//AO, d. h. $CO' \perp AC$ ist. Demnach gilt

$$v_1 = \frac{c}{r} \cdot CD = CD \cdot \gamma$$
,

so daß AD' = DC die Gesschwindigkeit für A unmittels



Die Beschleunigungen j_1 und j_2 sind für die erste Annäherung wieder ohne weiteres gegeben.

Bei der zweiten Annäherung folgt durch nochmalige Ableitung der Gleischungen für v_1 und v_2 bei konstanter Winkelgeschwindigkeit sofort (vergl. S. 174)

$$j_1 = r\gamma^2 \Big(\cos\beta + \frac{r}{l}\cos2\beta\Big)$$
 und $j_2 = r\gamma^2 \Big(\cos\overline{\beta} - \frac{r}{l}\cos2\overline{\beta}\Big)$.

Dabei ist $r\gamma^2 = \frac{c^2}{r} = b_n$ die Normalbeschleunigung der Bewegung von B, während γ wieder als $\frac{2\pi \cdot n}{60}$ darstellbar ist.

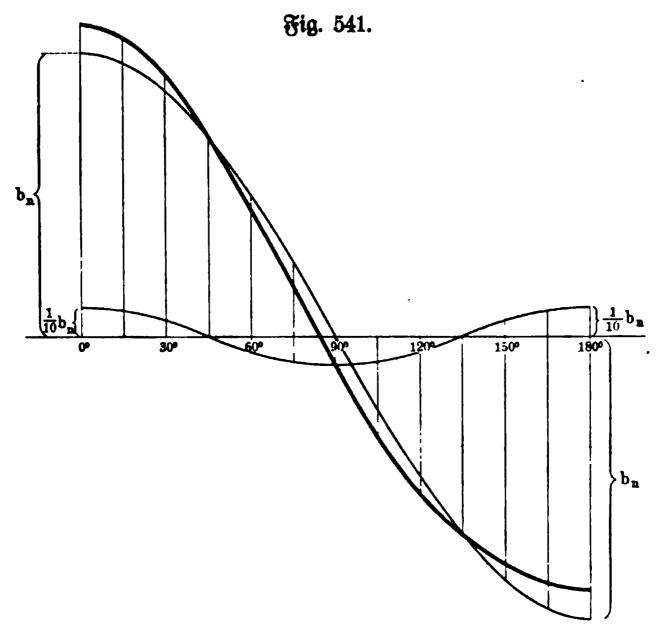
Da $\cos \beta$ und $\cos 2\beta$ für $\beta = 0$ ihre Maxima haben, so ist das Maximum von j_1 für $\beta = 0$ gegeben als

$$+r\gamma^2\left(1+\frac{r}{l}\right).$$

Für $eta=180^{\circ}$ ist $j_1=-r\gamma^2\Big(1-rac{r}{l}\Big)$ das Maximum der Berzögerung.

Für $\overline{\beta}=0^\circ$ ist $j_2=+r\gamma^2\Big(1-\frac{r}{l}\Big)$, während für $\overline{\beta}=180^\circ$ $j_2=-r\gamma^2\Big(1+\frac{r}{l}\Big)$ ist.

Eine zeichnerische Darstellung von j_1 und j_2 ergiebt sich wieder leicht durch Übereinanderlagerung zweier Schwingungen von den Amplituden $b_n = r\gamma^2$ und $\frac{r}{l} \cdot b_n$, wie es Fig. 541 bei $\frac{r}{l} = \frac{1}{5}$ für den Hingang zeigt. Der Rullswert der Beschleunigung entspricht natürlich dem Maximum der Geschwindigsteit ($\beta = 79^{\circ}16'$). Entsprechendes gilt für den Hergang.



Die Korrektur der ersten Annäherung ist auch hier wieder deutlich erssichtlich.

Statt dessen kann man auch eine Tabelle für j_1 und j_2 berechnen, z. B. von 20° zu 20° , und diese graphisch auswerten.

Darf man die bewegte Masse $\frac{G}{g}$ in A vereinigt denken, so ist die Kraft K, welche der entwickelten Beschleunigung entspricht für den Hingang

$$K = r\gamma^{2} \frac{G}{g} \left(\cos \beta + \frac{r}{l} \cos 2 \beta \right)$$

$$= \frac{\pi^{2}}{g} \left(\frac{n}{30} \right)^{2} r G \left(\cos \beta + \frac{r}{l} \cos 2 \beta \right) \sim \left(\frac{n}{30} \right)^{2} r G \left(\cos \beta + \frac{r}{l} \cos 2 \beta \right).$$

Für den Hergang gilt Entsprechendes.

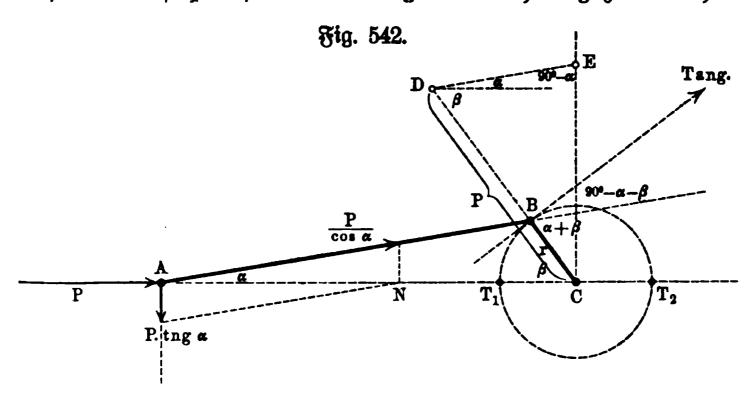
Wird der Kreuzkopf durch eine Kraft [P] in der Geraden AC bewegt, so zerlegt sich diese in den Normaldruck $Ptg\alpha$ auf die Führung des Kreuz-kopfes und in die Kraft $\frac{P}{\cos\alpha}$, welche in die Achse der Schubstange AB fällt. Vergl. S. 302, Nr. 13.

Berücksichtigt man die Reibung R der Führung, so ist der Normaldruck N gegeben als $(P-R)tg\alpha=(P-fN)tg\alpha$, woraus für $f=tg\,\varphi$ solgt $N=\frac{P\sin\alpha\cos\varphi}{\cos(\alpha-\varphi)}$ und $R=\frac{P\sin\alpha\sin\varphi}{\cos(\alpha-\varphi)}$, so daß die Kraft für AB den Bert $\frac{P-R}{\cos\alpha}=\frac{P\cos\varphi}{\cos(\alpha-\varphi)}$ erhält.

Bei der meist sehr geringen Pressung gegen die Gleitbahn ist $\varphi \sim 0$, so daß die Reibung nicht berücksichtigt zu werden braucht.

Würde die Kraft $\left[\frac{P}{\cos\alpha}\right]$ den Bewegungszustand der Stange AB nicht ändern, so würde ihre Zerlegung in B nach der Tangente des Kurbeltreises die Kraft geben, welche hier bewegend wirkt. Als Wert dieser Tangentialkraft fände man (vergl. Fig. 542) $P_T = \frac{P}{\cos\alpha}\sin(\alpha + \beta)$.

Dieser Wert ist jedenfalls als eine gute Annäherung zu betrachten.



Errichtet man in Fig. 542 das Lot auf AC in C, macht DC=P und zieht DE//AB, so ist $CE=\frac{P\sin{(\alpha+\beta)}}{\cos{\alpha}}$, d. h. CE stellt die auf Bewegung wirkende Komponente von P für die Stellung β dar.

Stellt man diese Komponente für $\beta=0^{\circ}...180^{\circ}$ und $\bar{\beta}=0^{\circ}...180^{\circ}$ graphisch dar gemäß der Konstruktion der Fig. 542, so sieht man, daß sie selbst bei konstantem Werte von [P] höchst veränderlich ist und infolgedessen auch keine gleichmäßige Arbeitsleistung bewirken kann.

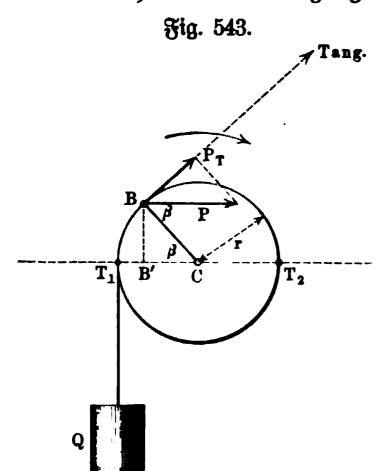
Infolgebessen verbindet man das Getriebe mit einem Schwungrabe, dessen Zweck darin besteht, Arbeit aufzusammeln und abzugeben, entsprechend der bezeichneten Schwankung in der Arbeitsleistung von [P].

Die gleichmäßige Arbeitsleiftung, welche durch [P] bewirkt werden soll, denken wir uns veranschaulicht durch die gleichförmige Aufwickelung einer konstanten Last Q am Arme r, so daß $P_T = Q$ sein müßte.

Bei einer ersten Annäherung $(\alpha = 0^{\circ})$ ist $P_T = P \sin \beta$, wie auch Fig. 543 unmittelbar zeigt, so daß $[P_T]$ für ein konstantes [P] in T_1 und T_2 den Wert 0 und in O und U den Wert P hat (vergl. Fig. 544).

Die Maschine soll jedensalls periodisch wirken, d. h. nach einem vollen Umgange sollen stets dieselben Berhältnisse wieder auftreten, es muß also P jedensalls während eines vollen Umganges die Arbeit Q. $2\pi r$ leisten.

Betrachten wir den Umgang von der Totpunktslage T_1 aus, so ist die Arbeit



der konstanten Kraft P für den Weg T_1B gegeben als P. $T_1B' = Pr(1 - \cos \beta)$, während die Arbeit von Q für diesen Weg $Qrarc \beta$ ist.

Sollten diese Arbeiten stets einander gleich sein, so müßte $P = Q \frac{arc \beta}{1 - cos \beta}$ sein, könnte also nicht konstant sein.

Für ein konstantes P zeigen die beiden Arbeiten einen Unterschied, welcher der Anderung der Energie der sich drehenden Vassen entspricht. Haben diese, unter denen die Nasse Schwungrades bei weitem überwiegt, das Trägheitsmoment Tr, so ist diese Energie darstellbar als

$$\frac{1}{2} \mathfrak{Tr} (\varphi^2 - \varphi_0^2)$$
,

wenn man die Winkelgeschwindigkeit für die Lage T_1 durch φ_0 und für die Lage B durch φ bezeichnet.

Demnach gilt

$$Pr(1-\cos\beta)-Qrarc\beta=\frac{1}{2}\mathfrak{Tr}(\varphi^2-\varphi_0^2).$$

Daraus folgt für die Bestimmung von φ

$$\varphi^2 = \varphi_0^2 + \frac{2r}{\mathfrak{T}r} [P(1 - \cos\beta) - Q \arcsin\beta] 243)$$

Demnach ist eine gleichförmige Drehung der Kurbel unter Einwirkung einer konstanten Krast [P] ausgeschlossen.

Die Maxima und Minima von φ entsprechen der Gleichung $P\sin\beta=Q$. Dasselbe Ergebnis zeigt auch die Betrachtung der Kraft $P\sin\beta=Q$, welche die Bewegung der Kurbel hervorruft, sie ist für $\beta=0$ negativ, erhält für $P\sin\beta=Q$ den Wert Null und wird darauf positiv, so daß für $\sin\beta=\frac{Q}{P}$ eine verzögerte Bewegung in eine beschleunigte Bewegung übergeht, also ein Minimum der Geschwindigkeit vorliegt u. s. Konstante Werte von P kommen angenähert dei Dampsmaschinen vor. Für alle Fälle hat man zu unterscheiden, ob P nur auf dem Hingange (einsach=wirkend) oder auf dem Hingange und auf dem Hergange (doppelt=wirkend) in Rechnung zu stellen ist.

In beiden Fällen muß die Arbeit von P für einen vollen Umgang den Wert Q . $2\,r\pi$ haben.

Im ersten Falle ist

d. h.

$$P.2r = Q.2r\pi,$$

$$P = Q\pi = 3,1416 Q$$
 ober $Q = \frac{P}{\pi} = 0,3183 P$.

Im zweiten Falle ist

$$P.4r = Q.2r\pi$$

b. h.

$$P = Q \cdot \frac{\pi}{2} = 1,5708 Q$$
 ober $Q = \frac{2P}{\pi} = 0,6366 P$.

Die Maxima und Minima der Geschwindigkeiten sind gemäß der Gleischung $P\sin\beta = Q$ bestimmt

im ersten Falle durch $\sin \beta = \frac{1}{\pi}$, d. h. durch $\beta \sim 18^{\circ}\,33'\,30''$ und durch $\beta \sim 161^{\circ}\,26'\,30'$,

im zweiten Falle durch $\sin\beta=\frac{2}{\pi}$, d. h. durch $\beta\sim 39^{\circ}\,32'\,30''$ und durch $\beta\sim 140^{\circ}\,27'\,30''$.

Wir verfolgen den zweiten Fall (Doppelwirkung) noch etwas weiter; hier gilt für den Hergang genau dasselbe wie für den Hingang. Hier gilt im besondern

$$\varphi^2 = \varphi_0^2 + \frac{2rQ}{\mathfrak{Tr}} \left[\frac{\pi}{2} (1 - \cos\beta) - arc\beta \right] \quad . \quad . \quad 244)$$

Fig. 544.

 T_2

Ersett man in der Gleichung Nr. 244), welche für den Hergang ($\beta = 0^{\circ} \dots 180^{\circ}$) gilt, β durch $\overline{\beta}$, so gilt die Gleichung für den Hingang ($\overline{\beta} = 0^{\circ} \dots 180^{\circ}$). Die Minima von φ liegen, wie Fig. 544 darstellt, bei 1 und 3, die Maxima bei 2 und 4.

Erset man β durch 180° — β , so ergiebt sich aus Gleichung Nr. 244)

$$\varphi_{\beta}^{2} + \varphi_{1800-\beta}^{2} = 2 \varphi_{0}^{2}$$

Für $\beta=90^\circ$ ist im besondern $\varphi_{90}^2=\varphi_0^2$. Entsprechendes gilt für $\overline{\beta}$. Demgemäß ist die Winkelgeschwindigkeit für T_1 , O, T_2 , U die selbe und zwar φ_0 .

Man hat ferner $(\beta \sim 140^{\circ})$

$$\varphi_{max}^2 = \varphi_0^2 + \frac{0.6614 \, Qr}{\mathfrak{Tr}} \cdot \cdot \cdot \cdot \cdot \cdot 245)$$

unb $(\beta \sim 39^\circ)$

$$\varphi_{min}^{2} = \varphi_{0}^{2} - \frac{0.6614 \, Qr}{\mathfrak{Tr}} \cdot \cdot \cdot \cdot \cdot \cdot 246)$$

Sett man

$$\frac{\varphi_{max} + \varphi_{min}}{2} = \varphi_m$$
 und $\varphi_{max} - \varphi_{min} = \delta \cdot \varphi_m$,

so folgt durch Multiplikation

$$\varphi_{max}^2 - \varphi_{min}^2 = \frac{1,3228 \, Qr}{\Im r} = 2 \, \delta \varphi_m^2 \quad . \quad . \quad . \quad 247)$$

Daraus folgt, wenn man noch Qr, d. h. das Moment, welches der zu leistenden Arbeit entspricht, durch Mo bezeichnet,

$$0.6614 \frac{Mo}{\Im r} = \delta \varphi_m^2 \dots 248$$

Man nennt δ den Grad der Ungleichförmigkeit (Schwankung) der Maschine und bezeichnet φ_m , d. h. das arithmetische Mittel aus Maximals und Minimalgeschwindigkeit, als Mittelwert der Geschwindigkeit; dieser Mittelwert stimmt nicht überein mit der Durchschnittsgeschwindigsteit γ für den vollen Umgang, welche bei einer Umlausszeit T durch $\gamma = \frac{2\pi}{T}$ gegeben ist, wobei T aus $\Sigma(\varphi\tau) = 2\pi$ zu bestimmen ist. Drückt man φ_{max} und φ_{min} durch φ_m und δ aus, so ist

$$\varphi_{max} = \varphi_m (1 + \frac{1}{2}\delta)$$
 und $\varphi_{min} = \varphi_m (1 - \frac{1}{2}\delta)$.

Ebenso ist

$$\varphi_0^2 = \frac{\varphi_{max}^2 + \varphi_{min}^2}{2} = \varphi_m^2 (1 + \frac{1}{4} \delta^2).$$

Aus Formel Nr. 248) folgt noch

b. h. das Trägheitsmoment der sich drehenden Massen, unter denen die des Schwungrades bei weitem überwiegt, ist durch Mo, φ_m und δ bestimmt.

Je kleiner d ist, um so mehr nähert sich der Gang der Maschine der Gleichförmigkeit.

Bei gegebenen Verhältnissen (Tr und Mo) ist nach Gleichung Nr. 248) δ . φ_m^2 eine Konstante, δ . h. δ nähert sich der Null um so mehr, je größer φ_m ist.

Für relativ hohe Tourenzahlen (n) ist φ_m demnach ersetzbar durch

$$\gamma = \frac{2\pi}{T} = \frac{2\pi \cdot n}{60}.$$

Beträgt die Arbeitsleistung N Pferdestärken, so ist $Mo=716\frac{N}{n}$ zu sesen und Gleichung Nr. 249) geht über in

$$\mathfrak{Tr} = \frac{0,6614 \cdot 716 \frac{N}{n} 3600}{\delta \cdot 4 \pi^2 \cdot n^2} \sim 43200 \frac{N}{\delta \cdot n^3} \cdot \cdot \cdot 250$$

Bei einem vorgeschriebenen (kleinen) Ungleichförmigkeitsgrad d und einer Tourenzahl n ist demnach durch Formel Nr. 250) für eine Arbeitsleistung von N Pferdestärken das Trägheitsmoment Tr der zu verwendenden Schwungsradsmasse angenähert bestimmt.

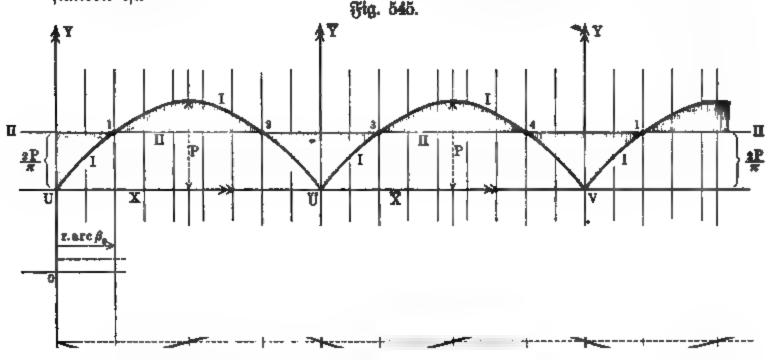
Die Untersuchung läßt sich durch die graphische Darstellung der Fig. 545 veranschaulichen. Über der Achse UV ist die Kurve I für den Jingang gemäß dem Ansage x=r. $arc\beta$ und $y=P\sin\beta$ entstanden, sür den Hergang gemäß dem Ansage x=r. $arc\overline{\beta}$ und $y=P\sin\overline{\beta}$. Die Fläche zwischen der Kurve I und der Achse UV stellt also (vergl. S. 760) die Arbeit von P von dem Totpunkte T_1 auß für jede Stellung β oder $\overline{\beta}$ dar.

Die Parallele II zu UV von der Höhe $Q=\frac{2}{\pi}P$ bestimmt mit UV ein Rechted, welches also die Arbeit von Q darstellt.

Die Linien I und II schneiben fich in ben Puntten, welche ben Stellungen

1, 2, 3, 4 entsprechen
$$\left(\sin\beta=\frac{2}{\pi} \text{ und } \sin\overline{\beta}=\frac{2}{\pi}\right)$$
.

Durch die Schnittpunkte werden die vier schrassierten Flächen bestimmt, deren letzte (rechts) durch Antragen des ersten Teiles (links) der Figur entstanden ist.



Diesen Schnittpunkten entsprechen die Maxima und Minima der Kurve III, welche die Winkelgeschwindigkeiten entsprechend darstellt.

Bezeichnet man die Lösungen der Gleichungen $\sin\beta=\frac{2}{\pi}$ und $\sin\overline{\beta}=\frac{2}{\pi}$ b. h. 39°82′30″ und 140°27′30″ bezw. durch β_0 und β_0' , wobei $\beta_0+\beta_0'=180°$ ist, so ist die erste äußere schraffierte Fläche, da die Arbeit von P durch $Pr(1-\cos\beta)$ und die Arbeit von Q durch Qr arc β bestimmt ist, gegeben als

$$Pr(1 - \cos \beta_0') - Pr(1 - \cos \beta_0) - Qr(\operatorname{arc} \beta_0' - \operatorname{arc} \beta_0)$$

$$= Pr(\cos \beta_0 - \cos \beta_0') - Qr(\operatorname{arc} \beta_0' - \operatorname{arc} \beta_0)$$

$$= 2 Pr \cos \beta_0 - Qr \operatorname{arc} (\beta_0' - \beta_0)$$

$$= + Qr[\pi \cos \beta_0 - \operatorname{arc} (\beta_0' - \beta_0)].$$

Die folgende innere schraffierte Fläche ist ebenso bestimmt als

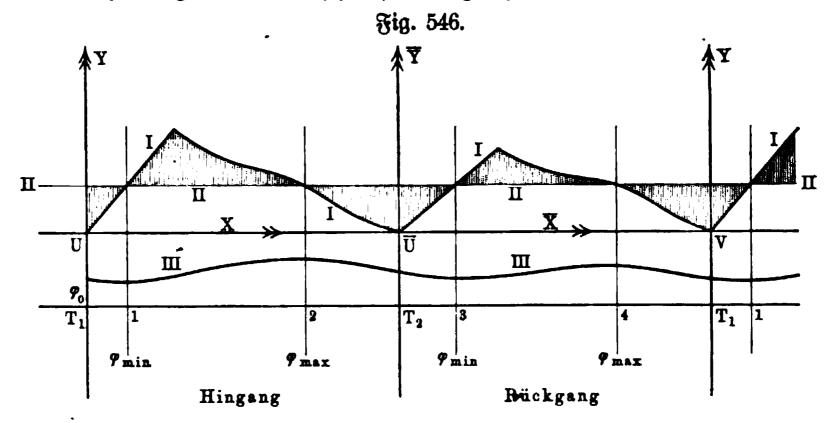
$$P2r - Pr(1 - \cos \beta_0') + Pr(1 - \cos \beta_0)$$

$$- Qr(\pi - arc \beta_0') - Qrarc \beta_0$$

$$= P2r + Pr(\cos \beta_0' - \cos \beta_0) - Qr\pi + Qr(arc \beta_0' - arc \beta_0)$$

$$= -Qr[\pi \cos \beta_0 - arc(\beta_0' - \beta_0)].$$

Beide Flächen haben also dieselbe Größe A und dies gilt auch für die beiden noch übrigen der vier schraffierten Flächen.



Jede dieser Flächen stellt den Überschuß bezw. den Fehlbetrag der Arbeitsleistung von P gegenüber der gleichmäßigen Arbeitsleistung von Qdar zwischen benachbarten Maximal= oder Minimalwerten der Geschwindigkeit. Demnach gilt

$$\frac{1}{2}\operatorname{Tr}(\varphi_{max}^2 - \varphi_{min}^2) = \mathfrak{A}$$
 $2\delta\varphi_m^2 = \varphi_{max}^2 - \varphi_{min}^2 = \frac{2\mathfrak{A}}{\mathfrak{Tr}}$

und $2\delta\varphi_m^2 = \varphi_{max}^2 - \varphi_{min}^2 = \frac{2\mathfrak{A}}{\mathfrak{Tr}}.$

Setzt man die Werte $\beta_0'=140^{\circ}\,27'\,30''$ und $\beta_0=39^{\circ}\,32'\,30''$ ein, so erhält man

$$\mathfrak{A} = 0.6614 \ Qr \sim 474 \ \frac{N}{n} \cdot \cdot \cdot \cdot \cdot 251 \ a$$

Diese graphische Darstellung läßt sich nun unmittelbar auf eine ver= änderliche Triebkraft P übertragen. Man stellt dazu die von ihr auf den Kurbelzapfen übertragene Arbeit wieder für einen vollen Umgang, ent= sprechend Fig. 545, graphisch dar. Die Kurve I in Fig. 546 zeigt eine solche Darstellung, in welcher auch die Linien II und III dieselbe Bedeutung haben wie in Fig. 545.

Die vier schraffierten Flächen, deren letzte (rechts) wieder durch Antragen des ersten Teiles (links) der Figur gebildet ist, stellen dann wieder die Abweichungen der Arbeit der Kraft in Bezug auf die Arbeit der Last dar zwischen den Maximal= und Minimalwerten der Winkelgeschwindigkeit (III). Hat die größte dieser Flächen den Inhalt A, so ist

$$\pm \mathfrak{A} = \frac{1}{2} (\varphi_{max}^2 - \varphi_{min}^2) \mathfrak{Tr} = \varphi_m^2 \delta \mathfrak{Tr}.$$

Für $\varphi_m = \gamma = \frac{n \cdot 2 \pi}{60}$ und für einen vorgeschriebenen Wert von δ erhält man also hier

Die Kurve I in Fig. 546 entspricht der Arbeitsleistung einer doppelt= wirkenden Dampfmaschine mit einem Enlinder, sie ist gewissermaßen die praktische Korrektur der Kurve I in Fig. 545. Für andere Arten der Trieb= kräfte treten natürlich andere Kurven auf. Vergl. dazu die Diagramme in Bd. II, S. 97 u. f.

Ist auch die Arbeitsleiftung der Last veränderlich, so tritt statt der Geraden II der Fig. 545 und 546 gleichfalls eine Kurve ein, doch unterliegt das weitere Versahren dadurch keiner Anderung.

Die Bestimmung der Flächen geschieht durch Planimeter oder durch Näherungsformeln.

Die Herstellung der Kurve I in Fig. 546 mag noch etwas genauer bestrachtet werden. Man geht hier, wo es sich um eine doppeltwirkende Dampssmaschine mit einem Cylinder handelt, aus von den beiden Dampsspannungsbiagrammen für Bodenraum und Deckelraum. Aus ihnen bildet man durch Addition bezw. Subtraktion der Ordinaten die Linie der Dampsüberspannung für den vollen Umgang, falls die wirksamen Kolbenslächen auf beiden Seiten dieselbe Größe F haben. Sind diese für beide Seiten von verschiedener Größe, so zeichnet man statt der Spannungslinie sofort die entsprechende Kraftlinie, entsprechend der Gleichung: Kraft — (Fläche) . (Spannung).

Ist y die Ordinate der für Spannungen gezeichneten Überspannungslinie, so ist für die beschleunigte bezw. verzögerte Bewegung der Massen (Kolben, Kolbenstange und Kreuzkopf einerseits und Schubstange anderseits) ein Betrag y' von y abzuziehen, für dessen Berechnung beim Hingange die Gleichung (vergl. S. 758) gilt

$$y'F = \left(\frac{n}{30}\right)^2 Gr\left(\cos\beta + \frac{r}{l}\cos 2\beta\right).$$

Dabei ist im allgemeinen $\frac{G}{F}=0,2$ bis 0,4 zu setzen.

Bei Verschiedenheit der Kolbenflächen F_1 und F_2 ist entsprechend zu verschen.

Die durch Einführung von y' verbesserte Linie der Überspannung liefert in ihren Ordinaten y-y' das Mittel, die auf Bewegung der Kurbel wirkende Kraft

$$F(y-y')\frac{\sin{(\alpha+\beta)}}{\cos{\alpha}}$$

zu bilden, gemäß der Konstruktion auf S. 759; damit sind die Ordinaten für die Linie I der Fig. 546 gegeben.

Bei hohen Tourenzahlen bedarf noch die Bewegung der Schubstange, welche die Vermittelung zwischen den sich verschiebenden und den sich drehen= den Teilen bewirkt, einer eigenen Untersuchung. Will man ihre Masse, welche oben in $\frac{G}{g}$ eingerechnet wurde, besonders berücksichtigen, so kann man folgendermaßen versahren. Bezeichnet man die Geschwindigkeit von A für den Hingang wieder durch v_1 , so ist $\frac{v_1}{OA}$ in Fig. 547 die Winkelgeschwindigsteit der augenblicklichen Drehung der Schubstange um das Centrum o. Demenach ist die Geschwindigkeit v eines beliedigen Punktes s der Schubstange gegeben durch $v = \frac{OS}{OA} \cdot v_1$.

Ist dem Punkte S die Masse μ zuzuschreiben, so ist dessen Energie

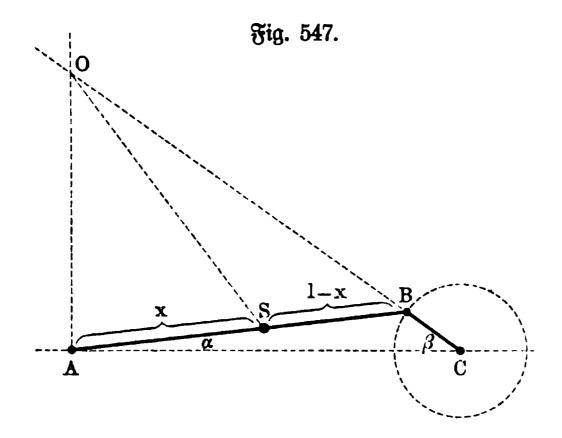
$$E' = \frac{1}{2} \mu v^2 = \frac{1}{2} \mu v_1^2 \frac{\overline{OS}^2}{\overline{OA}^2}.$$

In erster Annäherung ($\alpha=0$) ist $v_1=r\gamma\sin\beta$ und $\overline{OS}^2=x^2+\overline{OA}^2$ und OA=l. tg β , so daß man hat

$$E' = \frac{1}{2} \mu r^2 \gamma^2 \left(\sin^2 \beta + \frac{x^2}{l^2} \cos^2 \beta \right).$$

Ist die Schubstange von der Masse M prismatisch, was allerdings für die Praxis meist auch nicht einmal angenähert zutrifft, so ist $\mu = \frac{1}{n}M$ und $x = \frac{l}{n}, \frac{2l}{n}, \frac{3l}{n}, \cdots$ zu setzen; hier erhält man für die Energie E der ganzen Stange durch Summation und Grenzübergang unmittelbar

$$E\sim rac{1}{2}Mr^2\gamma^2(sin^2eta+rac{1}{3}cos^2eta).$$
 Für $cos^2eta=1-sin^2eta$ geht E über in $E\sim rac{1}{2}(rac{1}{3}M)\,r^2\gamma^2+rac{1}{2}(rac{2}{3}M)\,r^2\gamma^2sin^2eta.$



Das erste Glied von E ist so gebildet, als wenn $\frac{1}{3}$ M in B an der Drehung um C, das zweite Glied so, als wenn $\frac{2}{3}$ M in A an der Verschiebung teilnähme.

Die Energie einer prismatischen Schubstange könnte man also angenähert da= durch in die Rechnung ein= führen, daß zwei man Drittel ihrer Masse der Rreuzkopfmasse ein und Drittel ihrer Masse der sich brehenden Masse hinzufüge.

Man kann dann in diesem Falle die Beziehung von Arbeit und Energie, indem man weiter die Werte der zweiten Annäherung benutzt, für die Bestimmung von op verwenden, für den Hingang gemäß der Gleichung

$$Qr\frac{\pi}{2}\left(1-\cos\beta+\frac{r}{2l}\sin^2\beta-\frac{2}{\pi}arc\beta\right)$$

$$=\frac{1}{2}\mathfrak{T}r'(\varphi^2-\varphi_0^2)+\frac{1}{2}M'(r\gamma)^2\left(\sin\beta+\frac{r}{2l}\sin2\beta\right)^2,$$

in welcher Tr' das Trägheitsmoment der korrigierten sich drehenden Masse und M' die Masse der korrigierten sich verschiebenden Masse bezeichnet.

Da die gebräuchlichen Schubstangen in der Regel auch nicht angenähert als prismatisch ausgesaßt werden können, so denkt man sie durch Schnitte, senkrecht zur Stangenachse, in kleine Stücke von gleicher Länge (z. B. 1 cm) zerlegt, und stellt für diese die einzelnen Massen seit. Wit Hülse der phorosnomischen Größen (Weg, Geschwindigkeit, Beschleunigung) jedes Punktes Skann man dann zeichnerisch in beliediger Annäherung die dynamischen Größen herstellen, welche man braucht. Diese weitere Betrachtung ist für die oben durchgesührte Bestimmung der Energie der Schubstange von verhältnismäßig geringer Bedeutung, sie wird aber notwendig bei der Behandlung der Biegungsbeanspruchung der Schubstange, auf welche wir später zurücksommen.

8. Der Schwungkugelregulator unter Berücksichtigung der Widersstände. Es sei P und m (Fig. 548) das Gewicht und die Masse einer Kugel, q der Widerstand in der Hülse B, der überwunden werden muß, wenn der Apparat aus der mittleren Winkelgeschwindigkeit ω in eine andere ω_1 versett wird. Zwischen ω und ω_1 besteht die Kelation

$$\omega_1 = (1 \pm n) \omega$$

wobei n gewöhnlich $\frac{1}{20}$ nicht übersteigen soll. Weiter sei

$$AC = 1$$
; $AD = a$; $BD = b$; $AE = a'$; $BE = b'$.

Man zerlege q nach Richtung der beiden Verbindungsstangen BD und BD' in die Seitenkräfte q', denke diese in den Punkten D und D' wirksam

und zerlege sie nochmals in zwei Komponenten, von denen die eine q'' nach vertifaler Richtung wirksam, die andere in Richtung von CA und C'A liegend durch den sesten Punkt A aufzgehoben wird. Die Komponente q'' verschieben wir endlich parallel ihrer Richtung in den Mittelpunkt der Kugel; es wirken dann hier die beiden vertikalen Kräste mg und q''', wobei zu bemerken, daß beim Steigen der Kugeln, d. h. bei einer Vergrößerung der Winkelgeschwinz digkeit, das Gewicht mg um q''' vergrößert, beim Niedersinken der Kugeln dagegen um q''' vermindert wird.

Es ift
$$q''' = q \, \frac{a}{l} \, \frac{a' + b'}{2 \, b'}.$$

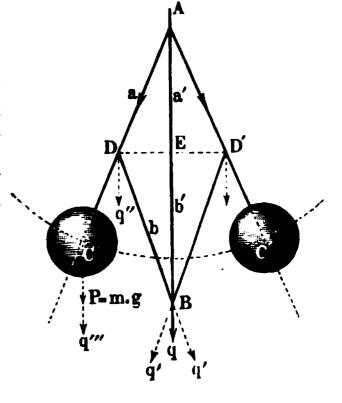


Fig. 548.

Jede der Kugeln wird im Beharrungszustande sein, d. h. sie wird kein Bestreben der Veränderung ihrer Lage haben, sobald das Moment der Centrifugals

traft F gleich ist dem Momente des Gewichtes $mg \pm q'''$ in Bezug auf den sesten Punkt A. Zur Ausstellung dieser Momentengleichung bezeichnen wir den Winkel, den AC und AB bei der normalen Winkelgeschwindigkeit ω bilden, mit α , und nennen denselben α_1 für die Winkelgeschwindigkeit $\omega_1 = (1 + n)\omega$, dagegen α_2 für die kleinste zulässige Winkelgeschwindigkeit $\omega_2 = (1 - n)\omega$. Für diese Annahme erhalten wir solgende drei Gleichungen $ml \omega_1^2 \cos \alpha_1 = mg + q'''$, $ml \omega_2^2 \cos \alpha = mg$, $ml \omega_2^2 \cos \alpha_2 = mg - q'''$.

Hieraus ergiebt sich

$$q''' = mg\left(\left[\frac{\omega_1}{\omega}\right]^2 \frac{\cos \alpha_1}{\cos \alpha} - 1\right) = mg\left(1 - \left[\frac{\omega_2}{\omega}\right]^2 \frac{\cos \alpha_2}{\cos \alpha}\right)$$

oder annähernd, wenn wir die Cosinus der drei Winkel gleich groß nehmen,

und

$$\omega_1^2 = \omega^2 (1 + 2n)$$

$$\omega_2^2 = \omega^2 (1 - 2n)$$

setzen, das Gewicht einer Rugel

$$mg = P = \frac{1}{2n} q''',$$

sowie die zulässige Geschwindigkeitsanderung

$$\pm n = \frac{1}{2} \frac{q'''}{P} \cdot$$

Für gewöhnlich wird die Stangenverbindung ADBD' als Rhombus konstruiert, so daß a=b und sür alle Lagen a'=b' ist. In diesem Falle ergiebt sich

$$q''' = \frac{a}{l} q.$$

Nennen wir die Entfernung AB der Hülse von dem sesten Punkte, den drei Winkelgeschwindigkeiten ω_1 , ω , ω_2 entsprechend h_1 , h, h_2 , so ist

$$h_1 = 2 a \cos \alpha_1 = 2 a \frac{mg + q'''}{ml \omega_1^2}$$

oder annähernd

$$= 2 a \frac{g}{l \omega_1^2},$$

$$h = 2 a \cos \alpha = 2 a \frac{g}{l \omega^2},$$

$$h_2 = 2 a \cos \alpha_2 = 2 a \frac{mg - q'''}{ml \omega_2^2}$$

ober annähernd

$$= 2 a \frac{g}{l \omega_{3}^{2}}.$$

Hieraus ergiebt sich

$$h - h_1 = \frac{2ag}{l\omega^2} \left(1 - \frac{1}{1+2n} \right) = \frac{2n}{1+2n} \cdot \frac{2ag}{l\omega^2}$$

$$h_2 - h = \frac{2ag}{l\omega^2} \left(\frac{1}{1-2n} - 1 \right) = \frac{2n}{1-2n} \cdot \frac{2ag}{l\omega^2}.$$

Die Entfernungen h - h, und h, - h tonnen wir durch die Konstruttion als gegeben ansehen, und demnach den sich daraus ergebenden Wert $\frac{a}{r}$ jur Berechnung von q", refp. P benuten

$$q''' = \frac{1+2n}{4n} \cdot \frac{\omega^2}{g} (h-h_1) q = \frac{1-2n}{4n} \cdot \frac{\omega^2}{g} (h_2-h) q$$

$$P = \frac{1+2n}{8n^2} \cdot \frac{\omega^2}{g} (h-h_1) q = \frac{1-2n}{8n^2} \cdot \frac{\omega^2}{g} (h_2-h) q.$$

Bei ben Untersuchungen ift auf das Gewicht ber einzelnen Stangen nicht Rücksicht genommen worden, und pflegt man beshalb in dem Gewichte P das ber Stange AC, und in dem Gewichte

q bas ber 11/2 fachen Stange BD mit

inbegriffen zu benten.

Man hat sich bemuht, den porstehenden Regulierungsapparat so zu verändern, daß die Winkelgeschwindigs keit der Maschine bei den verschiedenen & Lagen der Augeln dieselbe bleibe, und au dem Ende vielfache Konstruttionen angegeben.

Ein Schwunglugelregulator, für den bei jeder Rugellage die Winkels geschwindigkeit konstant bleibt, heißt ein aftatischer Regulator, im Gegensag zu denen mit veränderlicher Winkelgeschwindigteit, welche statische genannt werden.

Der parabolische Regulator von Franke (Fig. 549) ist astatisch; da für denselben $l\cos \alpha = \frac{p}{2}$ ist, unter p den Parameter der Parabel verstanden (vgl. S. 292 u. f.).

Es sei P==mg (Fig. 550 a. f. S.) das Gewicht einer Schwungkugel, q der Widerstand an der Hülse B, a die

normale Entfernung der Hülfskurve von der Parabel, d die Känge der Berbindungsstange einer Rugel mit der Hulfe, die den Winkel eta mit der Drehachse bilden mag; den Erhebungswinkel bezeichnen wir durch a, die Lange einer Normale zur Barabel bis zum Durchschnitt mit der Drehachse durch d, fo ift für die Gleichgewichtslage einer Rugel

$$\lambda \cos \alpha = \frac{1}{2} p$$
 und $\omega^2 = \frac{g}{\lambda \cos \alpha}$,

unter w die normale Winkelgeschwindigkeit verstanden. Diese gehe in die zulässigen Grenzen $(1\pm n)\omega$ über. Man zerlege die Centrifugalkraft F und das Gewicht mg einer Rugel sowie den Widerstand q' in einer Berbindungs-

Fig. 549.

В

stange nach Richtung der Normale und Tangente der Parabel. Die ersteren Komponenten werden durch die sestschiene aufgehoben, während die tangentialen Kräfte unter sich im Gleichgewichte sein müssen.

Die Gleichgewichtsbedingung ist

$$m(1 \pm n)^2 \omega^2 \cos \alpha \lambda \sin \alpha - mg \sin \alpha \mp q' \sin (\alpha + \beta) = 0;$$

statt $\omega^2 \lambda \cos \alpha$ können wir g schreiben, man erhält hiernach

$$mg(n^2 \pm 2n) = \pm q' \frac{\sin(\alpha + \beta)}{\sin \alpha};$$

nº können wir gegen 2n vernachlässigen, es ist daher

$$mg = \frac{1}{2n} q' \frac{\sin(\alpha + \beta)}{\sin \alpha}.$$

Segen wir weiter aus

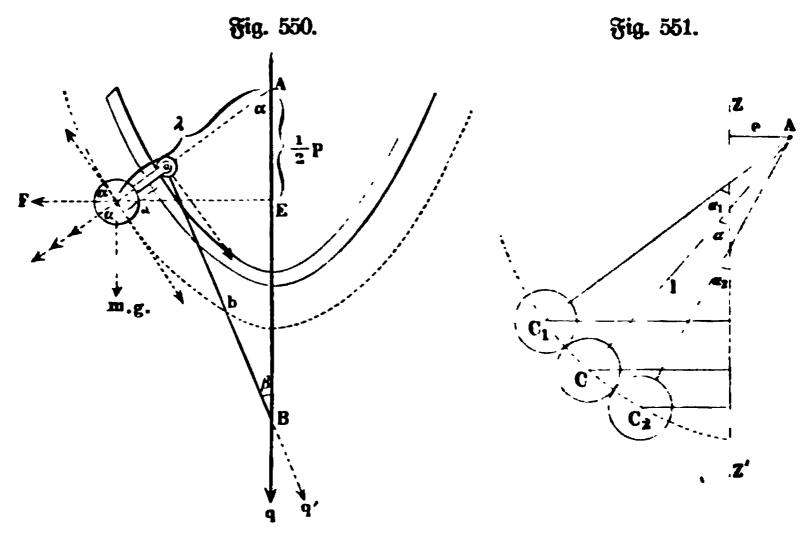
$$q = 2 q' \cos \beta$$

den Wert von q' ein, so entsteht

$$mg = \frac{1}{4n} q \frac{\sin{(\alpha + \beta)}}{\sin{\alpha} \cos{\beta}}$$

$$mg = \frac{1}{4n} q (1 + tg \beta \cot{\alpha}).$$

Die beiden Winkel α und β beziehen sich auf die Stellung des Apparates bei der normalen Winkelgeschwindigkeit ω , sie können demnach als gegeben angesehen oder auch durch Längenbeziehungen bestimmt werden.



Für den normalen Gang der Maschine muß die Hülse nämlich eine bestimmte Stellung haben, da mit derselben die Zuslußtlappe in Berbindung gesetzt wird. Setzen wir a als bekannt voraus, so haben wir

$$b \sin \beta = (\lambda - a) \sin \alpha$$

$$= \left(\frac{p}{2 \cos \alpha} - a\right) \sin \alpha$$

$$= \frac{1}{2} (p t g \alpha - 2 a \sin \alpha)$$

$$\cos \beta = \frac{1}{2 b} \sqrt{4 b^2 - (p t g \alpha - 2 a \sin \alpha)^2}$$

$$t g \beta = \frac{p t g \alpha - 2 a \sin \alpha}{\sqrt{4 b^2 - (p t g \alpha - 2 a \sin \alpha)^2}}$$

$$\cot \alpha t g \beta = \frac{p - 2 a \cos \alpha}{\sqrt{4 b^2 - (p t g \alpha - 2 a \sin \alpha)^2}}.$$

Substituieren wir diesen Wert in dem Ausdruck für das Gewicht P einer Schwungkugel, so entsteht

$$P = \frac{1}{4n} q \left(1 + \frac{p - 2 a \cos \alpha}{\sqrt{4 b^2 - (p tg \alpha - 2 a \sin \alpha)^2}} \right).$$

Da die Führung der Augeln in einer Parabel mit Schwierigkeiten verstunden ist, so hat man den gewöhnlichen Centrisugalregulator dadurch in einen astatischen zu verwandeln gesucht, daß man die Aushängepunkte der Augeln nicht in die Drehachse legte, sondern auf der den Augeln entgegengeseten Seite anordnete (vergl. S. 292 u. f.). Es sei (Fig. 551) A der Aushängepunkt, seine Entsernung von der Drehachse ZZ' gleich e, die Länge AC der Augelstange dis zum Mittelpunkte gleich l, und durch C_1 , C, C_2 seien die höchste, mittlere und niedrigste Lage der Augelmittelpunkte dargestellt, dann ist der Boraussetung gemäß

 $l\cos\alpha_1-e\cot\beta\alpha_1=l\cos\alpha-e\cot\beta\alpha=l\cos\alpha_2-e\cot\beta\alpha_2$ gleich einem konstanten Wert, der unter der Annahme, daß die Punkte C_2 , C_1 annähernd in einer Parabel liegen, gleich $\frac{p}{2}$ ist, wosür wir nach Nr. 8 der Anwendungen zum zweiten Abschnitt $\frac{895}{u^2}$ setzen dürsen, unter u die verlangte Umdrehungszahl in einer Minute verstanden. Aus den obigen Gleichungen ergiebt sich, sobald die Winkel der Konstruktion gemäß angenommen werden

$$\frac{e}{l} = \frac{\cos \alpha_1 - \cos \alpha_2}{\cot \alpha_1 - \cot \alpha_2}$$

und

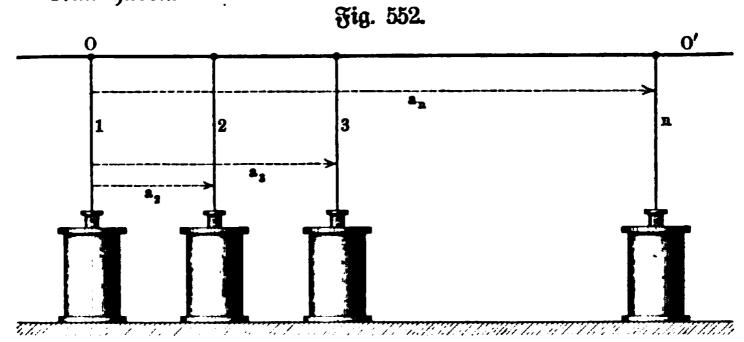
$$l = \frac{895}{u^2} \cdot \frac{1}{\cos \alpha - \frac{e}{i} \cot \alpha}.$$

9. Massenausgleichung bei Schiffsmaschinen 1). Durch die Massen= verrückungen, welche sich beim Gange der Schiffsmaschinen regelmäßig wiederholen, werden störende Schwingungen der Schiffskörper hervorgerusen.

¹⁾ Bergl. hierzu Föppls Mechanik, Bb. IV, S. 127.

Man sucht daher nach einem "Massenausgleichungsversahren" für die Konstruttion der Maschinen, bei welchen solche störenden Schwingungen ausgeschlossen sind. Da das Gewicht des Schiffes und der Auftrieb im Gleichgewichte sind, so läßt sich das ruhende Schiff als ein freier Körper betrachten. Demnach muß für die Konstruktion der Schiffsmaschine als Bedingung gestellt werden:

- 1. Der Schwerpunkt der beweglichen Massen muß stets in relativer Ruhe zum Schiffskörper bleiben.
- 2. Das Moment der Bewegungsgröße der beweglichen Massen muß für jeden auf dem Schiffe liegenden Momentenpunkt dauernd den Wert Rull haben.



Es seien nun n Dampschlinder mit vertikalen Achsen nebeneinander gesschaftet, wie es Fig. 552 andeutet, und zwar so, daß die Kurbeln alle auf derselben Welle OO' aufgekeilt sind, deren Winkelgeschwindigkeit φ sein mag.

Fig. 553.

Die Geschwindigkeit eines Kolbens, gerechnet von der Totpunktlage aus, ist in erster Annäherung (vergl. S. 756)

$$r_n$$
 . φ . $sin \varepsilon_n$,

so daß die entsprechende Bewegungsgröße, falls die Masse des Kolbens nebst Zubehör mit m_n bezeichnet wird, den Wert

$$m_n r_n \varphi \sin \varepsilon_n$$

erhält (vergl. Fig. 553).

Dabei ist nur die Bewegung in Richtung der Kolbensachse berücksichtigt, da die Bewegungen senkrecht dazu nicht mehr Einfluß haben, als andere zufällige Bewegungen auf dem Schiffe (Laufen von Leuten u. s. w.), die man doch nicht in Rechnung stellen kann.

Wählt man den Punkt O als Momentenpunkt, so ist das Moment der Bewegungsgröße für den nien Kolben gegeben als

$$m_n r_n \varphi \sin \varepsilon_n \cdot a_n$$
.

Demnach fordert der gesuchte Ausgleich die dauernde Erfüllung der Gleichungen

I)
$$\Sigma(m_n r_n \sin \varepsilon_n) = 0$$

II)
$$\Sigma(m_n r_n \sin \varepsilon_n \cdot a_n) = 0$$

und zwar gilt deren Bestehen für jeden Wert von p.

Bezeichnen wir den Winkel, welchen die nte Kurbel mit der ersten bildet, gezählt im Sinne des Umlauses der Maschine, durch α_n , so ist $\varepsilon_n - \varepsilon_1 = \alpha_n$ und $\sin \varepsilon_n = \sin (\varepsilon_1 + \alpha_n) = \sin \varepsilon_1 \cos \alpha_n + \cos \varepsilon_1 \sin \alpha_n$.

Die Gleichungen I und II erhalten bann die Gestalt

- I') $\sin \varepsilon_1 \sum m_n r_n \cos \alpha_n + \cos \varepsilon_1 \sum m_n r_n \sin \alpha_n = 0$
- II') $\sin \varepsilon_1 \sum m_n r_n a_n \cos \alpha_n + \cos \varepsilon_1 \sum m_n r_n a_n \sin \alpha_n = 0$.

Da diese Gleichungen für jeden Wert von ez gelten müssen, so hat man die vier Gleichungen

- 1) $\sum m_n r_n \cos \alpha_n = 0$
- und
 - 2) $\sum m_n r_n \sin \alpha_n = 0$
- 3) $\sum m_n r_n a_n \cos \alpha_n = 0$
- unb 4) $\sum m_n r_n a_n \sin \alpha_n = 0$

zu erfüllen.

Da die Größen m_n und r_n bereits aus anderen Gründen als bestimmt gelten mussen, und da $a_1 = 0$ und $\alpha_1 = 0$ ist, so stehen die Größen

$$\alpha_2, \alpha_3, \ldots \alpha_n$$
 und $\alpha_2, \alpha_3, \ldots \alpha_n$

zur Verfügung.

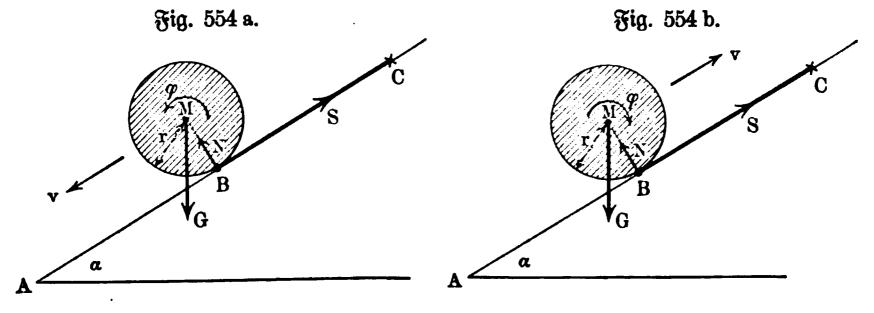
Soll der Ausgleich möglich sein, so muß man mindestens n=4 setzen, d. h. der gesuchte Ausgleich ist nur für Viercylindermaschinen möglich.

Da nämlich mit Rücksicht auf die praktische Ausführung nur das Verhältnis der Abstände a_2 , ... a_n bestimmt werden kann und nicht diese selbst, so würden bei n=3 nur drei Unbekannte eingeführt werden.

Bei n=4 werden nun allerdings fünf Unbekannte eingeführt, doch ist es nicht unzweckmäßig, daß somit einer der Winkel a2, a3, a4 zu freier Ver= fügung steht.

Während man gemäß der Gleichungen 1) und 2) bereits seit geraumer Zeit den Schwerpunkt der beweglichen Massen in relativer Ruhe zum Schiffs= körper zu halten bestrebt war, hat erst Schlick die Bedeutung der Glei= chungen 3) und 4) erkannt und demgemäß auch brauchbare Konstruktionen für große Oceandampfer geliefert.

Rollen und Rollgleiten. Rollt ein Cylinder auf einer schiefen Ebene abwärts (Fig. 554 a) oder aufwärts (Fig. 554 b), so ist für den Be= rührungspunkt B jedes Gleiten ausgeschlossen, d. h. es ist $r\varphi = v$.



Um ein solches Rollen wirklich herzustellen, kann man um den Cylinder einen Faden (mehrfach) wickeln, der bei C befestigt ist. Es wirken dann auf den Enlinder die Fadenspannung [S] und die Reaktion [N] in B und das Gewicht [G] in M.

Da die Bewegung im allgemeinen nicht gleichförmig ist, so müssen auch die Essektivkräfte der Bewegung berücksichtigt werden, welche in einer sortschreitenden Bewegung von M und in einer Drehbewegung um eine horizonstale Achse durch M besteht. Sind die Beschleunigungen der beiden Beswegungen bezw. j und 1, so gilt für die fortschreitende Bewegung

1)
$$mj = G \sin \alpha - S$$

und für die Drehbewegung um M

2)
$$\mathfrak{Tr}\iota = Sr.$$

Da in B ein Rollen stattfindet, so ist für jeden Zeitpunkt $r\varphi = v$ und demnach auch $r\iota = j$ oder $\frac{j}{r} = r$.

Durch Division von 1) und 2) ergiebt sich also

$$\frac{m}{2r} \cdot r = \frac{G \sin \alpha - S}{Sr}$$

oder

$$S \cdot \left(\frac{m \cdot r^2}{\mathfrak{T}r} + 1\right) = G \sin \alpha.$$

Daraus folgt

$$S = G \sin \alpha \cdot \frac{\mathfrak{T}r}{\mathfrak{T}r + mr^2}$$

$$mj = G \cdot \sin \alpha \cdot \frac{mr^2}{\mathfrak{T}r + mr^2}$$

oder, für G = mg,

$$j = g \sin \alpha \, \frac{m \, r^2}{\mathfrak{T} \mathfrak{r} + m \, r^2}.$$

Reduziert man Tr auf den Umfang des Cylinders, so ist Tr $= \mu r^2$ und man hat

$$S = G \sin \alpha \frac{\mu}{m + \mu}.$$

Daraus folgt

$$mj = G \sin \alpha \frac{m}{m + \mu}$$

ober, für G = mg,

$$j = g \sin \alpha \, \frac{m}{m + \mu}.$$

Löst man den Faden, so kann die Reibung an der schiefen Ebene, deren größter Wert $fN=fG\cos\alpha$ ist, statt S eintreten, falls $fN\geqq S$ ist.

Man hat dafür also die Bedingung

b. h.
$$f \cdot G \cdot \cos \alpha \geqq G \sin \alpha \frac{\mu}{m + \mu}$$
$$tg \alpha \leqq f \cdot \frac{m + \mu}{\mu}.$$

Führt man Tr $= \frac{1}{2}mr^2$ ein, so ergiebt sich $\mu = \frac{1}{2}m$, d. h. man hat $tg \alpha \leq 3f$.

Für f=0.08 ist der Reibungswinkel $4^{\circ}30'$, für 3f=0.24 ist $\alpha=13^{\circ}30'$, d. h. ein Körper mit ebener Grundsläche gleitet für f=0.08, sobald $\alpha \ge 4^{\circ}30'$, ein rollender Cylinder beginnt dagegen zu gleiten, sobald $\alpha \ge 13^{\circ}30'$ ist. Bergl. S. 727.

Liegt der Cylinder mit einem Zapfen vom Radius ϱ auf geneigten Schienen, so tritt zunächst überall ϱ ein statt r.

Her ist
$$\operatorname{Tr} = \frac{1}{2}mr^2 = \mu \varrho^2$$
, d. h. $\mu = \frac{1}{2}m\frac{r^2}{\varrho^2}$, und man erhält $tg \alpha \leq f \cdot \frac{r^2 + 2\varrho^2}{r^2}$.

Für $\lim \varrho = 0$ ist $tg \alpha \leq f$, d. h. α stimmt für unendlich=dünne Zapfen überein mit dem Reibungswinkel.

Dieselbe Betrachtung gilt auch für Hohlcylinder (Reisen) und Kugeln, überhaupt für Körper, in denen der Kreis der Fig. 554 als Symmetrieebene eines Rotationskörpers mit einer Achse senkrecht zu M aufgefaßt werden kann (z. B. Doppelkegel).

Für die Kugel ist z. B. Tr $= \frac{2}{5}mr^2$, so daß $\mu = \frac{2}{5}m$ zu setzen ist, und man erhält

$$tg \alpha \leq 3.5 f$$
.

Läßt man einen beliebigen Körper mit Zapfenbefestigung (ϱ) auf gesneigten Schienen rollen, so führt $\operatorname{Tr} = \mu \, \varrho^2$ wieder zu

$$tg\,\alpha \leq f \cdot \frac{\mu + m}{\mu},$$

vorausgesett, daß die Drehungsachse eine freie Achse des Körpers ist.

Die Bewegungen der Fig. 554 a und 554 b unterscheiden sich nicht durch die Kräfte bezw. Beschleunigungen, obwohl die Fig. 554 a eine beschleunigte, die Fig. 554 b eine verzögerte Bewegung darstellt. Man hat für die sortschreitende Bewegung, falls man die Richtung nach unten als positiv ansett, für Fig. 554 a

$$v = v_0 + jt$$
 und $s = s_0 + v_0t + \frac{1}{2}jt^2$

und für Fig. 554 b

$$v = v_0 - jt$$
 und $s = s_0 - v_0 t - \frac{1}{2} jt^2$.

Ebenso hat man für die Drehbewegung, falls man beide Male den Sinn der rollenden Bewegung als positiv ansett, für Fig. 554 a

$$\varphi = \varphi_0 + \iota t$$
 und $\sigma = \sigma_0 + \varphi_0 t + \frac{1}{2} \iota t^2$

und für Fig. 554 b

$$\varphi = \varphi_0 - \iota t$$
 und $\sigma = \sigma_0 + \varphi_0 t - \frac{1}{2} \iota t^2$.

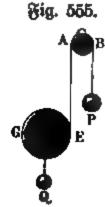
Im Falle der Fig. $554\,\mathrm{b}$ tritt für $t=\frac{v_0}{j}$ bezw. für $t=\frac{\varphi_0}{\iota}$ Ruhe ein, worauf die Bewegung des weiteren der Fig. $554\,\mathrm{a}$ entspricht. Für $\alpha=90^\circ$

kann man die betrachteten Bewegungen als Rollbewegungen an einem fenkrechten Faden veranschaulichen.

Man hat dann
$$S = G \cdot \frac{\mathfrak{T}r}{\mathfrak{T}r + mr^2}$$
 und $j = g \frac{mr^2}{\mathfrak{T}r + mr^2}$.

Ist der abrollende Körper ein Cylinder vom Gewichte Q, so ist für ihn $\operatorname{Tr} = \frac{1}{2} m r^2$ und also $S = \frac{1}{3} Q$ und $j = \frac{3}{3} g$; es ist denmach in Fig. 555 Rig. 555. $P = \frac{1}{3} Q$ zu nehmen, um Gleichgewicht mit dem abrollenden

Cylinder herzuftellen.



Führt man noch bas Wiberftandsmoment W der rollenden Reibung ein, das bisher vernachläffigt wurde, so sind für Fig. 554 a die Ansaze

1)
$$mj = G \sin \alpha - S$$

2)
$$\mathfrak{Tr}\iota = Sr - W$$

unter Berücksichtigung von $j=r\iota$ zu verbinden. Man hat hier

$$S = \frac{\mathfrak{X}r\iota + W}{r} = \frac{\mathfrak{X}r}{r^2} \cdot j + \frac{W}{r}$$

und

$$mj = G \sin \alpha - \frac{\mathfrak{T}}{r^2} \cdot j - \frac{W}{r}$$

b. h.

$$j = \frac{G \sin \alpha - \frac{W}{r}}{m + \frac{\Re \tau}{r^2}}.$$

Far W=N . $f_r=G$. $\cos lpha$. f_r erhält man also

$$j = \frac{G\left(\sin\alpha - \cos\alpha \cdot \frac{f_r}{r}\right)}{m + \frac{\mathfrak{Tr}}{r^2}}$$

unb

$$S = G \sin \alpha - \frac{mG\left(\sin \alpha - \cos \alpha \cdot \frac{f_r}{r}\right)}{m + \frac{\mathfrak{T}r}{r^2}}.$$

Fig. 556.

Wenn ber Cylinder ber Fig. 556 durch eine Kraft [K] in M so bewegt wird, daß er durch die Fadenspannung [S] zum Rollen gezwungen wird, so ist wieder $j = \iota r$, und es gilt

. 1)
$$K \leftarrow S = mj$$

2)
$$\iota = \frac{Sr}{\mathfrak{Tr}}$$
.

Daraus folgt
$$S=K\cdot \frac{\mathfrak{Tr}}{\mathfrak{Tr}+mr^2}$$
 und $j=\frac{K}{m}\cdot \frac{mr^2}{\mathfrak{Tr}+mr^2}\cdot \mathfrak{F}$ ür $\mathfrak{Tr}=\frac{1}{2}mr^2$ ist bann
$$S=\frac{1}{3}K \quad \text{und} \quad j=\frac{2}{3}\frac{K}{m} \quad \text{und} \quad \iota=\frac{2}{3}\frac{K}{m}\cdot \frac{1}{r}\cdot \frac{1}{r}$$

Tritt statt der Fadenspannung [S] die Reibung ein, so muß

$$fG \geq K \cdot \frac{\mathfrak{Tr}}{\mathfrak{Tr} + \dot{m}r^2}$$

sein, d. h. man hat für den Cylinder als Bedingung des Rollens $f \geq \frac{1}{8} \frac{K}{G}$.

Hat [K] den Wert $fG \cdot \frac{\operatorname{Tr} + mr^2}{\operatorname{Tr}}$, so führt die geringste Vergrößerung von [K] zu einer Bewegung, bei welcher sich Rollen und Gleiten verbindet.

Für $K=fG\cdot \frac{{\mathfrak T}{\mathfrak r}+mr^2}{{\mathfrak T}{\mathfrak r}}+P$ wird das Gleiten durch [P] bewirkt, so daß für das Gleiten

$$j' = \frac{P}{m} = \frac{K}{m} - \frac{fG}{m} \cdot \frac{\mathfrak{Tr} + mr^2}{\mathfrak{Tr}}$$

als Beschleunigung anzusetzen ist.

Für
$$\operatorname{Tr} = \frac{1}{2}mr^2$$
 erhält man $j' = \frac{K - 3fG}{m}$.

Die Beschleunigung der fortschreitenden Bewegung ist hier

$$j + j' = \frac{2}{3} \cdot \frac{3fG}{m} + \frac{K - 3fG}{m} = \frac{K - fG}{m}$$

wie man auch unmittelbar ersieht; die Beschleunigung der Drehung ist nach wie vor

$$\iota = \frac{2}{3} \left(\frac{3fG}{m} \right) \frac{1}{r} = \frac{2fG}{m} \cdot \frac{1}{r} \cdot$$

Läßt man den Cylinder durch Zapfen (q) auf Schienen gleiten, so ist wieder q in den Formeln 1) und 2) für r einzuführen.

Läßt man einen beliebigen Körper durch eine Achse (ϱ) auf Schienen gleiten, so gelten für eine freie Achse des Körpers als Drehungsachse nur noch die Gleichungen 1) und 2), falls man r durch ϱ ersett.

Sind die Schienen unter dem Winkel a geneigt, so tritt Gsin a für K und Gcos a für G ein, falls der Körper nur durch sein Gewicht getrieben wird.

Man hat hier als Bedingung für die Verbindung rollender und gleiten= der Bewegung

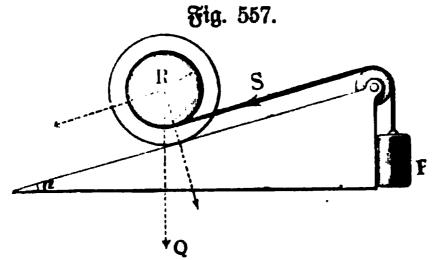
$$fG\cos\alpha < G\sin\alpha \frac{\mathfrak{T}r}{\mathfrak{T}r + m\varrho^2}$$

Hier bezeichnet

$$tg\,\alpha = f \cdot \frac{\mathfrak{T}r + m\,\varrho^2}{\mathfrak{T}r}$$

die Grenze für das reine Rollen (vergl. S. 775).

Auf einer schiefen Ebene vom Neigungswinkel α (Fig. 557) befinde sich ein Cylinder vom Halbmesser R, welcher durch ein umgeschlagenes Seil, das,



über eine feste Rolle geführt, an seinem Ende ein Gewicht P trägt, in Bewegung gesetzt werden soll. Ist j_1 die Beschleunigung des sinkens den Gewichtes P und j_2 die des ansteigenden Cylinders vom Gewicht Q, so ist die am Umsange des Cyslinders auf Drehung wirkende Besshleunigung $j_3 = j_1 - j_2$.

Nennen wir die Spannung im Seile S und sehen von den Hindernissen

der Bewegung ab, so ist

$$j_1 = \frac{P - S}{\frac{P}{g}}$$

$$j_2 = \frac{S - Q \sin \alpha}{\frac{Q}{g}}$$

$$j_3 = \iota R = \frac{SR^2}{\mathfrak{Tr}} = j_1 - j_2 = \frac{P - S}{\frac{P}{g}} - \frac{S - Q \sin \alpha}{\frac{Q}{g}}.$$
Sieraus ergiebt sich
$$S = \frac{1 + \sin \alpha}{1 + \frac{\mathfrak{Tr} \cdot g}{PR^2} + \frac{\mathfrak{Tr} \cdot g}{QR^2}} \cdot \frac{\mathfrak{Tr} \cdot g}{R^2}.$$

Daraus folgt j_3 , j_2 , j_1 und es ist z. B.

$$j_3 = g \frac{1 + \sin \alpha}{1 + \frac{\mathfrak{Tr} \cdot g}{QR^2} + \frac{\mathfrak{Tr} \cdot g}{PR^2}}.$$

Zu demselben Ergebnisse gelangt man folgendermaßen mit Hülse des Principes von d'Alembert:

Haben P und Q bezw. die Masse m_1 und m_2 , so sind die Gegenkräfte der Bewegung $-m_1j_1$, $-m_2j_2$ und $-\frac{\operatorname{Tr}}{R^2}j_3$. Diese müssen mit den urssprünglich angebrachten Kräften im Gleichgewichte sein, d. h. sowohl für fortsschreitende, als auch für drehende Bewegung. Für die letztere ist zu besmerken, daß wir es mit einer veränderlichen Drehachse zu thun haben, indem die ausliegende Seite des Cylinders die jedesmalige Drehachse wird.

Für das vorhandene Gleichgewicht bestehen folgende Bedingungen, wobei daran zu denken, daß j_2 in Bezug auf j_1 negativ zu nehmen ist und daß der Massenwiderstand $\frac{\mathfrak{T}r}{R^2}j_3$ im Umfange des Cylinders, die übrigen Kräste und Widerstände aber im Schwerpunkte des Körpers wirksam gedacht werden müssen.

$$P - Q \sin \alpha - m_1 j_1 - m_2 j_2 = 0$$
 $PR + QR \sin \alpha - m_1 j_1 R + m_2 j_2 R - \frac{\mathfrak{Tr}}{R^2} j_8 \cdot 2R = 0.$

Außerdem ist $j_1 = j_2 + j_3$, daher

$$P - Q \sin \alpha = (m_1 + m_2) j_1 - m_2 j_3$$

 $P + Q \sin \alpha = (m_1 - m_2) j_1 + m_2 j_8 + 2 \frac{\mathfrak{Tr}}{R^2} j_8.$

Multiplizieren wir die erste der Gleichungen mit $m_1 - m_2$, die zweite mit $m_1 + m_2$ und subtrahieren die erste von der zweiten, so entsteht

$$(P+Q\sin\alpha)\left(m_1+m_2
ight)-\left(m_1-m_2
ight)(P-Q\sin\alpha) \ =j_3\left[m_2\left(m_1+m_2
ight)+2\left(m_1+m_2
ight)rac{\mathfrak{Tr}}{R^2}+\left(m_1-m_2
ight)m_2
ight].$$
 Man hat $j_3=rac{P}{m_1}+rac{Q}{m_2}\sinlpha \ 1+rac{\mathfrak{Tr}}{m_2R^2}+rac{\mathfrak{Tr}}{m_1R^2},$

oder, statt der Massen die Gewichte eingeführt,

$$j_8 = g \frac{1 + \sin \alpha}{1 + \frac{\mathfrak{Tr} \cdot g}{QR^2} + \frac{\mathfrak{Tr} \cdot g}{PR^2}}$$
 u. f. f.

Die Spannung S ist durch $P - m_1 j_1$ bestimmt u. s. f.

Nehmen wir den Körper als Cylinder an, Tr also $=\frac{1}{2}m_2R^2$, und lassen die geneigte Ebene in eine vertikale übergehen, so erhalten wir (Fig. 558)

$$j_{1} = g \frac{3P - Q}{3P + Q}$$
 $j_{2} = -g \frac{P + Q}{3P + Q}$
 $j_{3} = g \frac{4P}{3P + Q}$
 $S = \frac{2PQ}{3P + Q}$

Die Beschleunigung j_1 wird positiv bleiben, wenn P sinkt, sie wird beim Steigen von P negativ und endlich Null, wenn P seinen Ort beshauptet. Dieser letzte Fall tritt auch ein, wenn das Seilende, anstatt über die seste Kolle geführt zu werden, durch irgend eine Kraft sestgehalten wird.

Setzen wir $j_1 = 0$, so ist

$$P = rac{1}{3} Q$$
 und $j_2 = -rac{2}{3} g$ $j_3 = rac{2}{3} g$ $j_4 = -j_3$ $j_5 = rac{1}{3} Q$.

Für diese Annahme ist also die Beschleunigung der fortschreitenden Beswegung gleich der entgegengesetzten Beschleunigung der drehenden am Ums

fange des Cylinders. Derselbe bewegt sich daher vollkommen rollend in fenkrechter Richtung aufwärts, was sich ohne Aufhören wiederholen wird, wenn man nach dem Ablausen des Cylinders die Kraft 1_8 Q stets von neuem wirken läßt. Bergl. dazu auch die Entwickelung zu Fig. 555.

11. Beschlennigte Bewegung von Fuhrwerken. It mi die Masse der rollenden Teile (Rader und auch Achsen) und mi die Masse der übrigen Teile des Fuhrwerkes, so gilt für die Bewegung eines einzelnen Rades oder Käderpaares solgendes, salls lediglich ein Kollen vorliegt.

Bezeichnet j die Beschleunigung der Bersschiebung und ι die Winkelbeschleunigung der Drehung (vergl. Fig. 559), Tr das Trägsheitsmoment der sich drehenden Masse, Modas Moment der Widerstände und S die Reibung, so ist $j = R\iota$ und ferner

$$\iota = \frac{RS - Mo}{\mathfrak{T}\mathfrak{r}}$$
 and $\jmath = \frac{P + (m_1 + m_2)g\sin\alpha - S}{m_1 + m_2}$.

Aus den ersten beiden Gleichungen folgt $S=rac{\operatorname{Tr} j \,+\, \mathit{Mo}\,\cdot\,R}{R^2}$, so daß man hat

$$j(m_1 + m_2) = P + (m_1 + m_2) g \sin \alpha - \frac{\mathfrak{T}r}{R^2} j - \frac{Mo}{R}$$

Bezeichnet man $\frac{\mathfrak{Tr}}{R^2}$ burch μ , so bezeichnet μ die Masse eines materiellen Punktes, welcher die sich drehenden Massen m_1 im Abstande R vom Centrum ersett. Man hat dann

$$j(m_1 + m_2 + \mu) = P + (m_1 + m_2) g \sin \alpha - \frac{Mo}{R}$$

Die theoretische Bestimmung von Mo ist wieder durchaus unsicher, so daß es zweckmäßig ist, Mo durch Bersuche zu bestimmen, und zwar solgenders maßen:

Der Winkel α_0 , für welchen j=0 ift, soll wieder als die Gleiche gewicht sneigung bezeichnet werden, er ist durch Bersuche (P=0) zu bestimmen. Führt man ihn ein, so ist

b. h. es ist
$$0 = (m_1 + m_2) g \sin \alpha_0 - \frac{Mo}{R},$$

$$\frac{Mo}{R} = (m_1 + m_2) g \sin \alpha_0.$$

Demnach gilt allgemein

$$j(m_1 + m_2 + \mu) = P + (m_1 + m_2) g \sin \alpha - (m_1 + m_2) g \sin \alpha_0$$

= $P + (m_1 + m_2) g (\sin \alpha - \sin \alpha_0)$.

Für Neinere Werte von a und α_0 lassen sich die Sinus durch die Arcus ersetzen, so daß sich

$$j(m_1 + m_2 + \mu) = P + (m_1 + m_2)g(\alpha - \alpha_0)$$

ergiebt.

Die abgeleitete Formel, welche zunächst für ein einzelnes Rad oder Räderpaar gilt, läßt sich wieder (vergl. S. 617) ohne weiteres auf einen Wagen und auf Züge übertragen.

12. Die Bestimmung der Centrisugaltraft für eine Stange, die windschief ist zur Drehungsachse. Die Stangenachse heiße AB und sei für den lausenden Meter durch γ kg belastet. Der Punkt A liege in der XY=Ebene und habe die Koordinaten x' und y', der Punkt B liege in der XZ=Ebene und habe die Koordinaten x'' und z''. Die Linie bilde mit der Z=Achse den Winkel α und habe die Länge l. Für

unb

$$z_1 = rac{\sum mxz}{\sum mx}$$
 $z_2 = rac{\sum myz}{\sum my}$
 $z_1 = rac{1}{3}l\coslpha rac{2x'' + x'}{x' + x''}$
 $z_2 = rac{1}{3}l\coslpha.$

ergiebt sich

Die aus den Centrifugalfräften resultierenden Drucke sind

$$D_1 = \varphi^2 \Sigma mx = \varphi^2 \frac{l\gamma}{g} \cdot \frac{x' + x''}{2}$$

$$D_2 = \varphi^2 \Sigma my = \varphi^2 \frac{l\gamma}{g} \cdot \frac{y'}{2}.$$

Werden diese an den Schwerpunkt versetzt, so erhält man die Resultante C aus allen Centrifugalfräften

$$C = \varphi^2 \frac{\gamma}{g} \frac{1}{2} \sqrt{(x' + x'')^2 + y'^2}.$$

Hierdurch bilden sich zwei Kräftepaare

$$D_1 l \left(\frac{1}{2} - \frac{1}{8} \frac{2 x'' + x'}{x' + x''} \right) = \frac{1}{12} \varphi^2 \frac{l \gamma}{g} (x' - x'') l$$

$$D_2 l \left(\frac{1}{2} - \frac{1}{3} \right) = \frac{1}{12} \varphi^2 \frac{l \gamma}{g} y' l.$$

Wir sehen $\frac{1}{6}l$ als die gemeinschaftliche Breite der beiden Kräftepaare an und vereinigen die beiden Paare zu einem, wobei zu berücksichtigen ist, daß die Paarebenen auseinander rechtwinkelig stehen.

Das neue Paar ist

$$\frac{1}{6}l \cdot \frac{1}{2}\varphi^2 \frac{l\gamma}{g} \sqrt{(x'-x'')^2 + y'^2}$$

und man hat

$$\cos \varrho = \frac{x'-x''}{\sqrt{(x'-x'')^2+y'^2}},$$

wenn ϱ den Neigungswinkel der neuen Paarebene mit der Ebene desjenigen Paares bezeichnet, welches in einer zur XZ-Ebene parallelen Ebene liegt.

13. Die Bewegung des Kreisels. Ein Kreisel (Rotationskörper), wie ihn Fig. 560 andeutet, erhalte eine kräftige Drehung um seine Achse OZ und werde dann schief auf das Lager O aufgesetzt.

Fig. 560,

Um die Bewegung der Achse OZ zu untersuchen, benugen wir ein bewegliches Koordinatentreuz, indem wir in der Bertitalebene ZOV durch O eine Y-Achse, sentrecht zu OZ, und außerdem eine X-Achse, sentrecht zur Ebene ZOY, einführen.

Um die Lage dieses Kreuzes im Raume zu bestimmen, sühren wir $\angle ZOV = \vartheta$ ein, suchen ferner die Spur der Ebene ZOV mit der Horizontalebene durch O auf und messen die Stellung (η) dieser Spur gegen eine seste Gerade OH der Horizontalebene.

Die Relativbewegung des Kreis sels gegen die XYsChene ist nicht von Bedeutung, da dieser wegen seiner Form als Rotationskörper

e. sm 🗸

für alle Geraden der XX-Ebene burch O basselbe Trägheitsmoment hat.

Bon Momenten äußerer Kräfte kommt bei Bernachlässigung der Reisbungen nur Gesin d zur Geltung und zwar dreht dieses um die X-Achse. Da außerdem Trx und Try denfelben Wert haben, der A heißen mag, so lauten die Eulerschen Gleichungen hier

- 1) ι_x . $A + \varphi_y \varphi_z (A \mathfrak{X} \mathfrak{r}_s) = Gesin \vartheta$
- 2) $\iota_y \cdot A + \varphi_s \varphi_s(\mathfrak{T} \mathfrak{r}_s A) = 0$
- 3) ι_s . $\mathfrak{T}\mathfrak{r}_s = 0$.

Aus 3) solgt, daß die Winkelgeschwindigkeit für die Z-Achse konstant ist, also stets den Ansangswert, welcher γ_x heißen mag, beibehält, wie auch aus der Betrachtung der Lage des Momentes zur Achse ohne weiteres solgt.

Anftatt nun Gleichung 1) und 2) für $\varphi_s = \gamma_s$ weiter zu behandeln auf dem Wege, welcher S. 714 eingeschlagen wurde, verfahren wir folgenders maßen.

Da die Kraft [G] parallel zu OV ist, so ist das Moment der Bewegungssgröße für die Achse OV (vergl. S. 697) eine Konstante B. Da die Komposnente dieses Momentes nach den Achsen OX, OY, OZ bezw. φ_x . A, φ_y . A und φ_s . Tr, sind, so gilt also

1)
$$B = \varphi_v \cdot A \cdot \sin \vartheta + \gamma_s \cdot \mathfrak{T} r_s \cdot \cos \vartheta$$
.

Bezeichnet man die Anfangswerte von θ , φ_x und φ_y bezw. durch θ_{\bullet} , γ_x und γ_y , so ist

$$B = \gamma_y \cdot A \cdot \sin \theta_0 + \gamma_s \cdot \operatorname{Tr}_s \cdot \cos \theta_0$$

Bergleicht man ferner eine beliebige Stellung (ϑ) der Achse OZ mit deren Ansangsstellung (ϑ ₀), so ist die Arbeit der äußeren Kräfte für die Anderung der Stellung (Senkung)

$$Ge(\cos\vartheta_0 - \cos\vartheta).$$

Diese Arbeit entspricht dem Zuwachse an lebendiger Kraft, d. h. dem Werte

$$(\frac{1}{2}\varphi_x^*A + \frac{1}{2}\varphi_y^*A + \frac{1}{2}\gamma_s^*\mathfrak{T}r_s) - (\frac{1}{2}\gamma_x^*A + \frac{1}{2}\gamma_y^*A + \frac{1}{2}\gamma_s^*\mathfrak{T}r_s).$$
 Demnach gilt

II)
$$\frac{1}{2}A(\varphi_x^2 + \varphi_y^2 - \gamma_x^2 - \gamma_y^2) = Ge(\cos\theta_0 - \cos\theta).$$

Da der Kreisel bei Beginn seiner Bewegung nur eine Drehung um die Achse OZ haben sollte, so ist $\gamma_x=0$ und $\gamma_y=0$ und man erhält

I')
$$\varphi_y A \sin \vartheta + \gamma_s \cdot \mathfrak{T} r_s \cos \vartheta = \gamma_s \mathfrak{T} r_s \cos \vartheta_0$$

und

II')
$$\frac{1}{2}A(\varphi_x^2 + \varphi_y^2) = Ge(\cos\theta_0 - \cos\theta).$$

Aus I') folgt

$$\varphi_{y} = \frac{\gamma_{s} \mathfrak{T} \mathfrak{r}_{s}}{A} \cdot \frac{\cos \vartheta_{0} - \cos \vartheta}{\sin \vartheta}$$

und daraus, mit Rücksicht auf II'), ferner

$$\varphi_x = \pm \sqrt{(\cos\vartheta_0 - \cos\vartheta) \left[\frac{2 Ge}{A} - \frac{\gamma_s^2 \mathfrak{T} \mathfrak{r}_s^2}{A^2} \frac{\cos\vartheta_0 - \cos\vartheta}{\sin^2\vartheta} \right]}.$$

Da die Arbeit der äußeren Kräfte in einer Senkung besteht, so ist $\partial \geq \partial_0$ und demnach ist $\cos \partial_0 - \cos \partial$ positiv oder Null, es muß also auch die Klammer unter der Wurzel von φ_x positiv bleiben, falls sie nicht Kull ist, d. h. man hat

$$\frac{2 \operatorname{GeA}}{\gamma_s^2 \operatorname{Tr}_s^2} \geq \frac{\cos \vartheta_0 - \cos \vartheta}{\sin^2 \vartheta}.$$

Setzt man $\frac{\gamma_s^2 \mathfrak{Tr}_s^2}{2 \, GeA} = 2 \, m$, so ist für die Grenze (=) in Geltung

$$sin^2\vartheta = 1 - cos^2\vartheta = 2 m cos \vartheta_0 - 2 m cos \vartheta$$
,

d. h. man hat

$$\cos^2\vartheta - 2m\cos\vartheta + 2m\cos\vartheta_0 - 1 = 0$$

oder

$$\cos\vartheta = m \pm \sqrt{m^2 - 2 m \cos\vartheta_0 + 1}.$$

Für die senkrechte Stellung der Kreiselachse ist $\theta_0 = 0$ und $\cos \theta_0 = 1$, so daß die Wurzel in diesem Falle den Wert m-1 erhält, und es wird $\cos \theta = 2\,m-1$ oder 1.

Für eine schiefe Stellung der Kreiselachse ist $\vartheta_0>0$ und $\cos\vartheta_0<1$, so daß die Wurzel in diesem Falle den Wert $m-1+\varepsilon$ erhält, wobei ε eine positive Korrektur bedeutet.

Für die beiden Werte von &, welche der obigen Entwickelung entsprechen, gilt also

$$\cos\vartheta = m + (m - 1 + \varepsilon) = (2m + \varepsilon) - 1$$

$$\cos\vartheta = m - (m - 1 + \varepsilon) = 1 - \varepsilon.$$

Für relativ große Werte von γ_z , wie sie dem rotierenden Kreisel ent= sprechen, ist m relativ groß, so daß nur der zweite Wert, welcher durch $\overline{\vartheta}$ bezeichnet werden mag, brauchbar ist.

Entwickelt man $\cos \overline{\vartheta}$ für relativ große Werte von m, so gilt

$$\cos \bar{\vartheta} = \cos \vartheta_0 - \frac{1}{2m} \sin^2 \vartheta_0 + \cdots$$

Sett man anderseits $\bar{\vartheta} = \vartheta_0 + \bar{\delta}$, so ist

$$\cos \bar{\vartheta} = \cos \vartheta_0 \cos \bar{\delta} - \cos \vartheta_0 \sin \bar{\delta}$$
,

und man hat bei Berücksichtigung der Glieder erster Ordnung

$$\cos \bar{\vartheta} = \cos \vartheta_0 - \sin \vartheta_0$$
. $arc \bar{\delta}$.

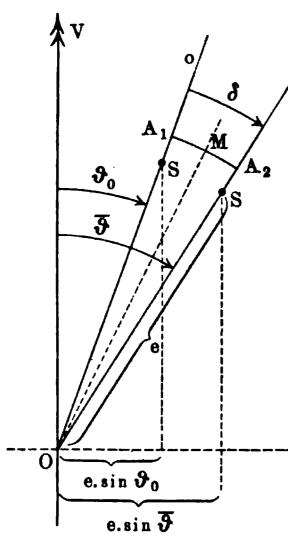
Aus dem Bergleiche der beiden Werte für cos & folgt

$$arc(\overline{\vartheta} - \vartheta_0) = arc\overline{\vartheta} = \frac{1}{2m} \cdot \sin\vartheta_0 = \frac{2 \operatorname{Ge} A}{\gamma_s^2 \operatorname{Tr}_s^2} \sin\vartheta_0.$$

Der Winkel & vermag demnach die Grenzen $\mathfrak{F}_{\mathfrak{o}}$ und $\overline{\mathfrak{F}}=\mathfrak{F}_{\mathfrak{o}}+\mathfrak{F}$ nicht zu überschreiten.

Für diese Grenzen wird $\varphi_x=0$, während eine Überschreitung dieser Grenzen einem imaginären Werte von φ_x entsprechen würde.

Fig. 561.



Der Senkung der Achse entsprechen positive, ihrem Steigen negative Werte von φ_x oder umgekehrt, je nach der Bestimmung des Dreshungssinnes. Um auch φ_x und φ_y für relativ große Werte von γ_x angenähert darzustellen, sezen wir $\vartheta = \vartheta_0 + \delta$, so daß δ also in den Grenzen $0 \dots \overline{\delta}$ liegt. Man hat dann

$$\varphi_y = \frac{\gamma_s \mathfrak{T} \mathfrak{r}_s}{A} \cdot arc \delta$$

und demnach auch

$$\varphi_x = \pm \sqrt{\frac{2 \operatorname{Gesin} \vartheta_0}{A} \cdot \operatorname{arc} \delta - \frac{\gamma_z^2 \mathfrak{T} \mathfrak{r}_z^2}{A^2} \cdot \operatorname{arc}^2 \delta}.$$

Für $\varphi_x = 0$ erhält man wieder $\delta = 0$ oder $\delta = \bar{\delta}$.

Bezeichnet man die Erzeugungsgeschwins digkeit von ϑ oder δ kurz durch φ , so ist natürlich $\varphi = \varphi_x$, d. h. für $arc \delta = f(t)$ ist $\varphi_x = f'(t)$.

Versucht man f(t) für den Übergang von $\delta=0$ über $\delta=\bar{\delta}$ bis $\delta=0$ als harmonische Schwingung darzustellen, so entspricht diese Ansnahme (vergl. Fig. 561) der Bewegung eines Pendels, welches sich aus der Seitenlage zu bewegen beginnt.

Für die Mitte M der Schwingung von A_1 über M nach A_2 und von A_2 über M nach A_1 hätte man $f(t) = -r \cos\left(2\,\pi\cdot rac{t}{T}
ight)$ anzusetzen, damit

für t=0 die Stellung [-r] in A_1 gegeben wird. Fängt man die Stellung in A_1 zu zählen an, so wäre

$$arc \, \delta = f(t) = r - r \cdot cos \left(2\pi \cdot \frac{t}{T} \right) = r \left[1 - cos \left(2\pi \cdot \frac{t}{T} \right) \right]$$

zu setzen und es wäre ferner $\varphi_x=f'(t)=+r\cdot \frac{2\pi}{T}\sin\left(2\pi\cdot \frac{t}{T}\right)$ einzu= führen.

Unter dieser Annahme geht die Gleichung für φ_x über in

$$r \cdot \frac{2\pi}{T} \cdot sin\left(2\pi \cdot \frac{t}{T}\right) = \pm \sqrt{ar\left[1-cos\left(2\pi \cdot \frac{t}{T}\right)\right] - br^2\left[1-cos\left(2\pi \cdot \frac{t}{T}\right)\right]^2}$$

falls man die Faktoren von $arc\,\delta$ und $arc^2\,\delta$ bezw. durch a und b bezeichnet. Diese Gleichung erweist sich als richtig sür t=0 und sür t=T. Für $t=\frac{1}{2}\,T$ ergiebt sie

$$2ar-4br^2=0,$$

b. h.

$$r=0$$
 und $r=\frac{a}{2b}=\frac{G \cdot e \cdot A \cdot \sin \vartheta_0}{v_*^2 \mathfrak{Tr}_*^2}$.

Für $t = \frac{1}{4} T$ und $t = \frac{3}{4} T$ führt sie zu

$$r \cdot \frac{2\pi}{T} = \pm \sqrt{ar - br^2},$$

d. h. man hat

$$T^{2} = \frac{4 \pi^{2}}{b} = \frac{4 \pi^{2} A^{2}}{\gamma_{s}^{2} \mathfrak{T} \mathfrak{r}_{z}^{2}}$$

oder

$$T = \frac{2\pi}{\gamma_z} \cdot \frac{A}{\mathfrak{T}\mathfrak{r}_z}.$$

Setzt man nun die gefundenen Werte von r und T in unsere Gleichung ein, so wird sie in sich befriedigt. Demnach gilt

$$arc \delta = \frac{G \cdot e \cdot A \cdot sin \vartheta_0}{\gamma_z^2 \mathfrak{T}_z^2} \left[1 - cos \left(\frac{\gamma_z \cdot \mathfrak{T}_z}{A} \cdot t \right) \right].$$

Bei der gewählten Annäherung entspricht also die Veränderlichkeit von δ bezw. von ϑ thatsächlich einer harmonischen Schwingung von der Amplitude r und der Schwingungsdauer T.

Demnach ist auch

$$\varphi_y = \frac{\gamma_s \cdot \mathfrak{Tr}_s}{A} \cdot arc \, \delta = \frac{Ge \sin \vartheta_0}{\gamma_s \mathfrak{Tr}_s} \left[1 - \cos \left(\frac{\gamma_s \cdot \mathfrak{Tr}_s}{A} \cdot t \right) \right]$$

bestimmt.

Aus φ_v läßt sich leicht die Winkelgeschwindigkeit φ_V für die Vertikale OV ableiten, man hat

$$\varphi_{V} = \frac{\varphi_{y}}{\sin \vartheta} = \frac{Ge}{\gamma_{z} \mathfrak{T}_{z}} \cdot \frac{\sin \vartheta_{0}}{\sin \vartheta} \left[1 - \cos \left(\frac{\gamma_{z} \cdot \mathfrak{T}_{z}}{A} \cdot t \right) \right].$$

Da & nur in den engen Grenzen \mathfrak{F}_0 und $\overline{\mathfrak{F}}$ schwankt, so erhält man eine brauchbare Annäherung, wenn man $\sin \vartheta$ gegen $\sin \vartheta_0$ forthebt. Man hat dann

$$\varphi_{V} = \frac{Ge}{\gamma_{s} \mathfrak{T}_{r_{s}}} \left[1 - \cos \left(\frac{\gamma_{s} \mathfrak{T}_{r_{s}}}{A} \cdot t \right) \right]$$

als Winkelgeschwindigkeit der Kreiselachse um die Bertikale OV.

Projiziert man die Achse auf die Horizontale, so ist der Winkelweg arc n leicht aus φ_V abzuleiten, man hat beim Übergange zum Stamme

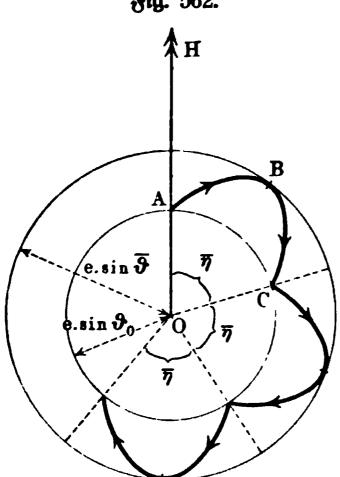
are
$$\eta = \frac{Ge}{\gamma_s \mathfrak{T}_s} \left[t - \frac{A}{\gamma_s \mathfrak{T}_s} \sin \left(\frac{\gamma_s \mathfrak{T}_s}{A} \cdot t \right) \right] + C$$

wobei C eine Konstante bezeichnet.

Soll $\eta=0$ sein für t=0, so ist C=0 zu setzen, d. h. man hat

$$arc \eta = \frac{Ge}{\gamma_s \mathfrak{T} \mathfrak{r}_s} \left[t - \frac{A}{\gamma_s \mathfrak{T} \mathfrak{r}_s} sin \left(\frac{\gamma_s \mathfrak{T} \mathfrak{r}_s}{A} \cdot t \right) \right].$$

Fig. 562.



Zeichnet man irgend einen Punkt, z. B. den Schwerpunkt, auf der Horizontalprojektion der Kreiselachse aus, so entsteht in der Hori= zontalebene ein Bild, wie es Fig. 562 an= deutet.

Setzt man in der Formel für arc η ein= mal t=0 und einmal t=T, so erhält man $arc \, \overline{\eta}$, entsprechend dem Bahnstücke ABCbezw. entsprechend dem Winkel AOC. Es ist

$$arc \, \bar{\eta} = 2 \pi \cdot \frac{GeA}{\gamma_s^2 \cdot \mathfrak{T}_s^2}$$

Die Anzahl n der Schwankungen der Rreiselachse, wie ABC, welche auf eine volle Umdrehung dieser Achse fallen, beträgt

$$n = \frac{2\pi}{arc \,\bar{\eta}} = \frac{\gamma_z^2 \cdot \mathfrak{T}r_s^2}{GeA}.$$

Da $arc \overline{\eta}$ in der Zeit T beschrieben wird, so erfordert ein voller Um=gang der Achse die Zeit

$$\Theta = \frac{2\pi}{arc\,\bar{\eta}} \cdot T = \frac{\mathfrak{Tr}_s}{Ge} \cdot \gamma_s \cdot 2\pi.$$

Die durchschnittliche Winkelgeschwindigkeit dieses Umganges ist also $\frac{Ge}{\mathfrak{Tr}_s\cdot\gamma_s}$

Der Sinn von $[\gamma_s]$ und $[\varphi_V]$ stimmt überein, d. h. für einen Beschauer, der von oben längs der Achsen ZO und VO blickt, ist entweder beide Male Uhrzeigerdrehung vorhanden oder beide Male nicht.

Es mag noch bemerkt werden, daß φ_v und $arc \eta$ bei der gewählten Annäherung von do unabhängig sind.

Ein Kreisel, welcher mit einem großen Werte von y, seine Bewegung beginnt, beschreibt langsam (vergl. Θ) einen Regel mit vielen (vergl. n), aber kleinen (vergl. $arc \bar{\eta}$) Einbuchtungen. Die Reibungen (Befestigung und Luftwiderstand) verändern langsam den Wert von γ_z , so daß die Umgänge rascher, die Einbuchtungen seltener, aber größer werden, dis schließlich ein Umfallen des Kreisels eintritt.

Da φ_V und arc_η proportional find zu e, so verschwinden diese Größen für e=0, d. h. sür den Fall, daß der Schwerpunkt des Kreisels mit O zusammensällt.

Fig. 563.

R

_h ⊿

Dies läßt sich, ebenso wie die vorher beschriebenen Bewegungen, versanschaulichen durch den Fesselschen Rotationsapparat, welcher in Fig. 563 abgebildet ist.

über die Beziehungen der Kreiseltheorie zur Pragis des Maschinenbaues vergl. Föppls Mechanit, Bb. IV.

Übungen zur Kinetik des farren Körpers.

1. Unter Berücksichtigung der Reibungen sind die Gesetze für eine besschleunigte Bewegung gemäß Jig. 151 zu entwickeln.

Bezeichnet man das Gewicht der Rolle mit G, so ist ihr Trägheits= moment als $\frac{1}{2}\frac{G}{q}r^2$ anzusezen, falls r den Rollenradius bezeichnet.

Bezeichnet man den Zapfenhalbmesser durch ϱ , so ist das Moment der Zapfenreibung D. ϱ . f_s , wobei für den Druck D gilt

$$D^2 = (P + G)^2 + (fQ)^2.$$

Es ist bann, falls die Seildicke & ist,

$$j = g \cdot \frac{P - fQ - \frac{13 \delta^2 fQ}{r} - \frac{D \cdot \varrho \cdot f_z}{r}}{P + Q + \frac{1}{2} G}$$
 $v = v_0 + jt \text{ u. j. m.}$

2. Wie ändert sich die Formel von Nr. 1, wenn P nicht durch Kollensübertragung als Gewicht wirkt, sondern unmittelbar als Kraft an Q?

$$j = g \cdot \frac{P - fQ}{Q}$$
 u. f. w.

3. Wenn im Falle der Nr. 2 die Krast P plötzlich zu wirken aushört (Abstellung der Triebkrast), nachdem Q die Geschwindigkeit c erlangt hat, so tritt eine verzögerte Bewegung ein. Wie lange dauert diese? Welche Strecke wird noch zurückgelegt?

$$j = -fg$$
.

Die (aktuelle) Energie $\frac{1}{2}\frac{Q}{g}c^2$ wird auf der Strecke s durch die Reibung fQ aufgezehrt, d. h. s. $2fg=c^2$. Da $v=v_0+jt$ und v=0, $v_0=c$, so ist $t=\frac{c}{fa}$.

4. Eine Lokomotive besitzt in dem Augenblicke, wo der Dampf absgesperrt wird, eine Geschwindigkeit von $11.3 \frac{\text{m}}{\text{sec}} \cdot$ Welchen Weg legt sie zurück, wenn f = 0.004 gesetzt wird, und welche Zeit gebraucht sie dazu? $s = 1628 \, \text{m}$ und t = 288 Sekunden.

5. Die Berhältnisse ber Fig. 203 sind zu behandeln, wie unter Nr. 1, falls die Körper A, und A, gleiten.

Bei Bernachlässigung ber Wiberstände von Seil und Rolle beträgt die Seilspannung $S=\frac{P_1P_2}{P_1+P_2}[\sin\alpha_1+\sin\alpha_2-f(\cos\alpha_1-\cos\alpha_2)].$

6. Wie ändert sich das Ergebnis der Nr. 5, wenn eine Ebene und wenn beide Ebenen vertikal werden?

$$S = \frac{P_1 P_2}{P_1 + P_2} (1 + \sin \alpha_2 + f \cos \alpha_2)$$
 und $S = 2 \frac{P_1 P_2}{P_1 + P_2}$.

7. Der Sonderfall der Nr. 5, der durch Fig. 152 dargestellt wird, soll unter Berücksichtigung aller Widerstände behandelt werden.

Bezeichnet man das Gewicht der Rolle durch V und die Seildicke durch d, so ist

$$j = g \frac{P - Q - \frac{13 \delta^2 Q}{r_1} - \frac{f_s \cdot r_2}{r_1} \cdot (P + Q + V)}{P + Q + \frac{1}{3} V}.$$

8. Bei der Atwoodschen Fallmaschine, welche Rr. 7 entspricht, können in erster Annäherung alle Widerstände vernachlässigt werden, so daß (vergl. S. 275) gilt

$$j \sim g \cdot \frac{P - Q}{P + Q}.$$

Für $Q = 0.80 \,\mathrm{kg}$ und $P = 0.84 \,\mathrm{kg}$ ist $j = 0.24 \, \frac{\mathrm{m}}{\mathrm{mag}^2}$.

Für
$$j = 0.13 \frac{\text{m}}{\text{sec}^2}$$
 und $P = 2.50 \text{ kg}$ ift $Q = 2.434 \text{ kg}$.

9. Die Berhältnisse der Fig. 204 sind zu behandeln wie unter Nr. 1, falls die Körper A_1 und A_2 gleiten.

Bei Bernachlässigung ber Wiberstände von Seil und Rolle gilt

$$S_1r_1 = S_1r_2 = \frac{P_1P_2}{P_1r_1^2 + P_2r_2^2}[r_1r_2^2(\sin\alpha_1 - f\cos\alpha_1) + r_1^2r_2(\sin\alpha_2 + f\cos\alpha_1)].$$

10. Die Ergebnisse von Nr. 9 sind im besondern für $\alpha_1 = \alpha_2 = 90^{\circ}$ abzuleiten, vergl. Fig. 564.

Kraft P und Last Q mögen an vollkommen biegsamen Schnüren wirken, deren Gewicht nicht berücksichtigt wird. Das Rab, mit Armen und Nabe konstruiert, habe den mittleren Halbmesser R, die Welle den Halbmesser r und deren Zapsen den Halbmesser Q. Das Gewicht des Kranzes sei

A, das der Arme und Nabe $\frac{1}{8}A$ und das Gewicht der Welle B Kilogramm. Wir nehmen an, daß PR > Qr ist. Die Beschleunigungen der beiden Gewichte seien j_1 und j_2 , die zu einer Umdrehung der Maschine notwendige Zeit sei t, dann ist $2R\pi = \frac{1}{2}j_1t^2$ und $2r\pi = \frac{1}{2}j_2t^2$, daher

$$j_1 = \frac{\frac{j_1}{j_2} = \frac{R}{r}}{P + Q\left(\frac{r}{R}\right)^2 + \frac{2r \cdot g}{R^2}}g,$$

unter Tr das Trägheitsmoment der ganzen Maschine verstanden. Die Spannung S_1 des Seiles, an dem P wirksam, ist

$$S_1 = P - \frac{P}{g} j_1.$$

Die Spannung S, bes anberen Seiles ist

$$S_2 = Q + \frac{Q}{g} j_2.$$

Der Druck D auf die Zapfen ist demnach, abgesehen von dem Gewichte der Maschine

$$D = S_1 + S_2 = P + Q - J_1 \left(\frac{P}{g} - \frac{Q}{g} \cdot \frac{r}{R} \right),$$

alfo fleiner als in dem Buftanbe bes Gleichgewichtes.

11. Eine ober die andere der vorstehenden Aufgaben ist unmittelbar durch das Princip von d'Alembert zu lofen.

Stg. 565.

12. In den vorigen Aufgaben ist stets das Gewicht des Seiles vernachlässigt worden. Denken wir die Sewichte P und Q an einer eisernen Kette (Fig. 565) hängend, die sich um die seste Rolle legt, so kommen zu der bewegenden Kraft in jedem Moment neue Kettens stücke als überschuß hinzu, während das Gegengewicht sich in gleichem Maße verringert.

Der Halbmesser der Rolle sei r, die Kettenlänge sei $\pi r + l$, die Längeneinheit derselben habe ein Gewicht von γ Kilogramm. Wir lassen die Nebenhindernisse außer Betracht und nehmen das frei herunterhängende Kettenstück, an dem P wirksam ist, zu Ansang der Bewegung von der Länge h an.

Erfolgt die Bewegung im Sinne von [P], so ist die bewegende Kraft, falls bereits ein Kettenstück von der Länge x hinzugekommen ist,

 $P+\gamma(h+x)-[Q+\gamma(l-[h+x])]=P-Q-\gamma l+2\gamma(h+x),$ während die bewegte Masse den Wert

$$\frac{P+Q+\gamma(l+r\pi)+\frac{1}{2}V}{g}$$

hat, falls V das Gewicht der Rolle bezeichnet.

Demnach ist die Beschleunigung j von P in diesem Falle gegeben als

$$j=\frac{a+x}{b^2},$$

falls $\frac{P-Q-\gamma l}{2\gamma}+h=a$ und $\frac{P+Q+\gamma(l+r\pi)+\frac{1}{2}V}{g\cdot 2\gamma}=b^2$ geset wird.

If x = f(t), so if i = f''(t).

Sext man $a + x = \varphi(t)$, so ist $a + f(t) = \varphi(t)$, d. h. man hat $f''(t) = \varphi''(t)$ und demnach ist

$$\varphi''(t) = \varphi(t) \cdot \frac{1}{b^2}$$

In dieser Gleichung ist be positiv und man erhält (vergl. S. 269)

$$\varphi(t) = A \cdot e^{+\frac{t}{b}} + B \cdot e^{-\frac{t}{b}}.$$

Demnach ist $x = \varphi(t) - a$ und

$$v = \varphi'(t) = \frac{A}{h} \cdot e^{+\frac{t}{b}} - \frac{B}{h} \cdot e^{-\frac{t}{b}}$$

bestimmt.

Sind die Werte von x und v zur Zeit t=0 bezw. x_0 und v_0 , so ist

$$x_0 = A + B - a$$
 und $v_0 = \frac{A - B}{b}$,

d. h. es ist

$$A=rac{x_0\,+\,a\,+\,b\,v_0}{2}$$
 und $B=rac{x_0\,+\,a\,-\,b\,v_0}{2}$.

13. Wenn in Nr. 10 das Gewicht P unmittelbar durch eine Triebkraft ersett wird, welche plötzlich abgestellt werden kann, so gilt nach dem Abstellen

$$j_2 = \frac{Q + f(Q + \frac{4}{3}A + B)\frac{Q}{r}}{\frac{\mathfrak{T}r}{r^2}},$$

falls auch das Gewicht Q durch eine Kraft ersett wird. Ist die Winkelgeschwindigkeit beim Abstellen γ , so ist

$$0=\gamma-\frac{j_2}{r}\,t,$$

d. h. $t=\frac{r\gamma}{j_2}$ bezeichnet die Zeit, welche die Maschine noch unter Überwindung der Widerstände läuft.

Für den Winkelweg gilt $\sigma = \gamma t - \frac{1}{2} \frac{j_2}{r} t^2 = \frac{1}{2} \frac{r \gamma^2}{j_2}$.

Macht die Maschine nach dem Abstellen noch u Umdrehungen, so ist $\sigma = u \cdot 2\pi$, d. h. es ist

$$j_2 = \frac{r\gamma^2}{4 \pi u}.$$

Bei Vernachlässigung der Reibungen ist $j_2 = \frac{Qr^2}{\mathfrak{T}r}$, d. h. man hat

$$\frac{Qr}{\mathfrak{Tr}} = \frac{\gamma^2}{4 \pi u}.$$

Entsprechen dem Momente Qr bei der Winkelgeschwindigkeit γ (bezw. n als Tourenzahl) N Pferdestärken, so ist

$$Qr = 716 \frac{N}{n} \quad \text{unb} \quad \gamma = 0.1047 \, n$$

und

$$\mathfrak{Tr} = 716 \frac{N}{n} \cdot \frac{4 \pi u}{(0,1047)^2 \cdot n^2}$$

$$= \frac{4 \pi \cdot 716}{(0,1047)^2} \cdot \frac{N \cdot u}{n^3} \sim 820 680 \frac{N \cdot u}{n^3}.$$

Soll also die Maschine, welche N Pferdestärken bei der Tourenzahl n leistet, nach Abstellung der Triebkraft noch u Umdrehungen machen bis zum Stillstande, so muß ihr Trägheitsmoment der obigen Bedingung genügen.

14. Das Trägheitsmoment der Welle in Fig. 564 ist $\frac{1}{2}\frac{B}{g}r^2$.

Für die Berechnung des Trägheitsmomentes für das Rad diene Fig. 566, welche überhaupt ein Schwungrad darstellt.

Es sei das Gewicht des äußeren Kranzes A, das der Nabe A', das eines Armes C. Die Arme nehmen wir der Einfachheit wegen prisma=

tisch von quadratischem Querschnitt an, dessen Seite gleich a sein mag. Die Halbmesser seien der Reihe nach gleich R_1 , R_2 , r_1 und r_2 .

Die Drehachse sehen wir als die Achse an, auf welche die Trägheitsmomente bezogen werden sollen. Für diesen Fall ist das Träg= heitsmoment Tr des ganzen Rades gleich der Summe der Trägheitsmomente der einzelnen Teile

$$\mathfrak{T}\mathbf{r} = \mathfrak{T}\mathbf{r}_1 + \mathfrak{T}\mathbf{r}_2 + 6\mathfrak{T}\mathbf{r}_3$$
 $\mathfrak{T}\mathbf{r}_1 = \frac{1}{2}\frac{A}{g}(R_1^2 + R_2^2)$
 $\mathfrak{T}\mathbf{r}_2 = \frac{1}{2}\frac{A'}{g}(r_1^2 + r_2^2).$

Bei Berechnung des Trägheitsmomentes eines Armes ist zu beachten, daß derselbe um eine Achse schwingt, die parallel einer Kante a ist. Die Länge eines Armes ist R_2 — r_1 , für Tr $_3$ erhalten wir daher

$$\mathfrak{Tr}_{3} = \frac{1}{12} \frac{\overline{C}}{g} \left[a + (R_{2} - r_{1})^{2} \right] + \frac{C}{g} \left(\frac{R_{2} + r_{1}}{2} \right)^{2}$$

$$= \frac{1}{12} \frac{C}{g} \left[a^{2} + (R_{2} - r_{1})^{2} + 3(R_{2} + r_{1})^{2} \right].$$

Hiernach ist das Trägheitsmoment des Rades

$$\mathfrak{Tr} = \frac{1}{2g} \Big[A(R_1^2 + R_2^2) + A'(r_1^2 + r_2^2) + C[a^2 + (R_2 - r_1)^2 + 3(R_2 + r_1)^2] \Big].$$

Die auf den Umfang reduzierte Masse aber ist gleich

$$\frac{\mathfrak{Tr}}{R_1^2}$$

Dieser Wert des Trägheitsmomentes soll zur praktischen Verwendung vereinfacht werden.

Es sei R der mittlere Halbmesser des Schwungringes und b die Breite desselben in radialer Richtung, dann ist bei Voraussetzung eines rechteckigen Schwungringquerschnittes

$$\mathfrak{T}_{\mathbf{1}} = \frac{1}{2} \frac{A}{g} (R_{\mathbf{1}}^2 + R_{\mathbf{2}}^2) = \frac{1}{2} \frac{A}{g} \left[\left(R + \frac{b}{2} \right)^2 + \left(R - \frac{b}{2} \right)^2 \right]$$
5. h.
$$\mathfrak{T}_{\mathbf{1}} = \frac{A}{g} \left(R^2 + \frac{b^2}{4} \right).$$

Das Trägheitsmoment Tr_2 der Nabe vernachlässigen wir ganz und nehmen statt dessen an, die Arme reichten dis zum Mittelpunkte des Schwungsrades, ihre Länge sei also gleich R. Für diese Voraussezung ist das Trägsheitsmoment Tr_3 eines Armes

$$\mathfrak{Tr}_{8} = \frac{1}{12} \frac{C}{g} \left(a^{2} + R^{2}\right) + \frac{C}{g} \left(\frac{R}{2}\right)^{2} \quad .$$

ober

$$\mathfrak{Tr}_3 = \frac{1}{3} \frac{C}{g} \left(R^2 + \frac{a^2}{4} \right) \cdot$$

Das Trägheitsmoment des Schwungrades ist deshalb, wenn n Arme vorhanden,

$$\mathfrak{Tr} = \frac{A}{g} \left(R^2 + \frac{b^2}{4} \right) + \frac{1}{3} \frac{n C}{g} \left(R^2 + \frac{a^2}{4} \right).$$

Da b und a gegen R verhältnismäßig klein sind, so kann man $\frac{a^2}{4}$ und $\frac{b^2}{4}$ gegen R^2 vernachlässigen, und es ist dann

$$\mathfrak{Tr} = \frac{R^2}{q} (A + \frac{1}{3} nC).$$

In den gewöhnlichen Fällen ist das Gewicht n C der Arme $\frac{1}{3}$ von dem Gewicht A des Schwungringes, weshalb $\frac{1}{3}$ nC gleich $\frac{1}{9}$ A \sim 0,1 A genommen werden kann. Man hat also

$$\mathfrak{Tr} = 1.1 \frac{A}{g} R^2,$$

worin A das Gewicht des Schwungringes bedeutet.

Für Mr. 10 und Mr. 13 gilt also in Annäherung Tr = 1,1 $\frac{A}{g} \cdot R^2 + \frac{1}{2} \frac{B}{g} r^2$.

15. Wie groß ist das Trägheitsmoment eines Schwungrades, für welches $A=5000\,\mathrm{kg}$, $A'=500\,\mathrm{kg}$, $C=250\,\mathrm{kg}$, $R_1=3.45\,\mathrm{m}$, $R_2=3.3\,\mathrm{m}$, $r_1=0.104\,\mathrm{m}$, $r_2=0.052\,\mathrm{m}$? Es sind sechs Arme vorhanden, deren Quersschnitt ein Rechteck von der Breite $0.078\,\mathrm{m}$ und der Höhe $0.104\,\mathrm{m}$ sein mag.

daher

$$\mathfrak{T}_{\mathbf{r}_{1}} = \frac{1}{2} \frac{A}{g} (R_{1}^{2} + R_{2}^{2}) = \frac{56981,25}{g}$$

$$\mathfrak{T}_{\mathbf{r}_{2}} = \frac{1}{2} \frac{A'}{g} (r_{1}^{2} + r_{2}^{2}) = \frac{3,38}{g}$$

$$\mathfrak{T}_{\mathbf{r}_{3}} = \frac{1}{12} \frac{nC}{g} [a^{2} + (R_{2} - r_{1})^{2}] + \frac{nC}{g} (\frac{R^{2} + r_{1}}{2})^{2}$$

$$= \frac{1278,15}{g} + \frac{4345,2}{g} = \frac{5623,35}{g}$$

$$\mathfrak{T}_{\mathbf{r}} = \frac{62607,98}{g} = 6382.$$

Bei Benutung der in der vorigen Aufgabe entwickelten angenäherten Formeln erhält man der Reihe nach

$$\mathfrak{Tr} \sim \frac{56\,981,25}{g} + \frac{5696,66}{g} = \frac{62\,677,91}{g} = 6389$$
 $\mathfrak{Tr} \sim \frac{62\,648,44}{g} = 6386$
 $\mathfrak{Tr} \sim \frac{62\,648,44}{g} = 6386.$

Die auf den mittleren Radius R reduzierte Masse beträgt

$$M=\frac{\mathfrak{Tr}}{R^2}=560,6.$$

16. Ein Schwungring mit den Halbmessern a_1 und b_1 und der Dicke c_1 soll durch einen anderen ersetzt werden von den Halbmessern a_2 und b_2 . Welche Dicke erhält derselbe?

$$\frac{a_1^4-b_1^4}{a_2^4-b_2^4}\cdot c_1.$$

17. Handelt es sich um ein Schwungrad, dessen Masse sehr groß ist gegen die Wasse der Welle, so lätzt sich für Rad und Welle ${\rm Tr} \sim 1, 1\, {A\over g}\, R^2$ setzen.

Man hat dann, gemäß Nr. 13, hier

$$A = 7319900 \frac{u \cdot N}{n^3} \cdot \frac{1}{R^2}$$

18. Es sei nach den vorigen Formeln das Gewicht des Schwungrades einer Schneidemühle zu berechnen. Zum Betriebe derselben sind 7 Pferdestärken nötig, wobei das Sägegatter 80 Hube in einer Minute macht. Das Gewicht des Schwungrades soll der Bedingung genügen, daß die Betriebsswelle des Gatters nach dem plöglichen Ausrücken der Kraftwelle vermöge ihres Beharrungsvermögens noch fünf Umdrehungen mache. Der äußere Halbmesser des Schwungrades sei 0,889 m, der innere 0,798 m.

Es ift
$$R \sim \frac{0,889 + 0,798}{2} = \frac{1,687}{2} = 0,843 \,\text{m}; \, n = 80; \, u = 5$$

$$N = 7;$$

$$A = \frac{7319900 \cdot 5 \cdot 7}{0.843^2 \cdot 80^3} = 704 \text{ kg}.$$

19. Soll die Zeit t für den Auslauf in die Formel eintreten (statt der Anzahl u der Umdrehungen), so folgt aus

$$t = \frac{r \cdot \gamma}{j_2}$$
 und $j_2 = \frac{Qr^2}{\Re r}$ und $\gamma = 0.1074 n$

$$t = \frac{\gamma \cdot \Re r}{Qr} = \frac{\gamma \cdot \Re r \cdot n}{N \cdot 716} = \frac{0.1074}{716} \frac{n^2 \cdot \Re r}{N}$$

$$\Re r = \frac{N \cdot t}{n^2} \cdot 6839.$$

20. Welcher Zusammenhang besteht zwischen der Zeit des Auslaufes und der Anzahl u der Umdrehungen, gemäß Nr. 13 und 19?

Aus
$$\sigma = \frac{1}{2} \gamma t$$
 und $\sigma = u \cdot 2\pi$ folgt $120 u = n \cdot t$.

- 21. Die Betrachtungen der vorigen Nummer sind durch die Beziehung zwischen Arbeit und Energie abzuleiten.
- 22. Auf einer stehenden Welle von 3 m Länge und $0.052 \,\mathrm{m}$ Radius, deren Stützapsen den Radius $0.033 \,\mathrm{m}$ hat, sitt eine Scheibe von der Stärke $0.104 \,\mathrm{m}$ und dem Radius $2.2 \,\mathrm{m}$. Wie groß ist die Zeit t des Auslauses und wie groß die Anzahl u, wenn die Maschine beim Abstellen n=40 Touren hat? Reibungskoeffizient f=0.075.

Setzt man $\frac{1}{2}fD\varrho$ als Reibungsmoment an, so ist

$$t = 999''$$
 und $u = 333$.

Rontrolle: 120 . 333 = 40 . 999.

23. Auf derselben Drehachse besinden sich zwei Scheiben von den Halb= messern 2,4 m und 1,6 m. Über die erste derselben ist eine vollkommen bieg= same Schnur gelegt, die an ihren Enden Gewichte gleich 4 und 6 kg trägt. Welche Gewichte muß man an der anderen Scheibe andringen, damit die Bewegungsverhältnisse dieselben bleiben, wenn die zuerst wirksamen Gewichte fortgenommen werden?

Es ist, die beiden unbekannten Gewichte mit P und Q bezeichnet, die bewegende Kraft P-Q, und die zu bewegende Masse $\frac{P+Q}{g}$. Die Beswegungsverhältnisse sollen durch Umänderung der Gewichte dieselben bleiben; das ist nur möglich, wenn die Trägheitsmomente der Massen und wenn die Arbeitsgrößen der bewegenden Kräste unverändert bleiben. Bezeichnen wir die der Drehung stattfindende Winkelgeschwindigkeit mit γ , so haben wir hiernach zur Berechnung der unbekannten Gewichte solgende zwei Gleichungen:

$$\frac{4+6}{g} \cdot 2,4^2 = \frac{P+Q}{g} \cdot 1,6^2$$

$$(6-4)2,4 \cdot \gamma = (P-Q) \cdot 1,6 \cdot \gamma.$$

hieraus erhält man

$$P = 12,75 \,\mathrm{kg}, \; Q = 9,75 \,\mathrm{kg}.$$

24. Wenn man bei einem Schwungrade mit einem Kranze von recht= edigem Querschnitt Speichen und Nabe unberücksichtigt läßt, so gilt für die Radien r_1 und r_2

$$\mathfrak{T}\mathfrak{r}=M\frac{r_1^2+r_2^2}{2}.$$

Der Trägheitsarm ϱ ist in diesem Falle $o=\sqrt{\frac{r_1^2\,+\,r_2^2}{2}}.$

Für $r_1 = r_2 + d$ erhält man

$$\varrho^2 = \left(\frac{r_1 + r_2}{2}\right)^2 + \frac{1}{4}d^2.$$

Je weniger also r_1 und r_2 voneinander abweichen, um so mehr ist man berechtigt, $\varrho = \frac{r_1 + r_2}{2}$ zu setzen. Bergl. Nr. 18.

Für das Gewicht G=M. g des Rades folgt zunächst

$$G = \frac{g \cdot \mathfrak{Tr}}{\varrho^2}$$
, b. h. $G = \frac{2 \cdot g \cdot \mathfrak{Tr}}{r_1^2 + r_2^2}$

und dann angenähert

$$G \sim \frac{4 \cdot g \cdot \mathfrak{T}r}{(r_1 + r_2)^2}.$$

Man rechnet in der Praxis zunächst für einen Überschlag gemäß Nr. 13 bezw. Nr. 19 und hat also

$$G = \frac{g \cdot N \cdot u \cdot 820680}{n^3 \cdot \varrho^2}$$
 ober $G = 6839 \cdot \frac{g \cdot N \cdot t}{n^2 \cdot \varrho^2}$.

25. Gemäß Nr. 24 ist das Gewicht eines Schwungrades für $\varrho=3\,\mathrm{m}$ zu berechnen, falls 200 PS. bei einer Tourenzahl n=80 geleistet werden, und falls die Maschine nach Abstellen der Triebkraft noch 20" laufen soll. Wieviel Umdrehungen (u) werden noch gemacht?

$$G = 4659 \,\mathrm{kg}$$
 und $u = 13^{1}/_{3}$.

26. Gemäß Nr. 24 ist die Zeit t des Auslaufes zu berechnen, falls 250 PS. bei einer Tourenzahl n=100 gegeben sind und falls das Schwungrad das Gewicht $15\,000\,\mathrm{kg}$ und den mittleren Radius $\varrho=2\,\mathrm{m}$ hat. Wieviel Umdrehungen entsprechen der Zeit des Auslaufes?

$$t = 35.8''$$
 und $u \sim 30$.

27. Gemäß Nr. 24 ist die Leistung N in PS. für eine Maschine zu berechnen, falls das Schwungrad das Gewicht $10\,000\,\mathrm{kg}$ und den mittleren Radius $3\,\mathrm{m}$ hat und falls bei einer Tourenzahl n=50 der Auslauf 10'' dauert:

$$N = 335,4.$$

28. Welche Tourenzahl entspricht den Angaben $G=20\,000$, $\varrho=2\,\mathrm{m}$, $N=100\,\mathrm{und}\ t=30$?

$$n = 50,16.$$

29. Welchen mittleren Radius ϱ hat ein Schwungrad vom Gewichte $G=10\,000\,\mathrm{kg}$, falls bei $N=300\,\mathrm{und}~n=120$, im Auslaufe noch $u=30\,\mathrm{Umdrehungen}$ erfolgen?

$$\varrho = 2.048 \, \text{m}.$$

30. Aufgabe Nr. 29 ist weiterzuführen für $r_1 = 2.2 \,\mathrm{m}$.

Aus $2 e^2 = r_1^2 + r_2^2$ folgt r_2 , aus $G = (r_1^2 - r_2^2)\pi$. d. σ folgt für die Stärke d des Rades bei dem specif. Gewicht $\sigma = 7.5$.

$$r_2 = 1,883 \,\mathrm{m}$$
 unb $d = 0,328 \,\mathrm{m}$.

31. Welche (aktuelle) Energie wirkt als Zerstörungsarbeit auf die Wasschine, wenn die Tourenzahl des Schwungrades in Nr. 27 plözlich von 50 auf 30 herabgesett wird?

32. Eine Maschine läuft, um zur Ruhe zu kommen, beim Leerlaufe 500", im Betriebe 20".

Welches ist ihre Leistung für den Betrieb, falls $G = 10\,000$ kg, $\varrho = 2$ m und n = 50 ist?

$$N = N_1 - N_2 = 74,52 - 2,98 = 71,54$$
 PS.

33. In welcher Zeit kommt eine Maschine, für deren Schwungrad $G=10\,000\,\mathrm{kg}$ und $\varrho=2\,\mathrm{m}$ gilt, beim Anlausen in Gang, wenn $n=200\,\mathrm{mm}$ und $N=400\,\mathrm{ist}$?

$$t \sim 60$$
".

34. Wie groß ist das Gewicht G eines Schwungrades für den Trägsheitsarm $\varrho=2\,\mathrm{m}$, falls $n=200\,$ und $N=400\,$ ist und der Ungleichsförmigkeitsgrad $\delta=\frac{1}{50}\,$ ist (vergl. Formel Nr. 250)?

$$G \sim 270 \, \mathrm{kg}$$
.

35. Welchem Ungleichförmigkeitsgrad δ entspricht die Angabe G gleich $10\,000\,\mathrm{kg}$, $\varrho=2\,\mathrm{m}$, $n=150\,\mathrm{und}\ N=300$?

$$\delta \sim \frac{1}{1000}$$
.

36. Wieviel Arbeit wird durch ein Schwungrad aufgenommen bezw. abgegeben, falls N=300 und n=50 ist (vergl. Formel Nr. 251 a)?

$$\mathfrak{A} = 2844 \,\mathrm{mkg}$$
.

37. An den Enden einer Stange sitzen zwei gleich große Kugeln. Es ist das Trägheitsellipsoid für den Mittelpunkt der Stangen zu bestimmen und die Stabilität der Achsen des Mittelpunktes zu untersuchen.

Die Stangenachse ist stabil.

38. Um eine Achse drehe sich in der Entfernung a die Kugel vom Halbmesser r. Diese soll durch einen normalen Cylinder mit kreisförmiger Basis ersett werden, so daß die Bewegungsverhältnisse nicht geändert werden.

Der Cylinder soll in einer Entsernung b von der Drehachse angebracht werden und eine solche Lage erhalten, daß seine geometrische Achse parallel der Drehachse ist. Der Halbmesser der Basis mag dieselbe Größe r behalten. Die Höhe x des Cylinders ist für diese Bestimmung

$$x = \frac{8}{15}r \cdot \frac{2r^2}{r^2} + \frac{5a^2}{12b^2}.$$

39. Welche Abmessungen muß ein gerader Kegel erhalten, wenn das Trägheitsellipsoid für seine Spize eine Kugel sein soll?

Bezeichnet man Höhe und Radius bezw. durch k und r, so ist

$$h=\frac{1}{2}r.$$

40. Gemäß den Betrachtungen auf S. 662 ist der Schwerpunkt eines Cylinderhuses (r) zu bestimmen.

Bezeichnet man Trägheitsmoment und Massenmoment der Grundsläche für die Schnittgerade der beiden begrenzenden Ebenen als Achse bezw. durch Tr und Mo, so hat die Projektion des Schwerpunktes auf die Grundsläche von der Achse die Entfernung

$$s = \frac{\mathfrak{T}\mathfrak{r}}{Mo} = \frac{5}{4} r.$$

Die Symmetralebene des Huses giebt einen zweiten Ort für den Schwer= punkt, einen dritten die Halbierungsebene des Neigungswinkels der beiden be= grenzenden Ebenen.

41. Legt man durch die Achse eines Rotationskörpers zwei Ebenen, so läßt sich der entstehende Ausschnitt durch unendlich-viele Achsenebenen fächer-artig in Ausschnitte zerlegen, auf welche die Betrachtung auf S. 662 anwendbar ist. Der Schwerpunkt des Ausschnittes stimmt also überein mit dem Schwer-punkte eines bestimmten Bogens vom Halbmesser $\frac{\mathbf{Tr}}{Mo}$.

Ist der Rotationskörper ein Kreisring von den Radien r_1 und r_2 , so daß $r_1 - r_2$ der Durchmesser des erzeugenden Kreises ist, so ist

$$\frac{\mathfrak{Tr}}{Mo} = \frac{5\,r_1^2\,+\,6\,r_1\,r_2\,+\,5\,r_2^2}{8\,(r_1\,+\,r_2)}.$$

Für den halben Rotationskörper ist also der Schwerpunktsabstand durch

$$\frac{\mathfrak{Tr}}{Mo} \cdot \frac{\sin \alpha}{\operatorname{arc} \alpha} \text{ für } \alpha = 90^{\circ}$$

gegeben, d. h. als $\frac{2}{\pi} \cdot \frac{\mathfrak{Tr}}{\textit{Mo}}$.

42. Die Betrachtung der Nr. 41 paßt auch auf ein körperliches Zweieck. Hat das Zweieck den Winkel 2α , so ist dessen Schwerpunkt bei einem Kugelradius R um

$$s = \frac{3 \pi}{16} \frac{R \sin \alpha}{arc \alpha}$$

von der diametralen Kante entfernt.

43. Wenn sich ein Rotationskörper von der Wasse 2 M mit der Winkelgeschwindigkeit y um seine Achse dreht, so hat die Centrifugalkraft der einen Hälfte den Wert

$$C = M \cdot e \cdot \gamma^2$$
.

Dabei ist

$$e = \frac{2}{\pi} \cdot \frac{\mathfrak{Tr}}{F \cdot s},$$

falls man durch Tr das $\operatorname{Trägheitsmoment}$ der $\operatorname{Erzeugungsfläche} F$ in Bezug auf die Achse und den Abstand des Schwerpunktes der $\operatorname{Erzeugungsfläche} F$ von der Achse durch s bezeichnet.

Da das Volumen des Halbkörpers $F.s.\pi$ ist, so ist bei einem speci= sischen Gewichte σ

$$M = \frac{F \cdot s \cdot \pi \cdot \sigma}{q}$$
,

und es ergiebt sich

$$C=2\cdot rac{\sigma}{g}\cdot \mathfrak{Tr}\cdot \gamma^2.$$

Diese Formel ist zu beweisen.

44. Dreht sich ein Cylinder vom Radius r mit der Winkelgeschwindigsteit γ um seine senkrecht stehende Achse (h), so ist die Centrisugalkraft sür einen Abschnitt des Körpers, der durch eine Ebene, parallel zur Achse im Absstande p von dieser, bestimmt wird, gegeben als

$$C = \frac{2}{3} \cdot \frac{\sigma}{g} \cdot r^3 h \cdot \sqrt{1 - \frac{p^2}{r^2}} \cdot \gamma^2$$

Diese ist ein Maximum für p=0, d. h. für den Halbkörper, so daß im allgemeinen ein Zerreißen in der Mittelebene stattfinden wird.

Diese Beziehungen sind unmittelbar abzuleiten und zu vergleichen mit der Formel der Nr. 43.

- 45. Die Betrachtung der Nr. 44 ist durchzuführen für einen Mühlstein von den Radien r_1 und r_2 und der Höhe h.
- 46. Welche Schwingungsbauer hat ein Pendel, das aus ..ner Kugel vom Radius R besteht, für welche die Drehungsachse im Abstande e vom Mittelpunkte liegt?

$$T = 2 \pi \sqrt{\frac{\frac{2}{5}R^2 + e^2}{g \cdot e}}$$

47. Welche Schwingungsdauer hat ein Pendel, das aus einem Winkels hebel (γ) von den Armen a und b besteht, salls die Drehungsachse in dessen Scheitel senkrecht steht?

$$T = 2\pi \sqrt{\frac{\frac{2}{3}(a^3 + b^3)}{g\sqrt{a^4 + 2a^2b^2\cos\gamma + b^4}}}.$$

48. Ein Pendel trägt oberhalb des Aufhängepunktes, im Abstande x von diesem, eine verschiebbare Hülse vom Gewichte H, deren Trägheitsmoment als $x^2 \cdot \frac{H}{g}$ angesetzt werden darf. Auf welchen Abstand x ist sie zu schieben, damit das Pendel die Schwingungsdauer T hat?

Ist Tr das Trägheitsmoment des unbelasteten Pendels vom Gewichte G, für welches der Abstand des Schwerpunktes von der Achse s sein mag, so gilt

$$\frac{H}{g}x^2 + \mathfrak{T}r - (sG - Hx)\frac{T^2}{4\pi^2} = 0.$$

49. Eine dünne Stange von 3,3 m Länge und 0,375 kg Gewicht schwingt um einen ihrer Endpunkte.

In welcher Entfernung findet sich der Schwingungsmittelpunkt? Wieviel Zeit gehört zu einer Schwingung?

$$l = \frac{\mathfrak{T}r}{Ms} = \frac{2}{3} \cdot 3.3 = 2.2 \text{ m}$$
 $T = 2,006 \sqrt{\frac{\mathfrak{T}r}{Ms}} = 2,976 \text{ Setunden.}$

50. Ein seiner Draht von $2 \, \mathrm{m}$ Länge, der an seinem Ende eine Augel von $\frac{1}{2} \, \mathrm{kg}$ Gewicht und dem Halbmesser $0,02 \, \mathrm{m}$ trägt, wird als Pendel benutzt.

In welcher Entfernung vom Aufhängepunkte findet sich der Schwingungs= mittelpunkt?

Wieviel Schwingungen werben in 10 Sekunden gemacht?

Um wieviel ist der Draht zu verkürzen, damit es ein Sekundenpendel werde?

Der Schwingungsmittelpunkt fällt nahezu mit dem Mittelpunkte der Rugel zusammen.

3,5 Schwingungen. Um 1 m circa.

51. Ein Pendel besteht aus einem parallelepipedischen Stabe mit rechtseckigem Querschnitt und einer aus zwei kongruenten Kugelabschnitten konsstruierten Linse. Der Stab hat eine Länge von $a=1.412\,\mathrm{m}$, eine Breite von $b=0.026\,\mathrm{m}$ und eine Dicke von $c=0.007\,\mathrm{m}$. Der Kugelhalbmesser sei $r=0.157\,\mathrm{m}$, die Höhe eines Abschnittes $h=0.039\,\mathrm{m}$, der Aufhängespunkt liege $0.065\,\mathrm{m}$ von dem einen Ende, die Mitte der Linse $0.092\,\mathrm{m}$ von dem anderen Ende des Stabes entsernt. Das ganze Pendel sei aus Stahl gesertigt.

In welcher Entfernung vom Aufhängepunkte liegt der Schwingungs= mittelpunkt?

Wieviel Schwingungen werden in 5 Minuten gemacht?

An welche Stelle des Stabes ist die Linse zu schieben, damit das Pendel ein Sekundenpendel werde?

Bezeichnen wir mit M_1 die Masse eines Kugelabschnittes und mit M_2 die Masse der Stange, so ist

$$\mathfrak{T}r = 2 M_1 \left[\frac{2}{3} h \left(r - \frac{5}{12} h + \frac{1}{90} \frac{h^2}{r - \frac{1}{3} h} \right) + 1,255^2 \right]$$

$$+ M_2 \left[\frac{1}{12} (a^2 + b^2) + \left(\frac{1,412}{2} - 0,065 \right)^2 \right]$$

$$M_1 = \frac{1}{3} \frac{\pi h^2 (3 r - h) \gamma}{g}, \quad M_2 = \frac{abc\gamma}{g},$$

$$Ms = 2 M_1 \cdot 1,255 + M_2 \left(\frac{1,412}{2} - 0,065 \right),$$

$$l = \frac{\mathfrak{Tr}}{Ms} = \frac{0,0023208}{0,0018918} = 1,226 \text{ m}$$
 $n = \frac{5.60}{2.1,003\sqrt{1,226}} = 135 \text{ Schwingungen.}$

Die Länge des Sekundenpendels beträgt 1 m.

52. Das vorige Pendel gebrauche zu einer Schwingung 3 Sekunden, und der Schwerpunkt liege 0,785 m unter dem Aufhängepunkte.

Wie groß ist das Trägheitsmoment des Pendels?

$$Ms = 0.001282 \frac{1000 \cdot 7.8}{g} = 1.02,$$

da 1 cbm Wasser 1000 kg wiegt, es ist

$$\mathfrak{T}r = \left(\frac{\frac{1}{2}T}{1,003}\right)^2 Ms = 2,28,$$

bezogen auf die Schwingungsachse, und

$$\mathfrak{Tr} = 2.28 - M \cdot 0.785^2 = 1.48$$
.

bezogen auf die Schwerpunktsachse.

53. Ein gerader Cylinder, dessen Achse senkrecht steht, ist an einer Achse AB befestigt, welche mit einer Cylinderseite AB übereinstimmt.

Welche Reaktionen treten in A und B auf, wenn der Eylinder ruht? Welche Reaktionen treten in A und B auf, wenn sich der Cylinder mit der Winkelgeschwindigkeit γ dreht?

Zur Auflösung vergl. Formel Nr. 193).

54. Mit welcher Winkelgeschwindigkeit γ muß sich eine dünne Platte von der Form eines rechtwinkelig=gleichschenkeligen Dreieckes um eine der Katheten AC = a als vertikale Achse drehen, wenn der Besestigungspunkt A, der Grenzpunkt zwischen Kathete und Hypothenuse, reaktionsfrei sein soll?

$$\varphi = 2\sqrt{\frac{g}{a}}$$

 $55.^{1}$) Ein Körper vom Gewicht G wird auf die Höhe k gehoben und kommt daselbst mit der Geschwindigkeit v an. Wie groß ist die dazu notwendige Arbeitsgröße?

$$Gh + \frac{1}{2} \frac{G}{g} v^2.$$

Sett man
$$\frac{v^2}{2g}$$
 gleich h_1 , so ist sie $G(h + h_1)$.

Der mittlere Druck P, welcher gegen den Körper ausgeübt werden muß, damit er in vertikaler Richtung auf die Höhe h gehoben werde und dort mit der Geschwindigkeit v ankomme, ist

¹⁾ Bei den folgenden Aufgaben sind die allgemeinen Principien heranzuziehen, namentlich auch das Princip vom Moment der Bewegungsgröße.

$$P = G\left(1 + \frac{h_1}{h}\right).$$

56. Es sollen $100\,\mathrm{kg}$ mittels einer Winde auf $20\,\mathrm{m}$ Höhe bei einer Geschwindigkeit von $1\,\frac{\mathrm{m}}{\mathrm{sec}}$ gehoben werden.

Es ist $h_1 = 0.05 \,\mathrm{m}$, daher gegen $20 \,\mathrm{m}$ zu vernachlässigen, und man hat für die Arbeit

2000 mkg.

57. Man soll 360 cdm Wasser in jeder Minute mittels einer Sprize auf 40 m Höhe bringen, und die Höhe der Nündung des Gußrohres über dem Wasserspiegel im Sprizenkasten betrage 1 m. Wie groß ist die dazu notwendige Arbeitsstärke?

Es ist hier h = 1 m gegen $h_1 = 40 \text{ m}$ verschwindend klein, und deshalb $\mathfrak{A} = 360 \cdot 40 \text{ mkg}$

und die Arbeitsstärke also

$$240 \frac{\text{mkg}}{\text{sec}}$$
.

58. Zum Betriebe einer Sägemühle wurden fünf Pferdestärken gestraucht. Es waren 12 Sägeblätter in Bewegung, die in einer Minute 80 hübe von 706 mm Länge machten. Die Mühle liefert in 12 Stunden 700 m Schnittlänge, bei der durchschnittlichen Stärke der Sägeblöcke von 471 mm. Wie groß ist die von der Reibung verbrauchte Arbeitsstärke, wenn der Reibungswiderstand in den Führungen 35 kg beträgt? Welche mittlere Arbeitsgröße gehört zum Zerschneiden eines Quadratcentimeters Schnittsläche? Wit welcher Geschwindigkeit arbeiten die Sägen? Wie groß ist der beim Schneiden des Holzes zu überwindende Druck?

Arbeitsstärke der Reibung
$$=\frac{35 \cdot 80 \cdot 0,706}{60}=32,95 \frac{\text{mkg}}{\text{sec}}$$
.

Disponible Arbeitsstärke =
$$5.75 - 32,95 = 342 \frac{\text{mkg}}{\text{sec}}$$
.

Auf Nebenarbeiten wird $\frac{1}{6}$ der Zeit verwendet, daher zehn Stunden Arbeitszeit, in welcher 329,7 $\rm qm$ Schnittfläche ausgeführt werden, dies liefert in jeder Minute 5495 $\rm qcm$.

Mittlere Arbeitsgröße zum Zerschneiden von $1 \text{ qcm} = \frac{342.60}{5495} = 3,73 \text{ mkg}.$

Eine Säge liefert pro Minute $=\frac{5495}{12}=458\,\mathrm{qcm}$ Schnittfläche.

Die Schnittlänge daher pro Minute $=\frac{45\,800}{471}=97\,\mathrm{mm}.$

Eindringen der Säge pro Hub $=\frac{97}{80}=1.2\,\mathrm{mm}.$

Geschwindigkeit der Sägen
$$=\frac{80\cdot0,706}{60}=0,941\,rac{\mathrm{m}}{\mathrm{sec}}$$

Kronstanter Widerstand für eine Säge $=\frac{342}{12\cdot0.941}=30,3$ kg.

59. Ein Eisenbahnzug von 250 Tonnen bewegt sich auf einer horizonstalen Eisenbahn mit $9.5 \, \frac{\rm m}{\rm sec}$ Geschwindigkeit, wobei die zur Überwindung der Reibung notwendige Kraft zu $3\, \rm kg$ auf die Tonne Gewicht zu rechnen ist. Welche Arbeitsgröße muß die Lokomotive entwickeln, um den Zug zwei Meilen (= $7500\, \rm m$) weit mit der angegebenen Geschwindigkeit fortzuschaffen?

$$\mathfrak{A} = 11\,250\,000\,\mathrm{mkg}$$
.

60. Eine Lokomotive von 15 Tonnen Gewicht legt in einer Stunde 2,14 Meilen zurück. Welche Arbeitsgröße muß sie entwickeln, um in der nächsten Stunde 5,54 Meilen zu machen?

$$\mathfrak{A} = \frac{1}{2} M(v_2^2 - v_1^2) = 86700 \text{ mkg.}$$

61. Es sei m_1 die Masse eines Geschützes nehst Gestelle, m_2 die Masse Geschosses, P die Explosionskraft des Geschosses, die in irgend einem Zeitsmoment das Geschöß nach vorwärts und das Geschütz nach rückwärts drückt, v_1 und v_2 die betreffenden Geschwindigkeiten, welche P in der unendlich kleinen Zeit τ den Massen m_1 und m_2 erteilt. Es sind die Bewegungsverhältnisse dei dem Schuß zu untersuchen. Man hat

$$P\tau = m_1v_1 = m_2v_2.$$

Die von der Kraft P an beide Massen übertragene Arbeitsgröße ist

$$\mathfrak{A} = \frac{1}{2} m_1 v_1^2 + \frac{1}{2} m_2 v_2^2.$$

Bezeichnet man mit l die Länge des Geschützes, so ist die mittlere Trieb= kraft des Pulvergases

und die mittlere Spannung

$$D = \frac{\mathfrak{A}}{l}$$

Die Zeit t, welche das Geschoß gebraucht, um das Geschütz zu verlassen, ist

$$t = \frac{m_2 v_2}{D}.$$

Gebraucht man zu einem Schuß inkl. Reinigung, Ladung und Stellung des Geschützes n Sekunden, so ist die mittlere Arbeitsstärke in Pserdestärken N ausgedrückt

$$N = \frac{\mathfrak{A}}{n \cdot 75}.$$

Für gewöhnliche Verhältnisse ist $m_1=300\,m_2$, und $n=300\,$ Sekunden. Will man die Drehung des Geschosses in den Zügen berücksichtigen, so hat man für den Steigungswinkel α bei einem Halbmesser r die Winkelsgeschwindigkeit

$$\gamma = \frac{v}{r \cdot tq \,\alpha}$$

einzuführen, falls v die relative Geschwindigkeit des Geschosses in Bezug auf das Rohr, also v_1+v_2 ist.

Für die Ganghöhe (Drall) h gilt dabei $h=2\,r\pi$. $tg\,\alpha$. Man hat dann

$$\mathfrak{A} = \frac{1}{2} m_1 v_1^2 + \frac{1}{2} m_2 v_2^2 + \frac{1}{2} \mathfrak{T} r \gamma^2$$

$$= \frac{1}{2} m_2 v_2^2 \left\{ 1 + \frac{m_2}{m_1} + \frac{\mathfrak{T} r}{m_2} \left(1 + \frac{m_2}{m_1} \right)^2 \cdot \frac{4 \pi^2}{h^2} \right\}.$$

62. Wie groß ist das Moment der Bewegungsgröße für einen geraden Cylinder, der sich um seine Achse mit der Winkelgeschwindigkeit γ dreht, sür diese Achse?

Das Moment ist ein Bektor von der Länge $\frac{1}{2}Mr^2\gamma$, dessen Richtung dem Sinne von $[\gamma]$ entspricht.

63. An den beiden Enden eines Seiles, das über eine Rolle geführt ist, hängen zwei gleich schwere Personen A und B in gleicher Höhe über dem Erdboden.

Welche Bewegung tritt ein, wenn A emporklettert, während B sich ruhig verhält?

A und B bleiben stets in gleicher Hohe.

- 64. Die Bewegungen eines ursprünglich ruhenden Kahnes, der mit Steinen beladen ist, sind darzustellen, salls die Steine in bestimmter Weise (z. B. alle in einer Richtung mit derselben Geschwindigkeit) ausgeworfen werden.
 - 65. Die Entwickelung der Bewegung einer Schaukel ist zu erläutern.
- 66. Die Bewegung des Segnerschen Wasserrades bezw. der Turbinen ist zu erläutern.
- 67. Die Bewegungsänderungen der Erde sind zu erläutern, falls sie sich durch Erkalten von dem Radius R auf den Radius R' zusammenzieht.
- 68. Wenn die Entfernung d_1 zweier Kugeln, welche in symmetrischer Lage mit einer Drehungsachse verbunden sind, plötzlich in d_2 verändert wird, so geht die ursprünglich vorhandene Tourenzahl n_1 über in n_2 . Welche Beziehung sindet statt?

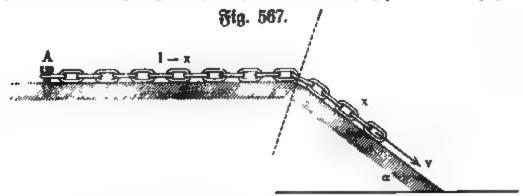
$$n_1: n_2 = d_2^2: d_1^2.$$

69. Wenn eine Welle vom Trägheitsmomente Tr_1 und der Winkelsgeschwindigkeit γ_1 , mit einer ruhenden Welle vom Trägheitsmomente Tr_2 gekuppelt wird, so erhält das System beider Wellen eine bestimmte Winkelsgeschwindigkeit γ . Wie groß ist diese?

$$\gamma = \gamma_1 \cdot \frac{\mathfrak{T}\mathfrak{r}_1}{\mathfrak{T}\mathfrak{r}_1 + \mathfrak{T}\mathfrak{r}_2}$$

- 70. Die Bewegung des Wellrades ist mit Hülse des Principes der Energie abzuleiten.
- 71 und 72. Die Untersuchungen auf S. 726 und die Anwendungen auf S. 773 sind mit Hülfe des Principes der Energie abzuleiten.
- 73. Die Bewegung des Wellrades ist mit Hülfe des Principes des kleinsten Zwanges abzuleiten.

74. Eine Kette, von der das Stück 1 — x wagerecht, das Stück x auf einer schiefen Ebene gelagert ist, ist bei A befestigt, wie es Fig. 567 zeigt.



Belche Geschwindigkeit gilt für die Bewegung, salls die Besestigung bei A gelöst wird, unter Bernachlässigung der Reibungen? Für den Weg x' gilt

$$v = x' \sqrt{\frac{g \sin \alpha}{l}} \cdot$$

75. Ein Körper M vom Gewichte G tritt (vergl. Jig. 568) mit der absoluten Geschwindigkeit $[w_1]$ in das rotierende Rad ein und verläßt dieses bei B mit der absoluten Geschwindigkeit $[w_2]$, während M und M als Punkte des Kades die Geschwindigkeiten $[v_1]$ und $[v_2]$ haben, so daß $[c_1]$ und $[c_2]$ die relastiven Geschwindigkeiten von M sind. Die Arbeit, welche M auf seiner Bahn AB verloren oder ges

loven hat, iff $\mathfrak{A}=\pm rac{1}{3}rac{G}{\sigma}(w_1^2-w_1^2).$

Dabei ift (vergl. S. 296)

$$c_1^2 - c_1^2 = v_1^2 - v_1^2$$

wonnen und die also das Rad gewonnen oder ver-

Die Richtungen von $[c_1]$ und $[c_2]$ und von $[v_1]$ und $[v_2]$ sind durch die Konstruktion bedingt.

Für CA = 0.4 m und CB = 0.6 m und $\angle (v_1, c_1) = 131^{\circ}48'$ und $\angle (v_2, c_3) = 160^{\circ}0'$ gilt folgendes:

Bei 100 Touren ist $\gamma = 10,472$ und also $v_1 = 4,19 \frac{m}{sec}$ und $v^2 = 6,28 \frac{m}{sec}$

Soll $w_1 = 10 \frac{m}{sec}$ sein, so muß $\angle (v_1, w_1) = 30^\circ$ genommen werden,

woraus $c_1=6.71 \frac{\mathrm{m}}{\mathrm{sec}}$ folgt. Demgemäß ist dann ferner $c_2=8.18 \frac{\mathrm{m}}{\mathrm{sec}}$

und $w_1 = 8.12 \frac{m}{sec}$. Demnach ist

$$\mathfrak{A}=\pm 4.61$$
 . G,

b. h. für 10 kg Gewicht von M beträgt die Arbeitsleiftung 46,1 mkg.

76. Gemäß Fig. 569 (a. f. S.) sind die Bewegungsverhältnisse zu untersuchen, salls es sich um eine Rollbewegung handelt.

Bezeichnet man das Trägheitsmoment des Cylinders und der Rolle bezw. durch Tr_1 und Tr_2 , den Zapfendruck für die Rolle durch D und den Koeffisienten der Zapfenreibung durch f_s , so ist \overline{f}_s with

$$j = \frac{P - \left(S + \frac{f_{s}}{R_{s}} \cdot \frac{D \cdot r_{2}}{R_{2}}\right)}{\frac{P + Q}{g} + \frac{\Re r_{2}}{R_{2}^{g}}}$$

$$i = \frac{SR - Qf_{r} - Qr_{1}f_{s}}{\Re r_{1}}.$$

Dabei ist $D^3 = S^3 + (P + V)^3$, falls das Gewicht der Rolle durch V bezeichnet wird.

77. Wie andern sich die Formeln, salls statt des über die Rolle geführten Gewichtes P eine horizontale Kraft P in Wirkung tritt?

Welche (aktuelle) Energie hat der Cylinder in diesem Falle? Wieviel Umdrehungen (u) macht der Körper noch, falls P fortfällt, nachdem die Gesschwindigkeit v erreicht ist?

$$u = \frac{v^2}{4\pi gR} \cdot \frac{QR^2 + \mathfrak{T}r_1g}{QR \cdot f_r}.$$

78. Welche Zahlenwerte ergeben sich in Anwendung Nr. 10 für j bei einem rollenden Enlinder und bei einer rollenden Kugel, salls der Widerstand der rollenden Reibung vernachlässigt wird?

$$j = \frac{2}{5}g\sin\alpha$$
 und $j = \frac{5}{7}g\sin\alpha$.

Welche Werte treten für beibe Körper auf, wenn die gleitende Reibung gerade überwunden wird?

$$j = \frac{g \sin{(\alpha - \varphi)}}{\cos{\varphi}} \quad \text{unb} \quad \iota = \frac{2 f g \cos{\alpha}}{R}$$

$$j = \frac{g \sin{(\alpha - \varphi)}}{\cos{\varphi}} \quad \text{unb} \quad \iota = \frac{5}{2} \frac{f g \cos{\alpha}}{R}.$$

79. Ein 2000 kg schwerer Wagen mit Radern von 0,68 m Halbmesser rollt auf einer schiefen Ebene von 161 m Länge und 33° Neigung herab. Der Halbmesser ber Radachsen sei 0,04 m, das Trägheitsmoment des Wagens 134, f=0,07, $\frac{f_r}{R}=0,02$. In welcher Zeit legt der Wagen den Weg auf der schiefen Ebene zurück? Dit welcher Geschwindigkeit erreicht der Wagen die Horizontalebene?

$$t = 12,81$$
 Setunden $v = 25,13 \frac{m}{800}$.

80. Gine massive Rugel rollt gleitend von einer schiefen Chene, deren Reigungswinkel 53° ist, herab.

Welche Größe hat der Koeffizient der gleitenden Reibung, wenn die Besichleumigung des Fortschreitens gleich der doppelten drehenden Beschleumigung

auf der Oberfläche der Kugel ist, und von der malzenden Reibung abgesehen werden soll?

$$g(\sin \alpha - f\cos \alpha) = 5 fg \cos \alpha$$

$$\int_{0}^{1} tang \alpha = f$$

$$f = 0.221.$$

81. Eine massive Rugel bewegt sich vollkommen rollend auf einer schiefen Ebene, deren Reigung 20° sein mag.

Belde Größe hat ber Koeffizient ber gleitenben Reibung?

Wit welcher Geschwindigkeit erreicht die Rugel die Horizontalebene, und welche Länge hat die geneigte Ebene, wenn die Bewegung 30 Sekunden dauert?

$$f > 0.104$$
, $j = 2.4 \frac{\text{m}}{\text{sec}^2}$, $c = 72 \frac{\text{m}}{\text{sec}}$, $s = 1080 \text{ m}$.

82. Untersuchung der beschleus Fig. 570 a.

nigten Bewegung eines Pochstempels (vergl. Fig. 379).

- 83. Untersuchung der schwins genden Bewegungen, welche den Körpern der Fig. 570 a und 570 b entsprechen.
- 84. Untersuchung ber Bewes gungen ber Bippe (vergl. Fig. 312).
- 85. Ein Rugelausschnitt vom Centriwinkel 2 a und bem Radius ruht mit seiner krummen Fläche auf

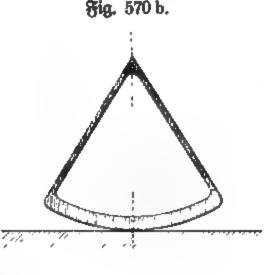
einer wagerechten Ebene. Welche Schwingungsdauer kommt ihm in erster Annäherung zu, wenn er um seine Ruhelage schwingt?

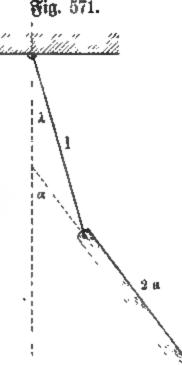
$$T = 2\pi \sqrt{\frac{\frac{2}{15} \cdot \frac{r}{g} \cdot \frac{13(1 - \cos \alpha) + 2\cos \alpha^2}{1 + \cos \alpha}}$$

- 86. Es ist die schwingende Bewegung eines Kugelabschnittes angenähert darzustellen, gemäß Fig. 313 (Epicykloidenwiege).
- 87. Es ist die schwingende Bewegung eines Augelabschnittes angenähert darzustellen, wenn der Körper der Fig. 313 innerhalb einer Hohlkugel schwingt (Hypocykloidenwiege).
- 88. An einem gewichtlosen Faben von ber Länge l befindet sich ein Stab von der Länge 2 a.

Belche Bewegung erfolgt, falls der Stab in einer Bertikalebene durch die Gleichgewichtslage einen Anftoß erhält?

In erfter Annaherung gilt, falls die Zeit mit t bezeichnet wird,





1 1/1. 1, 1, 1, 1 / 10 kg.

1 1/1. 1, 1, 1 / 180 kg. All the the man manner of the temperature desselben, so ist für

$$f \cdot 2 \pi R \cdot 100 \cdot 7.2 = 780 \cdot 1000$$

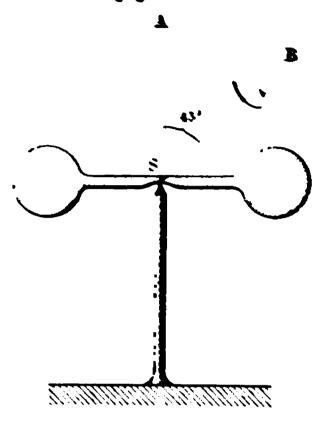
 $f = 45,379 \text{ qcm.}$

Geben wir dem Luerschnitt die Form eines Rechteckes, mit den Seiten b und h, wobei b der Bellenachse parallel sein soll, und nehmen h=1.5 h, so ist b=5.5 cm und h=8.25 cm.

90. Ein Ringkörper von kreissormigem Querschnitte ruht vermittelst einer dünnen Platte, wie Fig. 572 zeigt, in seinem Schwerpunkte Sauf einer Spize.

Belche Bewegung vollführt der Körper, wenn seine Achse SA ansangs sentrecht steht und ihm dann eine Wintelgeschwindigkeit, ents sprechend 1000 Touren, erteilt wird, um die Achse SB, die gegen die Bertikale um 45° gezneigt ist?

Die Achse des Ringes SA ist Achse eines beweglichen Regels, der einen festen Regel von der Seite SB umschließend berührt.



$$\alpha = A \cdot \sin(pt + \epsilon_1) + B \cdot \sin(qt + \epsilon_2)$$

 $\lambda = A' \cdot \sin(pt + \epsilon_1) + B' \cdot \sin(qt + \epsilon_2)$

Dabei sind p^2 und q^2 die positiven Wurzeln der Gleichung

$$alx^4 - (3l + 4a)gx^2 + 3g^2 = 0$$

und ferner ist

$$A': A = ap^2: (g - lp^2)$$
 und $B': B = aq^2: (g - lq^2)$.

89. Für eine Dampfmaschine, bei welcher r:l=1:5 ist, gilt die Gleichung (vergl. Formel Nr. 250 für $\delta=\frac{1}{32}$ und S. 767)

$$43\,194\,\frac{N}{r^2n^3}=0.14\,M_1\,+\,0.103\,M_2\,+\,\frac{1}{32}\,M_2$$

worin M die auf den Kurbeltreis reduzierte Masse der rotierenden Teile, M_1 die Masse der Kolbenstange und des Kolbens, M_2 die Masse der Schubstange, N die Anzahl der zu übertragenden Pferdestärken, n die Anzahl der Um= drehungen in einer Minute und r die Kurbellänge bezeichnet.

Es ist das Gewicht des Schwungringes für sie bei 25 Pferdestärken zu berechnen, wenn die Schwungradwelle 30 Umdrehungen in der Minute macht, und zwar für folgende Abmessungen:

Masse des gußeisernen Kolbens beim spec. Gew. 7,25 $=\frac{87,952}{g}$;

Masse der gußstählernen Kolbenstange beim spec. Gew. . . 7,8 $=\frac{22,392}{a}$;

daher
$$M_1 = \frac{110,344}{q}$$
;

Masse M_2 der gußstählernen Schubstange vom spec. Gew. . 7,8 $=\frac{60,954}{a}$.

$$(0.14 M_1 + 0.103 M_2) r^2 = \frac{4.82}{g}$$

$$\frac{1}{g} \cdot 43194 \frac{N}{n^3} g = \frac{392.34}{g}$$

$$\frac{1}{32} M r^2 = \frac{1}{32} \mathfrak{T} r - \frac{1}{32} \cdot 1.1 \frac{A}{g} R^2 = \frac{0.4964 A}{g}$$

$$A = \frac{387.52}{0.4964} = 780 \text{ kg}.$$

Zur Bestimmung der Abmessungen des Schwungringes benutzen wir die Guldinsche Regel und nennen f den Querschnitt desselben, so ist für Gußeisen

$$f \cdot 2\pi R \cdot 100 \cdot 7.2 = 780 \cdot 1000$$

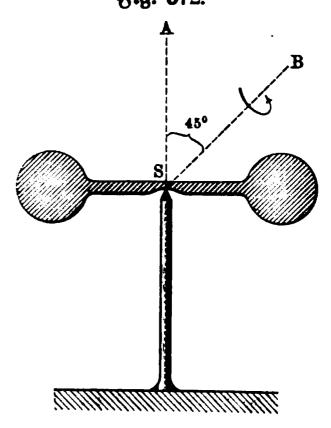
 $f = 45.379 \text{ qcm}.$

Geben wir dem Querschnitt die Form eines Rechteckes, mit den Seiten b und h, wobei b der Wellenachse parallel sein soll, und nehmen $h=1,5\,b$, so ist $b=5,5\,\mathrm{cm}$ und $h=8,25\,\mathrm{cm}$. Fig. 572.

90. Ein Ringkörper von kreißförmigem Querschnitte ruht vermittelst einer dünnen Platte, wie Fig. 572 zeigt, in seinem Schwerpunkte Sauf einer Spize.

Welche Bewegung vollführt der Körper, wenn seine Achse SA ansangs senkrecht steht und ihm dann eine Winkelgeschwindigkeit, entsprechend 1000 Touren, erteilt wird, um die Achse SB, die gegen die Vertikale um 45° geneigt ist?

Die Achse des Ringes SA ist Achse eines beweglichen Regels, der einen sesten Regel von der Seite SB umschließend berührt.





Repetitorium der Chemie für Techniker. Kurzgefasstes Lehrbuch

enthaltend eine Einleitung in die Chemie und eine Abhandlung der wichtigsten Elemente und ihrer Verbindungen

unter besonderer Berücksichtigung der technisch angewandten Körper, ihrer Eigenschaften und Darstellungsmethoden.

Bearbeitet von

Dr. phil. Walter Herm,

Docent der Chemie am Technicum Altenburg.

Mit eingedruckten Abbildungen. gr. 8. Preis geh. 3 M., geb. 3,50 M.

Die Physik

in gemeinfasslicher Darstellung für höhere Lehranstalten, Hochschulen und zum Selbststudium von

Dr. Friedrich Neesen,

Professor an der vereinigten Artillerie- und Ingenieur-Schule und an der Universität Berlin.

Mit 284 in den Text eingedruckten Abbildungen und einer Spektraltafel.

gr. 8. Preis geh. 3,50 Ma, geb. 4 Ma.

Technologie und Naturkunde.

Ein Lern- und Lehrbuch für Haus und Schule,

besonders zum Gebrauche beim Unterricht in Wirtschaftskunde und Handelsgeographie in kaufmännischen Fortbildungsschulen, Handelsschulen und verwandten Lehranstalten.

Bearbeitet von

A. Sattler,

Schulinspektor.

Mit 176 eingedruckten Abbildungen. gr. 8. Preis geh. 3,50 M., geb. 4 M.

Die internationalen absoluten Maasse insbesondere die

electrischen Maasse

für Studirende der Electrotechnik in Theorie und Anwendung dargestellt und durch Beispiele erläutert von

Dr. A. von Waltenhofen,

k. k. Regierungsrathe und Professor etc. an der technischen Hochschule in Wien.

Zweite verbesserte und vermehrte Auflage. Mit 15 eingedruckten
Figuren. gr. 8. geh. Preis 6 %.

Ueber Blitzableiter.

Vorschriften für deren Anlage nebst einem Anhange mit Erläuterungen zu denselben.

Von Dr. A. von Waltenhofen.

k. k. Regierungsrathe und Professor der Elektrotechnik etc. in Wien.

Mit 5 Abbildungen. gr. 8. geh. Preis 2,40 M.

Verlag von Friedrich Vieweg & Sohn in Braunschweig.

E. F. Scholl's

Führer des Maschinisten.

Ein Hand- und Hülfsbuch für Heizer, Dampfmaschinenwärter, angehende Maschinenbauer, Ingenieure, Fabrikherren, Maschinenbauanstalten, technische Lehranstalten und Behörden.

Unter Mitwirkung von Prof. Dr. F. Reuleaux bearbeitet von

Ernst A. Brauer,

ordentl. Professor der Maschinenkunde an der Technischen Hochschule zu Darmstadt.
Elfte vermehrte und verbesserte Auflage. Vierter Abdruck.
Mit 434 Holzstichen. 8. Preis geh. 9 &, geb. 10 &.

Die Schiffsmaschinen,

ihre Konstruktionsprinzipien, sowie ihre Entwickelung und Anordnung. Nebst einem Anhange: Die Indikatoren und die Indikatordiagramme und gesetzliche Bestimmungen, betreffend Anlage, Betrieb und Untersuchung von Schiffsdampfkesseln (Auszug).

Ein Handbuch für Maschinisten und Offiziere der Handelsmarine,

bearbeitet von

W. Müller,

Ingenieur.

Zweite, teilweise veränderte und erweiterte Auflage. Mit 150 eingedruckten Abbildungen. 8. Preis geh. 5 M., geb. 5,75 M.

Die absoluten

mechanischen, calorischen, magnetischen, elektrodynamischen u. Licht-

Maass-Einheiten

nebst deren Ableitungen, wichtigsten Beziehungen und Messmethoden mit einem Anhang nichtmetrischer Maasse zum Gebrauche für Ingenieure, Techniker, Lehranstalten, sowie für ein gebildetes Publicum

in gedrängter Kürze bearbeitet von

Richard Meyn,

Ingenieur in Carlshütte, Rendsburg. Taschenformat. cart. Preis 1 16.

Die Schiebersteuerungen und ihre Diagramme.

Ein Leitfaden bei dem Vortrage über Schiebersteuerungen an höheren technischen Lehranstalten, sowie zum Selbststudium der Steuerungsverhältnisse bearbeitet von

Dr. A. Stehle,

Ingenieur,

Director der städtischen Fachschule für Maschinentechniker zu Einbeck.

Dritte vermehrte und verbesserte Auflage. Mit 88 eingedruckten Abbildungen. gr. 8. Preis geh. 2,20 M., geb. 2,50 M.

